

AREA EDILIZIA E LOGISTICA

PROGETTO NUOVO BARICENTRO REALIZZAZIONE STUDENTATO E RELATIVI SERVIZI PER GLI STUDENTI BOLOGNA

sito in via Belmeloro 8/2-8/3 e in via San Giacomo 11

PROPRIETA' EDIFICIO
ALMA MATER STUDIORUM

FABBRICATO N.
701-718-729

TICKET N.
29520

DIRIGENTE AREA EDILIZIA E LOGISTICA
ing. ANDREA BRASCHI

RESPONSABILE UNICO DEL PROCEDIMENTO
arch. MARIA PANDOLFO

PROFESSIONISTI INCARICATI

PROGETTO ARCHITETTONICO

arch. ANNA VECCHI

PROGETTO IMPIANTI MECCANICI

per. ind. GIORGIO MORARA

PROGETTO IMPIANTI ELETTRICI

per. ind. MARCO MIGANI

PROGETTO OPERE STRUTTURALI

ing. GIORGIA PREDARI

COORDINATORE PER LA SICUREZZA
IN FASE DI PROGETTAZIONE

geom. DINA UCCELLI

ASSISTENZA TECNICA
PER ELABORAZIONI GRAFICHE

MAIN MANAGEMENT E
INGEGNERIA SRL

LIVELLO DELLA PROGETTAZIONE: PRELIMINARE DEFINITIVO ESECUTIVO AS-BUILT

OGGETTO TAVOLA

Relazione sulla valutazione della
sicurezza

SCALA

DATA

11/10/2019

REV.

1

DATA

12/12/2019

TAVOLA N°

ST_701_VS



AREA EDILIZIA E LOGISTICA

INDICE

| | |
|---|----|
| INTRODUZIONE..... | 3 |
| PARTE I..... | 4 |
| 1. Norme di riferimento..... | 4 |
| 2. Descrizione sintetica dell'edificio..... | 4 |
| 3. Il percorso della conoscenza | 5 |
| 4. Analisi storico-critica..... | 6 |
| <i>Analisi delle trasformazioni.....</i> | 6 |
| <i>Rilievo geometrico e costruttivo</i> | 10 |
| <i>Rilievo del quadro fessurativo e/o di degrado</i> | 14 |
| <i>Individuazione delle vulnerabilità.....</i> | 14 |
| <i>Indagini conoscitive.....</i> | 17 |
| PARTE II..... | 19 |
| 1. Premessa..... | 19 |
| 2. Pericolosità sismica del sito | 19 |
| 3. Le azioni sollecitanti | 21 |
| <i>Destinazione d'uso e sovraccarichi per le azioni antropiche.....</i> | 21 |
| <i>Azioni dovute al vento.....</i> | 23 |
| <i>Azioni dovute alla temperatura</i> | 23 |
| <i>Neve</i> | 23 |
| 4. Combinazioni di calcolo..... | 23 |
| <i>Combinazioni delle azioni sulla costruzione</i> | 24 |
| 5. Caratterizzazione meccanica dei materiali..... | 26 |
| 6. Analisi dei carichi dello stato di fatto | 26 |
| 7. Verifiche nei confronti dei carichi statici | 31 |
| <i>Progetto simulato delle armature delle porzioni di solaio non ispezionabili.....</i> | 33 |
| <i>Verifiche delle murature.....</i> | 39 |
| 8. Verifiche numeriche – analisi per meccanismi locali..... | 42 |
| <i>Individuazione dei meccanismi di collasso per l'edificio</i> | 45 |
| <i>Ribaltamento composto di cuneo diagonale</i> | 45 |
| <i>Ribaltamento del cantonale</i> | 46 |



AREA EDILIZIA E LOGISTICA

| | | |
|------------|--|----|
| 9. | <i>Verifiche numeriche – analisi per meccanismi globali</i> | 48 |
| | <i>Ipotesi alla base della modellazione</i> | 48 |
| | <i>Verifiche push-over</i> | 49 |
| 10. | <i>Conclusioni ed indicazioni progettuali</i> | 64 |



AREA EDILIZIA E LOGISTICA

INTRODUZIONE

Oggetto della presente relazione è la descrizione della metodologia e dei principali calcoli svolti per la valutazione della sicurezza dell'Edificio di Via Belmeloro 8/2, che ospita uffici e laboratori afferenti al "CIAMICIAN" Biotecnologie e Medicina, ai fini del progetto dell'intervento di miglioramento sismico da eseguirsi su di esso.

In particolare:

- nella Parte I della presente relazione verrà descritto il percorso della conoscenza dell'edificio, attraverso l'analisi storico-critica, il rilievo geometrico e costruttivo e le indagini conoscitive eseguite;
- nella Parte II della presente relazione verrà descritta la metodologia adottata nel condurre le verifiche di vulnerabilità sismica delle strutture con i relativi risultati;

Trattandosi di un manufatto architettonico appartenente al patrimonio culturale tutelato, riferimento per la progettazione sono state le *Linee guida per la valutazione e riduzione del rischio sismico del Patrimonio culturale*, le quali richiedono di attenersi ad interventi di miglioramento, a riparazioni o ad interventi locali (punto 8.4 delle NTC).



Figura 1 - Localizzazione dell'edificio nel comparto



AREA EDILIZIA E LOGISTICA

PARTE I

1. Norme di riferimento

Le analisi sono state effettuate in conformità alle seguenti normative/documenti tecnici:

- OPCM 3274/2003 “Primi elementi in materia di criteri generali per la classificazione sismica del territorio nazionale e di normative tecniche per le costruzioni in zona sismica”;
- DPCM 12/10/2007 “Direttiva del Presidente del Consiglio dei Ministri per la valutazione e la riduzione del rischio sismico del patrimonio culturale con riferimento alle norme tecniche per le costruzioni”;
- D.M. 17/01/2018 Aggiornamento delle “Norme Tecniche per le Costruzioni” (nel seguito del testo richiamato come DM18),
- Circolare Ministeriale 21/01/2019 n. 7 “Istruzioni per l’applicazione dell’Aggiornamento delle Nuove Norme Tecniche per le Costruzioni di cui al D.M. 17/01/2018” (nel seguito del testo richiamata come CM07);
- Direttiva del Presidente del Consiglio dei Ministri del 9 febbraio 2011 sulla valutazione e riduzione del rischio sismico del patrimonio culturale con riferimento alle costruzioni di cui al DM 14 gennaio 2008;
- Legge Regione Emilia Romagna del 30 ottobre 2008 n.19 e delibera di Giunta n. 1661/09.

2. Descrizione sintetica dell’edificio

L’edificio è stato costruito intorno al 1915 ed ospita attualmente uffici, un’aula e laboratori di ricerca di chimica organica e fisica come succursale del Dipartimento di Chimica “Giacomo Ciamician”.

Si sviluppa su quattro livelli: un seminterrato, un rialzato, un primo piano ed un secondo piano.

L’altezza attuale è il frutto della sopraelevazione avvenuta presumibilmente tra la fine degli anni ’50 e l’inizio degli anni ’60, quando l’edificio è stato innalzato di un piano, passando dagli originari due piani fuori terra ed un seminterrato a tre piani fuori terra più il seminterrato. Le documentazioni storiche, infatti, mostrano come l’edificio fosse sostanzialmente “gemello” di quello collocato in via San Giacomo 11.

Unitamente alla soprelevazione si è provveduto anche alla sostituzione del solaio tra primo piano e secondo piano ed è stato inserito un nuovo solaio sottotetto.

Planimetricamente, l’edificio presenta una forma rettangolare piuttosto regolare: gli ambienti, di dimensioni relativamente contenute, si distribuiscono lungo un corridoio centrale; unica eccezione al piano terra dove – probabilmente per ragioni funzionali – sono stati creati ambienti più ampi tramite la demolizione di alcuni setti murari.



AREA EDILIZIA E LOGISTICA

Le scelte materiche sono quelle tipiche degli edifici coevi realizzati nella Regione; murature portanti in laterizio intonacato con basamento, coperture in legno con manto di tegole marsigliesi. Scelte che si riconducono alle esigenze tipiche di un edificio a destinazione scolastica: semplicità, solidità, resistenza, durata nel tempo.

Dal punto di vista strutturale, il complesso risulta costituito da un unico corpo, realizzato interamente con struttura portante in muratura a due teste di laterizio del tipo bolognese (28x13.5x5.5 cm) in uso nella città fino all'introduzione dei laterizi standardizzati UNI. La muratura, visibile in numerose posizioni per gli ingenti distacchi di intonaco che interessano l'edificio, presenta una buona tessitura muraria, come generalmente avviene per gli edifici dei primi anni del '900, con l'alternanza di mattoni di testa e di lista, quindi con una presenza omogena di diatoni. Anche i giunti verticali di malta presentano un corretto sfalsamento.

Gli orizzontamenti intermedi svolgono funzione di collegamento fra i paramenti. Al piano interrato sono visibili volte in muratura a botte ed a crociera che sorreggono il solaio del piano terra, i solai del piano primo sono soletta in calcestruzzo armato con nervature ed al secondo piano sono in laterocemento con travi in C.A.

La copertura è a falde, a struttura in legno ed impalcato in tabelle, con superiore manto in tegole marsigliesi. Significative modifiche alla copertura sono state apportate in occasione della sopraelevazione, generando un elevato livello di vulnerabilità della situazione attuale, così come sarà nel seguito descritto.

3. Il percorso della conoscenza

La conoscenza della costruzione costituisce evidentemente un presupposto fondamentale ai fini di una attendibile valutazione della sicurezza sismica dell'edificio.

Nel dettaglio, il percorso della conoscenza è stato così articolato:

1. analisi del processo di realizzazione, degli eventuali cambi di destinazione d'uso dell'intera struttura o di alcune sue parti, e delle successive modificazioni subite nel tempo dall'edificio;
2. individuazione delle tipologie di orizzontamenti e della loro corrispondente conformazione;
3. determinazione degli elementi costituenti l'organismo resistente.

Il percorso della conoscenza dell'edificio in esame può essere ricondotto alle seguenti attività:

- Analisi storico-critica: per una corretta individuazione del sistema strutturale esistente e del suo stato di sollecitazione è stato necessario ricostruire il processo di realizzazione e le successive modificazioni subite nel tempo dall'edificio, nonché gli eventi che lo hanno interessato.
- Analisi della documentazione disponibile
- Rilievo: per individuare l'organismo resistente della costruzione, tenendo presenti anche qualità e stato di conservazione dei materiali e degli elementi costitutivi, è stato condotto un rilievo accurato dell'immobile con l'obiettivo di individuare non solo gli elementi costituenti l'organismo resistente e



AREA EDILIZIA E LOGISTICA

la loro geometria, ma anche eventuali dissesti, in atto o stabilizzati, ponendo particolare attenzione all'individuazione dei quadri fessurativi e degli eventuali meccanismi di danno.

In particolare, il rilievo è basato su un insieme di procedure mirate alla conoscenza della geometria esterna delle strutture e dei dettagli costruttivi; per questa finalità, è stata eseguita una rilevazione tridimensionale con laser scanner 3D, utile ai fini di una corretta restituzione grafica e per la comprensione di dettagli costruttivi altrimenti difficilmente rilevabili. Il rilievo è stato svolto in maniera quanto più completa e dettagliata possibile, con l'obiettivo di definire il modello strutturale necessario alla valutazione della sicurezza per le azioni prese in esame.

- Caratterizzazione meccanica dei materiali: per conseguire un'adeguata conoscenza delle caratteristiche dei materiali e del loro eventuale degrado, ci si è basati sulla documentazione disponibile, su verifiche visive in situ e su indagini sperimentali. I valori delle resistenze meccaniche dei materiali, sono state ricavate, dopo aver individuato la tipologia di muratura, dalle indicazioni della normativa e sono state opportunamente ridotte considerando i fattori di confidenza e di sicurezza in accordo con quanto prescritto dal DM18.

4. Analisi storico-critica

Analisi delle trasformazioni

Contemporaneamente al rilievo eseguito, sono state reperite informazioni archivistiche presso l'Archivio Storico dell'Università di Bologna, che conserva immagini fotografiche e carteggi relativi al complesso, originariamente sede della Facoltà di Medicina Veterinaria; precisamente, l'edificio di via Belmeloro 8/2 ospitava l'Istituto di Anatomia Veterinaria. Attraverso questo materiale, ed in particolare rappresentazioni planimetriche del complesso al solo piano terra, purtroppo alcune delle quali non datate, è stato possibile ipotizzare le trasformazioni avvenute nel tempo relativamente alla distribuzione degli ambienti.

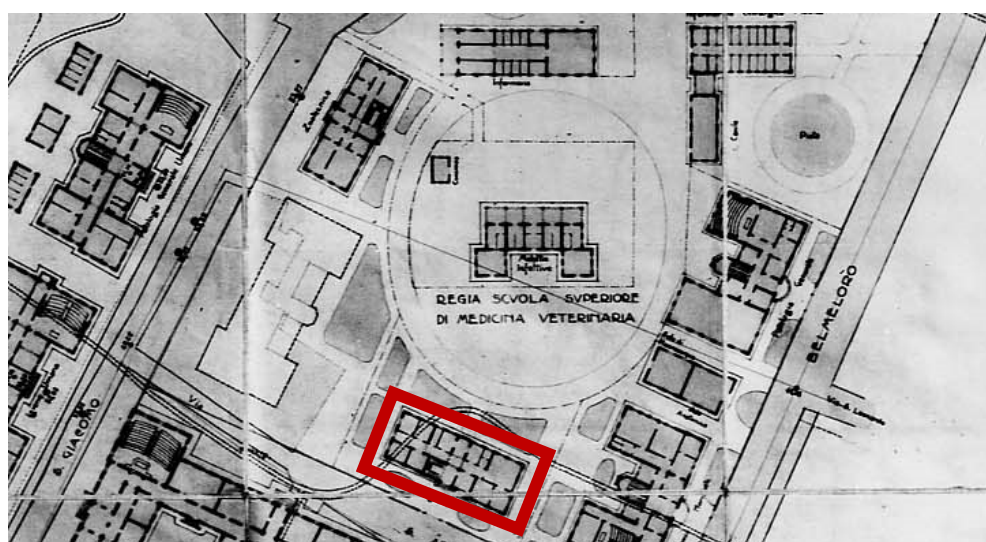


Figura 2 - Situazione dell'area nel 1928-1929 (Anno VII)



AREA EDILIZIA E LOGISTICA



Figura 3 - Situazione dell'area in data successiva, non indicata (presunta metà anni '30)



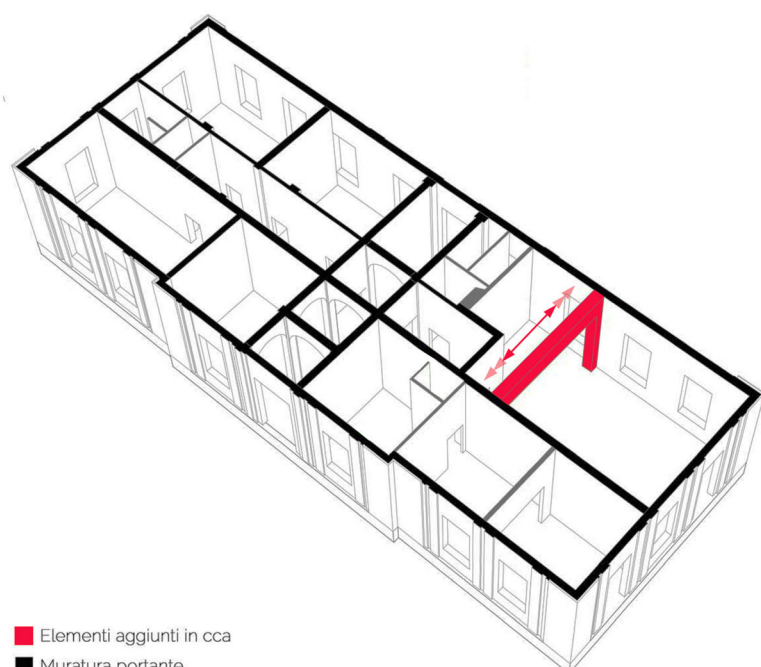
Figura 4 - Situazione dell'area in data successiva, non indicata (presunta fine anni'30 - inizio anni'40)



AREA EDILIZIA E LOGISTICA



Figura 5 - Sintesi delle trasformazioni avvenute



■ Elementi aggiunti in cca
■ Muratura portante

Figura 6 - Portale in calcestruzzo armato al piano terra



AREA EDILIZIA E LOGISTICA

Si può rilevare come molti dei setti murari interni in senso trasversale siano stati nel tempo demoliti, presumibilmente sostituiti da travi in calcestruzzo armato, a causa delle mutate necessità di distribuzione interna. Permangono, attualmente tutte le murature longitudinali originarie, e solo la metà di quelle trasversali.

Tale trasformazione è molto evidente negli ambienti attualmente occupati dall'unica aula didattica presente nell'edificio, ove la presenza di un portale in calcestruzzo armato a sostegno del solaio è ben visibile.

La trasformazione più evidente, che certamente ha modificato l'aspetto esteriore dell'edificio, e in parte le soluzioni costruttive originarie, è la sopraelevazione di un piano, avvenuta presumibilmente negli anni '50.

Ciò ha comportato il rifacimento completo della copertura, probabilmente con riuso degli stessi elementi costruttivi ma con una soluzione costruttiva differente, la creazione di un nuovo solaio di sottotetto e di un nuovo solaio di separazione tra piano primo e secondo, oltre ad aver richiesto l'abbassamento delle aperture del piano primo, per lasciare spazio al nuovo solaio.



Figura 7 - Sintesi delle trasformazioni avvenute in alzato



Figura 8 - Attuale aspetto esteriore dell'edificio e visibile rimaneggiamento dell'altezza delle aperture del piano primo



AREA EDILIZIA E LOGISTICA



Figura 9 - L'edificio prima e dopo la sopraelevazione

Rilievo geometrico e costruttivo

Per verificare la correttezza delle informazioni contenute nel materiale grafico a disposizione e per rilevare la qualità e lo stato di conservazione dei materiali e degli elementi costitutivi, è stato condotto un rilievo accurato di tutto l'immobile in maniera quanto più completa e dettagliata possibile.

Il rilievo geometrico è stato eseguito mediante rilevazione tridimensionale con laser scanner, che ha consentito inoltre di avere una restituzione corretta e completa dell'entità del degrado dell'edificio.

Per quanto inherente al rilievo costruttivo, sono stati misurati ed analizzati nel dettaglio tutti i nodi fondamentali della struttura, misurando gli spessori dei muri portanti ed individuando, per quanto possibile, le tipologie di solai. Nel caso in esame, infatti, non è stato possibile rintracciare alcuna informazioni circa la struttura del fabbricato. La conoscenza delle strutture verticali e orizzontali è quindi stata affidata esclusivamente alla campagna di rilievo effettuata e ad indagini conoscitive.



AREA EDILIZIA E LOGISTICA

Nella sottostante sezione trasversale è possibile apprezzare le soluzioni costruttive adottate, che verranno nel seguito descritte.

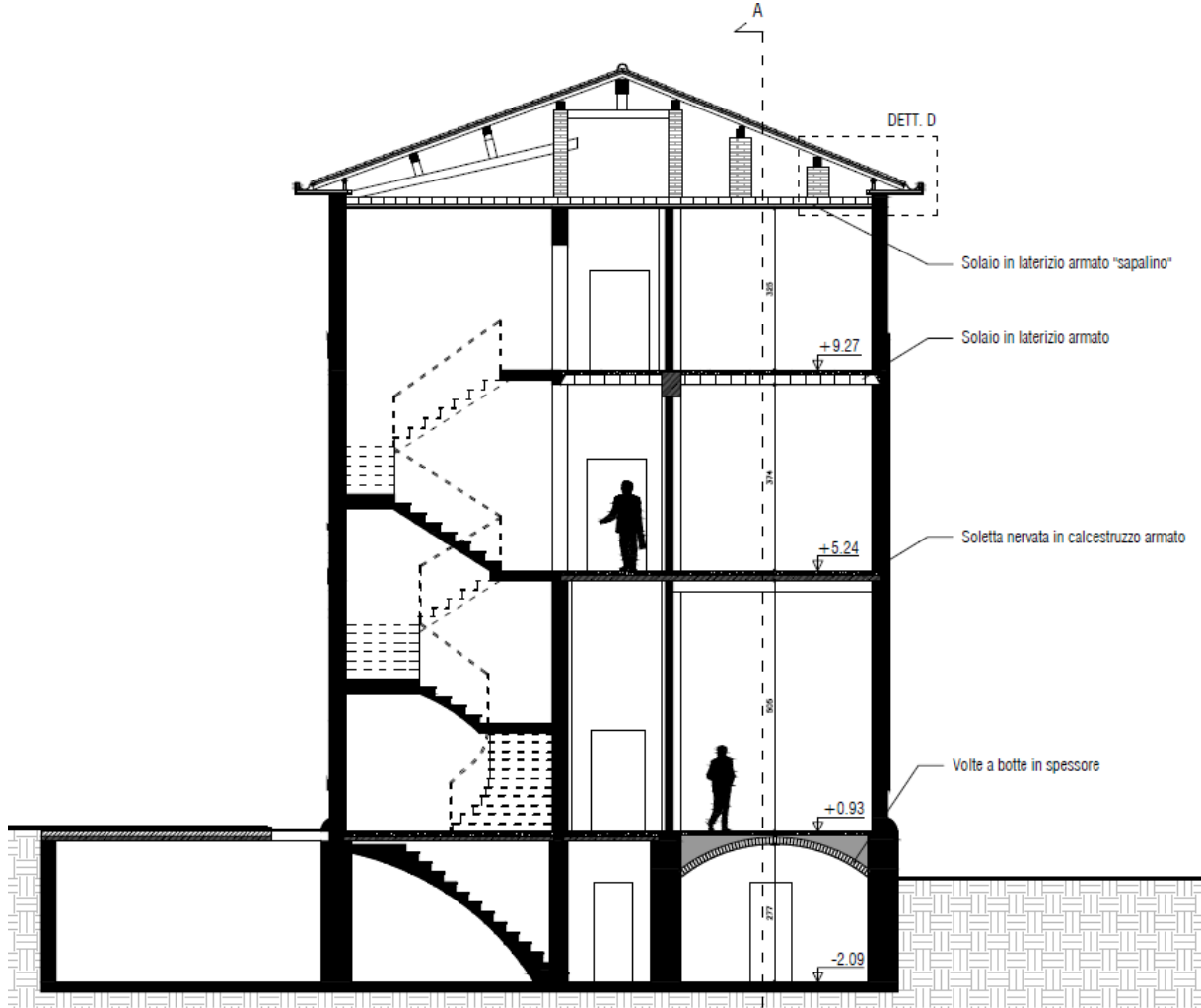


Figura 10 - Sezione trasversale

MURATURE:

La struttura è in muratura portante in laterizio del tipo bolognese (28x13.5x5.5 cm) in uso nella città fino all'introduzione dei laterizi standardizzati UNI. La muratura presenta una buona tessitura muraria, con l'alternanza di mattoni di testa e di lista, quindi con una presenza omogena di diatoni. Anche i giunti verticali di malta presentano un corretto sfalsamento.

Lo spessore è pari a due teste (28 cm) per tutta l'elevazione; al piano seminterrato, lo spessore è più elevato, pari a 45 - 60 cm, per contrastare le spinte delle volte a botte che devono sostenere, le quali non sono dotate di catene.



AREA EDILIZIA E LOGISTICA

PRIMO ORIZZONTAMENTO – PIANO SEMINTERRATO

Al piano seminterrato, l'orizzontamento è costituito da volte a botte portanti in laterizio, che gravano su pareti di spessore più consistente. Come visibile dalla precedente sezione, l'imposta delle volte si trova in prossimità della quota esterna del terreno, il quale contribuisce a contenerne le spinte verso l'esterno.

La conformazione del piano seminterrato, adibito esclusivamente a depositi, non è stata alterata nel tempo, conservando un buon comportamento strutturale.

Le volte non mostrano alcun segno di sofferenza e nessuna lesione.

SECONDO ORIZZONTAMENTO – PIANO TERRA

I saggi demolitivi effettuati nel solaio tra piano terra e piano primo hanno consentito di rilevare la presenza di una soletta in calcestruzzo armato dello spessore di 10 cm che poggia su travi ricalate, anch'esse in calcestruzzo armato. Tutto il solaio di questo livello è così costituito.



Figura 11 - Immagini dell'intradosso della soletta in c.a.

TERZO ORIZZONTAMENTO – PIANO PRIMO

Il solaio di separazione tra piano primo e secondo è stato realizzato in occasione della sopraelevazione dell'edificio, trattandosi in precedenza di una semplice soffittatura, come desunto per analogia con l'edificio "gemello" di San Giacomo 11.

Dalla documentazione relativa a prove di carico effettuate nel marzo 2013, si evince che il solaio in oggetto è in latero-cemento, con superiore caldana in calcestruzzo non armata.

QUARTO ORIZZONTAMENTO – SOTTOTETTO

Anch'esso costruito in occasione della sopraelevazione dell'edificio, è realizzato mediante la tecnica costruttiva più in uso negli anni '50 per le soffittature, ossia con orditure del tipo SAPAL; nello specifico,



AREA EDILIZIA E LOGISTICA

questa tipologia era denominata SAPALINO, e costituita da travi SAPAL (analoghe alle SAP ma più alte, che venivano tra loro distanziate) con interposti tavelloni laterizi all'interasse di 70-120 cm.

Il solaio così realizzato non era praticabile, infatti il sottotetto risulta accessibile per sola manutenzione da una botola posta nel vano scala.



Figura 12 - Immagini del solaio del sottotetto

COPERTURA

La copertura a padiglione è interamente costituita ad orditure in legno, completata da tavelle in laterizio e soprastante manto di copertura in tegole marsigliesi.

Anch'essa ha subito un completo rifacimento in occasione della sopraelevazione, ma dallo stato di conservazione attuale si può dedurre come le orditure principali siano state conservate e rimontate alla nuova quota, mentre siano state sostituite tutte le orditure secondarie che sostengono le tavelle.

La condizione attuale della copertura è molto precaria ed irregolare.

Le orditure infatti poggiano principalmente su pilastrini in laterizio, collocati ove necessario per sostenerle e senza una precisa logica costruttiva. Vi sono inoltre numerosi elementi spingenti senza alcun trattenimento, che generano azioni orizzontali sulle facciate ed il cui effetto inizia ad evidenziarsi anche esteriormente.

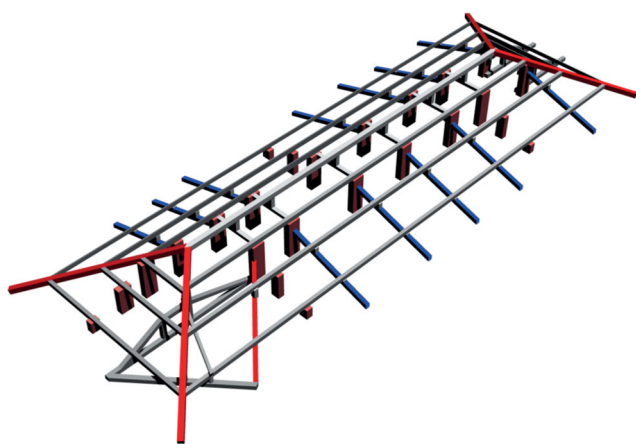


Figura 13 - Restituzione 3D della copertura



AREA EDILIZIA E LOGISTICA

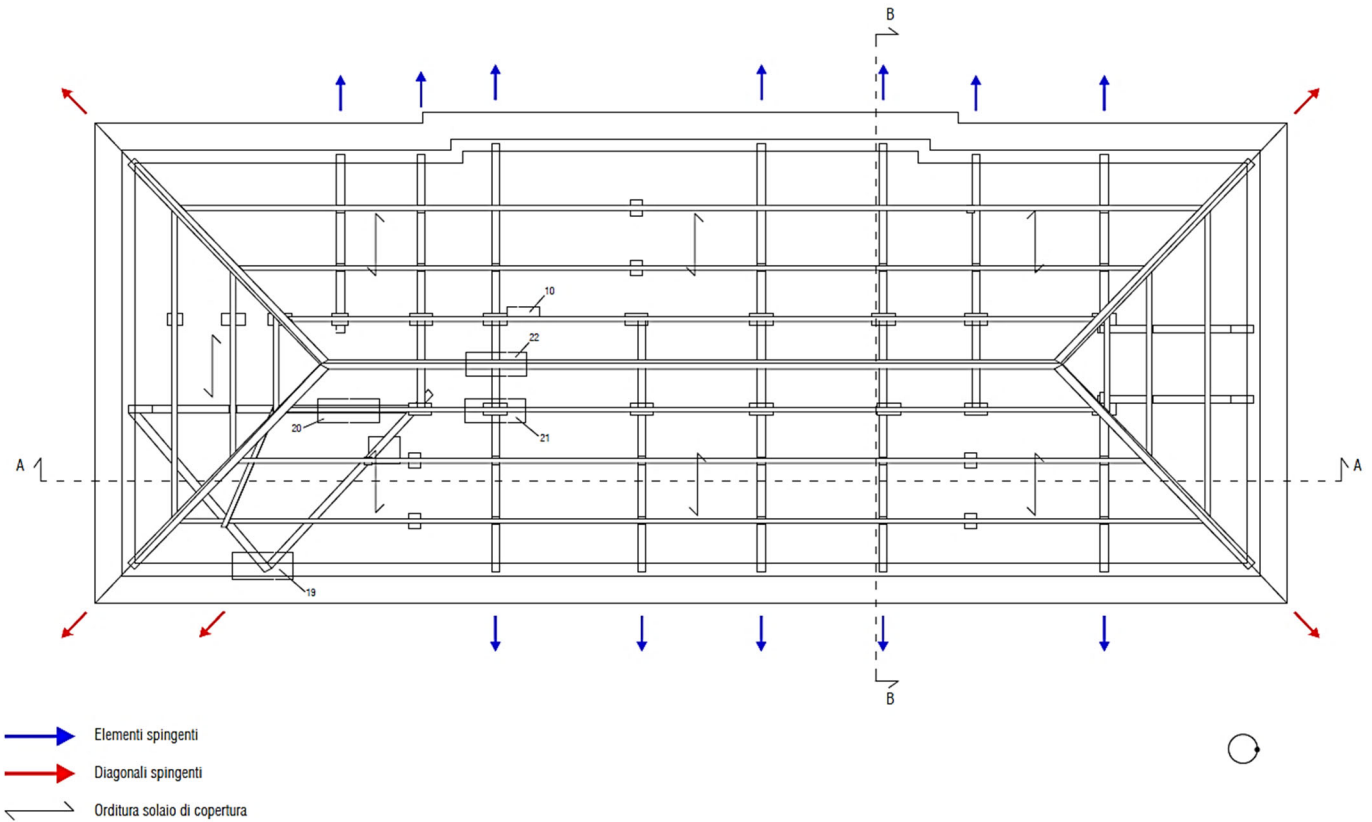


Figura 14 - Ricostruzione dello stato attuale della copertura

Rilievo del quadro fessurativo e/o di degrado

Per quanto riguarda gli elementi strutturali non è stato rilevato alcun quadro fessurativo significativo, presente invece su alcune pareti di tamponamento senza funzione strutturale.

Si segnalano numerosi distacchi di intonaco che interessano le facciate esterne delle pareti perimetrali che espongono le stesse agli agenti atmosferici e quindi ad un degrado accelerato.

5. Individuazione delle vulnerabilità

La conformazione originaria dell'edificio era quella di un tipico edificio in muratura realizzato all'inizio del Novecento: murature di buona fattura e qualità, solaio a soletta in calcestruzzo armato, copertura in legno.

La regolare distribuzione delle strutture verticali, che delimitava ambienti di dimensioni relativamente contenute, garantiva un buon comportamento scatolare anche in termini di resistenza alle azioni orizzontali, pur se non previste allora in fase di progettazione.



AREA EDILIZIA E LOGISTICA

MASCHI MURARI



Figura 15 - Identificazione dei maschi murari

La disposizione, poi di aperture sui fronti esterni, di dimensioni contenute e ben allineate garantiva la corretta distribuzione delle sollecitazioni attraverso i maschi murari.

Le trasformazioni avvenute nel tempo hanno in parte compromesso la buona concezione costruttiva originaria. Per esempio, alcune piccole aperture realizzate nel corso della vita dell'edificio per questioni di carattere distributivo, hanno interrotto la continuità dei maschi murari, spesso dimezzandone l'efficacia.

Analogamente all'interno, la demolizione di buona parte delle murature trasversali ha reso meno efficace la scatolarità delle celle murarie, creando si ambienti più grandi per le esigenze degli utenti, ma diminuendo drasticamente la struttura resistente alle azioni orizzontali.

La trasformazione antropica certamente più invasiva è stata la sopraelevazione, che porta con sé una serie di vulnerabilità che si ritiene necessario sanare nel corso del progetto di miglioramento sismico.

Innanzitutto, la conformazione della copertura, la cui principale criticità è costituita dalla presenza di numerosi elementi spingenti sulle murature d'ambito, tra cui i cosciali d'angolo ed i numerosi falsi puntoni sorretti da appoggi labili quali i pilastrini in laterizio che li sostengono; inoltre, innumerevoli sono le soluzioni particolarmente vulnerabili alle azioni orizzontali, quali gli appoggi della trave di colmo e le numerose zeppe per le orditure di travi.



AREA EDILIZIA E LOGISTICA

Tali spinte potrebbero innescare meccanismi di ribaltamento delle facciate, che saranno nel seguito valutati.

I segni evidenti di questa condizione di sofferenza della zona della copertura sono identificabili nei cantonali d'angolo, in corrispondenza dei cornicioni, ove sono visibili leggeri spostamenti subiti dagli stessi.



Figura 16 - Danneggiamenti dei cornicioni

Altro elemento di vulnerabilità in ambito sismico è la scarsa rigidezza della copertura e dei solai realizzati in latero-cemento negli anni '50, i quali non presentano alcuna caratteristica tale da renderli un collegamento sufficientemente rigido tra le pareti portanti. Essi non riescono quindi ad assolvere pienamente al funzionamento a diaframma per ripartire le azioni ai muri di controventamento.

Dopo una opportuna valutazione delle condizioni di sicurezza allo stato attuale, che sarà nel seguito illustrata, il progetto sarà volto quindi a contenere le suddette vulnerabilità, mediante i seguenti interventi, che saranno compitamente descritti nell'apposita relazione:

- sostituzione completa della copertura
- sostituzione del solaio del sottotetto
- consolidamento del solaio intermedio in latero-cemento tipo SAP
- rinforzo delle pareti trasversali
- creazione di nuove pareti con funzione strutturale
- riparazione delle lesioni mediante tecnica scuci-cuci in laterizio.



AREA EDILIZIA E LOGISTICA

6. Indagini conoscitive

Nel 2014-2015 è stata eseguita sull'edificio una serie di indagini specialistiche volte a comprendere le proprietà meccaniche dei materiali strutturali, le quali sono state utilizzate nella fase di valutazione della risposta dell'edificio mediante modellazione con software dedicato.

Nell'ambito di questa campagna di indagini sono stati eseguiti n. 8 saggi demolitivi sui maschi murari per valutarne l'effettiva tessitura e l'ammorsamento tra pareti ortogonali, n.1 prova di scorrimento su giunto di malta, n. 4 prelievi di campioni di malta e laterizi da pareti portanti finalizzato alla valutazione delle proprietà meccaniche, prelievo di carote in muratura per la valutazione della resistenza a taglio.

L'esito di tali indagini viene fornito in allegato. Si sintetizzano qui le principali evidenze.

Gli esiti dei saggi evidenziano, tra l'altro:

1. la presenza di cordoli di piano in corrispondenza del solaio a soletta in cemento armato (l'unico originale, oltre alle volte del seminterrato) sulle murature in mattoni pieni e malta di calce
2. un buon ammorsamento tra le pareti ortogonali
3. lesene costituite anch'esse da muratura in laterizi pieni.

Eseguite le prove di scorrimento su giunto di malta e le prove di resistenza dei materiali, in accordo con quanto previsto dall' Eurocodice 6 del 2002, sulla base dei risultati ottenuti dai singoli materiali, resistenza a compressione media della malta e resistenza a compressione media dei laterizi, è stata stimata indirettamente la resistenza a compressione caratteristica f_k della muratura attraverso la seguente formula:

$$f_k = 5,77 \text{ MPa}$$

In accordo con il sopracitato Eurocodice 6, il modulo di elasticità normale secante della muratura E , può essere assunto sulla base del valore di resistenza a compressione caratteristica come:

$$E = 1000 \cdot f_{ck,mur} = 5771 \text{ MPa.}$$

Tali valori tuttavia risultano essere notevolmente superiori rispetto ai valori forniti dalla Circolare n° 7 del 21 gennaio 2019 nella Tabella C8.5.I, alla voce "muratura in mattoni pieni e malta di calce".

Si assumono quindi per la verifica i valori medi di tale tabella moltiplicati per il coefficiente correttivo "connessione trasversale" di Tabella C8.5.II, presente sempre all'interno della Circolare n° 7 del 21 gennaio 2019.

Si ottengono quindi i seguenti valori:

- Resistenza a compressione della muratura: $f_{kM} = (2,6 + 4,3)/2 \cdot 1,3 = 4,49 \text{ MPa}$
- Modulo di elasticità normale: $E = (1200 + 1800)/2 = 1500 \text{ MPa}$
- Resistenza a taglio: $f_{vM0} = (0,13 + 0,27)/2 \cdot 1,3 = 0,26 \text{ MPa}$



AREA EDILIZIA E LOGISTICA

Per quanto inerente alle fondazioni, si sottolinea che non sussistono le condizioni per le quali la verifica del sistema di fondazione è obbligatoria, secondo quanto prescritto dal DM2018 e dalla CM07:

- nella costruzione siano presenti importanti dissesti attribuibili a cedimenti delle fondazioni o dissesti della stessa natura si siano prodotti nel passato: **NON VI SONO DISSESTI ATTRIBUIBILI ALLA FONDAZIONI, E NON VI SONO STATI IN PASSATO;**
- siano possibili fenomeni di ribaltamento e/o scorrimento della costruzione per effetto: di condizioni morfologiche sfavorevoli, di modificazioni apportate al profilo del terreno in prossimità delle fondazioni, delle azioni sismiche di progetto: **L'EDIFICIO PRESENTA UN PIANI INTERRATO, CHE SI OPPONE A FENOMENI DI RIBALTAMENTO E/O SCORRIMENTO GLOBALE DELL'EDIFICIO; INOLTRE, IL TERRNEO CIRCOSTANTE E' PIANEGGIANTE E NON SARANNO APPORTATE MODIFICAZIONI DEL PROFILO.**
- siano possibili fenomeni di liquefazione del terreno di fondazione dovuti alle azioni sismiche di progetto. **FENOMENI DI LIQUEFAZIONE DEL TERRENO SOSNO STATI GIA' ESCLUSI GRAZIE A INDAGINI GEOLOGICHE E GEOTECNICHE CONDOTTE IN EDIFICI ADIACENTI.**



AREA EDILIZIA E LOGISTICA

PARTE II

1. Premessa

La valutazione della sicurezza del complesso in esame nei confronti dei carichi sismici è stata condotta sulla base delle prescrizioni fornite dal D.M. 17/01/2018, dalla Circolare Ministeriale di applicazione del D.M. 2018 n. 617 del 21/01/2019 e dalla OPCM 3274 in merito al caso di edifici esistenti in muratura.

La valutazione della sicurezza degli edifici esistenti comporta valutazioni necessariamente differenziate rispetto a quanto previsto per edifici di nuova progettazione. Ciò comporta lo sviluppo di una apposita campagna conoscitiva in relazione alle caratteristiche geometriche e meccaniche della costruzione e l'utilizzo di adeguati fattori di confidenza nelle verifiche di sicurezza e nei metodi di analisi dipendenti dalla completezza e dall'affidabilità delle informazioni disponibili.

Nel caso in esame non è stato possibile rintracciare alcuna documentazione progettuale inerente alla struttura del fabbricato, pertanto la conoscenza delle strutture verticali e orizzontali è stata affidata esclusivamente alla campagna di indagini effettuata. Tutto ciò concorre a definire un livello di conoscenza dell'opera classificato come LC1 (Conoscenza Limitata).

In particolare:

- la geometria degli elementi portanti risultava nota in base al rilievo architettonico e al rilievo strutturale effettuato in situ;
- le caratteristiche meccaniche dei materiali che caratterizzano le membrature portanti sono ottenute a partire dai valori indicati dalla normativa (vedi tabella C8A.2.1) adottando inoltre, un fattore di confidenza pari a 1.35 (corrispondente al livello di conoscenza LC1) e un coefficiente di sicurezza sul materiale muratura pari a $\gamma_m = 3$ per carichi verticali e $\gamma_m = 2.4$ per carichi sismici.

2. Pericolosità sismica del sito

Le mappe di pericolosità sismica comprese nelle normative italiane consentono l'identificazione, per il sito in esame, delle accelerazioni sismiche (orizzontali e verticali) corrispondenti a prefissate probabilità di superamento nell'arco temporale di riferimento.

Il complesso edilizio in esame può essere classificato come costruzione di Tipo 2 (opere ordinarie) e di Classe d'uso III (Costruzioni il cui uso preveda affollamenti significativi). Per gli edifici di Tipo 2 e Classe III è possibile definire una vita nominale $V_N = 50$ anni, ed un coefficiente d'uso $C_U = 1.5$.

A questi valori corrisponde un periodo di riferimento per l'azione sismica pari a:

$$V_R = V_N \times C_U = 75 \text{ anni}$$

I parametri sismici che consentono di definire l'azione sismica di progetto per il sito in esame sono di seguito riportati:



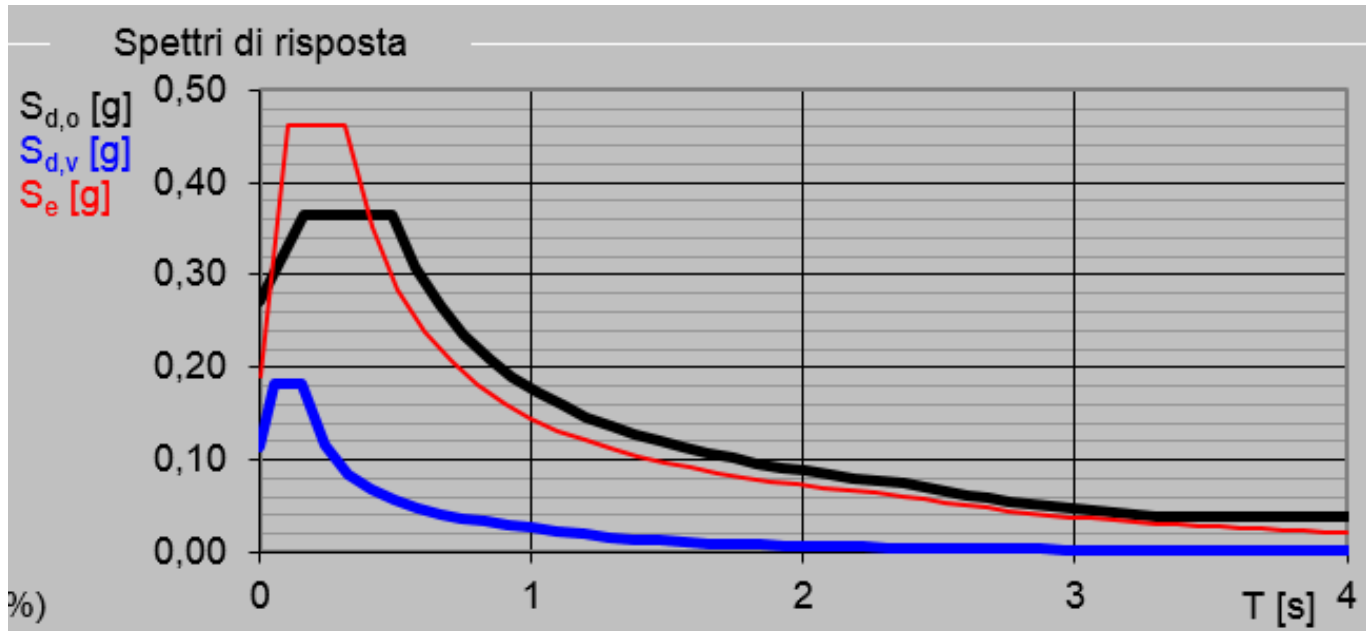
AREA EDILIZIA E LOGISTICA

| DATI GENERALI DI STRUTTURA | | | |
|---|---------------|-----------------------------|------------|
| DATI GENERALI DI STRUTTURA | | | |
| Massima dimens. dir. X (m) | 28,89 | Altezza edificio (m) | 15,84 |
| Massima dimens. dir. Y (m) | 10,91 | Differenza temperatura(°C) | 15 |
| PARAMETRI SISMICI | | | |
| Vita Nominale (Anni) | 50 | Classe d' Uso | III Cu=1,5 |
| Longitudine Est (Grd) | 11,35601 | Latitudine Nord (Grd) | 44,49695 |
| Categoria Suolo | C | Coeff. Condiz. Topogr. | 1,00000 |
| Sistema Costruttivo Dir.1 | Muratura | Sistema Costruttivo Dir.2 | Muratura |
| Regolarita' in Altezza | NO(KR=.8) | Regolarita' in Pianta | NO |
| Direzione Sisma (Grd) | 0 | Sisma Verticale | ASSENTE |
| Effetti P/Delta | NO | Quota di Zero Sismico (m) | 3,00000 |
| Tipo Intervento | MIGLIORAMENTO | Tipo Analisi Sismica | PUSH-OVER |
| Livello Sicurezza Min. (%) | 100 | | |
| PARAMETRI SPETTRO ELASTICO - SISMA S.L.O. | | | |
| Probabilita' Pvr | 0,81 | Periodo di Ritorno Anni | 45,00 |
| Accelerazione Ag/g | 0,06 | Periodo T'c (sec.) | 0,27 |
| Fo | 2,48 | Fv | 0,85 |
| Fattore Stratigrafia'Ss' | 1,50 | Periodo TB (sec.) | 0,14 |
| Periodo TC (sec.) | 0,43 | Periodo TD (sec.) | 1,86 |
| PARAMETRI SPETTRO ELASTICO - SISMA S.L.D. | | | |
| Probabilita' Pvr | 0,63 | Periodo di Ritorno Anni | 75,00 |
| Accelerazione Ag/g | 0,08 | Periodo T'c (sec.) | 0,28 |
| Fo | 2,48 | Fv | 0,94 |
| Fattore Stratigrafia'Ss' | 1,50 | Periodo TB (sec.) | 0,15 |
| Periodo TC (sec.) | 0,45 | Periodo TD (sec.) | 1,92 |
| PARAMETRI SPETTRO ELASTICO - SISMA S.L.V. | | | |
| Probabilita' Pvr | 0,10 | Periodo di Ritorno Anni | 712,00 |
| Accelerazione Ag/g | 0,19 | Periodo T'c (sec.) | 0,31 |
| Fo | 2,42 | Fv | 1,43 |
| Fattore Stratigrafia'Ss' | 1,42 | Periodo TB (sec.) | 0,16 |
| Periodo TC (sec.) | 0,48 | Periodo TD (sec.) | 2,36 |
| PARAMETRI SPETTRO ELASTICO - SISMA S.L.C. | | | |
| Probabilita' Pvr | 0,05 | Periodo di Ritorno Anni | 1462,00 |
| Accelerazione Ag/g | 0,24 | Periodo T'c (sec.) | 0,32 |
| Fo | 2,44 | Fv | 1,62 |
| Fattore Stratigrafia'Ss' | 1,35 | Periodo TB (sec.) | 0,16 |
| Periodo TC (sec.) | 0,49 | Periodo TD (sec.) | 2,56 |
| PARAMETRI SISTEMA COSTRUTTIVO MURATURA - D I R. 1 | | | |
| Sistema Strutturale | Ordinaria | AlfaU/Alfa1 | 1,70 |
| Fattore di comportam 'q' | 1,89 | | |
| PARAMETRI SISTEMA COSTRUTTIVO MURATURA - D I R. 2 | | | |
| Sistema Strutturale | Ordinaria | AlfaU/Alfa1 | 1,70 |
| Fattore di comportam 'q' | 1,89 | | |
| COEFFICIENTI DI SICUREZZA PARZIALI DEI MATERIALI | | | |
| Acciaio per CLS armato | 1,15 | Calcestruzzo CLS armato | 1,50 |
| Muratura azioni sismiche | 2,40 | Muratura azioni statiche | 2,00 |
| Legno per comb. eccez. | 1,00 | Legno per comb. fondament.: | 1,30 |
| Livello conoscenza | LC1 | | |



AREA EDILIZIA E LOGISTICA

In figura seguente si riporta lo spettro di risposta elastico da Normativa (D.M.14/01/2008) allo SLV.



3. Le azioni sollecitanti

La valutazione della sicurezza alle azioni sismiche e le relative verifiche sono state condotte con specifico riferimento alle azioni sismiche di progetto previste dalle vigenti normative, con riferimento allo Stato Limite di Salvaguardia della Vita (SLV) corrispondente a danni importanti negli elementi strutturali.

Destinazione d'uso e sovraccarichi per le azioni antropiche

Per la determinazione dell'entità e della distribuzione spaziale e temporale dei sovraccarichi variabili si farà riferimento alla tabella del D.M. 17/01/2018 in funzione della destinazione d'uso.

I carichi variabili comprendono i carichi legati alla destinazione d'uso dell'opera; i modelli di tali azioni possono essere costituiti da:

- carichi verticali uniformemente distribuiti q_k [kN/m²]
- carichi verticali concentrati Q_k [kN]
- carichi orizzontali lineari H_k [kN/m]



AREA EDILIZIA E LOGISTICA

| Categ. | Ambienti | q_k [kN/m ²] | Q_k [kN] | H_k [kN/m] |
|--------|---|---|--------------------------------------|--------------------------------------|
| A | Ambienti ad uso residenziale Aree per attività domestiche e residenziali; sono compresi in questa categoria i locali di abitazione e relativi servizi, gli alberghi (ad esclusione delle aree soggette ad affollamento), camere di degenza di ospedali Scale comuni, balconi, ballatoi | 2,00 | 2,00 | 1,00 |
| | | 4,00 | 4,00 | 2,00 |
| B | Uffici Cat. B1 – Uffici non aperti al pubblico Cat. B2 – Uffici aperti al pubblico Scale comuni, balconi, ballatoi | 2,00 3,00 4,00 | 2,00 2,00 4,00 | 1,00 1,00 2,00 |
| | | | | |
| C | Ambienti suscettibili di affollamento Cat. C1 Aree con tavoli, quali scuole, caffè, ristoranti, sale per banchetti, lettura e ricevimento Cat. C2 Aree con posti a sedere fissi, quali chiese, teatri, cinema, sale per conferenze e attesa, aule universitarie e aule magne Cat. C3 Ambienti privi di ostacoli al movimento delle persone, quali musei, sale per esposizioni, aree d'accesso a uffici, ad alberghi e ospedali, ad atrii di stazioni ferroviarie Cat. C4. Aree con possibile svolgimento di attività fisiche, quali sale da ballo, palestre, palcoscenici Cat. C5. Aree suscettibili di grandi affollamenti, quali edifici per eventi pubblici, sale da concerto, palazzetti per lo sport e relative tribune, gradinate e piattaforme ferroviarie | 3,00 4,00 5,00 5,00 5,00 | 3,00 4,00 5,00 5,00 5,00 | 1,00 2,00 3,00 3,00 3,00 |
| | Scale comuni, balconi, ballatoi | Secondo categoria d'uso servita, con le seguenti limitazioni | | |
| | | ≥4,00 | ≥4,00 | ≥2,00 |
| | | | | |
| | Ambienti ad uso commerciale Cat. D1 Negozi Cat. D2 Centri commerciali, mercati, grandi magazzini Scale comuni, balconi, ballatoi | 4,00 5,00 | 4,00 5,00 | 2,00 2,00 |
| | | | | Secondo categoria d'uso servita |
| E | Arese per immagazzinamento e uso commerciale ed uso industriale Cat. E1 Aree per accumulo di merci e relative aree d'accesso, quali biblioteche, archivi, magazzini, depositi, laboratori manifatturieri Cat. E2 Ambienti ad uso industriale | ≥ 6,00 | 7,00 | 1,00* |
| | | | | da valutarsi caso per caso |
| F – G | Rimesse e aree per traffico di veicoli (esclusi i ponti) Cat. F Rimesse, aree per traffico, parcheggio e sosta di veicoli leggeri (peso a pieno carico fino a 30 kN) Cat. G Aree per traffico e parcheggio di veicoli medi (peso a pieno carico compreso fra 30 kN e 160 kN), quali rampe d'accesso, zone di carico e scarico merci | 2,50 da valutarsi caso per caso e comunque non minori di | 2 x 10,00 5,00 | 1,00** 1,00** |
| | | | | |
| | | | | |
| H-I-K | Coperture Cat. H Coperture accessibili per sola manutenzione e riparazione Cat. I Coperture praticabili di ambienti di categoria d'uso compresa fra A e D Cat. K Coperture per usi speciali, quali impianti, eliporti | 0,50 secondo categoria di appartenenza da valutarsi caso per caso | 1,20 | 1,00 |
| | | | | |
| | | | | |

* non comprende le azioni orizzontali eventualmente esercitate dai materiali immagazzinati.

** per i soli parapetti o partizioni nelle zone pedonali. Le azioni sulle barriere esercitate dagli automezzi dovranno essere valutate caso per caso



AREA EDILIZIA E LOGISTICA

I valori nominali e/o caratteristici q_k , Q_k ed H_k di riferimento sono riportati nella Tab. 3.1.II. delle N.T.C. 2018. In presenza di carichi verticali concentrati Q_k essi sono stati applicati su impronte di carico appropriate all'utilizzo ed alla forma dello orizzontamento.

Azioni dovute al vento

Sono state trascurate nel calcolo poiché tali azioni hanno valenza significativa in caso di strutture di elevata snellezza e con determinate caratteristiche tipologiche, come ad esempio le strutture in acciaio. Si ritengono ininfluenti per l'edificio in oggetto.

Azioni dovute alla temperatura

Sono state trascurate nel calcolo poiché si ritengono ininfluenti per l'edificio in oggetto.

Neve

Il carico provocato dalla neve sulle coperture è stato valutato mediante la seguente espressione di normativa:

$$q_s = \mu_i \cdot q_{sk} \cdot C_E \cdot C_t$$

in cui si ha:

q_s = carico neve sulla copertura;

μ_i = coefficiente di forma della copertura, fornito al (Cfr. § 3.4.3);

q_{sk} = valore caratteristico di riferimento del carico neve al suolo [kN/m²], fornito al (Cfr. § 3.4.2) delle N.T.C. 2018 per un periodo di ritorno di 50 anni;

C_E = coefficiente di esposizione di cui al (Cfr. § 3.4.4);

C_t = coefficiente termico di cui al (Cfr. § 3.4.5).

Per l'area in cui è collocato l'edificio, tale valore risulta:

$$q_s = 1.2 \text{ kN/mq}$$

4. Combinazioni di calcolo

Le combinazioni di calcolo considerate sono quelle previste dal DM2018 per i vari stati limite e per le varie azioni e tipologie costruttive.

In particolare, ai fini delle verifiche degli stati limite si definiscono le seguenti combinazioni delle azioni per cui si rimanda al § 2.5.3 del DM2018. Queste sono:

- Combinazione fondamentale, generalmente impiegata per gli stati limite ultimi (S.L.U.) (2.5.1);



AREA EDILIZIA E LOGISTICA

- Combinazione caratteristica (rara), generalmente impiegata per gli stati limite di esercizio (S.L.E.) irreversibili, da utilizzarsi nelle verifiche alle tensioni ammissibili di cui al § 2.7 (2.5.2);
- Combinazione frequente, generalmente impiegata per gli stati limite di esercizio (S.L.E.) reversibili (2.5.3);
- Combinazione quasi permanente (S.L.E.), generalmente impiegata per gli effetti a lungo termine (2.5.4);
- Combinazione sismica, impiegata per gli stati limite ultimi e di esercizio connessi all'azione sismica E (v. § 3.2 form. 2.5.5);
- Combinazione eccezionale, impiegata per gli stati limite ultimi connessi alle azioni eccezionali di progetto Ad (v. § 3.6 form. 2.5.6).

Nelle combinazioni per S.L.E., si intende che vengono omessi i carichi Q_{kj} che danno un contributo favorevole ai fini delle verifiche e, se del caso, i carichi G_2 .

Altre combinazioni sono da considerare in funzione di specifici aspetti (p. es. fatica, ecc.). Nelle formule sopra riportate il simbolo + vuol dire “combinato con”.

I valori dei coefficienti parziali di sicurezza sono dati in § 2.6.1, Tab. 2.6.I.

Nel caso delle costruzioni civili e industriali le verifiche agli stati limite ultimi o di esercizio devono essere effettuate per la combinazione dell'azione sismica con le altre azioni già fornita in § 2.5.3 form. 3.2.16 delle N.T.C. 2018.

Gli effetti dell'azione sismica saranno valutati tenendo conto delle masse associate ai carichi gravitazionali (form. 3.2.17).

Combinazioni delle azioni sulla costruzione

Le azioni definite come al § 2.5.1 delle N.T.C. 2018 sono state combinate in accordo a quanto definito al § 2.5.3. applicando i coefficienti di combinazione come di seguito definiti:

| Categoria/Azione variabile | ψ_0 | ψ | ψ |
|---|----------|--------|--------|
| Categoria A Ambienti ad uso residenziale | 0,7 | 0,5 | 0,3 |
| Categoria B Uffici | 0,7 | 0,5 | 0,3 |
| Categoria C Ambienti suscettibili di affollamento | 0,7 | 0,7 | 0,6 |
| Categoria D Ambienti ad uso commerciale | 0,7 | 0,7 | 0,6 |
| Categoria E Biblioteche, archivi, magazzini e ambienti ad uso industriale | 1,0 | 0,9 | 0,8 |
| Categoria F Rimesse e parcheggi (per autoveicoli di peso ≤ 30 kN) | 0,7 | 0,7 | 0,6 |
| Categoria G Rimesse e parcheggi (per autoveicoli di peso > 30 kN) | 0,7 | 0,5 | 0,3 |
| Categoria H Coperture | 0,0 | 0,0 | 0,0 |
| Vento | 0,6 | 0,2 | 0,0 |
| Neve (a quota ≤ 1000 m s.l.m.) | 0,5 | 0,2 | 0,0 |
| Neve (a quota > 1000 m s.l.m.) | 0,7 | 0,5 | 0,2 |
| Variazioni termiche | 0,6 | 0,5 | 0,0 |



AREA EDILIZIA E LOGISTICA

I valori dei coefficienti parziali di sicurezza γ_{Gi} e γ_{Qj} utilizzati nelle calcolazioni sono dati nelle N.T.C. 2018 in § 2.6.1, Tab. 2.6.I.

Di seguito, le combinazioni di carico tenute in conto nella modellazione.

| DESCRIZIONI | COMBINAZIONI CARICHI A1 - S.L.V. / S.L.D. - Teta = .12 : Moltip. = 1.14 | | | | | | | | | | | | | | |
|----------------------|--|------|------|------|------|------|------|------|------|------|------|------|------|------|-------|
| | 1 | 2 | 3 | 4 | 5 | 6 | 7 | 8 | 9 | 10 | 11 | 12 | 13 | 14 | 15 |
| Peso Strutturale | 1,30 | 1,30 | 1,00 | 1,00 | 1,00 | 1,00 | 1,00 | 1,00 | 1,00 | 1,00 | 1,00 | 1,00 | 1,00 | 1,00 | 1,00 |
| Perm.Non Strutturale | 1,50 | 1,50 | 1,00 | 1,00 | 1,00 | 1,00 | 1,00 | 1,00 | 1,00 | 1,00 | 1,00 | 1,00 | 1,00 | 1,00 | 1,00 |
| Var.Uffici | 1,50 | 1,05 | 0,30 | 0,30 | 0,30 | 0,30 | 0,30 | 0,30 | 0,30 | 0,30 | 0,30 | 0,30 | 0,30 | 0,30 | 0,30 |
| Var.Amb.affol. | 1,50 | 1,05 | 0,60 | 0,60 | 0,60 | 0,60 | 0,60 | 0,60 | 0,60 | 0,60 | 0,60 | 0,60 | 0,60 | 0,60 | 0,60 |
| Var.Neve h<=1000 | 0,75 | 1,50 | 0,00 | 0,00 | 0,00 | 0,00 | 0,00 | 0,00 | 0,00 | 0,00 | 0,00 | 0,00 | 0,00 | 0,00 | 0,00 |
| Var.Coperture | 1,50 | 0,00 | 0,00 | 0,00 | 0,00 | 0,00 | 0,00 | 0,00 | 0,00 | 0,00 | 0,00 | 0,00 | 0,00 | 0,00 | 0,00 |
| Corr. Tors. dir. 0 | 0,00 | 0,00 | 1,14 | 1,14 | 1,14 | 1,14 | 1,14 | 1,14 | 1,14 | 1,14 | 1,14 | 1,14 | 1,14 | 1,14 | -1,14 |
| Corr. Tors. dir. 90 | 0,00 | 0,00 | 0,34 | 0,34 | 0,34 | 0,34 | 0,34 | 0,34 | 0,34 | 0,34 | 0,34 | 0,34 | 0,34 | 0,34 | -0,34 |
| Sisma direz. grd 0 | 0,00 | 0,00 | 1,14 | 1,14 | 1,14 | 1,14 | 1,14 | 1,14 | 1,14 | 1,14 | 1,14 | 1,14 | 1,14 | 1,14 | -1,14 |
| Sisma direz. grd 90 | 0,00 | 0,00 | 0,34 | 0,34 | 0,34 | 0,34 | 0,34 | 0,34 | 0,34 | 0,34 | 0,34 | 0,34 | 0,34 | 0,34 | -0,34 |

| DESCRIZIONI | COMBINAZIONI CARICHI A1 - S.L.V. / S.L.D. - Teta = .12 : Moltip. = 1.14 | | | | | | | | | | | | | | |
|----------------------|--|------|------|------|------|------|------|------|------|------|------|------|------|------|-------|
| | 16 | 17 | 18 | 19 | 20 | 21 | 22 | 23 | 24 | 25 | 26 | 27 | 28 | 29 | 30 |
| Peso Strutturale | 1,00 | 1,00 | 1,00 | 1,00 | 1,00 | 1,00 | 1,00 | 1,00 | 1,00 | 1,00 | 1,00 | 1,00 | 1,00 | 1,00 | 1,00 |
| Perm.Non Strutturale | 1,00 | 1,00 | 1,00 | 1,00 | 1,00 | 1,00 | 1,00 | 1,00 | 1,00 | 1,00 | 1,00 | 1,00 | 1,00 | 1,00 | 1,00 |
| Var.Uffici | 1,00 | 1,00 | 0,30 | 0,30 | 0,30 | 0,30 | 0,30 | 0,30 | 0,30 | 0,30 | 0,30 | 0,30 | 0,30 | 0,30 | 0,30 |
| Var.Amb.affol. | 0,30 | 0,30 | 0,30 | 0,30 | 0,30 | 0,30 | 0,30 | 0,30 | 0,30 | 0,30 | 0,30 | 0,30 | 0,30 | 0,30 | 0,30 |
| Var.Neve h<=1000 | 0,60 | 0,60 | 0,60 | 0,60 | 0,60 | 0,60 | 0,60 | 0,60 | 0,60 | 0,60 | 0,60 | 0,60 | 0,60 | 0,60 | 0,60 |
| Var.Coperture | 0,00 | 0,00 | 0,00 | 0,00 | 0,00 | 0,00 | 0,00 | 0,00 | 0,00 | 0,00 | 0,00 | 0,00 | 0,00 | 0,00 | 0,00 |
| Corr. Tors. dir. 0 | - | - | - | - | - | - | - | - | - | - | - | - | - | - | 0,34 |
| Corr. Tors. dir. 90 | 1,14 | 1,14 | 1,14 | 0,34 | 0,34 | 0,34 | 0,34 | 0,34 | 0,34 | 0,34 | 0,34 | 0,34 | 0,34 | 0,34 | -1,14 |
| Sisma direz. grd 0 | 0,34 | 0,34 | 0,34 | 1,14 | 1,14 | 1,14 | 1,14 | 1,14 | 1,14 | 1,14 | 1,14 | 1,14 | 1,14 | 1,14 | -0,34 |
| Sisma direz. grd 90 | 1,14 | 1,14 | 1,14 | 0,34 | 0,34 | 0,34 | 0,34 | 0,34 | 0,34 | 0,34 | 0,34 | 0,34 | 0,34 | 0,34 | 1,14 |

| DESCRIZIONI | COMBINAZIONI CARICHI A1 - S.L.V. / S.L.D. - Teta = .12 : Moltip. = 1.14 | | | |
|----------------------|--|------|------|-------|
| | 31 | 32 | 33 | 34 |
| Peso Strutturale | 1,00 | 1,00 | 1,00 | 1,00 |
| Perm.Non Strutturale | 1,00 | 1,00 | 1,00 | 1,00 |
| Var.Uffici | 1,00 | 1,00 | 1,00 | 0,30 |
| Var.Amb.affol. | 0,30 | 0,30 | 0,30 | 0,60 |
| Var.Neve h<=1000 | 0,60 | 0,60 | 0,60 | 0,00 |
| Var.Coperture | 0,00 | 0,00 | 0,00 | 0,00 |
| Corr. Tors. dir. 0 | - | - | - | 0,34 |
| Corr. Tors. dir. 90 | 0,34 | 0,34 | 0,34 | 1,14 |
| Sisma direz. grd 0 | 1,14 | 1,14 | 1,14 | -0,34 |
| Sisma direz. grd 90 | 0,34 | 0,34 | 0,34 | -1,14 |



AREA EDILIZIA E LOGISTICA

5. Caratterizzazione meccanica dei materiali

Le caratteristiche meccaniche dei materiali che caratterizzano le membrature portanti sono ottenute a partire dalle indicazioni della normativa con particolare riferimento alla tabella C8.5.I. La tipologia di muratura presente è “Muratura in mattoni pieni e malta di calce” con diatoni che danno maggiore compattezza al paramento (coefficiente 1.3, vedi tabella C8.5.2 DM2018) adottando, inoltre, un fattore di confidenza pari a 1.35 (corrispondente al livello di conoscenza LC1) e un coefficiente di sicurezza sul materiale muratura pari a:

$$\gamma_m = 3$$

Di seguito si riportano le caratteristiche meccaniche della muratura:

La resistenza a compressione della muratura è stata assunta pari a:

$$f_{\text{medio}} = 44.9 \text{ daN/cmq}$$

La resistenza a compressione di progetto della muratura è stata valutata a partire dalla resistenza media come di seguito riportato:

$$f_{cd} = f_{\text{medio}} / (FC \times \gamma_m) = 44.9 / (1.35 \times 3) = 11.09 \text{ daN/cmq}$$

La resistenza a taglio della muratura è stata assunta pari a:

$$f_{v,m,0} = 2.6 \text{ daN/cmq}$$

La resistenza a taglio di progetto della muratura è stata valutata a partire dalla resistenza media come di seguito riportato:

$$f_{v,d,0} = f_{v,m,0} / (FC \times \gamma_m) = 2.6 / (1.35 \times 3) = 0.64 \text{ daN/cmq}$$

Peso specifico: 1800 daN/m³

Modulo elastico: $E_{\text{medio}} = 15000 \text{ daN/cm}^2$.

6. Analisi dei carichi dello stato di fatto

Il calcolo delle sollecitazioni e la valutazione della vulnerabilità sismica dell’edificio di via Belmeloro 8/2 vengono condotte con riferimento all’analisi dei carichi di seguito riportata. Si precisa che i carichi permanenti strutturali e non strutturali sono stati ipotizzati sulla base delle stratigrafie desunte dal rilievo. I carichi accidentali, essendo alcune parti dell’edificio al momento non utilizzate ma comunque adibite a laboratori, sono cautelativamente stati assunti pari a 3 KN/mq (ambienti suscettibili di affollamento).



AREA EDILIZIA E LOGISTICA

| SOLAIO VOLTATO 1 - SDF | | | |
|--|--|------------------------------|-----------------------------------|
| SDF | | | |
| Carichi permanenti portati | | P [daN/m²] | Totale [daN/m²] |
| Pavimentazione (esistente o nuova), sp. 2 cm | | 40 | |
| Allettamento, sp. 2 cm | | 42 | |
| Massetto / livellamento, sp. 8 cm | | 168 | |
| Intonaco, sp. 1 cm | | 20 | |
| Carichi permanenti portanti | | | |
| Volta in laterizio, sp. 14 cm | | 252 | |
| Riempimento, sp. in chiave 5 cm | | 700 | |
| Totale | | 1222 | daN/m² |
| Carichi variabili | | | |
| Aula didattica e scale | | 400 | 400 |
| Totale carichi sul solaio | | 1622 | daN/m² |

| SOLAIO VOLTATO 2 - SDF | | | |
|--|--|------------------------------|-----------------------------------|
| SDF | | | |
| Carichi permanenti portati | | P [daN/m²] | Totale [daN/m²] |
| Pavimentazione (esistente o nuova), sp. 2 cm | | 40 | |
| Allettamento, sp. 2 cm | | 42 | |
| Massetto / livellamento, sp. 8 cm | | 168 | |
| Intonaco, sp. 1 cm | | 20 | |
| Carichi permanenti portanti | | | |
| Volta in laterizio, sp. 14 cm | | 252 | |
| Riempimento, sp. in chiave 5 cm | | 700 | |
| Totale | | 1222 | daN/m² |
| Carichi variabili | | | |
| Uffici aperti al pubblico | | 300 | 300 |
| Totale carichi sul solaio | | 1522 | daN/m² |



AREA EDILIZIA E LOGISTICA

| SOLAIO NERVATO IN C.A. 1 - SDF | | | |
|--|------------------------------|------------|-----------------------------------|
| SDF | | | |
| Carichi permanenti portati | P [daN/m²] | | Totale [daN/m²] |
| Pavimentazione (esistente o nuova), sp. 2 cm | 40 | 249 | daN/m ² |
| Allettamento, sp. 2 cm | 42 | | |
| Massetto / livellamento, sp. 7 cm | 147 | | |
| Intonaco, sp. 1 cm | 20 | | |
| Carichi permanenti portanti | | | |
| Soletta in c.a., sp. 10 cm | 250 | 250 | daN/m ² |
| | | | |
| Totale | | 499 | daN/m² |
| Carichi variabili | | | |
| Scale e corridoi | 400 | 400 | |
| Totale carichi sul solaio | | 899 | daN/m² |

| SOLAIO NERVATO IN C.A. 2 - SDF | | | |
|--|------------------------------|------------|-----------------------------------|
| SDF | | | |
| Carichi permanenti portati | P [daN/m²] | | Totale [daN/m²] |
| Pavimentazione (esistente o nuova), sp. 2 cm | 40 | 304 | daN/m ² |
| Allettamento, sp. 2 cm | 42 | | |
| Massetto / livellamento, sp. 7 cm | 147 | | |
| Intonaco, sp. 1 cm | 20 | | |
| Incidenza tramezzi | 15 | | |
| Impianti appesi | 20 | | |
| Controsoffitto | 20 | | |
| Carichi permanenti portanti | | | |
| Soletta in c.a., sp. 10 cm | 250 | 319 | daN/m ² |
| Nervature, sez. 20 x 25 cm, int. min. 180 cm | 69 | | |
| Totale | | 623 | daN/m² |
| Carichi variabili | | | |
| Uffici | 300 | 300 | |
| Totale carichi sul solaio | | 923 | daN/m² |



AREA EDILIZIA E LOGISTICA

SOLAIO IN LATERO-CEMENTO 1 - SDF

| SDF | | | |
|--|--|-------------------------|------------------------------|
| Carichi permanenti portati | | P [daN/m ²] | Totale [daN/m ²] |
| Pavimentazione (esistente o nuova), sp. 2 cm | | 40 | 249 daN/m ² |
| Allettamento, sp. 2 cm | | 42 | |
| Massetto / livellamento, sp. 7 cm | | 147 | |
| Intonaco, sp. 1 cm | | 20 | |
| Carichi permanenti portanti | | | |
| Solaio latero-cementizio, sp. 20 cm | | 200 | 200 daN/m ² |
| | | | |
| Totale | | | 449 daN/m² |
| Carichi variabili | | | |
| Scale e corridoi | | 400 | 400 |
| | | | |
| Totale carichi sul solaio | | | 849 daN/m² |

SOLAIO IN LATERO-CEMENTO 2 - SDF

| SDF | | | |
|--|--|-------------------------|------------------------------|
| Carichi permanenti portati | | P [daN/m ²] | Totale [daN/m ²] |
| Pavimentazione (esistente o nuova), sp. 2 cm | | 40 | 249 daN/m ² |
| Allettamento, sp. 2 cm | | 42 | |
| Massetto / livellamento, sp. 7 cm | | 147 | |
| Intonaco, sp. 1 cm | | 20 | |
| Carichi permanenti portanti | | | |
| Solaio latero-cementizio, sp. 20 cm | | 200 | 200 daN/m ² |
| | | | |
| Totale | | | 449 daN/m² |
| Carichi variabili | | | |
| Uffici | | 300 | 300 |
| | | | |
| Totale carichi sul solaio | | | 749 daN/m² |



AREA EDILIZIA E LOGISTICA

| SOLAIO SOTTOTETTO - SDF | | | |
|------------------------------------|------------------------------|-----|-----------------------------------|
| SDF | | | |
| Carichi permanenti portati | P [daN/m²] | | Totale [daN/m²] |
| Massetto / livellamento, sp. 3 cm | 63 | | |
| Intonaco, sp. 1 cm | 20 | | |
| | | 83 | daN/m ² |
| Carichi permanenti portanti | | | |
| Solaio SAPAL, sp. 21.5 cm | 170 | | |
| | | 170 | daN/m ² |
| Totale | 253 | | daN/m² |
| Carichi variabili | | | |
| Accessibile per sola manutenzione | 100 | | 100 |
| | | | |
| Totale carichi sul solaio | 353 | | daN/m² |

| COPERTURA - SDF | | | |
|---|------------------------------|----|-----------------------------------|
| SDF | | | |
| Carichi permanenti portati | P [daN/m²] | | Totale [daN/m²] |
| Manto di copertura in tegole marsigliesi | 45 | | |
| Guaina impermeabilizzante | 10 | | |
| Tavelle in laterizio - sp. 4 cm | 40 | | |
| | | 95 | daN/m ² |
| Carichi permanenti portanti | | | |
| Arcarecci in legno, sez. 15 x 20 cm, i = 150 cm | 16 | | |
| Travetti in legno, sez. 10 x 10 cm, i = 80 cm | 10 | | |
| Cantonali e capriate, incidenza | 25 | | |
| | | 51 | daN/m ² |
| Totale | 146 | | daN/m² |
| Carichi variabili | | | |
| Neve | 120 | | 120 |
| | | | |
| Totale carichi sul solaio di copertura | 266 | | daN/m² |



AREA EDILIZIA E LOGISTICA

7. Verifiche nei confronti dei carichi statici

Le verifiche, condotte sugli orizzontamenti di piano, sono volte a determinare se la portata dei solai sia idonea alla destinazione d'uso degli ambienti soprastanti. Sono state condotte per il solaio tra piano terra e piano primo (soletta in c.a.), e per il solaio latero-cementizio tra piano primo e secondo.

SOLETTA IN C.A.

L'orizzontamento di separazione tra piano terra e piano primo è costituito da una soletta in calcestruzzo armato dello spessore di 10 cm ordita fra travi in calcestruzzo armato in direzione trasversale.

Le travi si trovano ad una distanza di circa 2.50 metri l'una dall'altra, e questa costituisce la luce che la soletta deve coprire.

Il solaio è stato verificato per una sezione di 100x10 cm interamente in calcestruzzo armato di classe C20/25 ed armature in FeB38K, su una luce di 2.50 m, per i carichi indicati al precedente punto 6.

Di seguito l'esito della verifica:

| VERIF. QUOTA 1 SOLAIO 1 | | | | | | | | | | | | | |
|-------------------------|----------------|-----------------|--------------------|-------------------|--------|-------------------|------------------|------------------|------------------|------------------|--------------------------|------|------|
| Camp. N.ro | Asc.in. (m) | Asc.fin. (m) | Mom. neg. (kgm) | VERIFICHE SEZIONI | | | Af sup. (cmq) | Af inf. (cmq) | Tag. neg (kg) | Tag. pos (kg) | Rapporto VSd/V Rdu | | |
| | | | | ef%neg | ec%neg | Mom. pos (kgm) | ef%pos | ec%pos | | | | | |
| 1 | 0,00 | 0,14 | -493 | 0,59 | 0,13 | 246 | 0,44 | 0,0 | 1,99 | 0,74 | 0 | 1305 | 0,39 |
| | 0,14 | 0,40 | -322 | 0,23 | 0,06 | 483 | 0,87 | 0,2 | 1,47 | 1,66 | 0 | 1144 | 0,34 |
| | 0,40 | 0,65 | -66 | 0,14 | 0,02 | 643 | 0,68 | 0,1 | 0,65 | 2,65 | 0 | 848 | 0,25 |
| | 0,65 | 0,91 | 0 | 0,00 | 0,00 | 727 | 0,63 | 0,1 | 0,45 | 3,10 | 0 | 552 | 0,15 |
| | 0,91 | 1,17 | 0 | 0,00 | 0,00 | 741 | 0,70 | 0,2 | 0,45 | 3,14 | -40 | 256 | 0,07 |
| | 1,17 | 1,43 | 0 | 0,00 | 0,00 | 741 | 0,70 | 0,2 | 0,45 | 3,14 | -336 | 0 | 0,09 |
| | 1,43 | 1,68 | 0 | 0,00 | 0,00 | 712 | 0,78 | 0,2 | 0,40 | 2,98 | -633 | 0 | 0,18 |
| | 1,68 | 1,94 | -128 | 0,14 | 0,03 | 607 | 0,63 | 0,1 | 0,89 | 2,46 | -929 | 0 | 0,28 |
| | 1,94 | 2,20 | -405 | 0,29 | 0,08 | 426 | 0,77 | 0,1 | 1,77 | 1,39 | -1225 | 0 | 0,37 |
| | 2,20 | 2,27 | -493 | 0,59 | 0,13 | 169 | 0,15 | 0,0 | 1,99 | 0,64 | -1301 | 0 | 0,39 |

Le verifiche mostrano che, per il solaio tipo verificato, sono necessarie le armature minime indicate in tabella, al fine di sopportare i carichi permanenti ed accidentali a cui è sottoposto; in particolare:

$$Af \text{ sup} = 1.99 \text{ cmq} = 4 \phi 8 / \text{m}$$

$$Af \text{ inf} = 3.14 \text{ cmq} = 4 \phi 10 / \text{m}$$

Analoghe solette armate dei primi anni del '900 già studiato, hanno mostrato che l'armatura in esse disposte era sempre di maggior diametro; pertanto si ritiene la verifica soddisfatta.

TRAVI IN C.A.

Grazie alle indagini specialistiche eseguite, è stato possibile rilevare le armature delle nervature di maggiore luce, nella posizione dell'attuale aula didattica. Tali nervature hanno una luce di 6.15 m, sezione di 12 x 15 cm, ed interasse di 1.80 – 2.80 m.

Le nervature sono state verificate per un calcestruzzo armato di classe C20/25 ed armature in FeB38K; di seguito l'esito della verifica:



AREA EDILIZIA E LOGISTICA

- Saggi Demolitivi
- PIAZZOLA: Prelievo campioni
- PIAZZOLA:
○ Prelievo campioni e Prova di scorrimento su giunto
- Indagini Endoscopiche solai

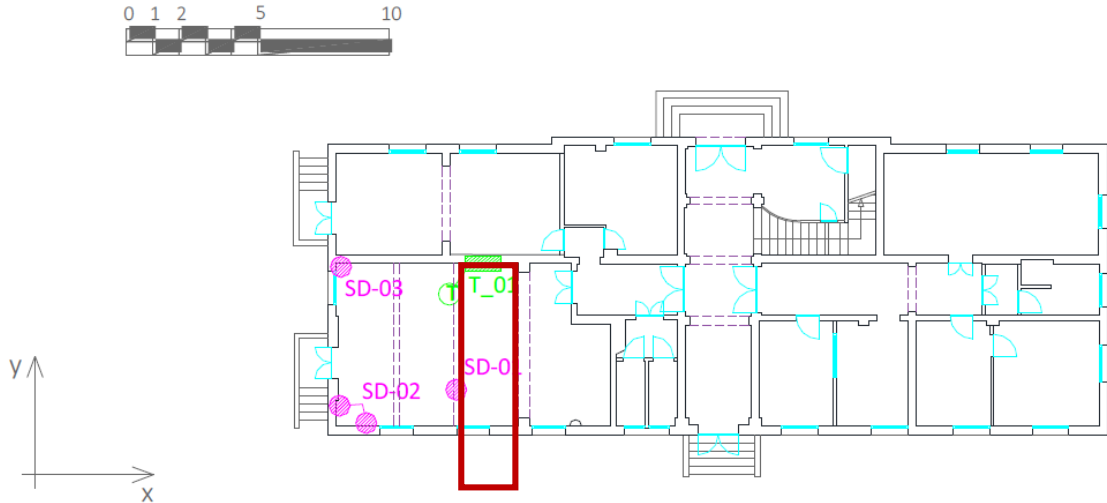


Figura 17 - Nervatura indagata

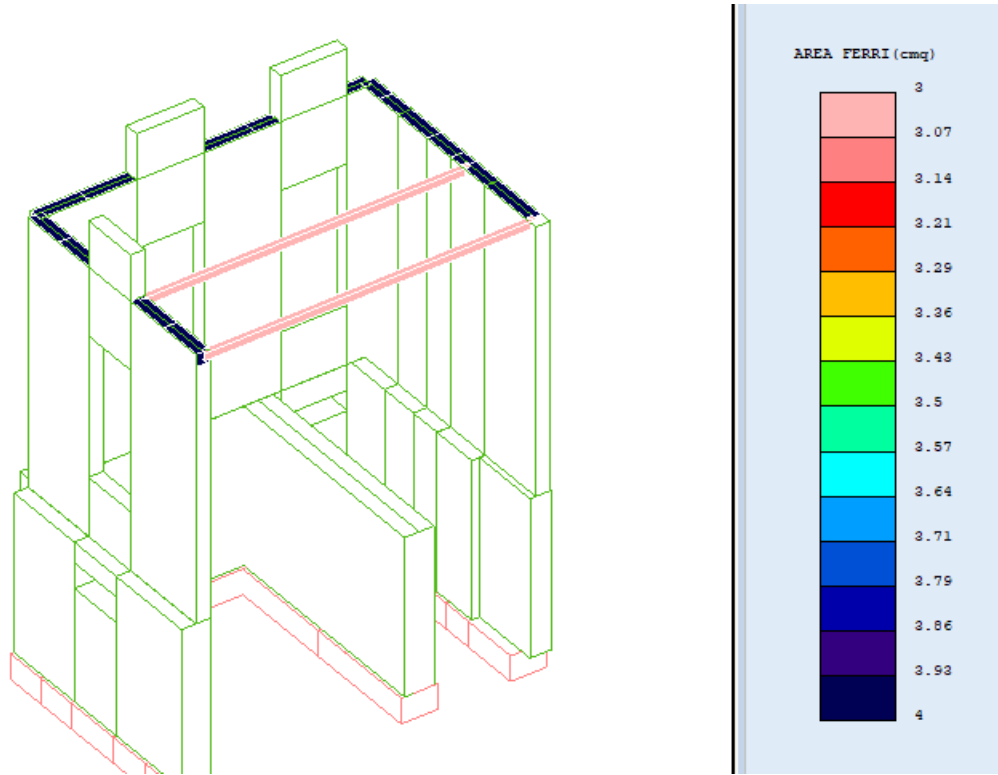


Figura 18 - Immagine delle armature da software di calcolo



AREA EDILIZIA E LOGISTICA

La rappresentazione grafica sintetica derivata dal software di calcolo mostrano che, per le nervature in oggetto, è necessaria un'armatura minima di 3.07 cmq.

Le armature rilevate, pari a due ferri $\Phi 20$ corrispondono ad un'area di 6.28 cmq, quindi superiori a quelle richieste; pertanto si ritiene la verifica soddisfatta.

SOLAIO LATERO-CEMENTIZIO

Dal momento che, per questioni di occupazione degli ambienti interessati, non è stato possibile eseguire indagini distruttive per il rilievo delle armature del solaio; è stato quindi eseguito anche un progetto simulato delle armature presenti.

Progetto simulato delle armature delle porzioni di solaio non ispezionabili

Nel presente paragrafo si illustra progetto simulato condotto per le armature dei travetti dei solai latero-cementizi costruiti in occasione della sopraelevazione presunta negli anni '50 – '60.

Per la riprogettazione, è stato adottato il metodo tabellare, con caratteristiche dei materiali tipicamente in uso nel periodo di costruzione, ed in particolare:

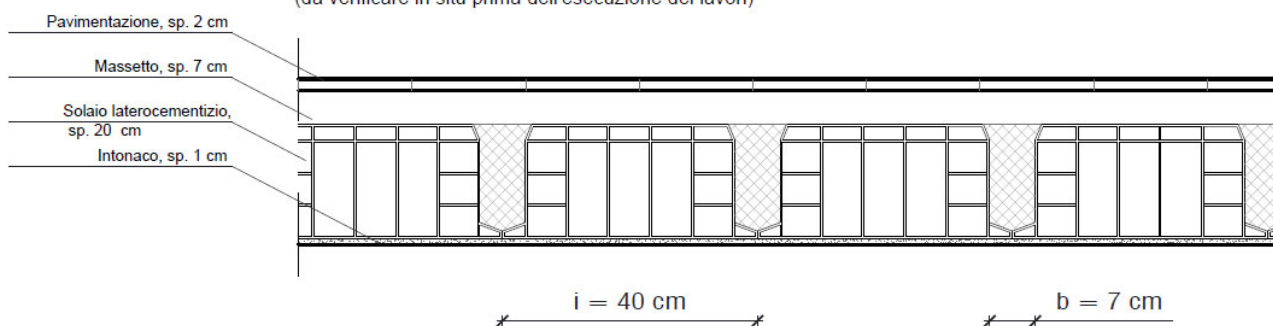
- acciaio tipo 32k, con $\sigma_{samm} = 1600 \text{ kg/cmq}$
- calcestruzzo tipo $R_{ck} = 150 \text{ kg/cmq}$, con $\sigma_{camm} = 60 + (R_{ck} - 150) / 4 = 60 \text{ kg/cmq}$

Non essendo stato possibile durante i sopralluoghi definire con certezza il tipo di solaio utilizzato, si adotta uno dei tipi di solai latero-cementizi di uso più frequente nel periodo corrispondente alla sopraelevazione, secondo la sottostante stratigrafia:

DETTAGLIO COSTRUTTIVO DEL SOLAIO LIV. 03

SOLAIO LATEROCEMENTIZIO (TIPO NON RILEVABILE) - scala 1:10

armature desunte sulla base della normativa in vigore all'epoca di realizzazione
(da verificare in situ prima dell'esecuzione dei lavori)





AREA EDILIZIA E LOGISTICA

• SOLAIO S11 - L = 5.20 m

Interasse nervature: $i = 40 \text{ cm}$

Altezza solaio: $h = 20 \text{ cm}$

Base travetto = 7 cm

Destinazione d'uso dei locali superiori: uffici = 200 daN/mq

Il solaio, di altezza pari a 20 cm, rispetta il limite normativo in vigore all'epoca della progettazione per solai latero-cementizi: $h \geq L / 30 = 520 / 30 = 17.3 \text{ cm}$

Carichi agenti (vedasi precedente punto 3 della parte II):

Sovraccarico: $q_{acc} = 200 \text{ daN/mq}$

Peso proprio: $q_{pr} = 200 \text{ daN/mq}$

Carico permanente: $q_{perm} = 250 \text{ daN/mq}$

→ carico totale agente: $q_{tot} = 200 + 200 + 250 = 650 \text{ daN/mq}$

Carico che compete ad una nervatura: $q = q_{tot} \times i = 650 \times 0,40 = 260 \text{ daN/m}$

Momento massimo agente: $M = ql^2 / 8 = 260 \times 5.22 / 8 = 880 \text{ daNm}$

Tramite il metodo tabellare, ricaviamo:

$$r = h / \sqrt{M/i} = 20 / \sqrt{88000 / 40} = 0.426$$

che per $\sigma_{samm} = 1600 \text{ daN/cmq}$, $\sigma_{camm} = 50 \text{ daN/cmq}$ e $n = 10$ con rapporto tra armatura compressa e tesa pari a 0, corrisponde a $t = 0.00159$

Pertanto: $A_s = t \times i \sqrt{M/i} = 0.00159 \times 40 \sqrt{88000 / 40} = 2.98 \text{ cmq}$

Che corrisponde all'area di $2\phi 14 = 3.08 \text{ cmq}$

• SOLAIO S12 - L = 2.15 m

Interasse nervature: $i = 40 \text{ cm}$

Altezza solaio: $h = 20 \text{ cm}$

Base travetto = 7 cm

Destinazione d'uso dei locali superiori: uffici = 200 daN/mq

Il solaio, di altezza pari a 20 cm, rispetta il limite normativo in vigore all'epoca della progettazione per solai latero-cementizi: $h \geq L / 30 = 215 / 30 = 7.2 \text{ cm}$.



AREA EDILIZIA E LOGISTICA

Carichi agenti:

Sovraccarico: $q_{acc} = 200 \text{ daN/mq}$

Peso proprio: $q_{pr} = 200 \text{ daN/mq}$

Carico permanente: $q_{perm} = 250 \text{ daN/mq}$

$$\rightarrow \text{carico totale agente: } q_{tot} = 200 + 200 + 250 = 650 \text{ daN/mq}$$

Carico che compete ad una nervatura: $q = q_{tot} \times i = 650 \times 0,40 = 260 \text{ daN/m}$

Momento massimo agente: $M = ql^2 / 8 = 260 \times 2.152 / 8 = 150 \text{ daNm}$

Tramite il metodo tabellare, ricaviamo:

$$r = h / \sqrt{M/i} = 20 / \sqrt{15000 / 40} = 1.033$$

che per $\sigma_{samm} = 1600 \text{ kg/cmq}$, $\sigma_{camm} = 50 \text{ kg/cmq}$ e $n = 10$ con rapporto tra armatura compressa e tesa pari a 0, corrisponde a $t = 0.00099$

Pertanto: $A_s = t \times i \sqrt{M/i} = 0.00099 \times 40 \sqrt{15000 / 40} = 0.77 \text{ cmq}$

Che corrisponde all'area di $1\phi 10 = 0.79 \text{ cmq}$

- **SOLAIO S13, S15, S16, S18, S21 - L = 4.20 m**

Interasse nervature: $i = 40 \text{ cm}$

Altezza solaio: $h = 20 \text{ cm}$

Base travetto = 7 cm

Destinazione d'uso dei locali superiori: uffici = 200 daN/mq

Il solaio, di altezza pari a 20 cm, rispetta il limite normativo in vigore all'epoca della progettazione per solai latero-cementizi: $h \geq L / 30 = 420 / 30 = 14 \text{ cm}$.

Carichi agenti:

Sovraccarico: $q_{acc} = 200 \text{ daN/mq}$

Peso proprio: $q_{pr} = 200 \text{ daN/mq}$

Carico permanente: $q_{perm} = 250 \text{ daN/mq}$

$$\rightarrow \text{carico totale agente: } q_{tot} = 200 + 200 + 250 = 650 \text{ daN/mq}$$

Carico che compete ad una nervatura: $q = q_{tot} \times i = 650 \times 0,40 = 260 \text{ daN/m}$

Momento massimo agente: $M = ql^2 / 8 = 260 \times 4.22 / 8 = 575 \text{ daNm}$

Tramite il metodo tabellare, ricaviamo:



AREA EDILIZIA E LOGISTICA

$$r = h / \sqrt{M / i} = 20 / \sqrt{57500 / 40} = 0.528$$

che per $\sigma_{samm} = 1600 \text{ kg/cm}^2$, $\sigma_{camm} = 50 \text{ kg/cm}^2$ e $n = 10$ con rapporto tra armatura compressa e tesa pari a 0, corrisponde a $t = 0.00126$

Pertanto: $A_s = t \times i \sqrt{M / i} = 0.00126 \times 40 \sqrt{575000 / 40} = 1.91 \text{ cm}^2$

Che corrisponde all'area di $2\phi 12 = 2.26 \text{ cm}^2$

- SOLAIO S14, S20 - L = 3.00 m**

Interasse nervature: $i = 40 \text{ cm}$

Altezza solaio: $h = 20 \text{ cm}$

Base travetto = 7 cm

Destinazione d'uso dei locali superiori: uffici = 200 daN/mq

Il solaio, di altezza pari a 20 cm, rispetta il limite normativo in vigore all'epoca della progettazione per solai latero-cementizi: $h \geq L / 30 = 300 / 30 = 10 \text{ cm}$.

Carichi agenti:

Sovraccarico: $q_{acc} = 200 \text{ daN/mq}$

Peso proprio: $q_{pr} = 200 \text{ daN/mq}$

Carico permanente: $q_{perm} = 250 \text{ daN/mq}$

→ carico totale agente: $q_{tot} = 200 + 200 + 250 = 650 \text{ daN/mq}$

Carico che compete ad una nervatura: $q = q_{tot} \times i = 650 \times 0,40 = 260 \text{ daN/m}$

Momento massimo agente: $M = ql^2 / 8 = 260 \times 32 / 8 = 295 \text{ daNm}$

Tramite il metodo tabellare, ricaviamo:

$$r = h / \sqrt{M / i} = 20 / \sqrt{29500 / 40} = 0.736$$

che per $\sigma_{samm} = 1600 \text{ kg/cm}^2$, $\sigma_{camm} = 50 \text{ kg/cm}^2$ e $n = 10$ con rapporto tra armatura compressa e tesa pari a 0, corrisponde a $t = 0.00099$

Pertanto: $A_s = t \times i \sqrt{M / i} = 0.00099 \times 40 \sqrt{29500 / 40} = 1.07 \text{ cm}^2$

Che corrisponde all'area di $1\phi 12 = 1.13 \text{ cm}^2$



AREA EDILIZIA E LOGISTICA

• SOLAIO S17 - L = 2.20 m

Interasse nervature: $i = 40 \text{ cm}$

Altezza solaio: $h = 20 \text{ cm}$

Base travetto = 7 cm

Destinazione d'uso dei locali superiori: corridoi = 200 daN/mq

Il solaio, di altezza pari a 20 cm, rispetta il limite normativo in vigore all'epoca della progettazione per solai latero-cementizi: $h \geq L / 30 = 220 / 30 = 7.3 \text{ cm}$.

Carichi agenti:

Sovraccarico: $q_{acc} = 200 \text{ daN/mq}$

Peso proprio: $q_{pr} = 200 \text{ daN/mq}$

Carico permanente: $q_{perm} = 250 \text{ daN/mq}$

→ carico totale agente: $q_{tot} = 200 + 200 + 250 = 650 \text{ daN/mq}$

Carico che compete ad una nervatura: $q = q_{tot} \times i = 650 \times 0,40 = 260 \text{ daN/m}$

Momento massimo agente: $M = ql^2 / 8 = 260 \times 2.22 / 8 = 160 \text{ daNm}$

Tramite il metodo tabellare, ricaviamo:

$$r = h / \sqrt{M / i} = 20 / \sqrt{16000 / 40} = 1$$

che per $\sigma_{samm} = 1600 \text{ kg/cmq}$, $\sigma_{camm} = 50 \text{ kg/cmq}$ e $n = 10$ con rapporto tra armatura compressa e tesa pari a 0, corrisponde a $t = 0.00099$

Pertanto: $A_s = t \times i \sqrt{M / i} = 0.00099 \times 40 \sqrt{16000 / 40} = 0.79 \text{ cmq}$

Che corrisponde all'area di $1\phi 10 = 0.79 \text{ cmq}$

• SOLAIO S19 - L = 4.45 m

Interasse nervature: $i = 40 \text{ cm}$

Altezza solaio: $h = 20 \text{ cm}$

Base travetto = 7 cm

Destinazione d'uso dei locali superiori: uffici = 200 daN/mq

Il solaio, di altezza pari a 20 cm, rispetta il limite normativo in vigore all'epoca della progettazione per solai latero-cementizi: $h \geq L / 30 = 445 / 30 = 14.9 \text{ cm}$.

Carichi agenti:



AREA EDILIZIA E LOGISTICA

Sovraccarico: $q_{acc} = 200 \text{ daN/mq}$

Peso proprio: $q_{pr} = 200 \text{ daN/mq}$

Carico permanente: $q_{perm} = 250 \text{ daN/mq}$

$$\rightarrow \text{carico totale agente: } q_{tot} = 200 + 200 + 250 = 650 \text{ daN/mq}$$

Carico che compete ad una nervatura: $q = q_{tot} \times i = 650 \times 0,40 = 260 \text{ daN/m}$

Momento massimo agente: $M = ql^2 / 8 = 260 \times 4.452 / 8 = 645 \text{ daNm}$

Tramite il metodo tabellare, ricaviamo:

$$r = h / \sqrt{M/i} = 20 / \sqrt{64500 / 40} = 0.498$$

che per $\sigma_{samm} = 1600 \text{ kg/cmq}$, $\sigma_{camm} = 50 \text{ kg/cmq}$ e $n = 10$ con rapporto tra armatura compressa e tesa pari a 0, corrisponde a $t = 0.00136$

Pertanto: $A_s = t \times i \sqrt{M/i} = 0.00136 \times 40 \sqrt{64500 / 40} = 2.18 \text{ cmq}$

Che corrisponde all'area di $2\phi 12 = 2.26 \text{ cmq}$

Si sono ricavate quindi le armature elencate nella sottostante tabella, le quali sono state prese quale base per il successivo calcolo; durante le fasi di intervento previste sul solaio stesso esse dovranno essere verificate. Qualora vi siano delle difformità, il seguente progetto di consolidamento non potrà ritenersi valido.

| ARMATURE DEI TRAVETTI DESUNTE MEDIANTE PROGETTO SIMULATO ALLE TENSIONI AMMISSIBILI (da verificare in situ prima dell'esecuzione dei lavori) | |
|---|------|
| S11 - L = 5.20 m | 2Ø14 |
| S12 - L = 2.15 m | 1Ø10 |
| S13, S15, S16, S18, S21 - L = 4.20 m | 2Ø12 |
| S14, S20 - L = 3.00 m | 1Ø12 |
| S17 - L = 2.20 m | 1Ø10 |
| S19 - L = 4.45 m | 2Ø12 |

Figura 19 - Armature del solaio latero-cementizio da sottoporre a verifica



AREA EDILIZIA E LOGISTICA

Verifiche delle murature

Le verifiche sono volte a determinare le attuali condizioni di stabilità delle murature. Si riassumono qui i risultati generali e si indicano gli eventuali elementi non verificati.

VERIFICA A FLESSIONE E PRESSOFLESSIONE

La σ_{lim} , con i valori numerici introdotti in fase di verifica, risulta:

$$\sigma_{lim} = 110,72 \text{ t/mq}$$

Molti maschi murari non risultano verificati a flessione, come evidente nelle immagini seguenti, a causa degli elevati carichi che gravano su di essi e degli spessori ridotti.

Si tratta principalmente delle murature a due teste del piano terra e delle murature interne ad una testa, a tutti i livelli.

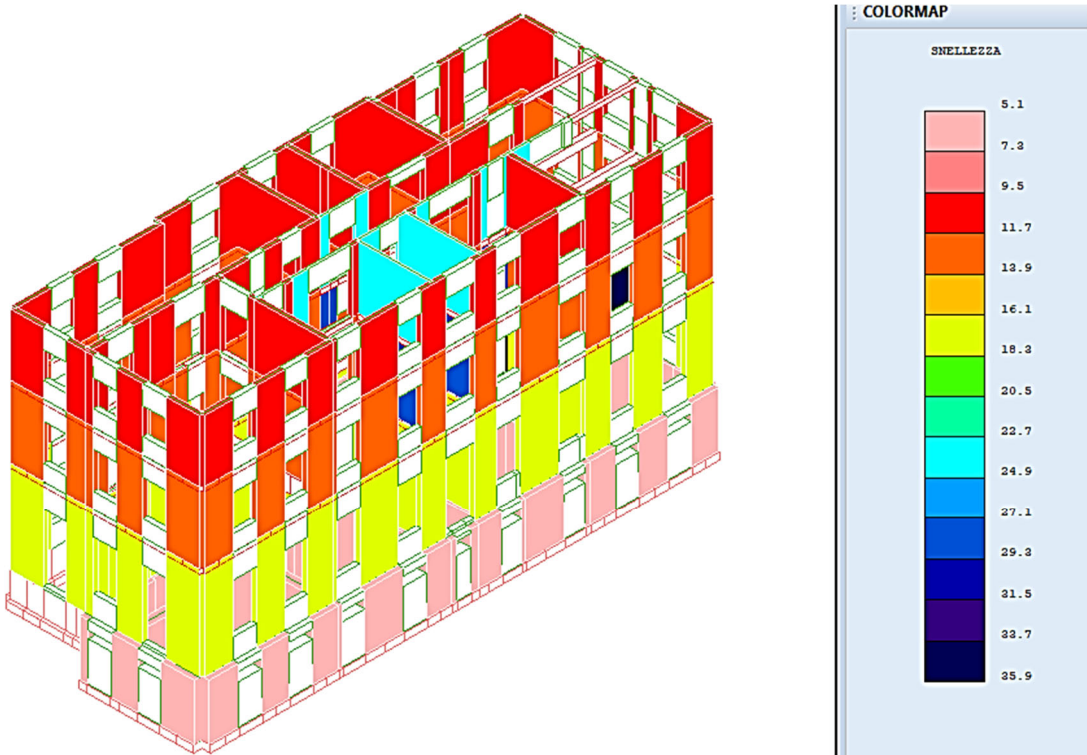


Figura 20 - Snellezza delle murature



AREA EDILIZIA E LOGISTICA

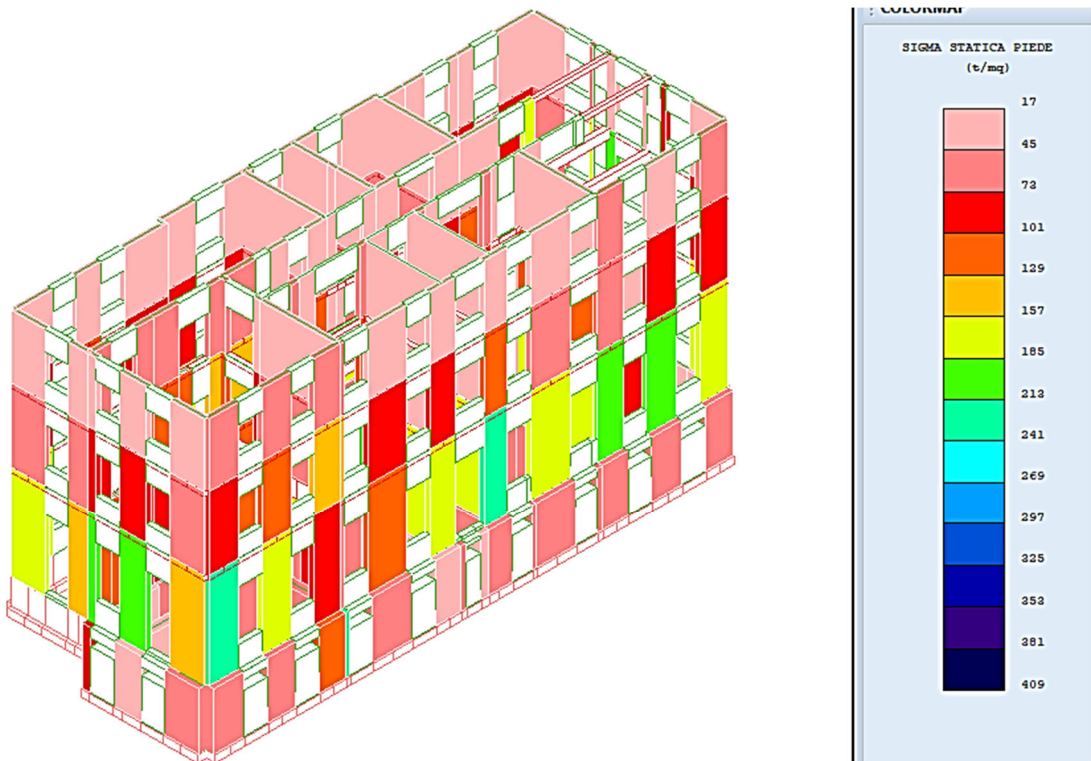


Figura 21 - sigma statica al piede

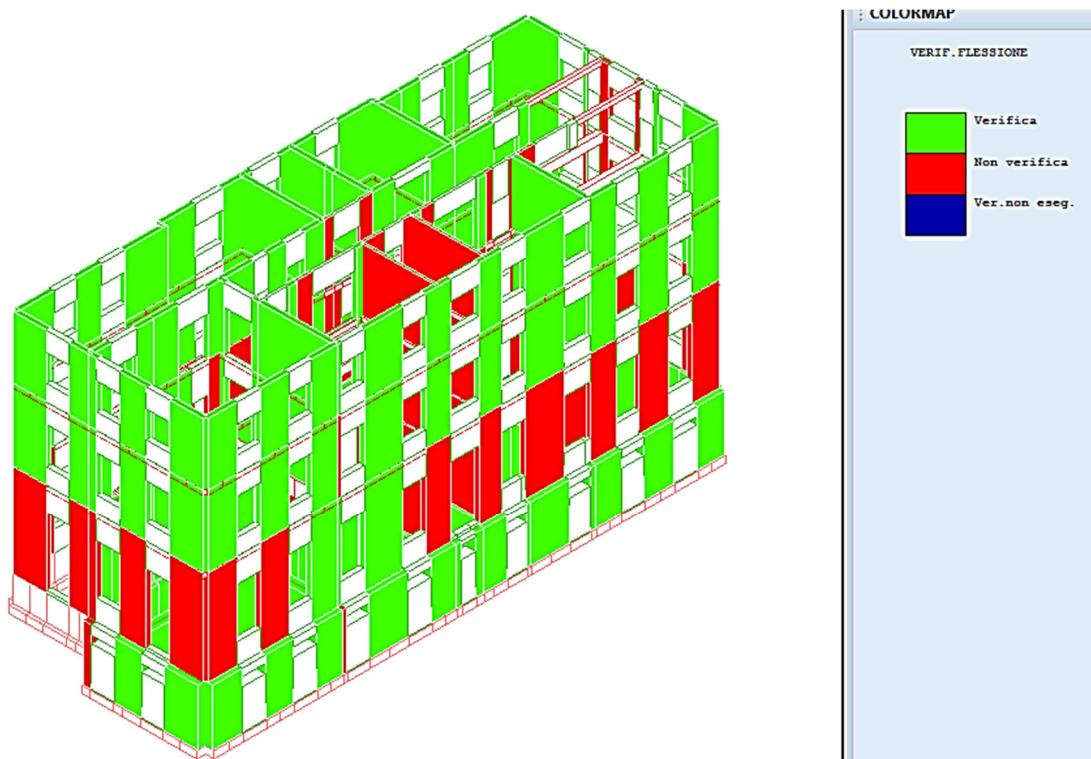


Figura 21 - Verifica a flessione



AREA EDILIZIA E LOGISTICA

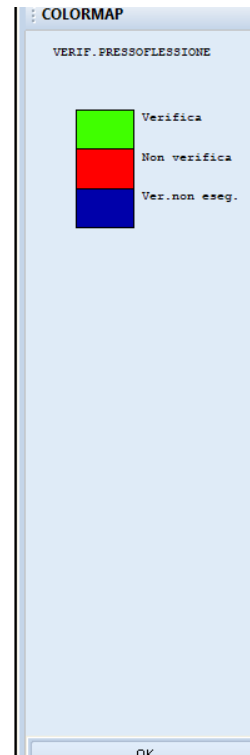
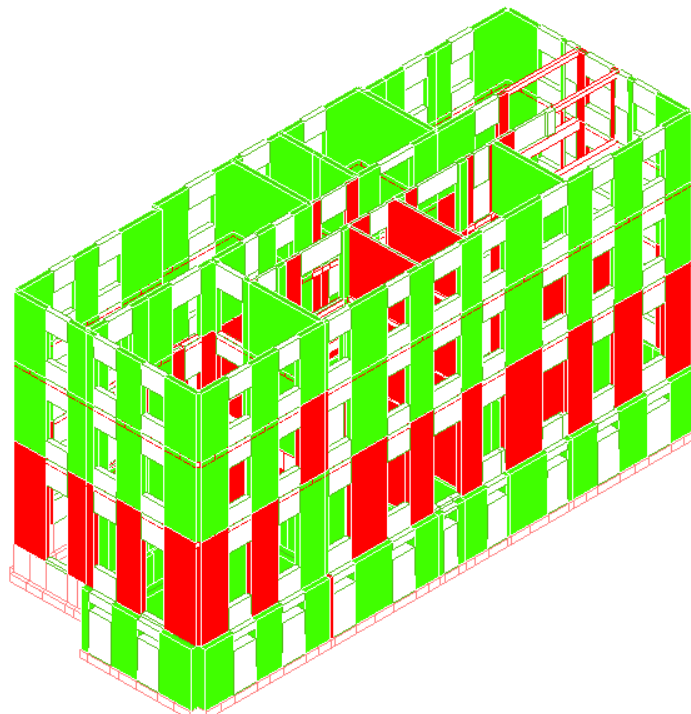


Figura 22 - Verifica a pressoflessione

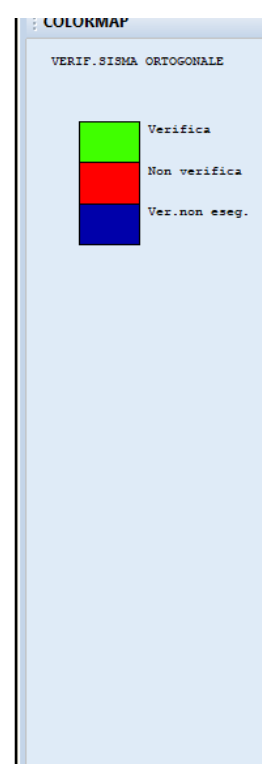
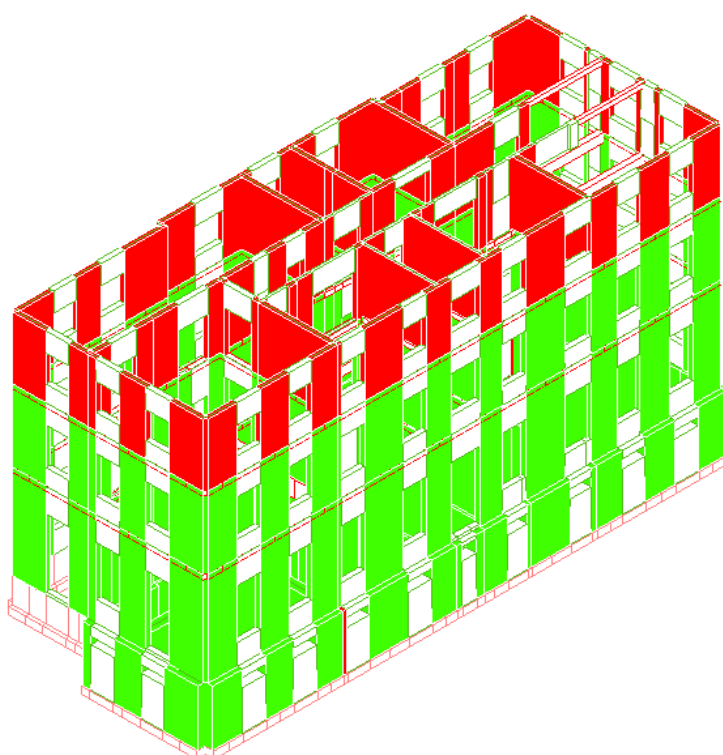


Figura 233 - Verifica a sima ortogonale



AREA EDILIZIA E LOGISTICA

La mancata verifica per sisma ortogonale è indicativa invece del fatto che vi sia una carenza di rigidezza e di trattenimento delle murature all'ultimo livello, ove è assente il cordolo.

Di seguito, una sintesi dei risultati sulle murature:

| RIASSUNTO VERIFICHE MURATURE | | | | | | |
|------------------------------------|--------------|---------------|---------------|----------------|-----------------------|-------|
| RIASSUNTO VERIFICHE MURATURE | | | | | | |
| Numero complessivo muri: | 312 | | | | | |
| Grandezza di controllo | Valore medio | Valore minimo | N.Muro minimo | N.Quota minimo | N muri non verificati | % |
| Verifiche statiche | | | | | | |
| Snellezza limite / snellezza | 99,99 | 0,37 | 44 | 3 | 35 | 11,22 |
| Ecc.limite / ecc.trasversale | 99,99 | 0,32 | 33 | 4 | 2 | 0,64 |
| Ecc.limite / ecc.longitudinale | 99,99 | 0,55 | 33 | 4 | 0 | 0,00 |
| Sigma limite / sigma max flessione | 99,99 | 0,31 | 30 | 2 | 66 | 21,15 |
| Sigma limite / sigma max pressofl. | 99,99 | 0,27 | 30 | 2 | 75 | 24,04 |
| Verifiche sismiche | | | | | | |
| Coeff. sicur. sisma ortogonale | 99,99 | 0,00 | 33 | 2 | 78 | 25,00 |
| Coeff. sicur. pushover SLV | 0,38 | 0,36 | | | | |

Si evidenzia:

1. Una elevata snellezza delle pareti del livello del piano terra, ove l'altezza utile interna di più di 5 m fa sì che la snellezza delle pareti a due teste sia pari a 18, e 36 per quelle ad una testa.
2. Il 21,15% delle pareti non risulta verificato a flessione
3. Il 24,04% delle pareti non risulta verificato a presso-flessione
4. Il 25% delle pareti (tutte quelle dell'ultimo livello) non risulta verificato a sisma ortogonale.

8. Verifiche numeriche – analisi per meccanismi locali

Trattandosi di un edificio esistente in muratura portante, l'analisi dei meccanismi locali si ritiene alquanto significativa ed in grado di mostrare le carenze strutturali della costruzione.

Questa viene svolta secondo l'approccio cinematico, basato sull'individuazione dei meccanismi di collasso possibili per l'edificio e sulla valutazione dell'azione orizzontale che attiva tale cinematicismo. Affinché tale metodo sia applicabile, la parete deve potersi considerare monolitica, in modo da evitare collassi localizzati per disgregazione della muratura. Essendo le pareti dell'edificio in questione di buona fattura e qualità, si può ritenere che per esse tale ipotesi sia soddisfatta.

Per ogni meccanismo locale, il metodo prevede la trasformazione della zona interessata in un sistema labile, attraverso l'individuazione di corpi rigidi non resistenti a trazione, definibili grazie a possibili piani di frattura, e stima poi il moltiplicatore orizzontale dei carichi che comporta l'attivazione del meccanismo.

L'individuazione dei meccanismi che possono verificarsi sul fabbricato oggetto della verifica è possibile grazie al riconoscimento delle vulnerabilità legate alla qualità delle connessioni tra pareti ed orizzontamenti ed alla qualità della tessitura muraria. In questo senso, il quadro fessurativo fornisce un'utile indicazione per la previsione dei meccanismi di collasso locali.



AREA EDILIZIA E LOGISTICA

La procedura si basa sulla suddivisione in blocchi del sistema murario considerato, caratterizzato dalle seguenti ipotesi:

- resistenza a trazione nulla della muratura;
- assenza di scorrimento tra i blocchi;
- resistenza a compressione infinita della muratura.

Il meccanismo prevede, quindi, la schematizzazione della muratura come uno o più blocchi rigidi collegati da cerniere in modo da formare una catena cinematica.

L'analisi cinematica lineare consente di valutare il moltiplicatore orizzontale α_0 dei carichi che attiva il previsto meccanismo.

Ai blocchi rigidi formanti la catena cinematica sono applicati i seguenti carichi:

- a) pesi propri dei blocchi applicati nei rispettivi baricentri;
- b) carichi verticali portati dai blocchi e dovuti ai carichi dei solai nonché i pesi di eventuali altri elementi murari non considerati nel modello;
- c) un insieme di forze orizzontali proporzionali ai carichi verticali considerati;
- d) forze esterne trasmesse dalle catene.

Partendo da una rotazione virtuale θ_k assegnata a un generico blocco k, si possono determinare gli spostamenti delle forze applicate nelle corrispondenti direzioni, che risulteranno funzione di θ_k e della geometria della struttura. Il Principio dei Lavori Virtuali (PLV) in termini di spostamenti consente di ricavare il moltiplicatore α_0 attraverso l'uguaglianza del lavoro complessivo eseguito dalle forze esterne ed interne sul sistema, in corrispondenza dell'atto di moto virtuale:

$$\alpha_0 \cdot \left(\sum_{i=1}^n P_i \delta_{xi} + \sum_{j=1}^{n+m} P_j \delta_{xj} \right) - \sum_{i=1}^n P_i \delta_{yi} - \sum_{h=1}^o F_h \delta_h = L_{fi} \quad (1)$$

dove:

- n numero complessivo delle forze peso applicate ai blocchi della catena cinematica;
- m è il numero di forze peso non gravanti direttamente sui blocchi le cui masse generano forze orizzontali, a causa del sisma, sugli elementi della catena cinematica in quanto non efficacemente trasmesse ad altre parti dell'edificio;
- o numero forze esterne applicate ai blocchi ma non associate alle masse;
- P_i, δ_{xi} generica forza peso e spostamento virtuale orizzontale del corrispondente punto di applicazione, positivo se concorde con l'azione sismica che attiva il meccanismo;
- P_j, δ_{xj} generica forza peso non direttamente applicata ai blocchi la cui massa produce, a seguito dell'azione sismica, una forza orizzontale sugli elementi della catena cinematica in quanto non trasmessa ad altre parti dell'edificio e lo spostamento virtuale del relativo punto di applicazione, positivo se concorde con l'azione sismica che attiva il meccanismo;
- δ_{yi} è lo spostamento virtuale verticale del punto di applicazione del peso P_i , positivo se verso l'alto;



AREA EDILIZIA E LOGISTICA

- F_h e δ_h generica forza esterna in valore assoluto applicata ad un blocco e lo spostamento virtuale del relativo punto di applicazione nella direzione della forza, considerato positivo se discorde con il verso della forza;
 L_{fi} lavoro delle forze interne.

Poiché l'effetto sismico è un effetto dinamico, l'insieme di spostamenti virtuali dei punti di applicazione dei pesi, associato al cinematismo, deve essere considerato come una forma modale di vibrazione. Il coefficiente di partecipazione g_m è dato da:

$$g_m = \frac{\sum_{i=1}^{n+m} P_i \delta_{xi}}{\sum_{i=1}^{n+m} P_i \delta_{xi}^2} \quad (2)$$

dove:

$n+m$ è il numero delle forze peso P_i applicate le cui masse, a causa del sisma, generano forze orizzontali sugli elementi della catena cinematica;

δ_{xi} è lo spostamento virtuale orizzontale del peso P_i

La massa M^* partecipante a tale forma modale di vibrazione si ottiene moltiplicando g_m per la $\sum_{i=1}^{n+m} P_i \delta_{xi}$

e dividendo per l'accelerazione di gravità g ottenendo quindi:

$$M^* = \frac{\left(\sum_{i=1}^{n+m} P_i \delta_{xi} \right)^2}{g \cdot \sum_{i=1}^{n+m} P_i \delta_{xi}^2} \quad (3)$$

L'accelerazione sismica spettrale a_0^* di attivazione del meccanismo si ricava del prodotto del moltiplicatore α_0 per l'accelerazione di gravità e dividendo tale prodotto per la frazione di massa e^* partecipante al cinematismo.

Il valore di e^* è fornito dall'espressione:

$$e^* = \frac{g \cdot M^*}{\sum_{i=1}^{n+m} P_i} \quad (4)$$

E quindi:

$$a_0^* = \frac{\alpha_0 \cdot g}{e^*} = \frac{\alpha_0 \cdot \sum_{i=1}^{n+m} P_i}{M^*} \quad (5)$$

Determinato a_0^* si procede ad effettuare le verifiche.



AREA EDILIZIA E LOGISTICA

La verifica allo Stato Limite di Salvaguardia della Vita (SLV) dei meccanismi locali è indispensabile per garantire la sicurezza nei riguardi del collasso. La verifica è positiva se a_0^* di attivazione del meccanismo è maggiore o uguale all'accelerazione seguente:

$$a_0^* \geq \frac{a_{g-SLV} \cdot S}{q} \quad \text{se l'elemento da verificare è posto a quota del terreno}$$

$$a_0^* \geq \frac{S_e(T_1) \cdot \psi(Z) \cdot \gamma}{q} \quad \text{se l'elemento da verificare è ad una altezza Z dal terreno}$$

dove:

$$\gamma = \frac{3N}{2N+1} \text{ con N numero di piani}$$

$$\psi(Z) = Z / H$$

H è l'altezza della struttura rispetto alla fondazione

Z è l'altezza, rispetto alla fondazione dell'edificio, del baricentro delle linee di vincolo tra i blocchi interessati dal meccanismo ed il resto della struttura

T1 è il primo periodo di vibrazione dell'intera struttura nella direzione considerata.

Individuazione dei meccanismi di collasso per l'edificio

Nel caso dell'edificio di Via Belmeloro 8/2 dato che le tipologie di solaio presenti presumono un buon collegamento tra orizzontamenti e pareti verticali, si ritiene che i meccanismi locali che più probabilmente si possono attivare siano all'ultimo livello, per l'assenza di un cordolo in corrispondenza dell'appoggio del tetto; si ipotizza pertanto che per le porzioni alte si attivino meccanismi di ribaltamento composto e del cantonale. Sono quindi stati verificati i seguenti meccanismi locali:

- Ribaltamento composto di cuneo diagonale
- Ribaltamento del cantonale

Per eseguire le verifiche sismiche dei meccanismi di collasso locali fuori piano mediante l'analisi cinematica lineare, è stato utilizzato l'applicativo *C.I.N.E* (*Condizioni d'instabilità negli edifici*) fornito da RELUIS.

Si riportano nel seguito gli esiti delle verifiche.

Ribaltamento composto di cuneo diagonale

Si prevede che uno dei probabili meccanismi di collasso che possono riguardare l'edificio sia il ribaltamento composto del cuneo diagonale, in quanto l'ultimo livello dell'edificio è frutto di una sopraelevazione successiva e su essa grava l'azione spingente dei cosciali della copertura a padiglione.



AREA EDILIZIA E LOGISTICA

Si considera nella verifica la parete a nord: oltre all'assenza di un cordolo sommitale, è assente un idoneo collegamento con le murature interne; essendo la muratura esterna ben ammorsata si prevede che il ribaltamento coinvolga oltre all'ultimo livello di facciata anche porzioni diagonali delle pareti ortogonali.



Figura 244 - Meccanismo di collasso per ribaltamento del cuneo diagonale

Dalla verifica eseguita, il cui svolgimento viene fornito in allegato, emerge come l'accelerazione in grado di generare tale meccanismo sia molto bassa, fornendo un indice di sicurezza sismica molto contenuto:

| | | |
|----------------|--------------------------------|---|
| PGA-SLV | Ribaltamento delle elevazioni: | $a_g(SLV)$ min(C8A.4.9; C8A.4.10) |
| | 1 | 0,042 |

$$Is = a_g(SLV) / a_g(PVR) = 0.042 / 0.19 = 0.22 < 1$$

La verifica non è pertanto soddisfatta.

Ribaltamento del cantonale

Altro meccanismo di probabile attivazione è il ribaltamento del cantonale dovuto all'azione spingente del cosciale della copertura a padiglione ed alla contemporanea assenza di un cordolo sommitale.



AREA EDILIZIA E LOGISTICA

Si considera nella verifica il cantonale a sud-est, in quanto in corrispondenza di esso si ha nella struttura di copertura un insieme di sistemi labili che rendono il relativo cosciale soggetto ad una luce maggiore e ad un'area di influenza maggiore.

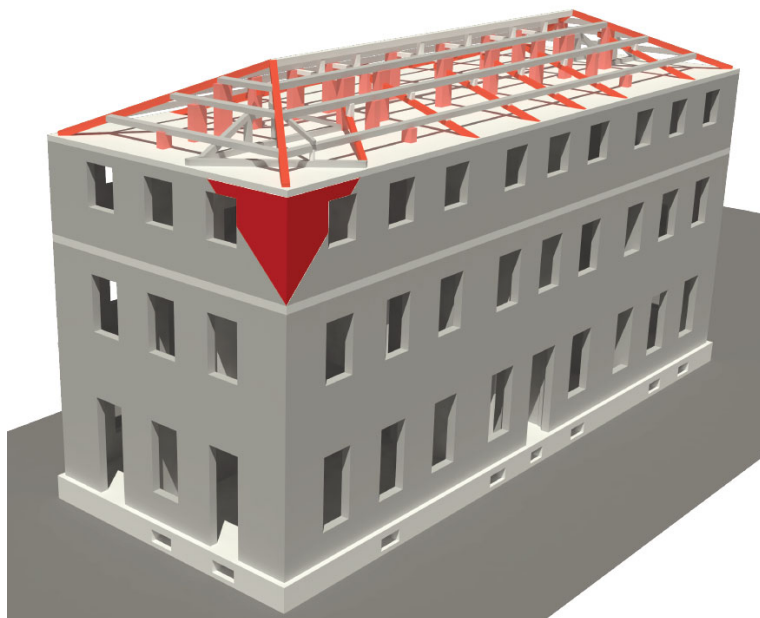


Figura 25- Meccanismo di ribaltamento del cantone

Dalla verifica eseguita, il cui svolgimento viene fornito in allegato, emerge come l'accelerazione in grado di generare tale meccanismo sia molto bassa, fornendo un indice di sicurezza sismica molto contenuto:

| | |
|----------------|--|
| PGA-SLV | $a_g(SLV)$ $\min(C8A.4.9;$ $C8A.4.10)$ |
| | 0,080 |

$$Is = a_g(SLV) / a_g(PVR) = 0.080 / 0.19 = 0.52 < 1$$

La verifica non è pertanto soddisfatta.



AREA EDILIZIA E LOGISTICA

9. Verifiche numeriche – analisi per meccanismi globali

La verifica alle azioni sismiche agenti sull'edificio è stata compiuta in ottemperanza DM18 tramite l'utilizzo del programma di calcolo CDS Win per la soluzione dello schema strutturale tridimensionale in termini di risposta globale della struttura.

È stato effettuato un insieme di analisi statiche non lineari incrementali (comunemente definita analisi pushover), modellando esplicitamente le caratteristiche non lineari degli elementi strutturali. Essa studia il comportamento strutturale, in termini di spostamenti, al crescere delle azioni orizzontali applicate, secondo quanto suggerito dalla normativa per la valutazione della capacità resistente degli edifici esistenti.

Una volta definita nel suo complesso la struttura dell'edificio ed i carichi agenti su di essa, l'analisi non lineare di tipo push-over viene eseguita secondo 32 modelli di applicazione delle forze.

Ipotesi alla base della modellazione

Per l'analisi globale del fabbricato, è stato prodotto un modello tridimensionale che fosse in grado di rappresentare per quanto possibile le effettive distribuzioni spaziali di massa, rigidezza e resistenza. Nella modellazione sono state introdotte tutte le murature con funzione portante con le relative bucature, mentre sono stati trascurati i tramezzi il cui contributo irrigidente può ritenersi nel complesso non significativo. Ogni parete viene così assimilata ad un assemblaggio di pannelli: pannelli murari verticali continui (maschi murari) e travi di accoppiamento in muratura (fasce di piano).

Complessivamente il modello risulta così composto da 13 telai.

Nel modello è stata considerata la presenza di un livello interrato, il cui estradosso coincide sostanzialmente con la linea di terra, mantenendo l'intera elevazione come interessata dal sisma (la quota 0.00 coincide con il piano di calpestio dell'interrato) ma conferendo al modello un comportamento del tipo a "basamento" ossia monolitico, per il livello interrato.

È stata considerata la presenza di cordoli tra solai e murature solo per il solaio a soletta in c.a., come evidenziato dalle indagini conoscitive, e per il solaio latero-cementizio in quanto si desume che, costruendolo ex novo ad una quota in cui non era presente ancora alcuna muratura, le travi in laterizio vi siano state solidarizzate. Non si considera invece la presenza di cordolo per il solaio del sottotetto.

Per quanto riguarda i solai, le NTC 2018 prescrivono: "gli orizzontamenti piani possono essere considerati infinitamente rigidi nel loro piano medio a condizione che siano realizzati in calcestruzzo armato, oppure in latero-cemento con soletta in calcestruzzo armato di almeno 40 mm di spessore, o in struttura mista con soletta in calcestruzzo armato di almeno 50 mm di spessore collegata agli elementi strutturali in acciaio o in legno da connettori a taglio opportunamente dimensionati" (par. 7.2.6 DM2018).

Per l'edificio oggetto della verifica, è stato considerato come infinitamente rigido soltanto il solaio a soletta in cemento armato, mentre non lo sono né i due solai latero-cementizi, né la copertura, nessuno di questi dotato di soletta.



AREA EDILIZIA E LOGISTICA

Nel modello globale, è stato quindi inserito un piano sismico solo alla quota del solaio del piano primo; il contributo dei solai al modello è stato poi schematizzato riproducendone l'effetto in termini di massa totale, con la creazione di pannelli appoggiati alle murature longitudinali e soggetti ai carichi rilevati.

Per quanto riguarda il coperto, si è ritenuto opportuno non modellare le travi in legno insieme alla struttura, per l'eccessiva complessità della configurazione; alla quota del piano di sottotetto è stato applicato quindi anche il carico della copertura, opportunamente incrementato per la sua pendenza.

Ai fini del modello globale, la scala interna è stata tenuta in conto applicando un'azione concentrata nelle murature su cui gravano, in ragione dell'area di influenza.

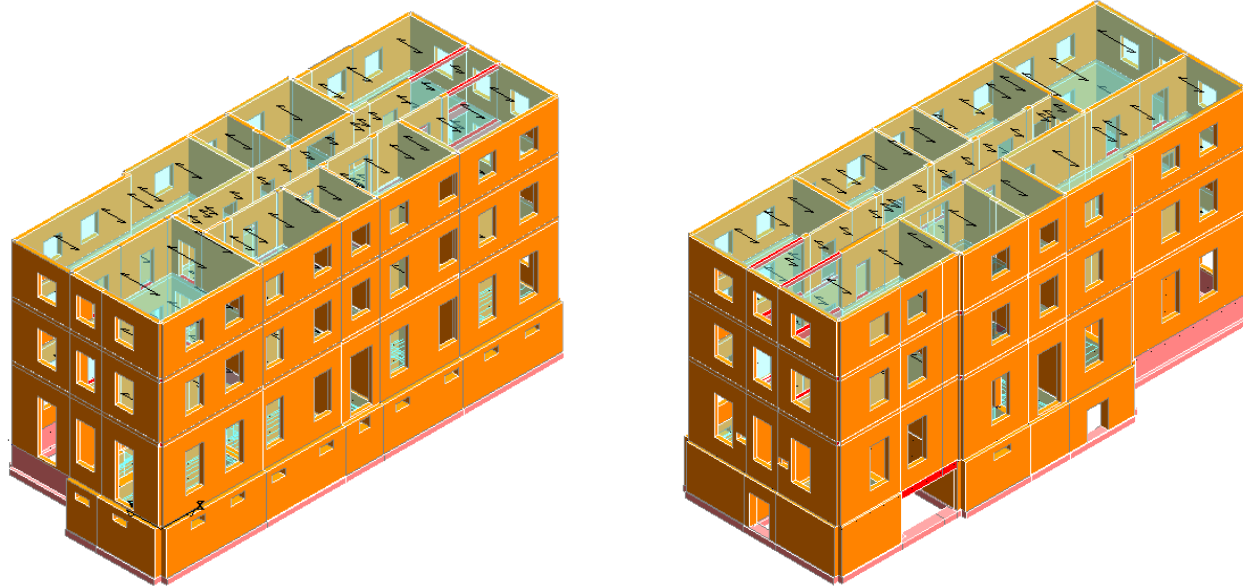


Figura 26 - Modello utilizzato nel calcolo

Verifiche push-over

Si riportano qui i risultati generali relativi alla verifica del comportamento globale della struttura sotto l'effetto del sisma, eseguita, come esposto in precedenza, tramite un'analisi statica non lineare di tipo incrementale, comunemente definita push-over, eseguita per la verifica dello SLV.

| RISULTATI GENERALI PUSH-OVER | | | |
|---|----------|---|--------|
| PUSH-OVER N.ro | 1 - | Distrib. Forze Prop. Modo: +Fx+0.3*Fy+Ecc5% | |
| Angolo Ingr. Sisma (Grd) | 0 | Numero collassi totali | 20 |
| Numero passo Resist. Max. | 27 | Numero passi significativi | 57 |
| Massa SDOF (t) | 1273,20 | Taglio alla base max. (t) | 255,72 |
| Coeff. Partecipazione | 1,05 | Resistenza SDOF (t) | 230,05 |
| Rigidezza SDOF (t/m) | 24505,85 | Spostam. Snervam. SDOF mm | 9 |
| Periodo SDOF (sec) | 0,46 | Rapporto di incrudimento | 0,000 |
| Rapporto Alfa _u /alfa ₁ | 174,807 | Fattore di comportamento | 1,823 |
| Coeff Smorzam. Equival. (%) | 19 | Duttilità | 1,866 |



AREA EDILIZIA E LOGISTICA

| STATO LIMITE DI SALVAGUARDIA DELLA VITA | | DOMANDA CAPACITA' | |
|---|-----------------------------|---|----------------------|
| Spostamento mm S.L. Salvaguardia Vita | 35,416 NON VERIFICA | Spostamento mm Numero passo precedente | 13,142 24 |
| PgaLV/g Rapporto q*=Fe/Fy Tempo Intervento (anni) | 0,071 3,63 4 ----- | ZetaE=PgaLV/Pga 10% Asta3D Nro TrCLV (anni) (TrCLV/TDLV)^a | 0,371 57 0,354 |

| RISULTATI GENERALI PUSH-OVER | | | |
|---|-------------------------------------|---|--------------------------------|
| PUSH-OVER N.ro | 2 | Distrib.Forze Prop.Modo:-Fx+0.3*Fy+Ecc5% | |
| Angolo Ingr. Sisma (Grd) Numero passo Resist.Max. | 180 26 | Numero collassi totali Numero passi significativi | 20 58 |
| Massa SDOF (t) Coeff. Partecipazione Rigidezza SDOF (t/m) Periodo SDOF (sec) | 1273,20 1,05 26474,78 0,44 | Taglio alla base max. (t) Resistenza SDOF (t) Spostam. Snervam. SDOF mm Rapporto di incrudimento | 257,40 233,41 9 0,000 |
| Rapporto Alfau/alfa1 Coeff Smorzam.Equival.(%) | 44,302 20 | Fattore di comportamento Duttilita | 1,820 1,897 |
| STATO LIMITE DI SALVAGUARDIA DELLA VITA | | | |
| DOMANDA | | CAPACITA' | |
| Spostamento mm S.L. Salvaguardia Vita | 33,719 NON VERIFICA | Spostamento mm Numero passo precedente | 12,546 24 |
| PgaLV/g Rapporto q*=Fe/Fy Tempo Intervento (anni) | 0,070 3,58 4 ----- | ZetaE=PgaLV/Pga 10% Asta3D Nro TrCLV (anni) (TrCLV/TDLV)^a | 0,368 56 0,351 |

| RISULTATI GENERALI PUSH-OVER | | | |
|---|-------------------------------------|---|---------------------------------|
| PUSH-OVER N.ro | 3 | Distrib.Forze Prop.Modo:+Fy+0.3*Fx+Ecc5% | |
| Angolo Ingr. Sisma (Grd) Numero passo Resist.Max. | 90 30 | Numero collassi totali Numero passi significativi | 13 39 |
| Massa SDOF (t) Coeff. Partecipazione Rigidezza SDOF (t/m) Periodo SDOF (sec) | 1260,11 1,04 15213,54 0,58 | Taglio alla base max. (t) Resistenza SDOF (t) Spostam. Snervam. SDOF mm Rapporto di incrudimento | 196,35 180,50 12 0,000 |
| Rapporto Alfau/alfa1 Coeff Smorzam.Equival.(%) | 13,844 19 | Fattore di comportamento Duttilita | 1,839 1,839 |
| STATO LIMITE DI SALVAGUARDIA DELLA VITA | | | |
| DOMANDA | | CAPACITA' | |
| Spostamento mm S.L. Salvaguardia Vita | 45,347 NON VERIFICA | Spostamento mm Numero passo precedente | 16,361 26 |
| PgaLV/g Rapporto q*=Fe/Fy Tempo Intervento (anni) | 0,070 3,82 4 ----- | ZetaE=PgaLV/Pga 10% Asta3D Nro TrCLV (anni) (TrCLV/TDLV)^a | 0,366 55 0,349 |



AREA EDILIZIA E LOGISTICA

| RISULTATI GENERALI PUSH-OVER | | | |
|--|--------------|--|--------|
| PUSH-OVER N.ro | 4 | Distrib.Forze Prop.Modo:-Fy+0.3*Fx+Ecc5% | |
| | - | | |
| Angolo Ingr. Sisma (Grd) | 270 | Numero collassi totali | 10 |
| Numero passo Resist.Max. | 25 | Numero passi significativi | 34 |
| Massa SDOF (t) | 1260,11 | Taglio alla base max. (t) | 203,92 |
| Coeff. Partecipazione | 1,04 | Resistenza SDOF (t) | 181,53 |
| Rigidezza SDOF (t/m) | 15014,68 | Spostam. Snervam. SDOF mm | 12 |
| Periodo SDOF (sec) | 0,58 | Rapporto di incrudimento | 0,000 |
| Rapporto Alfau/alfa1 | 13,743 | Fattore di comportamento | 1,934 |
| Coeff Smorzam.Equival.(%) | 20 | Duttilita | 1,934 |
| STATO LIMITE DI SALVAGUARDIA DELLA VITA | | | |
| DOMANDA | | CAPACITA' | |
| Spostamento mm | 45,646 | Spostamento mm | 17,539 |
| S.L. Salvaguardia Vita | NON VERIFICA | Numero passo precedente | 22 |
| PgaLV/g | 0,074 | ZetaE=PgaLV/Pga 10% | 0,386 |
| Rapporto q*=Fe/Fy | 3,78 | Asta3D Nro | |
| Tempo Intervento (anni) | 5 | TrCLV (anni) | 63 |
| | | (TrCLV/TDLV)^a | 0,369 |

| RISULTATI GENERALI PUSH-OVER | | | |
|--|--------------|---|--------|
| PUSH-OVER N.ro | 5 | Distrib.Forze Prop.Massa:+Fx+0.3*Fy+Ecc5% | |
| | - | | |
| Angolo Ingr. Sisma (Grd) | 0 | Numero collassi totali | 20 |
| Numero passo Resist.Max. | 34 | Numero passi significativi | 66 |
| Massa SDOF (t) | 1841,76 | Taglio alla base max. (t) | 373,84 |
| Coeff. Partecipazione | 1,00 | Resistenza SDOF (t) | 351,92 |
| Rigidezza SDOF (t/m) | 33233,49 | Spostam. Snervam. SDOF mm | 11 |
| Periodo SDOF (sec) | 0,47 | Rapporto di incrudimento | 0,000 |
| Rapporto Alfau/alfa1 | 88,759 | Fattore di comportamento | 1,771 |
| Coeff Smorzam.Equival.(%) | 19 | Duttilita | 1,786 |
| STATO LIMITE DI SALVAGUARDIA DELLA VITA | | | |
| DOMANDA | | CAPACITA' | |
| Spostamento mm | 36,884 | Spostamento mm | 14,184 |
| S.L. Salvaguardia Vita | NON VERIFICA | Numero passo precedente | 31 |
| PgaLV/g | 0,073 | ZetaE=PgaLV/Pga 10% | 0,384 |
| Rapporto q*=Fe/Fy | 3,44 | Asta3D Nro | |
| Tempo Intervento (anni) | 5 | TrCLV (anni) | 62 |
| | | (TrCLV/TDLV)^a | 0,366 |

| RISULTATI GENERALI PUSH-OVER | | | |
|-------------------------------------|----------|---|--------|
| PUSH-OVER N.ro | 6 | Distrib.Forze Prop.Massa:-Fx+0.3*Fy+Ecc5% | |
| | - | | |
| Angolo Ingr. Sisma (Grd) | 180 | Numero collassi totali | 20 |
| Numero passo Resist.Max. | 33 | Numero passi significativi | 63 |
| Massa SDOF (t) | 1841,76 | Taglio alla base max. (t) | 376,48 |
| Coeff. Partecipazione | 1,00 | Resistenza SDOF (t) | 356,21 |
| Rigidezza SDOF (t/m) | 36468,71 | Spostam. Snervam. SDOF mm | 10 |
| Periodo SDOF (sec) | 0,45 | Rapporto di incrudimento | 0,000 |
| Rapporto Alfau/alfa1 | 44,254 | Fattore di comportamento | 1,754 |



AREA EDILIZIA E LOGISTICA

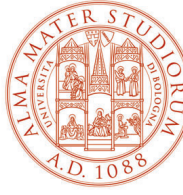
| Coeff Smorzam.Equiv. (%) | 19 | Duttilita | 1,806 |
|---|--------------------------|---|----------------------|
| STATO LIMITE DI SALVAGUARDIA DELLA VITA | | | |
| DOMANDA | | CAPACITA' | |
| Spostamento mm S.L. Salvaguardia Vita | 34,743 NON VERIFICA | Spostamento mm Numero passo precedente | 13,228 30 |
| PgaLV/g Rapporto q*=Fe/Fy Tempo Intervento (anni) | >3 0,072 3,39 4 | ZetaE=PgaLV/Pga 10% Asta3D Nro TrCLV (anni) (TrCLV/TDLV)^a | 0,376 59 0,359 |

RISULTATI GENERALI PUSH-OVER

| PUSH-OVER N.ro | 7 | Distrib.Forze Prop.Massa:+Fy+0.3*Fx+Ecc5% | |
|---|-------------------------------------|---|---------------------------------|
| STATO LIMITE DI SALVAGUARDIA DELLA VITA | | | |
| DOMANDA | | CAPACITA' | |
| Spostamento mm S.L. Salvaguardia Vita | 90 38 | Numero collassi totali Numero passi significativi | 12 47 |
| Massa SDOF (t) Coeff. Partecipazione Rigidezza SDOF (t/m) Periodo SDOF (sec) | 1841,76 1,00 21091,18 0,59 | Taglio alla base max. (t) Resistenza SDOF (t) Spostam. Snervam. SDOF mm Rapporto di incrudimento | 292,16 279,26 13 0,000 |
| Rapporto Alfau/alfa1 Coeff Smorzam.Equiv. (%) | 40,652 18 | Fattore di comportamento Duttilita | 1,763 1,763 |
| STATO LIMITE DI SALVAGUARDIA DELLA VITA | | | |
| DOMANDA | | CAPACITA' | |
| Spostamento mm S.L. Salvaguardia Vita | 46,561 NON VERIFICA | Spostamento mm Numero passo precedente | 17,504 32 |
| PgaLV/g Rapporto q*=Fe/Fy Tempo Intervento (anni) | >3 0,072 3,52 4 | ZetaE=PgaLV/Pga 10% Asta3D Nro TrCLV (anni) (TrCLV/TDLV)^a | 0,379 60 0,361 |

RISULTATI GENERALI PUSH-OVER

| PUSH-OVER N.ro | 8 | Distrib.Forze Prop.Massa:-Fy+0.3*Fx+Ecc5% | |
|---|-------------------------------------|---|---------------------------------|
| STATO LIMITE DI SALVAGUARDIA DELLA VITA | | | |
| DOMANDA | | CAPACITA' | |
| Spostamento mm S.L. Salvaguardia Vita | 270 32 | Numero collassi totali Numero passi significativi | 10 41 |
| Massa SDOF (t) Coeff. Partecipazione Rigidezza SDOF (t/m) Periodo SDOF (sec) | 1841,76 1,00 21168,74 0,59 | Taglio alla base max. (t) Resistenza SDOF (t) Spostam. Snervam. SDOF mm Rapporto di incrudimento | 305,16 283,24 13 0,000 |
| Rapporto Alfau/alfa1 Coeff Smorzam.Equiv. (%) | 27,255 19 | Fattore di comportamento Duttilita | 1,831 1,831 |
| STATO LIMITE DI SALVAGUARDIA DELLA VITA | | | |
| DOMANDA | | CAPACITA' | |
| Spostamento mm S.L. Salvaguardia Vita | 46,476 NON VERIFICA | Spostamento mm Numero passo precedente | 18,371 28 |
| PgaLV/g Rapporto q*=Fe/Fy Tempo Intervento (anni) | >3 0,076 3,47 5 | ZetaE=PgaLV/Pga 10% Asta3D Nro TrCLV (anni) | 0,396 67 |



AREA EDILIZIA E LOGISTICA

(TrCLV/TDLV)^a

0,378

RISULTATI GENERALI PUSH-OVER

| | | | |
|---|---------------------------|--|----------------------|
| PUSH-OVER N.ro | 9 - | Distrib.Forze Prop.Modo:+Fx-0.3*Fy+Ecc5% | |
| Angolo Ingr. Sisma (Grd) | 0 | Numero collassi totali | 20 |
| Numero passo Resist.Max. | 29 | Numero passi significativi | 61 |
| Massa SDOF (t) | 1273,20 | Taglio alla base max. (t) | 258,55 |
| Coeff. Partecipazione | 1,05 | Resistenza SDOF (t) | 232,54 |
| Rigidezza SDOF (t/m) | 26101,35 | Spostam. Snervam. SDOF mm | 9 |
| Periodo SDOF (sec) | 0,44 | Rapporto di incrudimento | 0,000 |
| Rapporto Alfau/alfa1 | 23,771 | Fattore di comportamento | 1,846 |
| Coeff Smorzam.Equival.(%) | 20 | Duttilita | 1,919 |
| STATO LIMITE DI SALVAGUARDIA DELLA VITA | | | |
| DOMANDA | | CAPACITA' | |
| Spostamento mm S.L. Salvaguardia Vita | 34,026 NON VERIFICA | Spostamento mm Numero passo precedente | 12,824 27 |
| PgaLV/g Rapporto q*=Fe/Fy Tempo Intervento (anni) | 0,071 3,59 4 | ZetaE=PgaLV/Pga 10% Asta3D Nro TrCLV (anni) (TrCLV/TDLV) ^a | 0,374 58 0,356 |

RISULTATI GENERALI PUSH-OVER

| | | | |
|---|---------------------------|--|----------------------|
| PUSH-OVER N.ro | 10 - | Distrib.Forze Prop.Modo:-Fx-0.3*Fy+Ecc5% | |
| Angolo Ingr. Sisma (Grd) | 180 | Numero collassi totali | 20 |
| Numero passo Resist.Max. | 30 | Numero passi significativi | 64 |
| Massa SDOF (t) | 1273,20 | Taglio alla base max. (t) | 258,27 |
| Coeff. Partecipazione | 1,05 | Resistenza SDOF (t) | 229,17 |
| Rigidezza SDOF (t/m) | 25372,18 | Spostam. Snervam. SDOF mm | 9 |
| Periodo SDOF (sec) | 0,45 | Rapporto di incrudimento | 0,000 |
| Rapporto Alfau/alfa1 | 19,081 | Fattore di comportamento | 1,882 |
| Coeff Smorzam.Equival.(%) | 20 | Duttilita | 1,945 |
| STATO LIMITE DI SALVAGUARDIA DELLA VITA | | | |
| DOMANDA | | CAPACITA' | |
| Spostamento mm S.L. Salvaguardia Vita | 34,650 NON VERIFICA | Spostamento mm Numero passo precedente | 13,179 28 |
| PgaLV/g Rapporto q*=Fe/Fy Tempo Intervento (anni) | 0,072 3,65 4 | ZetaE=PgaLV/Pga 10% Asta3D Nro TrCLV (anni) (TrCLV/TDLV) ^a | 0,376 59 0,359 |

RISULTATI GENERALI PUSH-OVER

| | | | |
|--------------------------|----------|--|--------|
| PUSH-OVER N.ro | 11 - | Distrib.Forze Prop.Modo:+Fy-0.3*Fx+Ecc5% | |
| Angolo Ingr. Sisma (Grd) | 90 | Numero collassi totali | 10 |
| Numero passo Resist.Max. | 29 | Numero passi significativi | 32 |
| Massa SDOF (t) | 1260,11 | Taglio alla base max. (t) | 202,15 |
| Coeff. Partecipazione | 1,04 | Resistenza SDOF (t) | 182,51 |
| Rigidezza SDOF (t/m) | 15640,74 | Spostam. Snervam. SDOF mm | 12 |



AREA EDILIZIA E LOGISTICA

| | | | |
|---|---------------------------|---|----------------------|
| Periodo SDOF (sec) | 0,57 | Rapporto di incrudimento | 0,000 |
| Rapporto Alfau/alfa1 | 11,667 | Fattore di comportamento | 1,877 |
| Coeff Smorzam.Equival.(%) | 19 | Duttilita | 1,877 |
| STATO LIMITE DI SALVAGUARDIA DELLA VITA | | | |
| DOMANDA CAPACITA' | | | |
| Spostamento mm S.L. Salvaguardia Vita | 44,723 NON VERIFICA | Spostamento mm Numero passo precedente | 16,430 26 |
| PgaLV/g Rapporto q*=Fe/Fy Tempo Intervento (anni) | 0,071 3,83 4 | ZetaE=PgaLV/Pga 10% Asta3D Nro TrCLV (anni) (TrCLV/TDLV)^a | 0,371 57 0,354 |

RISULTATI GENERALI PUSH-OVER

| | | | |
|---|---------------------------|---|----------------------|
| PUSH-OVER N.ro | 12 | Distrib.Forze Prop.Modo:-Fy-0,3*Fx+Ecc5% | |
| Angolo Ingr. Sisma (Grd) | 270 | Numero collassi totali | 12 |
| Numero passo Resist.Max. | 28 | Numero passi significativi | 33 |
| Massa SDOF (t) | 1260,11 | Taglio alla base max. (t) | 203,11 |
| Coeff. Partecipazione | 1,04 | Resistenza SDOF (t) | 179,93 |
| Rigidezza SDOF (t/m) | 15124,93 | Spostam. Snervam. SDOF mm | 12 |
| Periodo SDOF (sec) | 0,58 | Rapporto di incrudimento | 0,000 |
| Rapporto Alfau/alfa1 | 11,678 | Fattore di comportamento | 2,020 |
| Coeff Smorzam.Equival.(%) | 21 | Duttilita | 2,020 |
| STATO LIMITE DI SALVAGUARDIA DELLA VITA | | | |
| DOMANDA CAPACITA' | | | |
| Spostamento mm S.L. Salvaguardia Vita | 45,479 NON VERIFICA | Spostamento mm Numero passo precedente | 18,020 21 |
| PgaLV/g Rapporto q*=Fe/Fy Tempo Intervento (anni) | 0,076 3,82 5 | ZetaE=PgaLV/Pga 10% Asta3D Nro TrCLV (anni) (TrCLV/TDLV)^a | 0,396 67 0,378 |

RISULTATI GENERALI PUSH-OVER

| | | | |
|--|---------------------------|---|--------------|
| PUSH-OVER N.ro | 13 | Distrib.Forze Prop.Massa:+Fx-0,3*Fy+Ecc5% | |
| Angolo Ingr. Sisma (Grd) | 0 | Numero collassi totali | 20 |
| Numero passo Resist.Max. | 38 | Numero passi significativi | 74 |
| Massa SDOF (t) | 1841,76 | Taglio alla base max. (t) | 376,55 |
| Coeff. Partecipazione | 1,00 | Resistenza SDOF (t) | 355,26 |
| Rigidezza SDOF (t/m) | 35799,39 | Spostam. Snervam. SDOF mm | 10 |
| Periodo SDOF (sec) | 0,46 | Rapporto di incrudimento | 0,000 |
| Rapporto Alfau/alfa1 | 36,143 | Fattore di comportamento | 1,813 |
| Coeff Smorzam.Equival.(%) | 19 | Duttilita | 1,860 |
| STATO LIMITE DI SALVAGUARDIA DELLA VITA | | | |
| DOMANDA CAPACITA' | | | |
| Spostamento mm S.L. Salvaguardia Vita | 35,160 NON VERIFICA | Spostamento mm Numero passo precedente | 13,843 35 |
| PgaLV/g Rapporto q*=Fe/Fy | >3 | ZetaE=PgaLV/Pga 10% Asta3D Nro | 0,389 |



AREA EDILIZIA E LOGISTICA

| | | | |
|-------------------------|---|---|-------------|
| Tempo Intervento (anni) | 5 | TrCLV (anni) (TrCLV/TDLV) ^a | 64 0,371 |
|-------------------------|---|---|-------------|

RISULTATI GENERALI PUSH-OVER

| | | | |
|--|--------------|---|--------|
| PUSH-OVER N.ro | 14 | Distrib. Forze Prop. Massa:-Fx-0,3*Fy+Ecc5% | |
| | - | | |
| Angolo Ingr. Sisma (Grd) | 180 | Numero collassi totali | 20 |
| Numero passo Resist.Max. | 37 | Numero passi significativi | 71 |
| Massa SDOF (t) | 1841,76 | Taglio alla base max. (t) | 375,97 |
| Coeff. Partecipazione | 1,00 | Resistenza SDOF (t) | 344,91 |
| Rigidezza SDOF (t/m) | 34441,25 | Spostam. Snervam. SDOF mm | 10 |
| Periodo SDOF (sec) | 0,46 | Rapporto di incrudimento | 0,000 |
| Rapporto Alfau/alfa1 | 33,244 | Fattore di comportamento | 1,936 |
| Coeff Smorzam.Equival.(%) | 20 | Duttilità | 1,972 |
| STATO LIMITE DI SALVAGUARDIA DELLA VITA | | | |
| DOMANDA | | CAPACITA' | |
| Spostamento mm | 36,055 | Spostamento mm | 14,810 |
| S.L. Salvaguardia Vita | NON VERIFICA | Numero passo precedente | 35 |
| PgaLV/g | 0,077 | ZetaE=PgaLV/Pga 10% | 0,405 |
| Rapporto q*=Fe/Fy | 3,51 | Asta3D Nro | |
| Tempo Intervento (anni) | 5 | TrCLV (anni) | 71 |
| | | (TrCLV/TDLV) ^a | 0,387 |

RISULTATI GENERALI PUSH-OVER

| | | | |
|--|--------------|---|--------|
| PUSH-OVER N.ro | 15 | Distrib. Forze Prop. Massa:+Fy-0,3*Fx+Ecc5% | |
| | - | | |
| Angolo Ingr. Sisma (Grd) | 90 | Numero collassi totali | 11 |
| Numero passo Resist.Max. | 34 | Numero passi significativi | 37 |
| Massa SDOF (t) | 1841,76 | Taglio alla base max. (t) | 298,44 |
| Coeff. Partecipazione | 1,00 | Resistenza SDOF (t) | 283,54 |
| Rigidezza SDOF (t/m) | 21893,28 | Spostam. Snervam. SDOF mm | 13 |
| Periodo SDOF (sec) | 0,58 | Rapporto di incrudimento | 0,000 |
| Rapporto Alfau/alfa1 | 22,847 | Fattore di comportamento | 1,807 |
| Coeff Smorzam.Equival.(%) | 19 | Duttilità | 1,807 |
| STATO LIMITE DI SALVAGUARDIA DELLA VITA | | | |
| DOMANDA | | CAPACITA' | |
| Spostamento mm | 45,700 | Spostamento mm | 17,549 |
| S.L. Salvaguardia Vita | NON VERIFICA | Numero passo precedente | 31 |
| PgaLV/g | 0,074 | ZetaE=PgaLV/Pga 10% | 0,386 |
| Rapporto q*=Fe/Fy | 3,53 | Asta3D Nro | |
| Tempo Intervento (anni) | 5 | TrCLV (anni) | 63 |
| | | (TrCLV/TDLV) ^a | 0,369 |

RISULTATI GENERALI PUSH-OVER

| | | | |
|--------------------------|---------|---|--------|
| PUSH-OVER N.ro | 16 | Distrib. Forze Prop. Massa:-Fy-0,3*Fx+Ecc5% | |
| | - | | |
| Angolo Ingr. Sisma (Grd) | 270 | Numero collassi totali | 9 |
| Numero passo Resist.Max. | 30 | Numero passi significativi | 37 |
| Massa SDOF (t) | 1841,76 | Taglio alla base max. (t) | 300,34 |
| Coeff. Partecipazione | 1,00 | Resistenza SDOF (t) | 281,50 |



AREA EDILIZIA E LOGISTICA

| | | | |
|---|---------------------------|---|----------------------|
| Rigidezza SDOF (t/m) | 21124,29 | Spostam. Snervam. SDOF mm | 13 |
| Periodo SDOF (sec) | 0,59 | Rapporto di incrudimento | 0,000 |
| Rapporto Alfau/alfa1 | 59,579 | Fattore di comportamento | 1,919 |
| Coeff Smorzam.Equival.(%) | 20 | Duttilita | 1,919 |
| STATO LIMITE DI SALVAGUARDIA DELLA VITA | | | |
| DOMANDA | | CAPACITA' | |
| Spostamento mm S.L. Salvaguardia Vita | 46,524 NON VERIFICA | Spostamento mm Numero passo precedente | 19,179 27 |
| PgaLV/g Rapporto q*=Fe/Fy Tempo Intervento (anni) | 0,078 3,49 5 | ZetaE=PgaLV/Pga 10% Asta3D Nro TrCLV (anni) (TrCLV/TDLV)^a | 0,410 73 0,392 |

RISULTATI GENERALI PUSH-OVER

| | | | |
|---|---------------------------|---|----------------------|
| PUSH-OVER N.ro | 17 | Distrib.Forze Prop.Modo:+Fx+0.3*Fy-Ecc5% | |
| Angolo Ingr. Sisma (Grd) | 0 | Numero collassi totali | 20 |
| Numero passo Resist.Max. | 29 | Numero passi significativi | 61 |
| Massa SDOF (t) | 1273,20 | Taglio alla base max. (t) | 253,65 |
| Coeff. Partecipazione | 1,05 | Resistenza SDOF (t) | 228,52 |
| Rigidezza SDOF (t/m) | 25284,97 | Spostam. Snervam. SDOF mm | 9 |
| Periodo SDOF (sec) | 0,45 | Rapporto di incrudimento | 0,000 |
| Rapporto Alfau/alfa1 | 84,870 | Fattore di comportamento | 1,778 |
| Coeff Smorzam.Equival.(%) | 19 | Duttilita | 1,833 |
| STATO LIMITE DI SALVAGUARDIA DELLA VITA | | | |
| DOMANDA | | CAPACITA' | |
| Spostamento mm S.L. Salvaguardia Vita | 34,727 NON VERIFICA | Spostamento mm Numero passo precedente | 12,423 26 |
| PgaLV/g Rapporto q*=Fe/Fy Tempo Intervento (anni) | 0,068 3,66 3 | ZetaE=PgaLV/Pga 10% Asta3D Nro TrCLV (anni) (TrCLV/TDLV)^a | 0,358 52 0,341 |

RISULTATI GENERALI PUSH-OVER

| | | | |
|--|---------------------------|---|--------------|
| PUSH-OVER N.ro | 18 | Distrib.Forze Prop.Modo:-Fx+0.3*Fy-Ecc5% | |
| Angolo Ingr. Sisma (Grd) | 180 | Numero collassi totali | 20 |
| Numero passo Resist.Max. | 32 | Numero passi significativi | 66 |
| Massa SDOF (t) | 1273,20 | Taglio alla base max. (t) | 256,25 |
| Coeff. Partecipazione | 1,05 | Resistenza SDOF (t) | 231,01 |
| Rigidezza SDOF (t/m) | 25713,02 | Spostam. Snervam. SDOF mm | 9 |
| Periodo SDOF (sec) | 0,45 | Rapporto di incrudimento | 0,000 |
| Rapporto Alfau/alfa1 | 18,493 | Fattore di comportamento | 1,872 |
| Coeff Smorzam.Equival.(%) | 20 | Duttilita | 1,941 |
| STATO LIMITE DI SALVAGUARDIA DELLA VITA | | | |
| DOMANDA | | CAPACITA' | |
| Spostamento mm S.L. Salvaguardia Vita | 34,354 NON VERIFICA | Spostamento mm Numero passo precedente | 13,077 30 |
| PgaLV/g | 0,072 | ZetaE=PgaLV/Pga 10% | 0,376 |



AREA EDILIZIA E LOGISTICA

| | | | | |
|-------------------------|----|------|---------------------------|-------|
| Rapporto q*=Fe/Fy | >3 | 3,62 | Asta3D Nro | |
| Tempo Intervento (anni) | | 4 | TrCLV (anni) | 59 |
| | | | (TrCLV/TDLV) ^a | 0,359 |

RISULTATI GENERALI PUSH-OVER

| PUSH-OVER N.ro | | 19 | Distrib.Forze Prop.Modo:+Fy+0.3*Fx-Ecc5% | |
|---|----------|--------------|--|--------|
| Angolo Ingr. Sisma (Grd) | | 90 | Numero collassi totali | 9 |
| Numero passo Resist.Max. | | 26 | Numero passi significativi | 31 |
| Massa SDOF (t) | 1260,11 | | Taglio alla base max. (t) | 209,34 |
| Coeff. Partecipazione | 1,04 | | Resistenza SDOF (t) | 188,60 |
| Rigidezza SDOF (t/m) | 14752,62 | | Spostam. Snervam. SDOF mm | 13 |
| Periodo SDOF (sec) | 0,59 | | Rapporto di incrudimento | 0,000 |
| Rapporto Alfa1/alfa1 | 19,465 | | Fattore di comportamento | 1,896 |
| Coeff Smorzam.Equival.(%) | 20 | | Duttilita | 1,896 |
| STATO LIMITE DI SALVAGUARDIA DELLA VITA | | | | |
| DOMANDA | | | CAPACITA' | |
| Spostamento mm | | 46,050 | Spostamento mm | 18,184 |
| S.L. Salvaguardia Vita | | NON VERIFICA | Numero passo precedente | 22 |
| PgaLV/g | | 0,075 | ZetaE=PgaLV/Pga 10% | 0,394 |
| Rapporto q*=Fe/Fy | >3 | 3,60 | Asta3D Nro | |
| Tempo Intervento (anni) | | 5 | TrCLV (anni) | 66 |
| | | | (TrCLV/TDLV) ^a | 0,376 |

RISULTATI GENERALI PUSH-OVER

| PUSH-OVER N.ro | | 20 | Distrib.Forze Prop.Modo:-Fy+0.3*Fx-Ecc5% | |
|---|----------|--------------|--|--------|
| Angolo Ingr. Sisma (Grd) | | 270 | Numero collassi totali | 12 |
| Numero passo Resist.Max. | | 31 | Numero passi significativi | 36 |
| Massa SDOF (t) | 1260,11 | | Taglio alla base max. (t) | 197,12 |
| Coeff. Partecipazione | 1,04 | | Resistenza SDOF (t) | 180,65 |
| Rigidezza SDOF (t/m) | 15730,19 | | Spostam. Snervam. SDOF mm | 11 |
| Periodo SDOF (sec) | 0,57 | | Rapporto di incrudimento | 0,000 |
| Rapporto Alfa1/alfa1 | | 17,266 | Fattore di comportamento | 1,929 |
| Coeff Smorzam.Equival.(%) | | 20 | Duttilita | 1,929 |
| STATO LIMITE DI SALVAGUARDIA DELLA VITA | | | | |
| DOMANDA | | | CAPACITA' | |
| Spostamento mm | | 44,596 | Spostamento mm | 16,613 |
| S.L. Salvaguardia Vita | | NON VERIFICA | Numero passo precedente | 27 |
| PgaLV/g | | 0,072 | ZetaE=PgaLV/Pga 10% | 0,376 |
| Rapporto q*=Fe/Fy | >3 | 3,88 | Asta3D Nro | |
| Tempo Intervento (anni) | | 4 | TrCLV (anni) | 59 |
| | | | (TrCLV/TDLV) ^a | 0,359 |

RISULTATI GENERALI PUSH-OVER

| PUSH-OVER N.ro | | 21 | Distrib.Forze Prop.Massa:+Fx+0.3*Fy-Ecc5% | |
|--------------------------|--|---------|---|--------|
| Angolo Ingr. Sisma (Grd) | | 0 | Numero collassi totali | 20 |
| Numero passo Resist.Max. | | 32 | Numero passi significativi | 66 |
| Massa SDOF (t) | | 1841,76 | Taglio alla base max. (t) | 368,99 |



AREA EDILIZIA E LOGISTICA

| | | | |
|---|---------------------------|---|----------------------|
| Coeff. Partecipazione | 1,00 | Resistenza SDOF (t) | 347,72 |
| Rigidezza SDOF (t/m) | 34304,38 | Spostam. Snervam. SDOF mm | 10 |
| Periodo SDOF (sec) | 0,46 | Rapporto di incrudimento | 0,000 |
| Rapporto Alfau/alfa1 | 90,986 | Fattore di comportamento | 1,729 |
| Coeff Smorzam.Equival.(%) | 18 | Duttilita | 1,756 |
| STATO LIMITE DI SALVAGUARDIA DELLA VITA | | | |
| DOMANDA | | CAPACITA' | |
| Spostamento mm S.L. Salvaguardia Vita | 36,144 NON VERIFICA | Spostamento mm Numero passo precedente | 13,347 29 |
| PgaLV/g Rapporto q*=Fe/Fy Tempo Intervento (anni) | 0,070 3,48 4 | ZetaE=PgaLV/Pga 10% Asta3D Nro TrCLV (anni) (TrCLV/TDLV)^a | 0,368 56 0,351 |

RISULTATI GENERALI PUSH-OVER

| | | | |
|---|---------------------------|---|----------------------|
| PUSH-OVER N.ro | 22 | Distrib.Forze Prop.Massa:-Fx+0.3*Fy-Ecc5% | |
| Angolo Ingr. Sisma (Grd) | 180 | Numero collassi totali | 20 |
| Numero passo Resist.Max. | 40 | Numero passi significativi | 72 |
| Massa SDOF (t) | 1841,76 | Taglio alla base max. (t) | 378,32 |
| Coeff. Partecipazione | 1,00 | Resistenza SDOF (t) | 358,04 |
| Rigidezza SDOF (t/m) | 35278,09 | Spostam. Snervam. SDOF mm | 10 |
| Periodo SDOF (sec) | 0,46 | Rapporto di incrudimento | 0,000 |
| Rapporto Alfau/alfa1 | 48,633 | Fattore di comportamento | 1,784 |
| Coeff Smorzam.Equival.(%) | 19 | Duttilita | 1,824 |
| STATO LIMITE DI SALVAGUARDIA DELLA VITA | | | |
| DOMANDA | | CAPACITA' | |
| Spostamento mm S.L. Salvaguardia Vita | 35,488 NON VERIFICA | Spostamento mm Numero passo precedente | 13,885 37 |
| PgaLV/g Rapporto q*=Fe/Fy Tempo Intervento (anni) | 0,074 3,38 5 | ZetaE=PgaLV/Pga 10% Asta3D Nro TrCLV (anni) (TrCLV/TDLV)^a | 0,386 63 0,369 |

RISULTATI GENERALI PUSH-OVER

| | | | |
|--|---------------------------|---|--------------|
| PUSH-OVER N.ro | 23 | Distrib.Forze Prop.Massa:+Fy+0.3*Fx-Ecc5% | |
| Angolo Ingr. Sisma (Grd) | 90 | Numero collassi totali | 9 |
| Numero passo Resist.Max. | 32 | Numero passi significativi | 37 |
| Massa SDOF (t) | 1841,76 | Taglio alla base max. (t) | 312,42 |
| Coeff. Partecipazione | 1,00 | Resistenza SDOF (t) | 290,21 |
| Rigidezza SDOF (t/m) | 20592,31 | Spostam. Snervam. SDOF mm | 14 |
| Periodo SDOF (sec) | 0,60 | Rapporto di incrudimento | 0,000 |
| Rapporto Alfau/alfa1 | 80,386 | Fattore di comportamento | 1,835 |
| Coeff Smorzam.Equival.(%) | 19 | Duttilita | 1,835 |
| STATO LIMITE DI SALVAGUARDIA DELLA VITA | | | |
| DOMANDA | | CAPACITA' | |
| Spostamento mm S.L. Salvaguardia Vita | 47,122 NON VERIFICA | Spostamento mm Numero passo precedente | 19,401 29 |



AREA EDILIZIA E LOGISTICA

| | | | | |
|-------------------------|----|-------|---------------------------|-------|
| PgaLV/g | | 0,078 | ZetaE=PgaLV/Pga 10% | 0,410 |
| Rapporto q*=Fe/Fy | >3 | 3,34 | Asta3D Nro | |
| Tempo Intervento (anni) | | 5 | TrCLV (anni) | 73 |
| ----- | | | (TrCLV/TDLV) ^a | 0,392 |

RISULTATI GENERALI PUSH-OVER

| PUSH-OVER N.ro | | 24 | Distrib.Forze Prop.Massa:-Fy+0.3*Fx-Ecc5% | |
|---|----|--------------|---|--------|
| Angolo Ingr. Sisma (Grd) | | 270 | Numero collassi totali | 12 |
| Numero passo Resist.Max. | | 37 | Numero passi significativi | 42 |
| Massa SDOF (t) | | 1841,76 | Taglio alla base max. (t) | 291,14 |
| Coeff. Partecipazione | | 1,00 | Resistenza SDOF (t) | 275,69 |
| Rigidezza SDOF (t/m) | | 21997,52 | Spostam. Snervam. SDOF mm | 13 |
| Periodo SDOF (sec) | | 0,58 | Rapporto di incrudimento | 0,000 |
| Rapporto Alfau/alfa1 | | 70,827 | Fattore di comportamento | 1,898 |
| Coeff Smorzam.Equival.(%) | | 20 | Duttilita | 1,898 |
| STATO LIMITE DI SALVAGUARDIA DELLA VITA | | | | |
| DOMANDA | | | CAPACITA' | |
| Spostamento mm | | 45,592 | Spostamento mm | 17,839 |
| S.L. Salvaguardia Vita | | NON VERIFICA | Numero passo precedente | 33 |
| PgaLV/g | | 0,075 | ZetaE=PgaLV/Pga 10% | 0,391 |
| Rapporto q*=Fe/Fy | >3 | 3,64 | Asta3D Nro | |
| Tempo Intervento (anni) | | 5 | TrCLV (anni) | 65 |
| ----- | | | (TrCLV/TDLV) ^a | 0,373 |

RISULTATI GENERALI PUSH-OVER

| PUSH-OVER N.ro | | 25 | Distrib.Forze Prop.Modo:+Fx-0.3*Fy-Ecc5% | |
|---|----|--------------|--|--------|
| Angolo Ingr. Sisma (Grd) | | 0 | Numero collassi totali | 20 |
| Numero passo Resist.Max. | | 30 | Numero passi significativi | 56 |
| Massa SDOF (t) | | 1273,20 | Taglio alla base max. (t) | 261,55 |
| Coeff. Partecipazione | | 1,05 | Resistenza SDOF (t) | 233,49 |
| Rigidezza SDOF (t/m) | | 26694,49 | Spostam. Snervam. SDOF mm | 9 |
| Periodo SDOF (sec) | | 0,44 | Rapporto di incrudimento | 0,000 |
| Rapporto Alfau/alfa1 | | 16,026 | Fattore di comportamento | 1,904 |
| Coeff Smorzam.Equival.(%) | | 20 | Duttilita | 1,994 |
| STATO LIMITE DI SALVAGUARDIA DELLA VITA | | | | |
| DOMANDA | | | CAPACITA' | |
| Spostamento mm | | 33,544 | Spostamento mm | 13,080 |
| S.L. Salvaguardia Vita | | NON VERIFICA | Numero passo precedente | 27 |
| PgaLV/g | | 0,073 | ZetaE=PgaLV/Pga 10% | 0,384 |
| Rapporto q*=Fe/Fy | >3 | 3,58 | Asta3D Nro | |
| Tempo Intervento (anni) | | 5 | TrCLV (anni) | 62 |
| ----- | | | (TrCLV/TDLV) ^a | 0,366 |

RISULTATI GENERALI PUSH-OVER

| PUSH-OVER N.ro | | 26 | Distrib.Forze Prop.Modo:-Fx-0.3*Fy-Ecc5% | |
|--------------------------|--|-----|--|----|
| Angolo Ingr. Sisma (Grd) | | 180 | Numero collassi totali | 20 |
| Numero passo Resist.Max. | | 28 | Numero passi significativi | 66 |



AREA EDILIZIA E LOGISTICA

| | | | |
|---------------------------|----------|---------------------------|--------|
| Massa SDOF (t) | 1273,20 | Taglio alla base max. (t) | 261,95 |
| Coeff. Partecipazione | 1,05 | Resistenza SDOF (t) | 232,15 |
| Rigidezza SDOF (t/m) | 24635,45 | Spostam. Snervam. SDOF mm | 9 |
| Periodo SDOF (sec) | 0,46 | Rapporto di incrudimento | 0,000 |
| Rapporto Alfau/alfa1 | 24,382 | Fattore di comportamento | 1,852 |
| Coeff Smorzam.Equival.(%) | 20 | Duttilita | 1,899 |

STATO LIMITE DI SALVAGUARDIA DELLA VITA

| DOMANDA | | CAPACITA' | |
|---|---------------------------|---|----------------------|
| Spostamento mm S.L. Salvaguardia Vita | 35,293 NON VERIFICA | Spostamento mm Numero passo precedente | 13,424 26 |
| PgaLV/g Rapporto q*=Fe/Fy Tempo Intervento (anni) | 0,072 3,60 4 | ZetaE=PgaLV/Pga 10% Asta3D Nro TrCLV (anni) (TrCLV/TDLV)^a | 0,376 59 0,359 |

RISULTATI GENERALI PUSH-OVER

| | | | |
|---------------------------|----------|--|--------|
| PUSH-OVER N.ro | 27 | Distrib.Forze Prop.Modo:+Fy-0.3*Fx-Ecc5% | |
| Angolo Ingr. Sisma (Grd) | 90 | Numero collassi totali | 12 |
| Numero passo Resist.Max. | 24 | Numero passi significativi | 33 |
| Massa SDOF (t) | 1260,11 | Taglio alla base max. (t) | 206,98 |
| Coeff. Partecipazione | 1,04 | Resistenza SDOF (t) | 185,56 |
| Rigidezza SDOF (t/m) | 15203,24 | Spostam. Snervam. SDOF mm | 12 |
| Periodo SDOF (sec) | 0,58 | Rapporto di incrudimento | 0,000 |
| Rapporto Alfau/alfa1 | 21,352 | Fattore di comportamento | 1,921 |
| Coeff Smorzam.Equival.(%) | 20 | Duttilita | 1,921 |

STATO LIMITE DI SALVAGUARDIA DELLA VITA

| DOMANDA | | CAPACITA' | |
|---|---------------------------|---|----------------------|
| Spostamento mm S.L. Salvaguardia Vita | 45,362 NON VERIFICA | Spostamento mm Numero passo precedente | 17,586 22 |
| PgaLV/g Rapporto q*=Fe/Fy Tempo Intervento (anni) | 0,074 3,72 5 | ZetaE=PgaLV/Pga 10% Asta3D Nro TrCLV (anni) (TrCLV/TDLV)^a | 0,389 64 0,371 |

RISULTATI GENERALI PUSH-OVER

| | | | |
|---------------------------|----------|--|--------|
| PUSH-OVER N.ro | 28 | Distrib.Forze Prop.Modo:-Fy-0.3*Fx-Ecc5% | |
| Angolo Ingr. Sisma (Grd) | 270 | Numero collassi totali | 12 |
| Numero passo Resist.Max. | 28 | Numero passi significativi | 33 |
| Massa SDOF (t) | 1260,11 | Taglio alla base max. (t) | 193,22 |
| Coeff. Partecipazione | 1,04 | Resistenza SDOF (t) | 174,77 |
| Rigidezza SDOF (t/m) | 15200,32 | Spostam. Snervam. SDOF mm | 11 |
| Periodo SDOF (sec) | 0,58 | Rapporto di incrudimento | 0,000 |
| Rapporto Alfau/alfa1 | 30,810 | Fattore di comportamento | 1,892 |
| Coeff Smorzam.Equival.(%) | 20 | Duttilita | 1,892 |

STATO LIMITE DI SALVAGUARDIA DELLA VITA

| DOMANDA | | CAPACITA' | |
|--|---------------|---|--------------|
| Spostamento mm S.L. Salvaguardia Vita | 45,366 NON | Spostamento mm Numero passo precedente | 16,317 24 |



AREA EDILIZIA E LOGISTICA

| | | VERIFICA | | |
|-------------------------|----|----------|---------------------------|-------|
| PgaLV/g | | 0,070 | ZetaE=PgaLV/Pga 10% | 0,366 |
| Rapporto q*=Fe/Fy | >3 | 3,95 | Asta3D Nro | |
| Tempo Intervento (anni) | | 4 | TrCLV (anni) | 55 |
| | | | (TrCLV/TDLV) ^a | 0,349 |

RISULTATI GENERALI PUSH-OVER

| PUSH-OVER N.ro | | 29 | Distrib.Forze Prop.Massa:+Fx-0.3*Fy-Ecc5% | |
|---|----|-----------------|---|--------|
| Angolo Ingr. Sisma (Grd) | | 0 | Numero collassi totali | 20 |
| Numero passo Resist.Max. | | 36 | Numero passi significativi | 67 |
| Massa SDOF (t) | | 1841,76 | Taglio alla base max. (t) | 380,84 |
| Coeff. Partecipazione | | 1,00 | Resistenza SDOF (t) | 356,08 |
| Rigidezza SDOF (t/m) | | 36754,02 | Spostam. Snervam. SDOF mm | 10 |
| Periodo SDOF (sec) | | 0,45 | Rapporto di incrudimento | 0,000 |
| Rapporto Alfau/alfa1 | | 20,790 | Fattore di comportamento | 1,854 |
| Coeff Smorzam.Equival.(%) | | 20 | Duttilita | 1,916 |
| STATO LIMITE DI SALVAGUARDIA DELLA VITA | | | | |
| DOMANDA | | | CAPACITA' | |
| Spostamento mm | | 34,571 | Spostamento mm | 13,924 |
| S.L. Salvaguardia Vita | | NON VERIFICA | Numero passo precedente | 33 |
| PgaLV/g | | 0,075 | ZetaE=PgaLV/Pga 10% | 0,394 |
| Rapporto q*=Fe/Fy | >3 | 3,40 | Asta3D Nro | |
| Tempo Intervento (anni) | | 5 | TrCLV (anni) | 66 |
| | | | (TrCLV/TDLV) ^a | 0,376 |

RISULTATI GENERALI PUSH-OVER

| PUSH-OVER N.ro | | 30 | Distrib.Forze Prop.Massa:-Fx-0.3*Fy-Ecc5% | |
|---|----|-----------------|---|--------|
| Angolo Ingr. Sisma (Grd) | | 180 | Numero collassi totali | 20 |
| Numero passo Resist.Max. | | 37 | Numero passi significativi | 69 |
| Massa SDOF (t) | | 1841,76 | Taglio alla base max. (t) | 383,30 |
| Coeff. Partecipazione | | 1,00 | Resistenza SDOF (t) | 356,11 |
| Rigidezza SDOF (t/m) | | 33298,17 | Spostam. Snervam. SDOF mm | 11 |
| Periodo SDOF (sec) | | 0,47 | Rapporto di incrudimento | 0,000 |
| Rapporto Alfau/alfa1 | | 35,487 | Fattore di comportamento | 1,778 |
| Coeff Smorzam.Equival.(%) | | 19 | Duttilita | 1,794 |
| STATO LIMITE DI SALVAGUARDIA DELLA VITA | | | | |
| DOMANDA | | | CAPACITA' | |
| Spostamento mm | | 36,836 | Spostamento mm | 14,389 |
| S.L. Salvaguardia Vita | | NON VERIFICA | Numero passo precedente | 34 |
| PgaLV/g | | 0,074 | ZetaE=PgaLV/Pga 10% | 0,389 |
| Rapporto q*=Fe/Fy | >3 | 3,39 | Asta3D Nro | |
| Tempo Intervento (anni) | | 5 | TrCLV (anni) | 64 |
| | | | (TrCLV/TDLV) ^a | 0,371 |

RISULTATI GENERALI PUSH-OVER

| PUSH-OVER N.ro | | 31 | Distrib.Forze Prop.Massa:+Fy-0.3*Fx-Ecc5% | |
|--------------------------|--|----|---|----|
| Angolo Ingr. Sisma (Grd) | | 90 | Numero collassi totali | 10 |



AREA EDILIZIA E LOGISTICA

| | | | |
|---|---------------------------|---|----------------------|
| Numero passo Resist.Max. | 29 | Numero passi significativi | 40 |
| Massa SDOF (t) | 1841,76 | Taglio alla base max. (t) | 307,10 |
| Coeff. Partecipazione | 1,00 | Resistenza SDOF (t) | 286,63 |
| Rigidezza SDOF (t/m) | 21555,22 | Spostam. Snervam. SDOF mm | 13 |
| Periodo SDOF (sec) | 0,59 | Rapporto di incrudimento | 0,000 |
| Rapporto Alfau/alfa1 | 27,302 | Fattore di comportamento | 1,860 |
| Coeff Smorzam.Equival.(%) | 19 | Duttilità | 1,860 |
| STATO LIMITE DI SALVAGUARDIA DELLA VITA | | | |
| DOMANDA | | CAPACITÀ | |
| Spostamento mm S.L. Salvaguardia Vita | 46,057 NON VERIFICA | Spostamento mm Numero passo precedente | 18,554 26 |
| PgaLV/g Rapporto q*=Fe/Fy Tempo Intervento (anni) | 0,077 3,46 5 | ZetaE=PgaLV/Pga 10% Asta3D Nro TrCLV (anni) (TrCLV/TDLV)^a | 0,401 69 0,383 |

RISULTATI GENERALI PUSH-OVER

| | | | |
|---|---------------------------|---|----------------------|
| PUSH-OVER N.ro | 32 | Distrib.Forze Prop.Massa:-Fy-0.3*Fx-Ecc5% | |
| - | - | - | - |
| Angolo Ingr. Sisma (Grd) | 270 | Numero collassi totali | 13 |
| Numero passo Resist.Max. | 34 | Numero passi significativi | 41 |
| Massa SDOF (t) | 1841,76 | Taglio alla base max. (t) | 286,83 |
| Coeff. Partecipazione | 1,00 | Resistenza SDOF (t) | 271,25 |
| Rigidezza SDOF (t/m) | 21085,45 | Spostam. Snervam. SDOF mm | 13 |
| Periodo SDOF (sec) | 0,59 | Rapporto di incrudimento | 0,000 |
| Rapporto Alfau/alfa1 | 59,480 | Fattore di comportamento | 1,809 |
| Coeff Smorzam.Equival.(%) | 19 | Duttilità | 1,809 |
| STATO LIMITE DI SALVAGUARDIA DELLA VITA | | | |
| DOMANDA | | CAPACITÀ | |
| Spostamento mm S.L. Salvaguardia Vita | 46,567 NON VERIFICA | Spostamento mm Numero passo precedente | 17,449 30 |
| PgaLV/g Rapporto q*=Fe/Fy Tempo Intervento (anni) | 0,072 3,62 4 | ZetaE=PgaLV/Pga 10% Asta3D Nro TrCLV (anni) (TrCLV/TDLV)^a | 0,376 59 0,359 |

Dai risultati emerge come la capacità di spostamento della struttura non raggiunga i livelli richiesti dalla domanda di spostamento, e l'edificio non sia quindi in grado di rispondere adeguatamente ai valori di accelerazione al suolo imposti dalla normativa in vigore per lo stato limite di salvaguardia della vita SLV.

In generale, si evidenzia un comportamento della struttura pressoché uniforme per sisma agente nelle due direzioni, con valori della PgaLV/g variabili tra 0.068 e 0.078.

La condizione più gravosa risulta:

- PUSHOVER N. 17 (Distrib.Forze Prop.Modo:+Fx+0.3*Fy-Ecc5%) ove PgaLV/g = 0.068, PgaLV/Pga 10% = 0.358

Il coefficiente ζ_E vale pertanto: $\zeta_E = 0.068/0.190 = 0.358 < 1$.



AREA EDILIZIA E LOGISTICA

Per la suddetta curva, il collasso avviene per flessione di numerosi pannelli murari e per taglio diagonale per un numero limitato di pannelli murari.

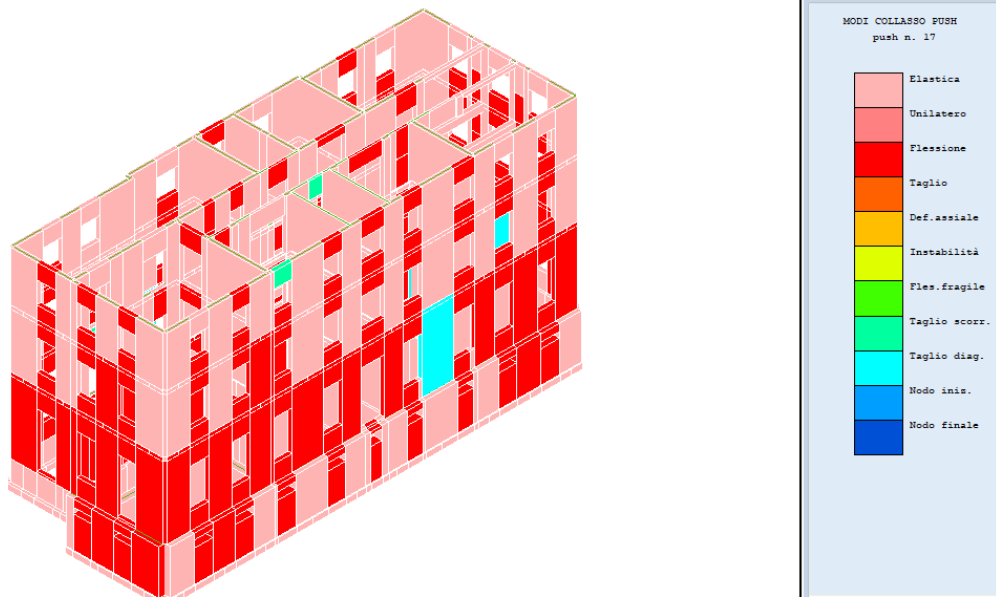


Figura 25 - Modi di collasso, pushover 17

L'evoluzione della formazione delle cerniere plastiche mostra i primi collassi nella muratura perimetrale di facciata al piano terra per uno spostamento massimo di 27.91 mm ed un fattore di struttura di 1.78.

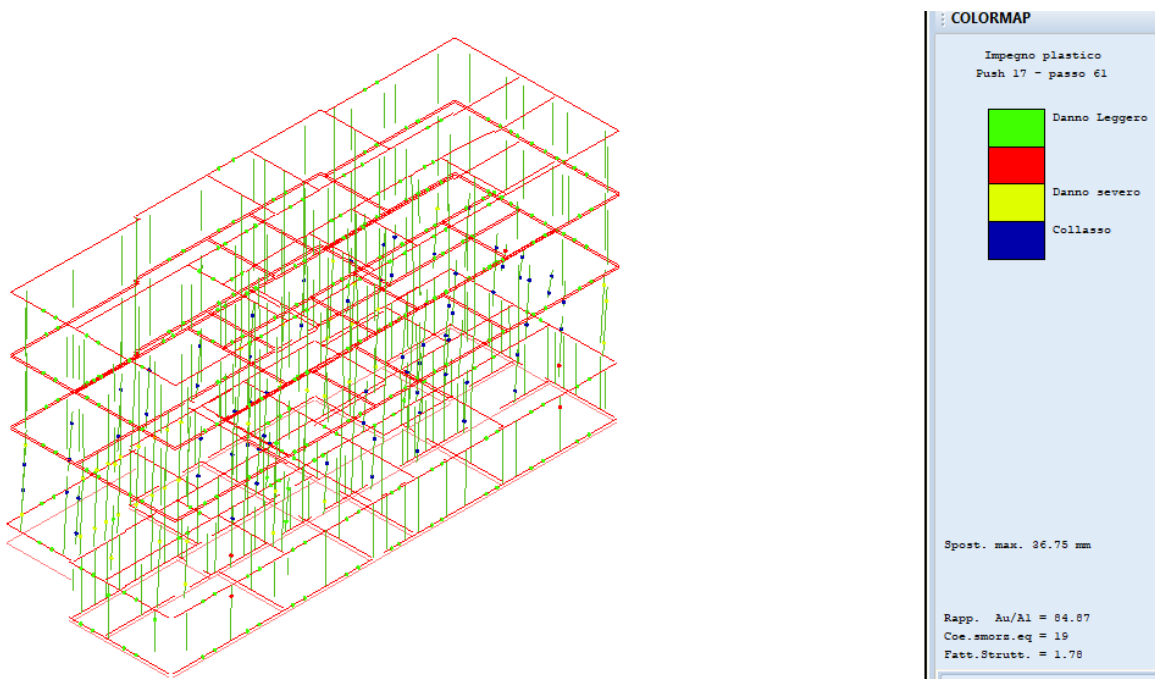


Figura 28 - Stato delle cerniere plastiche al collasso per la pushover n. 17



AREA EDILIZIA E LOGISTICA

10. Conclusioni ed indicazioni progettuali

Si sintetizzano in questo paragrafo gli elementi ritenuti maggiormente significativi per la conoscenza della struttura, le vulnerabilità individuate in fase di rilievo, i risultati delle analisi eseguite, fornendo indicazioni in merito alla soluzione progettuale proposta per il miglioramento sismico.

L'edificio sito in via Belmeloro 8/2, costruito intorno al 1915 con struttura verticale in muratura portante a due teste, ospita attualmente laboratori di ricerca di chimica organica e fisica; dal punto di vista planimetrico, esso ha subito alcune trasformazioni rispetto all'impianto originario, avvenute presumibilmente nella seconda metà del secolo, con eliminazione di alcune murature interne aventi funzione strutturale. La trasformazione più evidente è però la sopraelevazione che lo ha interessato, che ha portato all'innalzamento di un piano, con caratteri architettonici meno involuti di quelli originali.

Oltre alla sostituzione della copertura, la sopraelevazione ha comportato anche la creazione di un solaio tra primo e secondo piano in latero-cemento e di un nuovo solaio di sottotetto, realizzato con una soffittatura non praticabile del tipo SAPAL. Significative modifiche sono state apportate anche alla copertura, interamente realizzata in legno, costituita da falsi puntoni ed arcarecci che poggiano su diffusi elementi isolati in laterizio.

Unici solai originari sono al livello interrato, costituito da volte a botte in muratura portante, ed al piano terra, con soletta piana in calcestruzzo armato di spessore pari a circa 10 cm (così come avviene per tutti gli altri edifici del comparto) dotata di alcune nervature di distribuzione dei carichi.

Le vulnerabilità ascrivibili a questo edificio possono essere così individuate:

1. scarsa rigidezza del piano della copertura e del sottotetto, con carenza di collegamenti tra le strutture lignee della copertura e le murature che le sostengono;
2. presenza di spinte all'imposta delle travi del tetto, per la presenza di orditure spingenti;
3. generale utilizzo di elementi di appoggio labili per le orditure della copertura, con soluzioni particolarmente vulnerabili alle azioni orizzontali, quali i pilastri in muratura;

L'effetto di tali vulnerabilità, tutte ascrivibili all'errato schema di copertura, è il possibile innesco di meccanismi di danno locali in corrispondenza del piano sottotetto-copertura, in particolare di ribaltamento composto del cuneo diagonale e di ribaltamento del cantonale.

Le verifiche condotte nei confronti dei meccanismi locali hanno evidenziato i seguenti indici di attivazione:

Ribaltamento composto del cuneo diagonale: $Is = a_{g(SLV)} / a_{g(PVR)} = 0.042 / 0.19 = 0.22 < 1$

Ribaltamento del cantonale: $Is = a_{g(SLV)} / a_{g(PVR)} = 0.080 / 0.19 = 0.52 < 1$

L'enorme varietà di soluzioni caratterizzate da evidente instabilità adottate in gran parte degli elementi che costituiscono la copertura renderebbe la messa in sicurezza dello stato attuale economicamente e praticamente molto onerosa, rendendo più ragionevole un rifacimento ex-novo. Si propone quindi



AREA EDILIZIA E LOGISTICA

la sostituzione completa della copertura, con sistema regolare a capriate in legno, dotato di adeguata rigidezza grazie alla posa in opera di doppio tavolato incrociato in legno, e ben connesse alle murature perimetrali con opportuni accorgimenti, tra cui un cordolo metallico.

Contestualmente, sia per questioni di carattere cantieristico, sia per conseguire una migliore rigidezza del piano del sottotetto, verrà sostituito il solaio attuale non praticabile con nuovo solaio in acciaio con soletta collaborante in lamiera grecata e calcestruzzo armato, per la necessità di mantenere per esso uno spessore ridotto.

4. scarsa rigidezza del solaio intermedio in latero-cemento tra piano primo e secondo;
è possibile intervenire tramite realizzazione di una cappa in calcestruzzo armato, con armatura in rete in acciaio elettrosaldato di spessore 8 mm e maglia 20x20 cm, risvoltata e ancorata ai muri perimetrali, dotata di connettori di collegamento idonei alla creazione di solette collaboranti per solai latero-cementizi. Tale intervento aumenterà la rigidezza del piano e creerà una connessione efficace del solaio con le pareti portanti. Inoltre, aumentando l'altezza del solaio, ne aumenterà l'inerzia.
5. crisi per taglio delle pareti trasversali per accelerazioni di bassa entità;
è possibile intervenire per aumentare la resistenza a taglio delle pareti trasversali mediante rinforzo (operato sul solo lato interno per non compromettere l'aspetto esteriore del fabbricato), mediante applicazione sulle murature perimetrali del piano terra dei lati corti mediante rete di fibra di carbonio ad alta resistenza tipo MAPEGRID C 170 della MAPEI S.p.A. e malta premiscelata bicomponente, a base di calce idraulica (NHL) ed Eco-Pozzolana, fibrorinforzata ad elevata duttilità per il rinforzo strutturale "armato" di supporti in muratura tipo PLANITOP HDM RESTAURO della MAPEI S.p.A., al fine di conferire alla struttura rinforzata un'elevata duttilità e una ripartizione più uniforme delle sollecitazioni.
Inoltre, la creazione di nuove pareti a due teste per tutti i livelli dell'edificio, contribuirà a migliorare il comportamento scatolare e a meglio distribuire le azioni orizzontali sulle pareti di controvento.



AREA EDILIZIA E LOGISTICA

ALLEGATI



AREA EDILIZIA E LOGISTICA

VERIFICA PER MECCANISMI LOCALI



AREA EDILIZIA E LOGISTICA

**VERIFICA PER MECCANISMI GLOBALI
(TABULATI ESTRATTI DAL SOFTWARE DI CALCOLO)**



AREA EDILIZIA E LOGISTICA

ALLEGATI



AREA EDILIZIA E LOGISTICA

VERIFICA PER MECCANISMI LOCALI

MECCANISMI DI RIBALTOAMENTO COMPOSTO DI CUNEO DIAGONALE

Valutazione del moltiplicatore orizzontale dei carichi α_0 di attivazione dei meccanismi locali di PARETI MONOLITICHE EFFICACEMENTE COLLEGATE ALLE PARETI DI CONTROVENTO (CARATTERIZZATE DA INTERSEZIONI MURARIE DI BUONA QUALITÀ) E NON VINCOLATE AGLI ORIZZONTAMENTI e delle relative PGA per le verifiche.

Il ribaltamento della struttura muraria, libera in sommità, è accompagnato dal trascinamento di porzioni cuneiformi di muratura appartenenti alle pareti ortogonali. Nel caso di parete a più piani occorre considerare la possibilità che il ribaltamento della stessa avvenga per differenti posizioni della cerniera cilindrica. In tal caso il calcolo va ripetuto per ognuna delle condizioni esaminate ed indicando ogni volta le informazioni riguardanti i soli piani coinvolti nel cinematicismo, ognuno nella riga corrispondente alla rispettiva elevazione. Alcune delle considerazioni riportate in "RS MONO" e delle note esplicative relative alle grandezze utilizzate sono valide anche nel caso in questione.

| DATI INIZIALI | CARATTERIZZAZIONE GEOMETRICA DEI MACROELEMENTI | | | | | | | | | |
|---------------|--|---|--|---|--|---|--|--|---|------|
| | Elevazione | Spessore della parete al piano i-esimo s_i [m] | Altezza di interpiano al piano i-esimo h_i [m] | Braccio orizzontale del carico del solao al piano i-esimo rispetto alla cerniera cilindrica d_i [m] | Braccio orizzontale dell'azione di archi o volte al piano i-esimo rispetto alla cerniera cilindrica d_{gi} [m] | Quota del baricentro della parete al piano i-esimo y_{gi} [m] | Distanza orizzontale del baricentro del cuneo di controvento al piano i-esimo trasmesse da archi o volte al piano i-esimo h_{gi} [m] | Quota del baricentro del cuneo di controvento al piano i-esimo rispetto alla cerniera cilindrica y_{goi} [m] | Braccio orizzontale del carico del solao sul cuneo di controvento al piano i-esimo rispetto alla cerniera cilindrica d_{oi} [m] | |
| | 1 | 0,28 | 3,27 | 0,00 | 0,00 | 2,20 | 0,00 | 0,97 | 2,01 | 0,21 |
| | 2 | | | | | | | | | |
| | 3 | | | | | | | | | |
| | 4 | | | | | | | | | |
| | AZIONI SUI MACROELEMENTI | | | | | | | | Arretramento della cerniera attorno alla quale avviene il ribaltamento rispetto al lembo esterno della parete [m] | |
| | Elevazione | Peso proprio della parete al piano i-esimo W_i [kN] | Peso proprio del cuneo di controvento al piano i-esimo W_{oi} [kN] | Carico trasmesso dal solao al piano i-esimo P_{Si} [kN] | Carico trasmesso dal solao sul cuneo di controvento al piano i-esimo P_{S0i} [kN] | Spinta statica della copertura P_H [kN] | Componente verticale della spinta di archi o volte al piano i-esimo F_{Vj} [kN] | Componente orizzontale della spinta di archi o volte al piano i-esimo F_{Hj} [kN] | | |
| | 1 | 184,3 | 20,2 | 0,0 | 10,0 | 3,6 | 0,0 | 0,0 | 0,00 | |
| | 2 | | | | | | | | | |
| | 3 | | | | | | | | | |
| | 4 | | | | | | | | | |

| DATI DI CALCOLO | MOMENTO DELLE AZIONI STABILIZZANTI | | | | | |
|-----------------|------------------------------------|---------------------------------|---|--------------------------|--|---|
| | Ribaltamento delle elevazioni: | Peso proprio delle pareti [kNm] | Peso proprio del cuneo di controvento [kNm] | Carico dei solai [kNm] | Carico dei solai sui cunei di controvento [kNm] | Azione di archi o volte [kNm] |
| | 1 | 25,8 | 19,6 | 0,0 | 2,1 | 0,0 |
| | MOMENTO DELLE AZIONI RIBALTANTI | | | | | |
| | Ribaltamento delle elevazioni: | Inerzia delle pareti [kNm] | Inerzia dei cunei di controvento [kNm] | Inerzia dei solai [kNm] | Inerzia dei solai sui cunei di controvento [kNm] | Inerzia di archi o volte [kNm] |
| | 1 | 405,5 | 40,6 | 0,0 | 32,7 | 0,0 |
| | MOMENTO DELLE AZIONI RIBALTANTI | | | | | |
| | Ribaltamento delle elevazioni: | Inerzia delle pareti [kNm] | Inerzia dei cunei di controvento [kNm] | Inerzia dei solai [kNm] | Inerzia di archi o volte [kNm] | Spinta statica di archi o volte [kNm] |
| | 1 | 405,5 | 40,6 | 0,0 | 32,7 | 0,0 |
| | MOLTIPLICATORE α_0 | | | | | |
| | Ribaltamento delle elevazioni: | Valore di α_0 | Fattore di Confidenza FC | Massa partecipante M^* | Frazione massa partecipante e^* | Accelerazione spettrale a_0^* [m/sec ²] |
| | 1 | 0,075 | 1,35 | 21,623 | 0,989 | 0,548 |

| CALCOLO DELLE PGA PER LA VERIFICA DELLO STATO LIMITE DI SALVAGUARDIA DELLA VITA CIRCOLARE N. 617 DEL 02-02-2009 - ISTRUZIONI PER L'APPLICAZIONE DELLE NTC 14-01-2008 | | | | | | |
|--|--|-----------------------------------|----------------------|-----------------------|--|--|
| PARAMETRI DI CALCOLO | | | | | | |
| | Fattore di struttura q | 2,00 | | | | |
| | Coefficiente di amplificazione topografica S_T | 1,00 | | | | |
| | Categoria suolo di fondazione | C | | | | |
| | Fattore di riferimento $a_g(P_{vn})$ [g] | 0,191 | | | | |
| | Periodo di inizio del tratto a velocità costante dello spettro T_c^* [sec] | 0,310 | | | | |
| | Fattore di smorzamento η | 0,833 | | | | |
| | Quota di base del macroelemento rispetto alla fondazione [m] | 10,000 | | | | |
| | Altezza della struttura H [m] | 13,70 | | | | |
| | Coefficiente di amplificazione stratigrafica S_s | 1,425 | | | | |
| | Coefficiente C_C | 1,545 | | | | |
| | Fattore di amplificazione locale del suolo di fondazione S | 1,425 | | | | |
| | Numeri di piani dell'edificio N | 3 | | | | |
| | Coefficiente di partecipazione modale γ | 1,286 | | | | |
| | Primo periodo di vibrazione dell'intera struttura T_1 [sec] | 0,356 | | | | |
| Ribaltoamento delle elevazioni: | Baricentro delle linee di vincolo Z [m] | $\psi(Z) = Z/H$ | $a_g(SLV)$ (C8A.4.9) | $S_u(T_1)$ (C8A.4.10) | | |
| 1 | 10,00 | 0,730 | 0,078 | 1,168 | | |
| PGA-SLV | Ribaltoamento delle elevazioni: | $a_g(SLV)$ min(C8A.4.9; C8A.4.10) | | | | |
| | 1 | 0,042 | | | | |

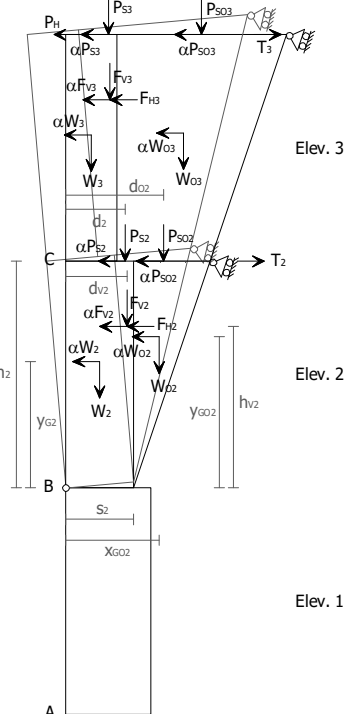
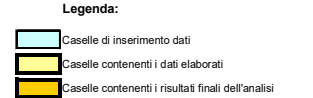


Fig. 1 - Schema di calcolo

MECCANISMI DI RIBALTIMENTO DELLA PARTE ALTA DEL CANTONALE

Valutazione del moltiplicatore orizzontale dei carichi α_0 di attivazione dei meccanismi locali di ANGOLATE LIBERE IN PRESENZA DI AZIONI CONCENTRATE IN TESTA AL CANTONALE (IN PARTICOLARE DOVUTE ALLA SPINTA DI PUNTONI NEI TETTI A PADIGLIONE), COSTITUITE DA STRUTTURE MURARIE NON ADEGUATAMENTE COLLEGATE ALLA COPERTURA E LIBERE IN SOMMITÀ e delle relative PGA per le verifiche.

Si considera il ribaltamento di un macroelemento cuneiforme rispetto ad una cerniera posta alla base dello stesso e nella direzione formante un angolo di 45° rispetto alle pareti convergenti nell'angolata. Per maggiore chiarezza si faccia riferimento alla *Legenda* ed alle *Figure* riportate a lato.

| CARATTERIZZAZIONE GEOMETRICA DEL CUNEO DI DISTACCO | | | | | | | | |
|--|---|---|---|--|--|--|--|---|
| DATI INIZIALI | Spessore delle pareti convergenti nell'angolata s [m] | Altezza globale del cuneo di distacco h [m] | Quota del baricentro del cuneo di distacco y_G [m] | Quota del punto di applicazione dell'azione trasmessa da archi o volte al cuneo di distacco rispetto alla cerniera A h_V [m] | Distanza orizzontale, misurata nella direzione del ribaltamento, del baricentro del cuneo di distacco rispetto alla cerniera A x_G [m] | Braccio orizzontale del carico P trasmesso in testa al cantone del cuneo di distacco rispetto alla cerniera A d_P [m] | Braccio orizzontale dell'azione trasmessa da archi o volte al cuneo di distacco rispetto alla cerniera A d_V [m] | Braccio orizzontale del carico trasmesso in testa alla parete 1 rispetto alla cerniera A d_1 [m] |
| | 0,28 | 3,27 | 2,20 | 0,79 | 0,32 | 0,40 | 0,40 | 0,40 |
| ORDINATE DEI PUNTI DI APPLICAZIONE DELLE AZIONI SUL CANTONALE NEL PIANO ORIZZONTALE | | | | | | | | |
| | Arretramento della cerniera attorno alla quale avviene il ribaltamento rispetto allo spigolo esterno del cantone nella direzione del ribaltamento [m] | Coordinate nel sistema di riferimento del piano orizzontale | Distanza dall'intersezione muraria ed arretramento rispetto alla superficie interna della parete del baricentro del cuneo di distacco [m] | Distanza dall'intersezione muraria ed arretramento rispetto alla superficie interna della parete del punto di applicazione del carico di archi o volte [m] | Distanza dall'intersezione muraria ed arretramento rispetto alla superficie interna della parete del punto di applicazione del carico in testa alla parete 1 [m] | Distanza dall'intersezione muraria ed arretramento rispetto alla superficie interna della parete del punto di applicazione del carico in testa alla parete 2 [m] | | |
| | d | d | 0,28 | -0,06 | 0,00 | 0,00 | | |
| | 0,00 | a | -0,28 | 0,05 | 0,00 | 0,00 | | |
| AZIONI SUL CUNEO DI DISTACCO | | | | | | | | |
| | Peso proprio del cuneo di distacco W [kN] | Carico verticale concentrato trasmesso in testa al cantone P [kN] | Spinta statica trasmessa in testa al cantone P_H [kN] | Carico verticale in testa alla parete 1 ed alla parete 2 P_V1, P_V2 [kN] | Componente orizzontale della spinta di archi o volte F_V [kN] | Componente orizzontale della spinta di archi o volte nella direzione ortogonale alla parete e nella direzione del ribaltamento F_H, F'_H [kN] | Spinta statica in testa alla parete 1 nella direzione ortogonale alla parete e nella direzione del ribaltamento P_H1, P'_H1 [kN] | Risultante dell'azione trasferita dai tiranti in testa al cuneo in direzione parallela alle pareti e del ribaltamento (T_1+T_2), (T'_1+T'_2) [kN] |
| | 51,5 | 26,4 | 6,4 | 0,0 | 7,4 | 0,0 | 0,0 | 0,0 |
| MOLTIPLICATORE α_0 | Valore di α_0 | Fattore di Confidenza FC | Massa partecipante M* | Frazione massa partecipante e* | Accelerazione spettrale a_0 [m/sec ²] | | | |
| | 0,139 | 1,35 | 8,363 | 0,962 | 1,053 | | | |
| CALCOLO DELLE PGA PER LA VERIFICA DELLO STATO LIMITE DI SALVAGUARDIA DELLA VITA CIRCOLARE N. 617 DEL 02-02-2009 - ISTRUZIONI PER L'APPLICAZIONE DELLE NTC 14-01-2008 | | | | | | | | |
| PARAMETRI DI CALCOLO | Fattore di struttura q | 2,00 | | | | | | |
| | Coefficiente di amplificazione topografica S _T | 1,00 | | | | | | |
| | Categoria suolo di fondazione | C | | | | | | |
| | PGA di riferimento $a_g(P_{VR})$ [g] | 0,191 | | | | | | |
| | Fattore di amplificazione massima dello spettro F ₀ | 2,396 | | | | | | |
| | Periodo di inizio del tratto a velocità costante dello spettro T _c * [sec] | 0,310 | | | | | | |
| | Fattore di smorzamento η | 0,833 | | | | | | |
| | Quota di base del macroelemento rispetto alla fondazione [m] | 10,000 | | | | | | |
| | Altezza della struttura H [m] | 13,70 | | | | | | |
| | Coefficiente di amplificazione stratigrafica S _S | 1,425 | | | | | | |
| PARAMETRI DI CALCOLO | Coefficiente C _C | 1,545 | | | | | | |
| | Fattore di amplificazione locale del suolo di fondazione S | 1,425 | | | | | | |
| | Numeri di piani dell'edificio N | 3 | | | | | | |
| | Coefficiente di partecipazione modale γ | 1,286 | | | | | | |
| | Primo periodo di vibrazione dell'intera struttura T ₁ [sec] | 0,356 | | | | | | |
| | Baricentro delle linee di vincolo Z [m] | 10,00 | ψ (Z) = Z/H | a _{g(SLV)} (C8A.4.9) | S _s (T ₁) (C8A.4.10) | | | |
| | | 0,730 | 0,151 | 2,244 | | | | |
| PGA-SLV | a _{g(SLV)} min(C8A.4.9; C8A.4.10) | | | 0,080 | | | | |

Legenda:

- [Light Blue Box] Caselle di inserimento dati
- [Yellow Box] Caselle contenenti i dati elaborati
- [Yellow Box] Caselle contenenti i risultati finali dell'analisi

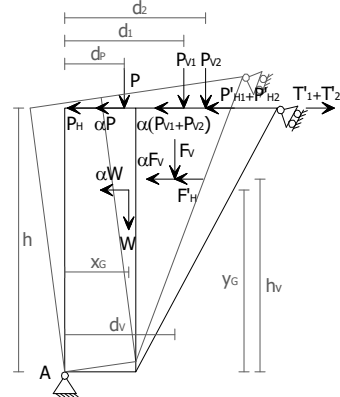


Fig. 1 - Schema di calcolo

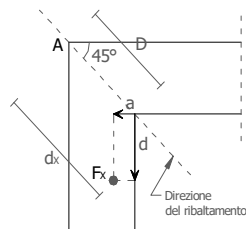


Fig. 2 - Vista dall'alto del



AREA EDILIZIA E LOGISTICA

**VERIFICA PER MECCANISMI GLOBALI
(TABULATI ESTRATTI DAL SOFTWARE DI CALCOLO)**

RELAZIONE DI CALCOLO

Sono illustrati con la presente i risultati dei calcoli che riguardano il progetto delle armature, la verifica delle tensioni di lavoro dei materiali e del terreno.

• NORMATIVA DI RIFERIMENTO

I calcoli sono condotti nel pieno rispetto della normativa vigente e, in particolare, la normativa cui viene fatto riferimento nelle fasi di calcolo, verifica e progettazione è costituita dalle *Norme Tecniche per le Costruzioni*, emanate con il D.M. 17/01/2018 pubblicato nel suppl. 8 G.U. 42 del 20/02/2018, nonché la Circolare del Ministero Infrastrutture e Trasporti del 21 Gennaio 2019, n. 7 “*Istruzioni per l'applicazione dell'aggiornamento delle norme tecniche per le costruzioni*”.

• METODI DI CALCOLO

I metodi di calcolo adottati per il calcolo sono i seguenti:

- 1) Per i carichi statici: *METODO DELLE DEFORMAZIONI*;
- 2) Per i carichi sismici: metodo dell'*ANALISI MODALE* o dell'*ANALISI SISMICA STATICÀ EQUIVALENTE*.

Per lo svolgimento del calcolo si è accettata l'ipotesi che, in corrispondenza dei piani sismici, i solai siano infinitamente rigidi nei loro piano e che le masse ai fini del calcolo delle forze di piano siano concentrate alle loro quote.

• CALCOLO SPOSTAMENTI E CARATTERISTICHE

Il calcolo degli spostamenti e delle caratteristiche viene effettuato con il metodo degli elementi finiti (**F.E.M.**).

Possono essere inseriti due tipi di elementi:

- 1) Elemento monodimensionale asta (*beam*) che unisce due nodi aventi ciascuno 6 gradi di libertà. Per maggiore precisione di calcolo, viene tenuta in conto anche la deformabilità a taglio e quella assiale di questi elementi. Queste aste, inoltre, non sono considerate flessibili da nodo a nodo ma hanno sulla parte iniziale e finale due tratti infinitamente rigidi formati dalla parte di trave inglobata nello spessore del pilastro; questi tratti rigidi forniscono al nodo una dimensione reale.
- 2) L'elemento bidimensionale shell (*quad*) che unisce quattro nodi nello spazio. Il suo comportamento è duplice, funziona da lastra per i carichi agenti sul suo piano, da piastra per i carichi ortogonali.

Assemblate tutte le matrici di rigidezza degli elementi in quella della struttura spaziale, la risoluzione del sistema viene perseguita tramite il *metodo di Cholesky*.

Ai fini della risoluzione della struttura, gli spostamenti X e Y e le rotazioni attorno l'asse verticale Z di tutti i nodi che giacciono su di un impalcato dichiarato rigido sono mutuamente vincolati.

• RELAZIONE SUI MATERIALI

Le caratteristiche meccaniche dei materiali sono descritti nei tabulati riportati nel seguito per ciascuna tipologia di materiale utilizzato.

• **ANALISI SISMICA DINAMICA**

L'analisi sismica dinamica è stata svolta con il metodo dell'analisi modale; la ricerca dei modi e delle relative frequenze è stata perseguita con il *metodo di Jacobi*.

I modi di vibrazione considerati sono in numero tale da assicurare l'eccitazione di più dell'85% della massa totale della struttura.

Per ciascuna direzione di ingresso del sisma si sono valutate le forze applicate spazialmente agli impalcati di ogni piano (forza in X, forza in Y e momento).

Le forze orizzontali così calcolate vengono ripartite fra gli elementi irrigidenti (pilastri e pareti di taglio), ipotizzando i solai dei piani sismici infinitamente rigidi assialmente.

Per la verifica della struttura si è fatto riferimento all'analisi modale, pertanto sono prima calcolate le sollecitazioni e gli spostamenti modali e poi viene calcolato il loro valore efficace.

I valori stampati nei tabulati finali allegati sono proprio i suddetti valori efficaci e pertanto l'equilibrio ai nodi perde di significato. I valori delle sollecitazioni sismiche sono combinate linearmente (in somma e in differenza) con quelle per carichi statici per ottenere le sollecitazioni per sisma nelle due direzioni di calcolo.

Gli angoli delle direzioni di ingresso dei sismi sono valutati rispetto all'asse X del sistema di riferimento globale.

• **VERIFICHE**

Le verifiche, svolte secondo il metodo degli stati limite ultimi e di esercizio, si ottengono inviluppando tutte le condizioni di carico prese in considerazione.

In fase di verifica è stato differenziato l'elemento trave dall'elemento pilastro. Nell'elemento trave le armature sono disposte in modo asimmetrico, mentre nei pilastri sono sempre disposte simmetricamente.

Per l'elemento trave, l'armatura si determina suddividendola in cinque conci in cui l'armatura si mantiene costante, valutando per tali conci le massime aree di armatura superiore ed inferiore richieste in base ai momenti massimi riscontrati nelle varie combinazioni di carico esaminate. Lo stesso criterio è stato adottato per il calcolo delle staffe.

Anche l'elemento pilastro viene scomposto in cinque conci in cui l'armatura si mantiene costante. Vengono però riportate le armature massime richieste nella metà superiore (testa) e inferiore (piede).

La fondazione su travi rovesce è risolta contemporaneamente alla sovrastruttura tenendo in conto sia la rigidezza flettente che quella torcente, utilizzando per l'analisi agli elementi finiti l'elemento asta su suolo elastico alla *Winkler*.

Le travate possono incrociarsi con angoli qualsiasi e avere dei disassamenti rispetto ai pilastri su cui si appoggiano.

La ripartizione dei carichi, data la natura matriciale del calcolo, tiene automaticamente conto della rigidezza relativa delle varie travate convergenti su ogni nodo.

Le verifiche per gli elementi bidimensionali (setti) vengono effettuate sovrapponendo lo stato tensionale del comportamento a lastra e di quello a piastra. Vengono calcolate le armature delle due facce dell'elemento bidimensionale disponendo i ferri in due direzioni ortogonali.

• **DIMENSIONAMENTO MINIMO DELLE ARMATURE.**

Per il calcolo delle armature sono stati rispettati i minimi di legge di seguito riportati:

TRAVI:

Area minima delle staffe pari a $1.5 * b$ mmq/ml, essendo b lo spessore minimo dell'anima misurato in mm, con passo non maggiore di 0,8 dell'altezza utile e con un minimo di 3 staffe al metro. In prossimità degli appoggi o di carichi concentrati per una lunghezza pari all'altezza utile della sezione, il passo minimo sarà 12 volte il diametro minimo dell'armatura longitudinale.

Armatura longitudinale in zona tesa $\geq 0,15\%$ della sezione di calcestruzzo. Alle estremità è disposta una armatura inferiore minima che possa assorbire, allo stato limite ultimo, uno sforzo di trazione uguale al taglio.

In zona sismica, nelle zone critiche il passo staffe è non superiore al minimo di:

- un quarto dell'altezza utile della sezione trasversale;
- 175 mm e 225 mm, rispettivamente per CDA e CDB;
- 6 volte e 8 volte il diametro minimo delle barre longitudinali considerate ai fini delle verifiche, rispettivamente per CDA e CDB;
- 24 volte il diametro delle armature trasversali.

Le zone critiche si estendono, per CDB e CDA, per una lunghezza pari rispettivamente a 1 e 1,5 volte l'altezza della sezione della trave, misurata a partire dalla faccia del nodo trave-pilastro. Nelle zone critiche della trave il rapporto fra l'armatura compressa e quella tesa è maggiore o uguale a 0,5.

PILASTRI:

Armatura longitudinale compresa fra 0,3% e 4% della sezione effettiva e non minore di $0,10 * Ned / fyD$;

Barre longitudinali con diametro ≥ 12 mm;

Diametro staffe ≥ 6 mm e comunque $\geq 1/4$ del diametro max delle barre longitudinali, con interasse non maggiore di 30 cm.

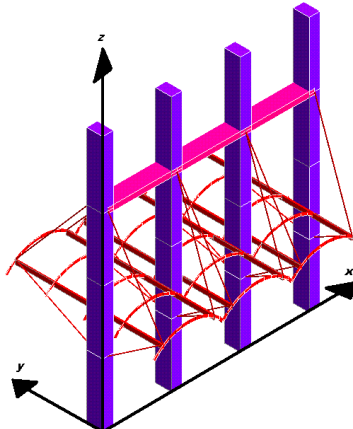
In zona sismica l'armatura longitudinale è almeno pari all'1% della sezione effettiva; il passo delle staffe di contenimento è non superiore alla più piccola delle quantità seguenti:

- 1/3 e 1/2 del lato minore della sezione trasversale, rispettivamente per CDA e CDB;
- 125 mm e 175 mm, rispettivamente per CDA e CDB;
- 6 e 8 volte il diametro delle barre longitudinali che collegano, rispettivamente per CDA e CDB.

• SISTEMI DI RIFERIMENTO

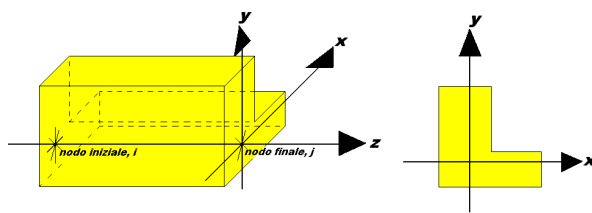
1) SISTEMA GLOBALE DELLA STRUTTURA SPAZIALE

Il sistema di riferimento globale è costituito da una terna destra di assi cartesiani ortogonali (O-XYZ) dove l'asse Z rappresenta l'asse verticale rivolto verso l'alto. Le rotazioni sono considerate positive se concordi con gli assi vettori:



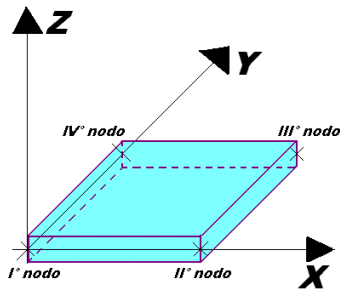
2) SISTEMA LOCALE DELLE ASTE

Il sistema di riferimento locale delle aste, inclinate o meno, è costituito da una terna destra di assi cartesiani ortogonali che ha l'asse Z coincidente con l'asse longitudinale dell'asta ed orientamento dal nodo iniziale al nodo finale, gli assi X ed Y sono orientati come nell'archivio delle sezioni:



3) SISTEMA LOCALE DELL'ELEMENTO SHELL

Il sistema di riferimento locale dell'elemento shell è costituito da una terna destra di assi cartesiani ortogonali che ha l'asse X coincidente con la direzione fra il primo ed il secondo nodo di input, l'asse Y giacente nel piano dello shell e l'asse Z in direzione dello spessore:



• **UNITÀ DI MISURA**

Si adottano le seguenti unità di misura:

| | |
|---------------|-------------|
| [lunghezze] | = m |
| [forze] | = kgf / daN |
| [tempo] | = sec |
| [temperatura] | = °C |

• **CONVENZIONI SUI SEGNI**

I carichi agenti sono:

- 1) Carichi e momenti distribuiti lungo gli assi coordinati;
- 2) Forze e coppie nodali concentrate sui nodi.

Le forze distribuite sono da ritenersi positive se concordi con il sistema di riferimento locale dell'asta, quelle concentrate sono positive se concordi con il sistema di riferimento globale.

I gradi di libertà nodali sono gli omologhi agli enti forza, e quindi sono definiti positivi se concordi a questi ultimi.

□ **VERIFICA ESTESA STATICÀ ELEMENTI IN MURATURA**

La verifica per le azioni statiche sugli elementi murari è stata effettuata secondo le modalità di seguito riassunte.

a) **CALCOLO DELLE ECCENTRICITÀ**

Eccentricità accidentale trasversale:

$$e_a = h / 200$$

dove con **h** si è indicata l'altezza complessiva del muro. Tale valore di eccentricità si utilizza per intero nella sezione di testa, per metà in quella di mezzeria e si annulla nella sezione al piede.

Eccentricità strutturale trasversale:

$$e_s = M / N$$

essendo:

M = momento flettente complessivo dovuto alle azioni di calcolo, tra cui l'eccentricità della risultante del carico del solaio, la pressione orizzontale dovuta all'azione del vento o del terrapieno, l'eccentricità di posizionamento del muro sovrastante e l'effetto di azioni orizzontali spingenti.

N = sforzo normale complessivo agente sulla sezione da verificare.

Eccentricità strutturale longitudinale:

$$e_b = M_b / N$$

essendo:

M_b = momento flettente complessivo dovuto alle azioni di calcolo, tra cui l'eccentricità della risultante del carico del solaio, la pressione orizzontale dovuta all'azione del vento o del terrapieno, l'eccentricità di posizionamento del muro sovrastante e l'effetto di azioni orizzontali spingenti lungo la direzione del muro.

N = sforzo normale complessivo agente sulla sezione da verificare.

Eccentricità trasversale di calcolo:

$$e = |e_s| + |e_a|$$

In ogni caso il valore dell'eccentricità trasversale di calcolo per ciascuna sezione di verifica non può essere inferiore ad $h / 200$ o superiore a 1/3 dello spessore del muro. Nel primo caso questa si porrà comunque pari ad $h / 200$; nel secondo caso la verifica si riterrà non soddisfatta.

b) CALCOLO DEI COEFFICIENTI DI ECCENTRICITÀ

Si calcola il seguente coefficiente:

$$m = 6 \cdot e / t$$

essendo t lo spessore del muro, nel caso di eccentricità trasversale, o la lunghezza, nel caso di eccentricità longitudinale.

c) CALCOLO DELLA SNELLEZZA DELLA PARETE

$$l = (r \cdot h) / t$$

Essendo r il fattore laterale di vincolo, posto in questo calcolo sempre pari ad 1.

d) CALCOLO DEI COEFFICIENTI DI RIDUZIONE

Il calcolo dei coefficienti F_i , in funzione di m e l , viene effettuato per doppia interpolazione con la seguente tabella:

| l | Coefficiente di eccentricità $m = 6 \cdot e / t$ | | | | |
|-----|--|------|------|------|------|
| | 0 | 0,5 | 1,0 | 1,5 | 2,0 |
| 0 | 1,00 | 0,74 | 0,59 | 0,44 | 0,33 |
| 5 | 0,97 | 0,71 | 0,55 | 0,39 | 0,27 |
| 10 | 0,86 | 0,61 | 0,45 | 0,27 | 0,15 |
| 15 | 0,69 | 0,48 | 0,32 | 0,17 | - |
| 20 | 0,53 | 0,36 | 0,23 | - | - |

In nessuna caso è ammessa l'estrapolazione di tale tabella. Quindi per valori di snellezza ed eccentricità per i quali non è ricavabile un valore di F_i , la verifica si riterrà non soddisfatta. In caso di eccentricità longitudinale si pone l pari a 0.

e) VERIFICA

La verifica verrà effettuata utilizzando il metodo agli stati limite ultimi. La condizione che soddisfa la verifica della sezione sarà la seguente:

$$s = N / (F_i \cdot F_b A) \leq f_d$$

essendo:

N = sforzo normale complessivo agente nella sezione;

F_i = coefficiente di parzializzazione trasversale per la sezione i-esima (testa, mezzeria o piede);

F_b = coefficiente di parzializzazione longitudinale per la sezione di piede (pari ad 1 per le altre sezioni);

A = area della sezione;

f_d = resistenza di calcolo della muratura.

□ **VERIFICA ELEMENTI IN MURATURA PER SISMA ORTOGONALE**

Viene svolta la verifica per ciascun muro anche per le azioni generate dalla componente dell'azione sismica ortogonale al piano del muro. In conseguenza di ciò si generano una pressione distribuita lungo tutta la superficie del muro, dovuta al suo peso proprio, e delle eventuali azioni concentrate dovute a masse che gravano sul muro nei punti ove esso non risulti efficacemente vincolato a un impalcato rigido.

A prescindere dalle direzioni di ingresso del sisma selezionate per la struttura, ciascuna verifica locale dei muri viene svolta considerando il sisma agente proprio nella direzione ortogonale al muro di volta in volta esaminato. Le sollecitazioni derivanti da tali azioni verranno ricavate anche in base all'analisi complessiva della struttura, tenendo quindi conto della posizione mutua tra i muri, della disposizione degli impalcati rigidi e della eventuale presenza di cordoli e tiranti.

Il calcolo della pressione e delle forze orizzontali è svolto in ottemperanza ai punti 7.2.3 e 7.8.2.2.3

La distribuzione delle sollecitazioni è calcolata seguendo un andamento proporzionale alla situazione di collasso cinematico in cui si formano tre cerniere allineate in verticale sul singolo paramento.

La verifica è svolta confrontando la coppia di sollecitazioni **M** e **N** di calcolo con quelle che garantiscono l'equilibrio nella situazione limite a rottura, con sezione parzializzata e sigma di compressione uniforme nel tratto reagente pari a **0,85 F_d**. La verifica a taglio è svolta invece confrontando la tensione tangenziale media della sezione con quella limite del materiale incrementata per un valore pari a **0,4 N**.

□ **- VERIFICA ELEMENTI IN MURATURA PER SISMA PARALLELO**

Viene svolta la verifica per ciascun muro per le azioni ottenute mediante l'analisi sismica globale combinate con le azioni verticali e tenendo in conto la contemporaneità dei due sismi ortogonali come previsto dalla norma.

Le verifiche verranno condotte sia agli SLV che agli SLD utilizzando gli spettri del punto 3.2.1, le azioni sismiche verranno combinate come previsto al punto 3.2.4

L'analisi sismica potra' essere di tipo statica equivalente o dinamica modale utilizzando lo spettro di progetto ridotto tramite il fattore di comportamento definito per le strutture in muratura nella Tab. 7.3.II

Il modello di calcolo sara' costituito da elementi verticali continui e da fasce di piano schematizzate come elementi travi, per il calcolo delle rigidezze si fara' riferimento ai valori fessurati pari al 50% della rigidezza della sezione integra. Le fasce di piano saranno considerate incernierate ai maschi murari se non presenti elementi capaci di resistere a trazione quali tiranti e catene. Le pareti verticali saranno verificate a flessione ed a taglio utilizzando per il calcolo dei valori resistenti le formule previste nel paragrafo 7.8.2.2.

L'analisi PUSH over sara' effettuata per gli stati limite SLO (se richiesto) SLD ed SLV come previsto dalla Circolare 21 gennaio 2019 al capitolo C8.7.1 e C8.7.1.3.1

Le verifiche delle strutture in muratura esistenti sono effettuate tenendo in conto i parametri deformativi, i meccanismi a flessione ed a taglio previsti al punto C8.7.1.3.1.1 della circolare Circolare 21 gennaio 2019

Per il calcolo dei valori resistenti del materiale delle murature esistenti si terra' in conto del fattore di confidenza e dei valori tabellati come previsto al punto C8.5.3.1 della Circolare 21 gennaio 2019 , sia per quanto riguarda le verifiche sismiche che quelle statiche.

□ **VERIFICA MECCANISMI LOCALI DI COLLASSO PER LA MURATURA**

La verifica è effettuata in base al punto 8.7.1, secondo le direttive previste dalla Circolare 21 gennaio 2019 al capitolo C8.7.1.2e le indicazioni presenti nelle "Schede illustrate dei principali meccanismi di collasso locali negli edifici esistenti in muratura e dei relativi modelli cinematici di analisi", curate dalla Protezione Civile e dalla Reluiss.

Il calcolo è effettuato utilizzando l'analisi cinematica lineare (semplificata) con fattore **q** pari a 2, per lo stato limite di salvaguardia della vita. La verifica consiste nel verificare che l'accelerazione spettrale di attivazione **a₀*** soddisfi ciascuna delle

seguenti diseguaglianze:

$$a_0^* \geq a_g(P_{VR}) S / q$$

$$a_0^* \geq S_e(T_1) g (Z / H) / q$$

dove:

a_g = accelerazione sismica al suolo, funzione di **P_{VR}**, cioè della probabilità **P** di superamento dello stato limite di salvaguardia della vita (pari al 10%) e della vita di riferimento **VR** della struttura come definiti punto 3.2

S = prodotto del coefficiente di amplificazione stratigrafica e del coefficiente di amplificazione topografica, come definiti al punto 3.2.3.2.1

q = il fattore di struttura, che si è posto pari a 2;

S_e = spettro elastico, come definito al punto 3.2.3.2.1, funzione del periodo **T₁**, relativo al primo modo di vibrare della struttura;

Z / H = approssima la forma del primo modo di vibrare della struttura normalizzato a 1 in sommità, essendo **H** l'altezza complessiva dell'edificio e **Z** l'altezza del punto più basso della porzione di muratura interessata dal meccanismo, entrambe misurate a partire dalla quota di fondazione dell'edificio;

g = coefficiente di partecipazione modale, che viene approssimato con l'espressione **g = 3 N / (2 N + 1)**, essendo **N** il numero di piani dell'edificio;

L'accelerazione spettrale di attivazione è data dalla seguente formula:

$$a_0^* = a_0 g / (e^* FC)$$

essendo:

a₀ = moltiplicatore dell'azione sismica che causa il collasso del meccanismo, ricavato applicando il principio dei lavori virtuali;

g = accelerazione di gravità;

e^{*} = frazione di massa partecipante, come definita al punto C8.7.1.2.1.3 della *Circolare 2019*;

FC = fattore di confidenza (nel caso in cui per la valutazione del moltiplicatore **a₀** non si tenga conto della resistenza a compressione della muratura, con conseguente arretramento della linea ideale del ribaltamento, il fattore di confidenza sarà comunque posto pari a quello relativo al livello di conoscenza **LC1**).

Si tiene conto della presenza di eventuali tiranti o comunque altra tipologia di elementi facenti parte della struttura nel suo complesso in grado di creare una azione di tipo stabilizzante, così come si prende in considerazione l'effetto instabilizzante di carichi spingenti dovuti a volte o altre tipologie di carico che abbiano tale effetto.

In caso di muratura a doppia cortina si considera che il ribaltamento possa avvenire per le due porzioni di muratura, quella esterna e quella interna, in modo indipendente.

In presenza di cordolature di testa non adeguatamente ammorsate alla muratura sottostante, non si tiene in alcun conto a fini stabilizzanti dell'effetto dovuto all'attrito tra cordolo e muratura, dal momento che in presenza di azione sismica l'effetto di tale attrito potrebbe essere aleatorio a causa delle azioni sussultorie.

In caso di meccanismo della tipologia di flessione orizzontale in cui si tiene conto di un effetto di confinamento, alle azioni agenti sugli elementi facenti parte del meccanismo si aggiunge un effetto stabilizzante dato ad una doppia coppia di forze, agenti con asse vettore verticale. Per ciascuna coppia la forza è assegnata pari alla tensione **0,85 F_d**, intesa come agente su metà dello spessore del muro e per un'altezza pari alla linea di frattura interessata dal meccanismo. Il braccio della coppia invece sarà assunto pari alla metà dello spessore del muro stesso.

L'effetto del confinamento può essere garantito dalla presenza di corpi di fabbrica adiacenti alla zona interessata al meccanismo o da una apposita tirantatura disposta allo scopo parallelamente alla muratura e opportunamente ancorata, in grado di impedire spostamenti orizzontali delle imposte a partire dalle quali si innesta il meccanismo di flessione fuori piano, ingenerando così una specie di effetto arco interno alla muratura, che viene schematizzato, come appena esposto, in forma di arco a tre cerniere, considerando il centro di ciascuna cerniera nel semi-spessore di muro compresso in condizioni di limite per la resistenza alla compressione.

VERIFICA EQUIVALENZA CERCHIATURE

Alcuni elementi murari forati possono essere modellati come privi di foro, nel caso sia soddisfatta una verifica di equivalenza tra la cerchiatura realizzata nel foro e la porzione di muratura mancante. Tale equivalenza si considera soddisfatta se risulta che la rigidezza della cerchiatura sia circa equivalente alla rigidezza di un elemento in muratura di dimensioni pari a quelle del foro, al lordo dello spessore della cerchiatura, e la resistenza della cerchiatura sia pari o superiore a quello dell'elemento di muratura eliminata. Rigidezza e resistenza sono riferite ad una forza orizzontale applicata in testa all'elemento e ad esso complanare.

Il calcolo si effettua ipotizzando l'elemento in muratura con vincolo di testa che impedisce la rotazione, mentre per la cerchiatura si adotta l'ipotesi di telaio a comportamento shear-type. Per entrambi si prevede un vincolo di incastro al piede.

Si ipotizza che in fase di realizzazione la cerchiatura abbia uno sviluppo chiuso, quindi che sia presente il traverso inferiore, al fine di garantire l'ipotesi di incastro. Inoltre si richiede che l'intera cerchiatura sia adeguatamente ancorata alla muratura circostante in modo diffuso lungo tutto il perimetro.

Per il calcolo della rigidezza della muratura si considera un modulo elastico fessurato, pari cioè alla metà di quello nominale relativo al materiale.

Per il calcolo della resistenza della muratura si considerano cautelativamente i valori di resistenza f_k ed f_{kv} non ridotti per il coefficiente parziale del materiale e per il fattore di confidenza. Per il cemento armato o l'acciaio della cerchiatura si adottano i valori di modulo elastico e resistenza che si utilizzano normalmente per le verifiche agli stati limite.

• **SPECIFICHE CAMPI TABELLA DI STAMPA**

Si riporta di seguito la spiegazione delle sigle usate nella tabella di stampa dell'archivio materiali.

| | |
|-----------------------|--|
| Materiale N.ro | : <i>Numero identificativo del materiale in esame</i> |
| Densità | : <i>Peso specifico del materiale</i> |
| Ex * 1E3 | : <i>Modulo elastico in direzione x moltiplicato per 10 al cubo</i> |
| Ni.x | : <i>Coefficiente di Poisson in direzione x</i> |
| Alfa.x | : <i>Coefficiente di dilatazione termica in direzione x</i> |
| Ey * 1E3 | : <i>Modulo elastico in direzione y moltiplicato per 10 al cubo</i> |
| Ni.y | : <i>Coefficiente di Poisson in direzione y</i> |
| Alfa.y | : <i>Coefficiente di dilatazione termica in direzione y</i> |
| E11 * 1E3 | : <i>Elemento della matrice elastica moltiplicato per 10 al cubo, 1a riga - 1a colonna</i> |
| E12 * 1E3 | : <i>Elemento della matrice elastica moltiplicato per 10 al cubo, 1a riga - 2a colonna</i> |
| E13 * 1E3 | : <i>Elemento della matrice elastica moltiplicato per 10 al cubo, 1a riga - 3a colonna</i> |
| E22 * 1E3 | : <i>Elemento della matrice elastica moltiplicato per 10 al cubo, 2a riga - 2a colonna</i> |
| E23 * 1E3 | : <i>Elemento della matrice elastica moltiplicato per 10 al cubo, 2a riga - 3a colonna</i> |
| E33 * 1E3 | : <i>Elemento della matrice elastica moltiplicato per 10 al cubo, 3a riga - 3a colonna</i> |

• **SPECIFICHE CAMPI TABELLA DI STAMPA**

Si riporta di seguito la spiegazione delle sigle usate nella tabella di stampa dell'archivio shell.

- Sezione N.ro** : *Numero identificativo dell'archivio sezioni (dal numero 601 in poi)*
- Spessore** : *Spessore dell'elemento*
- Base foro** : *Base di un eventuale foro sull'elemento (zero nel caso in cui il foro non sia presente)*
- Altezza foro** : *Altezza di un eventuale foro sull'elemento (zero nel caso in cui il foro non sia presente)*
- Codice** : *Codice identificativo della posizione del foro (1 = al centro; 0 = qualunque posizione)*
- Ascissa foro** : *Ascissa dello spigolo inferiore sinistro del foro*
- Ordinata foro** : *Ordinata dello spigolo inferiore sinistro del foro*
- Tipo mater.** : *Numero di archivio dei materiali shell*
- Tipo elem.** : *Schematizzazione dell'elemento a livello di calcolo:*
- 0** = Lastra – Piastra
1 = Lastra
2 = Piastra

- **SPECIFICHE CAMPI TABELLA DI STAMPA**

Si riporta di seguito il significato delle simbologie usate nelle tabelle di stampa dei dati di input dei fili fissi:

- **Filo** : Numero del filo fisso in pianta.
- **Ascissa** : Ascissa.
- **Ordinata** : Ordinata.

Si riporta di seguito il significato delle simbologie usate nelle tabelle di stampa dei dati di input delle quote di piano:

- **Quota** : Numero identificativo della quota del piano.
- **Altezza** : Altezza dallo spiccato di fondazione.
- **Tipologia** : Le tipologie previste sono due:

0 = Piano sismico, ovvero piano che è sede di massa, sia strutturale che portata, che deve essere considerata ai fini del calcolo sismico. Tutti i nodi a questa quota hanno gli spostamenti orizzontali legati dalla relazione di impalcato rigido.

1 = Interpiano, ovvero quota intermedia che ha rilevanza ai fini della geometria strutturale ma la cui massa non viene considerata a questa quota ai fini sismici. I nodi a questa quota hanno spostamenti orizzontali indipendenti.

¶ SPECIFICHE CAMPI TABELLA DI STAMPA

Si riporta appresso la spiegazione delle sigle usate nel tabulato di stampa dei dati di input delle travi:

| | |
|--------------------|--|
| Trave | : Numero identificativo della trave alla quota in esame |
| Sez. | : Numero di archivio della sezione della trave. Se il numero sezione è superiore a 600, si tratta di setto di altezza pari all'interpiano e di cui nei successivi dati viene specificato il solo spessore |
| Base x Alt. | : Ingombri in X ed Y nel sistema di riferimento locale della sezione. Nel caso di sezioni rettangolari questi ingombri coincidono con base ed altezza |
| Magrone | : Larghezza del magrone di fondazione. Se presente individua ai fini del calcolo un'asta su suolo alla Winkler |
| Ang. | : Angolo di rotazione della sezione attorno all'asse |
| Filo in. | : Numero del filo fisso iniziale della trave |
| Filo fin. | : Numero del filo fisso finale della trave |
| Quota in. | : Quota dell'estremo iniziale della trave |
| Quota fin. | : Quota dell'estremo finale della trave |
| dx in | : Scostamento in direzione X del punto iniziale dell'asse della trave dal filo fisso iniziale di riferimento |
| dx f | : Scostamento in direzione X del punto finale dell'asse della trave dal filo fisso finale di riferimento |
| dy in | : Scostamento in direzione Y del punto iniziale dell'asse della trave dal filo fisso iniziale di riferimento |
| dy f | : Scostamento in direzione Y del punto finale dell'asse della trave dal filo fisso finale di riferimento |
| Pann. | : Carico sulla trave dovuto a pannelli di solai. |
| Tamp. | : Carico sulla trave dovuto a tamponature |
| Ball. | : Carico sulla trave dovuto a ballatoi |
| Espl. | : Carico sulla trave imposto dal progettista |
| Tot. | : Totale dei carichi verticali precedenti |
| Torc. | : Momento torcente distribuito agente sulla trave imposto dal progettista |
| Orizz. | : Carico orizzontale distribuito agente sulla trave imposto dal progettista |
| Assia. | : Carico assiale distribuito agente sulla trave imposto dal progettista |
| Ali. | : Aliquota media pesata dei carichi accidentali per la determinazione della massa sismica |
| Crit.N.ro | : Numero identificativo del criterio di progetto associato alla trave |
| Tipo | |
| Elemento | Tipo elemento ai fini sismici: Le sigle sotto riportate hanno il significato appresso specificato: - "Secondario NTC18": si intende un elemento asta secondario ai sensi della NTC2018, che non viene inserito nel modello sismico ed a cui vengono applicate le verifiche di duttilità. - "NoGerarchia": si intende un elemento asta non appartenente ad un meccanismo dissipativo e in cui non è applicabile la gerarchia delle resistenze(esempio aste meshate interne a pareti o piastre o travi inclinate) |

Nel caso di vincoli particolari (situazione diversa dal doppio incastro), segue un’ulteriore tabulato relativo ai vincoli, le cui sigle hanno il seguente significato:

Codice: Codice sintetico identificativo del tipo di vincolo secondo la codifica appresso riportata:

I = incastro; **K** = appoggio scorrevole; **C** = cerniera sferica; **E** = esplicito; **CF** = cerniera flessionale.

Il reale funzionamento dei vincoli (da intendersi come vincoli interni tra asta e nodo) è esplicitato dai successivi dati:

- Tx, Ty, Tz** : Valori delle rigidezze alla traslazione imposte al nodo in esame. Il valore -1 indica per convenzione che quella particolare traslazione mutua tra trave e nodo è impedita (ovvero la traslazione assoluta del nodo e dell'estremo dell'asta è la medesima), mentre lo 0 indica che non vi è continuità tra tali elementi ai fini di tale traslazione reciproca (ovvero la traslazione assoluta del nodo e dell'estremo dell'asta sono diverse ed indipendenti). Invece un valore maggiore di zero equivale ad una sconnessione fra il nodo e l'estremo dell'asta (traslazioni assolute diverse), ma sul nodo agirà una forza, nella direzione della sconnessione inserita, di valore pari alla rigidezza per la variazione di spostamento. Se infine viene inserito un valore compreso fra -1 (incastrato) e 0 (libero), fattore di connessione, il programma trasforma in automatico tale numero in una rigidezza esplicita. Gli assi X e Y sono quelli del riferimento locale della sezione, mentre Z è parallelo all'asse della trave.
- Rx, Ry, Rz** : Valori delle rigidezze alla rotazione imposte al nodo in esame. Il valore -1 indica per convenzione che quella particolare rotazione mutua tra trave e nodo è impedita (ovvero la rotazione assoluta del nodo e dell'estremo dell'asta è la medesima), mentre lo 0 indica che non vi è continuità tra tali elementi ai fini di tale rotazione reciproca (ovvero la rotazione assoluta del nodo e dell'estremo dell'asta sono diverse ed indipendenti). Invece un valore maggiore di zero equivale ad una sconnessione fra il nodo e l'estremo dell'asta (rotazioni assolute diverse), ma sul nodo agirà un momento, nella direzione della sconnessione inserita, di valore pari alla rigidezza per la variazione di rotazione. Se viene inserito un valore compreso fra -1 (incastrato) e 0 (libero), fattore di connessione, il programma trasforma in automatico tale numero in una rigidezza esplicita. Gli assi X e Y sono quelli del riferimento locale della sezione, mentre Z è parallelo all'asse della trave.

• **SPECIFICHE CAMPI TABELLA DI STAMPA**

Si riporta di seguito la spiegazione delle sigle usate nella tabella di stampa dell'input piastre.

| | |
|---------------------|--|
| Piastra N.ro | : <i>Numero identificativo della piastra in esame</i> |
| Filo 1 | : <i>Numero del filo fisso su cui è stato posto il primo spigolo della piastra</i> |
| Filo 2 | : <i>Numero del filo fisso su cui è stato posto il secondo spigolo della piastra</i> |
| Filo 3 | : <i>Numero del filo fisso su cui è stato posto il terzo spigolo della piastra</i> |
| Filo 4 | : <i>Numero del filo fisso su cui è stato posto il quarto spigolo della piastra</i> |
| Tipo carico | : <i>Numero di archivio delle tipologie di carico</i> |
| Quota filo 1 | : <i>Quota dello spigolo della piastra inserito in corrispondenza del primo filo fisso</i> |
| Quota filo 2 | : <i>Quota dello spigolo della piastra inserito in corrispondenza del secondo filo fisso</i> |
| Quota filo 3 | : <i>Quota dello spigolo della piastra inserito in corrispondenza del terzo filo fisso</i> |
| Quota filo 4 | : <i>Quota dello spigolo della piastra inserito in corrispondenza del quarto filo fisso</i> |
| Tipo sezione | : <i>Numero identificativo della sezione della piastra</i> |
| Spessore | : <i>Spessore della piastra</i> |
| Kwinkler | : <i>Costante di Winkler del terreno su cui poggia la piastra (zero nel caso di piastre in elevazione)</i> |
| Tipo mater. | : <i>Numero di archivio dei materiali shell</i> |

C.D.S.

ARCHIVIO MATERIALI PIASTRE: MATRICE ELASTICA

| Materiale N.ro | Densita' kg/mc | Ex*1E3 kg/cmq | Ni.x | Alfa.x (*1E5) | Ey*1E3 kg/cmq | Ni.y | Alfa.y (*1E5) | E11*1E3 kg/cmq | E12*1E3 kg/cmq | E13*1E3 kg/cmq | E22*1E3 kg/cmq | E23*1E3 kg/cmq | E33*1E3 kg/cmq |
|----------------|----------------|---------------|------|---------------|---------------|------|---------------|----------------|----------------|----------------|----------------|----------------|----------------|
| 1 | 1800 | 201 | 0,20 | 1,00 | 201 | 0,20 | 1,00 | 209 | 42 | 0 | 209 | 0 | 84 |
| 11 | 1800 | 15 | 0,35 | 1,00 | 15 | 0,35 | 1,00 | 17 | 6 | 0 | 17 | 0 | 6 |
| 12 | 1800 | 25 | 0,25 | 1,00 | 25 | 0,25 | 1,00 | 27 | 7 | 0 | 27 | 0 | 10 |
| 13 | 1900 | 50 | 0,25 | 1,00 | 50 | 0,25 | 1,00 | 53 | 13 | 0 | 53 | 0 | 20 |
| 14 | 1800 | 50 | 0,25 | 1,00 | 50 | 0,25 | 1,00 | 53 | 13 | 0 | 53 | 0 | 20 |
| 15 | 1900 | 50 | 0,25 | 1,00 | 50 | 0,25 | 1,00 | 53 | 13 | 0 | 53 | 0 | 20 |
| 16 | 1900 | 30 | 0,25 | 1,00 | 30 | 0,25 | 1,00 | 32 | 8 | 0 | 32 | 0 | 12 |
| 17 | 1900 | 30 | 0,25 | 1,00 | 30 | 0,25 | 1,00 | 32 | 8 | 0 | 32 | 0 | 12 |

ARCHIVIO SEZIONI SHELLS

| Sezione N.ro | Spessore cm | Tipo Mater. | Tipo Elemento (descrizione) |
|--------------|-------------|-------------|-----------------------------|
| 601 | 57 | 11 | LASTRA-PIASTRA |
| 602 | 42 | 11 | LASTRA-PIASTRA |
| 603 | 14 | 11 | LASTRA-PIASTRA |
| 604 | 28 | 11 | LASTRA-PIASTRA |
| 605 | 28 | 11 | LASTRA-PIASTRA |
| 606 | 14 | 11 | LASTRA-PIASTRA |
| 607 | 28 | 11 | LASTRA-PIASTRA |
| 608 | 14 | 11 | LASTRA-PIASTRA |
| 609 | 42 | 11 | LASTRA-PIASTRA |

ARCHIVIO TIPOLOGIE DI CARICO

| Car. N.ro | Peso Strut kg/mq | Perman. NONstru kg/mq | Varia bile kg/mq | Neve kg/mq | Destinaz. d'Uso | Psi 0 | Psi 1 | Psi 2 | Anal Car. N.ro | DESCRIZIONE SINTETICA DEL TIPO DI CARICO | | | |
|-----------|------------------|-----------------------|------------------|------------|-----------------|-------|-------|-------|----------------|--|--------|--------|--------|
| | | | | | | | | | | Carico | Carico | Carico | Carico |
| 1 | 320 | 250 | 300 | 0 | Categ. B | 0,7 | 0,5 | 0,3 | | solettatura nervata uffici | | | |
| 2 | 0 | 250 | 400 | 0 | Categ. C | 0,7 | 0,7 | 0,6 | | volta sotto aule/corridoi | | | |
| 3 | 0 | 250 | 300 | 0 | Categ. C | 0,7 | 0,7 | 0,6 | | volta sotto uffici | | | |
| 4 | 320 | 250 | 400 | 0 | Categ. C | 0,7 | 0,7 | 0,6 | | soletta nervata corridoi | | | |
| 5 | 250 | 250 | 400 | 0 | Categ. C | 0,7 | 0,7 | 0,6 | | SCALA | | | |
| 6 | 200 | 250 | 300 | 0 | Categ. B | 0,7 | 0,5 | 0,3 | | solaio latero-cem uffici | | | |
| 7 | 200 | 250 | 400 | 0 | Categ. C | 0,7 | 0,7 | 0,6 | | solaio latero-cem corridoi | | | |
| 8 | 220 | 180 | 100 | 130 | Categ. H | 0,0 | 0,0 | 0,0 | | sottotetto e copertura | | | |
| 9 | 200 | 420 | 300 | 0 | Categ. B | 0,7 | 0,5 | 0,3 | | solaio con rialzo | | | |

DATI GENERALI DI STRUTTURA

| DATI GENERALI DI STRUTTURA | | | | | |
|----------------------------|--|---------------|---------------------------|----------------------------|------------|
| Massima dimens. dir. X (m) | | 28,89 | | Altezza edificio (m) | |
| Massima dimens. dir. Y (m) | | 10,91 | | Differenza temperatura(°C) | |
| PARAMETRI SISMICI | | | | | |
| Vita Nominale (Anni) | | 50 | Classe d' Uso | | III Cu=1.5 |
| Longitudine Est (Grd) | | 11,35601 | Latitudine Nord (Grd) | | 44,49695 |
| Categoria Suolo | | C | Coeff. Condiz. Topogr. | | 1,00000 |
| Sistema Costruttivo Dir.1 | | Muratura | Sistema Costruttivo Dir.2 | | Muratura |
| Regolarita' in Altezza | | NO(KR=.8) | Regolarita' in Pianta | | NO |
| Direzione Sisma (Grd) | | 0 | Sisma Verticale | | ASSENTE |
| Effetti P/Delta | | NO | Quota di Zero Sismico (m) | | 3,00000 |
| Tipo Intervento | | MIGLIORAMENTO | Tipo Analisi Sismica | | PUSH-OVER |
| Livello Sicurezza Min. (%) | | 100 | | | |

PARAMETRI SPETTRO ELASTICO - SISMA S.L.V.

| | | | |
|--------------------------|------|-------------------------|--------|
| Probabilita' Pvr | 0,10 | Periodo di Ritorno Anni | 712,00 |
| Accelerazione Ag/g | 0,19 | Periodo T'c (sec.) | 0,31 |
| Fo | 2,42 | Fv | 1,43 |
| Fattore Stratigrafia'Ss' | 1,42 | Periodo TB (sec.) | 0,16 |
| Periodo TC (sec.) | 0,48 | Periodo TD (sec.) | 2,36 |

PARAMETRI SISTEMA COSTRUTTIVO MURATURA - D I R. 1

| | | | |
|--------------------------|-----------|-------------|------|
| Sistema Strutturale | Ordinaria | AlfaU/Alfa1 | 1,70 |
| Fattore di comportam 'q' | 1,89 | | |

PARAMETRI SISTEMA COSTRUTTIVO MURATURA - D I R. 2

| | | | |
|--------------------------|-----------|-------------|------|
| Sistema Strutturale | Ordinaria | AlfaU/Alfa1 | 1,70 |
| Fattore di comportam 'q' | 1,89 | | |

COEFFICIENTI DI SICUREZZA PARZIALI DEI MATERIALI

| | | | |
|------------------------|------|-------------------------|------|
| Acciaio per CLS armato | 1,15 | Calcestruzzo CLS armato | 1,50 |
|------------------------|------|-------------------------|------|

C.D.S.

| | | | |
|--------------------------|------|-----------------------------|------|
| Muratura azioni sismiche | 2,40 | Muratura azioni statiche | 3,00 |
| Legno per comb. eccez. | 1,00 | Legno per comb. fondament.: | 1,30 |
| Livello conoscenza | LC1 | | |
| FRP Collasso Tipo 'A' | 1,10 | FRP Delaminazione Tipo 'A' | 1,20 |
| FRP Collasso Tipo 'B' | 1,25 | FRP Delaminazione Tipo 'B' | 1,50 |
| FRP Resist. Press/Fless | 1,00 | FRP Resist. Taglio/Torsione | 1,20 |
| FRP Resist. Confinamento | 1,10 | | |

DATI GENERALI DI STRUTTURA

| DATI DI CALCOLO | | PER AZIONE NEE | |
|-----------------------------|----------|------------------------------|--------|
| Zona Geografica | I Alpina | Coefficiente Termico | 1,00 |
| Altitudine sito s.l.m. (m) | 50 | Coefficiente di forma | 0,80 |
| Tipo di Esposizione | Normale | Coefficiente di esposizione | 1,00 |
| Carico di riferimento kg/mq | 150 | Carico neve di calcolo kg/mq | 120,00 |

Il calcolo della neve e' effettuato in base al punto 3.4 del D.M. 2018 e relative modifiche e integrazioni riportate nella Circolare del 26/12/2009

COORDINATE E TIPOLOGIA FILI FISSI

| Filo N.ro | Ascissa m | Ordinata m | | Filo N.ro | Ascissa m | Ordinata m |
|-----------|-----------|------------|--|-----------|-----------|------------|
| 1 | 0,00 | 0,00 | | 2 | 7,31 | 0,00 |
| 3 | 13,05 | 0,00 | | 4 | 15,81 | 0,00 |
| 5 | 21,61 | 0,00 | | 6 | 28,89 | 0,00 |
| 7 | 0,00 | 4,17 | | 8 | 7,31 | 4,17 |
| 9 | 13,05 | 4,17 | | 10 | 15,81 | 4,17 |
| 11 | 21,61 | 4,17 | | 12 | 28,89 | 4,17 |
| 13 | 0,00 | 6,44 | | 14 | 8,43 | 6,44 |
| 15 | 13,05 | 6,44 | | 16 | 15,81 | 6,44 |
| 17 | 21,61 | 6,44 | | 18 | 28,89 | 6,44 |
| 19 | 0,00 | 10,63 | | 20 | 8,43 | 10,91 |
| 21 | 13,05 | 10,91 | | 22 | 15,81 | 10,91 |
| 23 | 21,61 | 10,63 | | 24 | 28,89 | 10,63 |
| 25 | 3,45 | 6,44 | | 26 | 20,43 | 6,44 |
| 27 | 20,43 | 10,63 | | 28 | 24,61 | 10,63 |
| 29 | 20,43 | 10,91 | | 30 | 8,43 | 10,63 |
| 31 | 24,61 | 6,44 | | 32 | 6,86 | 4,17 |
| 33 | 6,86 | 6,44 | | 34 | 8,79 | 4,17 |
| 35 | 15,81 | 8,91 | | 36 | 15,81 | 8,41 |
| 37 | 19,46 | 4,17 | | 38 | 19,91 | 4,17 |
| 39 | 24,61 | 4,17 | | 40 | 25,06 | 4,17 |
| 41 | 7,31 | 6,44 | | 42 | 9,24 | 4,17 |
| 43 | 12,60 | 4,17 | | 44 | 16,26 | 4,17 |

QUOTE PIANI SISMICI ED INTERPIANI

| Quota N.ro | Altezza m | Tipologia | Irreg XY | Tamp Alt. | Quota N.ro | Altezza m | Tipologia | Irreg XY | Tamp Alt. |
|------------|-----------|---------------|----------|-----------|------------|-----------|---------------|----------|-----------|
| 0 | 0,00 | Piano Terra | NO | NO | 1 | 3,10 | Piano sismico | NO | NO |
| 2 | 8,34 | Piano sismico | NO | NO | 3 | 12,37 | Interpiano | NO | NO |
| 4 | 15,84 | Interpiano | NO | NO | | | | | |

TRAVI IN C.A. ALLA QUOTA 0 m

| Trav N.ro | Sez. N.ro | Tipo Elem. x il sisma | DATI GENERALI | | QUOTE | | SCOSTAMENTI | | | | | CARICHI | | | | | | | | | | | | | |
|-----------|-----------|-----------------------|---------------|----------|----------|-----------|-------------|--------|--------|--------|--------|---------|--------|------------|------------|------------|------------|-----------|----------|-------------|-------------|-------|-------|---------|---|
| | | | Ang Grd | Fil fin. | Fil fin. | Q.in. (m) | Q.fin. (m) | Dxi cm | Dyi cm | Dzi cm | Dxf cm | Dyf cm | Dzf cm | Pann. kg/m | Tamp. kg/m | Ball. kg/m | Espl. kg/m | Tot. kg/m | Torc. kg | Orizz. kg/m | Azzial kg/m | Ali % | Cr Nr | Cit Geo | |
| 1 | 27 | Tel.SismoRes. | 0 | 1 | 2 | 0,00 | 0,00 | 0 | -13 | 0 | 0 | -13 | 0 | 0 | 0 | 0 | 0 | 0 | 0 | 0 | 0 | 0 | 0 | 5 | 2 |
| 2 | 27 | Tel.SismoRes. | 0 | 2 | 3 | 0,00 | 0,00 | 0 | -13 | 0 | 0 | -13 | 0 | 0 | 0 | 0 | 0 | 0 | 0 | 0 | 0 | 0 | 0 | 5 | 2 |
| 3 | 27 | Tel.SismoRes. | 0 | 3 | 4 | 0,00 | 0,00 | 0 | -13 | 0 | 0 | -13 | 0 | 0 | 0 | 0 | 0 | 0 | 0 | 0 | 0 | 0 | 0 | 5 | 2 |
| 4 | 27 | Tel.SismoRes. | 0 | 4 | 5 | 0,00 | 0,00 | 0 | -13 | 0 | 0 | -13 | 0 | 0 | 0 | 0 | 0 | 0 | 0 | 0 | 0 | 0 | 0 | 5 | 2 |
| 5 | 27 | Tel.SismoRes. | 0 | 5 | 6 | 0,00 | 0,00 | 0 | -13 | 0 | 0 | -13 | 0 | 0 | 0 | 0 | 0 | 0 | 0 | 0 | 0 | 0 | 0 | 5 | 2 |
| 6 | 27 | Tel.SismoRes. | 0 | 13 | 7 | 0,00 | 0,00 | -14 | 0 | 0 | -14 | 0 | 0 | 0 | 0 | 0 | 0 | 0 | 0 | 0 | 0 | 0 | 0 | 2 | 2 |
| 7 | 27 | Tel.SismoRes. | 0 | 7 | 1 | 0,00 | 0,00 | -14 | 0 | 0 | -14 | 0 | 0 | 0 | 0 | 0 | 0 | 0 | 0 | 0 | 0 | 0 | 0 | 2 | 2 |
| 8 | 27 | Tel.SismoRes. | 0 | 7 | 32 | 0,00 | 0,00 | 0 | 6 | 0 | 0 | 6 | 0 | 0 | 0 | 0 | 0 | 0 | 0 | 0 | 0 | 0 | 0 | 5 | 2 |
| 9 | 27 | Tel.SismoRes. | 0 | 8 | 34 | 0,00 | 0,00 | 0 | 6 | 0 | 0 | 6 | 0 | 0 | 0 | 0 | 0 | 0 | 0 | 0 | 0 | 0 | 0 | 5 | 2 |
| 10 | 27 | Tel.SismoRes. | 0 | 9 | 10 | 0,00 | 0,00 | 0 | 6 | 0 | 0 | 6 | 0 | 0 | 0 | 0 | 0 | 0 | 0 | 0 | 0 | 0 | 0 | 5 | 2 |
| 11 | 27 | Tel.SismoRes. | 0 | 10 | 44 | 0,00 | 0,00 | 0 | 6 | 0 | 0 | 6 | 0 | 0 | 0 | 0 | 0 | 0 | 0 | 0 | 0 | 0 | 0 | 5 | 2 |

C.D.S.

| | | TRAVI IN C.A. ALLA QUOTA 0 m | | | | | | | | | | | | | | | | | | Cr Nr | Cit Geo | | | |
|---------------|--------------|------------------------------|------------|------------|------------|--------------|--------------|-------------|-----------|-----------|-----------|-----------|-----------|---------------|---------------|---------------|---------------|--------------|-------------|----------------|----------------|----------|------------|---|
| Trav. N.ro | Sez. N.ro | DATI GENERALI | | | QUOTE | | | SCOSTAMENTI | | | | | | CARICHI | | | | | | | | Cr Nr | Cit Geo | |
| | | Tipo Elem. x il sisma | Ang Grd | Fil in. | Fil fin | Q.in. (m) | Q.fin (m) | Dxi cm | Dyi cm | Dzi cm | Dxf cm | Dyf cm | Dzf cm | Pann. kg/m | Tamp. kg/m | Ball. kg/m | Espl. kg/m | Tot. kg/m | Torc. kg | Orizz. kg/m | Assial kg/m | Ali % | | |
| 12 | 27 | Tel.SismoRes. | 0 | 11 | 39 | 0,00 | 0,00 | 0 | 6 | 0 | 0 | 6 | 0 | 0 | 0 | 0 | 0 | 0 | 0 | 0 | 0 | 5 | 2 | |
| 13 | 27 | Tel.SismoRes. | 0 | 32 | 8 | 0,00 | 0,00 | 0 | 6 | 0 | 0 | 6 | 0 | 0 | 0 | 0 | 0 | 0 | 0 | 0 | 0 | 0 | 5 | 2 |
| 14 | 27 | Tel.SismoRes. | 0 | 34 | 42 | 0,00 | 0,00 | 0 | 6 | 0 | 0 | 6 | 0 | 0 | 0 | 0 | 0 | 0 | 0 | 0 | 0 | 0 | 5 | 2 |
| 15 | 27 | Tel.SismoRes. | 0 | 37 | 38 | 0,00 | 0,00 | 0 | 6 | 0 | 0 | 6 | 0 | 0 | 0 | 0 | 0 | 0 | 0 | 0 | 0 | 0 | 5 | 2 |
| 16 | 27 | Tel.SismoRes. | 0 | 38 | 11 | 0,00 | 0,00 | 0 | 6 | 0 | 0 | 6 | 0 | 0 | 0 | 0 | 0 | 0 | 0 | 0 | 0 | 0 | 5 | 2 |
| 17 | 27 | Tel.SismoRes. | 0 | 39 | 40 | 0,00 | 0,00 | 0 | 6 | 0 | 0 | 6 | 0 | 0 | 0 | 0 | 0 | 0 | 0 | 0 | 0 | 0 | 5 | 2 |
| 18 | 27 | Tel.SismoRes. | 0 | 40 | 12 | 0,00 | 0,00 | 0 | 6 | 0 | 0 | 6 | 0 | 0 | 0 | 0 | 0 | 0 | 0 | 0 | 0 | 0 | 5 | 2 |
| 19 | 27 | Tel.SismoRes. | 0 | 12 | 6 | 0,00 | 0,00 | 0 | 0 | 0 | 0 | 0 | 0 | 0 | 0 | 0 | 0 | 0 | 0 | 0 | 0 | 0 | 2 | 2 |
| 20 | 27 | Tel.SismoRes. | 0 | 18 | 12 | 0,00 | 0,00 | 0 | 0 | 0 | 0 | 0 | 0 | 0 | 0 | 0 | 0 | 0 | 0 | 0 | 0 | 0 | 2 | 2 |
| 21 | 27 | Tel.SismoRes. | 0 | 24 | 18 | 0,00 | 0,00 | 0 | 0 | 0 | 0 | 0 | 0 | 0 | 0 | 0 | 0 | 0 | 0 | 0 | 0 | 0 | 2 | 2 |
| 22 | 27 | Tel.SismoRes. | 0 | 13 | 25 | 0,00 | 0,00 | 0 | -12 | 0 | 0 | -12 | 0 | 0 | 0 | 0 | 0 | 0 | 0 | 0 | 0 | 0 | 5 | 2 |
| 23 | 27 | Tel.SismoRes. | 0 | 25 | 33 | 0,00 | 0,00 | 0 | -12 | 0 | 0 | -12 | 0 | 0 | 0 | 0 | 0 | 0 | 0 | 0 | 0 | 0 | 5 | 2 |
| 24 | 27 | Tel.SismoRes. | 0 | 14 | 15 | 0,00 | 0,00 | 0 | -12 | 0 | 0 | -12 | 0 | 0 | 0 | 0 | 0 | 0 | 0 | 0 | 0 | 0 | 5 | 2 |
| 25 | 27 | Tel.SismoRes. | 0 | 15 | 16 | 0,00 | 0,00 | 0 | -12 | 0 | 0 | -12 | 0 | 0 | 0 | 0 | 0 | 0 | 0 | 0 | 0 | 0 | 5 | 2 |
| 26 | 27 | Tel.SismoRes. | 0 | 16 | 26 | 0,00 | 0,00 | 0 | -12 | 0 | 0 | -12 | 0 | 0 | 0 | 0 | 0 | 0 | 0 | 0 | 0 | 0 | 5 | 2 |
| 27 | 27 | Tel.SismoRes. | 0 | 17 | 31 | 0,00 | 0,00 | 0 | -12 | 0 | 0 | -12 | 0 | 0 | 0 | 0 | 0 | 0 | 0 | 0 | 0 | 0 | 5 | 2 |
| 28 | 27 | Tel.SismoRes. | 0 | 26 | 17 | 0,00 | 0,00 | 0 | -12 | 0 | 0 | -12 | 0 | 0 | 0 | 0 | 0 | 0 | 0 | 0 | 0 | 0 | 5 | 2 |
| 29 | 27 | Tel.SismoRes. | 0 | 31 | 18 | 0,00 | 0,00 | 0 | 6 | 0 | 0 | 6 | 0 | 0 | 0 | 0 | 0 | 0 | 0 | 0 | 0 | 0 | 5 | 2 |
| 30 | 27 | Tel.SismoRes. | 0 | 33 | 41 | 0,00 | 0,00 | 0 | -12 | 0 | 0 | -12 | 0 | 0 | 0 | 0 | 0 | 0 | 0 | 0 | 0 | 0 | 5 | 2 |
| 31 | 27 | Tel.SismoRes. | 0 | 20 | 21 | 0,00 | 0,00 | 0 | 6 | 0 | 0 | 6 | 0 | 0 | 0 | 0 | 0 | 0 | 0 | 0 | 0 | 0 | 5 | 2 |
| 32 | 27 | Tel.SismoRes. | 0 | 21 | 22 | 0,00 | 0,00 | 0 | 6 | 0 | 0 | 6 | 0 | 0 | 0 | 0 | 0 | 0 | 0 | 0 | 0 | 0 | 5 | 2 |
| 33 | 27 | Tel.SismoRes. | 0 | 22 | 29 | 0,00 | 0,00 | 0 | 6 | 0 | 0 | 6 | 0 | 0 | 0 | 0 | 0 | 0 | 0 | 0 | 0 | 0 | 5 | 2 |
| 34 | 27 | Tel.SismoRes. | 0 | 28 | 31 | 0,00 | 0,00 | -21 | 0 | 0 | -21 | 0 | 0 | 0 | 0 | 0 | 0 | 0 | 0 | 0 | 0 | 0 | 2 | 2 |
| 35 | 27 | Tel.SismoRes. | 0 | 41 | 14 | 0,00 | 0,00 | 0 | -12 | 0 | 0 | -12 | 0 | 0 | 0 | 0 | 0 | 0 | 0 | 0 | 0 | 0 | 5 | 2 |
| 36 | 27 | Tel.SismoRes. | 0 | 28 | 24 | 0,00 | 0,00 | 0 | -4 | 0 | 0 | -4 | 0 | 0 | 0 | 0 | 0 | 0 | 0 | 0 | 0 | 0 | 5 | 2 |
| 37 | 27 | Tel.SismoRes. | 0 | 20 | 30 | 0,00 | 0,00 | -21 | 0 | 0 | -21 | 0 | 0 | 0 | 0 | 0 | 0 | 0 | 0 | 0 | 0 | 0 | 2 | 2 |
| 38 | 27 | Tel.SismoRes. | 0 | 30 | 14 | 0,00 | 0,00 | -21 | 0 | 0 | -21 | 0 | 0 | 0 | 0 | 0 | 0 | 0 | 0 | 0 | 0 | 0 | 2 | 2 |
| 39 | 27 | Tel.SismoRes. | 0 | 29 | 27 | 0,00 | 0,00 | -4 | 0 | 0 | -4 | 0 | 0 | 0 | 0 | 0 | 0 | 0 | 0 | 0 | 0 | 0 | 2 | 2 |
| 40 | 27 | Tel.SismoRes. | 0 | 22 | 35 | 0,00 | 0,00 | -4 | 0 | 0 | -4 | 0 | 0 | 0 | 0 | 0 | 0 | 0 | 0 | 0 | 0 | 0 | 2 | 2 |
| 41 | 27 | Tel.SismoRes. | 0 | 35 | 36 | 0,00 | 0,00 | -4 | 0 | 0 | -4 | 0 | 0 | 0 | 0 | 0 | 0 | 0 | 0 | 0 | 0 | 0 | 2 | 2 |
| 42 | 27 | Tel.SismoRes. | 0 | 36 | 16 | 0,00 | 0,00 | -4 | 0 | 0 | -4 | 0 | 0 | 0 | 0 | 0 | 0 | 0 | 0 | 0 | 0 | 0 | 2 | 2 |
| 43 | 27 | Tel.SismoRes. | 0 | 27 | 26 | 0,00 | 0,00 | -4 | 0 | 0 | -4 | 0 | 0 | 0 | 0 | 0 | 0 | 0 | 0 | 0 | 0 | 0 | 2 | 2 |
| 44 | 27 | Tel.SismoRes. | 0 | 42 | 43 | 0,00 | 0,00 | 0 | 6 | 0 | 0 | 6 | 0 | 0 | 0 | 0 | 0 | 0 | 0 | 0 | 0 | 0 | 5 | 2 |
| 45 | 27 | Tel.SismoRes. | 0 | 43 | 9 | 0,00 | 0,00 | 0 | 6 | 0 | 0 | 6 | 0 | 0 | 0 | 0 | 0 | 0 | 0 | 0 | 0 | 0 | 5 | 2 |
| 46 | 27 | Tel.SismoRes. | 0 | 44 | 37 | 0,00 | 0,00 | 0 | 6 | 0 | 0 | 6 | 0 | 0 | 0 | 0 | 0 | 0 | 0 | 0 | 0 | 0 | 5 | 2 |
| 47 | 27 | Tel.SismoRes. | 0 | 9 | 3 | 0,00 | 0,00 | -4 | 0 | 0 | -4 | 0 | 0 | 0 | 0 | 0 | 0 | 0 | 0 | 0 | 0 | 0 | 2 | 2 |
| 48 | 27 | Tel.SismoRes. | 0 | 21 | 15 | 0,00 | 0,00 | -4 | 0 | 0 | -4 | 0 | 0 | 0 | 0 | 0 | 0 | 0 | 0 | 0 | 0 | 0 | 2 | 2 |
| 49 | 27 | Tel.SismoRes. | 0 | 10 | 4 | 0,00 | 0,00 | -4 | 0 | 0 | -4 | 0 | 0 | 0 | 0 | 0 | 0 | 0 | 0 | 0 | 0 | 0 | 2 | 2 |
| 50 | 27 | Tel.SismoRes. | 0 | 33 | 32 | 0,00 | 0,00 | -4 | 0 | 0 | -4 | 0 | 0 | 0 | 0 | 0 | 0 | 0 | 0 | 0 | 0 | 0 | 2 | 2 |
| 51 | 27 | Tel.SismoRes. | 0 | 11 | 5 | 0,00 | 0,00 | -4 | 0 | 0 | -4 | 0 | 0 | 0 | 0 | 0 | 0 | 0 | 0 | 0 | 0 | 0 | 2 | 2 |
| 52 | 27 | Tel.SismoRes. | 0 | 15 | 9 | 0,00 | 0,00 | -4 | 0 | 0 | -4 | 0 | 0 | 0 | 0 | 0 | 0 | 0 | 0 | 0 | 0 | 0 | 2 | 2 |
| 53 | 27 | Tel.SismoRes. | 0 | 16 | 10 | 0,00 | 0,00 | -4 | 0 | 0 | -4 | 0 | 0 | 0 | 0 | 0 | 0 | 0 | 0 | 0 | 0 | 0 | 2 | 2 |
| 54 | 27 | Tel.SismoRes. | 0 | 17 | 11 | 0,00 | 0,00 | -4 | 0 | 0 | -4 | 0 | 0 | 0 | 0 | 0 | 0 | 0 | 0 | 0 | 0 | 0 | 2 | 2 |
| 55 | 27 | Tel.SismoRes. | 0 | 8 | 2 | 0,00 | 0,00 | -4 | 0 | 0 | -4 | 0 | 0 | 0 | 0 | 0 | 0 | 0 | 0 | 0 | 0 | 0 | 2 | 2 |
| 56 | 27 | Tel.SismoRes. | 0 | 23 | 28 | 0,00 | 0,00 | 0 | -4 | 0 | 0 | -4 | 0 | 0 | 0 | 0 | 0 | 0 | 0 | 0 | 0 | 0 | 5 | 2 |
| 57 | 27 | Tel.SismoRes. | 0 | 27 | 23 | 0,00 | 0,00 | 0 | -4 | 0 | 0 | -4 | 0 | 0 | 0 | 0 | 0 | 0 | 0 | 0 | 0 | 0 | 5 | 2 |

| | | TRAVI IN C.A. ALLA QUOTA 3.1 m | | | | | | | | | | | | | | | | | | Cr Nr | Cit Geo | | |
|---------------|--------------|--------------------------------|------------|------------|------------|--------------|--------------|-------------|-----------|-----------|-----------|-----------|-----------|-----------------|-----------------|-----------------|-----------------|----------------|-------------|------------------|------------------|----------|------------|
| Trav. N.ro | Sez. N.ro | DATI GENERALI | | | QUOTE | | | SCOSTAMENTI | | | | | | CARICHI | | | | | | | | Cr Nr | Cit Geo |
| | | Tipo Elem. x il sisma | Ang Grd | Fil in. | Fil fin | Q.in. (m) | Q.fin (m) | Dxi cm | Dyi cm | Dzi cm | Dxf cm | Dyf cm | Dzf cm | Pann. kg / m | Tamp. kg / m | Ball. kg / m | Espl. kg / m | Tot. kg / m | Torc. kg | Orizz. kg / m | Assial kg / m | Ali % | |
| 1 | 601 | 57 | 1 | 2 | 3,10 | 3,10 | 0 | -13 | 0 | 0 | -13 | 0 | 2881 | 0 | 0 | 0 | 2881 | 0 | -4960 | 0 | 60 | 0 | 0 |
| 2 | 601 | 57 | 2 | 3 | 3,10 | 3,10 | 0 | 0 | 0 | 0 | 0 | 0 | 2881 | 0 | 0 | 0 | 2881 | 0 | -4960 | 0 | 60 | 0 | 0 |
| 3 | 601 | 57 | 3 | 4 | 3,10 | 3,10 | 0 | -13 | 0 | 0 | -13 | 0 | 0 | 0 | 0 | 0 | 0 | 0 | 0 | 0 | 0 | 0 | 0 |
| 4 | 601 | 57 | 4 | 5 | 3,10 | 3,10 | 0 | -13 | 0 | 0 | -13 | 0 | 2665 | 0 | 0 | 0 | 2665 | 0 | -4706 | 0 | 60 | 0 | 0 |
| 5 | 601 | 57 | 5 | 6 | 3,10 | | | | | | | | | | | | | | | | | | |

C.D.S.

| | | GEOMETRIA | | | | QUOTE | | | | SCOSTAMENTI | | | | CARICHI VERTICALI | | | | | | PRESSIONI | | RINFORZI MUR | | | | |
|-----------|---------|-----------|----------|----------|------------|-------------|--------|--------|--------|-------------|--------|--------|------|-------------------|-------------|------|------|---------|--------------|--------------|-------|--------------|-------------|---------|--------|---------|
| Sett N.ro | Sez N.r | Sp. cm | Fil. in. | Fil. fin | Q. in. (m) | Q. fin. (m) | Dxi cm | Dyi cm | Dzi cm | Dxf cm | Dyf cm | Dzf cm | Pann | Tamp | Ball kg / m | Espl | Tot. | Torc kg | Orizz kg / m | Assia kg / m | Ali % | Psup. kg/mq | Pinf. kg/mq | Mat Nro | Ini cm | Fin. cm |
| 31 | 601 | 57 | 12 | 6 | 3,10 | 3,10 | 0 | 0 | 0 | 0 | 0 | 0 | 0 | 0 | 0 | 0 | 0 | 0 | 0 | 0 | 0 | 0 | 0 | 0 | 0 | |
| 32 | 601 | 57 | 18 | 12 | 3,10 | 3,10 | 0 | 0 | 0 | 0 | 0 | 0 | 0 | 0 | 0 | 0 | 0 | 0 | 0 | 0 | 0 | 0 | 0 | 0 | 0 | |
| 33 | 602 | 42 | 11 | 5 | 3,10 | 3,10 | 0 | -4 | 0 | 0 | -4 | 0 | 0 | 0 | 0 | 0 | 0 | 0 | 0 | 0 | 0 | 0 | 0 | 0 | 0 | |
| 34 | 602 | 42 | 17 | 11 | 3,10 | 3,10 | 0 | -4 | 0 | 0 | -4 | 0 | 0 | 0 | 0 | 0 | 0 | 0 | 0 | 0 | 0 | 0 | 0 | 0 | 0 | |
| 35 | 601 | 57 | 10 | 4 | 3,10 | 3,10 | 0 | 0 | 0 | 0 | 0 | 0 | 0 | 1699 | 0 | 0 | 0 | 1699 | 0 | 1763 | 0 | 60 | 0 | 0 | 0 | |
| 36 | 601 | 57 | 9 | 3 | 3,10 | 3,10 | 0 | 0 | 0 | 0 | 0 | 0 | 0 | 1699 | 0 | 0 | 0 | 1699 | 0 | -1763 | 0 | 60 | 0 | 0 | 0 | |
| 37 | 601 | 57 | 15 | 9 | 3,10 | 3,10 | 0 | 0 | 0 | 0 | 0 | 0 | 0 | 1699 | 0 | 0 | 0 | 1699 | 0 | -1763 | 0 | 60 | 0 | 0 | 0 | |
| 38 | 601 | 57 | 16 | 10 | 3,10 | 3,10 | 0 | 0 | 0 | 0 | 0 | 0 | 0 | 1699 | 0 | 0 | 0 | 1699 | 0 | 1763 | 0 | 60 | 0 | 0 | 0 | |
| 39 | 601 | 57 | 8 | 2 | 3,10 | 3,10 | 0 | 0 | 0 | 0 | 0 | 0 | 0 | 0 | 0 | 0 | 0 | 0 | 0 | 0 | 0 | 0 | 0 | 0 | 0 | |
| 40 | 601 | 57 | 7 | 1 | 3,10 | 3,10 | -14 | 0 | 0 | -14 | 0 | 0 | 0 | 0 | 0 | 0 | 0 | 0 | 0 | 0 | 0 | 0 | 0 | 0 | 0 | |
| 41 | 601 | 57 | 13 | 7 | 3,10 | 3,10 | -14 | 0 | 0 | -14 | 0 | 0 | 0 | 0 | 0 | 0 | 0 | 0 | 0 | 0 | 0 | 0 | 0 | 0 | 0 | |
| 42 | 602 | 42 | 33 | 41 | 3,10 | 3,10 | 0 | -4 | 0 | 0 | -4 | 0 | 1311 | 0 | 0 | 0 | 1311 | 0 | 1029 | 0 | 60 | 0 | 0 | 0 | 0 | |
| 43 | 601 | 57 | 32 | 8 | 3,10 | 3,10 | 0 | 6 | 0 | 0 | 6 | 0 | 4140 | 0 | 0 | 0 | 4140 | 0 | 3931 | 0 | 60 | 0 | 0 | 0 | 0 | |
| 44 | 604 | 28 | 33 | 32 | 3,10 | 3,10 | 0 | 0 | 0 | 0 | 0 | 0 | 0 | 0 | 0 | 0 | 0 | 0 | 0 | 0 | 0 | 0 | 0 | 0 | 0 | |
| 45 | 601 | 57 | 34 | 42 | 3,10 | 3,10 | 0 | 6 | 0 | 0 | 6 | 0 | 4140 | 0 | 0 | 0 | 4140 | 0 | 3931 | 0 | 60 | 0 | 0 | 0 | 0 | |
| 46 | 602 | 42 | 35 | 36 | 3,10 | 3,10 | 0 | 0 | 0 | 0 | 0 | 0 | 0 | 4895 | 0 | 0 | 0 | 4895 | 0 | -3947 | 0 | 60 | 0 | 0 | 0 | 0 |
| 47 | 602 | 42 | 36 | 16 | 3,10 | 3,10 | 0 | 0 | 0 | 0 | -4 | 0 | 4895 | 0 | 0 | 0 | 4895 | 0 | -3947 | 0 | 60 | 0 | 0 | 0 | 0 | |
| 52 | 602 | 42 | 37 | 38 | 3,10 | 3,10 | 0 | 6 | 0 | 0 | 6 | 0 | 4076 | 0 | 0 | 0 | 4076 | 0 | 3553 | 0 | 60 | 0 | 0 | 0 | 0 | |
| 53 | 602 | 42 | 38 | 11 | 3,10 | 3,10 | 0 | 6 | 0 | 0 | 6 | 0 | 4104 | 0 | 0 | 0 | 4104 | 0 | 3511 | 0 | 60 | 0 | 0 | 0 | 0 | |
| 54 | 602 | 42 | 39 | 40 | 3,10 | 3,10 | 0 | 6 | 0 | 0 | 6 | 0 | 4110 | 0 | 0 | 0 | 4110 | 0 | 3556 | 0 | 60 | 0 | 0 | 0 | 0 | |
| 55 | 602 | 42 | 40 | 12 | 3,10 | 3,10 | 0 | 6 | 0 | 0 | 6 | 0 | 4110 | 0 | 0 | 0 | 4110 | 0 | 3556 | 0 | 60 | 0 | 0 | 0 | 0 | |
| 56 | 602 | 42 | 41 | 14 | 3,10 | 3,10 | 0 | -4 | 0 | 0 | -4 | 0 | 1311 | 0 | 0 | 0 | 1311 | 0 | 1029 | 0 | 60 | 0 | 0 | 0 | 0 | |
| 57 | 601 | 57 | 42 | 43 | 3,10 | 3,10 | 0 | 6 | 0 | 0 | 6 | 0 | 4140 | 0 | 0 | 0 | 4140 | 0 | 3931 | 0 | 60 | 0 | 0 | 0 | 0 | |
| 58 | 601 | 57 | 43 | 9 | 3,10 | 3,10 | 0 | 6 | 0 | 0 | 6 | 0 | 4140 | 0 | 0 | 0 | 4140 | 0 | 3931 | 0 | 60 | 0 | 0 | 0 | 0 | |
| 59 | 602 | 42 | 44 | 37 | 3,10 | 3,10 | 0 | 6 | 0 | 0 | 6 | 0 | 4076 | 0 | 0 | 0 | 4076 | 0 | 3533 | 0 | 60 | 0 | 0 | 0 | 0 | |

| FORI SETTI ALLA QUOTA 3.1 m | | | | | | | | | | | | | | | | | |
|-----------------------------|-----------|-----------|-----------|-------------------|-----------|-----------|----------------|-------------------|-------------------|-------------------|-----------|-----------|----------|-----------|-----------|---------|---------|
| Setto N.ro | Foro N.ro | Base f cm | Alt. f cm | Codice Posiz.Foro | Asc. f cm | Ord. f cm | Sezione Catena | Sezione Cerchiat. | Sezione Architrav | Sezione Piedritti | Mat. SubF | Crit Prog | FiLon mm | NFer Sup. | NFer Inf. | FiSt mm | PSta cm |
| 1 | 1 | 100 | 50 | LIBERO | 180 | 220 | Nessuna | Nessuna | Nessuna | Nessuna | | | | | | | |
| | 2 | 100 | 50 | LIBERO | 470 | 220 | Nessuna | Nessuna | Nessuna | Nessuna | | | | | | | |
| 2 | 1 | 100 | 50 | LIBERO | 35 | 220 | Nessuna | Nessuna | Nessuna | Nessuna | | | | | | | |
| | 2 | 100 | 50 | LIBERO | 385 | 220 | Nessuna | Nessuna | Nessuna | Nessuna | | | | | | | |
| 3 | 1 | 80 | 70 | LIBERO | 100 | 220 | Nessuna | Nessuna | Nessuna | Nessuna | | | | | | | |
| 4 | 1 | 100 | 50 | LIBERO | 90 | 220 | Nessuna | Nessuna | Nessuna | Nessuna | | | | | | | |
| | 2 | 100 | 50 | LIBERO | 450 | 220 | Nessuna | Nessuna | Nessuna | Nessuna | | | | | | | |
| 5 | 1 | 100 | 50 | LIBERO | 160 | 220 | Nessuna | Nessuna | Nessuna | Nessuna | | | | | | | |
| | 2 | 100 | 40 | LIBERO | 457 | 220 | Nessuna | Nessuna | Nessuna | Nessuna | | | | | | | |
| 6 | 1 | 90 | 190 | LIBERO | 458 | 0 | Nessuna | Nessuna | Nessuna | Nessuna | | | | | | | |
| 8 | 1 | 90 | 190 | LIBERO | 35 | 0 | Nessuna | Nessuna | Nessuna | Nessuna | | | | | | | |
| 10 | 1 | 100 | 190 | LIBERO | 200 | 0 | Nessuna | Nessuna | Nessuna | Nessuna | | | | | | | |
| 13 | 1 | 90 | 190 | LIBERO | 66 | 0 | Nessuna | Nessuna | Nessuna | Nessuna | | | | | | | |
| 17 | 1 | 270 | 190 | LIBERO | 163 | 0 | Nessuna | Nessuna | Nessuna | Nessuna | | | | | | | |
| 21 | 1 | 120 | 45 | LIBERO | 140 | 220 | Nessuna | Nessuna | Nessuna | Nessuna | | | | | | | |
| 22 | 1 | 155 | 200 | LIBERO | 185 | 0 | Nessuna | Nessuna | Nessuna | Nessuna | | | | | | | |
| 28 | 1 | 100 | 190 | LIBERO | 37 | 0 | Nessuna | Nessuna | Nessuna | Nessuna | | | | | | | |
| 32 | 1 | 145 | 220 | LIBERO | 50 | 0 | Nessuna | Nessuna | Nessuna | Nessuna | | | | | | | |
| 34 | 1 | 76 | 190 | LIBERO | 76 | 0 | Nessuna | Nessuna | Nessuna | Nessuna | | | | | | | |
| 37 | 1 | 130 | 190 | LIBERO | 40 | 0 | Nessuna | Nessuna | Nessuna | Nessuna | | | | | | | |
| 38 | 1 | 130 | 190 | LIBERO | 40 | 0 | Nessuna | Nessuna | Nessuna | Nessuna | | | | | | | |
| 40 | 1 | 100 | 40 | LIBERO | 115 | 220 | Nessuna | Nessuna | Nessuna | Nessuna | | | | | | | |
| 41 | 1 | 100 | 40 | LIBERO | 67 | 220 | Nessuna | Nessuna | Nessuna | Nessuna | | | | | | | |
| 44 | 1 | 104 | 190 | LIBERO | 65 | 0 | Nessuna | Nessuna | Nessuna | Nessuna | | | | | | | |
| 54 | 1 | 45 | 190 | LIBERO | 0 | 0 | Nessuna | Nessuna | Nessuna | Nessuna | | | | | | | |
| 55 | 1 | 60 | 190 | LIBERO | 0 | 0 | Nessuna | Nessuna | Nessuna | Nessuna | | | | | | | |
| 57 | 1 | 90 | 190 | LIBERO | 131 | 0 | Nessuna | Nessuna | Nessuna | Nessuna | | | | | | | |
| 59 | 1 | 206 | 190 | LIBERO | 83 | 0 | Nessuna | Nessuna | Nessuna | Nessuna | | | | | | | |

TRAVI IN C.A. ALLA QUOTA 8.34 m

C.D.S.

| N.ro | N.ro | x il sisma | Grd | in. | fin | (m) | (m) | cm | cm | cm | cm | kg/m | kg/m | kg/m | kg/m | kg | kg/m | kg/m | % | Nr | Geo |
|------|------|---------------|-----|-----|-----|------|------|----|----|----|----|------|------|------|------|----|------|------|---|----|-----|
| 22 | 3 | Tel.SismoRes. | 0 | 22 | 35 | 8,34 | 8,34 | 0 | 0 | 0 | 0 | 0 | 1291 | 0 | 408 | 0 | 1698 | 0 | 0 | 60 | 1 |
| 36 | 3 | Tel.SismoRes. | 0 | 36 | 16 | 8,34 | 8,34 | 0 | 0 | 0 | 0 | 0 | 1291 | 0 | 397 | 0 | 1688 | 0 | 0 | 60 | 1 |
| 44 | 3 | Tel.SismoRes. | 0 | 15 | 16 | 8,34 | 8,34 | 0 | 0 | 0 | 0 | 0 | 1053 | 0 | 0 | 0 | 1053 | 0 | 0 | 60 | 1 |
| 45 | 3 | Tel.SismoRes. | 0 | 9 | 10 | 8,34 | 8,34 | 0 | 0 | 0 | 0 | 0 | 1053 | 0 | 0 | 0 | 1053 | 0 | 0 | 60 | 1 |
| 47 | 28 | Tel.SismoRes. | 0 | 41 | 8 | 8,34 | 8,34 | 0 | 0 | 0 | 0 | 0 | 0 | 0 | 0 | 0 | 0 | 0 | 0 | 0 | |
| 48 | 28 | Tel.SismoRes. | 0 | 8 | 2 | 8,34 | 8,34 | 0 | 0 | 0 | 0 | 0 | 0 | 0 | 0 | 0 | 0 | 0 | 0 | 1 | |
| 49 | 26 | Tel.SismoRes. | 0 | 8 | 34 | 8,34 | 8,34 | 0 | 0 | 0 | 0 | 0 | 2851 | 0 | 0 | 0 | 2851 | 0 | 0 | 43 | 1 |

SETTI ALLA QUOTA 8,34 m

| Sett N.ro | Sez N.r. | GEOMETRIA | | | QUOTE | | | SCOSTAMENTI | | | | CARICHI | | | | VERTICALI | | | PRESSIONI | | RINFORZI MUR | | | | | | |
|-----------|----------|-----------|---------|---------|-----------|-----------|--------|-------------|--------|--------|--------|---------|------|-------------|------|-----------|------|---------|--------------|-------|--------------|-------------|-------------|---------|--------|---------|--|
| | | Sp cm | Fil in. | Fil fin | Q in. (m) | Q.fin (m) | Dxi cm | Dyi cm | Dzi cm | Dxf cm | Dyf cm | Dzf cm | Pann | Tamp kg / m | Ball | Espi | Tot. | Torc kg | Orizz kg / m | Assia | Ali % | Psup. kg/mq | Pinf. kg/mq | Mat Nro | Ini cm | Fin. cm | |
| 1 | 605 | 28 | 1 | 2 | 8,34 | 8,34 | 0 | 0 | 0 | 0 | 0 | 0 | 2834 | 0 | 0 | 0 | 2834 | 0 | 0 | 0 | 30 | 0 | 0 | | | | |
| 2 | 605 | 28 | 2 | 3 | 8,34 | 8,34 | 0 | 0 | 0 | 0 | 0 | 0 | 1846 | 0 | 0 | 0 | 1846 | 0 | 0 | 0 | 30 | 0 | 0 | | | | |
| 3 | 605 | 28 | 3 | 4 | 8,34 | 8,34 | 0 | 0 | 0 | 0 | 0 | 0 | 0 | 0 | 0 | 0 | 0 | 0 | 0 | 0 | 0 | 0 | | | | | |
| 4 | 605 | 28 | 4 | 5 | 8,34 | 8,34 | 0 | 0 | 0 | 0 | 0 | 0 | 0 | 1846 | 0 | 0 | 0 | 1846 | 0 | 0 | 0 | 30 | 0 | 0 | | | |
| 5 | 605 | 28 | 5 | 6 | 8,34 | 8,34 | 0 | 0 | 0 | 0 | 0 | 0 | 0 | 1846 | 0 | 0 | 0 | 1846 | 0 | 0 | 0 | 30 | 0 | 0 | | | |
| 6 | 605 | 28 | 19 | 13 | 8,34 | 8,34 | 0 | 0 | 0 | 0 | 0 | 0 | 0 | 0 | 0 | 0 | 0 | 0 | 0 | 0 | 0 | 0 | 0 | 0 | 0 | | |
| 7 | 605 | 28 | 7 | 1 | 8,34 | 8,34 | 0 | 0 | 0 | 0 | 0 | 0 | 0 | 0 | 0 | 0 | 0 | 0 | 0 | 0 | 0 | 0 | 0 | 0 | 0 | | |
| 8 | 605 | 28 | 13 | 7 | 8,34 | 8,34 | 0 | 0 | 0 | 0 | 0 | 0 | 0 | 0 | 0 | 0 | 0 | 0 | 0 | 0 | 0 | 0 | 0 | 0 | 0 | | |
| 9 | 605 | 28 | 20 | 30 | 8,34 | 8,34 | -14 | 0 | 0 | 0 | -14 | 0 | 0 | 0 | 0 | 0 | 0 | 0 | 0 | 0 | 0 | 0 | 0 | 0 | 0 | | |
| 10 | 605 | 28 | 20 | 21 | 8,34 | 8,34 | 0 | 0 | 0 | 0 | 0 | 0 | 0 | 1977 | 0 | 0 | 0 | 1977 | 0 | 0 | 0 | 30 | 0 | 0 | | | |
| 11 | 605 | 28 | 21 | 22 | 8,34 | 8,34 | 0 | 0 | 0 | 0 | 0 | 0 | 0 | 0 | 0 | 0 | 0 | 0 | 0 | 0 | 0 | 0 | 0 | 0 | 0 | | |
| 12 | 605 | 28 | 22 | 29 | 8,34 | 8,34 | 0 | 0 | 0 | 0 | 0 | 0 | 0 | 0 | 795 | 0 | 0 | 0 | 795 | 0 | 0 | 0 | 60 | 0 | 0 | | |
| 13 | 605 | 28 | 19 | 30 | 8,34 | 8,34 | 0 | 0 | 0 | 0 | 0 | 0 | 0 | 1855 | 0 | 0 | 0 | 1855 | 0 | 0 | 0 | 30 | 0 | 0 | | | |
| 14 | 605 | 28 | 29 | 27 | 8,34 | 8,34 | 0 | 0 | 0 | 0 | 0 | 0 | 0 | 0 | 0 | 0 | 0 | 0 | 0 | 0 | 0 | 0 | 0 | 0 | 0 | | |
| 15 | 605 | 28 | 23 | 28 | 8,34 | 8,34 | 0 | 0 | 0 | 0 | 0 | 0 | 0 | 1855 | 0 | 0 | 0 | 1855 | 0 | 0 | 0 | 30 | 0 | 0 | | | |
| 16 | 605 | 28 | 27 | 23 | 8,34 | 8,34 | 0 | 0 | 0 | 0 | 0 | 0 | 0 | 1855 | 0 | 0 | 0 | 1855 | 0 | 0 | 0 | 30 | 0 | 0 | | | |
| 17 | 605 | 28 | 28 | 24 | 8,34 | 8,34 | 0 | 0 | 0 | 0 | 0 | 0 | 0 | 1855 | 0 | 0 | 0 | 1855 | 0 | 0 | 0 | 30 | 0 | 0 | | | |
| 18 | 605 | 28 | 12 | 6 | 8,34 | 8,34 | 0 | 0 | 0 | 0 | 0 | 0 | 0 | 0 | 0 | 0 | 0 | 0 | 0 | 0 | 0 | 0 | 0 | 0 | 0 | | |
| 19 | 605 | 28 | 18 | 12 | 8,34 | 8,34 | 0 | 0 | 0 | 0 | 0 | 0 | 0 | 0 | 0 | 0 | 0 | 0 | 0 | 0 | 0 | 0 | 0 | 0 | 0 | | |
| 20 | 605 | 28 | 24 | 18 | 8,34 | 8,34 | 0 | 0 | 0 | 0 | 0 | 0 | 0 | 0 | 0 | 0 | 0 | 0 | 0 | 0 | 0 | 0 | 0 | 0 | 0 | | |
| 21 | 605 | 28 | 21 | 15 | 8,34 | 8,34 | 0 | 0 | 0 | 0 | 0 | 0 | 0 | 1294 | 0 | 0 | 0 | 1294 | 0 | 0 | 0 | 60 | 0 | 0 | | | |
| 23 | 605 | 28 | 9 | 3 | 8,34 | 8,34 | 0 | 0 | 0 | 0 | 0 | 0 | 0 | 1294 | 0 | 0 | 0 | 1294 | 0 | 0 | 0 | 60 | 0 | 0 | | | |
| 24 | 605 | 28 | 10 | 4 | 8,34 | 8,34 | 0 | 0 | 0 | 0 | 0 | 0 | 0 | 1294 | 0 | 0 | 0 | 1294 | 0 | 0 | 0 | 60 | 0 | 0 | | | |
| 25 | 605 | 28 | 16 | 26 | 8,34 | 8,34 | 0 | 0 | 0 | 0 | 0 | 0 | 0 | 1056 | 0 | 1090 | 0 | 2146 | 0 | 0 | 0 | 60 | 0 | 0 | | | |
| 26 | 605 | 28 | 17 | 31 | 8,34 | 8,34 | 0 | 0 | 0 | 0 | 0 | 0 | 0 | 2834 | 0 | 0 | 0 | 2834 | 0 | 0 | 0 | 43 | 0 | 0 | | | |
| 27 | 605 | 28 | 26 | 17 | 8,34 | 8,34 | 0 | 0 | 0 | 0 | 0 | 0 | 0 | 2834 | 0 | 0 | 0 | 2834 | 0 | 0 | 0 | 43 | 0 | 0 | | | |
| 28 | 605 | 28 | 31 | 18 | 8,34 | 8,34 | 0 | 0 | 0 | 0 | 0 | 0 | 0 | 2834 | 0 | 0 | 0 | 2834 | 0 | 0 | 0 | 43 | 0 | 0 | | | |
| 29 | 605 | 28 | 11 | 5 | 8,34 | 8,34 | 0 | 0 | 0 | 0 | 0 | 0 | 0 | 0 | 0 | 0 | 0 | 0 | 0 | 0 | 0 | 0 | 0 | 0 | 0 | | |
| 30 | 605 | 28 | 13 | 25 | 8,34 | 8,34 | 0 | 0 | 0 | 0 | 0 | 0 | 0 | 4534 | 0 | 0 | 0 | 4534 | 0 | 0 | 0 | 30 | 0 | 0 | | | |
| 31 | 605 | 28 | 14 | 15 | 8,34 | 8,34 | 0 | 0 | 0 | 0 | 0 | 0 | 0 | 2956 | 0 | 0 | 0 | 2956 | 0 | 0 | 0 | 42 | 0 | 0 | | | |
| 32 | 605 | 28 | 25 | 33 | 8,34 | 8,34 | 0 | 0 | 0 | 0 | 0 | 0 | 0 | 4534 | 0 | 0 | 0 | 4534 | 0 | 0 | 0 | 30 | 0 | 0 | | | |
| 33 | 605 | 28 | 33 | 41 | 8,34 | 8,34 | 0 | 0 | 0 | 0 | 0 | 0 | 0 | 4535 | 0 | 0 | 0 | 4535 | 0 | 0 | 0 | 30 | 0 | 0 | | | |
| 34 | 605 | 28 | 34 | 42 | 8,34 | 8,34 | 0 | 0 | 0 | 0 | 0 | 0 | 0 | 2825 | 0 | 0 | 0 | 2825 | 0 | 0 | 0 | 43 | 0 | 0 | | | |
| 35 | 609 | 42 | 35 | 36 | 8,34 | 8,34 | 0 | 0 | 0 | 0 | 0 | 0 | 0 | 1271 | 0 | 1073 | 0 | 2344 | 0 | 0 | 0 | 60 | 0 | 0 | | | |
| 37 | 605 | 28 | 27 | 26 | 8,34 | 8,34 | 0 | 0 | 0 | 0 | 0 | 0 | 0 | 765 | 0 | 765 | 0 | 0 | 0 | 0 | 0 | 0 | 0 | 0 | 0 | | |
| 38 | 605 | 28 | 37 | 38 | 8,34 | 8,34 | 0 | 0 | 0 | 0 | 0 | 0 | 0 | 2825 | 0 | 0 | 0 | 2825 | 0 | 0 | 0 | 43 | 0 | 0 | | | |
| 39 | 605 | 28 | 39 | 40 | 8,34 | 8,34 | 0 | 0 | 0 | 0 | 0 | 0 | 0 | 2825 | 0 | 0 | 0 | 2825 | 0 | 0 | 0 | 43 | 0 | 0 | | | |
| 40 | 605 | 28 | 10 | 44 | 8,34 | 8,34 | 0 | 0 | 0 | 0 | 0 | 0 | 0 | 2825 | 0 | 0 | 0 | 2825 | 0 | 0 | 0 | 43 | 0 | 0 | | | |
| 41 | 606 | 14 | 18 | 38 | 8,34 | 8,34 | 0 | 0 | 0 | 0 | 0 | 0 | 0 | 2870 | 0 | 0 | 0 | 2870 | 0 | 0 | 0 | 43 | 0 | 0 | | | |
| 42 | 606 | 14 | 11 | 39 | 8,34 | 8,34 | 0 | 0 | 0 | 0 | 0 | 0 | 0 | 2870 | 0 | 0 | 0 | 2870 | 0 | 0 | 0 | 43 | 0 | 0 | | | |
| 43 | 606 | 14 | 40 | 12 | 8,34 | 8,34 | 0 | 0 | 0 | 0 | 0 | 0 | 0 | 2870 | 0 | 0 | 0 | 2870 | 0 | 0 | 0 | 43 | 0 | 0 | | | |
| 46 | 605 | 28 | 41 | 14 | 8,34 | 8,34 | 0 | 0 | 0 | 0 | 0 | 0 | 0 | 2834 | 0 | 0 | 0 | 2834 | 0 | 0 | 0 | 43 | 0 | 0 | | | |
| 50 | 605 | 28 | 42 | 43 | 8,34 | 8,34 | 0 | 0 | 0 | 0 | 0 | 0 | 0 | 2825 | 0 | 0 | 0 | 2825 | 0 | 0 | 0 | 43 | 0 | 0 | | | |
| 51 | 605 | 28 | 43 | 9 | 8,34 | 8,34 | 0 | 0 | 0 | 0 | 0 | 0 | 0 | 2825 | 0 | 0 | 0 | 2825 | 0 | 0 | 0 | 43 | 0 | 0 | | | |
| 52 | 606 | 14 | 44 | 37 | 8,34 | 8,34 | 0 | 0 | 0 | 0 | 0 | 0 | 0 | 2870 | 0 | 0 | 0 | 2870 | 0 | 0 | 0 | 43 | 0 | 0 | | | |

FORI SETTI ALLA QUOTA 8,34 m

| Setto N.ro | Foro N.ro | Base f cm | Alt. f cm | Codice Posiz.Foro | Asc. f cm | Ord. f cm | Sezione Catena | Sezione Cerchiat. | Sezione Architrav | Sezione Piedritti | Mat. SubF | Crit Prog | FiLon mm | NFer Sup. | NFer Inf. | FiSt mm | PSta cm |
| --- | --- | --- | --- | --- | --- | --- | --- | --- | --- | --- | --- | --- | --- | --- | --- | --- | --- |

<tbl_r cells="17" ix="

C.D.S.

| FORI SETTI ALLA QUOTA 8.34 m | | | | | | | | | | | | | | | | | |
|------------------------------|--------------|--------------|--------------|----------------------|--------------|--------------|-------------------|-----------------------|----------------------|----------------------|--------------|--------------|-------------|--------------|--------------|------------|------------|
| Setto N.ro | Foro N.ro | Base f cm | Alt. f cm | Codice Posiz.Foro | Asc. f cm | Ord. f cm | Sezione Catena | Sezione Cerchiati. | Sezione Architrav | Sezione Piedritti | Mat. SubF | Crit Prog | FiLon mm | NFer Sup. | NFer Inf. | FiSt mm | PSta cm |
| 17 | 1 | 130 | 275 | LIBERO | 85 | 115 | Nessuna | Nessuna | Nessuna | Nessuna | | | | | | | |
| 18 | 1 | 130 | 275 | LIBERO | 100 | 115 | Nessuna | Nessuna | Nessuna | Nessuna | | | | | | | |
| | 2 | 70 | 45 | LIBERO | 0 | 180 | Nessuna | Nessuna | Nessuna | Nessuna | | | | | | | |
| 19 | 1 | 130 | 275 | LIBERO | 49 | 115 | Nessuna | Nessuna | Nessuna | Nessuna | | | | | | | |
| 20 | 1 | 130 | 275 | LIBERO | 190 | 115 | Nessuna | Nessuna | Nessuna | Nessuna | | | | | | | |
| | 2 | 70 | 45 | LIBERO | 349 | 180 | Nessuna | Nessuna | Nessuna | Nessuna | | | | | | | |
| 26 | 1 | 90 | 230 | LIBERO | 155 | 0 | Nessuna | Nessuna | Nessuna | Nessuna | | | | | | | |
| 31 | 1 | 80 | 230 | LIBERO | 66 | 0 | Nessuna | Nessuna | Nessuna | Nessuna | | | | | | | |
| 41 | 1 | 90 | 230 | LIBERO | 48 | 0 | Nessuna | Nessuna | Nessuna | Nessuna | | | | | | | |
| 42 | 1 | 90 | 230 | LIBERO | 140 | 0 | Nessuna | Nessuna | Nessuna | Nessuna | | | | | | | |
| 50 | 1 | 106 | 230 | LIBERO | 220 | 0 | Nessuna | Nessuna | Nessuna | Nessuna | | | | | | | |
| 52 | 1 | 90 | 230 | LIBERO | 90 | 0 | Nessuna | Nessuna | Nessuna | Nessuna | | | | | | | |

| | | TRAVI IN C.A. ALLA QUOTA 12.37 m | | | | | | | | | | | | | | | | | | | | | | |
|-----------|-----------|----------------------------------|------------|------------|-------------|---------------|---------------|-----------|-----------|-------------|-----------|-----------|-----------|---------------|---------------|---------------|---------------|--------------|-------------|----------------|----------------|-------|-------|---------|
| | | DATI GENERALI | | | | QUOTE | | | | SCOSTAMENTI | | | | | CARICHI | | | | | | | | | |
| Trav N.ro | Sez. N.ro | Tipo Elem. x il sisma | Ang Grd | Fil in. | Fil fin. | Q. in. (m) | Q. fin (m) | Dxi cm | Dyi cm | Dzi cm | Dxf cm | Dyf cm | Dzf cm | Pann. kg/m | Tamp. kg/m | Ball. kg/m | Espl. kg/m | Tot. kg/m | Torc. kg | Orizz. kg/m | Assial kg/m | Ali % | Cr Nr | Cit Geo |
| 43 | 3 | Tel.SismoRes. | 0 | 40 | 12 | 12,37 | 12,37 | 0 | 0 | 0 | 0 | 0 | 0 | 2468 | 0 | 0 | 0 | 2468 | 0 | 0 | 0 | 43 | 1 | |
| 52 | 3 | Tel.SismoRes. | 0 | 31 | 18 | 12,37 | 12,37 | 0 | 0 | 0 | 0 | 0 | 0 | 2476 | 0 | 0 | 0 | 2476 | 0 | 0 | 0 | 43 | 1 | |

FORI SETTI ALLA QUOTA 12.37 m

C.D.S.

| N.ro | N.ro | cm | cm | Posiz.Foro | cm | cm | Catena | Cerchiat. | Architrav | Piedritti | SubF | Prog | mm | Sup. | Inf. | mm | cm |
|------|------|-----|-----|------------|-----|----|---------|-----------|-----------|-----------|------|------|----|------|------|----|----|
| 1 | 1 | 130 | 205 | LIBERO | 166 | 90 | Nessuna | Nessuna | Nessuna | Nessuna | | | | | | | |
| | 2 | 130 | 205 | LIBERO | 456 | 90 | Nessuna | Nessuna | Nessuna | Nessuna | | | | | | | |
| 2 | 1 | 130 | 205 | LIBERO | 21 | 90 | Nessuna | Nessuna | Nessuna | Nessuna | | | | | | | |
| | 2 | 130 | 205 | LIBERO | 370 | 90 | Nessuna | Nessuna | Nessuna | Nessuna | | | | | | | |
| 3 | 1 | 130 | 205 | LIBERO | 75 | 90 | Nessuna | Nessuna | Nessuna | Nessuna | | | | | | | |
| 4 | 1 | 130 | 205 | LIBERO | 80 | 90 | Nessuna | Nessuna | Nessuna | Nessuna | | | | | | | |
| | 2 | 130 | 205 | LIBERO | 433 | 90 | Nessuna | Nessuna | Nessuna | Nessuna | | | | | | | |
| 5 | 1 | 130 | 205 | LIBERO | 143 | 90 | Nessuna | Nessuna | Nessuna | Nessuna | | | | | | | |
| | 2 | 130 | 205 | LIBERO | 442 | 90 | Nessuna | Nessuna | Nessuna | Nessuna | | | | | | | |
| 6 | 1 | 130 | 205 | LIBERO | 186 | 90 | Nessuna | Nessuna | Nessuna | Nessuna | | | | | | | |
| 7 | 1 | 130 | 205 | LIBERO | 100 | 90 | Nessuna | Nessuna | Nessuna | Nessuna | | | | | | | |
| 8 | 1 | 130 | 205 | LIBERO | 48 | 90 | Nessuna | Nessuna | Nessuna | Nessuna | | | | | | | |
| 10 | 1 | 130 | 205 | LIBERO | 203 | 90 | Nessuna | Nessuna | Nessuna | Nessuna | | | | | | | |
| 11 | 1 | 130 | 205 | LIBERO | 60 | 90 | Nessuna | Nessuna | Nessuna | Nessuna | | | | | | | |
| 12 | 1 | 130 | 205 | LIBERO | 128 | 90 | Nessuna | Nessuna | Nessuna | Nessuna | | | | | | | |
| 13 | 1 | 130 | 205 | LIBERO | 204 | 90 | Nessuna | Nessuna | Nessuna | Nessuna | | | | | | | |
| | 2 | 130 | 205 | LIBERO | 473 | 90 | Nessuna | Nessuna | Nessuna | Nessuna | | | | | | | |
| 15 | 1 | 130 | 205 | LIBERO | 116 | 90 | Nessuna | Nessuna | Nessuna | Nessuna | | | | | | | |
| 17 | 1 | 130 | 205 | LIBERO | 85 | 90 | Nessuna | Nessuna | Nessuna | Nessuna | | | | | | | |
| 18 | 1 | 130 | 205 | LIBERO | 100 | 90 | Nessuna | Nessuna | Nessuna | Nessuna | | | | | | | |
| 19 | 1 | 130 | 205 | LIBERO | 49 | 90 | Nessuna | Nessuna | Nessuna | Nessuna | | | | | | | |
| 20 | 1 | 130 | 205 | LIBERO | 190 | 90 | Nessuna | Nessuna | Nessuna | Nessuna | | | | | | | |
| 25 | 1 | 200 | 300 | LIBERO | 124 | 0 | Nessuna | Nessuna | Nessuna | Nessuna | | | | | | | |
| 26 | 1 | 100 | 230 | LIBERO | 100 | 0 | Nessuna | Nessuna | Nessuna | Nessuna | | | | | | | |
| 28 | 1 | 100 | 230 | LIBERO | 96 | 0 | Nessuna | Nessuna | Nessuna | Nessuna | | | | | | | |
| 30 | 1 | 80 | 200 | LIBERO | 105 | 0 | Nessuna | Nessuna | Nessuna | Nessuna | | | | | | | |
| 31 | 1 | 100 | 230 | LIBERO | 250 | 0 | Nessuna | Nessuna | Nessuna | Nessuna | | | | | | | |
| 32 | 1 | 100 | 230 | LIBERO | 208 | 0 | Nessuna | Nessuna | Nessuna | Nessuna | | | | | | | |
| 42 | 1 | 100 | 230 | LIBERO | 117 | 0 | Nessuna | Nessuna | Nessuna | Nessuna | | | | | | | |
| 44 | 1 | 100 | 230 | LIBERO | 100 | 0 | Nessuna | Nessuna | Nessuna | Nessuna | | | | | | | |
| 45 | 1 | 100 | 230 | LIBERO | 124 | 0 | Nessuna | Nessuna | Nessuna | Nessuna | | | | | | | |
| 47 | 1 | 150 | 300 | LIBERO | 40 | 0 | Nessuna | Nessuna | Nessuna | Nessuna | | | | | | | |
| 49 | 1 | 100 | 230 | LIBERO | 35 | 0 | Nessuna | Nessuna | Nessuna | Nessuna | | | | | | | |
| 51 | 1 | 135 | 250 | LIBERO | 165 | 0 | Nessuna | Nessuna | Nessuna | Nessuna | | | | | | | |

TRAVI IN C.A. ALLA QUOTA 15.84 m

| Trav. N.ro | Sez. N.ro | DATI GENERALI | | QUOTE | | SCOSTAMENTI | | | | | | CARICHI | | | | | | | | | | | | |
|---------------|--------------|--------------------------|------------|------------|------------|--------------|---------------|-----------|-----------|-----------|-----------|-----------|-----------|---------------|---------------|---------------|---------------|--------------|-------------|----------------|-----------------|----------|----------|------------|
| | | Tipo Elem. x il sisma | Ang Grd | Fil in. | Fil fin | Q.in. (m) | Q.fin. (m) | Dxi cm | Dyi cm | Dzi cm | Dfx cm | Dfy cm | Dzf cm | Pann. kg/m | Tamp. kg/m | Ball. kg/m | Espl. kg/m | Tot. kg/m | Torc. kg | Orizz. kg/m | Assial. kg/m | Ali % | Cr Nr | Cit Geo |
| 43 | 26 | Tel.SismoRes. | 0 | 40 | 12 | 15,84 | 15,84 | 0 | 0 | 0 | 0 | 0 | 0 | 1985 | 0 | 0 | 0 | 1985 | 0 | 0 | 0 | 0 | 0 | 1 |
| 52 | 26 | Tel.SismoRes. | 0 | 31 | 18 | 15,84 | 15,84 | 0 | 0 | 0 | 0 | 0 | 0 | 1991 | 0 | 0 | 0 | 1991 | 0 | 0 | 0 | 0 | 0 | 0 |

SETTI ALLA QUOTA 15.84 m

| Sett. N.ro | Sez. N.r | GEOMETRIA | | QUOTE | | SCOSTAMENTI | | | | | | CARICHI VERTICALI | | | | | | PRESSIONI | | RINFORZI MUR | | | | | | |
|---------------|-------------|-----------|-------------|-------------|--------------|---------------|-----------|-----------|-----------|-----------|-----------|-------------------|-----------------|-----------------|-----------------|------------------|----------------|-------------|------------------|------------------|----------|------------------|------------------|-------------|------------|------------|
| | | Sp. cm | Fil. in. | Fil. fin | Q.in. (m) | Q.fin. (m) | Dxi cm | Dyi cm | Dzi cm | Dfx cm | Dfy cm | Dzf cm | Pann. kg / m | Tamp. kg / m | Ball. kg / m | Espl. kg / mq | Tot. kg / m | Torc. kg | Orizz. kg / m | Assia. kg / m | Ali % | Psup. kg / mq | Pinf. kg / mq | Mat. Nro | Ini. cm | Fin. cm |
| 1 | 607 | 28 | 1 | 2 | 15,84 | 15,84 | 0 | 0 | 0 | 0 | 0 | 0 | 2055 | 0 | 0 | 0 | 2055 | 0 | 0 | 0 | 0 | 0 | 0 | 0 | 0 | 0 |
| 2 | 607 | 28 | 2 | 3 | 15,84 | 15,84 | 0 | 0 | 0 | 0 | 0 | 0 | 1351 | 0 | 0 | 0 | 1351 | 0 | 0 | 0 | 0 | 0 | 0 | 0 | 0 | 0 |
| 3 | 607 | 28 | 3 | 4 | 15,84 | 15,84 | 0 | 0 | 0 | 0 | 0 | 0 | 1353 | 0 | 0 | 0 | 1353 | 0 | 0 | 0 | 0 | 0 | 0 | 0 | 0 | 0 |
| 4 | 607 | 28 | 4 | 5 | 15,84 | 15,84 | 0 | 0 | 0 | 0 | 0 | 0 | 1351 | 0 | 0 | 0 | 1351 | 0 | 0 | 0 | 0 | 0 | 0 | 0 | 0 | 0 |
| 5 | 607 | 28 | 5 | 6 | 15,84 | 15,84 | 0 | 0 | 0 | 0 | 0 | 0 | 1345 | 0 | 0 | 0 | 1345 | 0 | 0 | 0 | 0 | 0 | 0 | 0 | 0 | 0 |
| 6 | 607 | 28 | 19 | 13 | 15,84 | 15,84 | 0 | 0 | 0 | 0 | 0 | 0 | 0 | 0 | 0 | 0 | 0 | 0 | 0 | 0 | 0 | 0 | 0 | 0 | 0 | 0 |
| 7 | 607 | 28 | 7 | 1 | 15,84 | 15,84 | 0 | 0 | 0 | 0 | 0 | 0 | 0 | 0 | 0 | 0 | 0 | 0 | 0 | 0 | 0 | 0 | 0 | 0 | 0 | 0 |
| 8 | 607 | 28 | 13 | 7 | 15,84 | 15,84 | 0 | 0 | 0 | 0 | 0 | 0 | 0 | 0 | 0 | 0 | 0 | 0 | 0 | 0 | 0 | 0 | 0 | 0 | 0 | 0 |
| 9 | 607 | 28 | 20 | 30 | 15,84 | 15,84 | -14 | 0 | 0 | -14 | 0 | 0 | 0 | 0 | 0 | 0 | 0 | 0 | 0 | 0 | 0 | 0 | 0 | 0 | 0 | 0 |
| 10 | 607 | 28 | 20 | 21 | 15,84 | 15,84 | 0 | 0 | 0 | 0 | 0 | 0 | 1435 | 0 | 0 | 0 | 1435 | 0 | 0 | 0 | 0 | 0 | 0 | 0 | 0 | 0 |
| 11 | 607 | 28 | 21 | 22 | 15,84 | 15,84 | 0 | 0 | 0 | 0 | 0 | 0 | 1447 | 0 | 0 | 0 | 1447 | 0 | 0 | 0 | 0 | 0 | 0 | 0 | 0 | 0 |
| 12 | 607 | 28 | 22 | 29 | 15,84 | 15,84 | 0 | 0 | 0 | 0 | 0 | 0 | 0 | 1435 | 0 | 0 | 0 | 1435 | 0 | 0 | 0 | 0 | 0 | 0 | 0 | 0 |
| 13 | 607 | 28 | 19 | 30 | 15,84 | 15,84 | 0 | 0 | 0 | 0 | 0 | 0 | 0 | 1346 | 0 | 0 | 0 | 1346 | 0 | 0 | 0 | 0 | 0 | 0 | 0 | 0 |

C.D.S.

| | | SETTI ALLA QUOTA 15.84 m | | | | | | | | | | | | | | | | | | | | | | | | |
|---------------|--------------|--------------------------|-------------|-------------|--------------|---------------|-------------|-----------|-----------|-----------|-----------|-----------|------|----------------|-----------|------|------|------------|-------------|-----------------|---------------|----------------|----------------|-------------|-----------|------------|
| Sett. N.ro | Sez. N.r. | GEOMETRIA | | | QUOTE | | SCOSTAMENTI | | | | CARICHI | | | | VERTICALI | | | | PRESSIONI | | RINFORZI MUR. | | | | | |
| | | Sp. cm | Fil. in. | Fil. fin | Q.in. (m) | Q.fin. (m) | Dxi cm | Dyi cm | Dzi cm | Dxf cm | Dyf cm | Dzf cm | Pann | Tamp kg / m | Ball | Espi | Tot. | Torc kg | Orizz kg | Assia kg / m | Ali % | Psup. kg/mq | Pinf. kg/mq | Mat. Nro | Ini cm | Fin. cm |
| 14 | 607 | 28 | 29 | 27 | 15,84 | 15,84 | 0 | 0 | 0 | 0 | 0 | 0 | 0 | 0 | 0 | 0 | 0 | 0 | 0 | 0 | 0 | 0 | 0 | 0 | 0 | |
| 15 | 607 | 28 | 23 | 28 | 15,84 | 15,84 | 0 | 0 | 0 | 0 | 0 | 0 | 0 | 1346 | 0 | 0 | 0 | 1346 | 0 | 0 | 0 | 0 | 0 | 0 | 0 | 0 |
| 16 | 607 | 28 | 27 | 23 | 15,84 | 15,84 | 0 | 0 | 0 | 0 | 0 | 0 | 0 | 1346 | 0 | 0 | 0 | 1346 | 0 | 0 | 0 | 0 | 0 | 0 | 0 | 0 |
| 17 | 607 | 28 | 28 | 24 | 15,84 | 15,84 | 0 | 0 | 0 | 0 | 0 | 0 | 0 | 1346 | 0 | 0 | 0 | 1346 | 0 | 0 | 0 | 0 | 0 | 0 | 0 | 0 |
| 18 | 607 | 28 | 12 | 6 | 15,84 | 15,84 | 0 | 0 | 0 | 0 | 0 | 0 | 0 | 0 | 0 | 0 | 0 | 0 | 0 | 0 | 0 | 0 | 0 | 0 | 0 | |
| 19 | 607 | 28 | 18 | 12 | 15,84 | 15,84 | 0 | 0 | 0 | 0 | 0 | 0 | 0 | 0 | 0 | 0 | 0 | 0 | 0 | 0 | 0 | 0 | 0 | 0 | 0 | |
| 20 | 607 | 28 | 24 | 18 | 15,84 | 15,84 | 0 | 0 | 0 | 0 | 0 | 0 | 0 | 0 | 0 | 0 | 0 | 0 | 0 | 0 | 0 | 0 | 0 | 0 | 0 | |
| 21 | 607 | 28 | 21 | 15 | 15,84 | 15,84 | 0 | 0 | 0 | 0 | 0 | 0 | 0 | 0 | 0 | 0 | 0 | 0 | 0 | 0 | 0 | 0 | 0 | 0 | 0 | |
| 22 | 607 | 28 | 22 | 35 | 15,84 | 15,84 | 0 | 0 | 0 | 0 | 0 | 0 | 0 | 0 | 0 | 0 | 0 | 0 | 0 | 0 | 0 | 0 | 0 | 0 | 0 | |
| 23 | 608 | 14 | 9 | 3 | 15,84 | 15,84 | 0 | 0 | 0 | 0 | 0 | 0 | 0 | 0 | 0 | 0 | 0 | 0 | 0 | 0 | 0 | 0 | 0 | 0 | 0 | |
| 24 | 608 | 14 | 10 | 4 | 15,84 | 15,84 | 0 | 0 | 0 | 0 | 0 | 0 | 0 | 0 | 0 | 0 | 0 | 0 | 0 | 0 | 0 | 0 | 0 | 0 | 0 | |
| 25 | 607 | 28 | 16 | 26 | 15,84 | 15,84 | 0 | 0 | 0 | 0 | 0 | 0 | 0 | 2051 | 0 | 0 | 0 | 2051 | 0 | 0 | 0 | 0 | 0 | 0 | 0 | 0 |
| 26 | 607 | 28 | 17 | 31 | 15,84 | 15,84 | 0 | 0 | 0 | 0 | 0 | 0 | 0 | 1961 | 0 | 0 | 0 | 1961 | 0 | 0 | 0 | 0 | 0 | 0 | 0 | 0 |
| 27 | 607 | 28 | 26 | 17 | 15,84 | 15,84 | 0 | 0 | 0 | 0 | 0 | 0 | 0 | 1961 | 0 | 0 | 0 | 1961 | 0 | 0 | 0 | 0 | 0 | 0 | 0 | 0 |
| 28 | 608 | 14 | 42 | 43 | 15,84 | 15,84 | 0 | 4 | 0 | 0 | 4 | 0 | 0 | 1998 | 0 | 0 | 0 | 1998 | 0 | 0 | 0 | 0 | 0 | 0 | 0 | 0 |
| 29 | 607 | 28 | 11 | 5 | 15,84 | 15,84 | 0 | 0 | 0 | 0 | 0 | 0 | 0 | 0 | 0 | 0 | 0 | 0 | 0 | 0 | 0 | 0 | 0 | 0 | 0 | |
| 30 | 607 | 28 | 13 | 25 | 15,84 | 15,84 | 0 | 0 | 0 | 0 | 0 | 0 | 0 | 3287 | 0 | 0 | 0 | 3287 | 0 | 0 | 0 | 0 | 0 | 0 | 0 | 0 |
| 31 | 607 | 28 | 14 | 15 | 15,84 | 15,84 | 0 | 0 | 0 | 0 | 0 | 0 | 0 | 2051 | 0 | 0 | 0 | 2051 | 0 | 0 | 0 | 0 | 0 | 0 | 0 | 0 |
| 32 | 607 | 28 | 25 | 33 | 15,84 | 15,84 | 0 | 0 | 0 | 0 | 0 | 0 | 0 | 3287 | 0 | 0 | 0 | 3287 | 0 | 0 | 0 | 0 | 0 | 0 | 0 | 0 |
| 33 | 607 | 28 | 33 | 41 | 15,84 | 15,84 | 0 | 0 | 0 | 0 | 0 | 0 | 0 | 3287 | 0 | 0 | 0 | 3287 | 0 | 0 | 0 | 0 | 0 | 0 | 0 | 0 |
| 34 | 607 | 28 | 34 | 42 | 15,84 | 15,84 | 0 | 0 | 0 | 0 | 0 | 0 | 0 | 1967 | 0 | 0 | 0 | 1967 | 0 | 0 | 0 | 0 | 0 | 0 | 0 | 0 |
| 35 | 607 | 28 | 35 | 36 | 15,84 | 15,84 | 0 | 0 | 0 | 0 | 0 | 0 | 0 | 0 | 0 | 0 | 0 | 0 | 0 | 0 | 0 | 0 | 0 | 0 | 0 | |
| 36 | 607 | 28 | 36 | 16 | 15,84 | 15,84 | 0 | 0 | 0 | 0 | 0 | 0 | 0 | 0 | 0 | 0 | 0 | 0 | 0 | 0 | 0 | 0 | 0 | 0 | 0 | |
| 37 | 607 | 28 | 27 | 26 | 15,84 | 15,84 | 0 | 0 | 0 | 0 | 0 | 0 | 0 | 0 | 0 | 0 | 0 | 0 | 0 | 0 | 0 | 0 | 0 | 0 | 0 | |
| 38 | 607 | 28 | 37 | 38 | 15,84 | 15,84 | 0 | 0 | 0 | 0 | 0 | 0 | 0 | 1967 | 0 | 0 | 0 | 1967 | 0 | 0 | 0 | 0 | 0 | 0 | 0 | 0 |
| 39 | 607 | 28 | 39 | 40 | 15,84 | 15,84 | 0 | 0 | 0 | 0 | 0 | 0 | 0 | 1967 | 0 | 0 | 0 | 1967 | 0 | 0 | 0 | 0 | 0 | 0 | 0 | 0 |
| 40 | 607 | 28 | 10 | 44 | 15,84 | 15,84 | 0 | 0 | 0 | 0 | 0 | 0 | 0 | 1967 | 0 | 0 | 0 | 1967 | 0 | 0 | 0 | 0 | 0 | 0 | 0 | 0 |
| 41 | 608 | 14 | 38 | 11 | 15,84 | 15,84 | 0 | 4 | 0 | 0 | 4 | 0 | 0 | 1998 | 0 | 0 | 0 | 1998 | 0 | 0 | 0 | 0 | 0 | 0 | 0 | 0 |
| 42 | 608 | 14 | 11 | 39 | 15,84 | 15,84 | 0 | 4 | 0 | 0 | 4 | 0 | 0 | 1998 | 0 | 0 | 0 | 1998 | 0 | 0 | 0 | 0 | 0 | 0 | 0 | 0 |
| 44 | 608 | 14 | 15 | 16 | 15,84 | 15,84 | 0 | -4 | 0 | 0 | -4 | 0 | 0 | 2080 | 0 | 0 | 0 | 2080 | 0 | 0 | 0 | 0 | 0 | 0 | 0 | 0 |
| 45 | 608 | 14 | 9 | 10 | 15,84 | 15,84 | 0 | 4 | 0 | 0 | 4 | 0 | 0 | 1985 | 0 | 0 | 0 | 1985 | 0 | 0 | 0 | 0 | 0 | 0 | 0 | 0 |
| 46 | 607 | 28 | 41 | 14 | 15,84 | 15,84 | 0 | 0 | 0 | 0 | 0 | 0 | 0 | 1961 | 0 | 0 | 0 | 1961 | 0 | 0 | 0 | 0 | 0 | 0 | 0 | 0 |
| 47 | 607 | 28 | 41 | 8 | 15,84 | 15,84 | 0 | 0 | 0 | 0 | 0 | 0 | 0 | 0 | 0 | 0 | 0 | 0 | 0 | 0 | 0 | 0 | 0 | 0 | 0 | |
| 48 | 607 | 28 | 8 | 2 | 15,84 | 15,84 | 0 | 0 | 0 | 0 | 0 | 0 | 0 | 0 | 0 | 0 | 0 | 0 | 0 | 0 | 0 | 0 | 0 | 0 | 0 | |
| 49 | 608 | 14 | 8 | 34 | 15,84 | 15,84 | 0 | 4 | 0 | 0 | 4 | 0 | 0 | 1998 | 0 | 0 | 0 | 1998 | 0 | 0 | 0 | 0 | 0 | 0 | 0 | 0 |
| 50 | 607 | 28 | 43 | 9 | 15,84 | 15,84 | 0 | 0 | 0 | 0 | 0 | 0 | 0 | 1967 | 0 | 0 | 0 | 1967 | 0 | 0 | 0 | 0 | 0 | 0 | 0 | 0 |
| 51 | 608 | 14 | 44 | 37 | 15,84 | 15,84 | 0 | 4 | 0 | 0 | 4 | 0 | 0 | 1998 | 0 | 0 | 0 | 1998 | 0 | 0 | 0 | 0 | 0 | 0 | 0 | 0 |

| FORI SETTI ALLA QUOTA 15.84 m | | | | | | | | | | | | | | | | | |
|-------------------------------|--------------|--------------|--------------|----------------------|--------------|--------------|-------------------|----------------------|----------------------|----------------------|--------------|--------------|-------------|--------------|--------------|------------|-------------|
| Setto N.ro | Foro N.ro | Base f cm | Alt. f cm | Codice Posiz.Foro | Asc. f cm | Ord. f cm | Sezione Catena | Sezione Cerchiat. | Sezione Architrav | Sezione Piedritti | Mat. SubF | Crit Prog | FiLon mm | NFer Sup. | NFer Inf. | FiSt mm | P Sta cm |
| 1 | 1 | 130 | 150 | LIBERO | 166 | 90 | Nessuna | Nessuna | Nessuna | Nessuna | | | | | | | |
| 2 | 2 | 130 | 150 | LIBERO | 456 | 90 | Nessuna | Nessuna | Nessuna | Nessuna | | | | | | | |
| 2 | 1 | 130 | 150 | LIBERO | 21 | 90 | Nessuna | Nessuna | Nessuna | Nessuna | | | | | | | |
| 2 | 2 | 130 | 150 | LIBERO | 370 | 90 | Nessuna | Nessuna | Nessuna | Nessuna | | | | | | | |
| 3 | 1 | 130 | 150 | LIBERO | 75 | 90 | Nessuna | Nessuna | Nessuna | Nessuna | | | | | | | |
| 4 | 1 | 130 | 150 | LIBERO | 80 | 90 | Nessuna | Nessuna | Nessuna | Nessuna | | | | | | | |
| 5 | 1 | 130 | 150 | LIBERO | 143 | 90 | Nessuna | Nessuna | Nessuna | Nessuna | | | | | | | |
| 5 | 2 | 130 | 150 | LIBERO | 442 | 90 | Nessuna | Nessuna | Nessuna | Nessuna | | | | | | | |
| 6 | 1 | 130 | 150 | LIBERO | 186 | 90 | Nessuna | Nessuna | Nessuna | Nessuna | | | | | | | |
| 7 | 1 | 130 | 150 | LIBERO | 100 | 90 | Nessuna | Nessuna | Nessuna | Nessuna | | | | | | | |
| 8 | 1 | 130 | 150 | LIBERO | 48 | 90 | Nessuna | Nessuna | Nessuna | Nessuna | | | | | | | |
| 10 | 1 | 130 | 150 | LIBERO | 203 | 90 | Nessuna | Nessuna | Nessuna | Nessuna | | | | | | | |
| 11 | 1 | 130 | 150 | LIBERO | 60 | 90 | Nessuna | Nessuna | Nessuna | Nessuna | | | | | | | |
| 12 | 1 | 130 | 150 | LIBERO | 128 | 90 | Nessuna | Nessuna | Nessuna | Nessuna | | | | | | | |
| 13 | 1 | 130 | 150 | LIBERO | 204 | 90 | Nessuna | Nessuna | Nessuna | Nessuna | | | | | | | |
| 13 | 2 | 130 | 150 | LIBERO | 473 | 90 | Nessuna | Nessuna | Nessuna | Nessuna | | | | | | | |
| 15 | 1 | 130 | 150 | LIBERO | 116 | 90 | Nessuna | Nessuna | Nessuna | Nessuna | | | | | | | |
| 17 | 1 | 130 | 150 | LIBERO | 85 | 90 | Nessuna | Nessuna | Nessuna | Nessuna | | | | | | | |
| 18 | 1 | 130 | 150 | LIBERO | 100 | 90 | Nessuna | Nessuna | Nessuna | Nessuna | | | | | | | |
| 19 | 1 | 130 | 150 | LIBERO | 49 | 90 | Nessuna | Nessuna | N | | | | | | | | |

C.D.S.

FORI SETTI ALLA QUOTA 15.84 m

| Setto N.ro | Foro N.ro | Base f cm | Alt. f cm | Codice Posiz.Foro | Asc. f cm | Ord. f cm | Sezione Catena | Sezione Cerchiat. | Sezione Architrav | Sezione Piedritti | Mat. SubF | Crit Prog | FiLon mm | NFer Sup. | NFer Inf. | FiSt mm | PSta cm |
|------------|-----------|-----------|-----------|-------------------|-----------|-----------|----------------|-------------------|-------------------|-------------------|-----------|-----------|----------|-----------|-----------|---------|---------|
| 31 | 1 | 100 | 220 | LIBERO | 250 | 0 | Nessuna | Nessuna | Nessuna | Nessuna | | | | | | | |
| 32 | 1 | 100 | 220 | LIBERO | 140 | 0 | Nessuna | Nessuna | Nessuna | Nessuna | | | | | | | |
| 42 | 1 | 100 | 230 | LIBERO | 117 | 0 | Nessuna | Nessuna | Nessuna | Nessuna | | | | | | | |
| 44 | 1 | 100 | 220 | LIBERO | 60 | 0 | Nessuna | Nessuna | Nessuna | Nessuna | | | | | | | |
| 45 | 1 | 100 | 230 | LIBERO | 124 | 0 | Nessuna | Nessuna | Nessuna | Nessuna | | | | | | | |
| 47 | 1 | 120 | 230 | LIBERO | 60 | 0 | Nessuna | Nessuna | Nessuna | Nessuna | | | | | | | |
| 49 | 1 | 100 | 230 | LIBERO | 35 | 0 | Nessuna | Nessuna | Nessuna | Nessuna | | | | | | | |
| 51 | 1 | 135 | 250 | LIBERO | 165 | 0 | Nessuna | Nessuna | Nessuna | Nessuna | | | | | | | |

COMBINAZIONI CARICHI A1 - S.L.V. / S.L.D. - Teta = .12 : Moltipl. = 1.14

| DESCRIZIONI | 1 | 2 | 3 | 4 | 5 | 6 | 7 | 8 | 9 | 10 | 11 | 12 | 13 | 14 | 15 |
|----------------------|------|------|------|-------|-------|-------|-------|-------|-------|-------|-------|-------|-------|-------|-------|
| Peso Strutturale | 1,30 | 1,30 | 1,00 | 1,00 | 1,00 | 1,00 | 1,00 | 1,00 | 1,00 | 1,00 | 1,00 | 1,00 | 1,00 | 1,00 | 1,00 |
| Perm.Non Strutturale | 1,50 | 1,50 | 1,00 | 1,00 | 1,00 | 1,00 | 1,00 | 1,00 | 1,00 | 1,00 | 1,00 | 1,00 | 1,00 | 1,00 | 1,00 |
| Var.Uffici | 1,50 | 1,05 | 0,30 | 0,30 | 0,30 | 0,30 | 0,30 | 0,30 | 0,30 | 0,30 | 0,30 | 0,30 | 0,30 | 0,30 | 0,30 |
| Var.Amb.affol. | 1,50 | 1,05 | 0,60 | 0,60 | 0,60 | 0,60 | 0,60 | 0,60 | 0,60 | 0,60 | 0,60 | 0,60 | 0,60 | 0,60 | 0,60 |
| Var.Neve h<=1000 | 0,75 | 1,50 | 0,00 | 0,00 | 0,00 | 0,00 | 0,00 | 0,00 | 0,00 | 0,00 | 0,00 | 0,00 | 0,00 | 0,00 | 0,00 |
| Var.Coperture | 1,50 | 0,00 | 0,00 | 0,00 | 0,00 | 0,00 | 0,00 | 0,00 | 0,00 | 0,00 | 0,00 | 0,00 | 0,00 | 0,00 | 0,00 |
| Corr. Tors. dir. 0 | 0,00 | 0,00 | 1,14 | -1,14 | 1,14 | -1,14 | 1,14 | -1,14 | 1,14 | -1,14 | 1,14 | -1,14 | 1,14 | -1,14 | -1,14 |
| Corr. Tors. dir. 90 | 0,00 | 0,00 | 0,34 | 0,34 | -0,34 | -0,34 | -0,34 | 0,34 | 0,34 | 0,34 | 0,34 | -0,34 | -0,34 | -0,34 | -0,34 |
| Sisma direz. grd 0 | 0,00 | 0,00 | 1,14 | 1,14 | 1,14 | 1,14 | 1,14 | 1,14 | 1,14 | 1,14 | -1,14 | -1,14 | -1,14 | -1,14 | -1,14 |
| Sisma direz. grd 90 | 0,00 | 0,00 | 0,34 | 0,34 | 0,34 | -0,34 | -0,34 | -0,34 | -0,34 | -0,34 | 0,34 | 0,34 | 0,34 | 0,34 | -0,34 |

COMBINAZIONI CARICHI A1 - S.L.V. / S.L.D. - Teta = .12 : Moltipl. = 1.14

| DESCRIZIONI | 16 | 17 | 18 | 19 | 20 | 21 | 22 | 23 | 24 | 25 | 26 | 27 | 28 | 29 | 30 |
|----------------------|-------|-------|-------|------|-------|-------|-------|-------|-------|-------|-------|-------|-------|-------|-------|
| Peso Strutturale | 1,00 | 1,00 | 1,00 | 1,00 | 1,00 | 1,00 | 1,00 | 1,00 | 1,00 | 1,00 | 1,00 | 1,00 | 1,00 | 1,00 | 1,00 |
| Perm.Non Strutturale | 1,00 | 1,00 | 1,00 | 1,00 | 1,00 | 1,00 | 1,00 | 1,00 | 1,00 | 1,00 | 1,00 | 1,00 | 1,00 | 1,00 | 1,00 |
| Var.Uffici | 0,30 | 0,30 | 0,30 | 0,30 | 0,30 | 0,30 | 0,30 | 0,30 | 0,30 | 0,30 | 0,30 | 0,30 | 0,30 | 0,30 | 0,30 |
| Var.Amb.affol. | 0,60 | 0,60 | 0,60 | 0,60 | 0,60 | 0,60 | 0,60 | 0,60 | 0,60 | 0,60 | 0,60 | 0,60 | 0,60 | 0,60 | 0,60 |
| Var.Neve h<=1000 | 0,00 | 0,00 | 0,00 | 0,00 | 0,00 | 0,00 | 0,00 | 0,00 | 0,00 | 0,00 | 0,00 | 0,00 | 0,00 | 0,00 | 0,00 |
| Var.Coperture | 0,00 | 0,00 | 0,00 | 0,00 | 0,00 | 0,00 | 0,00 | 0,00 | 0,00 | 0,00 | 0,00 | 0,00 | 0,00 | 0,00 | 0,00 |
| Corr. Tors. dir. 0 | 1,14 | -1,14 | 1,14 | 0,34 | -0,34 | 0,34 | -0,34 | 0,34 | -0,34 | 0,34 | -0,34 | 0,34 | -0,34 | 0,34 | -0,34 |
| Corr. Tors. dir. 90 | -0,34 | 0,34 | 0,34 | 1,14 | 1,14 | -1,14 | -1,14 | -1,14 | -1,14 | 1,14 | 1,14 | 1,14 | 1,14 | -1,14 | -1,14 |
| Sisma direz. grd 0 | -1,14 | -1,14 | -1,14 | 0,34 | 0,34 | 0,34 | 0,34 | 0,34 | 0,34 | 0,34 | 0,34 | -0,34 | -0,34 | -0,34 | -0,34 |
| Sisma direz. grd 90 | -0,34 | -0,34 | -0,34 | 1,14 | 1,14 | 1,14 | 1,14 | -1,14 | -1,14 | -1,14 | 1,14 | 1,14 | 1,14 | 1,14 | 1,14 |

COMBINAZIONI CARICHI A1 - S.L.V. / S.L.D. - Teta = .12 : Moltipl. = 1.14

| DESCRIZIONI | 31 | 32 | 33 | 34 |
|----------------------|-------|-------|-------|-------|
| Peso Strutturale | 1,00 | 1,00 | 1,00 | 1,00 |
| Perm.Non Strutturale | 1,00 | 1,00 | 1,00 | 1,00 |
| Var.Uffici | 0,30 | 0,30 | 0,30 | 0,30 |
| Var.Amb.affol. | 0,60 | 0,60 | 0,60 | 0,60 |
| Var.Neve h<=1000 | 0,00 | 0,00 | 0,00 | 0,00 |
| Var.Coperture | 0,00 | 0,00 | 0,00 | 0,00 |
| Corr. Tors. dir. 0 | -0,34 | 0,34 | -0,34 | 0,34 |
| Corr. Tors. dir. 90 | -1,14 | -1,14 | 1,14 | 1,14 |
| Sisma direz. grd 0 | -0,34 | -0,34 | -0,34 | -0,34 |
| Sisma direz. grd 90 | -1,14 | -1,14 | -1,14 | -1,14 |

COMBINAZIONI RARE - S.L.E.

| DESCRIZIONI | 1 | 2 |
|----------------------|------|------|
| Peso Strutturale | 1,00 | 1,00 |
| Perm.Non Strutturale | 1,00 | 1,00 |
| Var.Uffici | 1,00 | 0,70 |
| Var.Amb.affol. | 1,00 | 0,70 |
| Var.Neve h<=1000 | 0,50 | 1,00 |
| Var.Coperture | 1,00 | 0,00 |
| Corr. Tors. dir. 0 | 0,00 | 0,00 |
| Corr. Tors. dir. 90 | 0,00 | 0,00 |
| Sisma direz. grd 0 | 0,00 | 0,00 |
| Sisma direz. grd 90 | 0,00 | 0,00 |

• **SPECIFICHE CAMPI TABELLA DI STAMPA**

Si riporta appresso la spiegazione delle sigle usate nel tabulato di stampa delle forze di piano modali.

| | |
|------------------------|---|
| Massa eccitata | : <i>Sommatoria delle masse efficaci, estesa a tutti i modi considerati ed espressa come forza peso</i> |
| Massa totale | : <i>Massa sismica di tutti i piani espressa come forza peso</i> |
| Rapporto | : <i>Rapporto tra Massa eccitata e Massa totale. Deve essere secondo la norma non inferiore a 0,85</i> |
| Modo | : <i>Numero del modo di vibrazione</i> |
| Fattore Modale | : <i>Coefficiente di partecipazione modale</i> |
| Fmod/Fmax | : <i>Influenza percentuale del modo attuale rispetto a quello di massimo effetto</i> |
| Massa Mod. Eff. | : <i>Massa modale efficace</i> |
| Mmod/Mmax | : <i>Percentuale di massa eccitata per il singolo modo</i> |
| Piano | : <i>Numero del piano sismico</i> |
| FX | : <i>Forza di piano agente con direzione parallela alla direzione X del sistema di riferimento globale e applicata nell'origine delle coordinate</i> |
| <b b="" fy<=""> | : <i>Forza di piano agente con direzione parallela alla direzione Y del sistema di riferimento globale e applicata nell'origine delle coordinate</i> |
| Mt | : <i>Momento torcente di piano rispetto all'asse Z del sistema di riferimento globale</i> |
| Mom.Ecc. 5% | : <i>Momento torcente di piano rispetto all'asse Z del sistema di riferimento globale relativo ad una eccentricità accidentale pari al 5% della dimensione massima del piano in direzione ortogonale alla direzione del sisma. Se in questa colonna non è stampato nulla l'effetto torsionale accidentale è tenuto in conto incrementando le sollecitazioni di verifica con il fattore delta (vedi punto 4.5.2)</i> |

¶ SPECIFICHE CAMPI TABELLA DI STAMPA

| | |
|-------------------------|--|
| Filo N.ro | : Numero del filo del nodo inferiore o superiore |
| Quota inf/sup | : Quota del nodo inferiore e del nodo superiore |
| Nodo inf/sup | : Numero dei nodi inferiore e superiore per la determinazione degli spostamenti sismici relativi |
| Sisma N.ro | : Numero del sisma per cui è massimo il valore dello spostamento totale calcolato per lo S.L.D. |
| Combin N.ro | : Numero della combinazione per cui è massimo il valore dello spostamento totale calcolato per lo S.L.D. |
| Spostam. Calcolo | : valore dello spostamento totale calcolato per lo S.L.D. |
| Spostam. Limite | : valore dello spostamento limite per lo S.L.D. |
| Sisma N.ro | : Numero del sisma per cui è massimo il valore dello spostamento totale calcolato per lo S.L.O. |
| Combin N.ro | : Numero della combinazione per cui è massimo il valore dello spostamento totale calcolato per lo S.L.O. |
| Spostam. Calcolo | : valore dello spostamento totale calcolato per lo S.L.O. |
| Spostam. Limite | : valore dello spostamento limite per lo S.L.O. |

- SPECIFICHE CAMPI TABELLA DI STAMPA**

Si riporta appresso la spiegazione delle sigle usate nel tabulato di stampa.

- Tabulato BARICENTRI MASSE E RIGIDEZZE

| | |
|----------------|---|
| PIANO | : <i>Numero del piano sismico</i> |
| QUOTA | : <i>Altezza del piano dallo spiccato di fondazione</i> |
| PESO | : <i>Peso sismico di piano (peso proprio, carichi permanenti e aliquota dei sovraccarichi variabili)</i> |
| XG | : <i>Ascissa del baricentro delle masse rispetto all'origine del sistema di riferimento globale</i> |
| YG | : <i>Ordinata del baricentro delle masse rispetto all'origine del sistema di riferimento globale</i> |
| XR | : <i>Ascissa del baricentro delle rigidezze rispetto all'origine del sistema di riferimento globale</i> |
| YR | : <i>Ordinata del baricentro delle rigidezze rispetto all'origine del sistema di riferimento globale</i> |
| DX | : <i>Scostamento in ascissa del baricentro delle rigidezze rispetto a quello delle masse ($XR - XG$)</i> |
| DY | : <i>Scostamento in ordinata del baricentro delle rigidezze rispetto a quello delle masse ($YR - YG$)</i> |
| Lpianta | : <i>Dimensione in pianta del piano nella direzione ortogonale al primo sisma</i> |
| Bpianta | : <i>Dimensione in pianta del piano nella direzione ortogonale al secondo sisma</i> |
| RigFlex | : <i>Rigidezza flessionale di piano nella direzione primo sisma. E' calcolata come rapporto fra la forza unitaria applicata sul baricentro delle masse del piano in direzione del primo sisma e la differenza di spostamento, sempre nella direzione del sisma, fra il piano in questione e quello sottostante.</i> |
| RigFleY | : <i>Rigidezza flessionale di piano nella direzione secondo sisma</i> |
| RigTors | : <i>Rigidezza torsionale di piano</i> |
| r/ls | : <i>Rapporto di piano per determinare se una struttura è deformabile torsionalmente (vedi DM 2008/2018 7.4.3.1)</i> |

- Tabulato VARIAZIONI MASSE E RIGIDEZZE DI PIANO

| | |
|---------------------------------|--|
| PIANO | : <i>Numero del piano sismico</i> |
| QUOTA | : <i>Altezza del piano dallo spiccato di fondazione</i> |
| PESO | : <i>Peso sismico di piano (peso proprio, carichi permanenti e aliquota dei sovraccarichi variabili)</i> |
| Variaz% | : <i>Variazione percentuale della massa rispetto al piano superiore</i> |
| Tagliante (t) modale | : <i>Tagliante relativo al piano nella direzione X/Y. Nel caso di analisi sismica dinamica il valore si riferisce al modo principale</i> |
| Spost(mm) | : <i>Spostamento del baricentro del piano in direzione X/Y calcolato come differenza fra lo spostamento del piano in questione ed il sottostante</i> |
| Klat(t/m) | : <i>Rigidezza laterale del piano in direzione X/Y calcolata come rapporto fra il tagliante e lo spostamento</i> |
| Variaz(%) | : <i>Variazione della rigidezza della massa rispetto al piano superiore in direzione X/Y</i> |
| Teta | : <i>Indice di stabilità per gli effetti p-d (DM 2008, formula 7.3.2) (DM 2018, formula 7.3.3)</i> |

solo per le analisi sismiche dinamiche ad impalcati rigidi, sarà presente anche il seguente risultato:

| | |
|----------------------|--|
| Tagliante (t) | : <i>Tagliante sismico al piano nella direzione X/Y mediato su tutti i modi di vibrare</i> |
|----------------------|--|

- Tabulato REGOLARITA' STRUTTURALE

Questo tabulato verrà omesso se la struttura è dichiarata in input NON regolare, poiché superfluo.

| | |
|------------------|---|
| N. piano | : <i>Numero del piano sismico</i> |
| Res X (t) | : <i>Resistenza a taglio complessiva nel piano in direzione X (Sisma1/Sisma2)</i> |
| Res Y (t) | : <i>Resistenza a taglio complessiva nel piano in direzione Y (Sisma1/Sisma2)</i> |
| Dom X (t) | : <i>Domanda a taglio complessiva nel piano in direzione X (Sisma1/Sisma2)</i> |
| Dom Y (t) | : <i>Domanda a taglio complessiva nel piano in direzione Y (Sisma1/Sisma2)</i> |
| Res/Dom | : <i>Rapporto tra la resistenza e la domanda (Sisma1/Sisma2)</i> |
| Var.R/D | : <i>Variazione del rapporto resistenza/capacità rispetto ai piani superiori (Sisma1/Sisma2)</i> |
| Flag | : <i>Esito del controllo sulla variazione del rapporto resistenza/capacità (DM 2008, 7.2.2 punto g)(Dm 2018, 7.2.1)</i> |
| Verifica | |

SPECIFICHE CAMPI TABELLA DI STAMPA

Si riporta appresso la spiegazione delle sigle usate nelle tabelle di verifica aste in calcestruzzo per gli stati limite ultimi.

| | |
|---------------------------------|---|
| Filo Iniz./Fin. | : Sulla prima riga numero del filo del nodo iniziale, sulla seconda quello del nodo finale |
| Cotg Θ | : Cotangente Angolo del puntone compresso |
| Quota | : Sulla prima riga quota del nodo iniziale, sulla seconda quota del nodo finale |
| SgmT | : Solo per le travi di fondazione: Pressione di contatto sul terreno in Kg/cm ² calcolata con i valori caratteristici delle azioni assumendo i coefficienti gamma pari ad uno. |
| AmpC | : Solo per le travi di elevazione: Coefficiente di amplificazione dei carichi statici per tenere in conto della verifica locale dell'asta a sisma verticale. |
| N/Nc | : Solo per i pilastri: Percentuale della resistenza massima a compressione della sezione di solo calcestruzzo. |
| Tratto | : Se una trave è suddivisa in più tratti sulla prima riga è riportato il numero del tratto, sulla terza il numero di suddivisioni della trave |
| Sez B/H | : Sulla prima riga numero della sezione nell'archivio, sulla seconda base della sezione, sulla terza altezza. Per sezioni a T è riportato l'ingombro massimo della sezione |
| Concio | : Numero del concio |
| Co Nr | : Numero della combinazione e in sequenza sollecitazioni ultime di calcolo che forniscono la massima deformazione nell'acciaio e nel calcestruzzo per la verifica a flessione |
| GamRd | : Solo per le travi di fondazione: Coefficiente di sovraresistenza. |
| M Exd | : Momento ultimo di calcolo asse vettore X (per le travi incrementato dalla traslazione del diagramma del momento flettente) |
| M Eyd | : Momento ultimo di calcolo asse vettore Y |
| N Ed | : Sforzo normale ultimo di calcolo |
| x / d | : Rapporto fra la posizione dell'asse neutro e l'altezza utile della sezione moltiplicato per 100 |
| ef% ec% (*100) | : deformazioni massime nell'acciaio e nel calcestruzzo moltiplicate per 10.000. Valore limite per l'acciaio 100 (1%), valore limite nel calcestruzzo 35 (0,35%) |
| Area | : Area del ferro in centimetri quadri; per le travi rispettivamente superiore ed inferiore, per i pilastri armature lungo la base e l'altezza della sezione |
| Co Nr | : Numero della combinazione e in sequenza sollecitazioni ultime di calcolo che forniscono la minore sicurezza per le azioni taglienti e torcenti |
| V Exd | : Taglio ultimo di calcolo in direzione X |
| V Eyd | : Taglio ultimo di calcolo in direzione Y |
| T sdu | : Momento torcente ultimo di calcolo |
| V Rxd | : Taglio resistente ultimo delle staffe in direzione X |
| V Ryd | : Taglio resistente ultimo delle staffe in direzione Y |
| T Rd | : Momento torcente resistente ultimo delle staffe |
| T Rld | : Momento torcente resistente ultimo dell'armatura longitudinale |
| Coe Cls | : Coefficiente per il controllo di sicurezza del calcestruzzo alle azioni taglienti e torcenti moltiplicato per 100; la sezione è verificata se detto valore è minore o uguale a 100 |
| Coe Staf | : Coefficiente per il controllo di sicurezza delle staffe alle azioni taglienti e torcenti moltiplicato per 100; la sezione è verificata se detto valore è minore o uguale a 100 |
| Alon | : Armatura longitudinale a torsione (nelle travi rettangolari per le quali è stata effettuata la verifica a momento My in questo dato viene stampata anche l'armatura flessionale dei lati verticali) |
| Staffe | : Passo staffe e lunghezza del tratto da armare |
| Moltipl Ultimo | : Solo per le stampe di riverifica: Moltiplicatore dei carichi che porta a collasso la sezione. Il percorso dei carichi seguito e' a sforzo normale costante. Le deformazioni riportate sono determinate dalle sollecitazioni di calcolo amplificate del moltiplicatore in parola. |

• VERIFICHE ASTE IN ACCIAIO / LEGNO

Si riporta appresso la spiegazione delle sigle usate nelle tabelle di verifica aste in acciaio e di verifica aste in legno.

| | |
|------------------|--|
| Fili N.ro | : Sulla prima riga numero del filo del nodo iniziale, sulla terza quello del nodo finale |
| Quota | : Sulla prima riga quota del nodo iniziale, sulla terza quota del nodo finale |
| Tratto | : Se una trave è suddivisa in più tratti sulla prima riga è riportato il numero del tratto, sulla terza il numero di suddivisioni della trave |
| Cmb N.r | : Numero della combinazione per la quale si ſà avuta la condizione più gravosa (rapporto di verifica massimo). La combinazione 0, se presente, si riferisce alle verifiche delle aste in legno, costruita con la sola presenza dei carichi permanenti ($1.3*G1 + 1.5*G2$). Seguono le caratteristiche associate alla combinazione: |
| N Sd | : Sforzo normale di calcolo |
| MxSd | : Momento flettente di calcolo asse vettore X locale |
| MySd | : Momento flettente di calcolo asse vettore Y locale |
| VxSd | : Taglio di calcolo in direzione dell'asse X locale |
| VySd | : Taglio di calcolo in direzione dell'asse Y locale |
| T Sd | : Torsione di calcolo |
| N Rd | : Sforzo normale resistente ridotto per presenza dell'azione tagliante |
| MxV.Rd | : Momento flettente resistente con asse vettore X locale ridotto per presenza di azione tagliante. Per le sezioni di classe 3 è sempre il momento limite elastico, per quelle di classe 1 e 2 è il momento plastico. Se inoltre la tipologia della sezione è doppio T, tubo tondo, tubo rettangolare e piatto, il momento è ridotto dall'eventuale presenza dello sforzo normale |
| MyV.Rd | : Momento flettente resistente con asse vettore Y locale ridotto per presenza di azione tagliante. Vale quanto riportato per il dato precedente |
| VxpIRd | : Taglio resistente plastico in direzione dell'asse X locale |
| VypIRd | : Taglio resistente plastico in direzione dell'asse X locale |
| T Rd | : Torsione resistente |
| fy rid | : Resistenza di calcolo del materiale ridotta per presenza dell'azione tagliante |
| Rap % | : Rapporto di verifica moltiplicato per 100. Sezione verificata per valori minori o uguali a 100. La formula utilizzata in verifica è la n.ro 6.41 di EC3. Tale formula nel caso di sezione a doppio T coincide con le formule del DM 2008 n.ro 4.2.39 e del DM 2018 n.ro 4.2.39. |
| Sez.N | : Numero di archivio della sezione |
| Ac | : Coefficiente di amplificazione dei carichi statici. Sostituisce il dato 'Sez.N.' se l'incremento dei carichi statici è maggiore di 1 |
| Qn | : Carico distribuito normale all'asse della trave in kg/m, incluso il peso proprio |
| Asta | : Numerazione dell'asta |

Per le strutture dissipative, nei pilastri, sono stati tenuti in conto i fattori di sovraresistenza riportati nella Tab. 7.5.I delle NTC 2008 e par 7.5.1 delle NTC2018

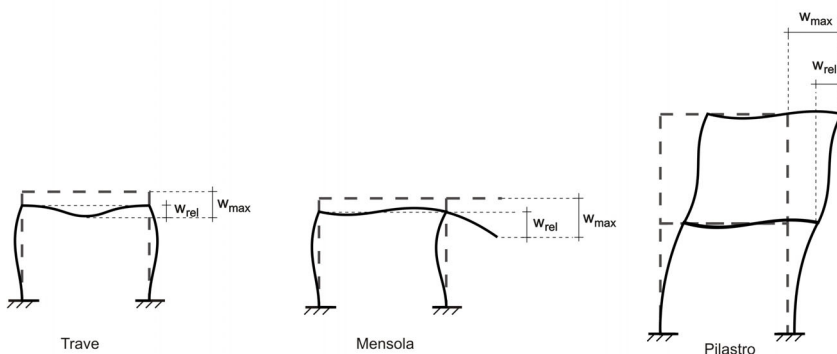
L'ultima riga delle quattro relative a ciascuna asta, si riferisce ai valori utili ad effettuare le verifiche di instabilità:

| | |
|------------------------------|---|
| I | : Lunghezza della trave |
| β^*I | : Lunghezza libera di inflessione |
| clas. | : Classe di verifica della trave |
| ϵ | : $(235/fy)^{(1/2)}$. Se il valore e' maggiore di 1 significa che il programma ha classificato la sezione, originariamente di classe 4, come sezione di classe 3 secondo il comma (9) del punto 5.5.2 dell'EC3 in base alla tensione di compressione massima. Per tali aste non sono state effettuate le verifiche di instabilità come previsto nel comma (10) dell'EC3 (vedi anche pto C4.2.3.1). |

| | |
|-------------|--|
| Lmd | : Snellezza lambda |
| R%pf | : Rapporto di verifica per l'instabilità alla presso-flessione moltiplicato per 100 determinato dalla formula [C4.2.32]. Sezione verificata per valori minori o uguali a 100 |
| R%ft | : Rapporto di verifica per l'instabilità flesso-torsionale moltiplicato per 100 determinato dalla formula [C4.2.36] |
| Wmax | : Spostamento massimo |
| Wrel | : Spostamento relativo, depurato dalla traslazione rigida dei nodi |
| Wlim | : Spostamento limite |

Gli spostamenti Wmax e Wrel, essendo legati alle verifiche di esercizio, sono calcolati combinando i canali di carico con i coefficienti delle matrici SLE.

Per una più agevole comprensione del significato dei dati Wmax e Wrel, si può fare riferimento alla figura seguente:



Quindi ai fini della verifica è sufficiente che risulti $Wrel \leq Wlim$, essendo del tutto normale che l'asta possa risultare verificata anche con $Wmax > Wlim$.

Se:

| | |
|--------------|---|
| Rap % | : 111 La sezione non verifica per taglio elevato |
| Rap % | : 444 Sezione non verificata in automatico perché di classe 4 |

Per le sezioni in legno vengono modificate le seguenti colonne:

| | |
|--|--|
| N Rd \rightarrow σ_n | : Tensione normale dovuta a sforzo normale |
| MxV.Rd \rightarrow σM_x | : Tensione normale dovuta a momento M_x |
| MyV.Rd \rightarrow σM_y | : Tensione normale dovuta a momento M_y |
| VxplRd \rightarrow τ_x | : Tensione tangenziale dovuta a taglio T_x |
| VyplRd \rightarrow τ_y | : Tensione tangenziale dovuta a taglio T_y |
| T Rd \rightarrow τM_t | : Tensione tangenziale da momento torcente |
| fy rid \rightarrow Rapp. Fless | : Rapporto di verifica per la flessione composta secondo le formule dei DM 2008/2018 [4.4.6a], [4.4.6b], [4.4.7a], [4.4.7b]. Viene riportato il valore più alto fra tutte le varie combinazioni e si intende verificato, come tutti gli altri rapporti, se il valore è minore di uno |
| Rap % \rightarrow Rapp.Taglio | : Rapporto di verifica per il taglio o la torsione secondo le formule dei DM 2008/2018 [4.4.8], [4.4.9] avendo sovrapposto gli effetti con la [4.4.10] nel caso di taglio e torsione agenti contemporaneamente |
| clas. \rightarrow KcC | : Coefficiente di instabilità di colonna ($K_{crit,c}$) determinato dalle formule dei DM 2008/2018 [4.4.15] |
| lmd \rightarrow KcM | : Coefficiente di instabilità di trave ($K_{crit,m}$) determinato dalle formule dei DM 2008/2018 [4.4.12] |
| R%pf \rightarrow Rx | : Rapporto globale di verifica di instabilità che tiene in conto sia dell'instabilità di colonna che quella di trave; il coefficiente Km è applicato al termine del momento Y |
| R%ft \rightarrow Ry | : Rapporto globale di verifica di instabilità che tiene in conto sia dell'instabilità di colonna che quella di trave; il coefficiente |

Km è applicato al termine del momento X

Gli spostamenti Wmax e Wrel sono calcolati secondo le formule [2.2] e [2.3] dell'Eurocodice 5. In particolare si sommano gli spostamenti istantanei delle combinazioni SLE Rare con quelli a tempo infinito delle combinazioni SLE Quasi Permanent. Quindi indicando con U^P gli spostamenti istantanei dei carichi permanenti e con U^Q quelli dei carichi variabili lo spostamento finale vale:

$$U_{fin} = U^P + K_{def} * U^P + U^Q + K_{def} * \varphi_2 * U^Q$$

• **SPECIFICHE CAMPI TABELLA DI STAMPA**

Si riporta appresso la spiegazione delle sigle usate nelle tabelle di verifica aste in cls per gli stati limiti di esercizio.

| | |
|----------------------------------|--|
| Filo | : Sulla prima riga numero del filo del nodo iniziale, sulla seconda quello del nodo finale |
| Quota | : Sulla prima riga quota del nodo iniziale, sulla seconda quota del nodo finale |
| Tratto | : Se una trave è suddivisa in più tratti sulla prima riga è riportato il numero del tratto, sulla terza il numero di suddivisioni della trave |
| Com Cari | : Indicatore della matrice di combinazione; la prima riga individua la matrice delle combinazioni rare, la seconda la matrice delle combinazioni frequenti, la terza quella permanenti. Questo indicatore vale sia per la verifica a fessurazione che per il calcolo delle frecce |
| Fessu | : Fessura limite e fessura di calcolo espressa in mm; se la trave non risulta fessurata l'ampiezza di calcolo sarà nulla |
| Dist mm | : Distanza fra le fessure |
| Concio | : Numero del concio in cui si è avuta la massima fessura |
| Combin | : Numero della combinazione ed in sequenza sollecitazioni per cui si è avuta la massima fessura |
| Mf X | : Momento flettente asse vettore X |
| Mf Y | : Momento flettente asse vettore Y |
| N | : Sforzo normale |
| Frecce | : Freccia limite e freccia massima di calcolo |
| Combin | : Numero della combinazione che ha prodotto la freccia massima |
| Com Cari | : Indicatore della matrice di combinazione; la prima riga individua la matrice delle combinazioni rare per la verifica della tensione sul calcestruzzo, la seconda la matrice delle combinazioni rare per la verifica della tensione sull'acciaio, la terza la matrice delle combinazioni permanenti per la verifica della tensione sul calcestruzzo |
| σ_{lim} | : Valore della tensione limite in Kg/cmq |
| σ_{cal} | : Valore della tensione di calcolo in Kg/cmq |
| Concio | : Numero del concio in cui si è avuta la massima tensione |
| Combin | : Numero della combinazione ed in sequenza sollecitazioni per cui si è avuta la massima tensione |
| Mf X | : Momento flettente asse vettore X |
| Mf Y | : Momento flettente asse vettore Y |
| N | : Sforzo normale |

C.D.S.

PULSAZIONI E MODI DI VIBRAZIONE

| PULSAZIONI E MODI DI VIBRAZIONE | | | | | | | | | | | | | |
|---------------------------------|----------------------|---------------|--------------|----------|----------|------------|------------|------------|------------|------------|-----------|-----------|-----------|
| Modo N.ro | Pulsazione (rad/sec) | Periodo (sec) | Smorz Mod(%) | Sd/g SLO | Sd/g SLD | Sd/g SLV X | Sd/g SLV Y | Sd/g SLC X | Sd/g SLC Y | Piano N.ro | X (m) | Y (m) | Rot (rad) |
| 1 | 11,658 | 0,53896 | 5,0 | | 0,244 | 0,310 | 0,310 | | | 1 | 0,002016 | -0,001204 | 0,000230 |
| 2 | 13,490 | 0,46575 | 5,0 | | 0,283 | 0,347 | 0,347 | | | 2 | 0,001221 | 0,030140 | -0,00106 |
| 3 | 15,830 | 0,39690 | 5,0 | | 0,294 | 0,347 | 0,347 | | | 1 | 0,003547 | -0,002473 | 0,000317 |
| 4 | 54,884 | 0,11448 | 5,0 | | 0,253 | 0,326 | 0,326 | | | 2 | 0,023856 | -0,042049 | 0,002937 |
| 5 | 80,074 | 0,07847 | 5,0 | | 0,211 | 0,309 | 0,309 | | | 1 | 0,002956 | -0,002225 | 0,000018 |
| 6 | 188,939 | 0,03326 | 5,0 | | 0,158 | 0,287 | 0,287 | | | 2 | 0,022872 | 0,010179 | -0,008051 |
| | | | | | | | | | | 1 | 0,030818 | -0,019817 | 0,002845 |
| | | | | | | | | | | 2 | -0,003485 | 0,001737 | -0,00280 |
| | | | | | | | | | | 1 | -0,029773 | -0,005663 | 0,001209 |
| | | | | | | | | | | 2 | 0,001556 | 0,000024 | -0,000039 |
| | | | | | | | | | | 1 | -0,13677 | 0,077195 | -0,003152 |
| | | | | | | | | | | 2 | 0,000070 | -0,000399 | 0,000015 |

FATTORI E FORZE DI PIANO MODALI S.L.V.

SISMA DIREZIONE: 0°

| Massa eccitata (t): 1841.75 | | | | Massa totale (t): 1841.75 | | | Rapporto:1 | | |
|-----------------------------|----------------|---------------|--------------------|---------------------------|------------|--------|------------|----------|-------------------|
| Modo N.ro | Fattore Modale | Fmod/Fmax (%) | Massa Mod Eff. (t) | Mmod/Mtot % | Piano N.ro | FX (t) | FY (t) | Mt (t*m) | Mom.Ecc. 5% (t*m) |
| 1 | 2,736 | 7,81 | 7,48 | 0,41 | 1 | 0,48 | 1,29 | 21,50 | 3,40 |
| | | | | | 2 | 1,84 | 29,32 | -15,18 | 345,53 |
| 2 | 10,759 | 30,73 | 115,76 | 6,29 | 1 | 4,72 | 5,92 | 122,02 | |
| | | | | | 2 | 35,48 | 0,96 | 1184,85 | |
| 3 | 35,017 | 100,00 | 1226,17 | 66,58 | 1 | 22,15 | 0,40 | 90,00 | |
| | | | | | 2 | 403,71 | -30,27 | -829,28 | |
| 4 | 8,333 | 23,80 | 69,44 | 3,77 | 1 | 29,03 | 42,60 | 820,19 | |
| | | | | | 2 | -6,42 | -7,52 | -82,93 | |
| 5 | 20,534 | 58,64 | 421,64 | 22,89 | 1 | 143,68 | -53,41 | -307,74 | |
| | | | | | 2 | -13,52 | 4,09 | 16,44 | |
| 6 | 1,122 | 3,21 | 1,26 | 0,07 | 1 | 0,37 | 5,70 | -6,65 | |
| | | | | | 2 | -0,01 | -0,07 | 0,53 | |

FATTORI E FORZE DI PIANO MODALI S.L.V.

SISMA DIREZIONE: 90°

| Massa eccitata (t): 1841.75 | | | | | | Massa totale (t): 1841.75 | | Rapporto: 99 | | |
|-----------------------------|----------------|---------------|--------------------|-------------|------------|---------------------------|--------|--------------|-------------------|--|
| Modo N.ro | Fattore Modale | Fmod/Fmax (%) | Massa Mod Eff. (t) | Mmod/Mtot % | Piano N.ro | FX (t) | FY (t) | Mt (t*m) | Mom.Ecc. 5% (t*m) | |
| 1 | 36,054 | 100,00 | 1299,88 | 70,58 | 1 | 6,31 | 17,01 | 283,35 | 7,14 | |
| | | | | | 2 | 24,30 | 386,42 | -200,07 | 724,78 | |
| 2 | 1,839 | 5,10 | 3,38 | 0,18 | 1 | 0,81 | 1,01 | 20,86 | | |
| | | | | | 2 | 6,07 | 0,16 | 202,53 | | |
| 3 | 2,456 | 6,81 | 6,03 | 0,33 | 1 | -1,55 | -0,03 | -6,31 | | |
| | | | | | 2 | -28,32 | 2,12 | 58,17 | | |
| 4 | 12,929 | 35,86 | 167,15 | 9,08 | 1 | 45,04 | 66,10 | 1272,49 | | |
| | | | | | 2 | -9,95 | -11,67 | -128,66 | | |
| 5 | 7,780 | 21,58 | 60,52 | 3,29 | 1 | -54,44 | 20,23 | 116,60 | | |
| | | | | | 2 | 5,12 | -1,55 | -6,23 | | |
| 6 | 17,458 | 48,42 | 304,79 | 16,55 | 1 | 5,71 | 88,70 | -103,40 | | |
| | | | | | 2 | -0,08 | -1,10 | 8,25 | | |

SPOSTAMENTI SISMICI RELATIVI

IDENTIFICATIVO

INVILUPPO S.L.D.

INVILUPPO S.L.O.

| IDENTIFICATIVO | | | | | INVILUPPO S.L.D. | | | | INVILUPPO S.L.C. | | | | |
|----------------|----------------|----------------|----------------|----------------|------------------|-------------|-----------------------|----------------------|------------------|-------------|-----------------------|----------------------|-------------------------------|
| Filo N.ro | Quota inf. (m) | Quota sup. (m) | Nodo inf. N.ro | Nodo sup. N.ro | Sis ma Nro | Com bin Nro | Spostam. Calcolo (mm) | Spostam. Limite (mm) | Sis ma Nro | Com bin Nro | Spostam. Calcolo (mm) | Spostam. Limite (mm) | Stringa di Controllo Verifica |
| 1 | 0,00 | 3,10 | 1 | 168 | 2 | 31 | 2,451 | 6,200 | | | | | VERIFICATO |
| 1 | 3,10 | 8,34 | 168 | 356 | 2 | 34 | 27,895 | 10,480 | | | | | NON VERIFICATO |
| 2 | 0,00 | 3,10 | 9 | 176 | 2 | 31 | 2,146 | 6,200 | | | | | VERIFICATO |
| 2 | 3,10 | 8,34 | 176 | 354 | 2 | 34 | 22,540 | 10,480 | | | | | NON VERIFICATO |
| 3 | 0,00 | 3,10 | 15 | 182 | 2 | 31 | 2,608 | 6,200 | | | | | VERIFICATO |
| 3 | 3,10 | 8,34 | 182 | 369 | 2 | 25 | 19,477 | 10,480 | | | | | NON VERIFICATO |
| 4 | 0,00 | 3,10 | 20 | 187 | 2 | 31 | 2,979 | 6,200 | | | | | VERIFICATO |
| 4 | 3,10 | 8,34 | 187 | 372 | 2 | 25 | 18,140 | 10,480 | | | | | NON VERIFICATO |
| 5 | 0,00 | 3,10 | 27 | 194 | 2 | 31 | 3,925 | 6,200 | | | | | VERIFICATO |
| 5 | 3,10 | 8,34 | 194 | 377 | 2 | 24 | 19,194 | 10,480 | | | | | NON VERIFICATO |
| 6 | 0,00 | 3,10 | 35 | 202 | 2 | 31 | 5,270 | 6,200 | | | | | VERIFICATO |
| 6 | 3,10 | 8,34 | 202 | 385 | 2 | 28 | 21,309 | 10,480 | | | | | NON VERIFICATO |
| 7 | 0,00 | 3,10 | 39 | 203 | 1 | 3 | 1,913 | 6,200 | | | | | VERIFICATO |
| 7 | 3,10 | 8,34 | 203 | 392 | 2 | 34 | 28,105 | 10,480 | | | | | NON VERIFICATO |
| 8 | 0,00 | 3,10 | 47 | 208 | 1 | 3 | 1,700 | 6,200 | | | | | VERIFICATO |
| 8 | 3,10 | 8,34 | 208 | 518 | 2 | 34 | 22,798 | 10,480 | | | | | NON VERIFICATO |
| 9 | 0,00 | 3,10 | 49 | 210 | 2 | 31 | 1,986 | 6,200 | | | | | VERIFICATO |
| 9 | 3,10 | 8,34 | 210 | 444 | 2 | 25 | 18,744 | 10,480 | | | | | NON VERIFICATO |
| 10 | 0,00 | 3,10 | 53 | 214 | 2 | 31 | 2,454 | 6,200 | | | | | VERIFICATO |
| 10 | 3,10 | 8,34 | 214 | 446 | 2 | 24 | 17,540 | 10,480 | | | | | NON VERIFICATO |
| 11 | 0,00 | 3,10 | 56 | 217 | 2 | 31 | 3,543 | 6,200 | | | | | VERIFICATO |
| 11 | 3,10 | 8,34 | 217 | 463 | 2 | 24 | 19,105 | 10,480 | | | | | NON VERIFICATO |
| 12 | 0,00 | 3,10 | 71 | 286 | 2 | 31 | 4,992 | 6,200 | | | | | VERIFICATO |

C.D.S.

| SPOSTAMENTI SISMICI RELATIVI | | | | | | | | | | | | | |
|------------------------------|----------------|----------------|----------------|----------------|------------------|-------------|-----------------------|----------------------|------------------|-------------|-----------------------|----------------------|-------------------------------|
| IDENTIFICATIVO | | | | | INVILUPPO S.L.D. | | | | INVILUPPO S.L.O. | | | | |
| Filo N.ro | Quota inf. (m) | Quota sup. (m) | Nodo inf. N.ro | Nodo sup. N.ro | Sis ma Nro | Com bin Nro | Spostam. Calcolo (mm) | Spostam. Limite (mm) | Sis ma Nro | Com bin Nro | Spostam. Calcolo (mm) | Spostam. Limite (mm) | Stringa di Controllo Verifica |
| 12 | 3,10 | 8,34 | 286 | 430 | 2 | 28 | 21,243 | 10,480 | | | | | NON VERIFICATO |
| 13 | 0,00 | 8,34 | 36 | 391 | 2 | 34 | 27,924 | 16,680 | | | | | NON VERIFICATO |
| 14 | 0,00 | 3,10 | 96 | 237 | 1 | 3 | 1,490 | 6,200 | | | | | VERIFICATO |
| 14 | 3,10 | 8,34 | 237 | 470 | 2 | 34 | 22,193 | 10,480 | | | | | NON VERIFICATO |
| 15 | 0,00 | 3,10 | 103 | 232 | 2 | 31 | 1,733 | 6,200 | | | | | VERIFICATO |
| 15 | 3,10 | 8,34 | 232 | 443 | 2 | 25 | 18,647 | 10,480 | | | | | NON VERIFICATO |
| 16 | 0,00 | 3,10 | 107 | 236 | 2 | 31 | 2,254 | 6,200 | | | | | VERIFICATO |
| 16 | 3,10 | 8,34 | 236 | 448 | 2 | 24 | 17,595 | 10,480 | | | | | NON VERIFICATO |
| 17 | 0,00 | 3,10 | 109 | 244 | 2 | 31 | 3,408 | 6,200 | | | | | VERIFICATO |
| 17 | 3,10 | 8,34 | 244 | 455 | 2 | 24 | 19,155 | 10,480 | | | | | NON VERIFICATO |
| 18 | 0,00 | 3,10 | 77 | 279 | 2 | 31 | 4,897 | 6,200 | | | | | VERIFICATO |
| 18 | 3,10 | 8,34 | 279 | 435 | 2 | 28 | 21,289 | 10,480 | | | | | NON VERIFICATO |
| 19 | 3,10 | 8,34 | 337 | 386 | 2 | 34 | 28,403 | 10,480 | | | | | NON VERIFICATO |
| 20 | 0,00 | 3,10 | 117 | 265 | 1 | 8 | 1,392 | 6,200 | | | | | VERIFICATO |
| 20 | 3,10 | 8,34 | 265 | 398 | 2 | 34 | 22,949 | 10,480 | | | | | NON VERIFICATO |
| 21 | 0,00 | 3,10 | 121 | 251 | 2 | 24 | 1,539 | 6,200 | | | | | VERIFICATO |
| 21 | 3,10 | 8,34 | 251 | 404 | 2 | 34 | 18,919 | 10,480 | | | | | NON VERIFICATO |
| 22 | 0,00 | 3,10 | 125 | 255 | 2 | 31 | 2,093 | 6,200 | | | | | VERIFICATO |
| 22 | 3,10 | 8,34 | 255 | 407 | 2 | 24 | 17,727 | 10,480 | | | | | NON VERIFICATO |
| 23 | 0,00 | 3,10 | 167 | 349 | 2 | 31 | 3,302 | 6,200 | | | | | VERIFICATO |
| 23 | 3,10 | 8,34 | 349 | 420 | 2 | 24 | 19,267 | 10,480 | | | | | NON VERIFICATO |
| 24 | 0,00 | 3,10 | 80 | 261 | 2 | 31 | 4,824 | 6,200 | | | | | VERIFICATO |
| 24 | 3,10 | 8,34 | 261 | 429 | 2 | 28 | 21,396 | 10,480 | | | | | NON VERIFICATO |
| 25 | 0,00 | 3,10 | 90 | 226 | 1 | 3 | 1,560 | 6,200 | | | | | VERIFICATO |
| 25 | 3,10 | 8,34 | 226 | 469 | 2 | 34 | 25,759 | 10,480 | | | | | NON VERIFICATO |
| 26 | 0,00 | 3,10 | 108 | 248 | 2 | 31 | 3,169 | 6,200 | | | | | VERIFICATO |
| 26 | 3,10 | 8,34 | 248 | 454 | 2 | 24 | 18,825 | 10,480 | | | | | NON VERIFICATO |
| 27 | 0,00 | 3,10 | 139 | 250 | 2 | 31 | 3,056 | 6,200 | | | | | VERIFICATO |
| 27 | 3,10 | 8,34 | 250 | 419 | 2 | 24 | 18,939 | 10,480 | | | | | NON VERIFICATO |
| 28 | 0,00 | 3,10 | 130 | 256 | 2 | 31 | 3,929 | 6,200 | | | | | VERIFICATO |
| 28 | 3,10 | 8,34 | 256 | 424 | 2 | 24 | 20,114 | 10,480 | | | | | NON VERIFICATO |
| 29 | 0,00 | 3,10 | 129 | 249 | 2 | 31 | 3,057 | 6,200 | | | | | VERIFICATO |
| 29 | 3,10 | 8,34 | 249 | 411 | 2 | 24 | 18,948 | 10,480 | | | | | NON VERIFICATO |
| 30 | 0,00 | 3,10 | 137 | 400 | 2 | 34 | 23,378 | 16,680 | | | | | NON VERIFICATO |
| 31 | 0,00 | 3,10 | 112 | 247 | 2 | 31 | 4,018 | 6,200 | | | | | VERIFICATO |
| 31 | 3,10 | 8,34 | 247 | 459 | 2 | 24 | 20,007 | 10,480 | | | | | NON VERIFICATO |
| 32 | 0,00 | 3,10 | 46 | 207 | 1 | 3 | 1,701 | 6,200 | | | | | VERIFICATO |
| 33 | 0,00 | 3,10 | 95 | 231 | 1 | 3 | 1,491 | 6,200 | | | | | VERIFICATO |
| 33 | 3,10 | 8,34 | 231 | 481 | 2 | 34 | 23,309 | 10,480 | | | | | NON VERIFICATO |
| 34 | 0,00 | 3,10 | 48 | 209 | 1 | 3 | 1,700 | 6,200 | | | | | VERIFICATO |
| 34 | 3,10 | 8,34 | 209 | 482 | 2 | 34 | 21,740 | 10,480 | | | | | NON VERIFICATO |
| 35 | 0,00 | 3,10 | 141 | 274 | 2 | 31 | 2,096 | 6,200 | | | | | VERIFICATO |
| 35 | 3,10 | 8,34 | 274 | 485 | 2 | 24 | 17,662 | 10,480 | | | | | NON VERIFICATO |
| 36 | 0,00 | 3,10 | 143 | 315 | 2 | 31 | 2,151 | 6,200 | | | | | VERIFICATO |
| 36 | 3,10 | 8,34 | 315 | 487 | 2 | 24 | 17,647 | 10,480 | | | | | NON VERIFICATO |
| 37 | 0,00 | 3,10 | 63 | 317 | 2 | 31 | 3,129 | 6,200 | | | | | VERIFICATO |
| 37 | 3,10 | 8,34 | 317 | 489 | 2 | 24 | 18,504 | 10,480 | | | | | NON VERIFICATO |
| 38 | 0,00 | 3,10 | 65 | 319 | 2 | 31 | 3,215 | 6,200 | | | | | VERIFICATO |
| 38 | 3,10 | 8,34 | 319 | 491 | 2 | 24 | 18,628 | 10,480 | | | | | NON VERIFICATO |
| 39 | 0,00 | 3,10 | 60 | 492 | 2 | 24 | 23,686 | 16,680 | | | | | NON VERIFICATO |
| 40 | 0,00 | 3,10 | 68 | 493 | 2 | 24 | 23,905 | 16,680 | | | | | NON VERIFICATO |
| 41 | 0,00 | 3,10 | 116 | 309 | 1 | 3 | 1,490 | 6,200 | | | | | VERIFICATO |
| 41 | 3,10 | 8,34 | 309 | 355 | 2 | 34 | 22,988 | 10,480 | | | | | NON VERIFICATO |
| 42 | 0,00 | 3,10 | 62 | 313 | 1 | 3 | 1,700 | 6,200 | | | | | VERIFICATO |
| 42 | 3,10 | 8,34 | 313 | 484 | 2 | 34 | 21,421 | 10,480 | | | | | NON VERIFICATO |
| 43 | 0,00 | 3,10 | 150 | 328 | 2 | 31 | 1,780 | 6,200 | | | | | VERIFICATO |
| 43 | 3,10 | 8,34 | 328 | 504 | 2 | 25 | 19,014 | 10,480 | | | | | NON VERIFICATO |
| 44 | 0,00 | 3,10 | 55 | 216 | 2 | 31 | 2,534 | 6,200 | | | | | VERIFICATO |
| 44 | 3,10 | 8,34 | 216 | 495 | 2 | 24 | 17,650 | 10,480 | | | | | NON VERIFICATO |
| 45 | 0,00 | 3,10 | 2 | 169 | 2 | 31 | 2,369 | 6,200 | | | | | VERIFICATO |
| 45 | 3,10 | 8,34 | 169 | 357 | 2 | 34 | 27,284 | 10,480 | | | | | NON VERIFICATO |
| 46 | 0,00 | 3,10 | 3 | 170 | 2 | 31 | 2,298 | 6,200 | | | | | VERIFICATO |
| 46 | 3,10 | 8,34 | 170 | 358 | 2 | 34 | 26,674 | 10,480 | | | | | NON VERIFICATO |
| 47 | 0,00 | 3,10 | 4 | 171 | 2 | 31 | 2,209 | 6,200 | | | | | VERIFICATO |
| 47 | 3,10 | 8,34 | 171 | 359 | 2 | 34 | 25,719 | 10,480 | | | | | NON VERIFICATO |
| 48 | 0,00 | 3,10 | 5 | 172 | 1 | 15 | 2,180 | 6,200 | | | | | VERIFICATO |
| 48 | 3,10 | 8,34 | 172 | 360 | 2 | 34 | 25,132 | 10,480 | | | | | NON VERIFICATO |
| 49 | 0,00 | 3,10 | 6 | 173 | 1 | 15 | 2,163 | 6,200 | | | | | VERIFICATO |
| 49 | 3,10 | 8,34 | 173 | 361 | 2 | 34 | 24,546 | 10,480 | | | | | NON VERIFICATO |
| 50 | 0,00 | 3,10 | 7 | 174 | 1 | 15 | 2,145 | 6,200 | | | | | VERIFICATO |
| 50 | 3,10 | 8,34 | 174 | 362 | 2 | 34 | 23,596 | 10,480 | | | | | NON VERIFICATO |
| 51 | 0,00 | 3,10 | 8 | 175 | 1 | 15 | 2,142 | 6,200 | | | | | VERIFICATO |
| 51 | 3,10 | 8,34 | 175 | 363 | 2 | 34 | 23,067 | 10,480 | | | | | NON VERIFICATO |

C.D.S.

| SPOSTAMENTI SISMICI RELATIVI | | | | | | | | | | | | | |
|------------------------------|----------------|----------------|----------------|----------------|------------------|-------------|-----------------------|----------------------|------------------|-------------|-----------------------|----------------------|-------------------------------|
| IDENTIFICATIVO | | | | | INVILUPPO S.L.D. | | | | INVILUPPO S.L.O. | | | | |
| Filo N.ro | Quota inf. (m) | Quota sup. (m) | Nodo inf. N.ro | Nodo sup. N.ro | Sis ma Nro | Com bin Nro | Spostam. Calcolo (mm) | Spostam. Limite (mm) | Sis ma Nro | Com bin Nro | Spostam. Calcolo (mm) | Spostam. Limite (mm) | Stringa di Controllo Verifica |
| 52 | 0,00 | 3,10 | 10 | 177 | 2 | 31 | 2,152 | 6,200 | | | | | VERIFICATO |
| 52 | 3,10 | 8,34 | 177 | 364 | 2 | 34 | 22,387 | 10,480 | | | | | NON VERIFICATO |
| 53 | 0,00 | 3,10 | 11 | 178 | 2 | 31 | 2,201 | 6,200 | | | | | VERIFICATO |
| 53 | 3,10 | 8,34 | 178 | 365 | 2 | 34 | 21,447 | 10,480 | | | | | NON VERIFICATO |
| 54 | 0,00 | 3,10 | 12 | 179 | 2 | 31 | 2,258 | 6,200 | | | | | VERIFICATO |
| 54 | 3,10 | 8,34 | 179 | 366 | 2 | 34 | 20,663 | 10,480 | | | | | NON VERIFICATO |
| 55 | 0,00 | 3,10 | 13 | 180 | 2 | 31 | 2,329 | 6,200 | | | | | VERIFICATO |
| 55 | 3,10 | 8,34 | 180 | 367 | 2 | 34 | 19,889 | 10,480 | | | | | NON VERIFICATO |
| 56 | 0,00 | 3,10 | 14 | 181 | 2 | 31 | 2,429 | 6,200 | | | | | VERIFICATO |
| 56 | 3,10 | 8,34 | 181 | 368 | 2 | 25 | 19,906 | 10,480 | | | | | NON VERIFICATO |
| 57 | 0,00 | 3,10 | 16 | 183 | 2 | 31 | 2,689 | 6,200 | | | | | VERIFICATO |
| 57 | 3,10 | 8,34 | 183 | 370 | 2 | 25 | 19,113 | 10,480 | | | | | NON VERIFICATO |
| 58 | 0,00 | 3,10 | 17 | 184 | 2 | 31 | 2,734 | 6,200 | | | | | VERIFICATO |
| 59 | 0,00 | 3,10 | 18 | 185 | 2 | 31 | 2,842 | 6,200 | | | | | VERIFICATO |
| 60 | 0,00 | 3,10 | 19 | 186 | 2 | 31 | 2,905 | 6,200 | | | | | VERIFICATO |
| 60 | 3,10 | 8,34 | 186 | 371 | 2 | 25 | 18,312 | 10,480 | | | | | NON VERIFICATO |
| 61 | 0,00 | 3,10 | 21 | 188 | 2 | 31 | 3,099 | 6,200 | | | | | VERIFICATO |
| 61 | 3,10 | 8,34 | 188 | 373 | 2 | 25 | 17,882 | 10,480 | | | | | NON VERIFICATO |
| 62 | 0,00 | 3,10 | 22 | 189 | 2 | 31 | 3,270 | 6,200 | | | | | VERIFICATO |
| 63 | 0,00 | 3,10 | 23 | 190 | 2 | 31 | 3,302 | 6,200 | | | | | VERIFICATO |
| 63 | 3,10 | 8,34 | 190 | 374 | 2 | 24 | 18,175 | 10,480 | | | | | NON VERIFICATO |
| 64 | 0,00 | 3,10 | 24 | 191 | 2 | 31 | 3,483 | 6,200 | | | | | VERIFICATO |
| 64 | 3,10 | 8,34 | 191 | 375 | 2 | 24 | 18,477 | 10,480 | | | | | NON VERIFICATO |
| 65 | 0,00 | 3,10 | 25 | 192 | 2 | 31 | 3,671 | 6,200 | | | | | VERIFICATO |
| 65 | 3,10 | 8,34 | 192 | 376 | 2 | 24 | 18,784 | 10,480 | | | | | NON VERIFICATO |
| 66 | 0,00 | 3,10 | 26 | 193 | 2 | 31 | 3,873 | 6,200 | | | | | VERIFICATO |
| 67 | 0,00 | 3,10 | 28 | 195 | 2 | 31 | 4,052 | 6,200 | | | | | VERIFICATO |
| 67 | 3,10 | 8,34 | 195 | 378 | 2 | 24 | 19,396 | 10,480 | | | | | NON VERIFICATO |
| 68 | 0,00 | 3,10 | 29 | 196 | 2 | 31 | 4,180 | 6,200 | | | | | VERIFICATO |
| 68 | 3,10 | 8,34 | 196 | 379 | 2 | 24 | 19,598 | 10,480 | | | | | NON VERIFICATO |
| 69 | 0,00 | 3,10 | 30 | 197 | 2 | 31 | 4,416 | 6,200 | | | | | VERIFICATO |
| 69 | 3,10 | 8,34 | 197 | 380 | 2 | 24 | 19,967 | 10,480 | | | | | NON VERIFICATO |
| 70 | 0,00 | 3,10 | 31 | 198 | 2 | 31 | 4,572 | 6,200 | | | | | VERIFICATO |
| 70 | 3,10 | 8,34 | 198 | 381 | 2 | 24 | 20,208 | 10,480 | | | | | NON VERIFICATO |
| 71 | 0,00 | 3,10 | 32 | 199 | 2 | 31 | 4,729 | 6,200 | | | | | VERIFICATO |
| 71 | 3,10 | 8,34 | 199 | 382 | 2 | 24 | 20,451 | 10,480 | | | | | NON VERIFICATO |
| 72 | 0,00 | 3,10 | 33 | 200 | 2 | 31 | 4,973 | 6,200 | | | | | VERIFICATO |
| 72 | 3,10 | 8,34 | 200 | 383 | 2 | 28 | 20,827 | 10,480 | | | | | NON VERIFICATO |
| 73 | 0,00 | 3,10 | 34 | 201 | 2 | 31 | 5,121 | 6,200 | | | | | VERIFICATO |
| 73 | 3,10 | 8,34 | 201 | 384 | 2 | 28 | 21,067 | 10,480 | | | | | NON VERIFICATO |
| 74 | 0,00 | 3,10 | 37 | 307 | 1 | 3 | 1,767 | 6,200 | | | | | VERIFICATO |
| 74 | 3,10 | 8,34 | 307 | 396 | 2 | 34 | 28,221 | 10,480 | | | | | NON VERIFICATO |
| 75 | 0,00 | 3,10 | 38 | 308 | 1 | 3 | 1,872 | 6,200 | | | | | VERIFICATO |
| 75 | 3,10 | 8,34 | 308 | 397 | 2 | 34 | 28,132 | 10,480 | | | | | NON VERIFICATO |
| 76 | 0,00 | 3,10 | 40 | 304 | 1 | 3 | 1,999 | 6,200 | | | | | VERIFICATO |
| 76 | 3,10 | 8,34 | 304 | 393 | 2 | 34 | 28,056 | 10,480 | | | | | NON VERIFICATO |
| 77 | 0,00 | 3,10 | 41 | 305 | 2 | 31 | 2,132 | 6,200 | | | | | VERIFICATO |
| 77 | 3,10 | 8,34 | 305 | 394 | 2 | 34 | 27,904 | 10,480 | | | | | NON VERIFICATO |
| 78 | 0,00 | 3,10 | 42 | 306 | 2 | 31 | 2,289 | 6,200 | | | | | VERIFICATO |
| 78 | 3,10 | 8,34 | 306 | 395 | 2 | 34 | 27,896 | 10,480 | | | | | NON VERIFICATO |
| 79 | 0,00 | 3,10 | 43 | 204 | 1 | 3 | 1,802 | 6,200 | | | | | VERIFICATO |
| 80 | 0,00 | 3,10 | 44 | 205 | 1 | 3 | 1,731 | 6,200 | | | | | VERIFICATO |
| 81 | 0,00 | 3,10 | 45 | 206 | 1 | 3 | 1,711 | 6,200 | | | | | VERIFICATO |
| 82 | 0,00 | 3,10 | 50 | 211 | 2 | 31 | 2,043 | 6,200 | | | | | VERIFICATO |
| 83 | 0,00 | 3,10 | 51 | 212 | 2 | 31 | 2,192 | 6,200 | | | | | VERIFICATO |
| 84 | 0,00 | 3,10 | 52 | 213 | 2 | 31 | 2,321 | 6,200 | | | | | VERIFICATO |
| 85 | 0,00 | 3,10 | 54 | 215 | 2 | 31 | 2,494 | 6,200 | | | | | VERIFICATO |
| 85 | 3,10 | 8,34 | 215 | 494 | 2 | 24 | 17,595 | 10,480 | | | | | NON VERIFICATO |
| 86 | 0,00 | 3,10 | 57 | 218 | 2 | 31 | 3,772 | 6,200 | | | | | VERIFICATO |
| 86 | 3,10 | 8,34 | 218 | 498 | 2 | 24 | 19,436 | 10,480 | | | | | NON VERIFICATO |
| 87 | 0,00 | 3,10 | 58 | 219 | 2 | 31 | 3,817 | 6,200 | | | | | VERIFICATO |
| 87 | 3,10 | 8,34 | 219 | 499 | 2 | 24 | 19,501 | 10,480 | | | | | NON VERIFICATO |
| 88 | 0,00 | 3,10 | 59 | 220 | 2 | 31 | 3,936 | 6,200 | | | | | VERIFICATO |
| 89 | 0,00 | 3,10 | 61 | 312 | 1 | 3 | 1,700 | 6,200 | | | | | VERIFICATO |
| 89 | 3,10 | 8,34 | 312 | 483 | 2 | 34 | 21,580 | 10,480 | | | | | NON VERIFICATO |
| 90 | 0,00 | 3,10 | 64 | 318 | 2 | 31 | 3,172 | 6,200 | | | | | VERIFICATO |
| 90 | 3,10 | 8,34 | 318 | 490 | 2 | 24 | 18,566 | 10,480 | | | | | NON VERIFICATO |
| 91 | 0,00 | 3,10 | 66 | 320 | 2 | 31 | 3,307 | 6,200 | | | | | VERIFICATO |
| 91 | 3,10 | 8,34 | 320 | 496 | 2 | 24 | 18,762 | 10,480 | | | | | NON VERIFICATO |
| 92 | 0,00 | 3,10 | 67 | 321 | 2 | 31 | 3,481 | 6,200 | | | | | VERIFICATO |
| 92 | 3,10 | 8,34 | 321 | 497 | 2 | 24 | 19,015 | 10,480 | | | | | NON VERIFICATO |
| 93 | 0,00 | 3,10 | 69 | 322 | 2 | 31 | 4,343 | 6,200 | | | | | VERIFICATO |
| 93 | 3,10 | 8,34 | 322 | 500 | 2 | 24 | 20,260 | 10,480 | | | | | NON VERIFICATO |

C.D.S.

SPOSTAMENTI SISMICI RELATIVI

| IDENTIFICATIVO | | | | | INVILUPPO S.L.D. | | | | INVILUPPO S.L.O. | | | | Stringa di Controllo Verifica |
|----------------|----------------|----------------|----------------|----------------|------------------|-------------|-----------------------|----------------------|------------------|-------------|-----------------------|----------------------|-------------------------------|
| Filo N.ro | Quota inf. (m) | Quota sup. (m) | Nodo inf. N.ro | Nodo sup. N.ro | Sis ma Nro | Com bin Nro | Spostam. Calcolo (mm) | Spostam. Limite (mm) | Sis ma Nro | Com bin Nro | Spostam. Calcolo (mm) | Spostam. Limite (mm) | |
| 94 | 0,00 | 3,10 | 70 | 323 | 2 | 31 | 4,667 | 6,200 | | | | | VERIFICATO |
| 94 | 3,10 | 8,34 | 323 | 501 | 2 | 28 | 20,742 | 10,480 | | | | | NON VERIFICATO |
| 95 | 0,00 | 3,10 | 72 | 287 | 2 | 31 | 5,030 | 6,200 | | | | | VERIFICATO |
| 95 | 3,10 | 8,34 | 287 | 431 | 2 | 28 | 21,230 | 10,480 | | | | | NON VERIFICATO |
| 96 | 0,00 | 3,10 | 73 | 288 | 2 | 31 | 5,047 | 6,200 | | | | | VERIFICATO |
| 96 | 3,10 | 8,34 | 288 | 432 | 2 | 28 | 21,225 | 10,480 | | | | | NON VERIFICATO |
| 97 | 0,00 | 3,10 | 74 | 289 | 2 | 31 | 5,087 | 6,200 | | | | | VERIFICATO |
| 98 | 0,00 | 3,10 | 75 | 290 | 2 | 31 | 5,130 | 6,200 | | | | | VERIFICATO |
| 98 | 3,10 | 8,34 | 290 | 433 | 2 | 28 | 21,348 | 10,480 | | | | | NON VERIFICATO |
| 99 | 0,00 | 3,10 | 76 | 291 | 2 | 31 | 5,197 | 6,200 | | | | | VERIFICATO |
| 99 | 3,10 | 8,34 | 291 | 434 | 2 | 28 | 21,325 | 10,480 | | | | | NON VERIFICATO |
| 100 | 0,00 | 3,10 | 78 | 292 | 2 | 31 | 4,914 | 6,200 | | | | | VERIFICATO |
| 100 | 3,10 | 8,34 | 292 | 436 | 2 | 28 | 21,278 | 10,480 | | | | | NON VERIFICATO |
| 101 | 0,00 | 3,10 | 79 | 293 | 2 | 31 | 4,976 | 6,200 | | | | | VERIFICATO |
| 101 | 3,10 | 8,34 | 293 | 437 | 2 | 28 | 21,249 | 10,480 | | | | | NON VERIFICATO |
| 102 | 0,00 | 3,10 | 81 | 281 | 2 | 31 | 4,824 | 6,200 | | | | | VERIFICATO |
| 102 | 3,10 | 8,34 | 281 | 438 | 2 | 28 | 21,368 | 10,480 | | | | | NON VERIFICATO |
| 103 | 0,00 | 3,10 | 82 | 282 | 2 | 31 | 4,847 | 6,200 | | | | | VERIFICATO |
| 103 | 3,10 | 8,34 | 282 | 439 | 2 | 28 | 21,343 | 10,480 | | | | | NON VERIFICATO |
| 104 | 0,00 | 3,10 | 83 | 283 | 2 | 31 | 4,855 | 6,200 | | | | | VERIFICATO |
| 105 | 0,00 | 3,10 | 84 | 284 | 2 | 31 | 4,869 | 6,200 | | | | | VERIFICATO |
| 105 | 3,10 | 8,34 | 284 | 440 | 2 | 28 | 21,310 | 10,480 | | | | | NON VERIFICATO |
| 106 | 0,00 | 3,10 | 85 | 285 | 2 | 31 | 4,876 | 6,200 | | | | | VERIFICATO |
| 106 | 3,10 | 8,34 | 285 | 441 | 2 | 28 | 21,304 | 10,480 | | | | | NON VERIFICATO |
| 107 | 0,00 | 3,10 | 86 | 222 | 1 | 3 | 1,698 | 6,200 | | | | | VERIFICATO |
| 107 | 3,10 | 8,34 | 222 | 465 | 2 | 34 | 27,877 | 10,480 | | | | | NON VERIFICATO |
| 108 | 0,00 | 3,10 | 87 | 223 | 1 | 3 | 1,668 | 6,200 | | | | | VERIFICATO |
| 108 | 3,10 | 8,34 | 223 | 466 | 2 | 34 | 27,496 | 10,480 | | | | | NON VERIFICATO |
| 109 | 0,00 | 3,10 | 88 | 224 | 1 | 3 | 1,627 | 6,200 | | | | | VERIFICATO |
| 109 | 3,10 | 8,34 | 224 | 467 | 2 | 34 | 26,916 | 10,480 | | | | | NON VERIFICATO |
| 110 | 0,00 | 3,10 | 89 | 225 | 1 | 3 | 1,597 | 6,200 | | | | | VERIFICATO |
| 110 | 3,10 | 8,34 | 225 | 468 | 2 | 34 | 26,445 | 10,480 | | | | | NON VERIFICATO |
| 111 | 0,00 | 3,10 | 91 | 227 | 1 | 3 | 1,537 | 6,200 | | | | | VERIFICATO |
| 111 | 3,10 | 8,34 | 227 | 477 | 2 | 34 | 25,254 | 10,480 | | | | | NON VERIFICATO |
| 112 | 0,00 | 3,10 | 92 | 228 | 1 | 3 | 1,519 | 6,200 | | | | | VERIFICATO |
| 112 | 3,10 | 8,34 | 228 | 478 | 2 | 34 | 24,750 | 10,480 | | | | | NON VERIFICATO |
| 113 | 0,00 | 3,10 | 93 | 229 | 1 | 3 | 1,503 | 6,200 | | | | | VERIFICATO |
| 113 | 3,10 | 8,34 | 229 | 479 | 2 | 34 | 24,261 | 10,480 | | | | | NON VERIFICATO |
| 114 | 0,00 | 3,10 | 94 | 230 | 1 | 3 | 1,493 | 6,200 | | | | | VERIFICATO |
| 114 | 3,10 | 8,34 | 230 | 480 | 2 | 34 | 23,545 | 10,480 | | | | | NON VERIFICATO |
| 115 | 0,00 | 3,10 | 97 | 238 | 1 | 3 | 1,490 | 6,200 | | | | | VERIFICATO |
| 115 | 3,10 | 8,34 | 238 | 471 | 2 | 34 | 21,728 | 10,480 | | | | | NON VERIFICATO |
| 116 | 0,00 | 3,10 | 98 | 239 | 1 | 3 | 1,490 | 6,200 | | | | | VERIFICATO |
| 116 | 3,10 | 8,34 | 239 | 472 | 2 | 34 | 21,168 | 10,480 | | | | | NON VERIFICATO |
| 117 | 0,00 | 3,10 | 99 | 240 | 1 | 3 | 1,490 | 6,200 | | | | | VERIFICATO |
| 117 | 3,10 | 8,34 | 240 | 473 | 2 | 34 | 20,808 | 10,480 | | | | | NON VERIFICATO |
| 118 | 0,00 | 3,10 | 100 | 241 | 1 | 3 | 1,490 | 6,200 | | | | | VERIFICATO |
| 118 | 3,10 | 8,34 | 241 | 474 | 2 | 34 | 20,450 | 10,480 | | | | | NON VERIFICATO |
| 119 | 0,00 | 3,10 | 101 | 242 | 1 | 3 | 1,490 | 6,200 | | | | | VERIFICATO |
| 119 | 3,10 | 8,34 | 242 | 475 | 2 | 34 | 19,777 | 10,480 | | | | | NON VERIFICATO |
| 120 | 0,00 | 3,10 | 102 | 243 | 1 | 3 | 1,490 | 6,200 | | | | | VERIFICATO |
| 120 | 3,10 | 8,34 | 243 | 476 | 2 | 25 | 18,985 | 10,480 | | | | | NON VERIFICATO |
| 121 | 0,00 | 3,10 | 104 | 233 | 2 | 31 | 1,854 | 6,200 | | | | | VERIFICATO |
| 122 | 0,00 | 3,10 | 105 | 234 | 2 | 31 | 2,023 | 6,200 | | | | | VERIFICATO |
| 123 | 0,00 | 3,10 | 106 | 235 | 2 | 31 | 2,138 | 6,200 | | | | | VERIFICATO |
| 124 | 0,00 | 3,10 | 110 | 245 | 2 | 31 | 3,722 | 6,200 | | | | | VERIFICATO |
| 124 | 3,10 | 8,34 | 245 | 457 | 2 | 24 | 19,593 | 10,480 | | | | | NON VERIFICATO |
| 125 | 0,00 | 3,10 | 111 | 246 | 2 | 31 | 3,906 | 6,200 | | | | | VERIFICATO |
| 125 | 3,10 | 8,34 | 246 | 458 | 2 | 24 | 19,850 | 10,480 | | | | | NON VERIFICATO |
| 126 | 0,00 | 3,10 | 113 | 276 | 2 | 31 | 4,094 | 6,200 | | | | | VERIFICATO |
| 126 | 3,10 | 8,34 | 276 | 460 | 2 | 24 | 20,113 | 10,480 | | | | | NON VERIFICATO |
| 127 | 0,00 | 3,10 | 114 | 277 | 2 | 31 | 4,299 | 6,200 | | | | | VERIFICATO |
| 127 | 3,10 | 8,34 | 277 | 461 | 2 | 24 | 20,400 | 10,480 | | | | | NON VERIFICATO |
| 128 | 0,00 | 3,10 | 115 | 278 | 2 | 31 | 4,597 | 6,200 | | | | | VERIFICATO |
| 128 | 3,10 | 8,34 | 278 | 462 | 2 | 28 | 20,839 | 10,480 | | | | | NON VERIFICATO |
| 129 | 0,00 | 3,10 | 118 | 266 | 1 | 8 | 1,420 | 6,200 | | | | | VERIFICATO |
| 129 | 3,10 | 8,34 | 266 | 401 | 2 | 34 | 22,320 | 10,480 | | | | | NON VERIFICATO |
| 130 | 0,00 | 3,10 | 119 | 267 | 1 | 8 | 1,458 | 6,200 | | | | | VERIFICATO |
| 130 | 3,10 | 8,34 | 267 | 402 | 2 | 34 | 21,698 | 10,480 | | | | | NON VERIFICATO |
| 131 | 0,00 | 3,10 | 120 | 268 | 1 | 8 | 1,543 | 6,200 | | | | | VERIFICATO |
| 131 | 3,10 | 8,34 | 268 | 403 | 2 | 34 | 20,685 | 10,480 | | | | | NON VERIFICATO |
| 132 | 0,00 | 3,10 | 122 | 252 | 2 | 31 | 1,609 | 6,200 | | | | | VERIFICATO |
| 132 | 3,10 | 8,34 | 252 | 405 | 2 | 34 | 18,721 | 10,480 | | | | | NON VERIFICATO |

C.D.S.

SPOSTAMENTI SISMICI RELATIVI

| IDENTIFICATIVO | | | | | INVILUPPO S.L.D. | | | | INVILUPPO S.L.O. | | | | Stringa di Controllo Verifica |
|----------------|----------------|----------------|----------------|----------------|------------------|-------------|-----------------------|----------------------|------------------|-------------|-----------------------|----------------------|-------------------------------|
| Filo N.ro | Quota inf. (m) | Quota sup. (m) | Nodo inf. N.ro | Nodo sup. N.ro | Sis ma Nro | Com bin Nro | Spostam. Calcolo (mm) | Spostam. Limite (mm) | Sis ma Nro | Com bin Nro | Spostam. Calcolo (mm) | Spostam. Limite (mm) | |
| 133 | 0,00 | 3,10 | 123 | 253 | 2 | 31 | 1,776 | 6,200 | | | | | VERIFICATO |
| 134 | 0,00 | 3,10 | 124 | 254 | 2 | 31 | 1,943 | 6,200 | | | | | VERIFICATO |
| 134 | 3,10 | 8,34 | 254 | 406 | 2 | 34 | 17,950 | 10,480 | | | | | NON VERIFICATO |
| 135 | 0,00 | 3,10 | 126 | 262 | 2 | 31 | 2,360 | 6,200 | | | | | VERIFICATO |
| 135 | 3,10 | 8,34 | 262 | 408 | 2 | 24 | 18,046 | 10,480 | | | | | NON VERIFICATO |
| 136 | 0,00 | 3,10 | 127 | 263 | 2 | 31 | 2,635 | 6,200 | | | | | VERIFICATO |
| 136 | 3,10 | 8,34 | 263 | 409 | 2 | 24 | 18,396 | 10,480 | | | | | NON VERIFICATO |
| 137 | 0,00 | 3,10 | 128 | 264 | 2 | 31 | 2,846 | 6,200 | | | | | VERIFICATO |
| 137 | 3,10 | 8,34 | 264 | 410 | 2 | 24 | 18,670 | 10,480 | | | | | NON VERIFICATO |
| 138 | 0,00 | 3,10 | 131 | 280 | 2 | 31 | 3,960 | 6,200 | | | | | VERIFICATO |
| 139 | 0,00 | 3,10 | 132 | 257 | 2 | 31 | 4,107 | 6,200 | | | | | VERIFICATO |
| 139 | 3,10 | 8,34 | 257 | 426 | 2 | 24 | 20,356 | 10,480 | | | | | NON VERIFICATO |
| 140 | 0,00 | 3,10 | 133 | 258 | 2 | 31 | 4,243 | 6,200 | | | | | VERIFICATO |
| 141 | 0,00 | 3,10 | 134 | 259 | 2 | 31 | 4,379 | 6,200 | | | | | VERIFICATO |
| 141 | 3,10 | 8,34 | 259 | 427 | 2 | 28 | 20,742 | 10,480 | | | | | NON VERIFICATO |
| 142 | 0,00 | 3,10 | 135 | 260 | 2 | 31 | 4,601 | 6,200 | | | | | VERIFICATO |
| 142 | 3,10 | 8,34 | 260 | 428 | 2 | 28 | 21,068 | 10,480 | | | | | NON VERIFICATO |
| 143 | 0,00 | 3,10 | 136 | 269 | 1 | 8 | 1,385 | 6,200 | | | | | VERIFICATO |
| 143 | 3,10 | 8,34 | 269 | 399 | 2 | 34 | 22,917 | 10,480 | | | | | NON VERIFICATO |
| 144 | 0,00 | 3,10 | 138 | 271 | 1 | 3 | 1,325 | 6,200 | | | | | VERIFICATO |
| 145 | 0,00 | 3,10 | 140 | 273 | 2 | 31 | 2,090 | 6,200 | | | | | VERIFICATO |
| 145 | 3,10 | 8,34 | 273 | 508 | 2 | 24 | 17,693 | 10,480 | | | | | NON VERIFICATO |
| 146 | 0,00 | 3,10 | 142 | 314 | 2 | 31 | 2,145 | 6,200 | | | | | VERIFICATO |
| 146 | 3,10 | 8,34 | 314 | 486 | 2 | 24 | 17,655 | 10,480 | | | | | NON VERIFICATO |
| 147 | 0,00 | 3,10 | 144 | 316 | 2 | 31 | 2,192 | 6,200 | | | | | VERIFICATO |
| 147 | 3,10 | 8,34 | 316 | 509 | 2 | 24 | 17,620 | 10,480 | | | | | NON VERIFICATO |
| 148 | 0,00 | 3,10 | 145 | 275 | 2 | 31 | 3,093 | 6,200 | | | | | VERIFICATO |
| 148 | 3,10 | 8,34 | 275 | 488 | 2 | 24 | 18,881 | 10,480 | | | | | NON VERIFICATO |
| 149 | 0,00 | 3,10 | 146 | 324 | 1 | 3 | 1,700 | 6,200 | | | | | VERIFICATO |
| 149 | 3,10 | 8,34 | 324 | 502 | 2 | 34 | 20,744 | 10,480 | | | | | NON VERIFICATO |
| 150 | 0,00 | 3,10 | 147 | 325 | 1 | 3 | 1,700 | 6,200 | | | | | VERIFICATO |
| 150 | 3,10 | 8,34 | 325 | 503 | 2 | 34 | 20,500 | 10,480 | | | | | NON VERIFICATO |
| 151 | 0,00 | 3,10 | 148 | 326 | 1 | 3 | 1,700 | 6,200 | | | | | VERIFICATO |
| 152 | 0,00 | 3,10 | 149 | 327 | 2 | 31 | 1,713 | 6,200 | | | | | VERIFICATO |
| 153 | 0,00 | 3,10 | 151 | 329 | 2 | 31 | 1,951 | 6,200 | | | | | VERIFICATO |
| 153 | 3,10 | 8,34 | 329 | 505 | 2 | 25 | 18,878 | 10,480 | | | | | NON VERIFICATO |
| 154 | 0,00 | 3,10 | 152 | 330 | 2 | 31 | 2,685 | 6,200 | | | | | VERIFICATO |
| 154 | 3,10 | 8,34 | 330 | 506 | 2 | 24 | 17,863 | 10,480 | | | | | NON VERIFICATO |
| 155 | 0,00 | 3,10 | 153 | 331 | 2 | 31 | 3,070 | 6,200 | | | | | VERIFICATO |
| 155 | 3,10 | 8,34 | 331 | 507 | 2 | 24 | 18,418 | 10,480 | | | | | NON VERIFICATO |
| 156 | 0,00 | 3,10 | 154 | 298 | 2 | 31 | 2,278 | 6,200 | | | | | VERIFICATO |
| 156 | 3,10 | 8,34 | 298 | 445 | 2 | 25 | 19,229 | 10,480 | | | | | NON VERIFICATO |
| 157 | 0,00 | 3,10 | 155 | 272 | 2 | 31 | 1,589 | 6,200 | | | | | VERIFICATO |
| 157 | 3,10 | 8,34 | 272 | 442 | 2 | 25 | 18,585 | 10,480 | | | | | NON VERIFICATO |
| 158 | 0,00 | 3,10 | 156 | 297 | 2 | 31 | 2,696 | 6,200 | | | | | VERIFICATO |
| 158 | 3,10 | 8,34 | 297 | 447 | 2 | 25 | 17,874 | 10,480 | | | | | NON VERIFICATO |
| 159 | 0,00 | 3,10 | 157 | 310 | 1 | 3 | 1,550 | 6,200 | | | | | VERIFICATO |
| 160 | 0,00 | 3,10 | 158 | 311 | 1 | 3 | 1,646 | 6,200 | | | | | VERIFICATO |
| 161 | 0,00 | 3,10 | 159 | 294 | 2 | 31 | 3,715 | 6,200 | | | | | VERIFICATO |
| 161 | 3,10 | 8,34 | 294 | 464 | 2 | 24 | 19,243 | 10,480 | | | | | NON VERIFICATO |
| 162 | 0,00 | 3,10 | 160 | 299 | 2 | 31 | 1,771 | 6,200 | | | | | VERIFICATO |
| 163 | 0,00 | 3,10 | 161 | 300 | 2 | 31 | 1,915 | 6,200 | | | | | VERIFICATO |
| 164 | 0,00 | 3,10 | 162 | 301 | 2 | 31 | 2,283 | 6,200 | | | | | VERIFICATO |
| 165 | 0,00 | 3,10 | 163 | 302 | 2 | 31 | 2,397 | 6,200 | | | | | VERIFICATO |
| 166 | 0,00 | 3,10 | 164 | 295 | 2 | 31 | 3,447 | 6,200 | | | | | VERIFICATO |
| 167 | 0,00 | 3,10 | 165 | 296 | 2 | 31 | 3,492 | 6,200 | | | | | VERIFICATO |
| 168 | 0,00 | 3,10 | 166 | 303 | 1 | 3 | 1,903 | 6,200 | | | | | VERIFICATO |
| 168 | 3,10 | 8,34 | 303 | 519 | 2 | 34 | 22,554 | 10,480 | | | | | NON VERIFICATO |
| 169 | 3,10 | 8,34 | 332 | 449 | 2 | 24 | 17,748 | 10,480 | | | | | NON VERIFICATO |
| 170 | 3,10 | 8,34 | 333 | 450 | 2 | 24 | 17,907 | 10,480 | | | | | NON VERIFICATO |
| 171 | 3,10 | 8,34 | 334 | 451 | 2 | 24 | 18,172 | 10,480 | | | | | NON VERIFICATO |
| 172 | 3,10 | 8,34 | 335 | 452 | 2 | 24 | 18,443 | 10,480 | | | | | NON VERIFICATO |
| 173 | 3,10 | 8,34 | 336 | 453 | 2 | 24 | 18,633 | 10,480 | | | | | NON VERIFICATO |
| 174 | 3,10 | 8,34 | 338 | 412 | 2 | 34 | 27,786 | 10,480 | | | | | NON VERIFICATO |
| 175 | 3,10 | 8,34 | 339 | 413 | 2 | 34 | 27,171 | 10,480 | | | | | NON VERIFICATO |
| 176 | 3,10 | 8,34 | 340 | 414 | 2 | 34 | 26,390 | 10,480 | | | | | NON VERIFICATO |
| 177 | 3,10 | 8,34 | 341 | 415 | 2 | 34 | 25,974 | 10,480 | | | | | NON VERIFICATO |
| 178 | 3,10 | 8,34 | 342 | 416 | 2 | 34 | 25,559 | 10,480 | | | | | NON VERIFICATO |
| 179 | 3,10 | 8,34 | 343 | 417 | 2 | 34 | 24,787 | 10,480 | | | | | NON VERIFICATO |
| 180 | 3,10 | 8,34 | 344 | 418 | 2 | 34 | 24,079 | 10,480 | | | | | NON VERIFICATO |
| 181 | 3,10 | 8,34 | 345 | 387 | 2 | 34 | 28,267 | 10,480 | | | | | NON VERIFICATO |
| 182 | 3,10 | 8,34 | 346 | 388 | 2 | 34 | 28,142 | 10,480 | | | | | NON VERIFICATO |
| 183 | 3,10 | 8,34 | 347 | 389 | 2 | 34 | 28,350 | 10,480 | | | | | NON VERIFICATO |

C.D.S.

| SPOSTAMENTI SISMICI RELATIVI | | | | | | | | | | | | | |
|------------------------------|----------------|----------------|----------------|----------------|------------------|-------------|-----------------------|----------------------|------------------|-------------|-----------------------|----------------------|-------------------------------|
| IDENTIFICATIVO | | | | | INVILUPPO S.L.D. | | | | INVILUPPO S.L.O. | | | | |
| Filo N.ro | Quota inf. (m) | Quota sup. (m) | Nodo inf. N.ro | Nodo sup. N.ro | Sis ma Nro | Com bin Nro | Spostam. Calcolo (mm) | Spostam. Limite (mm) | Sis ma Nro | Com bin Nro | Spostam. Calcolo (mm) | Spostam. Limite (mm) | Stringa di Controllo Verifica |
| 184 | 3,10 | 8,34 | 348 | 390 | 2 | 34 | 28,303 | 10,480 | | | | | NON VERIFICATO |
| 185 | 3,10 | 8,34 | 350 | 421 | 2 | 24 | 19,430 | 10,480 | | | | | NON VERIFICATO |
| 186 | 3,10 | 8,34 | 351 | 422 | 2 | 24 | 19,593 | 10,480 | | | | | NON VERIFICATO |
| 187 | 3,10 | 8,34 | 352 | 423 | 2 | 24 | 19,961 | 10,480 | | | | | NON VERIFICATO |
| 188 | 3,10 | 8,34 | 353 | 425 | 2 | 24 | 19,103 | 10,480 | | | | | NON VERIFICATO |

| BARICENTRI MASSE E RIGIDEZZE | | | | | | | | | | | | | | | |
|------------------------------|-----------|------------------------------|--------|--------|--------|--------|--------|--------|------------------------------------|-------------|----------------|----------------|----------------|----------------------|--|
| IDENTIFICATORE | | BARICENTRI MASSE E RIGIDEZZE | | | | | | | RIGIDEZZE FLESSIONALI E TORSIONALI | | | | | | |
| PIANO N.ro | QUOTA (m) | PESO (t) | XG (m) | YG (m) | XR (m) | YR (m) | DX (m) | DY (m) | Lpianta (m) | Bpianta (m) | Rig.FleX (t/m) | Rig.FleY (t/m) | RigTors. (t'm) | (r/l)s) ² | |
| 1 | 3,10 | 634,78 | 15,66 | 4,91 | 7,97 | 8,34 | -7,69 | 3,43 | 10,91 | 28,89 | 334293 | 1212189 | 24638934 | | |
| 2 | 8,34 | 1206,98 | 14,39 | 5,44 | 14,62 | 6,09 | 0,23 | 0,64 | 10,91 | 28,89 | 33638 | 17250 | 2225646 | | |

| VARIAZIONI MASSE E RIGIDEZZE DI PIANO | | | | | | | | | | | | | | | |
|---------------------------------------|-----------|----------|-------------|--------------------|---------------------|-------------|-------------|------------|-------|--------------------|---------------------|-------------|-------------|------------|-------|
| DIREZIONE X | | | | | | | DIREZIONE Y | | | | | | | | |
| Piano N.ro | Quota (m) | Peso (t) | Variaz. (%) | Tagliante SRSS (t) | Tagliante modale(t) | Spost. (mm) | Klat. (t/m) | Variaz (%) | Teta | Tagliante SRSS (t) | Tagliante modale(t) | Spost. (mm) | Klat. (t/m) | Variaz (%) | Teta |
| 1 | 3,10 | 634,78 | 0,0 | 457,11 | 425,86 | 1,34 | 318531 | 0,0 | 0,120 | 421,12 | 403,42 | 0,51 | 796301 | 0,0 | 0,044 |
| 2 | 8,34 | 1206,98 | 90,1 | 405,55 | 403,71 | 12,02 | 33596 | -89,5 | 0,014 | 386,60 | 386,42 | 22,58 | 17112 | -97,9 | 0,025 |

| PERCENTUALI RIGIDEZZE PILASTRI E SETTI | | | | | | | | | | | | | | | | |
|---|---|---|---|---|---|---|---|---|---|---|---|---|---|---|---|------|
| RAPPORTO DELLE RIGIDEZZE IN DIREZIONE X | | | | | | | RAPPORTO DELLE RIGIDEZZE IN DIREZIONE Y | | | | | | | | | |
| Piano N.r | RigidezzaPilastri ----- Rig.Pil+Rig.Setti | Rigidezza Setti ----- Rig.Pil+Rig.Setti | Rigid.Elem.Second ----- Rig.Pil+Rig.Setti | |
| 1 | 0,00 | 1,00 | 0,00 | 0,00 | 0,00 | 1,00 | 0,00 | 0,00 | 1,00 | 0,00 | 0,00 | 1,00 | 0,00 | 0,00 | 0,00 | |
| 2 | 0,03 | 0,97 | 0,00 | 0,01 | 0,01 | 0,99 | 0,01 | 0,01 | 0,99 | 0,01 | 0,01 | 0,99 | 0,01 | 0,01 | 0,00 | 0,00 |

• **SPECIFICHE CAMPI TABELLA DI STAMPA**

Si riporta appresso la spiegazione delle sigle usate nella tabella di stampa della geometria dei maschi murari

| | |
|----------------|---|
| Quota | : <i>Numero della quota di riferimento, in ordine crescente dal basso verso l'alto</i> |
| Muro | : <i>Numero del maschio murario</i> |
| Xin | : <i>Ascissa del punto iniziale dell'asse del muro in pianta</i> |
| Yin | : <i>Ordinata del punto iniziale dell'asse del muro in pianta</i> |
| Xfin | : <i>Ascissa del punto finale dell'asse del muro in pianta</i> |
| Yfin | : <i>Ordinata del punto finale dell'asse del muro in pianta</i> |
| Hsup | : <i>Altezza della testa del muro rispetto alla fondazione</i> |
| Hinf | : <i>Altezza del piede del muro rispetto alla fondazione</i> |
| Spess | : <i>Spessore del muro</i> |
| Lung | : <i>Lunghezza del muro</i> |
| H mur | : <i>Altezza del muro</i> |
| Ro | : <i>Fattore laterale di vincolo</i> |
| Lambda | : <i>Snellezza del muro</i> $Ro \times \frac{H_{mur}}{Spess}$ |
| Mat | : <i>Numero del materiale di cui Š costituito il muro</i> |
| Pia Sup | : <i>Numero del piano a comportamento rigido cui il muro è saldamente collegato in testa. Lo zero sta a indicare che il muro non è collegato in testa a nessun impalcato rigido</i> |
| Pia Inf | : <i>Numero del piano a comportamento rigido cui il muro è saldamente collegato al piede. Lo zero sta a indicare che il muro non è collegato al piede a nessun impalcato rigido</i> |
| Asta | : <i>Numero dell'asta 3D corrispondente al muro nel modello utilizzato per il calcolo agli elementi finiti</i> |

¶ SPECIFICHE CAMPI TABELLA DI STAMPA

Si riporta appresso la spiegazione delle sigle usate nella tabella di stampa della verifica statica a flessione dei maschi murari:

| | |
|----------------|--|
| Quota | : Numero della quota di riferimento, in ordine crescente dal basso verso l'alto |
| Muro | : Numero del maschio murario |
| Sez. | : Sezione di verifica |
| Cmb fle | : Combinazione di carico più gravosa per la verifica |
| N | : Sforzo normale complessivo di calcolo agente sul muro |
| Mx | : Momento flettente complessivo di calcolo agente sul muro con asse vettore parallelo al piano medio |
| ecc.A | : Eccentricità trasversale accidentale, pari a 1/200 dell'altezza di interpiano |
| ecc.V | : Eccentricità trasversale M_x / N dovuta all'azione del vento o alla spinta di un terrapieno |
| ecc.X | : Eccentricità teorica di calcolo complessiva M_x / N |
| m.X | : $6 \times \frac{\text{ecc.}X}{\text{Spessore}}$ Coefficiente di eccentricità, pari a |
| FI.X | : Coefficiente di riduzione FI relativo a M_x |
| My | : Momento flettente complessivo di calcolo agente sul muro con asse vettore ortogonale al piano medio |
| ecc.Y | : Eccentricità teorica di calcolo complessiva M_y / N |
| m.Y | : $6 \times \frac{\text{ecc.}Y}{\text{Lunghezza}}$ Coefficiente di eccentricità, pari a |
| FI.Y | : Coefficiente di riduzione FI relativo a M_y |
| s max | : Tensione normale di calcolo nella sezione. Se=-99.99 la sezione e' completamente parzializzata (la sezione non verifica e non e' possibile calcolare la tensione). |
| s lim | : Tensione normale limite ammessa dal materiale |

• **SPECIFICHE CAMPI TABELLA DI STAMPA**

Si riporta appresso la spiegazione delle sigle usate nella tabella di stampa della verifica per sisma ortogonale dei maschi murari.

| | |
|----------------------|--|
| Quota | : <i>Numero della quota di riferimento, in ordine crescente dal basso verso l'alto</i> |
| Muro | : <i>Numero del maschio murario</i> |
| Sez. | : <i>Sezione di verifica</i> |
| Cmb ort | : <i>Combinazione di carico più gravosa per la verifica</i> |
| Coeff. sicur. | : <i>Coefficiente di sicurezza</i> |
| Nru | : <i>Sforzo normale ultimo complessivo del muro associato all'eccentricità di calcolo</i> |
| Vru | : <i>Taglio ultimo complessivo del muro</i> |
| Mrù | : <i>Momento flettente ultimo complessivo del muro associato all'eccentricità di calcolo</i> |
| Nd | : <i>Sforzo normale complessivo di calcolo agente sul muro</i> |
| Vd | : <i>Taglio complessivo di calcolo agente sul muro</i> |
| Md | : <i>Momento flettente complessivo di calcolo agente sul muro</i> |
| PGA | : <i>Accelerazione sismica al suolo necessaria per provocare il collasso del muro per sisma ortogonale (qualora richiesta per edifici esistenti)</i> |

• **SPECIFICHE CAMPI TABELLA DI STAMPA**

Si riporta appresso la spiegazione delle sigle usate nella tabella di stampa della verifica dei meccanismi locali di collasso delle murature.

| | |
|-------------------|---|
| Forza n. | : <i>Numero della singola azione ribaltante o stabilizzante</i> |
| Tipo forza | : <i>Tipo di azione considerata</i> |
| Quota n. | : <i>Quota di appartenenza del setto associato all'azione</i> |
| Setto n. | : <i>Numero del setto associato all'azione</i> |
| Asta n. | : <i>Numero dell'asta spaziale associata all'azione</i> |
| Fv stat | : <i>Componente verticale statica dell'azione</i> |
| Fo stat | : <i>Componente orizzontale statica dell'azione</i> |
| Fo sism | : <i>Componente orizzontale sismica per accelerazione unitaria</i> |
| Xg | : <i>Coordinata X globale del punto di applicazione dell'azione</i> |
| Yg | : <i>Coordinata Y globale del punto di applicazione dell'azione</i> |
| Zg | : <i>Coordinata Z globale del punto di applicazione dell'azione</i> |
| b oriz | : <i>Braccio dell'azione orizzontale</i> |
| b vert | : <i>Braccio dell'azione verticale</i> |

C.D.S.

| VERIFICA STATICÀ A FLESSIONE | | | | | | | | | | | | | | | | | |
|------------------------------|--------------|--------------------|----------|------------|---------------|---------------|---------------|------|------|------------|---------------|------|------|-------------------------------------|-------------------------------------|-------------------------|----------|
| VERIFICA STATICA A FLESSIONE | | | | | | | | | | | | | | | | | |
| Quota N.ro | Muro N.ro | Sez. Cmb fle | N (t) | Mx (tm) | ecc.A (cm) | ecc.V (cm) | ecc.X (cm) | m.X | FI.X | My (tm) | ecc.Y (cm) | m.Y | FI.Y | σ max (t/m ²) | σ lim (t/m ²) | STRINGA DI CONTROLLO | |
| 1 | 16 | Testa | 1 | 53,97 | 0,00 | 1,4 | 0,0 | 1,4 | 0,15 | 0,89 | 0,00 | 0,0 | 0,00 | 1,00 | 23,24 | 110,72 | OK |
| | | Mezz. | 1 | 63,44 | 0,10 | 0,7 | 0,0 | 1,4 | 0,15 | 0,89 | 0,00 | 0,0 | 0,00 | 1,00 | 27,32 | 110,72 | OK |
| | | Piede | 1 | 72,91 | 0,21 | 0,0 | 0,0 | 1,4 | 0,15 | 0,89 | 8,39 | 11,5 | 0,15 | 0,92 | 34,07 | 110,72 | OK |
| 1 | 17 | Testa | 1 | 2,15 | 0,00 | 1,4 | 0,0 | 1,4 | 0,62 | 0,00 | 0,00 | 0,0 | 0,00 | 1,00 | -99,99 | 110,72 | NO VERIF |
| | | Mezz. | 1 | 2,33 | 0,00 | 0,7 | 0,0 | 1,4 | 0,62 | 0,00 | 0,00 | 0,0 | 0,00 | 1,00 | -99,99 | 110,72 | NO VERIF |
| | | Piede | 1 | 2,50 | 0,00 | 0,0 | 0,0 | 1,4 | 0,62 | 0,00 | 0,01 | 0,4 | 0,07 | 0,97 | -99,99 | 110,72 | NO VERIF |
| 1 | 18 | Testa | 1 | 9,02 | 0,00 | 1,4 | 0,0 | 1,4 | 0,62 | 0,00 | 0,00 | 0,0 | 0,00 | 1,00 | -99,99 | 110,72 | NO VERIF |
| | | Mezz. | 1 | 9,79 | 0,01 | 0,7 | 0,0 | 1,4 | 0,62 | 0,00 | 0,00 | 0,0 | 0,00 | 1,00 | -99,99 | 110,72 | NO VERIF |
| | | Piede | 1 | 10,55 | 0,01 | 0,0 | 0,0 | 1,4 | 0,62 | 0,00 | 0,79 | 7,5 | 0,30 | 0,84 | -99,99 | 110,72 | NO VERIF |
| 1 | 19 | Testa | 1 | 7,90 | 0,47 | 1,4 | 0,0 | 7,4 | 1,06 | 0,49 | 0,00 | 0,0 | 0,00 | 1,00 | 85,09 | 110,72 | OK |
| | | Mezz. | 1 | 8,58 | 0,21 | 0,7 | 0,0 | 3,1 | 0,45 | 0,70 | 0,00 | 0,0 | 0,00 | 1,00 | 65,04 | 110,72 | OK |
| | | Piede | 1 | 9,27 | 0,06 | 0,0 | 0,0 | 1,4 | 0,21 | 0,82 | 0,09 | 1,0 | 0,13 | 0,93 | 63,96 | 110,72 | OK |
| 1 | 20 | Testa | 1 | 28,82 | 1,61 | 1,4 | 0,0 | 7,0 | 1,00 | 0,51 | 0,00 | 0,0 | 0,00 | 1,00 | 90,05 | 110,72 | OK |
| | | Mezz. | 1 | 31,09 | 0,74 | 0,7 | 0,0 | 3,1 | 0,45 | 0,70 | 0,00 | 0,0 | 0,00 | 1,00 | 70,93 | 110,72 | OK |
| | | Piede | 1 | 33,36 | 0,12 | 0,0 | 0,0 | 1,4 | 0,21 | 0,82 | 0,60 | 1,8 | 0,07 | 0,96 | 67,31 | 110,72 | OK |
| 1 | 21 | Testa | 1 | 4,35 | 0,25 | 1,4 | 0,0 | 7,1 | 1,01 | 0,51 | 0,00 | 0,0 | 0,00 | 1,00 | 88,80 | 110,72 | OK |
| | | Mezz. | 1 | 4,70 | 0,11 | 0,7 | 0,0 | 3,2 | 0,45 | 0,70 | 0,00 | 0,0 | 0,00 | 1,00 | 69,80 | 110,72 | OK |
| | | Piede | 1 | 5,05 | 0,02 | 0,0 | 0,0 | 1,4 | 0,21 | 0,82 | 0,00 | 0,1 | 0,02 | 0,99 | 64,42 | 110,72 | OK |
| 1 | 22 | Testa | 1 | 11,24 | 0,28 | 1,4 | 0,0 | 3,9 | 0,56 | 0,65 | 0,00 | 0,0 | 0,00 | 1,00 | 68,38 | 110,72 | OK |
| | | Mezz. | 1 | 12,15 | 0,12 | 0,7 | 0,0 | 1,7 | 0,24 | 0,80 | 0,00 | 0,0 | 0,00 | 1,00 | 59,93 | 110,72 | OK |
| | | Piede | 1 | 13,06 | 0,04 | 0,0 | 0,0 | 1,4 | 0,21 | 0,82 | 0,07 | 0,6 | 0,06 | 0,97 | 64,92 | 110,72 | OK |
| 1 | 23 | Testa | 1 | 16,43 | 1,44 | 1,4 | 0,0 | 10,2 | 1,08 | 0,52 | 0,00 | 0,0 | 0,00 | 1,00 | 52,40 | 110,72 | OK |
| | | Mezz. | 1 | 18,60 | 0,74 | 0,7 | 0,0 | 4,7 | 0,50 | 0,71 | 0,00 | 0,0 | 0,00 | 1,00 | 43,72 | 110,72 | OK |
| | | Piede | 1 | 20,77 | 0,04 | 0,0 | 0,0 | 1,4 | 0,15 | 0,89 | 0,25 | 1,2 | 0,07 | 0,96 | 40,48 | 110,72 | OK |
| 1 | 24 | Testa | 1 | 13,27 | 1,07 | 1,4 | 0,0 | 9,5 | 1,00 | 0,55 | 0,00 | 0,0 | 0,00 | 1,00 | 53,09 | 110,72 | OK |
| | | Mezz. | 1 | 14,92 | 0,55 | 0,7 | 0,0 | 4,4 | 0,46 | 0,73 | 0,00 | 0,0 | 0,00 | 1,00 | 44,93 | 110,72 | OK |
| | | Piede | 1 | 16,58 | 0,02 | 0,0 | 0,0 | 1,4 | 0,15 | 0,89 | 0,12 | 0,7 | 0,06 | 0,97 | 42,08 | 110,72 | OK |
| 1 | 25 | Testa | 1 | 11,26 | 1,05 | 1,4 | 0,0 | 10,8 | 1,13 | 0,51 | 0,00 | 0,0 | 0,00 | 1,00 | 60,09 | 110,72 | OK |
| | | Mezz. | 1 | 12,60 | 0,53 | 0,7 | 0,0 | 4,9 | 0,52 | 0,70 | 0,00 | 0,0 | 0,00 | 1,00 | 48,47 | 110,72 | OK |
| | | Piede | 1 | 13,95 | 0,02 | 0,0 | 0,0 | 1,4 | 0,15 | 0,89 | 0,07 | 0,5 | 0,05 | 0,98 | 43,35 | 110,72 | OK |
| 1 | 26 | Testa | 1 | 17,23 | 1,21 | 1,4 | 0,0 | 8,5 | 0,89 | 0,58 | 0,00 | 0,0 | 0,00 | 1,00 | 54,61 | 110,72 | OK |
| | | Mezz. | 1 | 19,19 | 0,62 | 0,7 | 0,0 | 3,9 | 0,41 | 0,75 | 0,00 | 0,0 | 0,00 | 1,00 | 47,04 | 110,72 | OK |
| | | Piede | 1 | 21,16 | 0,02 | 0,0 | 0,0 | 1,4 | 0,15 | 0,89 | 0,19 | 0,9 | 0,06 | 0,97 | 45,30 | 110,72 | OK |
| 1 | 27 | Testa | 1 | 19,77 | 0,60 | 1,4 | 0,0 | 4,5 | 0,64 | 0,63 | 0,00 | 0,0 | 0,00 | 1,00 | 53,57 | 110,72 | OK |
| | | Mezz. | 1 | 21,91 | 0,30 | 0,7 | 0,0 | 2,1 | 0,30 | 0,77 | 0,00 | 0,0 | 0,00 | 1,00 | 48,10 | 110,72 | OK |
| | | Piede | 1 | 24,04 | 0,01 | 0,0 | 0,0 | 1,4 | 0,21 | 0,82 | 0,39 | 1,6 | 0,07 | 0,96 | 51,57 | 110,72 | OK |
| 1 | 28 | Testa | 1 | 10,13 | 0,28 | 1,4 | 0,0 | 4,2 | 0,60 | 0,64 | 0,00 | 0,0 | 0,00 | 1,00 | 55,49 | 110,72 | OK |
| | | Mezz. | 1 | 11,17 | 0,14 | 0,7 | 0,0 | 2,0 | 0,28 | 0,78 | 0,00 | 0,0 | 0,00 | 1,00 | 49,93 | 110,72 | OK |
| | | Piede | 1 | 12,21 | 0,00 | 0,0 | 0,0 | 1,4 | 0,21 | 0,82 | 0,06 | 0,5 | 0,04 | 0,98 | 53,09 | 110,72 | OK |
| 1 | 29 | Testa | 1 | 15,53 | 0,40 | 1,4 | 0,0 | 4,0 | 0,58 | 0,65 | 0,00 | 0,0 | 0,00 | 1,00 | 57,07 | 110,72 | OK |
| | | Mezz. | 1 | 17,06 | 0,20 | 0,7 | 0,0 | 1,9 | 0,27 | 0,79 | 0,00 | 0,0 | 0,00 | 1,00 | 51,42 | 110,72 | OK |
| | | Piede | 1 | 18,58 | 0,00 | 0,0 | 0,0 | 1,4 | 0,21 | 0,82 | 0,17 | 0,9 | 0,05 | 0,97 | 55,30 | 110,72 | OK |
| 1 | 30 | Testa | 1 | 5,95 | 0,00 | 1,4 | 0,0 | 1,4 | 0,62 | 0,00 | 0,00 | 0,0 | 0,00 | 1,00 | -99,99 | 110,72 | NO VERIF |
| | | Mezz. | 1 | 6,28 | 0,00 | 0,7 | 0,0 | 1,4 | 0,62 | 0,00 | 0,00 | 0,0 | 0,00 | 1,00 | -99,99 | 110,72 | NO VERIF |
| | | Piede | 1 | 6,62 | 0,00 | 0,0 | 0,0 | 1,4 | 0,62 | 0,00 | 0,01 | 0,1 | 0,01 | 1,00 | -99,99 | 110,72 | NO VERIF |
| 1 | 31 | Testa | 1 | 12,92 | 0,00 | 1,4 | 0,0 | 1,4 | 0,62 | 0,00 | 0,00 | 0,0 | 0,00 | 1,00 | -99,99 | 110,72 | NO VERIF |
| | | Mezz. | 1 | 13,53 | 0,00 | 0,7 | 0,0 | 1,4 | 0,62 | 0,00 | 0,00 | 0,0 | 0,00 | 1,00 | -99,99 | 110,72 | NO VERIF |
| | | Piede | 1 | 14,14 | 0,01 | 0,0 | 0,0 | 1,4 | 0,62 | 0,00 | 0,07 | 0,5 | 0,03 | 0,99 | -99,99 | 110,72 | NO VERIF |
| 1 | 32 | Testa | 1 | 14,21 | 0,00 | 1,4 | 0,0 | 1,4 | 0,21 | 0,82 | 0,00 | 0,0 | 0,00 | 1,00 | 51,39 | 110,72 | OK |
| | | Mezz. | 1 | 15,43 | 0,01 | 0,7 | 0,0 | 1,4 | 0,21 | 0,82 | 0,00 | 0,0 | 0,00 | 1,00 | 55,80 | 110,72 | OK |
| | | Piede | 1 | 16,65 | 0,02 | 0,0 | 0,0 | 1,4 | 0,21 | 0,82 | 0,03 | 0,2 | 0,01 | 0,99 | 60,66 | 110,72 | OK |
| 1 | 33 | Testa | 1 | 18,81 | 0,64 | 1,4 | 0,0 | 4,9 | 0,69 | 0,61 | 0,00 | 0,0 | 0,00 | 1,00 | 70,55 | 110,72 | OK |
| | | Mezz. | 1 | 20,39 | 0,31 | 0,7 | 0,0 | 2,2 | 0,32 | 0,76 | 0,00 | 0,0 | 0,00 | 1,00 | 61,02 | 110,72 | OK |
| | | Piede | 1 | 21,97 | 0,03 | 0,0 | 0,0 | 1,4 | 0,21 | 0,82 | 0,07 | 0,3 | 0,02 | 0,99 | 61,69 | 110,72 | OK |
| 1 | 34 | Testa | 1 | 18,44 | 0,68 | 1,4 | 0,0 | 5,1 | 0,73 | 0,60 | 0,00 | 0,0 | 0,00 | 1,00 | 73,31 | 110,72 | OK |
| | | Mezz. | 1 | 19,96 | 0,32 | 0,7 | 0,0 | 2,3 | 0,33 | 0,76 | 0,00 | 0,0 | 0,00 | 1,00 | 62,79 | 110,72 | OK |
| | | Piede | 1 | 21,49 | 0,03 | 0,0 | 0,0 | 1,4 | 0,21 | 0,82 | 0,06 | 0,3 | 0,02 | 0,99 | 62,71 | 110,72 | OK |
| 1 | 35 | Testa | 1 | 21,07 | 0,81 | 1,4 | 0,0 | 5,3 | 0,75 | 0,59 | 0,00 | 0,0 | 0,00 | 1,00 | 75,78 | 110,72 | OK |
| | | Mezz. | 1 | 22,77 | 0,39 | 0,7 | 0,0 | 2,4 | 0,35 | 0,75 | 0,00 | 0,0 | 0,00 | 1,00 | 64,42 | 110,72 | OK |
| | | Piede | 1 | 24,48 | 0,04 | 0,0 | 0,0 | 1,4 | 0,21 | 0,82 | 0,08 | 0,3 | 0,02 | 0,99 | 63,83 | 110,72 | OK |

C.D.S.

| VERIFICA STATICÀ A FLESSIONE | | | | | | | | | | | | | | | | | |
|------------------------------|--------------|--------------------|----------|------------|---------------|---------------|---------------|-----|-------|-------------|---------------|------|-------|-----------------|-----------------|-------------------------|----|
| VERIFICA STATICÀ A FLESSIONE | | | | | | | | | | | | | | | | | |
| Quota N.ro | Muro N.ro | Sez. Cmb fle | N (t) | Mx (tm) | ecc.A (cm) | ecc.V (cm) | ecc.X (cm) | m.X | F.I.X | M.y (tm) | ecc.Y (cm) | m.Y | F.I.Y | σ max (t/m²) | σ lim (t/m²) | STRINGA DI CONTROLLO | |
| 1 | 36 | Testa | 1 | 11,42 | 0,63 | 1,4 | 0,0 | 7,0 | 0,73 | 0,63 | 0,00 | 0,0 | 0,00 | 1,00 | 57,46 | 110,72 | OK |
| | | Mezz. | 1 | 12,56 | 0,32 | 0,7 | 0,0 | 3,3 | 0,34 | 0,79 | 0,00 | 0,0 | 0,00 | 1,00 | 50,71 | 110,72 | OK |
| | | Piede | 1 | 13,69 | 0,01 | 0,0 | 0,0 | 1,4 | 0,15 | 0,89 | 0,04 | 0,3 | 0,03 | 0,98 | 49,99 | 110,72 | OK |
| 1 | 37 | Testa | 1 | 18,26 | 0,66 | 1,4 | 0,0 | 5,1 | 0,53 | 0,70 | 0,00 | 0,0 | 0,00 | 1,00 | 50,97 | 110,72 | OK |
| | | Mezz. | 1 | 20,12 | 0,34 | 0,7 | 0,0 | 2,4 | 0,25 | 0,84 | 0,00 | 0,0 | 0,00 | 1,00 | 46,86 | 110,72 | OK |
| | | Piede | 1 | 21,98 | 0,02 | 0,0 | 0,0 | 1,4 | 0,15 | 0,89 | 0,16 | 0,8 | 0,05 | 0,97 | 49,46 | 110,72 | OK |
| 1 | 38 | Testa | 1 | 10,90 | 0,65 | 1,4 | 0,0 | 7,4 | 0,78 | 0,62 | 0,00 | 0,0 | 0,00 | 1,00 | 56,26 | 110,72 | OK |
| | | Mezz. | 1 | 12,03 | 0,33 | 0,7 | 0,0 | 3,5 | 0,37 | 0,78 | 0,00 | 0,0 | 0,00 | 1,00 | 49,40 | 110,72 | OK |
| | | Piede | 1 | 13,17 | 0,01 | 0,0 | 0,0 | 1,4 | 0,15 | 0,89 | 0,04 | 0,3 | 0,04 | 0,98 | 48,12 | 110,72 | OK |
| 1 | 39 | Testa | 1 | 47,21 | 2,67 | 1,4 | 0,0 | 7,1 | 0,75 | 0,63 | 0,00 | 0,0 | 0,00 | 1,00 | 60,37 | 110,72 | OK |
| | | Mezz. | 1 | 51,72 | 1,34 | 0,7 | 0,0 | 3,3 | 0,35 | 0,79 | 0,00 | 0,0 | 0,00 | 1,00 | 52,86 | 110,72 | OK |
| | | Piede | 1 | 56,22 | 0,01 | 0,0 | 0,0 | 1,4 | 0,15 | 0,89 | 1,40 | 2,5 | 0,07 | 0,96 | 52,75 | 110,72 | OK |
| 1 | 40 | Testa | 1 | 24,39 | 0,00 | 1,4 | 0,0 | 1,4 | 0,15 | 0,89 | 0,00 | 0,0 | 0,00 | 1,00 | 30,06 | 110,72 | OK |
| | | Mezz. | 1 | 27,69 | 0,20 | 0,7 | 0,0 | 1,4 | 0,15 | 0,89 | 0,00 | 0,0 | 0,00 | 1,00 | 34,14 | 110,72 | OK |
| | | Piede | 1 | 31,00 | 0,40 | 0,0 | 0,0 | 1,4 | 0,15 | 0,89 | 0,84 | 2,7 | 0,10 | 0,95 | 40,34 | 110,72 | OK |
| 1 | 41 | Testa | 1 | 13,37 | 0,49 | 1,4 | 0,0 | 5,1 | 0,54 | 0,70 | 0,00 | 0,0 | 0,00 | 1,00 | 39,68 | 110,72 | OK |
| | | Mezz. | 1 | 15,12 | 0,23 | 0,7 | 0,0 | 2,3 | 0,24 | 0,84 | 0,00 | 0,0 | 0,00 | 1,00 | 36,97 | 110,72 | OK |
| | | Piede | 1 | 16,88 | 0,03 | 0,0 | 0,0 | 1,4 | 0,15 | 0,89 | 0,09 | 0,5 | 0,04 | 0,98 | 39,93 | 110,72 | OK |
| 1 | 42 | Testa | 1 | 19,53 | 0,00 | 1,4 | 0,0 | 1,4 | 0,15 | 0,89 | 0,00 | 0,0 | 0,00 | 1,00 | 29,63 | 110,72 | OK |
| | | Mezz. | 1 | 22,22 | 0,03 | 0,7 | 0,0 | 1,4 | 0,15 | 0,89 | 0,00 | 0,0 | 0,00 | 1,00 | 33,71 | 110,72 | OK |
| | | Piede | 1 | 24,90 | 0,05 | 0,0 | 0,0 | 1,4 | 0,15 | 0,89 | 0,27 | 1,1 | 0,05 | 0,97 | 38,79 | 110,72 | OK |
| 1 | 43 | Testa | 1 | 29,61 | 1,08 | 1,4 | 0,0 | 5,1 | 0,54 | 0,70 | 0,00 | 0,0 | 0,00 | 1,00 | 35,00 | 110,72 | OK |
| | | Mezz. | 1 | 34,01 | 0,48 | 0,7 | 0,0 | 2,1 | 0,23 | 0,85 | 0,00 | 0,0 | 0,00 | 1,00 | 32,92 | 110,72 | OK |
| | | Piede | 1 | 38,41 | 0,11 | 0,0 | 0,0 | 1,4 | 0,15 | 0,89 | 0,92 | 2,4 | 0,07 | 0,96 | 36,87 | 110,72 | OK |
| 1 | 44 | Testa | 1 | 33,41 | 1,95 | 1,4 | 0,0 | 7,3 | 0,77 | 0,62 | 0,00 | 0,0 | 0,00 | 1,00 | 47,02 | 110,72 | OK |
| | | Mezz. | 1 | 37,54 | 1,24 | 0,7 | 0,0 | 4,0 | 0,42 | 0,75 | 0,00 | 0,0 | 0,00 | 1,00 | 43,99 | 110,72 | OK |
| | | Piede | 1 | 41,68 | 0,52 | 0,0 | 0,0 | 1,4 | 0,15 | 0,89 | 1,40 | 3,4 | 0,10 | 0,95 | 43,37 | 110,72 | OK |
| 1 | 45 | Testa | 1 | 54,45 | 2,38 | 1,4 | 0,0 | 5,8 | 0,61 | 0,67 | 0,00 | 0,0 | 0,00 | 1,00 | 70,33 | 110,72 | OK |
| | | Mezz. | 1 | 58,63 | 1,18 | 0,7 | 0,0 | 2,7 | 0,29 | 0,82 | 0,00 | 0,0 | 0,00 | 1,00 | 62,20 | 110,72 | OK |
| | | Piede | 1 | 62,80 | 0,02 | 0,0 | 0,0 | 1,4 | 0,15 | 0,89 | 1,14 | 1,8 | 0,05 | 0,97 | 63,09 | 110,72 | OK |
| 1 | 46 | Testa | 1 | 31,71 | 1,79 | 1,4 | 0,0 | 7,1 | 0,75 | 0,63 | 0,00 | 0,0 | 0,00 | 1,00 | 47,78 | 110,72 | OK |
| | | Mezz. | 1 | 35,54 | 0,90 | 0,7 | 0,0 | 3,3 | 0,34 | 0,79 | 0,00 | 0,0 | 0,00 | 1,00 | 42,65 | 110,72 | OK |
| | | Piede | 1 | 39,36 | 0,01 | 0,0 | 0,0 | 1,4 | 0,15 | 0,89 | 1,52 | 3,9 | 0,12 | 0,94 | 44,89 | 110,72 | OK |
| 1 | 47 | Testa | 1 | 24,52 | 1,47 | 1,4 | 0,0 | 7,4 | 0,78 | 0,62 | 0,00 | 0,0 | 0,00 | 1,00 | 41,95 | 110,72 | OK |
| | | Mezz. | 1 | 27,96 | 0,80 | 0,7 | 0,0 | 3,6 | 0,38 | 0,77 | 0,00 | 0,0 | 0,00 | 1,00 | 38,27 | 110,72 | OK |
| | | Piede | 1 | 31,39 | 0,13 | 0,0 | 0,0 | 1,4 | 0,15 | 0,89 | 0,59 | 1,9 | 0,07 | 0,96 | 38,67 | 110,72 | OK |
| 1 | 48 | Testa | 1 | 2,84 | 0,19 | 1,4 | 0,0 | 8,0 | 1,14 | 0,46 | 0,00 | 0,0 | 0,00 | 1,00 | 52,05 | 110,72 | OK |
| | | Mezz. | 1 | 3,27 | 0,10 | 0,7 | 0,0 | 3,8 | 0,54 | 0,66 | 0,00 | 0,0 | 0,00 | 1,00 | 42,16 | 110,72 | OK |
| | | Piede | 1 | 3,70 | 0,01 | 0,0 | 0,0 | 1,4 | 0,21 | 0,82 | 0,00 | 0,0 | 0,01 | 1,00 | 38,32 | 110,72 | OK |
| 1 | 49 | Testa | 1 | 57,59 | 0,00 | 1,4 | 0,0 | 1,4 | 0,21 | 0,82 | 0,00 | 0,0 | 0,00 | 1,00 | 39,77 | 110,72 | OK |
| | | Mezz. | 1 | 63,97 | 0,09 | 0,7 | 0,0 | 1,4 | 0,21 | 0,82 | 0,00 | 0,0 | 0,00 | 1,00 | 44,18 | 110,72 | OK |
| | | Piede | 1 | 70,35 | 0,17 | 0,0 | 0,0 | 1,4 | 0,21 | 0,82 | 9,00 | 12,8 | 0,18 | 0,90 | 53,70 | 110,72 | OK |
| 1 | 50 | Testa | 1 | 67,19 | 0,00 | 1,4 | 0,0 | 1,4 | 0,21 | 0,82 | 0,00 | 0,0 | 0,00 | 1,00 | 43,50 | 110,72 | OK |
| | | Mezz. | 1 | 74,00 | 0,04 | 0,7 | 0,0 | 1,4 | 0,21 | 0,82 | 0,00 | 0,0 | 0,00 | 1,00 | 47,90 | 110,72 | OK |
| | | Piede | 1 | 80,81 | 0,09 | 0,0 | 0,0 | 1,4 | 0,21 | 0,82 | 13,49 | 16,7 | 0,22 | 0,88 | 59,21 | 110,72 | OK |
| 1 | 51 | Testa | 1 | 30,42 | 0,00 | 1,4 | 0,0 | 1,4 | 0,21 | 0,82 | 0,00 | 0,0 | 0,00 | 1,00 | 44,01 | 110,72 | OK |
| | | Mezz. | 1 | 33,46 | 0,04 | 0,7 | 0,0 | 1,4 | 0,21 | 0,82 | 0,00 | 0,0 | 0,00 | 1,00 | 48,42 | 110,72 | OK |
| | | Piede | 1 | 36,51 | 0,08 | 0,0 | 0,0 | 1,4 | 0,21 | 0,82 | 3,18 | 8,7 | 0,26 | 0,86 | 61,12 | 110,72 | OK |
| 1 | 52 | Testa | 1 | 67,32 | 0,00 | 1,4 | 0,0 | 1,4 | 0,21 | 0,82 | 0,00 | 0,0 | 0,00 | 1,00 | 43,58 | 110,72 | OK |
| | | Mezz. | 1 | 74,13 | 0,06 | 0,7 | 0,0 | 1,4 | 0,21 | 0,82 | 0,00 | 0,0 | 0,00 | 1,00 | 47,98 | 110,72 | OK |
| | | Piede | 1 | 80,94 | 0,12 | 0,0 | 0,0 | 1,4 | 0,21 | 0,82 | 4,07 | 5,0 | 0,07 | 0,96 | 54,30 | 110,72 | OK |
| 1 | 53 | Testa | 1 | 10,94 | 0,43 | 1,4 | 0,0 | 5,4 | 0,57 | 0,69 | 0,00 | 0,0 | 0,00 | 1,00 | 75,59 | 110,72 | OK |
| | | Mezz. | 1 | 11,70 | 0,22 | 0,7 | 0,0 | 2,6 | 0,27 | 0,83 | 0,00 | 0,0 | 0,00 | 1,00 | 67,10 | 110,72 | OK |
| | | Piede | 1 | 12,47 | 0,00 | 0,0 | 0,0 | 1,4 | 0,15 | 0,89 | 0,02 | 0,2 | 0,03 | 0,99 | 67,45 | 110,72 | OK |
| 1 | 54 | Testa | 1 | 58,65 | 2,31 | 1,4 | 0,0 | 5,4 | 0,57 | 0,69 | 0,00 | 0,0 | 0,00 | 1,00 | 51,45 | 110,72 | OK |
| | | Mezz. | 1 | 64,66 | 1,23 | 0,7 | 0,0 | 2,6 | 0,28 | 0,82 | 0,00 | 0,0 | 0,00 | 1,00 | 47,25 | 110,72 | OK |
| | | Piede | 1 | 70,68 | 0,15 | 0,0 | 0,0 | 1,4 | 0,15 | 0,89 | 2,80 | 4,0 | 0,08 | 0,96 | 50,03 | 110,72 | OK |
| 1 | 55 | Testa | 1 | 55,04 | 0,00 | 1,4 | 0,0 | 1,4 | 0,21 | 0,82 | 0,00 | 0,0 | 0,00 | 1,00 | 38,01 | 110,72 | OK |
| | | Mezz. | 1 | 61,42 | 0,06 | 0,7 | 0,0 | 1,4 | 0,21 | 0,82 | 0,00 | 0,0 | 0,00 | 1,00 | 42,42 | 110,72 | OK |
| | | Piede | 1 | 67,81 | 0,12 | 0,0 | 0,0 | 1,4 | 0,21 | 0,82 | 4,10 | 6,0 | 0,09 | 0,95 | 49,04 | 110,72 | OK |
| 1 | 56 | Testa | 1 | 28,27 | 0,00 | 1,4 | 0,0 | 1,4 | 0,15 | 0,89 | 0,00 | 0,0 | 0,00 | 1,00 | 29,35 | 110,72 | OK |

C.D.S.

| VERIFICA STATICÀ A FLESSIONE | | | | | | | | | | | | | | | | | |
|------------------------------|--------------|-------|------------|----------|------------|---------------|---------------|---------------|------|------|------------|---------------|------|------|-----------------|-----------------|-------------------------|
| VERIFICA STATICÀ A FLESSIONE | | | | | | | | | | | | | | | | | |
| Quota N.ro | Muro N.ro | Sez. | Cmb fle | N (t) | Mx (tm) | ecc.A (cm) | ecc.V (cm) | ecc.X (cm) | m.X | Fl.X | My (tm) | ecc.Y (cm) | m.Y | Fl.Y | σ max (t/m²) | σ lim (t/m²) | STRINGA DI CONTROLLO |
| VERIFICA STATICÀ A FLESSIONE | | | | | | | | | | | | | | | | | |
| VERIFICA STATICÀ A FLESSIONE | | | | | | | | | | | | | | | | | |
| 2 | 1 | Testa | 1 | 27,04 | 0,00 | 2,5 | 0,0 | 2,5 | 0,54 | 0,40 | 0,00 | 0,0 | 0,00 | 1,00 | 146,24 | 110,72 | NO VERIF |
| | | Mezz. | 1 | 29,89 | 0,01 | 1,3 | 0,0 | 2,5 | 0,54 | 0,40 | 0,00 | 0,0 | 0,00 | 1,00 | 161,65 | 110,72 | NO VERIF |
| | | Piede | 1 | 32,74 | 0,03 | 0,0 | 0,0 | 2,5 | 0,54 | 0,40 | 3,35 | 10,2 | 0,37 | 0,81 | 219,18 | 110,72 | NO VERIF |
| 2 | 2 | Testa | 1 | 24,42 | 0,00 | 2,5 | 0,0 | 2,5 | 0,54 | 0,40 | 0,00 | 0,0 | 0,00 | 1,00 | 137,01 | 110,72 | NO VERIF |
| | | Mezz. | 1 | 27,16 | 0,25 | 1,3 | 0,0 | 2,5 | 0,54 | 0,40 | 0,00 | 0,0 | 0,00 | 1,00 | 152,42 | 110,72 | NO VERIF |
| | | Piede | 1 | 29,91 | 0,49 | 0,0 | 0,0 | 2,5 | 0,54 | 0,40 | 0,40 | 1,3 | 0,05 | 0,97 | 172,27 | 110,72 | NO VERIF |
| 2 | 3 | Testa | 1 | 9,12 | 0,00 | 2,5 | 0,0 | 2,5 | 0,54 | 0,40 | 0,00 | 0,0 | 0,00 | 1,00 | 56,45 | 110,72 | OK |
| | | Mezz. | 1 | 11,61 | 0,07 | 1,3 | 0,0 | 2,5 | 0,54 | 0,40 | 0,00 | 0,0 | 0,00 | 1,00 | 71,86 | 110,72 | OK |
| | | Piede | 1 | 14,09 | 0,14 | 0,0 | 0,0 | 2,5 | 0,54 | 0,40 | 0,42 | 3,0 | 0,12 | 0,94 | 93,26 | 110,72 | OK |
| 2 | 4 | Testa | 1 | 0,90 | 0,00 | 2,5 | 0,0 | 2,5 | 0,54 | 0,40 | 0,00 | 0,0 | 0,00 | 1,00 | 38,32 | 110,72 | OK |
| | | Mezz. | 1 | 1,26 | 0,02 | 1,3 | 0,0 | 2,5 | 0,54 | 0,40 | 0,00 | 0,0 | 0,00 | 1,00 | 53,73 | 110,72 | OK |
| | | Piede | 1 | 1,62 | 0,03 | 0,0 | 0,0 | 2,5 | 0,54 | 0,40 | 0,00 | 0,0 | 0,01 | 0,99 | 69,51 | 110,72 | OK |
| 2 | 5 | Testa | 1 | 20,36 | 0,00 | 2,5 | 0,0 | 2,5 | 0,54 | 0,40 | 0,00 | 0,0 | 0,00 | 1,00 | 83,49 | 110,72 | OK |
| | | Mezz. | 1 | 24,12 | 0,23 | 1,3 | 0,0 | 2,5 | 0,54 | 0,40 | 0,00 | 0,0 | 0,00 | 1,00 | 98,90 | 110,72 | OK |
| | | Piede | 1 | 27,88 | 0,46 | 0,0 | 0,0 | 2,5 | 0,54 | 0,40 | 2,02 | 7,2 | 0,20 | 0,90 | 127,47 | 110,72 | NO VERIF |
| 2 | 6 | Testa | 1 | 19,28 | 0,00 | 2,5 | 0,0 | 2,5 | 0,54 | 0,40 | 0,00 | 0,0 | 0,00 | 1,00 | 124,52 | 110,72 | NO VERIF |
| | | Mezz. | 1 | 21,66 | 0,03 | 1,3 | 0,0 | 2,5 | 0,54 | 0,40 | 0,00 | 0,0 | 0,00 | 1,00 | 139,94 | 110,72 | NO VERIF |
| | | Piede | 1 | 24,05 | 0,05 | 0,0 | 0,0 | 2,5 | 0,54 | 0,40 | 0,28 | 1,2 | 0,05 | 0,97 | 159,50 | 110,72 | NO VERIF |
| 2 | 7 | Testa | 1 | 20,04 | 0,00 | 2,5 | 0,0 | 2,5 | 0,54 | 0,40 | 0,00 | 0,0 | 0,00 | 1,00 | 137,36 | 110,72 | NO VERIF |
| | | Mezz. | 1 | 22,29 | 0,03 | 1,3 | 0,0 | 2,5 | 0,54 | 0,40 | 0,00 | 0,0 | 0,00 | 1,00 | 152,77 | 110,72 | NO VERIF |
| | | Piede | 1 | 24,54 | 0,07 | 0,0 | 0,0 | 2,5 | 0,54 | 0,40 | 2,34 | 9,5 | 0,44 | 0,77 | 217,54 | 110,72 | NO VERIF |
| 2 | 8 | Testa | 1 | 31,26 | 0,00 | 2,5 | 0,0 | 2,5 | 0,54 | 0,40 | 0,00 | 0,0 | 0,00 | 1,00 | 125,86 | 110,72 | NO VERIF |
| | | Mezz. | 1 | 35,09 | 0,31 | 1,3 | 0,0 | 2,5 | 0,54 | 0,40 | 0,00 | 0,0 | 0,00 | 1,00 | 141,28 | 110,72 | NO VERIF |
| | | Piede | 1 | 38,92 | 0,63 | 0,0 | 0,0 | 2,5 | 0,54 | 0,40 | 1,90 | 4,9 | 0,13 | 0,93 | 168,18 | 110,72 | NO VERIF |
| 2 | 9 | Testa | 1 | 24,77 | 0,00 | 2,5 | 0,0 | 2,5 | 0,54 | 0,40 | 0,00 | 0,0 | 0,00 | 1,00 | 155,52 | 110,72 | NO VERIF |
| | | Mezz. | 1 | 27,22 | 0,03 | 1,3 | 0,0 | 2,5 | 0,54 | 0,40 | 0,00 | 0,0 | 0,00 | 1,00 | 170,93 | 110,72 | NO VERIF |
| | | Piede | 1 | 29,68 | 0,07 | 0,0 | 0,0 | 2,5 | 0,54 | 0,40 | 0,70 | 2,4 | 0,10 | 0,95 | 196,48 | 110,72 | NO VERIF |
| 2 | 10 | Testa | 1 | 27,30 | 0,00 | 2,5 | 0,0 | 2,5 | 0,54 | 0,40 | 0,00 | 0,0 | 0,00 | 1,00 | 145,01 | 110,72 | NO VERIF |
| | | Mezz. | 1 | 30,20 | 0,27 | 1,3 | 0,0 | 2,5 | 0,54 | 0,40 | 0,00 | 0,0 | 0,00 | 1,00 | 160,42 | 110,72 | NO VERIF |
| | | Piede | 1 | 33,10 | 0,55 | 0,0 | 0,0 | 2,5 | 0,54 | 0,40 | 1,07 | 3,2 | 0,11 | 0,94 | 186,94 | 110,72 | NO VERIF |
| 2 | 11 | Testa | 1 | 23,22 | 0,00 | 2,5 | 0,0 | 2,5 | 0,54 | 0,40 | 0,00 | 0,0 | 0,00 | 1,00 | 133,63 | 110,72 | NO VERIF |
| | | Mezz. | 1 | 25,90 | 0,04 | 1,3 | 0,0 | 2,5 | 0,54 | 0,40 | 0,00 | 0,0 | 0,00 | 1,00 | 149,04 | 110,72 | NO VERIF |
| | | Piede | 1 | 28,57 | 0,08 | 0,0 | 0,0 | 2,5 | 0,54 | 0,40 | 1,37 | 4,8 | 0,19 | 0,90 | 181,96 | 110,72 | NO VERIF |
| 2 | 12 | Testa | 1 | 22,73 | 0,00 | 2,5 | 0,0 | 2,5 | 0,54 | 0,40 | 0,00 | 0,0 | 0,00 | 1,00 | 109,71 | 110,72 | OK |
| | | Mezz. | 1 | 25,92 | 0,02 | 1,3 | 0,0 | 2,5 | 0,54 | 0,40 | 0,00 | 0,0 | 0,00 | 1,00 | 125,12 | 110,72 | NO VERIF |
| | | Piede | 1 | 29,11 | 0,04 | 0,0 | 0,0 | 2,5 | 0,54 | 0,40 | 3,55 | 12,2 | 0,39 | 0,80 | 176,64 | 110,72 | NO VERIF |
| 2 | 13 | Testa | 1 | 12,02 | 0,00 | 2,5 | 0,0 | 2,5 | 0,54 | 0,40 | 0,00 | 0,0 | 0,00 | 1,00 | 104,75 | 110,72 | OK |
| | | Mezz. | 1 | 13,79 | 0,09 | 1,3 | 0,0 | 2,5 | 0,54 | 0,40 | 0,00 | 0,0 | 0,00 | 1,00 | 120,16 | 110,72 | NO VERIF |
| | | Piede | 1 | 15,55 | 0,18 | 0,0 | 0,0 | 2,5 | 0,54 | 0,40 | 0,55 | 3,5 | 0,21 | 0,89 | 151,90 | 110,72 | NO VERIF |
| 2 | 14 | Testa | 1 | 26,64 | 0,00 | 2,5 | 0,0 | 2,5 | 0,54 | 0,40 | 0,00 | 0,0 | 0,00 | 1,00 | 160,55 | 110,72 | NO VERIF |
| | | Mezz. | 1 | 29,20 | 0,03 | 1,3 | 0,0 | 2,5 | 0,54 | 0,40 | 0,00 | 0,0 | 0,00 | 1,00 | 175,96 | 110,72 | NO VERIF |
| | | Piede | 1 | 31,76 | 0,06 | 0,0 | 0,0 | 2,5 | 0,54 | 0,40 | 0,01 | 0,0 | 0,00 | 1,00 | 191,47 | 110,72 | NO VERIF |
| 2 | 15 | Testa | 1 | 24,24 | 0,00 | 2,5 | 0,0 | 2,5 | 0,54 | 0,40 | 0,00 | 0,0 | 0,00 | 1,00 | 116,99 | 110,72 | NO VERIF |
| | | Mezz. | 1 | 27,43 | 0,06 | 1,3 | 0,0 | 2,5 | 0,54 | 0,40 | 0,00 | 0,0 | 0,00 | 1,00 | 132,41 | 110,72 | NO VERIF |
| | | Piede | 1 | 30,62 | 0,13 | 0,0 | 0,0 | 2,5 | 0,54 | 0,40 | 0,37 | 1,2 | 0,04 | 0,98 | 150,92 | 110,72 | NO VERIF |
| 2 | 16 | Testa | 1 | 7,54 | 0,00 | 2,5 | 0,0 | 2,5 | 0,54 | 0,40 | 0,00 | 0,0 | 0,00 | 1,00 | 140,97 | 110,72 | NO VERIF |
| | | Mezz. | 1 | 8,36 | 0,08 | 1,3 | 0,0 | 2,5 | 0,54 | 0,40 | 0,00 | 0,0 | 0,00 | 1,00 | 156,38 | 110,72 | NO VERIF |
| | | Piede | 1 | 9,18 | 0,16 | 0,0 | 0,0 | 2,5 | 0,54 | 0,40 | 0,11 | 1,2 | 0,16 | 0,92 | 186,98 | 110,72 | NO VERIF |
| 2 | 17 | Testa | 1 | 3,08 | 0,00 | 2,5 | 0,0 | 2,5 | 0,54 | 0,40 | 0,00 | 0,0 | 0,00 | 1,00 | 98,69 | 110,72 | OK |
| | | Mezz. | 1 | 3,56 | 0,00 | 1,3 | 0,0 | 2,5 | 0,54 | 0,40 | 0,00 | 0,0 | 0,00 | 1,00 | 114,10 | 110,72 | NO VERIF |
| | | Piede | 1 | 4,04 | 0,00 | 0,0 | 0,0 | 2,5 | 0,54 | 0,40 | 0,00 | 0,1 | 0,02 | 0,99 | 131,14 | 110,72 | NO VERIF |
| 2 | 18 | Testa | 1 | 28,38 | 0,00 | 2,5 | 0,0 | 2,5 | 0,54 | 0,40 | 0,00 | 0,0 | 0,00 | 1,00 | 137,00 | 110,72 | NO VERIF |
| | | Mezz. | 1 | 31,57 | 0,03 | 1,3 | 0,0 | 2,5 | 0,54 | 0,40 | 0,00 | 0,0 | 0,00 | 1,00 | 152,41 | 110,72 | NO VERIF |
| | | Piede | 1 | 34,77 | 0,06 | 0,0 | 0,0 | 2,5 | 0,54 | 0,40 | 0,51 | 1,5 | 0,05 | 0,98 | 172,06 | 110,72 | NO VERIF |
| 2 | 19 | Testa | 1 | 30,01 | 0,00 | 2,5 | 0,0 | 2,5 | 0,54 | 0,40 | 0,00 | 0,0 | 0,00 | 1,00 | 162,32 | 110,72 | NO VERIF |
| | | Mezz. | 1 | 32,86 | 0,02 | 1,3 | 0,0 | 2,5 | 0,54 | 0,40 | 0,00 | 0,0 | 0,00 | 1,00 | 177,73 | 110,72 | NO VERIF |

C.D.S.

| VERIFICA STATICÀ A FLESSIONE | | | | | | | | | | | | | | | | | |
|------------------------------|--------------|--------------------|----------|------------|---------------|---------------|---------------|-----|------|------------|---------------|------|------|-------------------------------------|-------------------------------------|-------------------------|----------|
| VERIFICA STATICÀ A FLESSIONE | | | | | | | | | | | | | | | | | |
| Quota N.ro | Muro N.ro | Sez. Cmb fle | N (t) | Mx (tm) | ecc.A (cm) | ecc.V (cm) | ecc.X (cm) | m.X | Fl.X | My (tm) | ecc.Y (cm) | m.Y | Fl.Y | σ max (t/m ²) | σ lim (t/m ²) | STRINGA DI CONTROLLO | |
| | | Piede | 1 | 35,71 | 0,05 | 0,0 | 0,0 | 2,5 | 0,54 | 0,40 | 1,40 | 3,9 | 0,14 | 0,93 | 208,52 | 110,72 | NO VERIF |
| 2 | 20 | Testa | 1 | 37,46 | 0,00 | 2,5 | 0,0 | 2,5 | 0,54 | 0,40 | 0,00 | 0,0 | 0,00 | 1,00 | 168,16 | 110,72 | NO VERIF |
| | | Mezz. | 1 | 40,89 | 0,04 | 1,3 | 0,0 | 2,5 | 0,54 | 0,40 | 0,00 | 0,0 | 0,00 | 1,00 | 183,58 | 110,72 | NO VERIF |
| | | Piede | 1 | 44,33 | 0,08 | 0,0 | 0,0 | 2,5 | 0,54 | 0,40 | 0,11 | 0,3 | 0,01 | 1,00 | 199,78 | 110,72 | NO VERIF |
| 2 | 21 | Testa | 1 | 31,55 | 0,00 | 2,5 | 0,0 | 2,5 | 0,54 | 0,40 | 0,00 | 0,0 | 0,00 | 1,00 | 140,21 | 110,72 | NO VERIF |
| | | Mezz. | 1 | 35,01 | 0,04 | 1,3 | 0,0 | 2,5 | 0,54 | 0,40 | 0,00 | 0,0 | 0,00 | 1,00 | 155,62 | 110,72 | NO VERIF |
| | | Piede | 1 | 38,48 | 0,07 | 0,0 | 0,0 | 2,5 | 0,54 | 0,40 | 0,15 | 0,4 | 0,01 | 0,99 | 172,07 | 110,72 | NO VERIF |
| 2 | 22 | Testa | 1 | 31,93 | 0,00 | 2,5 | 0,0 | 2,5 | 0,54 | 0,40 | 0,00 | 0,0 | 0,00 | 1,00 | 140,54 | 110,72 | NO VERIF |
| | | Mezz. | 1 | 35,43 | 0,07 | 1,3 | 0,0 | 2,5 | 0,54 | 0,40 | 0,00 | 0,0 | 0,00 | 1,00 | 155,95 | 110,72 | NO VERIF |
| | | Piede | 1 | 38,94 | 0,13 | 0,0 | 0,0 | 2,5 | 0,54 | 0,40 | 0,91 | 2,3 | 0,07 | 0,96 | 177,70 | 110,72 | NO VERIF |
| 2 | 23 | Testa | 1 | 30,34 | 0,00 | 2,5 | 0,0 | 2,5 | 0,54 | 0,40 | 0,00 | 0,0 | 0,00 | 1,00 | 195,94 | 110,72 | NO VERIF |
| | | Mezz. | 1 | 32,72 | 0,01 | 1,3 | 0,0 | 2,5 | 0,54 | 0,40 | 0,00 | 0,0 | 0,00 | 1,00 | 211,35 | 110,72 | NO VERIF |
| | | Piede | 1 | 35,11 | 0,01 | 0,0 | 0,0 | 2,5 | 0,54 | 0,40 | 2,44 | 7,0 | 0,30 | 0,84 | 268,70 | 110,72 | NO VERIF |
| 2 | 24 | Testa | 1 | 34,37 | 0,00 | 2,5 | 0,0 | 2,5 | 0,54 | 0,40 | 0,00 | 0,0 | 0,00 | 1,00 | 128,57 | 110,72 | NO VERIF |
| | | Mezz. | 1 | 38,49 | 0,03 | 1,3 | 0,0 | 2,5 | 0,54 | 0,40 | 0,00 | 0,0 | 0,00 | 1,00 | 143,98 | 110,72 | NO VERIF |
| | | Piede | 1 | 42,61 | 0,05 | 0,0 | 0,0 | 2,5 | 0,54 | 0,40 | 2,12 | 5,0 | 0,12 | 0,94 | 170,44 | 110,72 | NO VERIF |
| 2 | 25 | Testa | 1 | 19,31 | 0,00 | 2,5 | 0,0 | 2,5 | 0,54 | 0,40 | 0,00 | 0,0 | 0,00 | 1,00 | 150,72 | 110,72 | NO VERIF |
| | | Mezz. | 1 | 21,28 | 0,03 | 1,3 | 0,0 | 2,5 | 0,54 | 0,40 | 0,00 | 0,0 | 0,00 | 1,00 | 166,13 | 110,72 | NO VERIF |
| | | Piede | 1 | 23,25 | 0,06 | 0,0 | 0,0 | 2,5 | 0,54 | 0,40 | 0,01 | 0,1 | 0,00 | 1,00 | 181,80 | 110,72 | NO VERIF |
| 2 | 26 | Testa | 1 | 10,55 | 0,00 | 2,5 | 0,0 | 2,5 | 0,54 | 0,40 | 0,00 | 0,0 | 0,00 | 1,00 | 175,40 | 110,72 | NO VERIF |
| | | Mezz. | 1 | 11,48 | 0,01 | 1,3 | 0,0 | 2,5 | 0,54 | 0,40 | 0,00 | 0,0 | 0,00 | 1,00 | 190,81 | 110,72 | NO VERIF |
| | | Piede | 1 | 12,40 | 0,01 | 0,0 | 0,0 | 2,5 | 0,54 | 0,40 | 0,02 | 0,2 | 0,02 | 0,99 | 208,24 | 110,72 | NO VERIF |
| 2 | 27 | Testa | 1 | 13,28 | 0,00 | 2,5 | 0,0 | 2,5 | 0,54 | 0,40 | 0,00 | 0,0 | 0,00 | 1,00 | 101,06 | 110,72 | OK |
| | | Mezz. | 1 | 15,31 | 0,01 | 1,3 | 0,0 | 2,5 | 0,54 | 0,40 | 0,00 | 0,0 | 0,00 | 1,00 | 116,48 | 110,72 | NO VERIF |
| | | Piede | 1 | 17,33 | 0,03 | 0,0 | 0,0 | 2,5 | 0,54 | 0,40 | 0,02 | 0,1 | 0,01 | 1,00 | 132,28 | 110,72 | NO VERIF |
| 2 | 28 | Testa | 1 | 15,44 | 0,00 | 2,5 | 0,0 | 2,5 | 0,54 | 0,40 | 0,00 | 0,0 | 0,00 | 1,00 | 163,10 | 110,72 | NO VERIF |
| | | Mezz. | 1 | 16,90 | 0,01 | 1,3 | 0,0 | 2,5 | 0,54 | 0,40 | 0,00 | 0,0 | 0,00 | 1,00 | 178,52 | 110,72 | NO VERIF |
| | | Piede | 1 | 18,36 | 0,02 | 0,0 | 0,0 | 2,5 | 0,54 | 0,40 | 0,06 | 0,4 | 0,02 | 0,99 | 196,46 | 110,72 | NO VERIF |
| 2 | 29 | Testa | 1 | 28,65 | 0,00 | 2,5 | 0,0 | 2,5 | 0,54 | 0,40 | 0,00 | 0,0 | 0,00 | 1,00 | 120,78 | 110,72 | NO VERIF |
| | | Mezz. | 1 | 32,31 | 0,01 | 1,3 | 0,0 | 2,5 | 0,54 | 0,40 | 0,00 | 0,0 | 0,00 | 1,00 | 136,19 | 110,72 | NO VERIF |
| | | Piede | 1 | 35,97 | 0,03 | 0,0 | 0,0 | 2,5 | 0,54 | 0,40 | 0,05 | 0,1 | 0,00 | 1,00 | 151,93 | 110,72 | NO VERIF |
| 2 | 30 | Testa | 1 | 11,38 | 0,00 | 2,5 | 0,0 | 2,5 | 0,54 | 0,40 | 0,00 | 0,0 | 0,00 | 1,00 | 340,55 | 110,72 | NO VERIF |
| | | Mezz. | 1 | 11,89 | 0,01 | 1,3 | 0,0 | 2,5 | 0,54 | 0,40 | 0,00 | 0,0 | 0,00 | 1,00 | 355,96 | 110,72 | NO VERIF |
| | | Piede | 1 | 12,41 | 0,02 | 0,0 | 0,0 | 2,5 | 0,54 | 0,40 | 0,11 | 0,9 | 0,18 | 0,91 | 409,38 | 110,72 | NO VERIF |
| 2 | 31 | Testa | 1 | 25,05 | 0,00 | 2,5 | 0,0 | 2,5 | 0,54 | 0,40 | 0,00 | 0,0 | 0,00 | 1,00 | 120,93 | 110,72 | NO VERIF |
| | | Mezz. | 1 | 28,25 | 0,04 | 1,3 | 0,0 | 2,5 | 0,54 | 0,40 | 0,00 | 0,0 | 0,00 | 1,00 | 136,34 | 110,72 | NO VERIF |
| | | Piede | 1 | 31,44 | 0,08 | 0,0 | 0,0 | 2,5 | 0,54 | 0,40 | 2,21 | 7,0 | 0,23 | 0,88 | 172,03 | 110,72 | NO VERIF |
| 2 | 32 | Testa | 1 | 10,31 | 0,00 | 2,5 | 0,0 | 2,5 | 0,54 | 0,40 | 0,00 | 0,0 | 0,00 | 1,00 | 188,88 | 110,72 | NO VERIF |
| | | Mezz. | 1 | 11,15 | 0,03 | 1,3 | 0,0 | 2,5 | 0,54 | 0,40 | 0,00 | 0,0 | 0,00 | 1,00 | 204,29 | 110,72 | NO VERIF |
| | | Piede | 1 | 11,99 | 0,06 | 0,0 | 0,0 | 2,5 | 0,54 | 0,40 | 0,12 | 1,0 | 0,12 | 0,94 | 234,82 | 110,72 | NO VERIF |
| 2 | 33 | Testa | 1 | 11,68 | 0,00 | 2,5 | 0,0 | 2,5 | 0,54 | 0,40 | 0,00 | 0,0 | 0,00 | 1,00 | 327,72 | 110,72 | NO VERIF |
| | | Mezz. | 1 | 12,23 | 0,12 | 1,3 | 0,0 | 2,5 | 0,54 | 0,40 | 0,00 | 0,0 | 0,00 | 1,00 | 343,13 | 110,72 | NO VERIF |
| | | Piede | 1 | 12,78 | 0,24 | 0,0 | 0,0 | 2,5 | 0,54 | 0,40 | 0,12 | 1,0 | 0,18 | 0,91 | 395,50 | 110,72 | NO VERIF |
| 2 | 34 | Testa | 1 | 23,12 | 0,00 | 2,5 | 0,0 | 2,5 | 0,54 | 0,40 | 0,00 | 0,0 | 0,00 | 1,00 | 109,23 | 110,72 | OK |
| | | Mezz. | 1 | 26,38 | 0,00 | 1,3 | 0,0 | 2,5 | 0,54 | 0,40 | 0,00 | 0,0 | 0,00 | 1,00 | 124,65 | 110,72 | NO VERIF |
| | | Piede | 1 | 29,64 | 0,01 | 0,0 | 0,0 | 2,5 | 0,54 | 0,40 | 1,04 | 3,5 | 0,11 | 0,94 | 148,64 | 110,72 | NO VERIF |
| 2 | 35 | Testa | 1 | 8,56 | 0,00 | 2,5 | 0,0 | 2,5 | 0,54 | 0,40 | 0,00 | 0,0 | 0,00 | 1,00 | 274,50 | 110,72 | NO VERIF |
| | | Mezz. | 1 | 9,04 | 0,00 | 1,3 | 0,0 | 2,5 | 0,54 | 0,40 | 0,00 | 0,0 | 0,00 | 1,00 | 289,91 | 110,72 | NO VERIF |
| | | Piede | 1 | 9,52 | 0,00 | 0,0 | 0,0 | 2,5 | 0,54 | 0,40 | 0,04 | 0,4 | 0,08 | 0,96 | 319,23 | 110,72 | NO VERIF |
| 2 | 36 | Testa | 1 | 53,31 | 0,00 | 2,5 | 0,0 | 2,5 | 0,54 | 0,40 | 0,00 | 0,0 | 0,00 | 1,00 | 107,07 | 110,72 | OK |
| | | Mezz. | 1 | 60,98 | 0,04 | 1,3 | 0,0 | 2,5 | 0,54 | 0,40 | 0,00 | 0,0 | 0,00 | 1,00 | 122,49 | 110,72 | NO VERIF |
| | | Piede | 1 | 68,66 | 0,08 | 0,0 | 0,0 | 2,5 | 0,54 | 0,40 | 4,87 | 7,1 | 0,10 | 0,95 | 145,08 | 110,72 | NO VERIF |
| 2 | 37 | Testa | 1 | 58,27 | 0,00 | 2,5 | 0,0 | 2,5 | 0,54 | 0,40 | 0,00 | 0,0 | 0,00 | 1,00 | 125,45 | 110,72 | NO VERIF |
| | | Mezz. | 1 | 65,43 | 0,01 | 1,3 | 0,0 | 2,5 | 0,54 | 0,40 | 0,00 | 0,0 | 0,00 | 1,00 | 140,87 | 110,72 | NO VERIF |
| | | Piede | 1 | 72,58 | 0,02 | 0,0 | 0,0 | 2,5 | 0,54 | 0,40 | 8,94 | 12,3 | 0,18 | 0,91 | 172,14 | 110,72 | NO VERIF |
| 2 | 38 | Testa | 1 | 61,39 | 0,00 | 2,5 | 0,0 | 2,5 | 0,54 | 0,40 | 0,00 | 0,0 | 0,00 | 1,00 | 132,17 | 110,72 | NO VERIF |
| | | Mezz. | 1 | 68,54 | 0,11 | 1,3 | 0,0 | 2,5 | 0,54 | 0,40 | 0,00 | 0,0 | 0,00 | 1,00 | 147,58 | 110,72 | NO VERIF |
| | | Piede | 1 | 75,70 | 0,23 | 0,0 | 0,0 | 2,5 | 0,54 | 0,40 | 6,67 | 8,8 | 0,13 | 0,93 | 174,50 | 110,72 | NO VERIF |
| 2 | 39 | Testa | 1 | 17,04 | 0,00 | 2,5 | 0,0 | 2,5 | 0,54 | 0,40 | 0,00 | 0,0 | 0,00 | 1,00 | 123,36 | 110,72 | NO VERIF |
| | | Mezz. | 1 | 19,17 | 0,01 | 1,3 | 0,0 | 2,5 | 0,54 | 0,40 | 0,00 | 0,0 | 0,00 | 1,00 | 138,77 | 110,72 | NO VERIF |
| | | Piede | 1 | 21,29 | 0,02 | 0,0 | 0,0 | 2,5 | 0,54 | 0,40 | 0,02 | 0,1 | 0,00 | 1,00 | 154,48 | 110,72 | NO VERIF |

C.D.S.

| VERIFICA STATICÀ A FLESSIONE | | | | | | | | | | | | | | | | | |
|------------------------------|--------------|--------------------|----------|------------|---------------|---------------|---------------|-----|------|------------|---------------|------|------|-------------------------------------|-------------------------------------|-------------------------|----|
| VERIFICA STATICÀ A FLESSIONE | | | | | | | | | | | | | | | | | |
| Quota N.ro | Muro N.ro | Sez. Cmb fle | N (t) | Mx (tm) | ecc.A (cm) | ecc.V (cm) | ecc.X (cm) | m.X | FI.X | My (tm) | ecc.Y (cm) | m.Y | FI.Y | σ max (t/m ²) | σ lim (t/m ²) | STRINGA DI CONTROLLO | |
| 3 | 6 | Testa | 1 | 14,16 | 0,00 | 1,9 | 0,0 | 1,9 | 0,41 | 0,56 | 0,00 | 0,0 | 0,00 | 1,00 | 65,53 | 110,72 | OK |
| | | Mezz. | 1 | 16,00 | 0,01 | 1,0 | 0,0 | 1,9 | 0,41 | 0,56 | 0,00 | 0,0 | 0,00 | 1,00 | 74,02 | 110,72 | OK |
| | | Piede | 1 | 17,83 | 0,02 | 0,0 | 0,0 | 1,9 | 0,41 | 0,56 | 0,54 | 3,0 | 0,13 | 0,93 | 88,56 | 110,72 | OK |
| 3 | 7 | Testa | 1 | 14,09 | 0,00 | 1,9 | 0,0 | 1,9 | 0,41 | 0,56 | 0,00 | 0,0 | 0,00 | 1,00 | 69,15 | 110,72 | OK |
| | | Mezz. | 1 | 15,81 | 0,00 | 1,0 | 0,0 | 1,9 | 0,41 | 0,56 | 0,00 | 0,0 | 0,00 | 1,00 | 77,64 | 110,72 | OK |
| | | Piede | 1 | 17,54 | 0,01 | 0,0 | 0,0 | 1,9 | 0,41 | 0,56 | 1,17 | 6,6 | 0,30 | 0,84 | 102,33 | 110,72 | OK |
| 3 | 8 | Testa | 1 | 16,15 | 0,00 | 1,9 | 0,0 | 1,9 | 0,41 | 0,56 | 0,00 | 0,0 | 0,00 | 1,00 | 46,58 | 110,72 | OK |
| | | Mezz. | 1 | 19,10 | 0,20 | 1,0 | 0,0 | 2,0 | 0,43 | 0,55 | 0,00 | 0,0 | 0,00 | 1,00 | 55,87 | 110,72 | OK |
| | | Piede | 1 | 22,04 | 0,40 | 0,0 | 0,0 | 1,9 | 0,41 | 0,56 | 1,57 | 7,1 | 0,19 | 0,90 | 70,59 | 110,72 | OK |
| 3 | 9 | Testa | 1 | 10,80 | 0,00 | 1,9 | 0,0 | 1,9 | 0,41 | 0,56 | 0,00 | 0,0 | 0,00 | 1,00 | 48,56 | 110,72 | OK |
| | | Mezz. | 1 | 12,69 | 0,02 | 1,0 | 0,0 | 1,9 | 0,41 | 0,56 | 0,00 | 0,0 | 0,00 | 1,00 | 57,05 | 110,72 | OK |
| | | Piede | 1 | 14,57 | 0,05 | 0,0 | 0,0 | 1,9 | 0,41 | 0,56 | 0,45 | 3,1 | 0,13 | 0,93 | 70,24 | 110,72 | OK |
| 3 | 10 | Testa | 1 | 16,42 | 0,00 | 1,9 | 0,0 | 1,9 | 0,41 | 0,56 | 0,00 | 0,0 | 0,00 | 1,00 | 62,47 | 110,72 | OK |
| | | Mezz. | 1 | 18,65 | 0,15 | 1,0 | 0,0 | 1,9 | 0,41 | 0,56 | 0,00 | 0,0 | 0,00 | 1,00 | 70,96 | 110,72 | OK |
| | | Piede | 1 | 20,88 | 0,30 | 0,0 | 0,0 | 1,9 | 0,41 | 0,56 | 0,86 | 4,1 | 0,15 | 0,92 | 86,02 | 110,72 | OK |
| 3 | 11 | Testa | 1 | 12,13 | 0,00 | 1,9 | 0,0 | 1,9 | 0,41 | 0,56 | 0,00 | 0,0 | 0,00 | 1,00 | 50,00 | 110,72 | OK |
| | | Mezz. | 1 | 14,19 | 0,01 | 1,0 | 0,0 | 1,9 | 0,41 | 0,56 | 0,00 | 0,0 | 0,00 | 1,00 | 58,49 | 110,72 | OK |
| | | Piede | 1 | 16,25 | 0,02 | 0,0 | 0,0 | 1,9 | 0,41 | 0,56 | 2,26 | 13,9 | 0,53 | 0,73 | 91,79 | 110,72 | OK |
| 3 | 12 | Testa | 1 | 12,65 | 0,00 | 1,9 | 0,0 | 1,9 | 0,41 | 0,56 | 0,00 | 0,0 | 0,00 | 1,00 | 43,75 | 110,72 | OK |
| | | Mezz. | 1 | 15,11 | 0,05 | 1,0 | 0,0 | 1,9 | 0,41 | 0,56 | 0,00 | 0,0 | 0,00 | 1,00 | 52,24 | 110,72 | OK |
| | | Piede | 1 | 17,57 | 0,11 | 0,0 | 0,0 | 1,9 | 0,41 | 0,56 | 0,61 | 3,5 | 0,11 | 0,94 | 64,50 | 110,72 | OK |
| 3 | 13 | Testa | 1 | 7,29 | 0,00 | 1,9 | 0,0 | 1,9 | 0,41 | 0,56 | 0,00 | 0,0 | 0,00 | 1,00 | 45,54 | 110,72 | OK |
| | | Mezz. | 1 | 8,65 | 0,00 | 1,0 | 0,0 | 1,9 | 0,41 | 0,56 | 0,00 | 0,0 | 0,00 | 1,00 | 54,03 | 110,72 | OK |
| | | Piede | 1 | 10,01 | 0,01 | 0,0 | 0,0 | 1,9 | 0,41 | 0,56 | 0,23 | 2,3 | 0,13 | 0,93 | 67,17 | 110,72 | OK |
| 3 | 14 | Testa | 1 | 13,35 | 0,00 | 1,9 | 0,0 | 1,9 | 0,41 | 0,56 | 0,00 | 0,0 | 0,00 | 1,00 | 57,62 | 110,72 | OK |
| | | Mezz. | 1 | 15,32 | 0,01 | 1,0 | 0,0 | 1,9 | 0,41 | 0,56 | 0,00 | 0,0 | 0,00 | 1,00 | 66,11 | 110,72 | OK |
| | | Piede | 1 | 17,28 | 0,03 | 0,0 | 0,0 | 1,9 | 0,41 | 0,56 | 0,98 | 5,6 | 0,23 | 0,88 | 84,60 | 110,72 | OK |
| 3 | 15 | Testa | 1 | 13,97 | 0,00 | 1,9 | 0,0 | 1,9 | 0,41 | 0,56 | 0,00 | 0,0 | 0,00 | 1,00 | 48,30 | 110,72 | OK |
| | | Mezz. | 1 | 16,43 | 0,06 | 1,0 | 0,0 | 1,9 | 0,41 | 0,56 | 0,00 | 0,0 | 0,00 | 1,00 | 56,79 | 110,72 | OK |
| | | Piede | 1 | 18,88 | 0,13 | 0,0 | 0,0 | 1,9 | 0,41 | 0,56 | 1,04 | 5,5 | 0,18 | 0,91 | 71,95 | 110,72 | OK |
| 3 | 16 | Testa | 1 | 4,06 | 0,00 | 1,9 | 0,0 | 1,9 | 0,41 | 0,56 | 0,00 | 0,0 | 0,00 | 1,00 | 54,38 | 110,72 | OK |
| | | Mezz. | 1 | 4,69 | 0,00 | 1,0 | 0,0 | 1,9 | 0,41 | 0,56 | 0,00 | 0,0 | 0,00 | 1,00 | 62,87 | 110,72 | OK |
| | | Piede | 1 | 5,33 | 0,00 | 0,0 | 0,0 | 1,9 | 0,41 | 0,56 | 0,04 | 0,7 | 0,09 | 0,95 | 74,91 | 110,72 | OK |
| 3 | 17 | Testa | 1 | 1,94 | 0,00 | 1,9 | 0,0 | 1,9 | 0,41 | 0,56 | 0,00 | 0,0 | 0,00 | 1,00 | 44,45 | 110,72 | OK |
| | | Mezz. | 1 | 2,31 | 0,00 | 1,0 | 0,0 | 1,9 | 0,41 | 0,56 | 0,00 | 0,0 | 0,00 | 1,00 | 52,94 | 110,72 | OK |
| | | Piede | 1 | 2,67 | 0,00 | 0,0 | 0,0 | 1,9 | 0,41 | 0,56 | 0,00 | 0,0 | 0,00 | 1,00 | 61,59 | 110,72 | OK |
| 3 | 18 | Testa | 1 | 17,21 | 0,00 | 1,9 | 0,0 | 1,9 | 0,41 | 0,56 | 0,00 | 0,0 | 0,00 | 1,00 | 59,50 | 110,72 | OK |
| | | Mezz. | 1 | 19,66 | 0,01 | 1,0 | 0,0 | 1,9 | 0,41 | 0,56 | 0,00 | 0,0 | 0,00 | 1,00 | 67,99 | 110,72 | OK |
| | | Piede | 1 | 22,12 | 0,01 | 0,0 | 0,0 | 1,9 | 0,41 | 0,56 | 0,11 | 0,5 | 0,02 | 0,99 | 77,14 | 110,72 | OK |
| 3 | 19 | Testa | 1 | 17,06 | 0,00 | 1,9 | 0,0 | 1,9 | 0,41 | 0,56 | 0,00 | 0,0 | 0,00 | 1,00 | 66,08 | 110,72 | OK |
| | | Mezz. | 1 | 19,25 | 0,02 | 1,0 | 0,0 | 1,9 | 0,41 | 0,56 | 0,00 | 0,0 | 0,00 | 1,00 | 74,57 | 110,72 | OK |
| | | Piede | 1 | 21,44 | 0,03 | 0,0 | 0,0 | 1,9 | 0,41 | 0,56 | 1,70 | 7,9 | 0,29 | 0,85 | 97,61 | 110,72 | OK |
| 3 | 20 | Testa | 1 | 15,23 | 0,00 | 1,9 | 0,0 | 1,9 | 0,41 | 0,56 | 0,00 | 0,0 | 0,00 | 1,00 | 48,96 | 110,72 | OK |
| | | Mezz. | 1 | 17,87 | 0,01 | 1,0 | 0,0 | 1,9 | 0,41 | 0,56 | 0,00 | 0,0 | 0,00 | 1,00 | 57,45 | 110,72 | OK |
| | | Piede | 1 | 20,51 | 0,01 | 0,0 | 0,0 | 1,9 | 0,41 | 0,56 | 1,78 | 8,7 | 0,26 | 0,86 | 76,25 | 110,72 | OK |
| 3 | 21 | Testa | 1 | 12,35 | 0,00 | 1,9 | 0,0 | 1,9 | 0,41 | 0,56 | 0,00 | 0,0 | 0,00 | 1,00 | 39,31 | 110,72 | OK |
| | | Mezz. | 1 | 15,01 | 0,00 | 1,0 | 0,0 | 1,9 | 0,41 | 0,56 | 0,00 | 0,0 | 0,00 | 1,00 | 47,80 | 110,72 | OK |
| | | Piede | 1 | 17,68 | 0,01 | 0,0 | 0,0 | 1,9 | 0,41 | 0,56 | 1,70 | 9,6 | 0,29 | 0,85 | 66,08 | 110,72 | OK |
| 3 | 22 | Testa | 1 | 15,95 | 0,00 | 1,9 | 0,0 | 1,9 | 0,41 | 0,56 | 0,00 | 0,0 | 0,00 | 1,00 | 50,28 | 110,72 | OK |
| | | Mezz. | 1 | 18,64 | 0,01 | 1,0 | 0,0 | 1,9 | 0,41 | 0,56 | 0,00 | 0,0 | 0,00 | 1,00 | 58,77 | 110,72 | OK |
| | | Piede | 1 | 21,34 | 0,02 | 0,0 | 0,0 | 1,9 | 0,41 | 0,56 | 2,26 | 10,6 | 0,31 | 0,84 | 80,29 | 110,72 | OK |
| 3 | 23 | Testa | 1 | 17,25 | 0,00 | 1,9 | 0,0 | 1,9 | 0,41 | 0,56 | 0,00 | 0,0 | 0,00 | 1,00 | 79,80 | 110,72 | OK |
| | | Mezz. | 1 | 19,08 | 0,02 | 1,0 | 0,0 | 1,9 | 0,41 | 0,56 | 0,00 | 0,0 | 0,00 | 1,00 | 88,29 | 110,72 | OK |
| | | Piede | 1 | 20,92 | 0,03 | 0,0 | 0,0 | 1,9 | 0,41 | 0,56 | 0,76 | 3,6 | 0,16 | 0,92 | 105,36 | 110,72 | OK |
| 3 | 24 | Testa | 1 | 21,04 | 0,00 | 1,9 | 0,0 | 1,9 | 0,41 | 0,56 | 0,00 | 0,0 | 0,00 | 1,00 | 56,38 | 110,72 | OK |
| | | Mezz. | 1 | 24,21 | 0,01 | 1,0 | 0,0 | 1,9 | 0,41 | 0,56 | 0,00 | 0,0 | 0,00 | 1,00 | 64,87 | 110,72 | OK |
| | | Piede | 1 | 27,38 | 0,02 | 0,0 | 0,0 | 1,9 | 0,41 | 0,56 | 0,61 | 2,2 | 0,06 | 0,97 | 75,57 | 110,72 | OK |
| 3 | 25 | Testa | 1 | 11,31 | 0,00 | 1,9 | 0,0 | 1,9 | 0,41 | 0,56 | 0,00 | 0,0 | 0,00 | 1,00 | 63,22 | 110,72 | OK |
| | | Mezz. | 1 | 12,82 | 0,01 | 1,0 | 0,0 | 1,9 | 0,41 | 0,56 | 0,00 | 0,0 | 0,00 | 1,00 | 71,71 | 110,72 | OK |
| | | Piede | 1 | 14,34 | 0,02 | 0,0 | 0,0 | 1,9 | 0,41 | 0,56 | 0,28 | 2,0 | 0,10 | 0,95 | 84,75 | 110,72 | OK |

C.D.S.

| VERIFICA STATICÀ A FLESSIONE | | | | | | | | | | | | | | | | | |
|------------------------------|--------------|--------------|-----|----------|------------|---------------|---------------|---------------|------|------|------------|---------------|------|------|---------------------------|---------------------------|-------------------------|
| VERIFICA STATICÀ A FLESSIONE | | | | | | | | | | | | | | | | | |
| Quota N.ro | Muro N.ro | Sez. file | Cmb | N (t) | Mx (tm) | ecc.A (cm) | ecc.V (cm) | ecc.X (cm) | m.X | Fl.X | My (tm) | ecc.Y (cm) | m.Y | Fl.Y | σ_{\max} (t/m²) | σ_{\lim} (t/m²) | STRINGA DI CONTROLLO |
| 3 | 26 | Testa | 1 | 6,51 | 0,00 | 1,9 | 0,0 | 1,9 | 0,41 | 0,56 | 0,00 | 0,0 | 0,00 | 1,00 | 77,50 | 110,72 | OK |
| | | Mezz. | 1 | 7,22 | 0,01 | 1,0 | 0,0 | 1,9 | 0,41 | 0,56 | 0,00 | 0,0 | 0,00 | 1,00 | 85,99 | 110,72 | OK |
| | | Piede | 1 | 7,93 | 0,01 | 0,0 | 0,0 | 1,9 | 0,41 | 0,56 | 0,06 | 0,8 | 0,09 | 0,95 | 99,00 | 110,72 | OK |
| 3 | 27 | Testa | 1 | 6,43 | 0,00 | 1,9 | 0,0 | 1,9 | 0,41 | 0,56 | 0,00 | 0,0 | 0,00 | 1,00 | 35,05 | 110,72 | OK |
| | | Mezz. | 1 | 7,99 | 0,00 | 1,0 | 0,0 | 1,9 | 0,41 | 0,56 | 0,00 | 0,0 | 0,00 | 1,00 | 43,54 | 110,72 | OK |
| | | Piede | 1 | 9,55 | 0,00 | 0,0 | 0,0 | 1,9 | 0,41 | 0,56 | 0,22 | 2,3 | 0,11 | 0,94 | 55,33 | 110,72 | OK |
| 3 | 28 | Testa | 1 | 9,14 | 0,00 | 1,9 | 0,0 | 1,9 | 0,41 | 0,56 | 0,00 | 0,0 | 0,00 | 1,00 | 69,12 | 110,72 | OK |
| | | Mezz. | 1 | 10,26 | 0,00 | 1,0 | 0,0 | 1,9 | 0,41 | 0,56 | 0,00 | 0,0 | 0,00 | 1,00 | 77,61 | 110,72 | OK |
| | | Piede | 1 | 11,38 | 0,01 | 0,0 | 0,0 | 1,9 | 0,41 | 0,56 | 0,17 | 1,5 | 0,11 | 0,94 | 91,24 | 110,72 | OK |
| 3 | 29 | Testa | 1 | 14,57 | 0,00 | 1,9 | 0,0 | 1,9 | 0,41 | 0,56 | 0,00 | 0,0 | 0,00 | 1,00 | 43,99 | 110,72 | OK |
| | | Mezz. | 1 | 17,38 | 0,01 | 1,0 | 0,0 | 1,9 | 0,41 | 0,56 | 0,00 | 0,0 | 0,00 | 1,00 | 52,48 | 110,72 | OK |
| | | Piede | 1 | 20,19 | 0,02 | 0,0 | 0,0 | 1,9 | 0,41 | 0,56 | 2,45 | 12,1 | 0,34 | 0,82 | 74,11 | 110,72 | OK |
| 3 | 30 | Testa | 1 | 7,16 | 0,00 | 1,9 | 0,0 | 1,9 | 0,41 | 0,56 | 0,00 | 0,0 | 0,00 | 1,00 | 153,40 | 110,72 | NO VERIF |
| | | Mezz. | 1 | 7,55 | 0,04 | 1,0 | 0,0 | 1,9 | 0,41 | 0,56 | 0,00 | 0,0 | 0,00 | 1,00 | 161,89 | 110,72 | NO VERIF |
| | | Piede | 1 | 7,95 | 0,07 | 0,0 | 0,0 | 1,9 | 0,41 | 0,56 | 0,00 | 0,0 | 0,01 | 1,00 | 171,04 | 110,72 | NO VERIF |
| 3 | 31 | Testa | 1 | 18,22 | 0,00 | 1,9 | 0,0 | 1,9 | 0,41 | 0,56 | 0,00 | 0,0 | 0,00 | 1,00 | 63,01 | 110,72 | OK |
| | | Mezz. | 1 | 20,68 | 0,08 | 1,0 | 0,0 | 1,9 | 0,41 | 0,56 | 0,00 | 0,0 | 0,00 | 1,00 | 71,50 | 110,72 | OK |
| | | Piede | 1 | 23,14 | 0,17 | 0,0 | 0,0 | 1,9 | 0,41 | 0,56 | 1,02 | 4,4 | 0,14 | 0,93 | 86,37 | 110,72 | OK |
| 3 | 32 | Testa | 1 | 12,80 | 0,00 | 1,9 | 0,0 | 1,9 | 0,41 | 0,56 | 0,00 | 0,0 | 0,00 | 1,00 | 168,02 | 110,72 | NO VERIF |
| | | Mezz. | 1 | 13,45 | 0,09 | 1,0 | 0,0 | 1,9 | 0,41 | 0,56 | 0,00 | 0,0 | 0,00 | 1,00 | 176,51 | 110,72 | NO VERIF |
| | | Piede | 1 | 14,10 | 0,18 | 0,0 | 0,0 | 1,9 | 0,41 | 0,56 | 0,09 | 0,7 | 0,08 | 0,96 | 193,26 | 110,72 | NO VERIF |
| 3 | 33 | Testa | 1 | 9,04 | 0,00 | 1,9 | 0,0 | 1,9 | 0,41 | 0,56 | 0,00 | 0,0 | 0,00 | 1,00 | 181,62 | 110,72 | NO VERIF |
| | | Mezz. | 1 | 9,46 | 0,13 | 1,0 | 0,0 | 2,4 | 0,51 | 0,51 | 0,00 | 0,0 | 0,00 | 1,00 | 205,59 | 110,72 | NO VERIF |
| | | Piede | 1 | 9,88 | 0,27 | 0,0 | 0,0 | 2,7 | 0,58 | 0,49 | 0,00 | 0,0 | 0,00 | 1,00 | 224,83 | 110,72 | NO VERIF |
| 3 | 34 | Testa | 1 | 16,49 | 0,00 | 1,9 | 0,0 | 1,9 | 0,41 | 0,56 | 0,00 | 0,0 | 0,00 | 1,00 | 55,83 | 110,72 | OK |
| | | Mezz. | 1 | 19,00 | 0,05 | 1,0 | 0,0 | 1,9 | 0,41 | 0,56 | 0,00 | 0,0 | 0,00 | 1,00 | 64,32 | 110,72 | OK |
| | | Piede | 1 | 21,51 | 0,11 | 0,0 | 0,0 | 1,9 | 0,41 | 0,56 | 0,08 | 0,4 | 0,01 | 0,99 | 73,23 | 110,72 | OK |
| 3 | 35 | Testa | 1 | 6,00 | 0,00 | 1,9 | 0,0 | 1,9 | 0,41 | 0,56 | 0,00 | 0,0 | 0,00 | 1,00 | 137,74 | 110,72 | NO VERIF |
| | | Mezz. | 1 | 6,37 | 0,02 | 1,0 | 0,0 | 1,9 | 0,41 | 0,56 | 0,00 | 0,0 | 0,00 | 1,00 | 146,23 | 110,72 | NO VERIF |
| | | Piede | 1 | 6,74 | 0,04 | 0,0 | 0,0 | 1,9 | 0,41 | 0,56 | 0,02 | 0,3 | 0,07 | 0,97 | 160,17 | 110,72 | NO VERIF |
| 3 | 36 | Testa | 1 | 28,18 | 0,00 | 1,9 | 0,0 | 1,9 | 0,41 | 0,56 | 0,00 | 0,0 | 0,00 | 1,00 | 40,54 | 110,72 | OK |
| | | Mezz. | 1 | 34,08 | 0,06 | 1,0 | 0,0 | 1,9 | 0,41 | 0,56 | 0,00 | 0,0 | 0,00 | 1,00 | 49,03 | 110,72 | OK |
| | | Piede | 1 | 39,98 | 0,12 | 0,0 | 0,0 | 1,9 | 0,41 | 0,56 | 5,99 | 15,0 | 0,20 | 0,90 | 64,24 | 110,72 | OK |
| 3 | 37 | Testa | 1 | 10,37 | 0,00 | 1,9 | 0,0 | 1,9 | 0,41 | 0,56 | 0,00 | 0,0 | 0,00 | 1,00 | 33,35 | 110,72 | OK |
| | | Mezz. | 1 | 13,01 | 0,02 | 1,0 | 0,0 | 1,9 | 0,41 | 0,56 | 0,00 | 0,0 | 0,00 | 1,00 | 41,84 | 110,72 | OK |
| | | Piede | 1 | 15,65 | 0,04 | 0,0 | 0,0 | 1,9 | 0,41 | 0,56 | 0,01 | 0,1 | 0,00 | 1,00 | 50,38 | 110,72 | OK |
| 3 | 38 | Testa | 1 | 19,57 | 0,00 | 1,9 | 0,0 | 1,9 | 0,82 | 0,00 | 0,00 | 0,0 | 0,00 | 1,00 | -99,99 | 110,72 | NO VERIF |
| | | Mezz. | 1 | 22,32 | 0,00 | 1,0 | 0,0 | 1,9 | 0,82 | 0,00 | 0,00 | 0,0 | 0,00 | 1,00 | -99,99 | 110,72 | NO VERIF |
| | | Piede | 1 | 25,07 | 0,00 | 0,0 | 0,0 | 1,9 | 0,82 | 0,00 | 5,49 | 21,9 | 0,31 | 0,84 | -99,99 | 110,72 | NO VERIF |
| 3 | 39 | Testa | 1 | 19,51 | 0,00 | 1,9 | 0,0 | 1,9 | 0,82 | 0,00 | 0,00 | 0,0 | 0,00 | 1,00 | -99,99 | 110,72 | NO VERIF |
| | | Mezz. | 1 | 22,26 | 0,01 | 1,0 | 0,0 | 1,9 | 0,82 | 0,00 | 0,00 | 0,0 | 0,00 | 1,00 | -99,99 | 110,72 | NO VERIF |
| | | Piede | 1 | 25,02 | 0,02 | 0,0 | 0,0 | 1,9 | 0,82 | 0,00 | 4,50 | 18,0 | 0,26 | 0,87 | -99,99 | 110,72 | NO VERIF |
| 3 | 40 | Testa | 1 | 11,19 | 0,00 | 1,9 | 0,0 | 1,9 | 0,41 | 0,56 | 0,00 | 0,0 | 0,00 | 1,00 | 58,01 | 110,72 | OK |
| | | Mezz. | 1 | 12,82 | 0,01 | 1,0 | 0,0 | 1,9 | 0,41 | 0,56 | 0,00 | 0,0 | 0,00 | 1,00 | 66,50 | 110,72 | OK |
| | | Piede | 1 | 14,46 | 0,01 | 0,0 | 0,0 | 1,9 | 0,41 | 0,56 | 0,46 | 3,2 | 0,16 | 0,92 | 81,58 | 110,72 | OK |
| 3 | 41 | Testa | 1 | 12,53 | 0,00 | 1,9 | 0,0 | 1,9 | 0,41 | 0,56 | 0,00 | 0,0 | 0,00 | 1,00 | 57,97 | 110,72 | OK |
| | | Mezz. | 1 | 14,36 | 0,00 | 1,0 | 0,0 | 1,9 | 0,41 | 0,56 | 0,00 | 0,0 | 0,00 | 1,00 | 66,46 | 110,72 | OK |
| | | Piede | 1 | 16,20 | 0,01 | 0,0 | 0,0 | 1,9 | 0,41 | 0,56 | 0,10 | 0,6 | 0,03 | 0,99 | 76,00 | 110,72 | OK |
| 3 | 42 | Testa | 1 | 18,60 | 0,00 | 1,9 | 0,0 | 1,9 | 0,41 | 0,56 | 0,00 | 0,0 | 0,00 | 1,00 | 221,55 | 110,72 | NO VERIF |
| | | Mezz. | 1 | 19,32 | 0,00 | 1,0 | 0,0 | 1,9 | 0,41 | 0,56 | 0,00 | 0,0 | 0,00 | 1,00 | 230,04 | 110,72 | NO VERIF |
| | | Piede | 1 | 20,03 | 0,00 | 0,0 | 0,0 | 1,9 | 0,41 | 0,56 | 0,25 | 1,3 | 0,14 | 0,93 | 257,20 | 110,72 | NO VERIF |
| 3 | 43 | Testa | 1 | 30,99 | 0,00 | 1,9 | 0,0 | 1,9 | 0,41 | 0,56 | 0,00 | 0,0 | 0,00 | 1,00 | 91,00 | 110,72 | OK |
| | | Mezz. | 1 | 33,88 | 0,01 | 1,0 | 0,0 | 1,9 | 0,41 | 0,56 | 0,00 | 0,0 | 0,00 | 1,00 | 99,49 | 110,72 | OK |
| | | Piede | 1 | 36,77 | 0,03 | 0,0 | 0,0 | 1,9 | 0,41 | 0,56 | 0,83 | 2,3 | 0,06 | 0,97 | 111,56 | 110,72 | NO VERIF |
| 3 | 44 | Testa | 2 | 10,46 | 0,21 | 1,9 | 0,0 | 3,9 | 1,68 | 0,00 | 0,00 | 0,0 | 0,00 | 1,00 | -99,99 | 110,72 | NO VERIF |
| | | Mezz. | 1 | 11,92 | 0,10 | 1,0 | 0,0 | 1,9 | 0,82 | 0,00 | 0,00 | 0,0 | 0,00 | 1,00 | -99,99 | 110,72 | NO VERIF |
| | | Piede | 1 | 12,55 | 0,02 | 0,0 | 0,0 | 1,9 | 0,82 | 0,00 | 1,07 | 8,5 | 0,53 | 0,73 | -99,99 | 110,72 | NO VERIF |
| 3 | 45 | Testa | 1 | 48,62 | 0,00 | 1,9 | 0,0 | 1,9 | 0,41 | 0,56 | 0,00 | 0,0 | 0,00 | 1,00 | 74,98 | 110,72 | OK |
| | | Mezz. | 1 | 54,13 | 0,05 | 1,0 | 0,0 | 1,9 | 0,41 | 0,56 | 0,00 | 0,0 | 0,00 | 1,00 | 83,47 | 110,72 | OK |
| | | Piede | 1 | 59,63 | 0,10 | 0,0 | 0,0 | 1,9 | 0,41 | 0,56 | 23,55 | 39,5 | 0,57 | 0,72 | 127,81 | 110,72 | NO VERIF |
| 3 | 46 | Testa | 1 | 9,85 | 0,00 | 1,9 | 0,0 | 1,9 | 0,41 | 0,56 | 0,00 | 0,0 | 0,00 | 1,00 | 60,35 | 110,72 | OK |

C.D.S.

| VERIFICA STATICÀ A FLESSIONE | | | | | | | | | | | | | | | | | |
|------------------------------|--------------|--------------------|----------|------------|---------------|---------------|---------------|-----|-------|-------------|---------------|------|-------|-------------------------------------|-------------------------------------|-------------------------|----------|
| VERIFICA STATICÀ A FLESSIONE | | | | | | | | | | | | | | | | | |
| Quota N.ro | Muro N.ro | Sez. Cmb fie | N (t) | Mx (tm) | ecc.A (cm) | ecc.V (cm) | ecc.X (cm) | m.X | F.I.X | M.y (tm) | ecc.Y (cm) | m.Y | F.I.Y | σ max (t/m ²) | σ lim (t/m ²) | STRINGA DI CONTROLLO | |
| | | Mezz. | 1 | 11,24 | 0,01 | 1,0 | 0,0 | 1,9 | 0,41 | 0,56 | 0,00 | 0,0 | 0,00 | 1,00 | 68,84 | 110,72 | OK |
| | | Piede | 1 | 12,63 | 0,02 | 0,0 | 0,0 | 1,9 | 0,41 | 0,56 | 0,33 | 2,6 | 0,15 | 0,92 | 83,78 | 110,72 | OK |
| 3 | 47 | Testa | 1 | 8,34 | 0,00 | 1,9 | 0,0 | 1,9 | 0,41 | 0,56 | 0,00 | 0,0 | 0,00 | 1,00 | 82,48 | 110,72 | OK |
| | | Mezz. | 1 | 9,19 | 0,01 | 1,0 | 0,0 | 1,9 | 0,41 | 0,56 | 0,00 | 0,0 | 0,00 | 1,00 | 90,97 | 110,72 | OK |
| | | Piede | 1 | 10,05 | 0,01 | 0,0 | 0,0 | 1,9 | 0,41 | 0,56 | 0,09 | 0,9 | 0,08 | 0,96 | 103,71 | 110,72 | OK |
| 3 | 48 | Testa | 1 | 13,11 | 0,00 | 1,9 | 0,0 | 1,9 | 0,41 | 0,56 | 0,00 | 0,0 | 0,00 | 1,00 | 88,71 | 110,72 | OK |
| | | Mezz. | 1 | 14,36 | 0,00 | 1,0 | 0,0 | 1,9 | 0,41 | 0,56 | 0,00 | 0,0 | 0,00 | 1,00 | 97,20 | 110,72 | OK |
| | | Piede | 1 | 15,61 | 0,00 | 0,0 | 0,0 | 1,9 | 0,41 | 0,56 | 0,24 | 1,5 | 0,10 | 0,95 | 111,30 | 110,72 | NO VERIF |
| 3 | 49 | Testa | 1 | 12,56 | 0,00 | 1,9 | 0,0 | 1,9 | 0,41 | 0,56 | 0,00 | 0,0 | 0,00 | 1,00 | 78,45 | 110,72 | OK |
| | | Mezz. | 1 | 13,92 | 0,00 | 1,0 | 0,0 | 1,9 | 0,41 | 0,56 | 0,00 | 0,0 | 0,00 | 1,00 | 86,94 | 110,72 | OK |
| | | Piede | 1 | 15,28 | 0,00 | 0,0 | 0,0 | 1,9 | 0,41 | 0,56 | 0,45 | 2,9 | 0,17 | 0,91 | 104,77 | 110,72 | OK |
| 3 | 50 | Testa | 1 | 14,35 | 0,00 | 1,9 | 0,0 | 1,9 | 0,41 | 0,56 | 0,00 | 0,0 | 0,00 | 1,00 | 82,40 | 110,72 | OK |
| | | Mezz. | 1 | 15,83 | 0,00 | 1,0 | 0,0 | 1,9 | 0,41 | 0,56 | 0,00 | 0,0 | 0,00 | 1,00 | 90,89 | 110,72 | OK |
| | | Piede | 1 | 17,31 | 0,01 | 0,0 | 0,0 | 1,9 | 0,41 | 0,56 | 0,63 | 3,7 | 0,20 | 0,90 | 110,66 | 110,72 | OK |
| 3 | 51 | Testa | 1 | 18,80 | 0,00 | 1,9 | 0,0 | 1,9 | 0,41 | 0,56 | 0,00 | 0,0 | 0,00 | 1,00 | 86,38 | 110,72 | OK |
| | | Mezz. | 1 | 20,65 | 0,01 | 1,0 | 0,0 | 1,9 | 0,41 | 0,56 | 0,00 | 0,0 | 0,00 | 1,00 | 94,87 | 110,72 | OK |
| | | Piede | 1 | 22,50 | 0,03 | 0,0 | 0,0 | 1,9 | 0,41 | 0,56 | 0,61 | 2,7 | 0,12 | 0,94 | 110,03 | 110,72 | OK |
| 3 | 52 | Testa | 1 | 9,89 | 0,00 | 1,9 | 0,0 | 1,9 | 0,41 | 0,56 | 0,00 | 0,0 | 0,00 | 1,00 | 93,57 | 110,72 | OK |
| | | Mezz. | 1 | 10,79 | 0,01 | 1,0 | 0,0 | 1,9 | 0,41 | 0,56 | 0,00 | 0,0 | 0,00 | 1,00 | 102,07 | 110,72 | OK |
| | | Piede | 1 | 11,69 | 0,02 | 0,0 | 0,0 | 1,9 | 0,41 | 0,56 | 0,09 | 0,8 | 0,07 | 0,96 | 114,61 | 110,72 | NO VERIF |
| 3 | 53 | Testa | 1 | 13,76 | 0,00 | 1,9 | 0,0 | 1,9 | 0,41 | 0,56 | 0,00 | 0,0 | 0,00 | 1,00 | 113,49 | 110,72 | NO VERIF |
| | | Mezz. | 1 | 14,79 | 0,01 | 1,0 | 0,0 | 1,9 | 0,41 | 0,56 | 0,00 | 0,0 | 0,00 | 1,00 | 121,98 | 110,72 | NO VERIF |
| | | Piede | 1 | 15,82 | 0,02 | 0,0 | 0,0 | 1,9 | 0,41 | 0,56 | 0,12 | 0,8 | 0,06 | 0,97 | 134,60 | 110,72 | NO VERIF |
| 3 | 54 | Testa | 1 | 6,21 | 0,00 | 1,9 | 0,0 | 1,9 | 0,41 | 0,56 | 0,00 | 0,0 | 0,00 | 1,00 | 88,68 | 110,72 | OK |
| | | Mezz. | 1 | 6,80 | 0,01 | 1,0 | 0,0 | 1,9 | 0,41 | 0,56 | 0,00 | 0,0 | 0,00 | 1,00 | 97,17 | 110,72 | OK |
| | | Piede | 1 | 7,39 | 0,03 | 0,0 | 0,0 | 1,9 | 0,41 | 0,56 | 0,12 | 1,6 | 0,21 | 0,89 | 118,91 | 110,72 | NO VERIF |
| 3 | 55 | Testa | 1 | 2,89 | 0,00 | 1,9 | 0,0 | 1,9 | 0,41 | 0,56 | 0,00 | 0,0 | 0,00 | 1,00 | 37,94 | 110,72 | OK |
| | | Mezz. | 1 | 3,54 | 0,01 | 1,0 | 0,0 | 1,9 | 0,41 | 0,56 | 0,00 | 0,0 | 0,00 | 1,00 | 46,43 | 110,72 | OK |
| | | Piede | 1 | 4,18 | 0,01 | 0,0 | 0,0 | 1,9 | 0,41 | 0,56 | 0,00 | 0,1 | 0,01 | 0,99 | 55,27 | 110,72 | OK |
| 3 | 56 | Testa | 1 | 13,01 | 0,00 | 1,9 | 0,0 | 1,9 | 0,41 | 0,56 | 0,00 | 0,0 | 0,00 | 1,00 | 42,47 | 110,72 | OK |
| | | Mezz. | 1 | 15,61 | 0,02 | 1,0 | 0,0 | 1,9 | 0,41 | 0,56 | 0,00 | 0,0 | 0,00 | 1,00 | 50,96 | 110,72 | OK |
| | | Piede | 1 | 18,21 | 0,04 | 0,0 | 0,0 | 1,9 | 0,41 | 0,56 | 0,01 | 0,0 | 0,00 | 1,00 | 59,48 | 110,72 | OK |
| 3 | 57 | Testa | 1 | 28,94 | 0,00 | 1,9 | 0,0 | 1,9 | 0,41 | 0,56 | 0,00 | 0,0 | 0,00 | 1,00 | 41,64 | 110,72 | OK |
| | | Mezz. | 1 | 34,84 | 0,01 | 1,0 | 0,0 | 1,9 | 0,41 | 0,56 | 0,00 | 0,0 | 0,00 | 1,00 | 50,13 | 110,72 | OK |
| | | Piede | 1 | 40,74 | 0,03 | 0,0 | 0,0 | 1,9 | 0,41 | 0,56 | 4,23 | 10,4 | 0,14 | 0,93 | 63,20 | 110,72 | OK |
| 3 | 58 | Testa | 1 | 7,47 | 0,00 | 1,9 | 0,0 | 1,9 | 0,41 | 0,56 | 0,00 | 0,0 | 0,00 | 1,00 | 106,79 | 110,72 | OK |
| | | Mezz. | 1 | 8,07 | 0,01 | 1,0 | 0,0 | 1,9 | 0,41 | 0,56 | 0,00 | 0,0 | 0,00 | 1,00 | 115,28 | 110,72 | NO VERIF |
| | | Piede | 1 | 8,66 | 0,01 | 0,0 | 0,0 | 1,9 | 0,41 | 0,56 | 0,04 | 0,5 | 0,06 | 0,97 | 127,98 | 110,72 | NO VERIF |
| 3 | 59 | Testa | 1 | 6,11 | 0,00 | 1,9 | 0,0 | 1,9 | 0,41 | 0,56 | 0,00 | 0,0 | 0,00 | 1,00 | 87,33 | 110,72 | OK |
| | | Mezz. | 1 | 6,70 | 0,00 | 1,0 | 0,0 | 1,9 | 0,41 | 0,56 | 0,00 | 0,0 | 0,00 | 1,00 | 95,82 | 110,72 | OK |
| | | Piede | 1 | 7,30 | 0,01 | 0,0 | 0,0 | 1,9 | 0,41 | 0,56 | 0,04 | 0,6 | 0,07 | 0,96 | 108,48 | 110,72 | OK |
| 3 | 60 | Testa | 2 | 5,95 | 0,11 | 1,9 | 0,0 | 3,8 | 1,64 | 0,00 | 0,00 | 0,0 | 0,00 | 1,00 | -99,99 | 110,72 | NO VERIF |
| | | Mezz. | 1 | 6,78 | 0,06 | 1,0 | 0,0 | 1,9 | 0,82 | 0,00 | 0,00 | 0,0 | 0,00 | 1,00 | -99,99 | 110,72 | NO VERIF |
| | | Piede | 1 | 7,10 | 0,01 | 0,0 | 0,0 | 1,9 | 0,82 | 0,00 | 0,06 | 0,8 | 0,10 | 0,95 | -99,99 | 110,72 | NO VERIF |
| 3 | 61 | Testa | 2 | 17,20 | 0,35 | 1,9 | 0,0 | 4,0 | 1,70 | 0,00 | 0,00 | 0,0 | 0,00 | 1,00 | -99,99 | 110,72 | NO VERIF |
| | | Mezz. | 2 | 18,19 | 0,18 | 1,0 | 0,0 | 1,9 | 0,82 | 0,00 | 0,00 | 0,0 | 0,00 | 1,00 | -99,99 | 110,72 | NO VERIF |
| | | Piede | 1 | 20,77 | 0,00 | 0,0 | 0,0 | 1,9 | 0,82 | 0,00 | 0,42 | 2,0 | 0,08 | 0,96 | -99,99 | 110,72 | NO VERIF |
| 3 | 62 | Testa | 1 | 3,61 | 0,00 | 1,9 | 0,0 | 1,9 | 0,82 | 0,00 | 0,00 | 0,0 | 0,00 | 1,00 | -99,99 | 110,72 | NO VERIF |
| | | Mezz. | 1 | 4,01 | 0,00 | 1,0 | 0,0 | 1,9 | 0,82 | 0,00 | 0,00 | 0,0 | 0,00 | 1,00 | -99,99 | 110,72 | NO VERIF |
| | | Piede | 1 | 4,40 | 0,00 | 0,0 | 0,0 | 1,9 | 0,82 | 0,00 | 0,06 | 1,4 | 0,14 | 0,93 | -99,99 | 110,72 | NO VERIF |
| 3 | 63 | Testa | 1 | 2,29 | 0,00 | 1,9 | 0,0 | 1,9 | 0,82 | 0,00 | 0,00 | 0,0 | 0,00 | 1,00 | -99,99 | 110,72 | NO VERIF |
| | | Mezz. | 1 | 2,55 | 0,00 | 1,0 | 0,0 | 1,9 | 0,82 | 0,00 | 0,00 | 0,0 | 0,00 | 1,00 | -99,99 | 110,72 | NO VERIF |
| | | Piede | 1 | 2,81 | 0,00 | 0,0 | 0,0 | 1,9 | 0,82 | 0,00 | 0,02 | 0,7 | 0,11 | 0,94 | -99,99 | 110,72 | NO VERIF |
| 3 | 64 | Testa | 1 | 4,13 | 0,00 | 1,9 | 0,0 | 1,9 | 0,82 | 0,00 | 0,00 | 0,0 | 0,00 | 1,00 | -99,99 | 110,72 | NO VERIF |
| | | Mezz. | 1 | 4,63 | 0,00 | 1,0 | 0,0 | 1,9 | 0,82 | 0,00 | 0,00 | 0,0 | 0,00 | 1,00 | -99,99 | 110,72 | NO VERIF |
| | | Piede | 1 | 5,13 | 0,00 | 0,0 | 0,0 | 1,9 | 0,82 | 0,00 | 0,08 | 1,6 | 0,13 | 0,93 | -99,99 | 110,72 | NO VERIF |
| 3 | 65 | Testa | 2 | 11,04 | 0,21 | 1,9 | 0,0 | 3,8 | 1,65 | 0,00 | 0,00 | 0,0 | 0,00 | 1,00 | -99,99 | 110,72 | NO VERIF |
| | | Mezz. | 1 | 12,80 | 0,11 | 1,0 | 0,0 | 1,9 | 0,82 | 0,00 | 0,00 | 0,0 | 0,00 | 1,00 | -99,99 | 110,72 | NO VERIF |
| | | Piede | 1 | 13,62 | 0,01 | 0,0 | 0,0 | 1,9 | 0,82 | 0,00 | 0,04 | 0,3 | 0,01 | 0,99 | -99,99 | 110,72 | NO VERIF |
| 3 | 66 | Testa | 2 | 5,10 | 0,09 | 1,9 | 0,0 | 3,7 | 1,59 | 0,00 | 0,00 | 0,0 | 0,00 | 1,00 | -99,99 | 110,72 | NO VERIF |
| | | Mezz. | 1 | 5,87 | 0,05 | 1,0 | 0,0 | 1,9 | 0,82 | 0,00 | 0,00 | 0,0 | 0,00 | 1,00 | -99,99 | 110,72 | NO VERIF |

C.D.S.

| VERIFICA STATICÀ A FLESSIONE | | | | | | | | | | | | | | | | | |
|------------------------------|-----------|-------|----------|-------|---------|------------|------------|------------|------|------|---------|------------|------|------|--------------|--------------|----------------------|
| VERIFICA STATICÀ A FLESSIONE | | | | | | | | | | | | | | | | | |
| Quota N.ro | Muro N.ro | Sez. | Cmb file | N (t) | Mx (tm) | ecc.A (cm) | ecc.V (cm) | ecc.X (cm) | m.X | FI.X | My (tm) | ecc.Y (cm) | m.Y | FI.Y | σ max (t/m²) | σ lim (t/m²) | STRINGA DI CONTROLLO |
| | | Piede | 1 | 6,22 | 0,01 | 0,0 | 0,0 | 1,9 | 0,82 | 0,00 | 0,08 | 1,3 | 0,15 | 0,92 | -99,99 | 110,72 | NO VERIF |
| 3 | 67 | Testa | 1 | 31,31 | 0,00 | 1,9 | 0,0 | 1,9 | 0,41 | 0,56 | 0,00 | 0,0 | 0,00 | 1,00 | 113,11 | 110,72 | NO VERIF |
| | | Mezz. | 1 | 33,66 | 0,00 | 1,0 | 0,0 | 1,9 | 0,41 | 0,56 | 0,00 | 0,0 | 0,00 | 1,00 | 121,60 | 110,72 | NO VERIF |
| | | Piede | 1 | 36,01 | 0,01 | 0,0 | 0,0 | 1,9 | 0,41 | 0,56 | 1,31 | 3,6 | 0,12 | 0,94 | 138,98 | 110,72 | NO VERIF |
| 3 | 68 | Testa | 1 | 5,88 | 0,00 | 1,9 | 0,0 | 1,9 | 0,41 | 0,56 | 0,00 | 0,0 | 0,00 | 1,00 | 94,46 | 110,72 | OK |
| | | Mezz. | 1 | 6,40 | 0,00 | 1,0 | 0,0 | 1,9 | 0,41 | 0,56 | 0,00 | 0,0 | 0,00 | 1,00 | 102,95 | 110,72 | OK |
| | | Piede | 1 | 6,93 | 0,01 | 0,0 | 0,0 | 1,9 | 0,41 | 0,56 | 0,02 | 0,2 | 0,04 | 0,98 | 113,54 | 110,72 | NO VERIF |
| 3 | 69 | Testa | 1 | 3,48 | 0,00 | 1,9 | 0,0 | 1,9 | 0,41 | 0,56 | 0,00 | 0,0 | 0,00 | 1,00 | 60,47 | 110,72 | OK |
| | | Mezz. | 1 | 3,97 | 0,02 | 1,0 | 0,0 | 1,9 | 0,41 | 0,56 | 0,00 | 0,0 | 0,00 | 1,00 | 68,96 | 110,72 | OK |
| | | Piede | 1 | 4,46 | 0,04 | 0,0 | 0,0 | 1,9 | 0,41 | 0,56 | 0,00 | 0,0 | 0,00 | 1,00 | 77,59 | 110,72 | OK |
| 3 | 70 | Testa | 1 | 33,39 | 0,00 | 1,9 | 0,0 | 1,9 | 0,41 | 0,56 | 0,00 | 0,0 | 0,00 | 1,00 | 51,50 | 110,72 | OK |
| | | Mezz. | 1 | 38,90 | 0,14 | 1,0 | 0,0 | 1,9 | 0,41 | 0,56 | 0,00 | 0,0 | 0,00 | 1,00 | 59,99 | 110,72 | OK |
| | | Piede | 1 | 44,40 | 0,28 | 0,0 | 0,0 | 1,9 | 0,41 | 0,56 | 1,82 | 4,1 | 0,06 | 0,97 | 70,65 | 110,72 | OK |
| 3 | 71 | Testa | 2 | 2,31 | 0,04 | 1,9 | 0,0 | 3,7 | 1,60 | 0,00 | 0,00 | 0,0 | 0,00 | 1,00 | -99,99 | 110,72 | NO VERIF |
| | | Mezz. | 1 | 2,69 | 0,02 | 1,0 | 0,0 | 1,9 | 0,82 | 0,00 | 0,00 | 0,0 | 0,00 | 1,00 | -99,99 | 110,72 | NO VERIF |
| | | Piede | 1 | 2,92 | 0,00 | 0,0 | 0,0 | 1,9 | 0,82 | 0,00 | 0,04 | 1,2 | 0,21 | 0,89 | -99,99 | 110,72 | NO VERIF |
| 3 | 72 | Testa | 1 | 6,28 | 0,00 | 1,9 | 0,0 | 1,9 | 0,41 | 0,56 | 0,00 | 0,0 | 0,00 | 1,00 | 89,73 | 110,72 | OK |
| | | Mezz. | 1 | 6,87 | 0,00 | 1,0 | 0,0 | 1,9 | 0,41 | 0,56 | 0,00 | 0,0 | 0,00 | 1,00 | 98,22 | 110,72 | OK |
| | | Piede | 1 | 7,47 | 0,00 | 0,0 | 0,0 | 1,9 | 0,41 | 0,56 | 0,01 | 0,1 | 0,01 | 0,99 | 107,29 | 110,72 | OK |
| 3 | 73 | Testa | 2 | 7,61 | 0,15 | 1,9 | 0,0 | 3,8 | 1,65 | 0,00 | 0,00 | 0,0 | 0,00 | 1,00 | -99,99 | 110,72 | NO VERIF |
| | | Mezz. | 1 | 8,82 | 0,07 | 1,0 | 0,0 | 1,9 | 0,82 | 0,00 | 0,00 | 0,0 | 0,00 | 1,00 | -99,99 | 110,72 | NO VERIF |
| | | Piede | 1 | 9,36 | 0,01 | 0,0 | 0,0 | 1,9 | 0,82 | 0,00 | 0,23 | 2,4 | 0,17 | 0,91 | -99,99 | 110,72 | NO VERIF |
| VERIFICA STATICÀ A FLESSIONE | | | | | | | | | | | | | | | | | |
| VERIFICA STATICÀ A FLESSIONE | | | | | | | | | | | | | | | | | |
| Quota N.ro | Muro N.ro | Sez. | Cmb file | N (t) | Mx (tm) | ecc.A (cm) | ecc.V (cm) | ecc.X (cm) | m.X | FI.X | My (tm) | ecc.Y (cm) | m.Y | FI.Y | σ max (t/m²) | σ lim (t/m²) | STRINGA DI CONTROLLO |
| 4 | 1 | Testa | 1 | 3,96 | 0,00 | 1,6 | 0,0 | 1,6 | 0,35 | 0,64 | 0,00 | 0,0 | 0,00 | 1,00 | 13,36 | 110,72 | OK |
| | | Mezz. | 1 | 5,85 | 0,05 | 0,8 | 0,0 | 1,6 | 0,35 | 0,64 | 0,00 | 0,0 | 0,00 | 1,00 | 19,71 | 110,72 | OK |
| | | Piede | 1 | 7,74 | 0,09 | 0,0 | 0,0 | 1,6 | 0,35 | 0,64 | 2,45 | 31,7 | 1,15 | 0,55 | 47,73 | 110,72 | OK |
| 4 | 2 | Testa | 1 | 6,82 | 0,00 | 1,6 | 0,0 | 1,6 | 0,35 | 0,64 | 0,00 | 0,0 | 0,00 | 1,00 | 23,82 | 110,72 | OK |
| | | Mezz. | 1 | 8,64 | 0,00 | 0,8 | 0,0 | 1,6 | 0,35 | 0,64 | 0,00 | 0,0 | 0,00 | 1,00 | 30,18 | 110,72 | OK |
| | | Piede | 1 | 10,45 | 0,01 | 0,0 | 0,0 | 1,6 | 0,35 | 0,64 | 1,30 | 12,4 | 0,47 | 0,76 | 48,23 | 110,72 | OK |
| 4 | 3 | Testa | 1 | 4,65 | 0,00 | 1,6 | 0,0 | 1,6 | 0,35 | 0,64 | 0,00 | 0,0 | 0,00 | 1,00 | 17,92 | 110,72 | OK |
| | | Mezz. | 1 | 6,29 | 0,06 | 0,8 | 0,0 | 1,7 | 0,37 | 0,63 | 0,00 | 0,0 | 0,00 | 1,00 | 24,64 | 110,72 | OK |
| | | Piede | 1 | 7,94 | 0,11 | 0,0 | 0,0 | 1,6 | 0,35 | 0,64 | 2,08 | 26,2 | 1,09 | 0,56 | 54,28 | 110,72 | OK |
| 4 | 4 | Testa | 1 | 0,84 | 0,00 | 1,6 | 0,0 | 1,6 | 0,35 | 0,64 | 0,00 | 0,0 | 0,00 | 1,00 | 22,43 | 110,72 | OK |
| | | Mezz. | 1 | 1,08 | 0,01 | 0,8 | 0,0 | 2,2 | 0,46 | 0,59 | 0,00 | 0,0 | 0,00 | 1,00 | 31,38 | 110,72 | OK |
| | | Piede | 1 | 1,32 | 0,03 | 0,0 | 0,0 | 2,2 | 0,47 | 0,58 | 0,03 | 2,4 | 0,68 | 0,68 | 56,30 | 110,72 | OK |
| 4 | 5 | Testa | 1 | 5,92 | 0,00 | 1,6 | 0,0 | 1,6 | 0,35 | 0,64 | 0,00 | 0,0 | 0,00 | 1,00 | 15,11 | 110,72 | OK |
| | | Mezz. | 1 | 8,41 | 0,00 | 0,8 | 0,0 | 1,6 | 0,35 | 0,64 | 0,00 | 0,0 | 0,00 | 1,00 | 21,47 | 110,72 | OK |
| | | Piede | 1 | 10,90 | 0,01 | 0,0 | 0,0 | 1,6 | 0,35 | 0,64 | 0,40 | 3,7 | 0,10 | 0,95 | 29,37 | 110,72 | OK |
| 4 | 6 | Testa | 1 | 3,69 | 0,00 | 1,6 | 0,0 | 1,6 | 0,35 | 0,64 | 0,00 | 0,0 | 0,00 | 1,00 | 14,85 | 110,72 | OK |
| | | Mezz. | 1 | 5,27 | 0,01 | 0,8 | 0,0 | 1,6 | 0,35 | 0,64 | 0,00 | 0,0 | 0,00 | 1,00 | 21,21 | 110,72 | OK |
| | | Piede | 1 | 6,85 | 0,02 | 0,0 | 0,0 | 1,6 | 0,35 | 0,64 | 0,06 | 0,8 | 0,04 | 0,98 | 28,09 | 110,72 | OK |
| 4 | 7 | Testa | 1 | 3,82 | 0,00 | 1,6 | 0,0 | 1,6 | 0,35 | 0,64 | 0,00 | 0,0 | 0,00 | 1,00 | 16,31 | 110,72 | OK |
| | | Mezz. | 1 | 5,31 | 0,01 | 0,8 | 0,0 | 1,6 | 0,35 | 0,64 | 0,00 | 0,0 | 0,00 | 1,00 | 22,67 | 110,72 | OK |
| | | Piede | 1 | 6,80 | 0,03 | 0,0 | 0,0 | 1,6 | 0,35 | 0,64 | 0,88 | 13,0 | 0,60 | 0,71 | 40,79 | 110,72 | OK |
| 4 | 8 | Testa | 1 | 4,63 | 0,00 | 1,6 | 0,0 | 1,6 | 0,35 | 0,64 | 0,00 | 0,0 | 0,00 | 1,00 | 11,60 | 110,72 | OK |
| | | Mezz. | 1 | 7,16 | 0,08 | 0,8 | 0,0 | 1,9 | 0,40 | 0,61 | 0,00 | 0,0 | 0,00 | 1,00 | 18,65 | 110,72 | OK |
| | | Piede | 1 | 9,70 | 0,15 | 0,0 | 0,0 | 1,6 | 0,35 | 0,64 | 0,24 | 2,5 | 0,07 | 0,97 | 25,19 | 110,72 | OK |
| 4 | 9 | Testa | 1 | 3,15 | 0,00 | 1,6 | 0,0 | 1,6 | 0,35 | 0,64 | 0,00 | 0,0 | 0,00 | 1,00 | 12,31 | 110,72 | OK |
| | | Mezz. | 1 | 4,77 | 0,05 | 0,8 | 0,0 | 1,9 | 0,40 | 0,62 | 0,00 | 0,0 | 0,00 | 1,00 | 19,37 | 110,72 | OK |
| | | Piede | 1 | 6,40 | 0,10 | 0,0 | 0,0 | 1,6 | 0,35 | 0,64 | 2,43 | 37,9 | 1,59 | 0,42 | 59,58 | 110,72 | OK |
| 4 | 10 | Testa | 1 | 6,34 | 0,00 | 1,6 | 0,0 | 1,6 | 0,35 | 0,64 | 0,00 | 0,0 | 0,00 | 1,00 | 20,97 | 110,72 | OK |
| | | Mezz. | 1 | 8,26 | 0,03 | 0,8 | 0,0 | 1,6 | 0,35 | 0,64 | 0,00 | 0,0 | 0,00 | 1,00 | 27,33 | 110,72 | OK |
| | | Piede | 1 | 10,18 | 0,07 | 0,0 | 0,0 | 1,6 | 0,35 | 0,64 | 0,82 | 8,0 | 0,28 | 0,85 | 39,54 | 110,72 | OK |
| 4 | 11 | Testa | 1 | 3,67 | 0,00 | 1,6 | 0,0 | 1,6 | 0,35 | 0,64 | 0,00 | 0,0 | 0,00 | 1,00 | 13,14 | 110,72 | OK |
| | | Mezz. | 1 | 5,44 | 0,04 | 0,8 | 0,0 | 1,6 | 0,35 | 0,64 | 0,00 | 0,0 | 0,00 | 1,00 | 19,50 | 110,72 | OK |
| | | Piede | 1 | 7,21 | 0,08 | 0,0 | 0,0 | 1,6 | 0,35 | 0,64 | 2,41 | 33,4 | 1,28 | 0,50 | 51,24 | 110,72 | OK |
| 4 | 12 | Testa | 1 | 2,33 | 0,00 | 1,6 | 0,0 | 1,6 | 0,35 | 0,64 | 0,00 | 0,0 | 0,00 | 1,00 | 7,01 | 110,72 | OK |

C.D.S.

| VERIFICA STATICÀ A FLESSIONE | | | | | | | | | | | | | | | | | |
|------------------------------|--------------|---------------------|----------|------------|---------------|---------------|---------------|------|------|------------|---------------|------|------|--|--|-------------------------|----------|
| VERIFICA STATICÀ A FLESSIONE | | | | | | | | | | | | | | | | | |
| Quota N.ro | Muro N.ro | Sez. Cmb file | N (t) | Mx (tm) | ecc.A (cm) | ecc.V (cm) | ecc.X (cm) | m.X | Fl.X | My (tm) | ecc.Y (cm) | m.Y | Fl.Y | σ_{max} (t/m ²) | σ_{lim} (t/m ²) | STRINGA DI CONTROLLO | |
| | | Piede | 1 | 5,74 | 0,83 | 0,0 | 0,0 | 14,5 | 3,10 | 0,00 | 0,32 | 5,6 | 0,68 | 0,69 | -99,99 | 110,72 | NO VERIF |
| 4 | 33 | Testa | 1 | 3,60 | 0,00 | 1,6 | 0,0 | 1,6 | 0,35 | 0,64 | 0,00 | 0,0 | 0,00 | 1,00 | 62,89 | 110,72 | OK |
| | | Mezz. | 1 | 3,96 | 0,64 | 0,8 | 0,0 | 17,0 | 3,64 | 0,00 | 0,00 | 0,0 | 0,00 | 1,00 | -99,99 | 110,72 | NO VERIF |
| | | Piede | 1 | 4,33 | 1,28 | 0,0 | 0,0 | 29,6 | 6,35 | 0,00 | 0,08 | 1,8 | 0,33 | 0,83 | -99,99 | 110,72 | NO VERIF |
| 4 | 34 | Testa | 1 | 3,05 | 0,00 | 1,6 | 0,0 | 1,6 | 0,35 | 0,64 | 0,00 | 0,0 | 0,00 | 1,00 | 8,98 | 110,72 | OK |
| | | Mezz. | 1 | 5,21 | 0,01 | 0,8 | 0,0 | 1,6 | 0,35 | 0,64 | 0,00 | 0,0 | 0,00 | 1,00 | 15,34 | 110,72 | OK |
| | | Piede | 1 | 7,37 | 0,03 | 0,0 | 0,0 | 1,6 | 0,35 | 0,64 | 2,50 | 33,9 | 1,07 | 0,57 | 38,16 | 110,72 | OK |
| 4 | 35 | Testa | 1 | 1,61 | 0,00 | 1,6 | 0,0 | 1,6 | 0,35 | 0,64 | 0,00 | 0,0 | 0,00 | 1,00 | 32,07 | 110,72 | OK |
| | | Mezz. | 1 | 1,92 | 0,03 | 0,8 | 0,0 | 2,1 | 0,46 | 0,59 | 0,00 | 0,0 | 0,00 | 1,00 | 41,71 | 110,72 | OK |
| | | Piede | 1 | 2,24 | 0,05 | 0,0 | 0,0 | 2,2 | 0,48 | 0,58 | 0,07 | 3,3 | 0,71 | 0,68 | 73,42 | 110,72 | OK |
| 4 | 36 | Testa | 1 | 7,79 | 0,00 | 1,6 | 0,0 | 1,6 | 0,35 | 0,64 | 0,00 | 0,0 | 0,00 | 1,00 | 9,75 | 110,72 | OK |
| | | Mezz. | 1 | 12,87 | 0,02 | 0,8 | 0,0 | 1,6 | 0,35 | 0,64 | 0,00 | 0,0 | 0,00 | 1,00 | 16,10 | 110,72 | OK |
| | | Piede | 1 | 17,95 | 0,04 | 0,0 | 0,0 | 1,6 | 0,35 | 0,64 | 1,79 | 10,0 | 0,13 | 0,93 | 24,15 | 110,72 | OK |
| 4 | 37 | Testa | 1 | 2,64 | 0,00 | 1,6 | 0,0 | 1,6 | 0,35 | 0,64 | 0,00 | 0,0 | 0,00 | 1,00 | 7,37 | 110,72 | OK |
| | | Mezz. | 1 | 4,91 | 0,00 | 0,8 | 0,0 | 1,6 | 0,35 | 0,64 | 0,00 | 0,0 | 0,00 | 1,00 | 13,73 | 110,72 | OK |
| | | Piede | 1 | 7,18 | 0,00 | 0,0 | 0,0 | 1,6 | 0,35 | 0,64 | 0,23 | 3,3 | 0,10 | 0,95 | 21,16 | 110,72 | OK |
| 4 | 38 | Testa | 1 | 5,87 | 0,00 | 1,6 | 0,0 | 1,6 | 0,70 | 0,00 | 0,00 | 0,0 | 0,00 | 1,00 | -99,99 | 110,72 | NO VERIF |
| | | Mezz. | 1 | 8,24 | 0,01 | 0,8 | 0,0 | 1,6 | 0,70 | 0,00 | 0,00 | 0,0 | 0,00 | 1,00 | -99,99 | 110,72 | NO VERIF |
| | | Piede | 1 | 10,61 | 0,03 | 0,0 | 0,0 | 1,6 | 0,70 | 0,00 | 2,17 | 20,5 | 0,29 | 0,85 | -99,99 | 110,72 | NO VERIF |
| 4 | 39 | Testa | 1 | 5,71 | 0,00 | 1,6 | 0,0 | 1,6 | 0,70 | 0,00 | 0,00 | 0,0 | 0,00 | 1,00 | -99,99 | 110,72 | NO VERIF |
| | | Mezz. | 1 | 8,08 | 0,00 | 0,8 | 0,0 | 1,6 | 0,70 | 0,00 | 0,00 | 0,0 | 0,00 | 1,00 | -99,99 | 110,72 | NO VERIF |
| | | Piede | 1 | 10,45 | 0,00 | 0,0 | 0,0 | 1,6 | 0,70 | 0,00 | 2,01 | 19,3 | 0,28 | 0,86 | -99,99 | 110,72 | NO VERIF |
| 4 | 40 | Testa | 1 | 3,83 | 0,00 | 1,6 | 0,0 | 1,6 | 0,35 | 0,64 | 0,00 | 0,0 | 0,00 | 1,00 | 17,29 | 110,72 | OK |
| | | Mezz. | 1 | 5,24 | 0,01 | 0,8 | 0,0 | 1,6 | 0,35 | 0,64 | 0,00 | 0,0 | 0,00 | 1,00 | 23,65 | 110,72 | OK |
| | | Piede | 1 | 6,65 | 0,01 | 0,0 | 0,0 | 1,6 | 0,35 | 0,64 | 0,55 | 8,3 | 0,40 | 0,79 | 37,92 | 110,72 | OK |
| 4 | 41 | Testa | 1 | 2,79 | 0,00 | 1,6 | 0,0 | 1,6 | 0,35 | 0,64 | 0,00 | 0,0 | 0,00 | 1,00 | 11,23 | 110,72 | OK |
| | | Mezz. | 1 | 4,37 | 0,00 | 0,8 | 0,0 | 1,6 | 0,35 | 0,64 | 0,00 | 0,0 | 0,00 | 1,00 | 17,59 | 110,72 | OK |
| | | Piede | 1 | 5,95 | 0,01 | 0,0 | 0,0 | 1,6 | 0,35 | 0,64 | 0,23 | 3,8 | 0,16 | 0,91 | 26,19 | 110,72 | OK |
| 4 | 42 | Testa | 1 | 8,68 | 0,00 | 1,6 | 0,0 | 1,6 | 0,35 | 0,64 | 0,00 | 0,0 | 0,00 | 1,00 | 89,88 | 110,72 | OK |
| | | Mezz. | 1 | 9,29 | 0,00 | 0,8 | 0,0 | 1,6 | 0,35 | 0,64 | 0,00 | 0,0 | 0,00 | 1,00 | 96,23 | 110,72 | OK |
| | | Piede | 1 | 9,91 | 0,00 | 0,0 | 0,0 | 1,6 | 0,35 | 0,64 | 0,91 | 9,2 | 1,02 | 0,58 | 175,80 | 110,72 | NO VERIF |
| 4 | 43 | Testa | 1 | 9,13 | 0,00 | 1,6 | 0,0 | 1,6 | 0,35 | 0,64 | 0,00 | 0,0 | 0,00 | 1,00 | 23,31 | 110,72 | OK |
| | | Mezz. | 1 | 11,62 | 0,00 | 0,8 | 0,0 | 1,6 | 0,35 | 0,64 | 0,00 | 0,0 | 0,00 | 1,00 | 29,67 | 110,72 | OK |
| | | Piede | 1 | 14,11 | 0,01 | 0,0 | 0,0 | 1,6 | 0,35 | 0,64 | 0,35 | 2,5 | 0,07 | 0,97 | 37,33 | 110,72 | OK |
| 4 | 44 | Testa | 1 | 4,80 | 0,00 | 1,6 | 0,0 | 1,6 | 0,70 | 0,00 | 0,00 | 0,0 | 0,00 | 1,00 | -99,99 | 110,72 | NO VERIF |
| | | Mezz. | 1 | 5,35 | 0,01 | 0,8 | 0,0 | 1,6 | 0,70 | 0,00 | 0,00 | 0,0 | 0,00 | 1,00 | -99,99 | 110,72 | NO VERIF |
| | | Piede | 1 | 5,89 | 0,01 | 0,0 | 0,0 | 1,6 | 0,70 | 0,00 | 0,85 | 14,5 | 0,91 | 0,62 | -99,99 | 110,72 | NO VERIF |
| 4 | 45 | Testa | 1 | 12,61 | 0,00 | 1,6 | 0,0 | 1,6 | 0,35 | 0,64 | 0,00 | 0,0 | 0,00 | 1,00 | 16,91 | 110,72 | OK |
| | | Mezz. | 1 | 17,35 | 0,20 | 0,8 | 0,0 | 2,0 | 0,42 | 0,61 | 0,00 | 0,0 | 0,00 | 1,00 | 24,51 | 110,72 | OK |
| | | Piede | 1 | 22,09 | 0,39 | 0,0 | 0,0 | 1,8 | 0,38 | 0,62 | 10,02 | 45,4 | 0,65 | 0,69 | 43,75 | 110,72 | OK |
| 4 | 46 | Testa | 1 | 3,29 | 0,00 | 1,6 | 0,0 | 1,6 | 0,35 | 0,64 | 0,00 | 0,0 | 0,00 | 1,00 | 17,50 | 110,72 | OK |
| | | Mezz. | 1 | 4,48 | 0,01 | 0,8 | 0,0 | 1,6 | 0,35 | 0,64 | 0,00 | 0,0 | 0,00 | 1,00 | 23,85 | 110,72 | OK |
| | | Piede | 1 | 5,67 | 0,02 | 0,0 | 0,0 | 1,6 | 0,35 | 0,64 | 1,29 | 22,8 | 1,30 | 0,50 | 60,44 | 110,72 | OK |
| 4 | 47 | Testa | 1 | 6,82 | 0,00 | 1,6 | 0,0 | 1,6 | 0,35 | 0,64 | 0,00 | 0,0 | 0,00 | 1,00 | 40,14 | 110,72 | OK |
| | | Mezz. | 1 | 7,90 | 0,01 | 0,8 | 0,0 | 1,6 | 0,35 | 0,64 | 0,00 | 0,0 | 0,00 | 1,00 | 46,49 | 110,72 | OK |
| | | Piede | 1 | 8,98 | 0,02 | 0,0 | 0,0 | 1,6 | 0,35 | 0,64 | 0,23 | 2,6 | 0,16 | 0,91 | 57,80 | 110,72 | OK |
| 4 | 48 | Testa | 1 | 4,35 | 0,00 | 1,6 | 0,0 | 1,6 | 0,35 | 0,64 | 0,00 | 0,0 | 0,00 | 1,00 | 23,62 | 110,72 | OK |
| | | Mezz. | 1 | 5,52 | 0,03 | 0,8 | 0,0 | 1,6 | 0,35 | 0,64 | 0,00 | 0,0 | 0,00 | 1,00 | 29,98 | 110,72 | OK |
| | | Piede | 1 | 6,69 | 0,06 | 0,0 | 0,0 | 1,6 | 0,35 | 0,64 | 0,14 | 2,1 | 0,12 | 0,94 | 38,77 | 110,72 | OK |
| 4 | 49 | Testa | 1 | 3,64 | 0,00 | 1,6 | 0,0 | 1,6 | 0,35 | 0,64 | 0,00 | 0,0 | 0,00 | 1,00 | 18,15 | 110,72 | OK |
| | | Mezz. | 1 | 4,91 | 0,00 | 0,8 | 0,0 | 1,6 | 0,35 | 0,64 | 0,00 | 0,0 | 0,00 | 1,00 | 24,51 | 110,72 | OK |
| | | Piede | 1 | 6,18 | 0,01 | 0,0 | 0,0 | 1,6 | 0,35 | 0,64 | 0,35 | 5,7 | 0,30 | 0,84 | 36,68 | 110,72 | OK |
| 4 | 50 | Testa | 1 | 10,03 | 0,00 | 1,6 | 0,0 | 1,6 | 0,35 | 0,64 | 0,00 | 0,0 | 0,00 | 1,00 | 40,07 | 110,72 | OK |
| | | Mezz. | 1 | 11,62 | 0,00 | 0,8 | 0,0 | 1,6 | 0,35 | 0,64 | 0,00 | 0,0 | 0,00 | 1,00 | 46,43 | 110,72 | OK |
| | | Piede | 1 | 13,21 | 0,01 | 0,0 | 0,0 | 1,6 | 0,35 | 0,64 | 0,54 | 4,1 | 0,18 | 0,91 | 58,07 | 110,72 | OK |
| 4 | 51 | Testa | 1 | 4,59 | 0,00 | 1,6 | 0,0 | 1,6 | 0,35 | 0,64 | 0,00 | 0,0 | 0,00 | 1,00 | 32,91 | 110,72 | OK |
| | | Mezz. | 1 | 5,48 | 0,00 | 0,8 | 0,0 | 1,6 | 0,35 | 0,64 | 0,00 | 0,0 | 0,00 | 1,00 | 39,27 | 110,72 | OK |
| | | Piede | 1 | 6,36 | 0,01 | 0,0 | 0,0 | 1,6 | 0,35 | 0,64 | 0,20 | 3,2 | 0,25 | 0,87 | 52,35 | 110,72 | OK |
| 4 | 52 | Testa | 1 | 2,89 | 0,00 | 1,6 | 0,0 | 1,6 | 0,35 | 0,64 | 0,00 | 0,0 | 0,00 | 1,00 | 35,95 | 110,72 | OK |
| | | Mezz. | 1 | 3,40 | 0,02 | 0,8 | 0,0 | 1,6 | 0,35 | 0,64 | 0,00 | 0,0 | 0,00 | 1,00 | 42,31 | 110,72 | OK |
| | | Piede | 1 | 3,92 | 0,04 | 0,0 | 0,0 | 1,6 | 0,35 | 0,64 | 0,12 | 3,2 | 0,42 | 0,78 | 62,45 | 110,72 | OK |

C.D.S.

| VERIFICA STATICÀ A FLESSIONE | | | | | | | | | | | | | | | | | | |
|------------------------------|-----------|-------|---------|-------|---------|------------|------------|------------|------|------|---------|------------|------|------|--------------|--------------|----------------------|----------|
| VERIFICA STATICÀ A FLESSIONE | | | | | | | | | | | | | | | | | | |
| Quota N.ro | Muro N.ro | Sez. | Cmb fle | N (t) | Mx (tm) | ecc.A (cm) | ecc.V (cm) | ecc.X (cm) | m.X | Fl.X | My (tm) | ecc.Y (cm) | m.Y | Fl.Y | σ max (t/m²) | σ lim (t/m²) | STRINGA DI CONTROLLO | |
| 4 | 53 | Testa | 1 | 0,86 | 0,00 | 1,6 | 0,0 | 1,6 | 0,35 | 0,64 | 0,00 | 0,0 | 0,00 | 1,00 | 9,83 | 110,72 | OK | |
| | | | Mezz. | 1 | 1,42 | 0,00 | 0,8 | 0,0 | 1,6 | 0,35 | 0,64 | 0,00 | 0,0 | 1,00 | 16,18 | 110,72 | OK | |
| | | | Piede | 1 | 1,98 | 0,01 | 0,0 | 0,0 | 1,6 | 0,35 | 0,64 | 0,00 | 0,2 | 0,02 | 22,79 | 110,72 | OK | |
| 4 | 54 | Testa | 1 | 4,32 | 0,00 | 1,6 | 0,0 | 1,6 | 0,35 | 0,64 | 0,00 | 0,0 | 0,00 | 1,00 | 12,26 | 110,72 | OK | |
| | | | Mezz. | 1 | 6,56 | 0,02 | 0,8 | 0,0 | 1,6 | 0,35 | 0,64 | 0,00 | 0,0 | 1,00 | 18,61 | 110,72 | OK | |
| | | | Piede | 1 | 8,80 | 0,05 | 0,0 | 0,0 | 1,6 | 0,35 | 0,64 | 0,22 | 2,5 | 0,08 | 0,96 | 26,02 | 110,72 | OK |
| 4 | 55 | Testa | 1 | 7,07 | 0,00 | 1,6 | 0,0 | 1,6 | 0,35 | 0,64 | 0,00 | 0,0 | 0,00 | 1,00 | 8,85 | 110,72 | OK | |
| | | | Mezz. | 1 | 12,15 | 0,01 | 0,8 | 0,0 | 1,6 | 0,35 | 0,64 | 0,00 | 0,0 | 0,00 | 1,00 | 15,20 | 110,72 | OK |
| | | | Piede | 1 | 17,23 | 0,02 | 0,0 | 0,0 | 1,6 | 0,35 | 0,64 | 3,51 | 20,4 | 0,27 | 0,86 | 25,13 | 110,72 | OK |
| 4 | 56 | Testa | 1 | 2,69 | 0,00 | 1,6 | 0,0 | 1,6 | 0,35 | 0,64 | 0,00 | 0,0 | 0,00 | 1,00 | 33,43 | 110,72 | OK | |
| | | | Mezz. | 1 | 3,20 | 0,03 | 0,8 | 0,0 | 1,8 | 0,39 | 0,62 | 0,00 | 0,0 | 0,00 | 1,00 | 41,09 | 110,72 | OK |
| | | | Piede | 1 | 3,71 | 0,06 | 0,0 | 0,0 | 1,7 | 0,37 | 0,63 | 0,04 | 1,2 | 0,16 | 0,92 | 51,24 | 110,72 | OK |
| 4 | 57 | Testa | 1 | 1,82 | 0,00 | 1,6 | 0,0 | 1,6 | 0,35 | 0,64 | 0,00 | 0,0 | 0,00 | 1,00 | 22,64 | 110,72 | OK | |
| | | | Mezz. | 1 | 2,33 | 0,06 | 0,8 | 0,0 | 3,3 | 0,70 | 0,50 | 0,00 | 0,0 | 0,00 | 1,00 | 36,83 | 110,72 | OK |
| | | | Piede | 1 | 2,85 | 0,11 | 0,0 | 0,0 | 4,0 | 0,86 | 0,45 | 0,02 | 0,7 | 0,09 | 0,95 | 52,64 | 110,72 | OK |
| 4 | 58 | Testa | 1 | 2,43 | 0,00 | 1,6 | 0,0 | 1,6 | 0,70 | 0,00 | 0,00 | 0,0 | 0,00 | 1,00 | -99,99 | 110,72 | NO VERIF | |
| | | | Mezz. | 1 | 2,70 | 0,01 | 0,8 | 0,0 | 1,6 | 0,70 | 0,00 | 0,00 | 0,0 | 0,00 | 1,00 | -99,99 | 110,72 | NO VERIF |
| | | | Piede | 1 | 2,98 | 0,01 | 0,0 | 0,0 | 1,6 | 0,70 | 0,00 | 0,05 | 1,8 | 0,22 | 0,89 | -99,99 | 110,72 | NO VERIF |
| 4 | 59 | Testa | 1 | 8,72 | 0,00 | 1,6 | 0,0 | 1,6 | 0,70 | 0,00 | 0,00 | 0,0 | 0,00 | 1,00 | -99,99 | 110,72 | NO VERIF | |
| | | | Mezz. | 1 | 9,57 | 0,04 | 0,8 | 0,0 | 1,6 | 0,70 | 0,00 | 0,00 | 0,0 | 0,00 | 1,00 | -99,99 | 110,72 | NO VERIF |
| | | | Piede | 1 | 10,42 | 0,08 | 0,0 | 0,0 | 1,6 | 0,70 | 0,00 | 1,76 | 16,9 | 0,68 | 0,69 | -99,99 | 110,72 | NO VERIF |
| 4 | 60 | Testa | 1 | 0,98 | 0,00 | 1,6 | 0,0 | 1,6 | 0,70 | 0,00 | 0,00 | 0,0 | 0,00 | 1,00 | -99,99 | 110,72 | NO VERIF | |
| | | | Mezz. | 1 | 1,32 | 0,00 | 0,8 | 0,0 | 1,6 | 0,70 | 0,00 | 0,00 | 0,0 | 0,00 | 1,00 | -99,99 | 110,72 | NO VERIF |
| | | | Piede | 1 | 1,66 | 0,00 | 0,0 | 0,0 | 1,6 | 0,70 | 0,00 | 0,05 | 2,8 | 0,28 | 0,85 | -99,99 | 110,72 | NO VERIF |
| 4 | 61 | Testa | 1 | 1,36 | 0,00 | 1,6 | 0,0 | 1,6 | 0,70 | 0,00 | 0,00 | 0,0 | 0,00 | 1,00 | -99,99 | 110,72 | NO VERIF | |
| | | | Mezz. | 1 | 1,79 | 0,00 | 0,8 | 0,0 | 1,6 | 0,70 | 0,00 | 0,00 | 0,0 | 0,00 | 1,00 | -99,99 | 110,72 | NO VERIF |
| | | | Piede | 1 | 2,22 | 0,00 | 0,0 | 0,0 | 1,6 | 0,70 | 0,00 | 0,11 | 4,9 | 0,38 | 0,80 | -99,99 | 110,72 | NO VERIF |
| 4 | 62 | Testa | 1 | 4,22 | 0,00 | 1,6 | 0,0 | 1,6 | 0,70 | 0,00 | 0,00 | 0,0 | 0,00 | 1,00 | -99,99 | 110,72 | NO VERIF | |
| | | | Mezz. | 1 | 4,92 | 0,01 | 0,8 | 0,0 | 1,6 | 0,70 | 0,00 | 0,00 | 0,0 | 0,00 | 1,00 | -99,99 | 110,72 | NO VERIF |
| | | | Piede | 1 | 5,63 | 0,02 | 0,0 | 0,0 | 1,6 | 0,70 | 0,00 | 1,15 | 20,4 | 0,99 | 0,59 | -99,99 | 110,72 | NO VERIF |
| 4 | 63 | Testa | 1 | 1,82 | 0,00 | 1,6 | 0,0 | 1,6 | 0,70 | 0,00 | 0,00 | 0,0 | 0,00 | 1,00 | -99,99 | 110,72 | NO VERIF | |
| | | | Mezz. | 1 | 2,11 | 0,00 | 0,8 | 0,0 | 1,6 | 0,70 | 0,00 | 0,00 | 0,0 | 0,00 | 1,00 | -99,99 | 110,72 | NO VERIF |
| | | | Piede | 1 | 2,41 | 0,00 | 0,0 | 0,0 | 1,6 | 0,70 | 0,00 | 0,02 | 0,9 | 0,10 | 0,95 | -99,99 | 110,72 | NO VERIF |
| 4 | 64 | Testa | 1 | 8,87 | 0,00 | 1,6 | 0,0 | 1,6 | 0,35 | 0,64 | 0,00 | 0,0 | 0,00 | 1,00 | 27,86 | 110,72 | OK | |
| | | | Mezz. | 1 | 10,89 | 0,10 | 0,8 | 0,0 | 1,7 | 0,37 | 0,63 | 0,00 | 0,0 | 0,00 | 1,00 | 34,86 | 110,72 | OK |
| | | | Piede | 1 | 12,92 | 0,20 | 0,0 | 0,0 | 1,6 | 0,35 | 0,64 | 0,81 | 6,3 | 0,21 | 0,89 | 45,62 | 110,72 | OK |
| 4 | 65 | Testa | 1 | 2,15 | 0,00 | 1,6 | 0,0 | 1,6 | 0,35 | 0,64 | 0,00 | 0,0 | 0,00 | 1,00 | 30,11 | 110,72 | OK | |
| | | | Mezz. | 1 | 2,61 | 0,01 | 0,8 | 0,0 | 1,6 | 0,35 | 0,64 | 0,00 | 0,0 | 0,00 | 1,00 | 36,47 | 110,72 | OK |
| | | | Piede | 1 | 3,06 | 0,02 | 0,0 | 0,0 | 1,6 | 0,35 | 0,64 | 0,16 | 5,1 | 0,77 | 0,66 | 64,89 | 110,72 | OK |
| 4 | 66 | Testa | 1 | 0,89 | 0,00 | 1,6 | 0,0 | 1,6 | 0,35 | 0,64 | 0,00 | 0,0 | 0,00 | 1,00 | 13,38 | 110,72 | OK | |
| | | | Mezz. | 1 | 1,31 | 0,01 | 0,8 | 0,0 | 1,8 | 0,39 | 0,62 | 0,00 | 0,0 | 0,00 | 1,00 | 20,40 | 110,72 | OK |
| | | | Piede | 1 | 1,73 | 0,03 | 0,0 | 0,0 | 1,6 | 0,35 | 0,64 | 0,00 | 0,2 | 0,03 | 0,99 | 26,45 | 110,72 | OK |
| 4 | 67 | Testa | 1 | 7,51 | 0,00 | 1,6 | 0,0 | 1,6 | 0,35 | 0,64 | 0,00 | 0,0 | 0,00 | 1,00 | 10,07 | 110,72 | OK | |
| | | | Mezz. | 1 | 12,25 | 0,06 | 0,8 | 0,0 | 1,6 | 0,35 | 0,64 | 0,00 | 0,0 | 0,00 | 1,00 | 16,43 | 110,72 | OK |
| | | | Piede | 1 | 16,99 | 0,13 | 0,0 | 0,0 | 1,6 | 0,35 | 0,64 | 0,22 | 1,3 | 0,02 | 0,99 | 23,01 | 110,72 | OK |
| 4 | 68 | Testa | 1 | 0,70 | 0,00 | 1,6 | 0,0 | 1,6 | 0,70 | 0,00 | 0,00 | 0,0 | 0,00 | 1,00 | -99,99 | 110,72 | NO VERIF | |
| | | | Mezz. | 1 | 0,90 | 0,00 | 0,8 | 0,0 | 1,6 | 0,70 | 0,00 | 0,00 | 0,0 | 0,00 | 1,00 | -99,99 | 110,72 | NO VERIF |
| | | | Piede | 1 | 1,10 | 0,00 | 0,0 | 0,0 | 1,6 | 0,70 | 0,00 | 0,11 | 9,9 | 1,69 | 0,40 | -99,99 | 110,72 | NO VERIF |
| 4 | 69 | Testa | 1 | 1,87 | 0,00 | 1,6 | 0,0 | 1,6 | 0,35 | 0,64 | 0,00 | 0,0 | 0,00 | 1,00 | 23,22 | 110,72 | OK | |
| | | | Mezz. | 1 | 2,38 | 0,06 | 0,8 | 0,0 | 3,5 | 0,74 | 0,49 | 0,00 | 0,0 | 0,00 | 1,00 | 38,62 | 110,72 | OK |
| | | | Piede | 1 | 2,89 | 0,13 | 0,0 | 0,0 | 4,4 | 0,94 | 0,43 | 0,11 | 3,8 | 0,51 | 0,74 | 72,92 | 110,72 | OK |
| 4 | 70 | Testa | 1 | 3,00 | 0,00 | 1,6 | 0,0 | 1,6 | 0,70 | 0,00 | 0,00 | 0,0 | 0,00 | 1,00 | -99,99 | 110,72 | NO VERIF | |
| | | | Mezz. | 1 | 3,48 | 0,01 | 0,8 | 0,0 | 1,6 | 0,70 | 0,00 | 0,00 | 0,0 | 0,00 | 1,00 | -99,99 | 110,72 | NO VERIF |
| | | | Piede | 1 | 3,95 | 0,01 | 0,0 | 0,0 | 1,6 | 0,70 | 0,00 | 0,07 | 1,8 | 0,13 | 0,93 | -99,99 | 110,72 | NO VERIF |

VERIFICA A SISMA ORTOGONALE

VERIFICA A SISMA ORTOGONALE

Tempo Ritorno Sisma Ortogonale: 30 Anni

| Quota N.ro | Muro N.ro | Sez. | Cmb ort | Coeff. sicur. | Nru (t) | Vru (t) | Mru (t*m) | Nd (t) | Vd (t) | Md (t*m) | PGA (Ag/g) | STRINGA DI CONTROLLO |
|------------|-----------|------|---------|---------------|---------|---------|-----------|--------|--------|----------|------------|----------------------|
|------------|-----------|------|---------|---------------|---------|---------|-----------|--------|--------|----------|------------|----------------------|

C.D.S.

| VERIFICA A SISMA ORTOGONALE | | | | | | | | | | | | |
|---|-----------|-------|---------|---------------|---------|---------|-----------|--------|--------|----------|------------|----------------------|
| VERIFICA A SISMA ORTOGONALE | | | | | | | | | | | | |
| Tempo Ritorno Sisma Ortagonale: 30 Anni | | | | | | | | | | | | |
| Quota N.ro | Muro N.ro | Sez. | Cmb ort | Coeff. sicur. | Nru (t) | Vru (t) | Mru (t*m) | Nd (t) | Vd (t) | Md (t*m) | PGA (Ag/g) | STRINGA DI CONTROLLO |
| 1 | 1 | Testa | 3 | 4,51 | 12,33 | 4,91 | 3,12 | 12,33 | 1,09 | 0,07 | 0,862 | OK |
| | | Mezz. | 3 | 6,05 | 14,97 | 5,24 | 3,69 | 14,97 | 0,87 | 0,10 | 1,155 | OK |
| | | Piede | 3 | 5,11 | 17,61 | 5,56 | 4,22 | 17,61 | 1,09 | 0,09 | 0,976 | OK |
| 1 | 2 | Testa | 3 | 6,58 | 21,45 | 5,91 | 4,89 | 21,45 | 0,90 | 0,07 | 1,257 | OK |
| | | Mezz. | 3 | 9,11 | 24,00 | 6,23 | 5,31 | 24,00 | 0,68 | 0,10 | 1,740 | OK |
| | | Piede | 3 | 7,28 | 26,54 | 6,54 | 5,69 | 26,54 | 0,90 | 0,09 | 1,391 | OK |
| 1 | 3 | Testa | 3 | 2,66 | 22,72 | 5,76 | 4,96 | 22,72 | 2,17 | 0,06 | 0,509 | OK |
| | | Mezz. | 3 | 3,07 | 25,03 | 6,05 | 5,30 | 25,03 | 1,97 | 0,09 | 0,586 | OK |
| | | Piede | 3 | 2,93 | 27,34 | 6,33 | 5,60 | 27,34 | 2,17 | 0,08 | 0,559 | OK |
| 1 | 4 | Testa | 3 | 0,94 | 8,56 | 1,49 | 0,96 | 8,56 | 1,58 | 0,01 | 0,179 | NO VERIF |
| | | Mezz. | 3 | 0,98 | 8,89 | 1,53 | 0,93 | 8,89 | 1,55 | 0,01 | 0,188 | NO VERIF |
| | | Piede | 3 | 0,99 | 9,23 | 1,57 | 0,91 | 9,23 | 1,58 | 0,01 | 0,189 | NO VERIF |
| 1 | 5 | Testa | 3 | 7,41 | 21,05 | 7,09 | 5,14 | 21,05 | 0,96 | 0,09 | 1,416 | OK |
| | | Mezz. | 3 | 11,38 | 24,55 | 7,52 | 5,83 | 24,55 | 0,66 | 0,14 | 2,174 | OK |
| | | Piede | 3 | 8,32 | 28,05 | 7,95 | 6,47 | 28,05 | 0,96 | 0,12 | 1,589 | OK |
| 1 | 6 | Testa | 3 | 8,92 | 6,60 | 3,65 | 1,75 | 6,60 | 0,41 | 0,05 | 1,704 | OK |
| | | Mezz. | 3 | 17,63 | 8,81 | 3,92 | 2,27 | 8,81 | 0,22 | 0,09 | 3,367 | OK |
| | | Piede | 3 | 10,25 | 11,02 | 4,20 | 2,77 | 11,02 | 0,41 | 0,08 | 1,959 | OK |
| 1 | 7 | Testa | 3 | 16,51 | 3,12 | 1,10 | 0,77 | 3,12 | 0,07 | 0,01 | 3,154 | OK |
| | | Mezz. | 3 | 40,02 | 3,68 | 1,17 | 0,88 | 3,68 | 0,02 | 0,02 | 7,644 | OK |
| | | Piede | 3 | 18,58 | 4,24 | 1,24 | 0,99 | 4,24 | 0,07 | 0,02 | 3,548 | OK |
| 1 | 8 | Testa | 3 | 7,97 | 0,67 | 1,00 | 0,19 | 0,67 | 0,13 | 0,01 | 1,522 | OK |
| | | Mezz. | 3 | 13,23 | 1,38 | 1,09 | 0,38 | 1,38 | 0,07 | 0,03 | 2,526 | OK |
| | | Piede | 3 | 9,38 | 2,10 | 1,18 | 0,56 | 2,10 | 0,13 | 0,03 | 1,791 | OK |
| 1 | 9 | Testa | 3 | 9,64 | 6,58 | 3,49 | 1,74 | 6,58 | 0,36 | 0,05 | 1,841 | OK |
| | | Mezz. | 3 | 20,15 | 8,67 | 3,74 | 2,23 | 8,67 | 0,19 | 0,08 | 3,848 | OK |
| | | Piede | 3 | 11,06 | 10,75 | 4,00 | 2,69 | 10,75 | 0,36 | 0,08 | 2,112 | OK |
| 1 | 10 | Testa | 3 | 6,19 | 1,94 | 0,67 | 0,48 | 1,94 | 0,11 | 0,01 | 1,183 | OK |
| | | Mezz. | 3 | 8,91 | 2,27 | 0,71 | 0,54 | 2,27 | 0,08 | 0,01 | 1,701 | OK |
| | | Piede | 3 | 6,96 | 2,60 | 0,75 | 0,60 | 2,60 | 0,11 | 0,01 | 1,329 | OK |
| 1 | 11 | Testa | 3 | 6,35 | 22,47 | 7,33 | 5,44 | 22,47 | 1,15 | 0,09 | 1,213 | OK |
| | | Mezz. | 3 | 9,09 | 26,02 | 7,76 | 6,13 | 26,02 | 0,85 | 0,14 | 1,737 | OK |
| | | Piede | 3 | 7,11 | 29,57 | 8,20 | 6,76 | 29,57 | 1,15 | 0,12 | 1,358 | OK |
| 1 | 12 | Testa | 3 | 13,95 | 2,74 | 0,95 | 0,68 | 2,74 | 0,07 | 0,01 | 2,664 | OK |
| | | Mezz. | 3 | 36,22 | 3,22 | 1,01 | 0,77 | 3,22 | 0,03 | 0,02 | 6,919 | OK |
| | | Piede | 3 | 15,68 | 3,70 | 1,07 | 0,86 | 3,70 | 0,07 | 0,02 | 2,994 | OK |
| 1 | 13 | Testa | 3 | 13,95 | 12,63 | 4,48 | 3,13 | 12,63 | 0,32 | 0,06 | 2,664 | OK |
| | | Mezz. | 3 | 36,91 | 14,91 | 4,76 | 3,59 | 14,91 | 0,13 | 0,09 | 7,049 | OK |
| | | Piede | 3 | 15,70 | 17,18 | 5,04 | 4,02 | 17,18 | 0,32 | 0,08 | 2,999 | OK |
| 1 | 14 | Testa | 3 | 5,95 | 20,47 | 5,98 | 4,78 | 20,47 | 1,00 | 0,07 | 1,137 | OK |
| | | Mezz. | 3 | 8,12 | 23,16 | 6,31 | 5,25 | 23,16 | 0,78 | 0,11 | 1,550 | OK |
| | | Piede | 3 | 6,61 | 25,85 | 6,64 | 5,69 | 25,85 | 1,00 | 0,09 | 1,263 | OK |
| 1 | 15 | Testa | 3 | 6,83 | 14,88 | 5,02 | 3,64 | 14,88 | 0,74 | 0,06 | 1,304 | OK |
| | | Mezz. | 3 | 10,13 | 17,36 | 5,33 | 4,13 | 17,36 | 0,53 | 0,10 | 1,934 | OK |
| | | Piede | 3 | 7,66 | 19,84 | 5,63 | 4,58 | 19,84 | 0,74 | 0,09 | 1,463 | OK |
| 1 | 16 | Testa | 3 | 15,84 | 33,60 | 13,49 | 8,53 | 33,60 | 0,85 | 0,18 | 3,025 | OK |
| | | Mezz. | 3 | 34,93 | 40,88 | 14,39 | 10,10 | 40,88 | 0,24 | 0,29 | 6,672 | OK |
| | | Piede | 3 | 17,95 | 48,17 | 15,29 | 11,57 | 48,17 | 0,85 | 0,26 | 3,428 | OK |
| 1 | 17 | Testa | 11 | 15,18 | 0,95 | 0,29 | 0,06 | 0,95 | 0,01 | 0,00 | 2,899 | OK |
| | | Mezz. | 11 | 11,34 | 1,08 | 0,31 | 0,06 | 1,08 | 0,00 | 0,01 | 2,165 | OK |

C.D.S.

| VERIFICA A SISMA ORTOGONALE | | | | | | | | | | | | | |
|---|-----------|-------|---------|---------------|---------|---------|-----------|--------|--------|----------|------------|----------------------|--|
| VERIFICA A SISMA ORTOGONALE | | | | | | | | | | | | | |
| Tempo Ritorno Sisma Ortagonale: 30 Anni | | | | | | | | | | | | | |
| Quota N.ro | Muro N.ro | Sez. | Cmb ort | Coeff. sicur. | Nru (t) | Vru (t) | Mru (t*m) | Nd (t) | Vd (t) | Md (t*m) | PGA (Ag/g) | STRINGA DI CONTROLLO | |
| | | Piede | 11 | 14,32 | 1,22 | 0,33 | 0,07 | 1,22 | 0,01 | 0,00 | 2,735 | OK | |
| 1 | 18 | Testa | 11 | 16,56 | 4,64 | 1,33 | 0,26 | 4,64 | 0,06 | 0,02 | 3,163 | OK | |
| | | Mezz. | 11 | 12,35 | 5,23 | 1,40 | 0,29 | 5,23 | 0,01 | 0,02 | 2,360 | OK | |
| | | Piede | 11 | 15,59 | 5,82 | 1,48 | 0,31 | 5,82 | 0,06 | 0,02 | 2,978 | OK | |
| 1 | 19 | Testa | 11 | 16,63 | 3,99 | 1,17 | 0,69 | 3,99 | 0,07 | 0,01 | 3,176 | OK | |
| | | Mezz. | 11 | 36,10 | 4,51 | 1,23 | 0,76 | 4,51 | 0,03 | 0,02 | 6,894 | OK | |
| | | Piede | 11 | 18,48 | 5,04 | 1,30 | 0,82 | 5,04 | 0,07 | 0,02 | 3,530 | OK | |
| 1 | 20 | Testa | 11 | 18,19 | 14,94 | 4,08 | 2,50 | 14,94 | 0,22 | 0,05 | 3,475 | OK | |
| | | Mezz. | 11 | 39,09 | 16,68 | 4,30 | 2,71 | 16,68 | 0,08 | 0,07 | 7,466 | OK | |
| | | Piede | 11 | 20,11 | 18,43 | 4,52 | 2,90 | 18,43 | 0,22 | 0,06 | 3,842 | OK | |
| 1 | 21 | Testa | 11 | 18,22 | 2,26 | 0,62 | 0,38 | 2,26 | 0,03 | 0,01 | 3,480 | OK | |
| | | Mezz. | 11 | 38,60 | 2,53 | 0,66 | 0,41 | 2,53 | 0,01 | 0,01 | 7,372 | OK | |
| | | Piede | 11 | 20,16 | 2,80 | 0,69 | 0,44 | 2,80 | 0,03 | 0,01 | 3,850 | OK | |
| 1 | 22 | Testa | 11 | 18,23 | 5,84 | 1,62 | 0,98 | 5,84 | 0,09 | 0,02 | 3,482 | OK | |
| | | Mezz. | 11 | 38,36 | 6,54 | 1,71 | 1,07 | 6,54 | 0,03 | 0,03 | 7,326 | OK | |
| | | Piede | 11 | 20,18 | 7,24 | 1,80 | 1,15 | 7,24 | 0,09 | 0,02 | 3,854 | OK | |
| 1 | 23 | Testa | 3 | 20,59 | 9,55 | 3,32 | 2,35 | 9,55 | 0,16 | 0,04 | 3,933 | OK | |
| | | Mezz. | 3 | 40,55 | 11,22 | 3,53 | 2,69 | 11,22 | 0,02 | 0,07 | 7,746 | OK | |
| | | Piede | 3 | 23,15 | 12,89 | 3,73 | 3,00 | 12,89 | 0,16 | 0,06 | 4,421 | OK | |
| 1 | 24 | Testa | 3 | 21,30 | 7,57 | 2,57 | 1,85 | 7,57 | 0,12 | 0,03 | 4,068 | OK | |
| | | Mezz. | 3 | 41,69 | 8,85 | 2,72 | 2,11 | 8,85 | 0,01 | 0,05 | 7,962 | OK | |
| | | Piede | 3 | 23,90 | 10,12 | 2,88 | 2,34 | 10,12 | 0,12 | 0,04 | 4,565 | OK | |
| 1 | 25 | Testa | 3 | 21,86 | 6,34 | 2,11 | 1,54 | 6,34 | 0,10 | 0,03 | 4,176 | OK | |
| | | Mezz. | 3 | 42,53 | 7,37 | 2,24 | 1,75 | 7,37 | 0,01 | 0,04 | 8,124 | OK | |
| | | Piede | 3 | 24,51 | 8,40 | 2,36 | 1,93 | 8,40 | 0,10 | 0,04 | 4,681 | OK | |
| 1 | 26 | Testa | 3 | 22,50 | 9,55 | 3,12 | 2,31 | 9,55 | 0,14 | 0,04 | 4,298 | OK | |
| | | Mezz. | 3 | 43,44 | 11,06 | 3,30 | 2,61 | 11,06 | 0,01 | 0,06 | 8,297 | OK | |
| | | Piede | 3 | 25,19 | 12,57 | 3,49 | 2,88 | 12,57 | 0,14 | 0,05 | 4,812 | OK | |
| 1 | 27 | Testa | 3 | 24,09 | 10,88 | 3,45 | 1,93 | 10,88 | 0,14 | 0,04 | 4,602 | OK | |
| | | Mezz. | 3 | 33,07 | 12,53 | 3,65 | 2,15 | 12,53 | 0,00 | 0,07 | 6,317 | OK | |
| | | Piede | 3 | 26,92 | 14,17 | 3,85 | 2,37 | 14,17 | 0,14 | 0,06 | 5,142 | OK | |
| 1 | 28 | Testa | 3 | 24,78 | 5,48 | 1,70 | 0,96 | 5,48 | 0,07 | 0,02 | 4,733 | OK | |
| | | Mezz. | 3 | 33,90 | 6,28 | 1,80 | 1,07 | 6,28 | 0,00 | 0,03 | 6,475 | OK | |
| | | Piede | 3 | 27,65 | 7,08 | 1,90 | 1,17 | 7,08 | 0,07 | 0,03 | 5,281 | OK | |
| 1 | 29 | Testa | 3 | 25,35 | 8,30 | 2,53 | 1,45 | 8,30 | 0,10 | 0,03 | 4,841 | OK | |
| | | Mezz. | 3 | 34,56 | 9,47 | 2,67 | 1,61 | 9,47 | 0,00 | 0,05 | 6,600 | OK | |
| | | Piede | 3 | 28,25 | 10,64 | 2,82 | 1,75 | 10,64 | 0,10 | 0,04 | 5,396 | OK | |
| 1 | 30 | Testa | 3 | 22,53 | 3,45 | 0,76 | 0,16 | 3,45 | 0,02 | 0,01 | 4,304 | OK | |
| | | Mezz. | 3 | 16,71 | 3,71 | 0,79 | 0,17 | 3,71 | 0,00 | 0,01 | 3,192 | OK | |
| | | Piede | 3 | 20,97 | 3,97 | 0,82 | 0,18 | 3,97 | 0,02 | 0,01 | 4,004 | OK | |
| 1 | 31 | Testa | 3 | 24,47 | 7,77 | 1,56 | 0,33 | 7,77 | 0,04 | 0,01 | 4,674 | OK | |
| | | Mezz. | 3 | 18,07 | 8,23 | 1,62 | 0,34 | 8,23 | 0,00 | 0,02 | 3,452 | OK | |
| | | Piede | 3 | 22,56 | 8,70 | 1,68 | 0,34 | 8,70 | 0,04 | 0,02 | 4,309 | OK | |
| 1 | 32 | Testa | 3 | 25,94 | 8,16 | 2,21 | 1,36 | 8,16 | 0,09 | 0,03 | 4,955 | OK | |
| | | Mezz. | 3 | 39,51 | 9,09 | 2,33 | 1,47 | 9,09 | 0,01 | 0,04 | 7,546 | OK | |
| | | Piede | 3 | 28,66 | 10,03 | 2,44 | 1,57 | 10,03 | 0,09 | 0,03 | 5,474 | OK | |
| 1 | 33 | Testa | 3 | 25,85 | 10,79 | 2,90 | 1,79 | 10,79 | 0,11 | 0,03 | 4,937 | OK | |
| | | Mezz. | 3 | 39,94 | 12,01 | 3,05 | 1,93 | 12,01 | 0,01 | 0,05 | 7,628 | OK | |
| | | Piede | 3 | 28,53 | 13,22 | 3,20 | 2,06 | 13,22 | 0,11 | 0,04 | 5,450 | OK | |

C.D.S.

| VERIFICA A SISMA ORTOGONALE | | | | | | | | | | | | |
|--|-----------|-------|---------|---------------|---------|---------|-----------|--------|--------|----------|------------|----------------------|
| VERIFICA A SISMA ORTOGONALE Tempo Ritorno Sisma Ortagonale: 30 Anni | | | | | | | | | | | | |
| Quota N.ro | Muro N.ro | Sez. | Cmb ort | Coeff. sicur. | Nru (t) | Vru (t) | Mru (t*m) | Nd (t) | Vd (t) | Md (t*m) | PGA (Ag/g) | STRINGA DI CONTROLLO |
| 1 | 34 | Testa | 3 | 25,75 | 10,57 | 2,81 | 1,74 | 10,57 | 0,11 | 0,03 | 4,918 | OK |
| | | Mezz. | 3 | 40,41 | 11,74 | 2,95 | 1,88 | 11,74 | 0,01 | 0,05 | 7,718 | OK |
| | | Piede | 3 | 28,40 | 12,91 | 3,10 | 2,00 | 12,91 | 0,11 | 0,04 | 5,424 | OK |
| 1 | 35 | Testa | 3 | 25,64 | 12,06 | 3,17 | 1,98 | 12,06 | 0,12 | 0,04 | 4,898 | OK |
| | | Mezz. | 3 | 40,88 | 13,38 | 3,34 | 2,13 | 13,38 | 0,01 | 0,05 | 7,809 | OK |
| | | Piede | 3 | 28,26 | 14,69 | 3,50 | 2,27 | 14,69 | 0,12 | 0,04 | 5,398 | OK |
| 1 | 36 | Testa | 3 | 24,36 | 7,17 | 2,01 | 1,65 | 7,17 | 0,08 | 0,02 | 4,652 | OK |
| | | Mezz. | 3 | 51,62 | 8,04 | 2,12 | 1,79 | 8,04 | 0,01 | 0,03 | 9,860 | OK |
| | | Piede | 3 | 26,98 | 8,92 | 2,22 | 1,93 | 8,92 | 0,08 | 0,03 | 5,153 | OK |
| 1 | 37 | Testa | 3 | 23,76 | 11,48 | 3,25 | 2,65 | 11,48 | 0,14 | 0,04 | 4,538 | OK |
| | | Mezz. | 3 | 50,90 | 12,91 | 3,43 | 2,89 | 12,91 | 0,02 | 0,06 | 9,721 | OK |
| | | Piede | 3 | 26,34 | 14,34 | 3,61 | 3,12 | 14,34 | 0,14 | 0,05 | 5,031 | OK |
| 1 | 38 | Testa | 3 | 23,18 | 6,86 | 1,97 | 1,59 | 6,86 | 0,08 | 0,02 | 4,427 | OK |
| | | Mezz. | 3 | 50,15 | 7,73 | 2,08 | 1,74 | 7,73 | 0,01 | 0,03 | 9,579 | OK |
| | | Piede | 3 | 25,72 | 8,61 | 2,18 | 1,88 | 8,61 | 0,08 | 0,03 | 4,912 | OK |
| 1 | 39 | Testa | 3 | 25,54 | 29,58 | 8,10 | 6,72 | 29,58 | 0,32 | 0,09 | 4,877 | OK |
| | | Mezz. | 3 | 52,96 | 33,05 | 8,53 | 7,29 | 33,05 | 0,02 | 0,14 | 10,116 | OK |
| | | Piede | 3 | 28,23 | 36,51 | 8,96 | 7,81 | 36,51 | 0,32 | 0,12 | 5,393 | OK |
| 1 | 40 | Testa | 11 | 12,64 | 9,02 | 4,38 | 2,35 | 9,02 | 0,35 | 0,06 | 2,414 | OK |
| | | Mezz. | 11 | 29,11 | 11,56 | 4,69 | 2,94 | 11,56 | 0,13 | 0,10 | 5,560 | OK |
| | | Piede | 11 | 14,45 | 14,11 | 5,01 | 3,49 | 14,11 | 0,35 | 0,09 | 2,761 | OK |
| 1 | 41 | Testa | 11 | 18,34 | 5,74 | 2,44 | 1,47 | 5,74 | 0,13 | 0,03 | 3,504 | OK |
| | | Mezz. | 11 | 32,97 | 7,09 | 2,61 | 1,77 | 7,09 | 0,02 | 0,05 | 6,298 | OK |
| | | Piede | 11 | 20,85 | 8,44 | 2,78 | 2,05 | 8,44 | 0,13 | 0,05 | 3,982 | OK |
| 1 | 42 | Testa | 11 | 17,56 | 8,12 | 3,66 | 2,10 | 8,12 | 0,21 | 0,05 | 3,354 | OK |
| | | Mezz. | 11 | 31,23 | 10,18 | 3,91 | 2,56 | 10,18 | 0,03 | 0,08 | 5,966 | OK |
| | | Piede | 11 | 20,01 | 12,25 | 4,17 | 3,00 | 12,25 | 0,21 | 0,08 | 3,823 | OK |
| 1 | 43 | Testa | 11 | 16,38 | 11,58 | 5,78 | 3,03 | 11,58 | 0,35 | 0,08 | 3,128 | OK |
| | | Mezz. | 11 | 28,39 | 14,96 | 6,19 | 3,82 | 14,96 | 0,07 | 0,13 | 5,423 | OK |
| | | Piede | 11 | 18,75 | 18,35 | 6,61 | 4,56 | 18,35 | 0,35 | 0,13 | 3,581 | OK |
| 1 | 44 | Testa | 11 | 12,79 | 13,00 | 5,69 | 3,35 | 13,00 | 0,44 | 0,08 | 2,444 | OK |
| | | Mezz. | 11 | 32,12 | 16,18 | 6,08 | 4,06 | 16,18 | 0,18 | 0,13 | 6,135 | OK |
| | | Piede | 11 | 14,56 | 19,37 | 6,47 | 4,72 | 19,37 | 0,44 | 0,12 | 2,781 | OK |
| 1 | 45 | Testa | 11 | 23,16 | 25,97 | 7,33 | 5,98 | 25,97 | 0,32 | 0,09 | 4,424 | OK |
| | | Mezz. | 11 | 51,17 | 29,18 | 7,72 | 6,52 | 29,18 | 0,05 | 0,13 | 9,773 | OK |
| | | Piede | 11 | 25,67 | 32,39 | 8,12 | 7,02 | 32,39 | 0,32 | 0,11 | 4,903 | OK |
| 1 | 46 | Testa | 11 | 18,96 | 7,90 | 4,75 | 2,11 | 7,90 | 0,25 | 0,07 | 3,622 | OK |
| | | Mezz. | 11 | 24,14 | 10,84 | 5,11 | 2,82 | 10,84 | 0,00 | 0,12 | 4,610 | OK |
| | | Piede | 11 | 21,86 | 13,78 | 5,48 | 3,49 | 13,78 | 0,25 | 0,11 | 4,176 | OK |
| 1 | 47 | Testa | 11 | 16,43 | 8,40 | 4,42 | 2,21 | 8,40 | 0,27 | 0,06 | 3,138 | OK |
| | | Mezz. | 11 | 27,05 | 11,04 | 4,75 | 2,83 | 11,04 | 0,05 | 0,10 | 5,167 | OK |
| | | Piede | 11 | 18,85 | 13,68 | 5,08 | 3,42 | 13,68 | 0,27 | 0,10 | 3,600 | OK |
| 1 | 48 | Testa | 3 | 19,43 | 1,58 | 0,62 | 0,29 | 1,58 | 0,03 | 0,01 | 3,710 | OK |
| | | Mezz. | 3 | 26,55 | 1,91 | 0,66 | 0,35 | 1,91 | 0,00 | 0,01 | 5,072 | OK |
| | | Piede | 3 | 21,98 | 2,24 | 0,70 | 0,39 | 2,24 | 0,03 | 0,01 | 4,198 | OK |
| 1 | 49 | Testa | 3 | 22,61 | 33,65 | 10,45 | 5,92 | 33,65 | 0,46 | 0,13 | 4,319 | OK |
| | | Mezz. | 3 | 33,81 | 38,56 | 11,06 | 6,59 | 38,56 | 0,05 | 0,19 | 6,457 | OK |
| | | Piede | 3 | 25,23 | 43,47 | 11,67 | 7,21 | 43,47 | 0,46 | 0,17 | 4,820 | OK |

C.D.S.

| VERIFICA A SISMA ORTOGONALE | | | | | | | | | | | | | |
|---|-----------|-------|---------|---------------|---------|---------|-----------|--------|--------|----------|------------|----------------------|--|
| VERIFICA A SISMA ORTOGONALE | | | | | | | | | | | | | |
| Tempo Ritorno Sisma Ortagonale: 30 Anni | | | | | | | | | | | | | |
| Quota N.ro | Muro N.ro | Sez. | Cmb ort | Coeff. sicur. | Nru (t) | Vru (t) | Mru (t*m) | Nd (t) | Vd (t) | Md (t*m) | PGA (Ag/g) | STRINGA DI CONTROLLO | |
| 1 | 50 | Testa | 3 | 25,85 | 42,39 | 11,96 | 7,19 | 42,39 | 0,46 | 0,14 | 4,938 | OK | |
| | | Mezz. | 3 | 37,73 | 47,63 | 12,60 | 7,85 | 47,63 | 0,02 | 0,21 | 7,206 | OK | |
| | | Piede | 3 | 28,65 | 52,87 | 13,25 | 8,44 | 52,87 | 0,46 | 0,18 | 5,472 | OK | |
| 1 | 51 | Testa | 11 | 24,62 | 19,17 | 5,37 | 3,25 | 19,17 | 0,22 | 0,06 | 4,703 | OK | |
| | | Mezz. | 11 | 37,99 | 21,52 | 5,66 | 3,53 | 21,52 | 0,02 | 0,09 | 7,257 | OK | |
| | | Piede | 11 | 27,27 | 23,86 | 5,95 | 3,80 | 23,86 | 0,22 | 0,08 | 5,209 | OK | |
| 1 | 52 | Testa | 11 | 23,54 | 38,91 | 11,53 | 6,73 | 38,91 | 0,49 | 0,14 | 4,497 | OK | |
| | | Mezz. | 11 | 35,67 | 44,15 | 12,17 | 7,42 | 44,15 | 0,05 | 0,21 | 6,814 | OK | |
| | | Piede | 11 | 26,18 | 49,39 | 12,82 | 8,05 | 49,39 | 0,49 | 0,18 | 5,001 | OK | |
| 1 | 53 | Testa | 3 | 25,14 | 6,90 | 1,61 | 1,42 | 6,90 | 0,06 | 0,02 | 4,803 | OK | |
| | | Mezz. | 3 | 63,81 | 7,49 | 1,68 | 1,49 | 7,49 | 0,01 | 0,02 | 12,188 | OK | |
| | | Piede | 3 | 27,42 | 8,08 | 1,75 | 1,55 | 8,08 | 0,06 | 0,02 | 5,237 | OK | |
| 1 | 54 | Testa | 3 | 20,97 | 37,06 | 10,51 | 8,56 | 37,06 | 0,50 | 0,13 | 4,006 | OK | |
| | | Mezz. | 3 | 50,85 | 41,69 | 11,08 | 9,34 | 41,69 | 0,11 | 0,18 | 9,713 | OK | |
| | | Piede | 3 | 23,25 | 46,31 | 11,66 | 10,07 | 46,31 | 0,50 | 0,16 | 4,442 | OK | |
| 1 | 55 | Testa | 11 | 22,11 | 31,29 | 10,16 | 5,58 | 31,29 | 0,46 | 0,13 | 4,223 | OK | |
| | | Mezz. | 11 | 32,18 | 36,20 | 10,77 | 6,27 | 36,20 | 0,05 | 0,19 | 6,147 | OK | |
| | | Piede | 11 | 24,75 | 41,11 | 11,38 | 6,92 | 41,11 | 0,46 | 0,17 | 4,727 | OK | |
| 1 | 56 | Testa | 11 | 19,46 | 16,13 | 5,87 | 4,02 | 16,13 | 0,30 | 0,08 | 3,716 | OK | |
| | | Mezz. | 11 | 38,67 | 19,15 | 6,24 | 4,64 | 19,15 | 0,05 | 0,12 | 7,386 | OK | |
| | | Piede | 11 | 21,93 | 22,18 | 6,62 | 5,22 | 22,18 | 0,30 | 0,11 | 4,189 | OK | |
| 1 | 57 | Testa | 11 | 19,16 | 11,75 | 4,10 | 2,90 | 11,75 | 0,21 | 0,05 | 3,659 | OK | |
| | | Mezz. | 11 | 40,36 | 13,81 | 4,36 | 3,31 | 13,81 | 0,04 | 0,08 | 7,710 | OK | |
| | | Piede | 11 | 21,54 | 15,88 | 4,61 | 3,70 | 15,88 | 0,21 | 0,07 | 4,114 | OK | |
| 1 | 58 | Testa | 11 | 19,01 | 2,70 | 0,92 | 0,66 | 2,70 | 0,05 | 0,01 | 3,630 | OK | |
| | | Mezz. | 11 | 41,16 | 3,16 | 0,98 | 0,75 | 3,16 | 0,01 | 0,02 | 7,862 | OK | |
| | | Piede | 11 | 21,35 | 3,62 | 1,04 | 0,84 | 3,62 | 0,05 | 0,02 | 4,077 | OK | |
| 1 | 59 | Testa | 11 | 18,91 | 6,62 | 2,25 | 1,62 | 6,62 | 0,12 | 0,03 | 3,613 | OK | |
| | | Mezz. | 11 | 41,65 | 7,73 | 2,38 | 1,84 | 7,73 | 0,02 | 0,04 | 7,954 | OK | |
| | | Piede | 11 | 21,23 | 8,84 | 2,52 | 2,05 | 8,84 | 0,12 | 0,04 | 4,055 | OK | |
| 1 | 60 | Testa | 11 | 14,96 | 5,92 | 2,16 | 1,48 | 5,92 | 0,14 | 0,03 | 2,858 | OK | |
| | | Mezz. | 11 | 38,58 | 7,04 | 2,30 | 1,70 | 7,04 | 0,05 | 0,04 | 7,369 | OK | |
| | | Piede | 11 | 16,86 | 8,15 | 2,43 | 1,92 | 8,15 | 0,14 | 0,04 | 3,221 | OK | |
| 1 | 61 | Testa | 11 | 14,50 | 2,37 | 0,91 | 0,60 | 2,37 | 0,06 | 0,01 | 2,769 | OK | |
| | | Mezz. | 11 | 36,82 | 2,85 | 0,96 | 0,70 | 2,85 | 0,02 | 0,02 | 7,032 | OK | |
| | | Piede | 11 | 16,38 | 3,33 | 1,02 | 0,79 | 3,33 | 0,06 | 0,02 | 3,129 | OK | |
| 1 | 62 | Testa | 11 | 13,77 | 9,12 | 3,78 | 2,33 | 9,12 | 0,27 | 0,05 | 2,630 | OK | |
| | | Mezz. | 11 | 33,87 | 11,19 | 4,03 | 2,78 | 11,19 | 0,10 | 0,08 | 6,469 | OK | |
| | | Piede | 11 | 15,63 | 13,26 | 4,29 | 3,20 | 13,26 | 0,27 | 0,07 | 2,985 | OK | |
| 1 | 63 | Testa | 11 | 12,31 | 9,57 | 5,00 | 2,52 | 9,57 | 0,41 | 0,07 | 2,351 | OK | |
| | | Mezz. | 11 | 27,26 | 12,55 | 5,37 | 3,22 | 12,55 | 0,15 | 0,12 | 5,207 | OK | |
| | | Piede | 11 | 14,12 | 15,52 | 5,73 | 3,88 | 15,52 | 0,41 | 0,11 | 2,696 | OK | |
| 1 | 64 | Testa | 11 | 18,80 | 4,72 | 1,58 | 1,15 | 4,72 | 0,08 | 0,02 | 3,591 | OK | |
| | | Mezz. | 11 | 42,20 | 5,50 | 1,68 | 1,31 | 5,50 | 0,02 | 0,03 | 8,059 | OK | |
| | | Piede | 11 | 21,08 | 6,28 | 1,78 | 1,45 | 6,28 | 0,08 | 0,03 | 4,027 | OK | |
| 1 | 65 | Testa | 11 | 15,44 | 2,89 | 1,01 | 0,71 | 2,89 | 0,07 | 0,01 | 2,949 | OK | |
| | | Mezz. | 11 | 40,32 | 3,40 | 1,07 | 0,81 | 3,40 | 0,02 | 0,02 | 7,701 | OK | |
| | | Piede | 11 | 17,36 | 3,90 | 1,14 | 0,91 | 3,90 | 0,07 | 0,02 | 3,316 | OK | |
| 1 | 66 | Testa | 11 | 24,64 | 45,63 | 11,90 | 7,46 | 45,63 | 0,48 | 0,13 | 4,707 | OK | |
| | | Mezz. | 11 | 41,28 | 50,52 | 12,51 | 8,01 | 50,52 | 0,07 | 0,19 | 7,884 | OK | |

C.D.S.

| VERIFICA A SISMA ORTOGONALE | | | | | | | | | | | | |
|--|-----------|-------|---------|---------------|---------|---------|-----------|--------|--------|----------|------------|----------------------|
| VERIFICA A SISMA ORTOGONALE Tempo Ritorno Sisma Ortagonale: 30 Anni | | | | | | | | | | | | |
| Quota N.ro | Muro N.ro | Sez. | Cmb ort | Coeff. sicur. | Nru (t) | Vru (t) | Mru (t*m) | Nd (t) | Vd (t) | Md (t*m) | PGA (Ag/g) | STRINGA DI CONTROLLO |
| | | Piede | 11 | 27,14 | 55,40 | 13,11 | 8,51 | 55,40 | 0,48 | 0,16 | 5,184 | OK |
| 1 | 67 | Testa | 11 | 23,72 | 9,57 | 2,32 | 1,50 | 9,57 | 0,10 | 0,02 | 4,530 | OK |
| | | Mezz. | 11 | 44,82 | 10,46 | 2,43 | 1,58 | 10,46 | 0,02 | 0,04 | 8,560 | OK |
| | | Piede | 11 | 25,96 | 11,35 | 2,54 | 1,66 | 11,35 | 0,10 | 0,03 | 4,958 | OK |
| 1 | 68 | Testa | 3 | 21,40 | 11,31 | 2,54 | 1,66 | 11,31 | 0,12 | 0,03 | 4,087 | OK |
| | | Mezz. | 3 | 48,92 | 12,20 | 2,65 | 1,73 | 12,20 | 0,04 | 0,04 | 9,344 | OK |
| | | Piede | 3 | 23,25 | 13,09 | 2,76 | 1,79 | 13,09 | 0,12 | 0,03 | 4,441 | OK |
| 1 | 69 | Testa | 3 | 9,67 | 50,01 | 14,68 | 11,70 | 50,01 | 1,52 | 0,18 | 1,847 | OK |
| | | Mezz. | 3 | 16,17 | 56,64 | 15,50 | 12,87 | 56,64 | 0,96 | 0,26 | 3,089 | OK |
| | | Piede | 3 | 10,75 | 63,28 | 16,32 | 13,95 | 63,28 | 1,52 | 0,23 | 2,053 | OK |
| 1 | 70 | Testa | 11 | 18,72 | 41,84 | 13,67 | 10,14 | 41,84 | 0,73 | 0,17 | 3,576 | OK |
| | | Mezz. | 11 | 43,37 | 48,47 | 14,49 | 11,42 | 48,47 | 0,17 | 0,26 | 8,285 | OK |
| | | Piede | 11 | 20,96 | 55,10 | 15,31 | 12,61 | 55,10 | 0,73 | 0,23 | 4,004 | OK |
| 1 | 71 | Testa | 3 | 35,86 | 9,74 | 2,02 | 1,77 | 9,74 | 0,06 | 0,02 | 6,849 | OK |
| | | Mezz. | 3 | 71,81 | 10,38 | 2,10 | 1,81 | 10,38 | 0,00 | 0,03 | 13,715 | OK |
| | | Piede | 3 | 38,65 | 11,01 | 2,18 | 1,85 | 11,01 | 0,06 | 0,02 | 7,381 | OK |
| 1 | 72 | Testa | 11 | 13,46 | 8,46 | 2,21 | 1,88 | 8,46 | 0,16 | 0,02 | 2,570 | OK |
| | | Mezz. | 11 | 26,50 | 9,37 | 2,32 | 2,02 | 9,37 | 0,09 | 0,04 | 5,062 | OK |
| | | Piede | 11 | 14,82 | 10,28 | 2,43 | 2,14 | 10,28 | 0,16 | 0,03 | 2,831 | OK |
| 1 | 73 | Testa | 11 | 42,39 | 13,52 | 2,49 | 1,91 | 13,52 | 0,06 | 0,02 | 8,097 | OK |
| | | Mezz. | 3 | 75,09 | 14,59 | 2,62 | 1,90 | 14,59 | 0,00 | 0,03 | 14,342 | OK |
| | | Piede | 11 | 45,07 | 14,80 | 2,64 | 1,89 | 14,80 | 0,06 | 0,02 | 8,608 | OK |
| 1 | 74 | Testa | 3 | 5,44 | 11,85 | 2,63 | 2,33 | 11,85 | 0,48 | 0,03 | 1,039 | OK |
| | | Mezz. | 3 | 6,74 | 12,75 | 2,74 | 2,42 | 12,75 | 0,41 | 0,04 | 1,288 | OK |
| | | Piede | 3 | 5,91 | 13,66 | 2,85 | 2,50 | 13,66 | 0,48 | 0,03 | 1,128 | OK |
| 1 | 75 | Testa | 3 | 9,90 | 39,47 | 13,38 | 9,66 | 39,47 | 1,35 | 0,17 | 1,891 | OK |
| | | Mezz. | 3 | 17,94 | 46,10 | 14,20 | 10,97 | 46,10 | 0,79 | 0,26 | 3,426 | OK |
| | | Piede | 3 | 11,11 | 52,73 | 15,02 | 12,19 | 52,73 | 1,35 | 0,23 | 2,122 | OK |
| 1 | 76 | Testa | 3 | 8,98 | 10,54 | 4,34 | 2,69 | 10,54 | 0,48 | 0,06 | 1,716 | OK |
| | | Mezz. | 3 | 16,36 | 12,91 | 4,63 | 3,20 | 12,91 | 0,28 | 0,09 | 3,125 | OK |
| | | Piede | 3 | 10,19 | 15,28 | 4,93 | 3,69 | 15,28 | 0,48 | 0,09 | 1,947 | OK |
| 1 | 77 | Testa | 3 | 8,92 | 16,37 | 5,84 | 4,06 | 16,37 | 0,65 | 0,08 | 1,704 | OK |
| | | Mezz. | 3 | 15,39 | 19,34 | 6,20 | 4,66 | 19,34 | 0,40 | 0,12 | 2,940 | OK |
| | | Piede | 3 | 10,04 | 22,32 | 6,57 | 5,23 | 22,32 | 0,65 | 0,10 | 1,918 | OK |
| 1 | 78 | Testa | 3 | 1,47 | 8,28 | 2,00 | 1,75 | 8,28 | 1,36 | 0,02 | 0,281 | OK |
| | | Mezz. | 3 | 1,62 | 9,04 | 2,10 | 1,85 | 9,04 | 1,30 | 0,03 | 0,309 | OK |
| | | Piede | 3 | 1,61 | 9,80 | 2,19 | 1,94 | 9,80 | 1,36 | 0,03 | 0,307 | OK |
| 1 | 79 | Testa | 3 | 25,75 | 6,66 | 2,00 | 1,16 | 6,66 | 0,08 | 0,02 | 4,918 | OK |
| | | Mezz. | 3 | 35,24 | 7,58 | 2,11 | 1,28 | 7,58 | 0,00 | 0,04 | 6,730 | OK |
| | | Piede | 3 | 28,66 | 8,49 | 2,22 | 1,39 | 8,49 | 0,08 | 0,03 | 5,474 | OK |
| 1 | 80 | Testa | 11 | 3,94 | 23,72 | 9,68 | 6,04 | 23,72 | 2,46 | 0,13 | 0,752 | OK |
| | | Mezz. | 11 | 5,13 | 28,99 | 10,33 | 7,18 | 28,99 | 2,02 | 0,21 | 0,979 | OK |
| | | Piede | 11 | 4,46 | 34,25 | 10,98 | 8,26 | 34,25 | 2,46 | 0,19 | 0,853 | OK |
| 1 | 81 | Testa | 3 | 30,10 | 5,73 | 1,36 | 0,59 | 5,73 | 0,05 | 0,01 | 5,748 | OK |
| | | Mezz. | 3 | 30,70 | 6,24 | 1,42 | 0,62 | 6,24 | 0,00 | 0,02 | 5,865 | OK |
| | | Piede | 3 | 32,87 | 6,75 | 1,48 | 0,65 | 6,75 | 0,05 | 0,02 | 6,279 | OK |
| 1 | 82 | Testa | 3 | 10,21 | 2,11 | 0,84 | 0,26 | 2,11 | 0,08 | 0,01 | 1,951 | OK |
| | | Mezz. | 3 | 17,28 | 2,56 | 0,90 | 0,31 | 2,56 | 0,04 | 0,02 | 3,300 | OK |
| | | Piede | 3 | 11,57 | 3,02 | 0,95 | 0,36 | 3,02 | 0,08 | 0,02 | 2,210 | OK |

C.D.S.

| VERIFICA A SISMA ORTOGONALE | | | | | | | | | | | | |
|--|-----------|-------|---------|---------------|---------|---------|-----------|--------|--------|----------|------------|----------------------|
| VERIFICA A SISMA ORTOGONALE Tempo Ritorno Sisma Ortagonale: 30 Anni | | | | | | | | | | | | |
| Quota N.ro | Muro N.ro | Sez. | Cmb ort | Coeff. sicur. | Nru (t) | Vru (t) | Mru (t*m) | Nd (t) | Vd (t) | Md (t*m) | PGA (Ag/g) | STRINGA DI CONTROLLO |
| 1 | 83 | Testa | 11 | 5,50 | 3,93 | 1,40 | 0,97 | 3,93 | 0,26 | 0,02 | 1,050 | OK |
| | | Mezz. | 11 | 7,66 | 4,64 | 1,49 | 1,12 | 4,64 | 0,19 | 0,03 | 1,462 | OK |
| | | Piede | 11 | 6,19 | 5,36 | 1,58 | 1,26 | 5,36 | 0,26 | 0,03 | 1,182 | OK |
| 1 | 84 | Testa | 11 | 27,85 | 6,03 | 1,50 | 0,96 | 6,03 | 0,05 | 0,02 | 5,320 | OK |
| | | Mezz. | 11 | 43,75 | 6,62 | 1,57 | 1,02 | 6,62 | 0,00 | 0,02 | 8,356 | OK |
| | | Piede | 11 | 30,55 | 7,21 | 1,64 | 1,07 | 7,21 | 0,05 | 0,02 | 5,834 | OK |
| 1 | 85 | Testa | 11 | 31,06 | 28,45 | 6,48 | 4,23 | 28,45 | 0,21 | 0,07 | 5,933 | OK |
| | | Mezz. | 11 | 48,21 | 30,76 | 6,76 | 4,42 | 30,76 | 0,01 | 0,09 | 9,209 | OK |
| | | Piede | 11 | 33,80 | 33,07 | 7,05 | 4,59 | 33,07 | 0,21 | 0,08 | 6,455 | OK |
| 1 | 86 | Testa | 11 | 19,06 | 4,28 | 1,20 | 0,73 | 4,28 | 0,06 | 0,01 | 3,641 | OK |
| | | Mezz. | 11 | 37,79 | 4,81 | 1,27 | 0,79 | 4,81 | 0,02 | 0,02 | 7,218 | OK |
| | | Piede | 11 | 21,12 | 5,33 | 1,34 | 0,85 | 5,33 | 0,06 | 0,02 | 4,035 | OK |
| 1 | 87 | Testa | 11 | 18,13 | 5,01 | 1,34 | 0,83 | 5,01 | 0,07 | 0,02 | 3,463 | OK |
| | | Mezz. | 11 | 40,11 | 5,58 | 1,41 | 0,90 | 5,58 | 0,03 | 0,02 | 7,661 | OK |
| | | Piede | 11 | 20,01 | 6,14 | 1,48 | 0,96 | 6,14 | 0,07 | 0,02 | 3,822 | OK |
| 1 | 88 | Testa | 11 | 18,16 | 9,26 | 2,50 | 1,54 | 9,26 | 0,14 | 0,03 | 3,468 | OK |
| | | Mezz. | 11 | 39,74 | 10,32 | 2,63 | 1,66 | 10,32 | 0,05 | 0,04 | 7,591 | OK |
| | | Piede | 11 | 20,05 | 11,37 | 2,76 | 1,78 | 11,37 | 0,14 | 0,04 | 3,829 | OK |
| 1 | 89 | Testa | 11 | 19,53 | 41,61 | 9,99 | 6,46 | 41,61 | 0,51 | 0,11 | 3,731 | OK |
| | | Mezz. | 11 | 45,40 | 45,39 | 10,46 | 6,82 | 45,39 | 0,19 | 0,15 | 8,671 | OK |
| | | Piede | 11 | 21,36 | 49,18 | 10,93 | 7,14 | 49,18 | 0,51 | 0,13 | 4,080 | OK |
| 1 | 90 | Testa | 3 | 25,74 | 15,84 | 4,63 | 2,73 | 15,84 | 0,18 | 0,06 | 4,917 | OK |
| | | Mezz. | 3 | 36,20 | 17,93 | 4,89 | 3,00 | 17,93 | 0,00 | 0,08 | 6,914 | OK |
| | | Piede | 3 | 28,61 | 20,01 | 5,15 | 3,25 | 20,01 | 0,18 | 0,07 | 5,464 | OK |
| 1 | 91 | Testa | 11 | 3,47 | 11,87 | 3,40 | 2,75 | 11,87 | 0,98 | 0,04 | 0,664 | OK |
| | | Mezz. | 11 | 4,21 | 13,38 | 3,59 | 3,01 | 13,38 | 0,85 | 0,06 | 0,805 | OK |
| | | Piede | 11 | 3,86 | 14,89 | 3,78 | 3,25 | 14,89 | 0,98 | 0,05 | 0,736 | OK |
| 1 | 92 | Testa | 11 | 3,61 | 4,73 | 1,30 | 1,08 | 4,73 | 0,36 | 0,02 | 0,690 | OK |
| | | Mezz. | 11 | 4,38 | 5,29 | 1,37 | 1,17 | 5,29 | 0,31 | 0,02 | 0,836 | OK |
| | | Piede | 11 | 3,99 | 5,85 | 1,44 | 1,25 | 5,85 | 0,36 | 0,02 | 0,763 | OK |
| 1 | 93 | Testa | 11 | 8,06 | 15,20 | 4,24 | 3,49 | 15,20 | 0,53 | 0,05 | 1,539 | OK |
| | | Mezz. | 11 | 12,06 | 17,05 | 4,47 | 3,79 | 17,05 | 0,37 | 0,07 | 2,303 | OK |
| | | Piede | 11 | 8,92 | 18,89 | 4,70 | 4,08 | 18,89 | 0,53 | 0,06 | 1,704 | OK |
| 1 | 94 | Testa | 11 | 10,69 | 3,62 | 1,37 | 0,91 | 3,62 | 0,13 | 0,02 | 2,042 | OK |
| | | Mezz. | 11 | 21,60 | 4,34 | 1,45 | 1,06 | 4,34 | 0,07 | 0,03 | 4,126 | OK |
| | | Piede | 11 | 12,07 | 5,05 | 1,54 | 1,20 | 5,05 | 0,13 | 0,03 | 2,306 | OK |
| 1 | 95 | Testa | 11 | 14,03 | 11,39 | 2,65 | 1,73 | 11,39 | 0,19 | 0,03 | 2,679 | OK |
| | | Mezz. | 11 | 25,91 | 12,36 | 2,77 | 1,81 | 12,36 | 0,11 | 0,04 | 4,948 | OK |
| | | Piede | 11 | 15,29 | 13,33 | 2,89 | 1,89 | 13,33 | 0,19 | 0,03 | 2,921 | OK |
| 1 | 96 | Testa | 11 | 13,94 | 4,57 | 1,03 | 0,67 | 4,57 | 0,07 | 0,01 | 2,662 | OK |
| | | Mezz. | 11 | 24,85 | 4,94 | 1,08 | 0,70 | 4,94 | 0,04 | 0,01 | 4,746 | OK |
| | | Piede | 11 | 15,15 | 5,30 | 1,12 | 0,73 | 5,30 | 0,07 | 0,01 | 2,894 | OK |

| VERIFICA A SISMA ORTOGONALE | | | | | | | | | | | | |
|--|-----------|-------|---------|---------------|---------|---------|-----------|--------|--------|----------|------------|----------------------|
| VERIFICA A SISMA ORTOGONALE Tempo Ritorno Sisma Ortagonale: 30 Anni | | | | | | | | | | | | |
| Quota N.ro | Muro N.ro | Sez. | Cmb ort | Coeff. sicur. | Nru (t) | Vru (t) | Mru (t*m) | Nd (t) | Vd (t) | Md (t*m) | PGA (Ag/g) | STRINGA DI CONTROLLO |
| 2 | 1 | Testa | 3 | 9,06 | 10,45 | 2,95 | 1,18 | 10,45 | 0,26 | 0,13 | 1,731 | OK |
| | | Mezz. | 3 | 7,36 | 12,64 | 3,22 | 1,36 | 12,64 | 0,01 | 0,18 | 1,406 | OK |

C.D.S.

| VERIFICA A SISMA ORTOGONALE | | | | | | | | | | | | |
|--|-----------|-------|---------|---------------|---------|---------|-----------|--------|--------|----------|------------|----------------------|
| VERIFICA A SISMA ORTOGONALE Tempo Ritorno Sisma Ortagonale: 30 Anni | | | | | | | | | | | | |
| Quota N.ro | Muro N.ro | Sez. | Cmb ort | Coeff. sicur. | Nru (t) | Vru (t) | Mru (t*m) | Nd (t) | Vd (t) | Md (t*m) | PGA (Ag/g) | STRINGA DI CONTROLLO |
| | | Piede | 3 | 8,17 | 14,83 | 3,50 | 1,51 | 14,83 | 0,26 | 0,19 | 1,560 | OK |
| 2 | 2 | Testa | 3 | 8,35 | 11,69 | 3,05 | 1,27 | 11,69 | 0,36 | 0,13 | 1,595 | OK |
| | | Mezz. | 3 | 8,01 | 13,81 | 3,31 | 1,43 | 13,81 | 0,12 | 0,18 | 1,529 | OK |
| | | Piede | 3 | 8,86 | 15,92 | 3,57 | 1,56 | 15,92 | 0,36 | 0,18 | 1,693 | OK |
| 2 | 3 | Testa | 3 | 6,30 | 5,02 | 2,07 | 0,63 | 5,02 | 0,26 | 0,10 | 1,204 | OK |
| | | Mezz. | 3 | 5,14 | 6,94 | 2,31 | 0,83 | 6,94 | 0,04 | 0,16 | 0,982 | OK |
| | | Piede | 3 | 5,74 | 8,85 | 2,55 | 1,01 | 8,85 | 0,26 | 0,18 | 1,096 | OK |
| 2 | 4 | Testa | 3 | 3,93 | 0,31 | 0,25 | 0,04 | 0,31 | 0,04 | 0,01 | 0,750 | OK |
| | | Mezz. | 3 | 3,21 | 0,59 | 0,28 | 0,08 | 0,59 | 0,01 | 0,02 | 0,614 | OK |
| | | Piede | 3 | 3,60 | 0,86 | 0,32 | 0,11 | 0,86 | 0,04 | 0,03 | 0,687 | OK |
| 2 | 5 | Testa | 3 | 5,43 | 5,91 | 2,92 | 0,76 | 5,91 | 0,45 | 0,14 | 1,037 | OK |
| | | Mezz. | 3 | 4,44 | 8,80 | 3,28 | 1,08 | 8,80 | 0,12 | 0,24 | 0,847 | OK |
| | | Piede | 3 | 4,96 | 11,69 | 3,64 | 1,37 | 11,69 | 0,45 | 0,28 | 0,946 | OK |
| 2 | 6 | Testa | 3 | 5,61 | 3,97 | 1,88 | 0,51 | 3,97 | 0,23 | 0,09 | 1,072 | OK |
| | | Mezz. | 3 | 4,58 | 5,80 | 2,11 | 0,71 | 5,80 | 0,02 | 0,15 | 0,876 | OK |
| | | Piede | 3 | 5,12 | 7,64 | 2,34 | 0,89 | 7,64 | 0,23 | 0,17 | 0,978 | OK |
| 2 | 7 | Testa | 3 | 6,76 | 5,10 | 1,94 | 0,63 | 5,10 | 0,23 | 0,09 | 1,292 | OK |
| | | Mezz. | 3 | 5,52 | 6,83 | 2,16 | 0,80 | 6,83 | 0,03 | 0,15 | 1,053 | OK |
| | | Piede | 3 | 6,15 | 8,56 | 2,37 | 0,96 | 8,56 | 0,23 | 0,16 | 1,174 | OK |
| 2 | 8 | Testa | 3 | 6,79 | 9,95 | 3,46 | 1,20 | 9,95 | 0,51 | 0,16 | 1,297 | OK |
| | | Mezz. | 3 | 5,99 | 12,90 | 3,83 | 1,49 | 12,90 | 0,17 | 0,25 | 1,145 | OK |
| | | Piede | 3 | 6,67 | 15,84 | 4,19 | 1,74 | 15,84 | 0,51 | 0,26 | 1,275 | OK |
| 2 | 9 | Testa | 3 | 9,09 | 9,04 | 2,55 | 1,02 | 9,04 | 0,25 | 0,11 | 1,736 | OK |
| | | Mezz. | 3 | 7,38 | 10,93 | 2,78 | 1,17 | 10,93 | 0,03 | 0,16 | 1,409 | OK |
| | | Piede | 3 | 8,19 | 12,82 | 3,02 | 1,31 | 12,82 | 0,25 | 0,16 | 1,563 | OK |
| 2 | 10 | Testa | 3 | 7,77 | 11,77 | 3,15 | 1,30 | 11,77 | 0,41 | 0,14 | 1,484 | OK |
| | | Mezz. | 3 | 7,80 | 14,01 | 3,42 | 1,47 | 14,01 | 0,15 | 0,19 | 1,489 | OK |
| | | Piede | 3 | 8,64 | 16,24 | 3,70 | 1,61 | 16,24 | 0,41 | 0,19 | 1,650 | OK |
| 2 | 11 | Testa | 3 | 9,37 | 10,39 | 2,85 | 1,16 | 10,39 | 0,27 | 0,12 | 1,790 | OK |
| | | Mezz. | 3 | 7,60 | 12,45 | 3,10 | 1,32 | 12,45 | 0,03 | 0,17 | 1,452 | OK |
| | | Piede | 3 | 8,43 | 14,51 | 3,36 | 1,46 | 14,51 | 0,27 | 0,17 | 1,610 | OK |
| 2 | 12 | Testa | 3 | 8,60 | 10,71 | 3,19 | 1,24 | 10,71 | 0,30 | 0,14 | 1,642 | OK |
| | | Mezz. | 3 | 6,99 | 13,17 | 3,49 | 1,45 | 13,17 | 0,01 | 0,21 | 1,335 | OK |
| | | Piede | 3 | 7,76 | 15,63 | 3,79 | 1,63 | 15,63 | 0,30 | 0,21 | 1,482 | OK |
| 2 | 13 | Testa | 3 | 7,94 | 5,21 | 1,68 | 0,62 | 5,21 | 0,19 | 0,08 | 1,517 | OK |
| | | Mezz. | 3 | 6,46 | 6,57 | 1,84 | 0,74 | 6,57 | 0,04 | 0,11 | 1,235 | OK |
| | | Piede | 3 | 7,19 | 7,93 | 2,01 | 0,85 | 7,93 | 0,19 | 0,12 | 1,373 | OK |
| 2 | 14 | Testa | 3 | 11,62 | 14,96 | 3,34 | 1,46 | 14,96 | 0,24 | 0,13 | 2,220 | OK |
| | | Mezz. | 3 | 9,36 | 16,93 | 3,58 | 1,55 | 16,93 | 0,02 | 0,17 | 1,787 | OK |
| | | Piede | 3 | 10,28 | 18,89 | 3,83 | 1,63 | 18,89 | 0,24 | 0,16 | 1,964 | OK |
| 2 | 15 | Testa | 3 | 9,23 | 12,07 | 3,35 | 1,36 | 12,07 | 0,31 | 0,15 | 1,763 | OK |
| | | Mezz. | 3 | 7,49 | 14,53 | 3,66 | 1,55 | 14,53 | 0,03 | 0,21 | 1,431 | OK |
| | | Piede | 3 | 8,31 | 16,98 | 3,96 | 1,72 | 16,98 | 0,31 | 0,21 | 1,587 | OK |
| 2 | 16 | Testa | 3 | 7,39 | 3,45 | 0,91 | 0,38 | 3,45 | 0,12 | 0,04 | 1,411 | OK |
| | | Mezz. | 3 | 7,94 | 4,09 | 0,99 | 0,42 | 4,09 | 0,05 | 0,05 | 1,516 | OK |
| | | Piede | 3 | 8,66 | 4,72 | 1,06 | 0,46 | 4,72 | 0,12 | 0,05 | 1,654 | OK |
| 2 | 17 | Testa | 11 | 8,95 | 1,72 | 0,49 | 0,20 | 1,72 | 0,04 | 0,02 | 1,709 | OK |
| | | Mezz. | 11 | 7,27 | 2,09 | 0,54 | 0,23 | 2,09 | 0,00 | 0,03 | 1,388 | OK |
| | | Piede | 11 | 8,07 | 2,46 | 0,58 | 0,25 | 2,46 | 0,04 | 0,03 | 1,540 | OK |

C.D.S.

| VERIFICA A SISMA ORTOGONALE | | | | | | | | | | | | |
|--|-----------|-------|---------|---------------|---------|---------|-----------|--------|--------|----------|------------|----------------------|
| VERIFICA A SISMA ORTOGONALE Tempo Ritorno Sisma Ortagonale: 30 Anni | | | | | | | | | | | | |
| Quota N.ro | Muro N.ro | Sez. | Cmb ort | Coeff. sicur. | Nru (t) | Vru (t) | Mru (t*m) | Nd (t) | Vd (t) | Md (t*m) | PGA (Ag/g) | STRINGA DI CONTROLLO |
| 2 | 18 | Testa | 11 | 9,14 | 11,87 | 3,33 | 1,34 | 11,87 | 0,29 | 0,15 | 1,745 | OK |
| | | Mezz. | 11 | 7,42 | 14,33 | 3,63 | 1,54 | 14,33 | 0,01 | 0,21 | 1,417 | OK |
| | | Piede | 11 | 8,23 | 16,78 | 3,94 | 1,71 | 16,78 | 0,29 | 0,21 | 1,572 | OK |
| 2 | 19 | Testa | 11 | 8,90 | 10,14 | 2,92 | 1,16 | 10,14 | 0,26 | 0,13 | 1,700 | OK |
| | | Mezz. | 11 | 7,23 | 12,33 | 3,19 | 1,34 | 12,33 | 0,00 | 0,18 | 1,381 | OK |
| | | Piede | 11 | 8,03 | 14,52 | 3,46 | 1,49 | 14,52 | 0,26 | 0,19 | 1,533 | OK |
| 2 | 20 | Testa | 11 | 11,16 | 18,41 | 4,28 | 1,86 | 18,41 | 0,32 | 0,17 | 2,132 | OK |
| | | Mezz. | 11 | 9,01 | 21,05 | 4,60 | 2,01 | 21,05 | 0,02 | 0,22 | 1,720 | OK |
| | | Piede | 11 | 9,92 | 23,70 | 4,93 | 2,12 | 23,70 | 0,32 | 0,21 | 1,895 | OK |
| 2 | 21 | Testa | 11 | 9,44 | 13,63 | 3,71 | 1,52 | 13,63 | 0,32 | 0,16 | 1,803 | OK |
| | | Mezz. | 11 | 7,66 | 16,30 | 4,04 | 1,72 | 16,30 | 0,01 | 0,22 | 1,463 | OK |
| | | Piede | 11 | 8,49 | 18,97 | 4,37 | 1,90 | 18,97 | 0,32 | 0,22 | 1,621 | OK |
| 2 | 22 | Testa | 11 | 10,33 | 16,17 | 4,04 | 1,72 | 16,17 | 0,35 | 0,17 | 1,973 | OK |
| | | Mezz. | 11 | 8,36 | 18,86 | 4,37 | 1,90 | 18,86 | 0,04 | 0,23 | 1,597 | OK |
| | | Piede | 11 | 9,24 | 21,55 | 4,71 | 2,05 | 21,55 | 0,35 | 0,22 | 1,765 | OK |
| 2 | 23 | Testa | 11 | 12,56 | 17,08 | 3,50 | 1,50 | 17,08 | 0,22 | 0,12 | 2,398 | OK |
| | | Mezz. | 11 | 10,04 | 18,92 | 3,73 | 1,55 | 18,92 | 0,01 | 0,15 | 1,918 | OK |
| | | Piede | 11 | 10,95 | 20,75 | 3,96 | 1,59 | 20,75 | 0,22 | 0,15 | 2,091 | OK |
| 2 | 24 | Testa | 11 | 10,79 | 20,64 | 4,95 | 2,14 | 20,64 | 0,37 | 0,20 | 2,060 | OK |
| | | Mezz. | 11 | 8,72 | 23,81 | 5,35 | 2,33 | 23,81 | 0,01 | 0,27 | 1,665 | OK |
| | | Piede | 11 | 9,62 | 26,98 | 5,74 | 2,49 | 26,98 | 0,37 | 0,26 | 1,837 | OK |
| 2 | 25 | Testa | 11 | 9,52 | 7,88 | 2,13 | 0,87 | 7,88 | 0,19 | 0,09 | 1,819 | OK |
| | | Mezz. | 11 | 7,72 | 9,39 | 2,31 | 0,99 | 9,39 | 0,01 | 0,13 | 1,475 | OK |
| | | Piede | 11 | 8,56 | 10,91 | 2,50 | 1,09 | 10,91 | 0,19 | 0,13 | 1,634 | OK |
| 2 | 26 | Testa | 11 | 11,40 | 5,20 | 1,18 | 0,52 | 5,20 | 0,08 | 0,05 | 2,178 | OK |
| | | Mezz. | 11 | 9,19 | 5,92 | 1,27 | 0,55 | 5,92 | 0,00 | 0,06 | 1,756 | OK |
| | | Piede | 11 | 10,11 | 6,63 | 1,36 | 0,58 | 6,63 | 0,08 | 0,06 | 1,931 | OK |
| 2 | 27 | Testa | 11 | 7,58 | 5,53 | 1,87 | 0,66 | 5,53 | 0,18 | 0,09 | 1,448 | OK |
| | | Mezz. | 11 | 6,18 | 7,09 | 2,06 | 0,81 | 7,09 | 0,00 | 0,13 | 1,179 | OK |
| | | Piede | 11 | 6,87 | 8,65 | 2,25 | 0,94 | 8,65 | 0,18 | 0,14 | 1,313 | OK |
| 2 | 28 | Testa | 11 | 11,10 | 7,73 | 1,81 | 0,78 | 7,73 | 0,13 | 0,07 | 2,120 | OK |
| | | Mezz. | 11 | 8,96 | 8,86 | 1,95 | 0,85 | 8,86 | 0,00 | 0,09 | 1,711 | OK |
| | | Piede | 11 | 9,87 | 9,98 | 2,08 | 0,90 | 9,98 | 0,13 | 0,09 | 1,885 | OK |
| 2 | 29 | Testa | 11 | 8,53 | 12,10 | 3,63 | 1,40 | 12,10 | 0,32 | 0,16 | 1,628 | OK |
| | | Mezz. | 11 | 6,93 | 14,91 | 3,98 | 1,64 | 14,91 | 0,00 | 0,24 | 1,324 | OK |
| | | Piede | 11 | 7,70 | 17,73 | 4,32 | 1,85 | 17,73 | 0,32 | 0,24 | 1,471 | OK |
| 2 | 30 | Testa | 3 | 4,20 | 8,98 | 1,41 | 0,11 | 8,98 | 0,06 | 0,03 | 0,803 | OK |
| | | Mezz. | 3 | 2,02 | 9,37 | 1,46 | 0,07 | 9,37 | 0,01 | 0,03 | 0,385 | OK |
| | | Piede | 3 | 0,52 | 9,77 | 1,51 | 0,02 | 9,77 | 0,06 | 0,03 | 0,099 | NO VERIF |
| 2 | 31 | Testa | 11 | 9,58 | 12,87 | 3,45 | 1,42 | 12,87 | 0,31 | 0,15 | 1,830 | OK |
| | | Mezz. | 11 | 7,77 | 15,33 | 3,76 | 1,61 | 15,33 | 0,03 | 0,21 | 1,484 | OK |
| | | Piede | 11 | 8,61 | 17,78 | 4,06 | 1,77 | 17,78 | 0,31 | 0,21 | 1,644 | OK |
| 2 | 32 | Testa | 11 | 6,87 | 2,40 | 0,79 | 0,29 | 2,40 | 0,11 | 0,04 | 1,311 | OK |
| | | Mezz. | 11 | 6,34 | 3,05 | 0,87 | 0,35 | 3,05 | 0,04 | 0,05 | 1,212 | OK |
| | | Piede | 11 | 7,06 | 3,70 | 0,95 | 0,40 | 3,70 | 0,11 | 0,06 | 1,348 | OK |
| 2 | 33 | Testa | 3 | 2,45 | 10,00 | 1,56 | 0,07 | 10,00 | 0,25 | 0,03 | 0,468 | OK |
| | | Mezz. | 3 | 0,45 | 10,42 | 1,61 | 0,02 | 10,42 | 0,20 | 0,04 | 0,086 | NO VERIF |
| | | Piede | 3 | 0,00 | 10,54 | 1,66 | 0,00 | 10,85 | 0,25 | 0,03 | 0,000 | NO VERIF |

C.D.S.

| VERIFICA A SISMA ORTOGONALE | | | | | | | | | | | | |
|---|-----------|-------|---------|---------------|---------|---------|-----------|--------|--------|----------|------------|----------------------|
| VERIFICA A SISMA ORTOGONALE | | | | | | | | | | | | |
| Tempo Ritorno Sisma Ortagonale: 30 Anni | | | | | | | | | | | | |
| Quota N.ro | Muro N.ro | Sez. | Cmb ort | Coeff. sicur. | Nru (t) | Vru (t) | Mru (t*m) | Nd (t) | Vd (t) | Md (t*m) | PGA (Ag/g) | STRINGA DI CONTROLLO |
| 2 | 34 | Testa | 11 | 8,12 | 9,96 | 3,13 | 1,17 | 9,96 | 0,29 | 0,14 | 1,551 | OK |
| | | Mezz. | 11 | 6,60 | 12,46 | 3,44 | 1,40 | 12,46 | 0,00 | 0,21 | 1,262 | OK |
| | | Piede | 11 | 7,34 | 14,97 | 3,75 | 1,59 | 14,97 | 0,29 | 0,22 | 1,403 | OK |
| 2 | 35 | Testa | 3 | 4,88 | 8,23 | 1,30 | 0,12 | 8,23 | 0,04 | 0,03 | 0,932 | OK |
| | | Mezz. | 3 | 2,62 | 8,60 | 1,34 | 0,08 | 8,60 | 0,00 | 0,03 | 0,501 | OK |
| | | Piede | 3 | 1,26 | 8,97 | 1,39 | 0,03 | 8,97 | 0,04 | 0,03 | 0,240 | OK |
| 2 | 36 | Testa | 11 | 9,87 | 32,58 | 8,50 | 3,55 | 32,58 | 0,70 | 0,36 | 1,884 | OK |
| | | Mezz. | 11 | 7,99 | 38,48 | 9,23 | 3,98 | 38,48 | 0,03 | 0,50 | 1,527 | OK |
| | | Piede | 11 | 8,85 | 44,39 | 9,96 | 4,34 | 44,39 | 0,70 | 0,49 | 1,690 | OK |
| 2 | 37 | Testa | 3 | 10,45 | 33,77 | 8,35 | 3,57 | 33,77 | 0,63 | 0,34 | 1,997 | OK |
| | | Mezz. | 3 | 8,46 | 39,28 | 9,03 | 3,93 | 39,28 | 0,00 | 0,46 | 1,615 | OK |
| | | Piede | 3 | 9,34 | 44,79 | 9,71 | 4,23 | 44,79 | 0,63 | 0,45 | 1,784 | OK |
| 2 | 38 | Testa | 11 | 10,92 | 36,77 | 8,72 | 3,77 | 36,77 | 0,68 | 0,35 | 2,087 | OK |
| | | Mezz. | 11 | 8,82 | 42,27 | 9,40 | 4,10 | 42,27 | 0,05 | 0,46 | 1,685 | OK |
| | | Piede | 11 | 9,73 | 47,78 | 10,08 | 4,36 | 47,78 | 0,68 | 0,45 | 1,858 | OK |
| 2 | 39 | Testa | 3 | 8,49 | 7,00 | 2,11 | 0,81 | 7,00 | 0,19 | 0,10 | 1,622 | OK |
| | | Mezz. | 3 | 6,91 | 8,64 | 2,31 | 0,95 | 8,64 | 0,00 | 0,14 | 1,319 | OK |
| | | Piede | 3 | 7,67 | 10,27 | 2,51 | 1,08 | 10,27 | 0,19 | 0,14 | 1,465 | OK |
| 2 | 40 | Testa | 3 | 8,34 | 10,96 | 3,36 | 1,28 | 10,96 | 0,31 | 0,15 | 1,593 | OK |
| | | Mezz. | 3 | 6,78 | 13,60 | 3,68 | 1,51 | 13,60 | 0,01 | 0,22 | 1,296 | OK |
| | | Piede | 3 | 7,54 | 16,24 | 4,01 | 1,71 | 16,24 | 0,31 | 0,23 | 1,440 | OK |
| 2 | 41 | Testa | 3 | 8,18 | 7,37 | 2,30 | 0,87 | 7,37 | 0,21 | 0,11 | 1,562 | OK |
| | | Mezz. | 3 | 6,65 | 9,21 | 2,53 | 1,03 | 9,21 | 0,00 | 0,15 | 1,271 | OK |
| | | Piede | 3 | 7,40 | 11,04 | 2,76 | 1,17 | 11,04 | 0,21 | 0,16 | 1,413 | OK |
| 2 | 42 | Testa | 3 | 9,84 | 3,92 | 1,03 | 0,43 | 3,92 | 0,09 | 0,04 | 1,880 | OK |
| | | Mezz. | 3 | 7,97 | 4,63 | 1,11 | 0,48 | 4,63 | 0,01 | 0,06 | 1,523 | OK |
| | | Piede | 3 | 8,83 | 5,34 | 1,20 | 0,52 | 5,34 | 0,09 | 0,06 | 1,686 | OK |
| 2 | 43 | Testa | 3 | 12,12 | 6,00 | 1,28 | 0,56 | 6,00 | 0,08 | 0,05 | 2,316 | OK |
| | | Mezz. | 3 | 9,73 | 6,72 | 1,37 | 0,59 | 6,72 | 0,00 | 0,06 | 1,859 | OK |
| | | Piede | 3 | 10,66 | 7,43 | 1,46 | 0,61 | 7,43 | 0,08 | 0,06 | 2,036 | OK |
| 2 | 44 | Testa | 3 | 9,99 | 16,33 | 4,21 | 1,77 | 16,33 | 0,35 | 0,18 | 1,909 | OK |
| | | Mezz. | 3 | 8,09 | 19,22 | 4,57 | 1,97 | 19,22 | 0,02 | 0,24 | 1,546 | OK |
| | | Piede | 3 | 8,96 | 22,12 | 4,93 | 2,15 | 22,12 | 0,35 | 0,24 | 1,711 | OK |
| 2 | 45 | Testa | 3 | 10,60 | 3,08 | 0,75 | 0,32 | 3,08 | 0,06 | 0,03 | 2,025 | OK |
| | | Mezz. | 3 | 8,57 | 3,57 | 0,81 | 0,35 | 3,57 | 0,00 | 0,04 | 1,637 | OK |
| | | Piede | 3 | 9,47 | 4,06 | 0,87 | 0,38 | 4,06 | 0,06 | 0,04 | 1,808 | OK |
| 2 | 46 | Testa | 3 | 9,04 | 18,22 | 5,17 | 2,07 | 18,22 | 0,45 | 0,23 | 1,726 | OK |
| | | Mezz. | 3 | 7,34 | 22,06 | 5,64 | 2,38 | 22,06 | 0,01 | 0,32 | 1,401 | OK |
| | | Piede | 3 | 8,14 | 25,90 | 6,12 | 2,65 | 25,90 | 0,45 | 0,33 | 1,555 | OK |
| 2 | 47 | Testa | 3 | 11,03 | 37,51 | 8,81 | 3,82 | 37,51 | 0,64 | 0,35 | 2,108 | OK |
| | | Mezz. | 3 | 8,91 | 43,02 | 9,49 | 4,14 | 43,02 | 0,01 | 0,46 | 1,701 | OK |
| | | Piede | 3 | 9,82 | 48,52 | 10,17 | 4,39 | 48,52 | 0,64 | 0,45 | 1,875 | OK |
| 2 | 48 | Testa | 11 | 6,68 | 4,00 | 1,55 | 0,50 | 4,00 | 0,16 | 0,07 | 1,276 | OK |
| | | Mezz. | 11 | 5,45 | 5,39 | 1,72 | 0,64 | 5,39 | 0,00 | 0,12 | 1,040 | OK |
| | | Piede | 11 | 6,07 | 6,78 | 1,89 | 0,76 | 6,78 | 0,16 | 0,13 | 1,160 | OK |
| 2 | 49 | Testa | 11 | 6,66 | 3,04 | 1,18 | 0,38 | 3,04 | 0,12 | 0,06 | 1,273 | OK |
| | | Mezz. | 11 | 5,44 | 4,10 | 1,31 | 0,48 | 4,10 | 0,00 | 0,09 | 1,038 | OK |
| | | Piede | 11 | 6,06 | 5,15 | 1,44 | 0,58 | 5,15 | 0,12 | 0,10 | 1,157 | OK |
| 2 | 50 | Testa | 11 | 6,65 | 2,46 | 0,96 | 0,31 | 2,46 | 0,10 | 0,05 | 1,271 | OK |
| | | Mezz. | 11 | 5,43 | 3,32 | 1,06 | 0,39 | 3,32 | 0,00 | 0,07 | 1,036 | OK |

C.D.S.

| VERIFICA A SISMA ORTOGONALE | | | | | | | | | | | | |
|--|-----------|-------|---------|---------------|---------|---------|-----------|--------|--------|----------|------------|----------------------|
| VERIFICA A SISMA ORTOGONALE Tempo Ritorno Sisma Ortagonale: 30 Anni | | | | | | | | | | | | |
| Quota N.ro | Muro N.ro | Sez. | Cmb ort | Coeff. sicur. | Nru (t) | Vru (t) | Mru (t*m) | Nd (t) | Vd (t) | Md (t*m) | PGA (Ag/g) | STRINGA DI CONTROLLO |
| | | Piede | 11 | 6,05 | 4,18 | 1,17 | 0,47 | 4,18 | 0,10 | 0,08 | 1,155 | OK |
| 2 | 51 | Testa | 11 | 6,64 | 3,59 | 1,40 | 0,44 | 3,59 | 0,15 | 0,07 | 1,268 | OK |
| | | Mezz. | 11 | 5,42 | 4,84 | 1,55 | 0,57 | 4,84 | 0,00 | 0,11 | 1,034 | OK |
| | | Piede | 11 | 6,04 | 6,10 | 1,70 | 0,69 | 6,10 | 0,15 | 0,11 | 1,153 | OK |
| 2 | 52 | Testa | 3 | 8,04 | 5,31 | 1,69 | 0,63 | 5,31 | 0,16 | 0,08 | 1,535 | OK |
| | | Mezz. | 3 | 6,54 | 6,67 | 1,86 | 0,75 | 6,67 | 0,00 | 0,11 | 1,249 | OK |
| | | Piede | 3 | 7,27 | 8,03 | 2,02 | 0,86 | 8,03 | 0,16 | 0,12 | 1,389 | OK |
| 2 | 53 | Testa | 3 | 8,44 | 5,59 | 1,69 | 0,65 | 5,59 | 0,15 | 0,08 | 1,613 | OK |
| | | Mezz. | 3 | 6,87 | 6,91 | 1,86 | 0,76 | 6,91 | 0,00 | 0,11 | 1,311 | OK |
| | | Piede | 3 | 7,63 | 8,23 | 2,02 | 0,86 | 8,23 | 0,15 | 0,11 | 1,457 | OK |
| 2 | 54 | Testa | 3 | 8,85 | 6,77 | 1,96 | 0,77 | 6,77 | 0,17 | 0,09 | 1,691 | OK |
| | | Mezz. | 3 | 7,19 | 8,25 | 2,14 | 0,90 | 8,25 | 0,00 | 0,12 | 1,373 | OK |
| | | Piede | 3 | 7,98 | 9,73 | 2,32 | 1,00 | 9,73 | 0,17 | 0,13 | 1,525 | OK |
| 2 | 55 | Testa | 11 | 6,62 | 5,26 | 2,05 | 0,65 | 5,26 | 0,22 | 0,10 | 1,264 | OK |
| | | Mezz. | 11 | 5,40 | 7,11 | 2,28 | 0,84 | 7,11 | 0,00 | 0,16 | 1,031 | OK |
| | | Piede | 11 | 6,02 | 8,96 | 2,51 | 1,01 | 8,96 | 0,22 | 0,17 | 1,150 | OK |
| 2 | 56 | Testa | 11 | 6,60 | 2,54 | 1,00 | 0,32 | 2,54 | 0,10 | 0,05 | 1,261 | OK |
| | | Mezz. | 11 | 5,39 | 3,44 | 1,11 | 0,41 | 3,44 | 0,00 | 0,08 | 1,029 | OK |
| | | Piede | 11 | 6,01 | 4,34 | 1,22 | 0,49 | 4,34 | 0,10 | 0,08 | 1,147 | OK |
| 2 | 57 | Testa | 11 | 6,59 | 3,73 | 1,46 | 0,46 | 3,73 | 0,15 | 0,07 | 1,258 | OK |
| | | Mezz. | 11 | 5,37 | 5,05 | 1,63 | 0,60 | 5,05 | 0,00 | 0,11 | 1,026 | OK |
| | | Piede | 11 | 5,99 | 6,37 | 1,79 | 0,72 | 6,37 | 0,15 | 0,12 | 1,145 | OK |
| 2 | 58 | Testa | 3 | 6,47 | 2,82 | 1,13 | 0,35 | 2,82 | 0,12 | 0,05 | 1,235 | OK |
| | | Mezz. | 3 | 5,28 | 3,85 | 1,26 | 0,46 | 3,85 | 0,00 | 0,09 | 1,008 | OK |
| | | Piede | 3 | 5,88 | 4,88 | 1,38 | 0,55 | 4,88 | 0,12 | 0,09 | 1,124 | OK |
| 2 | 59 | Testa | 11 | 10,00 | 3,36 | 0,87 | 0,36 | 3,36 | 0,07 | 0,04 | 1,909 | OK |
| | | Mezz. | 11 | 8,10 | 3,95 | 0,94 | 0,41 | 3,95 | 0,00 | 0,05 | 1,547 | OK |
| | | Piede | 11 | 8,96 | 4,55 | 1,01 | 0,44 | 4,55 | 0,07 | 0,05 | 1,711 | OK |
| 2 | 60 | Testa | 3 | 12,90 | 5,93 | 1,48 | 0,95 | 5,93 | 0,12 | 0,06 | 2,464 | OK |
| | | Mezz. | 3 | 12,53 | 6,92 | 1,61 | 1,05 | 6,92 | 0,00 | 0,08 | 2,393 | OK |
| | | Piede | 3 | 13,85 | 7,91 | 1,73 | 1,13 | 7,91 | 0,12 | 0,08 | 2,644 | OK |
| 2 | 61 | Testa | 11 | 9,86 | 32,57 | 8,50 | 3,55 | 32,57 | 0,68 | 0,36 | 1,884 | OK |
| | | Mezz. | 11 | 7,99 | 38,47 | 9,23 | 3,98 | 38,47 | 0,00 | 0,50 | 1,527 | OK |
| | | Piede | 11 | 8,85 | 44,37 | 9,96 | 4,34 | 44,37 | 0,68 | 0,49 | 1,690 | OK |
| 2 | 62 | Testa | 11 | 10,15 | 3,45 | 0,88 | 0,37 | 3,45 | 0,07 | 0,04 | 1,938 | OK |
| | | Mezz. | 11 | 8,21 | 4,04 | 0,95 | 0,41 | 4,04 | 0,00 | 0,05 | 1,569 | OK |
| | | Piede | 11 | 9,08 | 4,64 | 1,02 | 0,45 | 4,64 | 0,07 | 0,05 | 1,735 | OK |
| 2 | 63 | Testa | 11 | 8,38 | 2,48 | 0,76 | 0,29 | 2,48 | 0,07 | 0,03 | 1,600 | OK |
| | | Mezz. | 11 | 6,81 | 3,08 | 0,83 | 0,34 | 3,08 | 0,00 | 0,05 | 1,301 | OK |
| | | Piede | 11 | 7,57 | 3,67 | 0,90 | 0,39 | 3,67 | 0,07 | 0,05 | 1,446 | OK |
| 2 | 64 | Testa | 3 | 0,00 | 7,91 | 1,26 | 0,00 | 8,22 | 0,04 | 0,02 | 0,000 | NO VERIF |
| | | Mezz. | 3 | 0,00 | 7,91 | 1,29 | 0,00 | 8,54 | 0,00 | 0,03 | 0,000 | NO VERIF |
| | | Piede | 3 | 0,00 | 7,91 | 1,33 | 0,00 | 8,85 | 0,04 | 0,02 | 0,000 | NO VERIF |
| 2 | 65 | Testa | 3 | 2,04 | 22,37 | 3,51 | 0,14 | 22,37 | 0,12 | 0,07 | 0,389 | OK |
| | | Mezz. | 3 | 0,95 | 23,36 | 3,63 | 0,08 | 23,36 | 0,01 | 0,08 | 0,181 | NO VERIF |
| | | Piede | 3 | 0,19 | 24,34 | 3,75 | 0,01 | 24,34 | 0,12 | 0,07 | 0,036 | NO VERIF |
| 2 | 66 | Testa | 3 | 1,76 | 3,50 | 0,55 | 0,02 | 3,50 | 0,02 | 0,01 | 0,337 | OK |
| | | Mezz. | 3 | 0,71 | 3,65 | 0,57 | 0,01 | 3,65 | 0,00 | 0,01 | 0,135 | NO VERIF |
| | | Piede | 3 | 0,00 | 3,79 | 0,59 | 0,00 | 3,81 | 0,02 | 0,01 | 0,000 | NO VERIF |

C.D.S.

| VERIFICA A SISMA ORTOGONALE | | | | | | | | | | | | | |
|--|-----------|-------|---------|---------------|---------|---------|-----------|--------|--------|----------|------------|----------------------|--|
| VERIFICA A SISMA ORTOGONALE Tempo Ritorno Sisma Ortagonale: 30 Anni | | | | | | | | | | | | | |
| Quota N.ro | Muro N.ro | Sez. | Cmb ort | Coeff. sicur. | Nru (t) | Vru (t) | Mru (t*m) | Nd (t) | Vd (t) | Md (t*m) | PGA (Ag/g) | STRINGA DI CONTROLLO | |
| 2 | 67 | Testa | 11 | 5,52 | 14,52 | 3,41 | 0,74 | 14,52 | 0,25 | 0,13 | 1,053 | OK | |
| | | Mezz. | 11 | 4,45 | 16,65 | 3,67 | 0,80 | 16,65 | 0,01 | 0,18 | 0,850 | OK | |
| | | Piede | 11 | 4,91 | 18,78 | 3,94 | 0,85 | 18,78 | 0,25 | 0,17 | 0,937 | OK | |
| 2 | 68 | Testa | 3 | 8,01 | 9,13 | 2,91 | 1,08 | 9,13 | 0,30 | 0,13 | 1,530 | OK | |
| | | Mezz. | 3 | 6,52 | 11,48 | 3,20 | 1,29 | 11,48 | 0,03 | 0,20 | 1,245 | OK | |
| | | Piede | 3 | 7,25 | 13,83 | 3,49 | 1,48 | 13,83 | 0,30 | 0,20 | 1,385 | OK | |
| 2 | 69 | Testa | 11 | 12,30 | 10,98 | 2,31 | 1,00 | 10,98 | 0,15 | 0,08 | 2,350 | OK | |
| | | Mezz. | 11 | 9,86 | 12,23 | 2,46 | 1,04 | 12,23 | 0,01 | 0,11 | 1,883 | OK | |
| | | Piede | 11 | 10,78 | 13,49 | 2,62 | 1,07 | 13,49 | 0,15 | 0,10 | 2,059 | OK | |
| 2 | 70 | Testa | 11 | 11,65 | 3,53 | 0,79 | 0,34 | 3,53 | 0,06 | 0,03 | 2,225 | OK | |
| | | Mezz. | 11 | 9,38 | 3,99 | 0,84 | 0,37 | 3,99 | 0,00 | 0,04 | 1,791 | OK | |
| | | Piede | 11 | 10,30 | 4,46 | 0,90 | 0,38 | 4,46 | 0,06 | 0,04 | 1,968 | OK | |
| 2 | 71 | Testa | 11 | 7,35 | 2,00 | 0,70 | 0,24 | 2,00 | 0,07 | 0,03 | 1,403 | OK | |
| | | Mezz. | 11 | 5,99 | 2,60 | 0,77 | 0,30 | 2,60 | 0,00 | 0,05 | 1,143 | OK | |
| | | Piede | 11 | 6,67 | 3,19 | 0,85 | 0,35 | 3,19 | 0,07 | 0,05 | 1,273 | OK | |
| 2 | 72 | Testa | 3 | 0,00 | 13,67 | 2,10 | 0,00 | 13,67 | 0,07 | 0,04 | 0,000 | NO VERIF | |
| | | Mezz. | 3 | 0,00 | 13,67 | 2,17 | 0,00 | 14,22 | 0,01 | 0,05 | 0,000 | NO VERIF | |
| | | Piede | 3 | 0,00 | 13,67 | 2,24 | 0,00 | 14,77 | 0,07 | 0,04 | 0,000 | NO VERIF | |
| 2 | 73 | Testa | 3 | 0,00 | 5,11 | 0,83 | 0,00 | 5,44 | 0,02 | 0,01 | 0,000 | NO VERIF | |
| | | Mezz. | 3 | 0,00 | 5,11 | 0,85 | 0,00 | 5,65 | 0,00 | 0,02 | 0,000 | NO VERIF | |
| | | Piede | 3 | 0,00 | 5,11 | 0,88 | 0,00 | 5,85 | 0,02 | 0,02 | 0,000 | NO VERIF | |

| VERIFICA A SISMA ORTOGONALE | | | | | | | | | | | | | |
|--|-----------|-------|---------|---------------|---------|---------|-----------|--------|--------|----------|------------|----------------------|--|
| VERIFICA A SISMA ORTOGONALE Tempo Ritorno Sisma Ortagonale: 30 Anni | | | | | | | | | | | | | |
| Quota N.ro | Muro N.ro | Sez. | Cmb ort | Coeff. sicur. | Nru (t) | Vru (t) | Mru (t*m) | Nd (t) | Vd (t) | Md (t*m) | PGA (Ag/g) | STRINGA DI CONTROLLO | |
| 3 | 1 | Testa | 11 | 7,70 | 6,31 | 2,44 | 0,78 | 6,31 | 0,29 | 0,10 | 1,471 | OK | |
| | | Mezz. | 11 | 6,06 | 7,99 | 2,65 | 0,96 | 7,99 | 0,02 | 0,16 | 1,158 | OK | |
| | | Piede | 11 | 7,17 | 9,68 | 2,86 | 1,12 | 9,68 | 0,29 | 0,16 | 1,369 | OK | |
| 3 | 2 | Testa | 3 | 8,62 | 8,57 | 2,66 | 1,01 | 8,57 | 0,31 | 0,10 | 1,647 | OK | |
| | | Mezz. | 3 | 7,58 | 10,20 | 2,86 | 1,15 | 10,20 | 0,05 | 0,15 | 1,448 | OK | |
| | | Piede | 3 | 8,94 | 11,82 | 3,06 | 1,28 | 11,82 | 0,31 | 0,14 | 1,708 | OK | |
| 3 | 3 | Testa | 3 | 10,29 | 8,59 | 2,51 | 0,99 | 8,59 | 0,24 | 0,10 | 1,965 | OK | |
| | | Mezz. | 3 | 8,08 | 10,06 | 2,70 | 1,11 | 10,06 | 0,00 | 0,14 | 1,543 | OK | |
| | | Piede | 3 | 9,52 | 11,53 | 2,88 | 1,22 | 11,53 | 0,24 | 0,13 | 1,817 | OK | |
| 3 | 4 | Testa | 3 | 12,67 | 1,92 | 0,45 | 0,19 | 1,92 | 0,04 | 0,01 | 2,420 | OK | |
| | | Mezz. | 3 | 10,35 | 2,13 | 0,47 | 0,21 | 2,13 | 0,00 | 0,02 | 1,977 | OK | |
| | | Piede | 3 | 12,12 | 2,34 | 0,50 | 0,22 | 2,34 | 0,04 | 0,02 | 2,316 | OK | |
| 3 | 5 | Testa | 3 | 8,57 | 10,39 | 3,48 | 1,24 | 10,39 | 0,41 | 0,14 | 1,637 | OK | |
| | | Mezz. | 3 | 7,01 | 12,61 | 3,75 | 1,46 | 12,61 | 0,05 | 0,21 | 1,339 | OK | |
| | | Piede | 3 | 8,27 | 14,84 | 4,03 | 1,65 | 14,84 | 0,41 | 0,20 | 1,580 | OK | |
| 3 | 6 | Testa | 11 | 8,33 | 5,95 | 2,13 | 0,72 | 5,95 | 0,23 | 0,09 | 1,592 | OK | |
| | | Mezz. | 11 | 6,56 | 7,36 | 2,30 | 0,87 | 7,36 | 0,00 | 0,13 | 1,252 | OK | |
| | | Piede | 11 | 7,74 | 8,77 | 2,48 | 0,99 | 8,77 | 0,23 | 0,13 | 1,479 | OK | |
| 3 | 7 | Testa | 11 | 9,59 | 6,95 | 2,17 | 0,82 | 6,95 | 0,22 | 0,09 | 1,831 | OK | |
| | | Mezz. | 11 | 7,53 | 8,28 | 2,34 | 0,94 | 8,28 | 0,01 | 0,12 | 1,439 | OK | |
| | | Piede | 11 | 8,88 | 9,61 | 2,50 | 1,05 | 9,61 | 0,22 | 0,12 | 1,697 | OK | |
| 3 | 8 | Testa | 3 | 7,07 | 8,50 | 3,28 | 1,05 | 8,50 | 0,46 | 0,14 | 1,351 | OK | |
| | | Mezz. | 3 | 6,08 | 10,76 | 3,56 | 1,29 | 10,76 | 0,10 | 0,21 | 1,160 | OK | |

C.D.S.

| VERIFICA A SISMA ORTOGONALE | | | | | | | | | | | | |
|--|-----------|-------|---------|---------------|---------|---------|-----------|--------|--------|----------|------------|----------------------|
| VERIFICA A SISMA ORTOGONALE Tempo Ritorno Sisma Ortagonale: 30 Anni | | | | | | | | | | | | |
| Quota N.ro | Muro N.ro | Sez. | Cmb ort | Coeff. sicur. | Nru (t) | Vru (t) | Mru (t*m) | Nd (t) | Vd (t) | Md (t*m) | PGA (Ag/g) | STRINGA DI CONTROLLO |
| | | Piede | 3 | 7,18 | 13,03 | 3,84 | 1,50 | 13,03 | 0,46 | 0,21 | 1,371 | OK |
| 3 | 9 | Testa | 11 | 7,71 | 5,44 | 2,11 | 0,67 | 5,44 | 0,24 | 0,09 | 1,472 | OK |
| | | Mezz. | 11 | 6,07 | 6,89 | 2,28 | 0,82 | 6,89 | 0,01 | 0,14 | 1,159 | OK |
| | | Piede | 11 | 7,17 | 8,34 | 2,46 | 0,96 | 8,34 | 0,24 | 0,13 | 1,370 | OK |
| 3 | 10 | Testa | 3 | 7,83 | 8,51 | 2,74 | 1,01 | 8,51 | 0,35 | 0,11 | 1,495 | OK |
| | | Mezz. | 3 | 7,29 | 10,23 | 2,96 | 1,17 | 10,23 | 0,08 | 0,16 | 1,392 | OK |
| | | Piede | 3 | 8,59 | 11,94 | 3,17 | 1,31 | 11,94 | 0,35 | 0,15 | 1,641 | OK |
| 3 | 11 | Testa | 11 | 7,98 | 6,25 | 2,34 | 0,77 | 6,25 | 0,26 | 0,10 | 1,524 | OK |
| | | Mezz. | 11 | 6,28 | 7,84 | 2,53 | 0,93 | 7,84 | 0,00 | 0,15 | 1,199 | OK |
| | | Piede | 11 | 7,42 | 9,42 | 2,73 | 1,08 | 9,42 | 0,26 | 0,15 | 1,417 | OK |
| 3 | 12 | Testa | 11 | 6,65 | 5,65 | 2,56 | 0,72 | 5,65 | 0,34 | 0,11 | 1,270 | OK |
| | | Mezz. | 11 | 5,24 | 7,54 | 2,79 | 0,93 | 7,54 | 0,04 | 0,18 | 1,001 | OK |
| | | Piede | 11 | 6,20 | 9,42 | 3,03 | 1,12 | 9,42 | 0,34 | 0,18 | 1,184 | OK |
| 3 | 13 | Testa | 3 | 8,40 | 4,46 | 1,58 | 0,54 | 4,46 | 0,17 | 0,06 | 1,604 | OK |
| | | Mezz. | 3 | 6,61 | 5,51 | 1,71 | 0,65 | 5,51 | 0,01 | 0,10 | 1,262 | OK |
| | | Piede | 3 | 7,80 | 6,55 | 1,84 | 0,74 | 6,55 | 0,17 | 0,09 | 1,490 | OK |
| 3 | 14 | Testa | 3 | 8,87 | 7,02 | 2,36 | 0,84 | 7,02 | 0,26 | 0,09 | 1,695 | OK |
| | | Mezz. | 3 | 6,98 | 8,53 | 2,55 | 0,99 | 8,53 | 0,02 | 0,14 | 1,333 | OK |
| | | Piede | 3 | 8,23 | 10,04 | 2,73 | 1,12 | 10,04 | 0,26 | 0,14 | 1,573 | OK |
| 3 | 15 | Testa | 11 | 7,84 | 7,25 | 2,76 | 0,90 | 7,25 | 0,34 | 0,11 | 1,497 | OK |
| | | Mezz. | 11 | 6,17 | 9,14 | 2,99 | 1,09 | 9,14 | 0,04 | 0,18 | 1,178 | OK |
| | | Piede | 11 | 7,29 | 11,03 | 3,23 | 1,27 | 11,03 | 0,34 | 0,17 | 1,392 | OK |
| 3 | 16 | Testa | 3 | 9,45 | 2,49 | 0,79 | 0,29 | 2,49 | 0,08 | 0,03 | 1,805 | OK |
| | | Mezz. | 3 | 7,42 | 2,98 | 0,85 | 0,34 | 2,98 | 0,00 | 0,05 | 1,418 | OK |
| | | Piede | 3 | 8,76 | 3,46 | 0,91 | 0,38 | 3,46 | 0,08 | 0,04 | 1,672 | OK |
| 3 | 17 | Testa | 11 | 7,85 | 1,09 | 0,42 | 0,14 | 1,09 | 0,05 | 0,02 | 1,499 | OK |
| | | Mezz. | 11 | 6,18 | 1,38 | 0,45 | 0,16 | 1,38 | 0,00 | 0,03 | 1,180 | OK |
| | | Piede | 11 | 7,30 | 1,66 | 0,49 | 0,19 | 1,66 | 0,05 | 0,03 | 1,394 | OK |
| 3 | 18 | Testa | 3 | 9,04 | 9,02 | 2,98 | 1,08 | 9,02 | 0,31 | 0,12 | 1,727 | OK |
| | | Mezz. | 3 | 7,11 | 10,91 | 3,21 | 1,26 | 10,91 | 0,01 | 0,18 | 1,358 | OK |
| | | Piede | 3 | 8,39 | 12,79 | 3,44 | 1,42 | 12,79 | 0,31 | 0,17 | 1,602 | OK |
| 3 | 19 | Testa | 3 | 9,36 | 8,49 | 2,71 | 1,00 | 8,49 | 0,27 | 0,11 | 1,788 | OK |
| | | Mezz. | 3 | 7,36 | 10,17 | 2,92 | 1,16 | 10,17 | 0,01 | 0,16 | 1,405 | OK |
| | | Piede | 3 | 8,68 | 11,86 | 3,13 | 1,30 | 11,86 | 0,27 | 0,15 | 1,658 | OK |
| 3 | 20 | Testa | 11 | 8,36 | 8,60 | 3,07 | 1,05 | 8,60 | 0,33 | 0,13 | 1,596 | OK |
| | | Mezz. | 11 | 6,58 | 10,63 | 3,32 | 1,25 | 10,63 | 0,01 | 0,19 | 1,256 | OK |
| | | Piede | 11 | 7,77 | 12,66 | 3,57 | 1,43 | 12,66 | 0,33 | 0,18 | 1,483 | OK |
| 3 | 21 | Testa | 11 | 7,91 | 7,98 | 3,01 | 0,98 | 7,98 | 0,33 | 0,12 | 1,510 | OK |
| | | Mezz. | 11 | 6,22 | 10,04 | 3,26 | 1,19 | 10,04 | 0,01 | 0,19 | 1,189 | OK |
| | | Piede | 11 | 7,35 | 12,09 | 3,52 | 1,38 | 12,09 | 0,33 | 0,19 | 1,404 | OK |
| 3 | 22 | Testa | 3 | 7,28 | 7,11 | 2,92 | 0,89 | 7,11 | 0,33 | 0,12 | 1,391 | OK |
| | | Mezz. | 3 | 5,73 | 9,19 | 3,18 | 1,11 | 9,19 | 0,00 | 0,19 | 1,095 | OK |
| | | Piede | 3 | 6,78 | 11,26 | 3,43 | 1,31 | 11,26 | 0,33 | 0,19 | 1,295 | OK |
| 3 | 23 | Testa | 11 | 10,71 | 9,22 | 2,53 | 1,03 | 9,22 | 0,24 | 0,09 | 2,046 | OK |
| | | Mezz. | 11 | 8,66 | 10,63 | 2,71 | 1,14 | 10,63 | 0,01 | 0,13 | 1,655 | OK |
| | | Piede | 11 | 10,19 | 12,04 | 2,88 | 1,24 | 12,04 | 0,24 | 0,12 | 1,947 | OK |
| 3 | 24 | Testa | 11 | 8,06 | 9,77 | 3,61 | 1,20 | 9,77 | 0,40 | 0,15 | 1,540 | OK |
| | | Mezz. | 11 | 6,35 | 12,21 | 3,91 | 1,45 | 12,21 | 0,01 | 0,23 | 1,212 | OK |
| | | Piede | 11 | 7,50 | 14,65 | 4,21 | 1,67 | 14,65 | 0,40 | 0,22 | 1,432 | OK |

C.D.S.

| VERIFICA A SISMA ORTOGONALE | | | | | | | | | | | | |
|--|-----------|-------|---------|---------------|---------|---------|-----------|--------|--------|----------|------------|----------------------|
| VERIFICA A SISMA ORTOGONALE Tempo Ritorno Sisma Ortagonale: 30 Anni | | | | | | | | | | | | |
| Quota N.ro | Muro N.ro | Sez. | Cmb ort | Coeff. sicur. | Nru (t) | Vru (t) | Mru (t*m) | Nd (t) | Vd (t) | Md (t*m) | PGA (Ag/g) | STRINGA DI CONTROLLO |
| 3 | 25 | Testa | 3 | 9,60 | 6,11 | 1,91 | 0,72 | 6,11 | 0,19 | 0,07 | 1,834 | OK |
| | | Mezz. | 3 | 7,54 | 7,28 | 2,05 | 0,82 | 7,28 | 0,01 | 0,11 | 1,441 | OK |
| | | Piede | 3 | 8,89 | 8,45 | 2,20 | 0,92 | 8,45 | 0,19 | 0,10 | 1,699 | OK |
| 3 | 26 | Testa | 11 | 10,97 | 3,54 | 0,98 | 0,40 | 3,54 | 0,09 | 0,04 | 2,095 | OK |
| | | Mezz. | 11 | 8,60 | 4,09 | 1,05 | 0,44 | 4,09 | 0,00 | 0,05 | 1,643 | OK |
| | | Piede | 11 | 10,12 | 4,64 | 1,11 | 0,48 | 4,64 | 0,09 | 0,05 | 1,934 | OK |
| 3 | 27 | Testa | 3 | 6,88 | 3,78 | 1,65 | 0,48 | 3,78 | 0,19 | 0,07 | 1,315 | OK |
| | | Mezz. | 3 | 5,42 | 4,97 | 1,80 | 0,61 | 4,97 | 0,00 | 0,11 | 1,036 | OK |
| | | Piede | 3 | 6,41 | 6,17 | 1,95 | 0,73 | 6,17 | 0,19 | 0,11 | 1,225 | OK |
| 3 | 28 | Testa | 11 | 9,97 | 4,79 | 1,44 | 0,56 | 4,79 | 0,14 | 0,06 | 1,905 | OK |
| | | Mezz. | 11 | 7,83 | 5,66 | 1,55 | 0,63 | 5,66 | 0,00 | 0,08 | 1,496 | OK |
| | | Piede | 11 | 9,23 | 6,52 | 1,66 | 0,70 | 6,52 | 0,14 | 0,08 | 1,763 | OK |
| 3 | 29 | Testa | 3 | 7,59 | 7,91 | 3,11 | 0,98 | 7,91 | 0,36 | 0,13 | 1,450 | OK |
| | | Mezz. | 3 | 5,98 | 10,08 | 3,38 | 1,21 | 10,08 | 0,02 | 0,20 | 1,141 | OK |
| | | Piede | 3 | 7,06 | 12,24 | 3,65 | 1,41 | 12,24 | 0,36 | 0,20 | 1,349 | OK |
| 3 | 30 | Testa | 11 | 9,26 | 4,03 | 0,80 | 0,33 | 4,03 | 0,09 | 0,02 | 1,768 | OK |
| | | Mezz. | 11 | 11,96 | 4,33 | 0,84 | 0,34 | 4,33 | 0,04 | 0,03 | 2,285 | OK |
| | | Piede | 11 | 10,13 | 4,64 | 0,87 | 0,34 | 4,64 | 0,09 | 0,02 | 1,935 | OK |
| 3 | 31 | Testa | 3 | 8,64 | 10,15 | 3,12 | 1,19 | 10,15 | 0,36 | 0,12 | 1,650 | OK |
| | | Mezz. | 3 | 7,67 | 12,04 | 3,35 | 1,35 | 12,04 | 0,06 | 0,18 | 1,465 | OK |
| | | Piede | 3 | 9,04 | 13,93 | 3,58 | 1,51 | 13,93 | 0,36 | 0,17 | 1,727 | OK |
| 3 | 32 | Testa | 3 | 8,72 | 7,36 | 1,40 | 0,56 | 7,36 | 0,16 | 0,04 | 1,666 | OK |
| | | Mezz. | 11 | 11,98 | 9,01 | 1,60 | 0,56 | 9,01 | 0,08 | 0,05 | 2,289 | OK |
| | | Piede | 3 | 9,49 | 8,36 | 1,52 | 0,56 | 8,36 | 0,16 | 0,04 | 1,813 | OK |
| 3 | 33 | Testa | 11 | 5,42 | 5,23 | 0,97 | 0,37 | 5,23 | 0,18 | 0,02 | 1,036 | OK |
| | | Mezz. | 11 | 7,97 | 5,55 | 1,01 | 0,37 | 5,55 | 0,13 | 0,03 | 1,522 | OK |
| | | Piede | 11 | 5,87 | 5,88 | 1,05 | 0,36 | 5,88 | 0,18 | 0,03 | 1,122 | OK |
| 3 | 34 | Testa | 3 | 8,20 | 7,93 | 2,88 | 0,97 | 7,93 | 0,35 | 0,12 | 1,566 | OK |
| | | Mezz. | 3 | 6,45 | 9,86 | 3,12 | 1,16 | 9,86 | 0,04 | 0,18 | 1,232 | OK |
| | | Piede | 3 | 7,62 | 11,79 | 3,36 | 1,34 | 11,79 | 0,35 | 0,18 | 1,455 | OK |
| 3 | 35 | Testa | 3 | 11,44 | 3,53 | 0,72 | 0,31 | 3,53 | 0,06 | 0,02 | 2,184 | OK |
| | | Mezz. | 3 | 11,78 | 3,81 | 0,75 | 0,31 | 3,81 | 0,02 | 0,03 | 2,251 | OK |
| | | Piede | 3 | 12,56 | 4,10 | 0,79 | 0,32 | 4,10 | 0,06 | 0,02 | 2,398 | OK |
| 3 | 36 | Testa | 3 | 7,55 | 16,47 | 6,51 | 2,05 | 16,47 | 0,76 | 0,27 | 1,442 | OK |
| | | Mezz. | 3 | 5,94 | 21,01 | 7,07 | 2,52 | 21,01 | 0,04 | 0,42 | 1,135 | OK |
| | | Piede | 3 | 7,02 | 25,55 | 7,64 | 2,96 | 25,55 | 0,76 | 0,42 | 1,342 | OK |
| 3 | 37 | Testa | 11 | 6,32 | 5,60 | 2,70 | 0,72 | 5,60 | 0,33 | 0,11 | 1,206 | OK |
| | | Mezz. | 11 | 4,98 | 7,63 | 2,95 | 0,94 | 7,63 | 0,01 | 0,19 | 0,951 | OK |
| | | Piede | 11 | 5,89 | 9,67 | 3,20 | 1,15 | 9,67 | 0,33 | 0,20 | 1,125 | OK |
| 3 | 38 | Testa | 3 | 4,77 | 10,96 | 3,44 | 0,64 | 10,96 | 0,34 | 0,14 | 0,910 | OK |
| | | Mezz. | 3 | 3,75 | 13,08 | 3,70 | 0,74 | 13,08 | 0,00 | 0,20 | 0,715 | OK |
| | | Piede | 3 | 4,42 | 15,19 | 3,97 | 0,83 | 15,19 | 0,34 | 0,19 | 0,844 | OK |
| 3 | 39 | Testa | 11 | 4,80 | 11,08 | 3,46 | 0,65 | 11,08 | 0,34 | 0,14 | 0,917 | OK |
| | | Mezz. | 11 | 3,77 | 13,20 | 3,72 | 0,75 | 13,20 | 0,00 | 0,20 | 0,721 | OK |
| | | Piede | 11 | 4,45 | 15,32 | 3,98 | 0,83 | 15,32 | 0,34 | 0,19 | 0,850 | OK |
| 3 | 40 | Testa | 3 | 9,75 | 6,75 | 2,08 | 0,79 | 6,75 | 0,21 | 0,08 | 1,862 | OK |
| | | Mezz. | 3 | 7,66 | 8,01 | 2,23 | 0,90 | 8,01 | 0,01 | 0,12 | 1,463 | OK |
| | | Piede | 3 | 9,03 | 9,27 | 2,39 | 1,00 | 9,27 | 0,21 | 0,11 | 1,724 | OK |

C.D.S.

| VERIFICA A SISMA ORTOGONALE | | | | | | | | | | | | |
|---|-----------|-------|---------|---------------|---------|---------|-----------|--------|--------|----------|------------|----------------------|
| VERIFICA A SISMA ORTOGONALE | | | | | | | | | | | | |
| Tempo Ritorno Sisma Ortagonale: 30 Anni | | | | | | | | | | | | |
| Quota N.ro | Muro N.ro | Sez. | Cmb ort | Coeff. sicur. | Nru (t) | Vru (t) | Mru (t*m) | Nd (t) | Vd (t) | Md (t*m) | PGA (Ag/g) | STRINGA DI CONTROLLO |
| 3 | 41 | Testa | 11 | 9,61 | 7,40 | 2,31 | 0,87 | 7,40 | 0,23 | 0,09 | 1,835 | OK |
| | | Mezz. | 11 | 7,55 | 8,81 | 2,48 | 1,00 | 8,81 | 0,00 | 0,13 | 1,442 | OK |
| | | Piede | 11 | 8,90 | 10,22 | 2,65 | 1,11 | 10,22 | 0,23 | 0,12 | 1,700 | OK |
| 3 | 42 | Testa | 11 | 14,98 | 10,74 | 1,87 | 0,60 | 10,74 | 0,09 | 0,04 | 2,861 | OK |
| | | Mezz. | 11 | 11,27 | 11,28 | 1,93 | 0,58 | 11,28 | 0,00 | 0,05 | 2,152 | OK |
| | | Piede | 11 | 12,65 | 11,83 | 2,00 | 0,55 | 11,83 | 0,09 | 0,04 | 2,416 | OK |
| 3 | 43 | Testa | 3 | 12,05 | 17,92 | 4,41 | 1,89 | 17,92 | 0,37 | 0,15 | 2,301 | OK |
| | | Mezz. | 3 | 9,78 | 20,15 | 4,68 | 2,03 | 20,15 | 0,01 | 0,21 | 1,868 | OK |
| | | Piede | 3 | 11,48 | 22,37 | 4,96 | 2,16 | 22,37 | 0,37 | 0,19 | 2,192 | OK |
| 3 | 44 | Testa | 11 | 7,68 | 6,28 | 1,26 | 0,26 | 6,28 | 0,09 | 0,03 | 1,467 | OK |
| | | Mezz. | 11 | 5,95 | 6,76 | 1,32 | 0,27 | 6,76 | 0,01 | 0,05 | 1,136 | OK |
| | | Piede | 11 | 6,90 | 7,25 | 1,38 | 0,27 | 7,25 | 0,09 | 0,04 | 1,317 | OK |
| 3 | 45 | Testa | 11 | 10,42 | 27,31 | 7,55 | 3,06 | 27,31 | 0,72 | 0,28 | 1,991 | OK |
| | | Mezz. | 11 | 8,60 | 31,54 | 8,07 | 3,40 | 31,54 | 0,05 | 0,40 | 1,642 | OK |
| | | Piede | 11 | 10,12 | 35,78 | 8,60 | 3,70 | 35,78 | 0,72 | 0,37 | 1,932 | OK |
| 3 | 46 | Testa | 11 | 9,42 | 5,42 | 1,72 | 0,64 | 5,42 | 0,18 | 0,07 | 1,798 | OK |
| | | Mezz. | 11 | 7,40 | 6,48 | 1,85 | 0,74 | 6,48 | 0,01 | 0,10 | 1,413 | OK |
| | | Piede | 11 | 8,73 | 7,55 | 1,98 | 0,83 | 7,55 | 0,18 | 0,09 | 1,667 | OK |
| 3 | 47 | Testa | 11 | 10,88 | 4,59 | 1,22 | 0,50 | 4,59 | 0,11 | 0,04 | 2,079 | OK |
| | | Mezz. | 11 | 8,99 | 5,25 | 1,30 | 0,55 | 5,25 | 0,01 | 0,06 | 1,717 | OK |
| | | Piede | 11 | 10,57 | 5,91 | 1,38 | 0,60 | 5,91 | 0,11 | 0,06 | 2,020 | OK |
| 3 | 48 | Testa | 11 | 11,73 | 7,22 | 1,84 | 0,78 | 7,22 | 0,16 | 0,06 | 2,241 | OK |
| | | Mezz. | 11 | 9,39 | 8,19 | 1,96 | 0,85 | 8,19 | 0,00 | 0,09 | 1,793 | OK |
| | | Piede | 11 | 11,03 | 9,15 | 2,08 | 0,91 | 9,15 | 0,16 | 0,08 | 2,106 | OK |
| 3 | 49 | Testa | 11 | 11,25 | 7,15 | 1,92 | 0,79 | 7,15 | 0,17 | 0,07 | 2,148 | OK |
| | | Mezz. | 11 | 8,90 | 8,20 | 2,04 | 0,87 | 8,20 | 0,00 | 0,10 | 1,700 | OK |
| | | Piede | 11 | 10,47 | 9,24 | 2,17 | 0,94 | 9,24 | 0,17 | 0,09 | 2,000 | OK |
| 3 | 50 | Testa | 11 | 11,21 | 8,07 | 2,12 | 0,88 | 8,07 | 0,19 | 0,08 | 2,140 | OK |
| | | Mezz. | 11 | 9,10 | 9,21 | 2,26 | 0,97 | 9,21 | 0,01 | 0,11 | 1,738 | OK |
| | | Piede | 11 | 10,70 | 10,35 | 2,40 | 1,04 | 10,35 | 0,19 | 0,10 | 2,043 | OK |
| 3 | 51 | Testa | 11 | 11,46 | 10,36 | 2,68 | 1,12 | 10,36 | 0,23 | 0,10 | 2,188 | OK |
| | | Mezz. | 11 | 9,24 | 11,78 | 2,86 | 1,23 | 11,78 | 0,01 | 0,13 | 1,765 | OK |
| | | Piede | 11 | 10,86 | 13,20 | 3,03 | 1,32 | 13,20 | 0,23 | 0,12 | 2,074 | OK |
| 3 | 52 | Testa | 11 | 11,49 | 5,45 | 1,36 | 0,58 | 5,45 | 0,12 | 0,05 | 2,195 | OK |
| | | Mezz. | 11 | 9,67 | 6,14 | 1,44 | 0,62 | 6,14 | 0,01 | 0,06 | 1,847 | OK |
| | | Piede | 11 | 11,35 | 6,84 | 1,53 | 0,66 | 6,84 | 0,12 | 0,06 | 2,169 | OK |
| 3 | 53 | Testa | 3 | 12,99 | 7,85 | 1,75 | 0,76 | 7,85 | 0,13 | 0,05 | 2,481 | OK |
| | | Mezz. | 3 | 10,85 | 8,64 | 1,85 | 0,80 | 8,64 | 0,01 | 0,07 | 2,072 | OK |
| | | Piede | 3 | 12,68 | 9,43 | 1,95 | 0,84 | 9,43 | 0,13 | 0,07 | 2,422 | OK |
| 3 | 54 | Testa | 11 | 10,21 | 3,43 | 0,87 | 0,37 | 3,43 | 0,09 | 0,03 | 1,950 | OK |
| | | Mezz. | 11 | 9,40 | 3,89 | 0,93 | 0,40 | 3,89 | 0,01 | 0,04 | 1,795 | OK |
| | | Piede | 11 | 11,04 | 4,34 | 0,99 | 0,43 | 4,34 | 0,09 | 0,04 | 2,108 | OK |
| 3 | 55 | Testa | 11 | 7,03 | 1,62 | 0,69 | 0,20 | 1,62 | 0,08 | 0,03 | 1,343 | OK |
| | | Mezz. | 11 | 5,54 | 2,12 | 0,75 | 0,26 | 2,12 | 0,00 | 0,05 | 1,058 | OK |
| | | Piede | 11 | 6,55 | 2,62 | 0,81 | 0,31 | 2,62 | 0,08 | 0,05 | 1,251 | OK |
| 3 | 56 | Testa | 11 | 7,70 | 7,47 | 2,90 | 0,93 | 7,47 | 0,33 | 0,12 | 1,470 | OK |
| | | Mezz. | 11 | 6,06 | 9,48 | 3,14 | 1,13 | 9,48 | 0,01 | 0,19 | 1,157 | OK |
| | | Piede | 11 | 7,16 | 11,48 | 3,39 | 1,32 | 11,48 | 0,33 | 0,18 | 1,367 | OK |
| 3 | 57 | Testa | 3 | 7,80 | 17,32 | 6,62 | 2,14 | 17,32 | 0,73 | 0,27 | 1,491 | OK |
| | | Mezz. | 3 | 6,14 | 21,86 | 7,18 | 2,61 | 21,86 | 0,00 | 0,42 | 1,173 | OK |

C.D.S.

| VERIFICA A SISMA ORTOGONALE | | | | | | | | | | | | |
|--|-----------|-------|---------|---------------|---------|---------|-----------|--------|--------|----------|------------|----------------------|
| VERIFICA A SISMA ORTOGONALE Tempo Ritorno Sisma Ortagonale: 30 Anni | | | | | | | | | | | | |
| Quota N.ro | Muro N.ro | Sez. | Cmb ort | Coeff. sicur. | Nru (t) | Vru (t) | Mru (t*m) | Nd (t) | Vd (t) | Md (t*m) | PGA (Ag/g) | STRINGA DI CONTROLLO |
| | | Piede | 3 | 7,26 | 26,40 | 7,74 | 3,03 | 26,40 | 0,73 | 0,42 | 1,386 | OK |
| 3 | 58 | Testa | 11 | 11,01 | 3,92 | 0,93 | 0,40 | 3,92 | 0,08 | 0,03 | 2,103 | OK |
| | | Mezz. | 11 | 10,11 | 4,37 | 0,99 | 0,43 | 4,37 | 0,01 | 0,04 | 1,930 | OK |
| | | Piede | 11 | 11,85 | 4,83 | 1,05 | 0,46 | 4,83 | 0,08 | 0,04 | 2,263 | OK |
| 3 | 59 | Testa | 3 | 11,08 | 3,21 | 0,85 | 0,35 | 3,21 | 0,08 | 0,03 | 2,116 | OK |
| | | Mezz. | 3 | 9,05 | 3,67 | 0,90 | 0,39 | 3,67 | 0,00 | 0,04 | 1,729 | OK |
| | | Piede | 3 | 10,64 | 4,13 | 0,96 | 0,42 | 4,13 | 0,08 | 0,04 | 2,033 | OK |
| 3 | 60 | Testa | 11 | 7,85 | 3,48 | 0,67 | 0,14 | 3,48 | 0,04 | 0,02 | 1,500 | OK |
| | | Mezz. | 11 | 6,05 | 3,73 | 0,70 | 0,14 | 3,73 | 0,00 | 0,02 | 1,156 | OK |
| | | Piede | 3 | 6,94 | 4,40 | 0,78 | 0,14 | 4,40 | 0,04 | 0,02 | 1,326 | OK |
| 3 | 61 | Testa | 3 | 7,80 | 10,38 | 2,03 | 0,42 | 10,38 | 0,12 | 0,05 | 1,490 | OK |
| | | Mezz. | 3 | 6,02 | 11,14 | 2,12 | 0,43 | 11,14 | 0,00 | 0,07 | 1,150 | OK |
| | | Piede | 3 | 6,97 | 11,89 | 2,22 | 0,43 | 11,89 | 0,12 | 0,06 | 1,330 | OK |
| 3 | 62 | Testa | 11 | 5,41 | 1,93 | 0,54 | 0,11 | 1,93 | 0,05 | 0,02 | 1,034 | OK |
| | | Mezz. | 11 | 4,25 | 2,23 | 0,58 | 0,12 | 2,23 | 0,00 | 0,03 | 0,811 | OK |
| | | Piede | 11 | 5,00 | 2,54 | 0,61 | 0,13 | 2,54 | 0,05 | 0,03 | 0,955 | OK |
| 3 | 63 | Testa | 11 | 5,13 | 1,18 | 0,35 | 0,07 | 1,18 | 0,03 | 0,01 | 0,979 | OK |
| | | Mezz. | 11 | 4,03 | 1,38 | 0,37 | 0,08 | 1,38 | 0,00 | 0,02 | 0,769 | OK |
| | | Piede | 11 | 4,74 | 1,58 | 0,40 | 0,08 | 1,58 | 0,03 | 0,02 | 0,906 | OK |
| 3 | 64 | Testa | 11 | 5,26 | 2,33 | 0,67 | 0,13 | 2,33 | 0,06 | 0,03 | 1,006 | OK |
| | | Mezz. | 11 | 4,13 | 2,72 | 0,72 | 0,15 | 2,72 | 0,00 | 0,04 | 0,789 | OK |
| | | Piede | 11 | 4,87 | 3,11 | 0,76 | 0,16 | 3,11 | 0,06 | 0,03 | 0,929 | OK |
| 3 | 65 | Testa | 3 | 6,80 | 5,95 | 1,36 | 0,30 | 5,95 | 0,11 | 0,04 | 1,299 | OK |
| | | Mezz. | 3 | 5,31 | 6,58 | 1,43 | 0,31 | 6,58 | 0,00 | 0,06 | 1,013 | OK |
| | | Piede | 3 | 6,21 | 7,21 | 1,51 | 0,33 | 7,21 | 0,11 | 0,05 | 1,186 | OK |
| 3 | 66 | Testa | 3 | 7,28 | 2,90 | 0,62 | 0,13 | 2,90 | 0,05 | 0,02 | 1,390 | OK |
| | | Mezz. | 3 | 5,66 | 3,16 | 0,65 | 0,14 | 3,16 | 0,00 | 0,02 | 1,081 | OK |
| | | Piede | 3 | 6,60 | 3,43 | 0,68 | 0,14 | 3,43 | 0,05 | 0,02 | 1,260 | OK |
| 3 | 67 | Testa | 3 | 13,67 | 17,82 | 3,98 | 1,74 | 17,82 | 0,29 | 0,13 | 2,611 | OK |
| | | Mezz. | 3 | 10,82 | 19,63 | 4,21 | 1,83 | 19,63 | 0,00 | 0,17 | 2,067 | OK |
| | | Piede | 3 | 12,65 | 21,44 | 4,43 | 1,90 | 21,44 | 0,29 | 0,15 | 2,416 | OK |
| 3 | 68 | Testa | 3 | 12,48 | 3,37 | 0,82 | 0,35 | 3,37 | 0,07 | 0,03 | 2,383 | OK |
| | | Mezz. | 3 | 9,94 | 3,78 | 0,87 | 0,38 | 3,78 | 0,00 | 0,04 | 1,899 | OK |
| | | Piede | 3 | 11,66 | 4,19 | 0,92 | 0,40 | 4,19 | 0,07 | 0,03 | 2,227 | OK |
| 3 | 69 | Testa | 11 | 8,66 | 2,07 | 0,63 | 0,24 | 2,07 | 0,07 | 0,02 | 1,654 | OK |
| | | Mezz. | 11 | 7,79 | 2,44 | 0,67 | 0,27 | 2,44 | 0,01 | 0,04 | 1,487 | OK |
| | | Piede | 11 | 9,18 | 2,82 | 0,72 | 0,30 | 2,82 | 0,07 | 0,03 | 1,753 | OK |
| 3 | 70 | Testa | 3 | 8,86 | 19,80 | 6,62 | 2,37 | 19,80 | 0,75 | 0,27 | 1,692 | OK |
| | | Mezz. | 3 | 7,01 | 24,03 | 7,15 | 2,78 | 24,03 | 0,07 | 0,40 | 1,340 | OK |
| | | Piede | 3 | 8,28 | 28,27 | 7,67 | 3,14 | 28,27 | 0,75 | 0,38 | 1,581 | OK |
| 3 | 71 | Testa | 11 | 5,48 | 1,15 | 0,32 | 0,06 | 1,15 | 0,03 | 0,01 | 1,047 | OK |
| | | Mezz. | 11 | 4,30 | 1,32 | 0,34 | 0,07 | 1,32 | 0,00 | 0,02 | 0,821 | OK |
| | | Piede | 11 | 5,06 | 1,50 | 0,36 | 0,08 | 1,50 | 0,03 | 0,02 | 0,966 | OK |
| 3 | 72 | Testa | 3 | 10,93 | 3,04 | 0,83 | 0,34 | 3,04 | 0,08 | 0,03 | 2,088 | OK |
| | | Mezz. | 3 | 8,75 | 3,49 | 0,88 | 0,37 | 3,49 | 0,00 | 0,04 | 1,671 | OK |
| | | Piede | 3 | 10,30 | 3,95 | 0,94 | 0,41 | 3,95 | 0,08 | 0,04 | 1,966 | OK |
| 3 | 73 | Testa | 3 | 7,13 | 4,41 | 0,96 | 0,21 | 4,41 | 0,07 | 0,03 | 1,362 | OK |
| | | Mezz. | 3 | 5,55 | 4,83 | 1,01 | 0,22 | 4,83 | 0,00 | 0,04 | 1,060 | OK |
| | | Piede | 3 | 6,48 | 5,25 | 1,06 | 0,23 | 5,25 | 0,07 | 0,03 | 1,238 | OK |

C.D.S.

| VERIFICA A SISMA ORTOGONALE | | | | | | | | | | | | |
|--|-----------|------|---------|---------------|---------|---------|-----------|--------|--------|----------|------------|----------------------|
| VERIFICA A SISMA ORTOGONALE Tempo Ritorno Sisma Ortagonale: 30 Anni | | | | | | | | | | | | |
| Quota N.ro | Muro N.ro | Sez. | Cmb ort | Coeff. sicur. | Nru (t) | Vru (t) | Mru (t*m) | Nd (t) | Vd (t) | Md (t*m) | PGA (Ag/g) | STRINGA DI CONTROLLO |
| | | | | | | | | | | | | |

| VERIFICA A SISMA ORTOGONALE | | | | | | | | | | | | |
|--|-----------|------|---------|---------------|---------|---------|-----------|--------|--------|----------|------------|----------------------|
| VERIFICA A SISMA ORTOGONALE Tempo Ritorno Sisma Ortagonale: 30 Anni | | | | | | | | | | | | |
| Quota N.ro | Muro N.ro | Sez. | Cmb ort | Coeff. sicur. | Nru (t) | Vru (t) | Mru (t*m) | Nd (t) | Vd (t) | Md (t*m) | PGA (Ag/g) | STRINGA DI CONTROLLO |
| 4 1 | Testa | 11 | 6,98 | 1,65 | 1,87 | 0,22 | 1,65 | 0,27 | 0,00 | 1,334 | OK | |
| | Mezz. | 3 | 0,71 | 3,77 | 2,13 | 0,49 | 3,77 | 0,57 | 0,69 | 0,135 | NO VERIF | |
| | Piede | 3 | 0,35 | 5,22 | 2,31 | 0,66 | 5,22 | 0,87 | 1,91 | 0,066 | NO VERIF | |
| 4 2 | Testa | 3 | 9,34 | 3,18 | 2,00 | 0,42 | 3,18 | 0,21 | 0,00 | 1,784 | OK | |
| | Mezz. | 3 | 0,94 | 4,58 | 2,17 | 0,59 | 4,58 | 0,50 | 0,62 | 0,179 | NO VERIF | |
| | Piede | 3 | 0,42 | 5,98 | 2,34 | 0,74 | 5,98 | 0,80 | 1,75 | 0,081 | NO VERIF | |
| 4 3 | Testa | 3 | 8,08 | 2,15 | 1,72 | 0,29 | 2,15 | 0,21 | 0,00 | 1,543 | OK | |
| | Mezz. | 3 | 0,79 | 3,41 | 1,88 | 0,44 | 3,41 | 0,48 | 0,56 | 0,150 | NO VERIF | |
| | Piede | 3 | 0,37 | 4,68 | 2,03 | 0,59 | 4,68 | 0,74 | 1,59 | 0,071 | NO VERIF | |
| 4 4 | Testa | 3 | 1,22 | 0,40 | 0,26 | 0,05 | 0,40 | 0,21 | 0,00 | 0,234 | OK | |
| | Mezz. | 3 | 0,19 | 0,59 | 0,28 | 0,08 | 0,59 | 0,25 | 0,39 | 0,037 | NO VERIF | |
| | Piede | 3 | 0,11 | 0,77 | 0,31 | 0,10 | 0,77 | 0,29 | 0,84 | 0,022 | NO VERIF | |
| 4 5 | Testa | 3 | 13,32 | 2,75 | 2,53 | 0,37 | 2,75 | 0,19 | 0,00 | 2,543 | OK | |
| | Mezz. | 3 | 0,90 | 4,66 | 2,77 | 0,61 | 4,66 | 0,59 | 0,68 | 0,173 | NO VERIF | |
| | Piede | 3 | 0,41 | 6,58 | 3,01 | 0,84 | 6,58 | 0,99 | 2,04 | 0,078 | NO VERIF | |
| 4 6 | Testa | 11 | 12,51 | 1,50 | 1,58 | 0,20 | 1,50 | 0,13 | 0,00 | 2,389 | OK | |
| | Mezz. | 3 | 1,12 | 3,74 | 1,85 | 0,48 | 3,74 | 0,38 | 0,43 | 0,214 | OK | |
| | Piede | 3 | 0,48 | 4,95 | 2,00 | 0,62 | 4,95 | 0,63 | 1,30 | 0,091 | NO VERIF | |
| 4 7 | Testa | 11 | 12,93 | 1,71 | 1,52 | 0,23 | 1,71 | 0,12 | 0,00 | 2,470 | OK | |
| | Mezz. | 3 | 1,15 | 3,64 | 1,76 | 0,47 | 3,64 | 0,36 | 0,40 | 0,220 | OK | |
| | Piede | 3 | 0,49 | 4,78 | 1,90 | 0,60 | 4,78 | 0,59 | 1,22 | 0,093 | NO VERIF | |
| 4 8 | Testa | 3 | 11,30 | 2,24 | 2,51 | 0,30 | 2,24 | 0,22 | 0,00 | 2,159 | OK | |
| | Mezz. | 3 | 0,80 | 4,19 | 2,75 | 0,55 | 4,19 | 0,63 | 0,69 | 0,154 | NO VERIF | |
| | Piede | 3 | 0,38 | 6,14 | 2,99 | 0,79 | 6,14 | 1,03 | 2,08 | 0,072 | NO VERIF | |
| 4 9 | Testa | 11 | 11,54 | 1,59 | 1,63 | 0,21 | 1,59 | 0,14 | 0,00 | 2,204 | OK | |
| | Mezz. | 3 | 0,92 | 3,11 | 1,82 | 0,41 | 3,11 | 0,40 | 0,44 | 0,176 | NO VERIF | |
| | Piede | 3 | 0,42 | 4,36 | 1,97 | 0,55 | 4,36 | 0,66 | 1,33 | 0,079 | NO VERIF | |
| 4 10 | Testa | 3 | 12,97 | 3,17 | 2,09 | 0,42 | 3,17 | 0,16 | 0,00 | 2,477 | OK | |
| | Mezz. | 3 | 1,15 | 4,65 | 2,27 | 0,60 | 4,65 | 0,47 | 0,52 | 0,219 | OK | |
| | Piede | 3 | 0,48 | 6,12 | 2,45 | 0,76 | 6,12 | 0,78 | 1,57 | 0,093 | NO VERIF | |
| 4 11 | Testa | 11 | 10,79 | 1,78 | 1,78 | 0,24 | 1,78 | 0,17 | 0,00 | 2,061 | OK | |
| | Mezz. | 3 | 0,90 | 3,52 | 2,00 | 0,46 | 3,52 | 0,45 | 0,51 | 0,172 | NO VERIF | |
| | Piede | 3 | 0,41 | 4,88 | 2,17 | 0,62 | 4,88 | 0,73 | 1,51 | 0,078 | NO VERIF | |
| 4 12 | Testa | 11 | 231,00 | 0,97 | 1,98 | 0,13 | 0,97 | 0,01 | 0,00 | 44,121 | OK | |
| | Mezz. | 11 | 1,19 | 2,60 | 2,19 | 0,35 | 2,60 | 0,35 | 0,29 | 0,226 | OK | |
| | Piede | 11 | 0,47 | 4,22 | 2,39 | 0,55 | 4,22 | 0,69 | 1,17 | 0,089 | NO VERIF | |
| 4 13 | Testa | 11 | 240,08 | 1,09 | 1,17 | 0,15 | 1,09 | 0,00 | 0,00 | 45,855 | OK | |
| | Mezz. | 11 | 1,61 | 1,99 | 1,28 | 0,26 | 1,99 | 0,19 | 0,16 | 0,308 | OK | |
| | Piede | 11 | 0,57 | 2,89 | 1,39 | 0,37 | 2,89 | 0,38 | 0,65 | 0,109 | NO VERIF | |
| 4 14 | Testa | 3 | 270,53 | 1,28 | 1,65 | 0,17 | 1,28 | 0,01 | 0,00 | 51,671 | OK | |
| | Mezz. | 3 | 1,46 | 2,59 | 1,81 | 0,34 | 2,59 | 0,28 | 0,24 | 0,278 | OK | |
| | Piede | 3 | 0,53 | 3,89 | 1,97 | 0,50 | 3,89 | 0,55 | 0,94 | 0,102 | NO VERIF | |
| 4 15 | Testa | 11 | 233,06 | 1,32 | 2,03 | 0,18 | 1,32 | 0,01 | 0,00 | 44,514 | OK | |
| | Mezz. | 11 | 1,34 | 2,95 | 2,23 | 0,39 | 2,95 | 0,35 | 0,29 | 0,255 | OK | |

C.D.S.

| VERIFICA A SISMA ORTOGONALE | | | | | | | | | | | | |
|--|-----------|-------|---------|---------------|---------|---------|-----------|--------|--------|----------|------------|----------------------|
| VERIFICA A SISMA ORTOGONALE Tempo Ritorno Sisma Ortagonale: 30 Anni | | | | | | | | | | | | |
| Quota N.ro | Muro N.ro | Sez. | Cmb ort | Coeff. sicur. | Nru (t) | Vru (t) | Mru (t*m) | Nd (t) | Vd (t) | Md (t*m) | PGA (Ag/g) | STRINGA DI CONTROLLO |
| | | Piede | 11 | 0,50 | 4,57 | 2,43 | 0,59 | 4,57 | 0,69 | 1,17 | 0,096 | NO VERIF |
| 4 | 16 | Testa | 3 | 7,68 | 0,73 | 0,57 | 0,10 | 0,73 | 0,07 | 0,00 | 1,467 | OK |
| | | Mezz. | 3 | 0,73 | 1,14 | 0,62 | 0,15 | 1,14 | 0,16 | 0,20 | 0,140 | NO VERIF |
| | | Piede | 3 | 0,35 | 1,56 | 0,67 | 0,20 | 1,56 | 0,25 | 0,56 | 0,068 | NO VERIF |
| 4 | 17 | Testa | 0 | 1000000,0 | 0,00 | 0,00 | 0,00 | 0,00 | 0,00 | 0,00 | 0,000 | OK |
| | | Mezz. | 11 | 0,93 | 0,30 | 0,32 | 0,04 | 0,30 | 0,05 | 0,04 | 0,178 | NO VERIF |
| | | Piede | 11 | 0,41 | 0,55 | 0,35 | 0,07 | 0,55 | 0,10 | 0,18 | 0,078 | NO VERIF |
| 4 | 18 | Testa | 11 | 10,92 | 2,14 | 2,13 | 0,29 | 2,14 | 0,20 | 0,00 | 2,085 | OK |
| | | Mezz. | 3 | 0,93 | 4,52 | 2,42 | 0,59 | 4,52 | 0,53 | 0,63 | 0,178 | NO VERIF |
| | | Piede | 3 | 0,42 | 6,15 | 2,62 | 0,77 | 6,15 | 0,87 | 1,84 | 0,080 | NO VERIF |
| 4 | 19 | Testa | 3 | 11,49 | 1,66 | 1,87 | 0,23 | 1,66 | 0,16 | 0,00 | 2,195 | OK |
| | | Mezz. | 3 | 0,78 | 3,11 | 2,05 | 0,41 | 3,11 | 0,46 | 0,53 | 0,148 | NO VERIF |
| | | Piede | 3 | 0,37 | 4,56 | 2,23 | 0,59 | 4,56 | 0,77 | 1,58 | 0,071 | NO VERIF |
| 4 | 20 | Testa | 11 | 12,07 | 2,10 | 2,26 | 0,28 | 2,10 | 0,19 | 0,00 | 2,305 | OK |
| | | Mezz. | 3 | 0,87 | 4,24 | 2,53 | 0,56 | 4,24 | 0,55 | 0,64 | 0,166 | NO VERIF |
| | | Piede | 3 | 0,40 | 5,99 | 2,74 | 0,76 | 5,99 | 0,92 | 1,91 | 0,076 | NO VERIF |
| 4 | 21 | Testa | 11 | 10,39 | 2,06 | 2,28 | 0,28 | 2,06 | 0,22 | 0,00 | 1,984 | OK |
| | | Mezz. | 3 | 0,74 | 3,86 | 2,50 | 0,51 | 3,86 | 0,59 | 0,68 | 0,142 | NO VERIF |
| | | Piede | 3 | 0,36 | 5,62 | 2,72 | 0,72 | 5,62 | 0,95 | 2,00 | 0,069 | NO VERIF |
| 4 | 22 | Testa | 3 | 11,14 | 1,49 | 2,23 | 0,20 | 1,49 | 0,20 | 0,00 | 2,128 | OK |
| | | Mezz. | 3 | 0,65 | 3,28 | 2,45 | 0,44 | 3,28 | 0,57 | 0,67 | 0,125 | NO VERIF |
| | | Piede | 3 | 0,33 | 5,06 | 2,67 | 0,66 | 5,06 | 0,94 | 1,98 | 0,063 | NO VERIF |
| 4 | 23 | Testa | 11 | 13,72 | 2,46 | 1,70 | 0,33 | 2,46 | 0,12 | 0,00 | 2,620 | OK |
| | | Mezz. | 3 | 1,27 | 4,28 | 1,92 | 0,54 | 4,28 | 0,38 | 0,43 | 0,242 | OK |
| | | Piede | 3 | 0,52 | 5,50 | 2,07 | 0,68 | 5,50 | 0,63 | 1,30 | 0,100 | NO VERIF |
| 4 | 24 | Testa | 3 | 11,74 | 2,93 | 2,77 | 0,40 | 2,93 | 0,24 | 0,00 | 2,242 | OK |
| | | Mezz. | 3 | 0,84 | 5,03 | 3,03 | 0,66 | 5,03 | 0,67 | 0,78 | 0,161 | NO VERIF |
| | | Piede | 3 | 0,39 | 7,13 | 3,29 | 0,91 | 7,13 | 1,11 | 2,33 | 0,075 | NO VERIF |
| 4 | 25 | Testa | 3 | 13,21 | 1,55 | 1,34 | 0,21 | 1,55 | 0,10 | 0,00 | 2,522 | OK |
| | | Mezz. | 3 | 0,94 | 2,56 | 1,47 | 0,33 | 2,56 | 0,31 | 0,36 | 0,179 | NO VERIF |
| | | Piede | 3 | 0,42 | 3,56 | 1,59 | 0,45 | 3,56 | 0,52 | 1,07 | 0,080 | NO VERIF |
| 4 | 26 | Testa | 11 | 2,94 | 1,16 | 0,68 | 0,15 | 1,16 | 0,23 | 0,00 | 0,561 | OK |
| | | Mezz. | 3 | 0,45 | 1,75 | 0,76 | 0,22 | 1,75 | 0,33 | 0,49 | 0,087 | NO VERIF |
| | | Piede | 3 | 0,24 | 2,22 | 0,82 | 0,27 | 2,22 | 0,43 | 1,15 | 0,045 | NO VERIF |
| 4 | 27 | Testa | 3 | 10,81 | 0,50 | 1,24 | 0,07 | 0,50 | 0,12 | 0,00 | 2,065 | OK |
| | | Mezz. | 3 | 0,53 | 1,53 | 1,37 | 0,21 | 1,53 | 0,33 | 0,39 | 0,102 | NO VERIF |
| | | Piede | 3 | 0,29 | 2,56 | 1,50 | 0,33 | 2,56 | 0,54 | 1,14 | 0,056 | NO VERIF |
| 4 | 28 | Testa | 11 | 3,98 | 1,57 | 1,05 | 0,21 | 1,57 | 0,26 | 0,00 | 0,760 | OK |
| | | Mezz. | 3 | 0,54 | 2,46 | 1,16 | 0,31 | 2,46 | 0,42 | 0,58 | 0,103 | NO VERIF |
| | | Piede | 3 | 0,28 | 3,20 | 1,25 | 0,40 | 3,20 | 0,57 | 1,44 | 0,053 | NO VERIF |
| 4 | 29 | Testa | 3 | 11,36 | 2,10 | 2,39 | 0,29 | 2,10 | 0,21 | 0,00 | 2,169 | OK |
| | | Mezz. | 3 | 0,75 | 3,96 | 2,62 | 0,52 | 3,96 | 0,60 | 0,70 | 0,144 | NO VERIF |
| | | Piede | 3 | 0,36 | 5,83 | 2,85 | 0,75 | 5,83 | 0,99 | 2,07 | 0,069 | NO VERIF |
| 4 | 30 | Testa | 3 | 4,26 | 1,17 | 0,44 | 0,14 | 1,17 | 0,10 | 0,00 | 0,814 | OK |
| | | Mezz. | 3 | 0,98 | 1,43 | 0,48 | 0,17 | 1,43 | 0,16 | 0,17 | 0,188 | NO VERIF |
| | | Piede | 3 | 0,44 | 1,69 | 0,51 | 0,20 | 1,69 | 0,21 | 0,44 | 0,085 | NO VERIF |
| 4 | 31 | Testa | 3 | 280,67 | 1,86 | 2,09 | 0,25 | 1,86 | 0,01 | 0,00 | 53,609 | OK |
| | | Mezz. | 3 | 1,57 | 3,49 | 2,30 | 0,46 | 3,49 | 0,35 | 0,29 | 0,300 | OK |
| | | Piede | 3 | 0,56 | 5,12 | 2,50 | 0,66 | 5,12 | 0,68 | 1,17 | 0,107 | NO VERIF |

C.D.S.

| VERIFICA A SISMA ORTOGONALE | | | | | | | | | | | | |
|--|-----------|-------|---------|---------------|---------|---------|-----------|--------|--------|----------|------------|----------------------|
| VERIFICA A SISMA ORTOGONALE Tempo Ritorno Sisma Ortagonale: 30 Anni | | | | | | | | | | | | |
| Quota N.ro | Muro N.ro | Sez. | Cmb ort | Coeff. sicur. | Nru (t) | Vru (t) | Mru (t*m) | Nd (t) | Vd (t) | Md (t*m) | PGA (Ag/g) | STRINGA DI CONTROLLO |
| 4 | 32 | Testa | 3 | 1,68 | 2,54 | 0,80 | 0,30 | 2,54 | 0,48 | 0,00 | 0,320 | OK |
| | | Mezz. | 3 | 1,51 | 2,97 | 0,86 | 0,34 | 2,97 | 0,57 | 0,22 | 0,288 | OK |
| | | Piede | 3 | 0,63 | 3,40 | 0,91 | 0,38 | 3,40 | 0,66 | 0,59 | 0,121 | NO VERIF |
| 4 | 33 | Testa | 11 | 0,77 | 1,96 | 0,56 | 0,22 | 1,96 | 0,73 | 0,00 | 0,146 | NO VERIF |
| | | Mezz. | 3 | 0,77 | 2,35 | 0,61 | 0,26 | 2,35 | 0,79 | 0,19 | 0,147 | NO VERIF |
| | | Piede | 3 | 0,57 | 2,63 | 0,65 | 0,28 | 2,63 | 0,85 | 0,49 | 0,108 | NO VERIF |
| 4 | 34 | Testa | 3 | 401,23 | 1,36 | 2,07 | 0,19 | 1,36 | 0,01 | 0,00 | 76,635 | OK |
| | | Mezz. | 3 | 1,34 | 3,02 | 2,28 | 0,40 | 3,02 | 0,35 | 0,30 | 0,256 | OK |
| | | Piede | 3 | 0,51 | 4,68 | 2,48 | 0,61 | 4,68 | 0,70 | 1,20 | 0,096 | NO VERIF |
| 4 | 35 | Testa | 3 | 4,47 | 0,86 | 0,39 | 0,11 | 0,86 | 0,09 | 0,00 | 0,853 | OK |
| | | Mezz. | 3 | 0,80 | 1,11 | 0,42 | 0,14 | 1,11 | 0,14 | 0,17 | 0,153 | NO VERIF |
| | | Piede | 3 | 0,38 | 1,35 | 0,45 | 0,16 | 1,35 | 0,19 | 0,43 | 0,072 | NO VERIF |
| 4 | 36 | Testa | 3 | 727,00 | 3,75 | 4,94 | 0,51 | 3,75 | 0,01 | 0,00 | 138,856 | OK |
| | | Mezz. | 3 | 1,44 | 7,66 | 5,43 | 1,02 | 7,66 | 0,82 | 0,71 | 0,275 | OK |
| | | Piede | 3 | 0,53 | 11,57 | 5,91 | 1,49 | 11,57 | 1,63 | 2,82 | 0,101 | NO VERIF |
| 4 | 37 | Testa | 11 | 621,37 | 1,07 | 2,14 | 0,15 | 1,07 | 0,00 | 0,00 | 118,682 | OK |
| | | Mezz. | 11 | 1,19 | 2,81 | 2,35 | 0,38 | 2,81 | 0,37 | 0,32 | 0,228 | OK |
| | | Piede | 11 | 0,47 | 4,56 | 2,57 | 0,59 | 4,56 | 0,73 | 1,26 | 0,090 | NO VERIF |
| 4 | 38 | Testa | 3 | 307,04 | 2,83 | 2,44 | 0,19 | 2,83 | 0,01 | 0,00 | 58,645 | OK |
| | | Mezz. | 3 | 0,92 | 4,65 | 2,66 | 0,30 | 4,65 | 0,39 | 0,33 | 0,176 | NO VERIF |
| | | Piede | 3 | 0,31 | 6,47 | 2,89 | 0,41 | 6,47 | 0,77 | 1,32 | 0,060 | NO VERIF |
| 4 | 39 | Testa | 11 | 1529,32 | 2,82 | 2,44 | 0,19 | 2,82 | 0,00 | 0,00 | 292,100 | OK |
| | | Mezz. | 11 | 0,92 | 4,64 | 2,66 | 0,30 | 4,64 | 0,38 | 0,33 | 0,176 | NO VERIF |
| | | Piede | 11 | 0,31 | 6,46 | 2,89 | 0,41 | 6,46 | 0,76 | 1,32 | 0,059 | NO VERIF |
| 4 | 40 | Testa | 11 | 8,33 | 1,89 | 1,48 | 0,25 | 1,89 | 0,18 | 0,00 | 1,590 | OK |
| | | Mezz. | 3 | 0,81 | 2,99 | 1,61 | 0,39 | 2,99 | 0,40 | 0,48 | 0,154 | NO VERIF |
| | | Piede | 3 | 0,38 | 4,08 | 1,75 | 0,51 | 4,08 | 0,63 | 1,36 | 0,072 | NO VERIF |
| 4 | 41 | Testa | 11 | 8,29 | 1,20 | 1,54 | 0,16 | 1,20 | 0,19 | 0,00 | 1,584 | OK |
| | | Mezz. | 3 | 0,64 | 2,60 | 1,71 | 0,34 | 2,60 | 0,44 | 0,54 | 0,122 | NO VERIF |
| | | Piede | 3 | 0,32 | 3,81 | 1,86 | 0,49 | 3,81 | 0,69 | 1,52 | 0,062 | NO VERIF |
| 4 | 42 | Testa | 3 | 3,07 | 4,36 | 1,08 | 0,46 | 4,36 | 0,35 | 0,00 | 0,587 | OK |
| | | Mezz. | 3 | 0,71 | 4,83 | 1,14 | 0,49 | 4,83 | 0,45 | 0,69 | 0,136 | NO VERIF |
| | | Piede | 3 | 0,33 | 5,30 | 1,20 | 0,52 | 5,30 | 0,55 | 1,56 | 0,064 | NO VERIF |
| 4 | 43 | Testa | 11 | 9,97 | 4,80 | 2,79 | 0,63 | 4,80 | 0,28 | 0,00 | 1,904 | OK |
| | | Mezz. | 3 | 1,04 | 6,74 | 3,03 | 0,86 | 6,74 | 0,68 | 0,83 | 0,198 | OK |
| | | Piede | 3 | 0,45 | 8,66 | 3,26 | 1,07 | 8,66 | 1,08 | 2,35 | 0,087 | NO VERIF |
| 4 | 44 | Testa | 11 | 1,50 | 2,36 | 0,77 | 0,14 | 2,36 | 0,52 | 0,00 | 0,286 | OK |
| | | Mezz. | 3 | 0,18 | 3,06 | 0,86 | 0,17 | 3,06 | 0,60 | 0,97 | 0,034 | NO VERIF |
| | | Piede | 3 | 0,09 | 3,48 | 0,91 | 0,19 | 3,48 | 0,69 | 2,08 | 0,017 | NO VERIF |
| 4 | 45 | Testa | 11 | 34,02 | 6,31 | 4,96 | 0,84 | 6,31 | 0,15 | 0,00 | 6,498 | OK |
| | | Mezz. | 11 | 1,96 | 9,96 | 5,41 | 1,29 | 9,96 | 0,90 | 0,66 | 0,375 | OK |
| | | Piede | 11 | 0,65 | 13,60 | 5,86 | 1,72 | 13,60 | 1,66 | 2,63 | 0,124 | NO VERIF |
| 4 | 46 | Testa | 11 | 4,78 | 1,56 | 1,24 | 0,21 | 1,56 | 0,26 | 0,00 | 0,912 | OK |
| | | Mezz. | 3 | 0,59 | 2,79 | 1,40 | 0,36 | 2,79 | 0,45 | 0,61 | 0,113 | NO VERIF |
| | | Piede | 3 | 0,30 | 3,71 | 1,51 | 0,46 | 3,71 | 0,64 | 1,54 | 0,057 | NO VERIF |
| 4 | 47 | Testa | 11 | 2,23 | 3,45 | 1,38 | 0,43 | 3,45 | 0,62 | 0,00 | 0,426 | OK |
| | | Mezz. | 3 | 0,44 | 4,38 | 1,49 | 0,53 | 4,38 | 0,79 | 1,21 | 0,083 | NO VERIF |
| | | Piede | 3 | 0,22 | 5,21 | 1,60 | 0,61 | 5,21 | 0,96 | 2,72 | 0,043 | NO VERIF |

C.D.S.

| VERIFICA A SISMA ORTOGONALE | | | | | | | | | | | | |
|---|-----------|-------|---------|---------------|---------|---------|-----------|--------|--------|----------|------------|----------------------|
| VERIFICA A SISMA ORTOGONALE | | | | | | | | | | | | |
| Tempo Ritorno Sisma Ortagonale: 30 Anni | | | | | | | | | | | | |
| Quota N.ro | Muro N.ro | Sez. | Cmb ort | Coeff. sicur. | Nru (t) | Vru (t) | Mru (t*m) | Nd (t) | Vd (t) | Md (t*m) | PGA (Ag/g) | STRINGA DI CONTROLLO |
| 4 | 48 | Testa | 11 | 8,83 | 2,29 | 1,32 | 0,30 | 2,29 | 0,15 | 0,00 | 1,687 | OK |
| | | Mezz. | 3 | 1,01 | 3,20 | 1,43 | 0,41 | 3,20 | 0,34 | 0,40 | 0,192 | OK |
| | | Piede | 3 | 0,45 | 4,10 | 1,54 | 0,50 | 4,10 | 0,52 | 1,13 | 0,085 | NO VERIF |
| 4 | 49 | Testa | 11 | 8,10 | 1,80 | 1,34 | 0,24 | 1,80 | 0,17 | 0,00 | 1,547 | OK |
| | | Mezz. | 3 | 0,87 | 2,93 | 1,48 | 0,38 | 2,93 | 0,37 | 0,44 | 0,166 | NO VERIF |
| | | Piede | 3 | 0,40 | 3,91 | 1,61 | 0,49 | 3,91 | 0,57 | 1,22 | 0,076 | NO VERIF |
| 4 | 50 | Testa | 11 | 6,73 | 5,18 | 2,04 | 0,64 | 5,18 | 0,30 | 0,00 | 1,285 | OK |
| | | Mezz. | 3 | 1,05 | 6,48 | 2,20 | 0,78 | 6,48 | 0,56 | 0,74 | 0,201 | OK |
| | | Piede | 3 | 0,47 | 7,70 | 2,35 | 0,90 | 7,70 | 0,81 | 1,93 | 0,089 | NO VERIF |
| 4 | 51 | Testa | 3 | 6,03 | 2,42 | 1,08 | 0,31 | 2,42 | 0,18 | 0,00 | 1,152 | OK |
| | | Mezz. | 3 | 0,92 | 3,10 | 1,17 | 0,38 | 3,10 | 0,32 | 0,41 | 0,176 | NO VERIF |
| | | Piede | 3 | 0,42 | 3,79 | 1,25 | 0,45 | 3,79 | 0,46 | 1,07 | 0,080 | NO VERIF |
| 4 | 52 | Testa | 11 | 8,12 | 1,38 | 0,62 | 0,18 | 1,38 | 0,08 | 0,00 | 1,551 | OK |
| | | Mezz. | 3 | 1,44 | 2,03 | 0,70 | 0,25 | 2,03 | 0,16 | 0,17 | 0,274 | OK |
| | | Piede | 3 | 0,59 | 2,42 | 0,75 | 0,28 | 2,42 | 0,24 | 0,48 | 0,112 | NO VERIF |
| 4 | 53 | Testa | 11 | 451,03 | 0,39 | 0,54 | 0,05 | 0,39 | 0,00 | 0,00 | 86,148 | OK |
| | | Mezz. | 11 | 1,41 | 0,82 | 0,59 | 0,11 | 0,82 | 0,09 | 0,08 | 0,268 | OK |
| | | Piede | 11 | 0,52 | 1,25 | 0,65 | 0,16 | 1,25 | 0,18 | 0,31 | 0,099 | NO VERIF |
| 4 | 54 | Testa | 11 | 172,95 | 2,08 | 2,23 | 0,28 | 2,08 | 0,01 | 0,00 | 33,033 | OK |
| | | Mezz. | 11 | 1,61 | 3,80 | 2,44 | 0,50 | 3,80 | 0,37 | 0,31 | 0,308 | OK |
| | | Piede | 11 | 0,57 | 5,52 | 2,66 | 0,71 | 5,52 | 0,73 | 1,24 | 0,109 | NO VERIF |
| 4 | 55 | Testa | 3 | 426,89 | 3,32 | 4,89 | 0,45 | 3,32 | 0,01 | 0,00 | 81,535 | OK |
| | | Mezz. | 3 | 1,36 | 7,23 | 5,37 | 0,96 | 7,23 | 0,82 | 0,71 | 0,261 | OK |
| | | Piede | 3 | 0,51 | 11,14 | 5,86 | 1,44 | 11,14 | 1,64 | 2,82 | 0,098 | NO VERIF |
| 4 | 56 | Testa | 11 | 10,73 | 1,39 | 0,62 | 0,18 | 1,39 | 0,06 | 0,00 | 2,049 | OK |
| | | Mezz. | 3 | 1,30 | 1,80 | 0,67 | 0,22 | 1,80 | 0,14 | 0,17 | 0,248 | OK |
| | | Piede | 3 | 0,54 | 2,20 | 0,72 | 0,26 | 2,20 | 0,22 | 0,48 | 0,103 | NO VERIF |
| 4 | 57 | Testa | 3 | 8,78 | 0,89 | 0,56 | 0,12 | 0,89 | 0,06 | 0,00 | 1,677 | OK |
| | | Mezz. | 3 | 0,96 | 1,29 | 0,61 | 0,16 | 1,29 | 0,15 | 0,17 | 0,184 | NO VERIF |
| | | Piede | 3 | 0,43 | 1,68 | 0,66 | 0,21 | 1,68 | 0,23 | 0,48 | 0,082 | NO VERIF |
| 4 | 58 | Testa | 3 | 1,79 | 1,27 | 0,40 | 0,07 | 1,27 | 0,22 | 0,00 | 0,342 | OK |
| | | Mezz. | 3 | 0,20 | 1,48 | 0,42 | 0,08 | 1,48 | 0,27 | 0,42 | 0,038 | NO VERIF |
| | | Piede | 3 | 0,10 | 1,69 | 0,45 | 0,09 | 1,69 | 0,31 | 0,92 | 0,019 | NO VERIF |
| 4 | 59 | Testa | 3 | 4,98 | 4,45 | 1,30 | 0,25 | 4,45 | 0,26 | 0,00 | 0,952 | OK |
| | | Mezz. | 3 | 0,62 | 5,10 | 1,38 | 0,28 | 5,10 | 0,40 | 0,46 | 0,119 | NO VERIF |
| | | Piede | 3 | 0,27 | 5,75 | 1,46 | 0,31 | 5,75 | 0,53 | 1,15 | 0,051 | NO VERIF |
| 4 | 60 | Testa | 11 | 1,09 | 0,40 | 0,35 | 0,03 | 0,40 | 0,32 | 0,00 | 0,208 | OK |
| | | Mezz. | 11 | 0,09 | 0,67 | 0,38 | 0,04 | 0,67 | 0,27 | 0,51 | 0,016 | NO VERIF |
| | | Piede | 3 | 0,05 | 1,13 | 0,44 | 0,07 | 1,13 | 0,43 | 1,30 | 0,010 | NO VERIF |
| 4 | 61 | Testa | 11 | 1,34 | 0,64 | 0,46 | 0,04 | 0,64 | 0,34 | 0,00 | 0,256 | OK |
| | | Mezz. | 3 | 0,11 | 1,09 | 0,52 | 0,07 | 1,09 | 0,41 | 0,65 | 0,020 | NO VERIF |
| | | Piede | 3 | 0,06 | 1,43 | 0,56 | 0,09 | 1,43 | 0,48 | 1,42 | 0,012 | NO VERIF |
| 4 | 62 | Testa | 3 | 4,99 | 1,89 | 0,85 | 0,12 | 1,89 | 0,17 | 0,00 | 0,953 | OK |
| | | Mezz. | 3 | 0,40 | 2,43 | 0,92 | 0,15 | 2,43 | 0,28 | 0,38 | 0,076 | NO VERIF |
| | | Piede | 3 | 0,19 | 2,97 | 0,99 | 0,18 | 2,97 | 0,40 | 0,95 | 0,036 | NO VERIF |
| 4 | 63 | Testa | 3 | 1,56 | 0,84 | 0,36 | 0,05 | 0,84 | 0,23 | 0,00 | 0,297 | OK |
| | | Mezz. | 3 | 0,15 | 1,07 | 0,39 | 0,07 | 1,07 | 0,28 | 0,44 | 0,029 | NO VERIF |
| | | Piede | 3 | 0,08 | 1,29 | 0,42 | 0,08 | 1,29 | 0,33 | 0,96 | 0,015 | NO VERIF |
| 4 | 64 | Testa | 3 | 8,56 | 4,74 | 2,37 | 0,61 | 4,74 | 0,28 | 0,00 | 1,635 | OK |
| | | Mezz. | 3 | 1,16 | 6,29 | 2,56 | 0,79 | 6,29 | 0,60 | 0,68 | 0,221 | OK |

C.D.S.

| VERIFICA A SISMA ORTOGONALE | | | | | | | | | | | | |
|--|-----------|-------|---------|---------------|---------|---------|-----------|--------|--------|----------|------------|----------------------|
| VERIFICA A SISMA ORTOGONALE Tempo Ritorno Sisma Ortagonale: 30 Anni | | | | | | | | | | | | |
| Quota N.ro | Muro N.ro | Sez. | Cmb ort | Coeff. sicur. | Nru (t) | Vru (t) | Mru (t*m) | Nd (t) | Vd (t) | Md (t*m) | PGA (Ag/g) | STRINGA DI CONTROLLO |
| | | Piede | 3 | 0,49 | 7,85 | 2,75 | 0,95 | 7,85 | 0,92 | 1,92 | 0,095 | NO VERIF |
| 4 | 65 | Testa | 3 | 5,56 | 1,14 | 0,54 | 0,15 | 1,14 | 0,10 | 0,00 | 1,061 | OK |
| | | Mezz. | 3 | 0,83 | 1,49 | 0,58 | 0,18 | 1,49 | 0,17 | 0,22 | 0,158 | NO VERIF |
| | | Piede | 3 | 0,39 | 1,84 | 0,63 | 0,22 | 1,84 | 0,24 | 0,57 | 0,074 | NO VERIF |
| 4 | 66 | Testa | 3 | 3,99 | 0,49 | 0,43 | 0,07 | 0,49 | 0,11 | 0,00 | 0,762 | OK |
| | | Mezz. | 3 | 0,49 | 0,81 | 0,47 | 0,11 | 0,81 | 0,18 | 0,22 | 0,093 | NO VERIF |
| | | Piede | 3 | 0,26 | 1,14 | 0,51 | 0,14 | 1,14 | 0,24 | 0,55 | 0,050 | NO VERIF |
| 4 | 67 | Testa | 3 | 79,74 | 3,89 | 4,66 | 0,53 | 3,89 | 0,06 | 0,00 | 15,230 | OK |
| | | Mezz. | 3 | 1,51 | 7,53 | 5,11 | 1,00 | 7,53 | 0,82 | 0,66 | 0,289 | OK |
| | | Piede | 3 | 0,55 | 11,18 | 5,56 | 1,44 | 11,18 | 1,58 | 2,63 | 0,104 | NO VERIF |
| 4 | 68 | Testa | 11 | 0,92 | 0,36 | 0,22 | 0,02 | 0,36 | 0,24 | 0,00 | 0,175 | NO VERIF |
| | | Mezz. | 3 | 0,08 | 0,56 | 0,24 | 0,04 | 0,56 | 0,27 | 0,44 | 0,015 | NO VERIF |
| | | Piede | 3 | 0,05 | 0,71 | 0,26 | 0,04 | 0,71 | 0,30 | 0,94 | 0,009 | NO VERIF |
| 4 | 69 | Testa | 3 | 8,70 | 0,90 | 0,56 | 0,12 | 0,90 | 0,06 | 0,00 | 1,662 | OK |
| | | Mezz. | 3 | 0,97 | 1,30 | 0,61 | 0,17 | 1,30 | 0,15 | 0,17 | 0,185 | NO VERIF |
| | | Piede | 3 | 0,43 | 1,69 | 0,66 | 0,21 | 1,69 | 0,23 | 0,48 | 0,083 | NO VERIF |
| 4 | 70 | Testa | 3 | 1,23 | 1,45 | 0,59 | 0,09 | 1,45 | 0,48 | 0,00 | 0,235 | OK |
| | | Mezz. | 3 | 0,12 | 1,81 | 0,64 | 0,11 | 1,81 | 0,56 | 0,90 | 0,023 | NO VERIF |
| | | Piede | 3 | 0,07 | 2,17 | 0,68 | 0,13 | 2,17 | 0,64 | 1,92 | 0,013 | NO VERIF |

| RIASSUNTO VERIFICHE MURATURE | | | | | | | | |
|------------------------------------|--|-----|--------------|---------------|---------------|----------------|-----------------------|-------|
| Numero complessivo muri: | | 312 | | | | | | |
| Grandezza di controllo | | | Valore medio | Valore minimo | N.Muro minimo | N.Quota minimo | N muri non verificati | |
| Verifiche statiche | | | | | | | | |
| Snellezza limite / snellezza | | | 99,99 | 0,37 | 44 | 3 | 35 | 11,22 |
| Ecc.limite / ecc.traversale | | | 99,99 | 0,32 | 33 | 4 | 2 | 0,64 |
| Ecc.limite / ecc.longitudinale | | | 99,99 | 0,55 | 33 | 4 | 0 | 0,00 |
| Sigma limite / sigma max flessione | | | 99,99 | 0,31 | 30 | 2 | 66 | 21,15 |
| Sigma limite / sigma max pressofl. | | | 99,99 | 0,27 | 30 | 2 | 75 | 24,04 |
| Verifiche sismiche | | | | | | | | |
| Coeff. sicur. sisma ortogonale | | | 99,99 | 0,00 | 33 | 2 | 78 | 25,00 |
| Coeff. sicur. pushover SLV | | | 0,38 | 0,36 | | | | |

• **SPECIFICHE CAMPI TABELLA DI STAMPA PUSH-OVER**

| | |
|---|---|
| Numero d'ordine della PushOver | : <i>Tipo di distribuzione delle forze orizzontali utilizzate nell'analisi.</i> |
| Angolo Ingr. Sisma (Grd) | : <i>Angolo di ingresso del sisma della PushOver.</i> |
| Numero collassi totali | : <i>Numero di elementi che hanno raggiunto la condizione di collasso al termine dell'analisi.</i> |
| Numero passo Resist.Max. | : <i>Numero del passo a cui corrisponde il picco massimo del taglio alla base nella curva di capacità.</i> |
| Numero passi significativi | : <i>Numeri dei passi significativi alla fine dell'analisi.</i> |
| Massa SDOF, (t) | : <i>Massa totale del sistema equivalente.</i> |
| Taglio alla base max., (t) | : <i>Tagliente massimo alla base della struttura reale.</i> |
| Coeff. Partecipazione | : <i>Coefficiente di partecipazione relativo alla distribuzione di forze orizzontali utilizzate nell'analisi della PushOver.</i> |
| Resistenza SDOF, (t) | : <i>Resistenza allo snervamento del sistema ad un grado di libertà equivalente.</i> |
| Rigidezza SDOF, (t/m) | : <i>Rigidezza all'origine del sistema ad un grado di libertà equivalente.</i> |
| Spostam. Snervam. SDOF, (mm) | : <i>Spostamento a cui corrisponde lo snervamento del sistema ad un grado di libertà equivalente.</i> |
| Periodo SDOF, (sec) | : <i>Periodo proprio del sistema ad un grado di libertà equivalente.</i> |
| Rapporto di incrudimento | : <i>Rapporto tra la rigidezza incrudente e la rigidezza all'origine del sistema ad un grado di libertà equivalente. Per un sistema elastico perfettamente plastico tale rapporto vale sempre 0.</i> |
| Rapporto Alfa<u>a</u>/alfa<u>1</u> | : <i>Rapporto tra il tagliente ultimo e il tagliente cui corrisponde la formazione della prima cerniera plastica. Per le strutture esistenti tale valore può assumere valori molto alti in quanto per bassi valori di forze orizzontali spesso viene raggiunto il limite elastico in qualche sezione.</i> |
| Fattore struttura | : <i>Fattore di struttura (q) calcolato a posteriori in funzione delle effettive risorse anelastiche della struttura.</i> |
| Coeff Smorzam.Equival. | : <i>Coefficiente di smorzamento di un oscillatore elasto-viscoso che dissipà per viscosità la stessa energia della struttura.</i> |
| Duttilità | : <i>Duttilità misurata sul legame bilatero del sistema elasto-plastico equivalente come rapporto tra lo spostamento ultimo (fine del tratto orizzontale) e lo spostamento al limite elastico (inizio tratto orizzontale).</i> |

Per ogni stato limite richiesto, la frase "MECCANISMI CONSIDERATI NELL'ANALISI" significa:

| | |
|---------------------------------------|--|
| Con Flag di post-verifica = NO | : Considera nell'analisi al passo non lineare sia i meccanismi fragili attivati che quelli duttili. |
| Con Flag di post-verifica = SI | : Verifica a posteriori dei meccanismi fragili in corrispondenza dei passi della curva di capacità precedentemente valutata per il solo comportamento duttile. I risultati relativi ai soli meccanismi fragili sono riportati in una apposita tabella. |

| | |
|---------------------------------|--|
| Spostamento | : Domanda/Capacità dello spostamento relativo allo stato limite. |
| S.L.x | : Flag riassuntivo della verifica effettuata per i meccanismi considerati nell'analisi. |
| PgaLx/g | : Valore della PGA limite corrispondente alla prestazione definita per lo stato limite considerato e per i meccanismi considerati nell'analisi. |
| q* | : Rapporto tra la domanda elastica di tagliante alla base e la resistenza del sistema SDOF equivalente. Viene utilizzato solo per le strutture in muratura in qual caso non può superare il valore 3. |
| Numero passo precedente | : Numero passo precedente al punto della curva per cui si raggiunge la capacità rispetto alla prestazione definita per lo stato limite e per i soli meccanismi considerati nell'analisi. |
| PgaLx/Pga y% | : Rapporto tra la PGA limite e la PGA al bedrock del sisma atteso nel sito con la probabilità prevista per lo stato limite corrispondente. |
| Asta3D Nro | : Numerazione 3D dell'asta in cui si raggiunge la prestazione definita per lo stato limite e per i soli meccanismi considerati nell'analisi. |
| TrCLx | : Valore del periodo di ritorno corrispondente all'evento sismico che provoca il raggiungimento della capacità per lo stato limite considerato e per i soli meccanismi considerati nell'analisi. |
| (TrCLx/TDLx)^a | : Rapporto tra il periodo di ritorno del sisma a cui corrisponde il raggiungimento della capacità ed il periodo di ritorno del sisma atteso nel sito con la probabilità prevista per lo stato limite corrispondente. L'esponente a vale 0,41 come previsto dalle linee guida nazionali. |

DATI STAMPATI PER LE TABELLE AUSILIARIE

| | |
|--|---|
| Push. nro | : Numero della PushOver. |
| PRIMO COLLASSO | : Dati relativi ai meccanismi fragili per gli elementi in calcestruzzo armato del Nodo e del Taglio. |
| TrCLC | : Valore del periodo di ritorno corrispondente all'evento sismico che provoca il raggiungimento della capacità per lo stato limite di collasso del Nodo/Taglio. |
| PgaLC/g | : Valore della PGA corrispondente all'evento sismico che provoca il raggiungimento della capacità per lo stato limite di collasso Nodo/Taglio. |
| Resistenza nel Piano di un pannello in muratura | : Indicatori di capacità relativi alla prestazione di raggiungimento della resistenza nel piano del primo pannello in muratura. |
| TrCLV | : Valore del periodo di ritorno corrispondente all'evento sismico che provoca il raggiungimento della capacità per lo stato limite di Salvaguardia della Vita. Prestazione definita dal raggiungimento della resistenza nel piano del primo pannello in muratura. |
| PgaLV/g | : Valore della PGA corrispondente all'evento sismico che provoca il raggiungimento della capacità per lo stato limite di Salvaguardia della Vita. Prestazione definita dal raggiungimento della resistenza nel piano del primo pannello in muratura. |
| VERIFICA MECCANISMI FRAGILI STRUTTURE IN C.A. | : Viene stampata la condizione di VERIFICATA/NON VERIFICATA. Nel caso non venga stampato nulla significa che la verifica effettuata a posteriori sulla curva di capacità determinata con l'analisi non lineare tenendo conto del solo comportamento duttile non è stata in grado di individuare alcun meccanismo fragile per cui è necessario ripetere l'analisi tenendo in conto i meccanismi fragili e settando il dato Push+PostVer. = No . |

• **SPECIFICHE CAMPI TABELLA DI STAMPA**

Si riporta di seguito la spiegazione delle sigle usate nella tabella di stampa dei Domini Aste della PushOver.

| | |
|-------------------------|---|
| Asta 3D | : Numero identificativo del filo fisso |
| Filo Iniz. | : Quota altimetrica espressa in metri |
| Filo Fin. | : Numerazione del nodo nel modello tridimensionale |
| Q.In. (m) | : Quota altimetrica dell'estremo iniziale dell'asta espressa in metri |
| Q.Fin. (m) | : Quota altimetrica dell'estremo finale dell'asta espressa in metri |
| Tratto | : Nel caso di asta con mesh maggiore di uno, indica il numero del tratto considerato |
| Nodo 3D Iniz. | : Numero del nodo nel modello tridimensionale in cui è inserito il primo estremo dell'asta |
| Nodo 3D Finale | : Numero del nodo nel modello tridimensionale in cui è inserito il secondo estremo dell'asta |
| Flag Non Lineare | : Flag per considerare o meno il comportamento non lineare dell'asta. Per le asta di fondazione il dato è sempre "NO" in quanto l'elemento deve presentare sempre un comportamento elastico |
| Barre Ancorate | : Flag per considerare o meno efficacemente ancorate le barre di armatura longitudinale |
| Staffe Confin | : Flag per considerare o meno l'effetto del confinamento al nodo offerto dalle staffe |
| Dominio Concio 1 | : Indica il numero di dominio di rottura associato al concio iniziale dell'asta |
| Dominio Concio 2 | : Indica il numero di dominio di rottura associato al concio di mezzeria dell'asta |
| Dominio Concio 3 | : Indica il numero di dominio di rottura associato al concio finale dell'asta |

• **SPECIFICHE CAMPI TABELLA DI STAMPA**

Si riporta di seguito la spiegazione delle sigle usate nella tabella di stampa della Capacita'/Domanda di Spostamento dei baricentri di piano.

| | |
|------------------------------------|---|
| Piano N.ro | : Numero identificato del piano sismico |
| Quota | : Quota altimetrica del piano espressa in metri |
| SLO/SLD/SLV/SLC X(mm) | : Componente in direzione X dello spostamento di piano allo SLO/SLD/SLV/SLC espresso in mm. In particolare nel primo rigo i valori sono riferiti alla capacità mentre nel secondo si riferiscono alla domanda |
| SLO/SLD/SLV/SLC Y(mm) | : Componente in direzione Y dello spostamento di piano allo SLO/SLD/SLV/SLC espresso in mm. In particolare nel primo rigo i valori sono riferiti alla capacità mentre nel secondo si riferiscono alla domanda |
| SLO/SLD/SLV/SLC Z(mRad) | : Rotazione rigida di piano allo SLO/SLD/SLV/SLC espressa in milliradiani. In particolare nel primo rigo i valori sono riferiti alla capacità mentre nel secondo si riferiscono alla domanda |

RISULTATI GENERALI PUSH-OVER**MECCANISMI DI COLLASSO CONSIDERATI NELLA ANALISI PUSH-OVER**

- Analisi con meccanismi DUTILI E FRAGILI
- NESSUNA modalita' di collasso considerata per il nodo in CLS
- Collasso a taglio considerato su TUTTE le aste in CLS
- Collasso per ripresa di getto IGNORATA
- Effetti P-Delta IGNORATI
- DISTRIBUZ FORZE SECONDO DEFORMATA MODALE: Proporzionale al Primo Modo

RISULTATI GENERALI PUSH-OVER

| PUSH-OVER N.ro | 1 - | Distrib.Forze Prop.Modo:+Fx+0.3*Fy+Ecc5% |
|--|--------------|--|
| Angolo Ingr. Sisma (Grd) | 0 | Numero collassi totali 20 |
| Numero passo Resist.Max. | 27 | Numero passi significativi 57 |
| Massa SDOF (t) | 1273,20 | Taglio alla base max. (t) 255,72 |
| Coeff. Partecipazione | 1,05 | Resistenza SDOF (t) 230,05 |
| Rigidezza SDOF (t/m) | 24505,85 | Spostam. Snervam. SDOF mm 9 |
| Periodo SDOF (sec) | 0,46 | Rapporto di incrudimento 0,000 |
| Rapporto Alfa1/alfa1 | 174,807 | Fattore di comportamento 1,823 |
| Coeff Smorzam.Equival.(%) | 19 | Duttilita 1,866 |
| STATO LIMITE DI SALVAGUARDIA DELLA VITA | | |
| DOMANDA | | CAPACITA' |
| Spostamento mm | 35,416 | Spostamento mm 13,142 |
| S.L. Salvaguardia Vita | NON VERIFICA | Numero passo precedente 24 |
| PgaLV/g | 0,071 | ZetaE=PgaLV/Pga 10% 0,371 |
| Rapporto q*=Fe/Fy | >3 | Asta3D Nro |
| Tempo Intervento (anni) | 3,63 | TrCLV (anni) 57 |
| | 4 | (TrCLV/TDLV)^a 0,354 |

RISULTATI GENERALI PUSH-OVER

| PUSH-OVER N.ro | 2 - | Distrib.Forze Prop.Modo:-Fx+0.3*Fy+Ecc5% |
|--|--------------|--|
| Angolo Ingr. Sisma (Grd) | 180 | Numero collassi totali 20 |
| Numero passo Resist.Max. | 26 | Numero passi significativi 58 |
| Massa SDOF (t) | 1273,20 | Taglio alla base max. (t) 257,40 |
| Coeff. Partecipazione | 1,05 | Resistenza SDOF (t) 233,41 |
| Rigidezza SDOF (t/m) | 26474,78 | Spostam. Snervam. SDOF mm 9 |
| Periodo SDOF (sec) | 0,44 | Rapporto di incrudimento 0,000 |
| Rapporto Alfa1/alfa1 | 44,302 | Fattore di comportamento 1,820 |
| Coeff Smorzam.Equival.(%) | 20 | Duttilita 1,897 |
| STATO LIMITE DI SALVAGUARDIA DELLA VITA | | |
| DOMANDA | | CAPACITA' |
| Spostamento mm | 33,719 | Spostamento mm 12,546 |
| S.L. Salvaguardia Vita | NON VERIFICA | Numero passo precedente 24 |
| PgaLV/g | 0,070 | ZetaE=PgaLV/Pga 10% 0,368 |
| Rapporto q*=Fe/Fy | >3 | Asta3D Nro |
| Tempo Intervento (anni) | 3,58 | TrCLV (anni) 56 |
| | 4 | (TrCLV/TDLV)^a 0,351 |

RISULTATI GENERALI PUSH-OVER

| PUSH-OVER N.ro | 3 - | Distrib.Forze Prop.Modo:+Fy+0.3*Fx+Ecc5% |
|--|----------|--|
| Angolo Ingr. Sisma (Grd) | 90 | Numero collassi totali 13 |
| Numero passo Resist.Max. | 30 | Numero passi significativi 39 |
| Massa SDOF (t) | 1260,11 | Taglio alla base max. (t) 196,35 |
| Coeff. Partecipazione | 1,04 | Resistenza SDOF (t) 180,50 |
| Rigidezza SDOF (t/m) | 15213,54 | Spostam. Snervam. SDOF mm 12 |
| Periodo SDOF (sec) | 0,58 | Rapporto di incrudimento 0,000 |
| Rapporto Alfa1/alfa1 | 13,844 | Fattore di comportamento 1,839 |
| Coeff Smorzam.Equival.(%) | 19 | Duttilita 1,839 |
| STATO LIMITE DI SALVAGUARDIA DELLA VITA | | |
| DOMANDA | | CAPACITA' |

C.D.S.

| | | | |
|--|------------------------|---|----------------------|
| Spostamento mm S.L. Salvaguardia Vita | 45,347 NON VERIFICA | Spostamento mm Numero passo precedente | 16,361 26 |
| PgaLV/g Rapporto q*=Fe/Fy >3 Tempo Intervento (anni) | 0,070 3,82 4 | ZetaE=PgaLV/Pga 10% Asta3D Nro TrCLV (anni) (TrCLV/TDLV)^a | 0,366 55 0,349 |

RISULTATI GENERALI PUSH-OVER

| | | | |
|--|------------------------|----------------------------|--|
| PUSH-OVER N.ro | | 4 - | Distrib.Forze Prop.Modo:-Fy+0.3*Fx+Ecc5% |
| Angolo Ingr. Sisma (Grd) | 270 | Numero collassi totali | 10 |
| Numero passo Resist.Max. | 25 | Numero passi significativi | 34 |
| Massa SDOF (t) | 1260,11 | Taglio alla base max. (t) | 203,92 |
| Coeff. Partecipazione | 1,04 | Resistenza SDOF (t) | 181,53 |
| Rigidezza SDOF (t/m) | 15014,68 | Spostam. Snervam. SDOF mm | 12 |
| Periodo SDOF (sec) | 0,58 | Rapporto di incrudimento | 0,000 |
| Rapporto Alfa1/alfa1 | 13,743 | Fattore di comportamento | 1,934 |
| Coeff Smorzam.Equival.(%) | 20 | Duttilita | 1,934 |
| STATO LIMITE DI SALVAGUARDIA DELLA VITA | | | |
| DOMANDA | | CAPACITA' | |
| Spostamento mm S.L. Salvaguardia Vita | 45,646 NON VERIFICA | Spostamento mm | 17,539 |
| PgaLV/g | 0,074 | Numero passo precedente | 22 |
| Rapporto q*=Fe/Fy >3 | 3,78 | ZetaE=PgaLV/Pga 10% | 0,386 |
| Tempo Intervento (anni) | 5 | Asta3D Nro | |
| | | TrCLV (anni) | 63 |
| | | (TrCLV/TDLV)^a | 0,369 |

RISULTATI GENERALI PUSH-OVER

| | | | |
|--|------------------------|----------------------------|---|
| PUSH-OVER N.ro | | 5 - | Distrib.Forze Prop.Massa:+Fx+0.3*Fy+Ecc5% |
| Angolo Ingr. Sisma (Grd) | 0 | Numero collassi totali | 20 |
| Numero passo Resist.Max. | 34 | Numero passi significativi | 66 |
| Massa SDOF (t) | 1841,76 | Taglio alla base max. (t) | 373,84 |
| Coeff. Partecipazione | 1,00 | Resistenza SDOF (t) | 351,92 |
| Rigidezza SDOF (t/m) | 33233,49 | Spostam. Snervam. SDOF mm | 11 |
| Periodo SDOF (sec) | 0,47 | Rapporto di incrudimento | 0,000 |
| Rapporto Alfa1/alfa1 | 88,759 | Fattore di comportamento | 1,771 |
| Coeff Smorzam.Equival.(%) | 19 | Duttilita | 1,786 |
| STATO LIMITE DI SALVAGUARDIA DELLA VITA | | | |
| DOMANDA | | CAPACITA' | |
| Spostamento mm S.L. Salvaguardia Vita | 36,884 NON VERIFICA | Spostamento mm | 14,184 |
| PgaLV/g | 0,073 | Numero passo precedente | 31 |
| Rapporto q*=Fe/Fy >3 | 3,44 | ZetaE=PgaLV/Pga 10% | 0,384 |
| Tempo Intervento (anni) | 5 | Asta3D Nro | |
| | | TrCLV (anni) | 62 |
| | | (TrCLV/TDLV)^a | 0,366 |

RISULTATI GENERALI PUSH-OVER

| | | | |
|--|------------------------|----------------------------|---|
| PUSH-OVER N.ro | | 6 - | Distrib.Forze Prop.Massa:-Fx+0.3*Fy+Ecc5% |
| Angolo Ingr. Sisma (Grd) | 180 | Numero collassi totali | 20 |
| Numero passo Resist.Max. | 33 | Numero passi significativi | 63 |
| Massa SDOF (t) | 1841,76 | Taglio alla base max. (t) | 376,48 |
| Coeff. Partecipazione | 1,00 | Resistenza SDOF (t) | 356,21 |
| Rigidezza SDOF (t/m) | 36468,71 | Spostam. Snervam. SDOF mm | 10 |
| Periodo SDOF (sec) | 0,45 | Rapporto di incrudimento | 0,000 |
| Rapporto Alfa1/alfa1 | 44,254 | Fattore di comportamento | 1,754 |
| Coeff Smorzam.Equival.(%) | 19 | Duttilita | 1,806 |
| STATO LIMITE DI SALVAGUARDIA DELLA VITA | | | |
| DOMANDA | | CAPACITA' | |
| Spostamento mm S.L. Salvaguardia Vita | 34,743 NON VERIFICA | Spostamento mm | 13,228 |
| PgaLV/g | 0,072 | Numero passo precedente | 30 |
| | | ZetaE=PgaLV/Pga 10% | 0,376 |

C.D.S.

| | | | | |
|-------------------------|----|------|--------------------------------|-------|
| Rapporto q*=Fe/Fy | >3 | 3,39 | Asta3D Nro | 59 |
| Tempo Intervento (anni) | | 4 | TrCLV (anni) (TrCLV/TDLV)^a | 0,359 |

RISULTATI GENERALI PUSH-OVER

| PUSH-OVER N.ro | | 7 - | Distrib.Forze Prop.Massa:+Fy+0.3*Fx+Ecc5% | |
|--|----|--------------|---|--------|
| Angolo Ingr. Sisma (Grd) | | 90 | Numero collassi totali | 12 |
| Numero passo Resist.Max. | | 38 | Numero passi significativi | 47 |
| Massa SDOF (t) | | 1841,76 | Taglio alla base max. (t) | 292,16 |
| Coeff. Partecipazione | | 1,00 | Resistenza SDOF (t) | 279,26 |
| Rigidezza SDOF (t/m) | | 21091,18 | Spostam. Snervam. SDOF mm | 13 |
| Periodo SDOF (sec) | | 0,59 | Rapporto di incrudimento | 0,000 |
| Rapporto Alfa1/alfa1 | | 40,652 | Fattore di comportamento | 1,763 |
| Coeff Smorzam.Equival.(%) | | 18 | Duttilita | 1,763 |
| STATO LIMITE DI SALVAGUARDIA DELLA VITA | | | | |
| DOMANDA | | | CAPACITA' | |
| Spostamento mm | | 46,561 | Spostamento mm | 17,504 |
| S.L. Salvaguardia Vita | | NON VERIFICA | Numero passo precedente | 32 |
| PgaLV/g | | 0,072 | ZetaE=PgaLV/Pga 10% | 0,379 |
| Rapporto q*=Fe/Fy | >3 | 3,52 | Asta3D Nro | |
| Tempo Intervento (anni) | | 4 | TrCLV (anni) | 60 |
| | | | (TrCLV/TDLV)^a | 0,361 |

RISULTATI GENERALI PUSH-OVER

| PUSH-OVER N.ro | | 8 - | Distrib.Forze Prop.Massa:-Fy+0.3*Fx+Ecc5% | |
|--|----|--------------|---|--------|
| Angolo Ingr. Sisma (Grd) | | 270 | Numero collassi totali | 10 |
| Numero passo Resist.Max. | | 32 | Numero passi significativi | 41 |
| Massa SDOF (t) | | 1841,76 | Taglio alla base max. (t) | 305,16 |
| Coeff. Partecipazione | | 1,00 | Resistenza SDOF (t) | 283,24 |
| Rigidezza SDOF (t/m) | | 21168,74 | Spostam. Snervam. SDOF mm | 13 |
| Periodo SDOF (sec) | | 0,59 | Rapporto di incrudimento | 0,000 |
| Rapporto Alfa1/alfa1 | | 27,255 | Fattore di comportamento | 1,831 |
| Coeff Smorzam.Equival.(%) | | 19 | Duttilita | 1,831 |
| STATO LIMITE DI SALVAGUARDIA DELLA VITA | | | | |
| DOMANDA | | | CAPACITA' | |
| Spostamento mm | | 46,476 | Spostamento mm | 18,371 |
| S.L. Salvaguardia Vita | | NON VERIFICA | Numero passo precedente | 28 |
| PgaLV/g | | 0,076 | ZetaE=PgaLV/Pga 10% | 0,396 |
| Rapporto q*=Fe/Fy | >3 | 3,47 | Asta3D Nro | |
| Tempo Intervento (anni) | | 5 | TrCLV (anni) | 67 |
| | | | (TrCLV/TDLV)^a | 0,378 |

RISULTATI GENERALI PUSH-OVER

| PUSH-OVER N.ro | | 9 - | Distrib.Forze Prop.Modo:+Fx-0.3*Fy+Ecc5% | |
|--|----|--------------|--|--------|
| Angolo Ingr. Sisma (Grd) | | 0 | Numero collassi totali | 20 |
| Numero passo Resist.Max. | | 29 | Numero passi significativi | 61 |
| Massa SDOF (t) | | 1273,20 | Taglio alla base max. (t) | 258,55 |
| Coeff. Partecipazione | | 1,05 | Resistenza SDOF (t) | 232,54 |
| Rigidezza SDOF (t/m) | | 26101,35 | Spostam. Snervam. SDOF mm | 9 |
| Periodo SDOF (sec) | | 0,44 | Rapporto di incrudimento | 0,000 |
| Rapporto Alfa1/alfa1 | | 23,771 | Fattore di comportamento | 1,846 |
| Coeff Smorzam.Equival.(%) | | 20 | Duttilita | 1,919 |
| STATO LIMITE DI SALVAGUARDIA DELLA VITA | | | | |
| DOMANDA | | | CAPACITA' | |
| Spostamento mm | | 34,026 | Spostamento mm | 12,824 |
| S.L. Salvaguardia Vita | | NON VERIFICA | Numero passo precedente | 27 |
| PgaLV/g | | 0,071 | ZetaE=PgaLV/Pga 10% | 0,374 |
| Rapporto q*=Fe/Fy | >3 | 3,59 | Asta3D Nro | |
| Tempo Intervento (anni) | | 4 | TrCLV (anni) | 58 |
| | | | (TrCLV/TDLV)^a | 0,356 |

RISULTATI GENERALI PUSH-OVER

| | | |
|--|------------------------|---|
| PUSH-OVER N.ro | 10 - | Distrib.Forze Prop.Modo:-Fx-0.3*Fy+Ecc5% |
| Angolo Ingr. Sisma (Grd) | 180 | Numero collassi totali |
| Numero passo Resist.Max. | 30 | Numero passi significativi |
| Massa SDOF (t) | 1273,20 | Taglio alla base max. (t) |
| Coeff. Partecipazione | 1,05 | Resistenza SDOF (t) |
| Rigidezza SDOF (t/m) | 25372,18 | Spostam. Snervam. SDOF mm |
| Periodo SDOF (sec) | 0,45 | Rapporto di incrudimento |
| Rapporto Alfa1/alfa1 | 19,081 | Fattore di comportamento |
| Coeff Smorzam.Equival.(%) | 20 | Duttilita |
| STATO LIMITE DI SALVAGUARDIA DELLA VITA | | |
| DOMANDA | | CAPACITA' |
| Spostamento mm S.L. Salvaguardia Vita | 34,650 NON VERIFICA | Spostamento mm Numero passo precedente |
| PgaLV/g | 0,072 | ZetaE=PgaLV/Pga 10% |
| Rapporto q*=Fe/Fy | 3,65 | Asta3D Nro |
| Tempo Intervento (anni) | 4 | TrCLV (anni) |
| | | (TrCLV/TDLV) ^a |

RISULTATI GENERALI PUSH-OVER

| | | |
|--|------------------------|---|
| PUSH-OVER N.ro | 11 - | Distrib.Forze Prop.Modo:+Fy-0.3*Fx+Ecc5% |
| Angolo Ingr. Sisma (Grd) | 90 | Numero collassi totali |
| Numero passo Resist.Max. | 29 | Numero passi significativi |
| Massa SDOF (t) | 1260,11 | Taglio alla base max. (t) |
| Coeff. Partecipazione | 1,04 | Resistenza SDOF (t) |
| Rigidezza SDOF (t/m) | 15640,74 | Spostam. Snervam. SDOF mm |
| Periodo SDOF (sec) | 0,57 | Rapporto di incrudimento |
| Rapporto Alfa1/alfa1 | 11,667 | Fattore di comportamento |
| Coeff Smorzam.Equival.(%) | 19 | Duttilita |
| STATO LIMITE DI SALVAGUARDIA DELLA VITA | | |
| DOMANDA | | CAPACITA' |
| Spostamento mm S.L. Salvaguardia Vita | 44,723 NON VERIFICA | Spostamento mm Numero passo precedente |
| PgaLV/g | 0,071 | ZetaE=PgaLV/Pga 10% |
| Rapporto q*=Fe/Fy | 3,83 | Asta3D Nro |
| Tempo Intervento (anni) | 4 | TrCLV (anni) |
| | | (TrCLV/TDLV) ^a |

RISULTATI GENERALI PUSH-OVER

| | | |
|--|------------------------|---|
| PUSH-OVER N.ro | 12 - | Distrib.Forze Prop.Modo:-Fy-0.3*Fx+Ecc5% |
| Angolo Ingr. Sisma (Grd) | 270 | Numero collassi totali |
| Numero passo Resist.Max. | 28 | Numero passi significativi |
| Massa SDOF (t) | 1260,11 | Taglio alla base max. (t) |
| Coeff. Partecipazione | 1,04 | Resistenza SDOF (t) |
| Rigidezza SDOF (t/m) | 15124,93 | Spostam. Snervam. SDOF mm |
| Periodo SDOF (sec) | 0,58 | Rapporto di incrudimento |
| Rapporto Alfa1/alfa1 | 11,678 | Fattore di comportamento |
| Coeff Smorzam.Equival.(%) | 21 | Duttilita |
| STATO LIMITE DI SALVAGUARDIA DELLA VITA | | |
| DOMANDA | | CAPACITA' |
| Spostamento mm S.L. Salvaguardia Vita | 45,479 NON VERIFICA | Spostamento mm Numero passo precedente |
| PgaLV/g | 0,076 | ZetaE=PgaLV/Pga 10% |
| Rapporto q*=Fe/Fy | 3,82 | Asta3D Nro |
| Tempo Intervento (anni) | 5 | TrCLV (anni) |
| | | (TrCLV/TDLV) ^a |

RISULTATI GENERALI PUSH-OVER

| | | |
|----------------|------|---|
| PUSH-OVER N.ro | 13 - | Distrib.Forze Prop.Massa:+Fx-0.3*Fy+Ecc5% |
|----------------|------|---|

C.D.S.

| | | | |
|--|------------------------|---|--------------|
| Angolo Ingr. Sisma (Grd) | 0 | Numero collassi totali | 20 |
| Numero passo Resist.Max. | 38 | Numero passi significativi | 74 |
| Massa SDOF (t) | 1841,76 | Taglio alla base max. (t) | 376,55 |
| Coeff. Partecipazione | 1,00 | Resistenza SDOF (t) | 355,26 |
| Rigidezza SDOF (t/m) | 35799,39 | Spostam. Snervam. SDOF mm | 10 |
| Periodo SDOF (sec) | 0,46 | Rapporto di incrudimento | 0,000 |
| Rapporto Alfa1/alfa1 | 36,143 | Fattore di comportamento | 1,813 |
| Coeff Smorzam.Equival.(%) | 19 | Duttilita | 1,860 |
| STATO LIMITE DI SALVAGUARDIA DELLA VITA | | | |
| DOMANDA | | CAPACITA' | |
| Spostamento mm S.L. Salvaguardia Vita | 35,160 NON VERIFICA | Spostamento mm Numero passo precedente | 13,843 35 |
| PgaLV/g | 0,074 | ZetaE=PgaLV/Pga 10% | 0,389 |
| Rapporto q*=Fe/Fy | >3 | Asta3D Nro | |
| Tempo Intervento (anni) | 3,40 | TrCLV (anni) | 64 |
| | 5 | (TrCLV/TDLV) ^a | 0,371 |

RISULTATI GENERALI PUSH-OVER

| | | | |
|--|------------------------|---|--------------|
| PUSH-OVER N.ro | 14 - | Distrib.Forze Prop.Massa:-Fx-0,3*Fy+Ecc5% | |
| Angolo Ingr. Sisma (Grd) | 180 | Numero collassi totali | |
| Numero passo Resist.Max. | 37 | Numero passi significativi | |
| Massa SDOF (t) | 1841,76 | Taglio alla base max. (t) | |
| Coeff. Partecipazione | 1,00 | Resistenza SDOF (t) | |
| Rigidezza SDOF (t/m) | 34441,25 | Spostam. Snervam. SDOF mm | |
| Periodo SDOF (sec) | 0,46 | Rapporto di incrudimento | |
| Rapporto Alfa1/alfa1 | 33,244 | Fattore di comportamento | |
| Coeff Smorzam.Equival.(%) | 20 | Duttilita | |
| STATO LIMITE DI SALVAGUARDIA DELLA VITA | | | |
| DOMANDA | | CAPACITA' | |
| Spostamento mm S.L. Salvaguardia Vita | 36,055 NON VERIFICA | Spostamento mm Numero passo precedente | 14,810 35 |
| PgaLV/g | 0,077 | ZetaE=PgaLV/Pga 10% | 0,405 |
| Rapporto q*=Fe/Fy | >3 | Asta3D Nro | |
| Tempo Intervento (anni) | 3,51 | TrCLV (anni) | 71 |
| | 5 | (TrCLV/TDLV) ^a | 0,387 |

RISULTATI GENERALI PUSH-OVER

| | | | |
|--|------------------------|---|--------------|
| PUSH-OVER N.ro | 15 - | Distrib.Forze Prop.Massa:+Fy-0,3*Fx+Ecc5% | |
| Angolo Ingr. Sisma (Grd) | 90 | Numero collassi totali | |
| Numero passo Resist.Max. | 34 | Numero passi significativi | |
| Massa SDOF (t) | 1841,76 | Taglio alla base max. (t) | |
| Coeff. Partecipazione | 1,00 | Resistenza SDOF (t) | |
| Rigidezza SDOF (t/m) | 21893,28 | Spostam. Snervam. SDOF mm | |
| Periodo SDOF (sec) | 0,58 | Rapporto di incrudimento | |
| Rapporto Alfa1/alfa1 | 22,847 | Fattore di comportamento | |
| Coeff Smorzam.Equival.(%) | 19 | Duttilita | |
| STATO LIMITE DI SALVAGUARDIA DELLA VITA | | | |
| DOMANDA | | CAPACITA' | |
| Spostamento mm S.L. Salvaguardia Vita | 45,700 NON VERIFICA | Spostamento mm Numero passo precedente | 17,549 31 |
| PgaLV/g | 0,074 | ZetaE=PgaLV/Pga 10% | 0,386 |
| Rapporto q*=Fe/Fy | >3 | Asta3D Nro | |
| Tempo Intervento (anni) | 3,53 | TrCLV (anni) | 63 |
| | 5 | (TrCLV/TDLV) ^a | 0,369 |

RISULTATI GENERALI PUSH-OVER

| | | |
|--------------------------|---------|---|
| PUSH-OVER N.ro | 16 - | Distrib.Forze Prop.Massa:-Fy-0,3*Fx+Ecc5% |
| Angolo Ingr. Sisma (Grd) | 270 | Numero collassi totali |
| Numero passo Resist.Max. | 30 | Numero passi significativi |
| Massa SDOF (t) | 1841,76 | Taglio alla base max. (t) |

C.D.S.

| | | | |
|---|------------------------|---|----------------------|
| Coeff. Partecipazione | 1,00 | Resistenza SDOF (t) | 281,50 |
| Rigidezza SDOF (t/m) | 21124,29 | Spostam. Snervam. SDOF mm | 13 |
| Periodo SDOF (sec) | 0,59 | Rapporto di incrudimento | 0,000 |
| Rapporto Alfa1/alfa1 | 59,579 | Fattore di comportamento | 1,919 |
| Coeff Smorzam.Equival.(%) | 20 | Duttilita | 1,919 |
| STATO LIMITE DI SALVAGUARDIA DELLA VITA | | | |
| DOMANDA | | CAPACITA' | |
| Spostamento mm S.L. Salvaguardia Vita | 46,524 NON VERIFICA | Spostamento mm Numero passo precedente | 19,179 27 |
| PgaLV/g Rapporto q*=Fe/Fy Tempo Intervento (anni) | 0,078 3,49 5 | ZetaE=PgaLV/Pga 10% Asta3D Nro TrCLV (anni) (TrCLV/TDLV)^a | 0,410 73 0,392 |

RISULTATI GENERALI PUSH-OVER

| | | | |
|---|------------------------|---|----------------------|
| PUSH-OVER N.ro | 17 - | Distrib.Forze Prop.Modo:+Fx+0,3*Fy-Ecc5% | |
| Angolo Ingr. Sisma (Grd) | 0 | Numero collassi totali | 20 |
| Numero passo Resist.Max. | 29 | Numero passi significativi | 61 |
| Massa SDOF (t) | 1273,20 | Taglio alla base max. (t) | 253,65 |
| Coeff. Partecipazione | 1,05 | Resistenza SDOF (t) | 228,52 |
| Rigidezza SDOF (t/m) | 25284,97 | Spostam. Snervam. SDOF mm | 9 |
| Periodo SDOF (sec) | 0,45 | Rapporto di incrudimento | 0,000 |
| Rapporto Alfa1/alfa1 | 84,870 | Fattore di comportamento | 1,778 |
| Coeff Smorzam.Equival.(%) | 19 | Duttilita | 1,833 |
| STATO LIMITE DI SALVAGUARDIA DELLA VITA | | | |
| DOMANDA | | CAPACITA' | |
| Spostamento mm S.L. Salvaguardia Vita | 34,727 NON VERIFICA | Spostamento mm Numero passo precedente | 12,423 26 |
| PgaLV/g Rapporto q*=Fe/Fy Tempo Intervento (anni) | 0,068 3,66 3 | ZetaE=PgaLV/Pga 10% Asta3D Nro TrCLV (anni) (TrCLV/TDLV)^a | 0,358 52 0,341 |

RISULTATI GENERALI PUSH-OVER

| | | | |
|---|------------------------|---|----------------------|
| PUSH-OVER N.ro | 18 - | Distrib.Forze Prop.Modo:-Fx+0,3*Fy-Ecc5% | |
| Angolo Ingr. Sisma (Grd) | 180 | Numero collassi totali | 20 |
| Numero passo Resist.Max. | 32 | Numero passi significativi | 66 |
| Massa SDOF (t) | 1273,20 | Taglio alla base max. (t) | 256,25 |
| Coeff. Partecipazione | 1,05 | Resistenza SDOF (t) | 231,01 |
| Rigidezza SDOF (t/m) | 25713,02 | Spostam. Snervam. SDOF mm | 9 |
| Periodo SDOF (sec) | 0,45 | Rapporto di incrudimento | 0,000 |
| Rapporto Alfa1/alfa1 | 18,493 | Fattore di comportamento | 1,872 |
| Coeff Smorzam.Equival.(%) | 20 | Duttilita | 1,941 |
| STATO LIMITE DI SALVAGUARDIA DELLA VITA | | | |
| DOMANDA | | CAPACITA' | |
| Spostamento mm S.L. Salvaguardia Vita | 34,354 NON VERIFICA | Spostamento mm Numero passo precedente | 13,077 30 |
| PgaLV/g Rapporto q*=Fe/Fy Tempo Intervento (anni) | 0,072 3,62 4 | ZetaE=PgaLV/Pga 10% Asta3D Nro TrCLV (anni) (TrCLV/TDLV)^a | 0,376 59 0,359 |

RISULTATI GENERALI PUSH-OVER

| | | | |
|--------------------------|----------|--|--------|
| PUSH-OVER N.ro | 19 - | Distrib.Forze Prop.Modo:+Fy+0,3*Fx-Ecc5% | |
| Angolo Ingr. Sisma (Grd) | 90 | Numero collassi totali | 9 |
| Numero passo Resist.Max. | 26 | Numero passi significativi | 31 |
| Massa SDOF (t) | 1260,11 | Taglio alla base max. (t) | 209,34 |
| Coeff. Partecipazione | 1,04 | Resistenza SDOF (t) | 188,60 |
| Rigidezza SDOF (t/m) | 14752,62 | Spostam. Snervam. SDOF mm | 13 |
| Periodo SDOF (sec) | 0,59 | Rapporto di incrudimento | 0,000 |

C.D.S.

| | | | |
|---|------------------------|---|----------------------|
| Rapporto Alfa1/alfa1 Coeff Smorzam.Equival.(%) | 19,465 20 | Fattore di comportamento Dutilita | 1,896 1,896 |
| STATO LIMITE DI SALVAGUARDIA DELLA VITA | | | |
| DOMANDA | | CAPACITA' | |
| Spostamento mm S.L. Salvaguardia Vita | 46,050 NON VERIFICA | Spostamento mm Numero passo precedente | 18,184 22 |
| PgaLV/g Rapporto q*=Fe/Fy Tempo Intervento (anni) | 0,075 3,60 5 | ZetaE=PgaLV/Pga 10% Asta3D Nro TrCLV (anni) (TrCLV/TDLV)^a | 0,394 66 0,376 |

| RISULTATI GENERALI PUSH-OVER | | | |
|---|-------------------------------------|---|---------------------------------|
| PUSH-OVER N.ro | 20 - | Distrib.Forze Prop.Modo:-Fy+0.3*Fx-Ecc5% | |
| STATO LIMITE DI SALVAGUARDIA DELLA VITA | | | |
| DOMANDA | | CAPACITA' | |
| Spostamento mm S.L. Salvaguardia Vita | 270 31 | Numero collassi totali Numero passi significativi | 12 36 |
| Massa SDOF (t) Coeff. Partecipazione Rigidezza SDOF (t/m) Periodo SDOF (sec) | 1260,11 1,04 15730,19 0,57 | Taglio alla base max. (t) Resistenza SDOF (t) Spostam. Snervam. SDOF mm Rapporto di incrudimento | 197,12 180,65 11 0,000 |
| Rapporto Alfa1/alfa1 Coeff Smorzam.Equival.(%) | 17,266 20 | Fattore di comportamento Dutilita | 1,929 1,929 |
| STATO LIMITE DI SALVAGUARDIA DELLA VITA | | | |
| DOMANDA | | CAPACITA' | |
| Spostamento mm S.L. Salvaguardia Vita | 44,596 NON VERIFICA | Spostamento mm Numero passo precedente | 16,613 27 |
| PgaLV/g Rapporto q*=Fe/Fy Tempo Intervento (anni) | 0,072 3,88 4 | ZetaE=PgaLV/Pga 10% Asta3D Nro TrCLV (anni) (TrCLV/TDLV)^a | 0,376 59 0,359 |

| RISULTATI GENERALI PUSH-OVER | | | |
|---|-------------------------------------|---|---------------------------------|
| PUSH-OVER N.ro | 21 - | Distrib.Forze Prop.Massa:+Fx+0.3*Fy-Ecc5% | |
| STATO LIMITE DI SALVAGUARDIA DELLA VITA | | | |
| DOMANDA | | CAPACITA' | |
| Spostamento mm S.L. Salvaguardia Vita | 0 32 | Numero collassi totali Numero passi significativi | 20 66 |
| Massa SDOF (t) Coeff. Partecipazione Rigidezza SDOF (t/m) Periodo SDOF (sec) | 1841,76 1,00 34304,38 0,46 | Taglio alla base max. (t) Resistenza SDOF (t) Spostam. Snervam. SDOF mm Rapporto di incrudimento | 368,99 347,72 10 0,000 |
| Rapporto Alfa1/alfa1 Coeff Smorzam.Equival.(%) | 90,986 18 | Fattore di comportamento Dutilita | 1,729 1,756 |
| STATO LIMITE DI SALVAGUARDIA DELLA VITA | | | |
| DOMANDA | | CAPACITA' | |
| Spostamento mm S.L. Salvaguardia Vita | 36,144 NON VERIFICA | Spostamento mm Numero passo precedente | 13,347 29 |
| PgaLV/g Rapporto q*=Fe/Fy Tempo Intervento (anni) | 0,070 3,48 4 | ZetaE=PgaLV/Pga 10% Asta3D Nro TrCLV (anni) (TrCLV/TDLV)^a | 0,368 56 0,351 |

| RISULTATI GENERALI PUSH-OVER | | | |
|---|-------------------------------------|---|---------------------------------|
| PUSH-OVER N.ro | 22 - | Distrib.Forze Prop.Massa:-Fx+0.3*Fy-Ecc5% | |
| STATO LIMITE DI SALVAGUARDIA DELLA VITA | | | |
| DOMANDA | | CAPACITA' | |
| Angolo Ingr. Sisma (Grd) Numero passo Resist.Max. | 180 40 | Numero collassi totali Numero passi significativi | 20 72 |
| Massa SDOF (t) Coeff. Partecipazione Rigidezza SDOF (t/m) Periodo SDOF (sec) | 1841,76 1,00 35278,09 0,46 | Taglio alla base max. (t) Resistenza SDOF (t) Spostam. Snervam. SDOF mm Rapporto di incrudimento | 378,32 358,04 10 0,000 |
| Rapporto Alfa1/alfa1 Coeff Smorzam.Equival.(%) | 48,633 19 | Fattore di comportamento Dutilita | 1,784 1,824 |
| STATO LIMITE DI SALVAGUARDIA DELLA VITA | | | |

C.D.S.

| DOMANDA | | CAPACITA' | |
|--|------------------------|---|--------------|
| Spostamento mm S.L. Salvaguardia Vita | 35,488 NON VERIFICA | Spostamento mm Numero passo precedente | 13,885 37 |
| PgaLV/g Rapporto q*=Fe/Fy | 0,074 >3 | ZetaE=PgaLV/Pga 10% Asta3D Nro | 0,386 |
| Tempo Intervento (anni) | 3,38 5 | TrCLV (anni) (TrCLV/TDLV)^a | 63 0,369 |

| RISULTATI GENERALI PUSH-OVER | | | |
|--|------------------------|---|--------------|
| DOMANDA | | CAPACITA' | |
| PUSH-OVER N.ro | 23 - | Distrib. Forze Prop. Massa:+Fy+0,3*Fx-Ecc5% | |
| Angolo Ingr. Sisma (Grd) | 90 | Numero collassi totali | 9 |
| Numero passo Resist.Max. | 32 | Numero passi significativi | 37 |
| Massa SDOF (t) | 1841,76 | Taglio alla base max. (t) | 312,42 |
| Coeff. Partecipazione | 1,00 | Resistenza SDOF (t) | 290,21 |
| Rigidezza SDOF (t/m) | 20592,31 | Spostam. Snervam. SDOF mm | 14 |
| Periodo SDOF (sec) | 0,60 | Rapporto di incrudimento | 0,000 |
| Rapporto Alfa1/alfa1 | 80,386 | Fattore di comportamento | 1,835 |
| Coeff Smorzam.Equival.(%) | 19 | Duttilita | 1,835 |
| STATO LIMITE DI SALVAGUARDIA DELLA VITA | | | |
| DOMANDA | | CAPACITA' | |
| Spostamento mm S.L. Salvaguardia Vita | 47,122 NON VERIFICA | Spostamento mm Numero passo precedente | 19,401 29 |
| PgaLV/g Rapporto q*=Fe/Fy | 0,078 >3 | ZetaE=PgaLV/Pga 10% Asta3D Nro | 0,410 |
| Tempo Intervento (anni) | 3,34 5 | TrCLV (anni) (TrCLV/TDLV)^a | 73 0,392 |

| RISULTATI GENERALI PUSH-OVER | | | |
|--|------------------------|---|--------------|
| DOMANDA | | CAPACITA' | |
| PUSH-OVER N.ro | 24 - | Distrib. Forze Prop. Massa:-Fy+0,3*Fx-Ecc5% | |
| Angolo Ingr. Sisma (Grd) | 270 | Numero collassi totali | 12 |
| Numero passo Resist.Max. | 37 | Numero passi significativi | 42 |
| Massa SDOF (t) | 1841,76 | Taglio alla base max. (t) | 291,14 |
| Coeff. Partecipazione | 1,00 | Resistenza SDOF (t) | 275,69 |
| Rigidezza SDOF (t/m) | 21997,52 | Spostam. Snervam. SDOF mm | 13 |
| Periodo SDOF (sec) | 0,58 | Rapporto di incrudimento | 0,000 |
| Rapporto Alfa1/alfa1 | 70,827 | Fattore di comportamento | 1,898 |
| Coeff Smorzam.Equival.(%) | 20 | Duttilita | 1,898 |
| STATO LIMITE DI SALVAGUARDIA DELLA VITA | | | |
| DOMANDA | | CAPACITA' | |
| Spostamento mm S.L. Salvaguardia Vita | 45,592 NON VERIFICA | Spostamento mm Numero passo precedente | 17,839 33 |
| PgaLV/g Rapporto q*=Fe/Fy | 0,075 >3 | ZetaE=PgaLV/Pga 10% Asta3D Nro | 0,391 |
| Tempo Intervento (anni) | 3,64 5 | TrCLV (anni) (TrCLV/TDLV)^a | 65 0,373 |

| RISULTATI GENERALI PUSH-OVER | | | |
|--|------------------------|--|--------------|
| DOMANDA | | CAPACITA' | |
| PUSH-OVER N.ro | 25 - | Distrib. Forze Prop. Modo:+Fx-0,3*Fy-Ecc5% | |
| Angolo Ingr. Sisma (Grd) | 0 | Numero collassi totali | 20 |
| Numero passo Resist.Max. | 30 | Numero passi significativi | 56 |
| Massa SDOF (t) | 1273,20 | Taglio alla base max. (t) | 261,55 |
| Coeff. Partecipazione | 1,05 | Resistenza SDOF (t) | 233,49 |
| Rigidezza SDOF (t/m) | 26694,49 | Spostam. Snervam. SDOF mm | 9 |
| Periodo SDOF (sec) | 0,44 | Rapporto di incrudimento | 0,000 |
| Rapporto Alfa1/alfa1 | 16,026 | Fattore di comportamento | 1,904 |
| Coeff Smorzam.Equival.(%) | 20 | Duttilita | 1,994 |
| STATO LIMITE DI SALVAGUARDIA DELLA VITA | | | |
| DOMANDA | | CAPACITA' | |
| Spostamento mm S.L. Salvaguardia Vita | 33,544 NON VERIFICA | Spostamento mm Numero passo precedente | 13,080 27 |

C.D.S.

| | | | | |
|-------------------------|----|-------|---------------------------|-------|
| PgaLV/g | | 0,073 | ZetaE=PgaLV/Pga 10% | 0,384 |
| Rapporto q*=Fe/Fy | >3 | 3,58 | Asta3D Nro | |
| Tempo Intervento (anni) | | 5 | TrCLV (anni) | 62 |
| | | | (TrCLV/TDLV) ^a | 0,366 |

RISULTATI GENERALI PUSH-OVER

| PUSH-OVER N.ro | | 26 - | Distrib.Forze Prop.Modo:-Fx-0,3*Fy-Ecc5% | |
|---|----|--------------|--|--------|
| Angolo Ingr. Sisma (Grd) | | 180 | Numero collassi totali | 20 |
| Numero passo Resist.Max. | | 28 | Numero passi significativi | 66 |
| Massa SDOF (t) | | 1273,20 | Taglio alla base max. (t) | 261,95 |
| Coeff. Partecipazione | | 1,05 | Resistenza SDOF (t) | 232,15 |
| Rigidezza SDOF (t/m) | | 24635,45 | Spostam. Snervam. SDOF mm | 9 |
| Periodo SDOF (sec) | | 0,46 | Rapporto di incrudimento | 0,000 |
| Rapporto Alfa1/alfa1 | | 24,382 | Fattore di comportamento | 1,852 |
| Coeff Smorzam.Equival.(%) | | 20 | Duttilita | 1,899 |
| STATO LIMITE DI SALVAGUARDIA DELLA VITA | | | CAPACITA' | |
| DOMANDA | | | CAPACITA' | |
| Spostamento mm | | 35,293 | Spostamento mm | 13,424 |
| S.L. Salvaguardia Vita | | NON VERIFICA | Numero passo precedente | 26 |
| PgaLV/g | | 0,072 | ZetaE=PgaLV/Pga 10% | 0,376 |
| Rapporto q*=Fe/Fy | >3 | 3,60 | Asta3D Nro | |
| Tempo Intervento (anni) | | 4 | TrCLV (anni) | 59 |
| | | | (TrCLV/TDLV) ^a | 0,359 |

RISULTATI GENERALI PUSH-OVER

| PUSH-OVER N.ro | | 27 - | Distrib.Forze Prop.Modo:+Fy-0,3*Fx-Ecc5% | |
|---|----|--------------|--|--------|
| Angolo Ingr. Sisma (Grd) | | 90 | Numero collassi totali | 12 |
| Numero passo Resist.Max. | | 24 | Numero passi significativi | 33 |
| Massa SDOF (t) | | 1260,11 | Taglio alla base max. (t) | 206,98 |
| Coeff. Partecipazione | | 1,04 | Resistenza SDOF (t) | 185,56 |
| Rigidezza SDOF (t/m) | | 15203,24 | Spostam. Snervam. SDOF mm | 12 |
| Periodo SDOF (sec) | | 0,58 | Rapporto di incrudimento | 0,000 |
| Rapporto Alfa1/alfa1 | | 21,352 | Fattore di comportamento | 1,921 |
| Coeff Smorzam.Equival.(%) | | 20 | Duttilita | 1,921 |
| STATO LIMITE DI SALVAGUARDIA DELLA VITA | | | CAPACITA' | |
| DOMANDA | | | CAPACITA' | |
| Spostamento mm | | 45,362 | Spostamento mm | 17,586 |
| S.L. Salvaguardia Vita | | NON VERIFICA | Numero passo precedente | 22 |
| PgaLV/g | | 0,074 | ZetaE=PgaLV/Pga 10% | 0,389 |
| Rapporto q*=Fe/Fy | >3 | 3,72 | Asta3D Nro | |
| Tempo Intervento (anni) | | 5 | TrCLV (anni) | 64 |
| | | | (TrCLV/TDLV) ^a | 0,371 |

RISULTATI GENERALI PUSH-OVER

| PUSH-OVER N.ro | | 28 - | Distrib.Forze Prop.Modo:-Fy-0,3*Fx-Ecc5% | |
|---|----|--------------|--|--------|
| Angolo Ingr. Sisma (Grd) | | 270 | Numero collassi totali | 12 |
| Numero passo Resist.Max. | | 28 | Numero passi significativi | 33 |
| Massa SDOF (t) | | 1260,11 | Taglio alla base max. (t) | 193,22 |
| Coeff. Partecipazione | | 1,04 | Resistenza SDOF (t) | 174,77 |
| Rigidezza SDOF (t/m) | | 15200,32 | Spostam. Snervam. SDOF mm | 11 |
| Periodo SDOF (sec) | | 0,58 | Rapporto di incrudimento | 0,000 |
| Rapporto Alfa1/alfa1 | | 30,810 | Fattore di comportamento | 1,892 |
| Coeff Smorzam.Equival.(%) | | 20 | Duttilita | 1,892 |
| STATO LIMITE DI SALVAGUARDIA DELLA VITA | | | CAPACITA' | |
| DOMANDA | | | CAPACITA' | |
| Spostamento mm | | 45,366 | Spostamento mm | 16,317 |
| S.L. Salvaguardia Vita | | NON VERIFICA | Numero passo precedente | 24 |
| PgaLV/g | | 0,070 | ZetaE=PgaLV/Pga 10% | 0,366 |
| Rapporto q*=Fe/Fy | >3 | 3,95 | Asta3D Nro | |
| Tempo Intervento (anni) | | 4 | TrCLV (anni) | 55 |

RISULTATI GENERALI PUSH-OVER

| PUSH-OVER N.ro | 29 - | Distrib.Forze Prop.Massa:+Fx-0.3*Fy-Ecc5% |
|--|------------------------|---|
| Angolo Ingr. Sisma (Grd) | 0 | Numero collassi totali 20 |
| Numero passo Resist.Max. | 36 | Numero passi significativi 67 |
| Massa SDOF (t) | 1841,76 | Taglio alla base max. (t) 380,84 |
| Coeff. Partecipazione | 1,00 | Resistenza SDOF (t) 356,08 |
| Rigidezza SDOF (t/m) | 36754,02 | Spostam. Snervam. SDOF mm 10 |
| Periodo SDOF (sec) | 0,45 | Rapporto di incrudimento 0,000 |
| Rapporto Alfa1/alfa1 | 20,790 | Fattore di comportamento 1,854 |
| Coeff Smorzam.Equival.(%) | 20 | Duttilita 1,916 |
| STATO LIMITE DI SALVAGUARDIA DELLA VITA | | |
| DOMANDA | | CAPACITA' |
| Spostamento mm S.L. Salvaguardia Vita | 34,571 NON VERIFICA | Spostamento mm 13,924 Numero passo precedente 33 |
| PgaLV/g | 0,075 | ZetaE=PgaLV/Pga 10% 0,394 |
| Rapporto q*=Fe/Fy | >3 | Asta3D Nro |
| Tempo Intervento (anni) | 3,40 | TrCLV (anni) 66 |
| ----- | 5 | (TrCLV/TDLV) ^a 0,376 |

RISULTATI GENERALI PUSH-OVER

| PUSH-OVER N.ro | 30 - | Distrib.Forze Prop.Massa:-Fx-0.3*Fy-Ecc5% |
|--|------------------------|---|
| Angolo Ingr. Sisma (Grd) | 180 | Numero collassi totali 20 |
| Numero passo Resist.Max. | 37 | Numero passi significativi 69 |
| Massa SDOF (t) | 1841,76 | Taglio alla base max. (t) 383,30 |
| Coeff. Partecipazione | 1,00 | Resistenza SDOF (t) 356,11 |
| Rigidezza SDOF (t/m) | 33298,17 | Spostam. Snervam. SDOF mm 11 |
| Periodo SDOF (sec) | 0,47 | Rapporto di incrudimento 0,000 |
| Rapporto Alfa1/alfa1 | 35,487 | Fattore di comportamento 1,778 |
| Coeff Smorzam.Equival.(%) | 19 | Duttilita 1,794 |
| STATO LIMITE DI SALVAGUARDIA DELLA VITA | | |
| DOMANDA | | CAPACITA' |
| Spostamento mm S.L. Salvaguardia Vita | 36,836 NON VERIFICA | Spostamento mm 14,389 Numero passo precedente 34 |
| PgaLV/g | 0,074 | ZetaE=PgaLV/Pga 10% 0,389 |
| Rapporto q*=Fe/Fy | >3 | Asta3D Nro |
| Tempo Intervento (anni) | 3,39 | TrCLV (anni) 64 |
| ----- | 5 | (TrCLV/TDLV) ^a 0,371 |

RISULTATI GENERALI PUSH-OVER

| PUSH-OVER N.ro | 31 - | Distrib.Forze Prop.Massa:+Fy-0.3*Fx-Ecc5% |
|--|------------------------|---|
| Angolo Ingr. Sisma (Grd) | 90 | Numero collassi totali 10 |
| Numero passo Resist.Max. | 29 | Numero passi significativi 40 |
| Massa SDOF (t) | 1841,76 | Taglio alla base max. (t) 307,10 |
| Coeff. Partecipazione | 1,00 | Resistenza SDOF (t) 286,63 |
| Rigidezza SDOF (t/m) | 21555,22 | Spostam. Snervam. SDOF mm 13 |
| Periodo SDOF (sec) | 0,59 | Rapporto di incrudimento 0,000 |
| Rapporto Alfa1/alfa1 | 27,302 | Fattore di comportamento 1,860 |
| Coeff Smorzam.Equival.(%) | 19 | Duttilita 1,860 |
| STATO LIMITE DI SALVAGUARDIA DELLA VITA | | |
| DOMANDA | | CAPACITA' |
| Spostamento mm S.L. Salvaguardia Vita | 46,057 NON VERIFICA | Spostamento mm 18,554 Numero passo precedente 26 |
| PgaLV/g | 0,077 | ZetaE=PgaLV/Pga 10% 0,401 |
| Rapporto q*=Fe/Fy | >3 | Asta3D Nro |
| Tempo Intervento (anni) | 3,46 | TrCLV (anni) 69 |
| ----- | 5 | (TrCLV/TDLV) ^a 0,383 |

RISULTATI GENERALI PUSH-OVER

C.D.S.

| | | | |
|--|--------------|---|--------|
| PUSH-OVER N.ro | 32 - | Distrib.Forze Prop.Massa:-Fy-0.3*Fx-Ecc5% | |
| Angolo Ingr. Sisma (Grd) | 270 | Numero collassi totali 13 | |
| Numero passo Resist.Max. | 34 | Numero passi significativi 41 | |
| Massa SDOF (t) | 1841,76 | Taglio alla base max. (t) 286,83 | |
| Coeff. Partecipazione | 1,00 | Resistenza SDOF (t) 271,25 | |
| Rigidezza SDOF (t/m) | 21085,45 | Spostam. Snervam. SDOF mm 13 | |
| Periodo SDOF (sec) | 0,59 | Rapporto di incrudimento 0,000 | |
| Rapporto Alfa1/alfa1 | 59,480 | Fattore di comportamento 1,809 | |
| Coeff Smorzam.Equival.(%) | 19 | Duttilita 1,809 | |
| STATO LIMITE DI SALVAGUARDIA DELLA VITA | | | |
| DOMANDA | | CAPACITA' | |
| Spostamento mm | 46,567 | Spostamento mm | 17,449 |
| S.L. Salvaguardia Vita | NON VERIFICA | Numero passo precedente | 30 |
| PgaLV/g | 0,072 | ZetaE=PgaLV/Pga 10% | 0,376 |
| Rapporto q*=Fe/Fy | >3 | Asta3D Nro | |
| Tempo Intervento (anni) | 3,62 | TrCLV (anni) | 59 |
| ----- | 4 | (TrCLV/TDLV)^a | 0,359 |

| CAPACITA'/DOMANDA DI SPOSTAMENTO-PUSH N.ro 1-Prop.Modo:+Fx+0.3*Fy+Ecc5% | | | | | | | | | | | | | |
|---|-----------|---|--------|---------|--------|--------|---------|--------|--------|---------|--------|--------|---------|
| IDENTIFICATIVO | | CAPACITA'/DOMANDA SPOSTAMENTI DEI BARICENTRI DI PIANO PER I VARI STATI LIMITE | | | | | | | | | | | |
| Piano Nro | Quota (m) | SLO | | | SLD | | | SLV | | | SLC | | |
| | | X (mm) | Y (mm) | θ(mRad) | X (mm) | Y (mm) | θ(mRad) | X (mm) | Y (mm) | θ(mRad) | X (mm) | Y (mm) | θ(mRad) |
| 1 | 3,10 | | | | 1,26 | 0,90 | 0,10 | 1,56 | 1,11 | 0,13 | 1,31 | 0,93 | 0,11 |
| | | | | | 1,60 | 1,13 | 0,13 | 1,56 | 1,11 | 0,13 | 1,31 | 0,93 | 0,11 |
| 2 | 8,34 | | | | 8,74 | 4,65 | 0,26 | 13,78 | 5,75 | 0,31 | 18,38 | 5,00 | 0,19 |
| | | | | | 15,70 | 5,89 | 0,31 | 13,78 | 5,75 | 0,31 | 18,38 | 5,00 | 0,19 |

| CAPACITA'/DOMANDA DI SPOSTAMENTO-PUSH N.ro 2-Prop.Modo:-Fx+0.3*Fy+Ecc5% | | | | | | | | | | | | | |
|---|-----------|---|--------|---------|--------|--------|---------|--------|--------|---------|--------|--------|---------|
| IDENTIFICATIVO | | CAPACITA'/DOMANDA SPOSTAMENTI DEI BARICENTRI DI PIANO PER I VARI STATI LIMITE | | | | | | | | | | | |
| Piano Nro | Quota (m) | SLO | | | SLD | | | SLV | | | SLC | | |
| | | X (mm) | Y (mm) | θ(mRad) | X (mm) | Y (mm) | θ(mRad) | X (mm) | Y (mm) | θ(mRad) | X (mm) | Y (mm) | θ(mRad) |
| 1 | 3,10 | | | | -0,99 | -0,07 | -0,02 | -1,11 | -0,09 | -0,02 | -0,98 | -0,09 | -0,02 |
| | | | | | -1,13 | -0,09 | -0,03 | -1,11 | -0,09 | -0,02 | -0,98 | -0,09 | -0,02 |
| 2 | 8,34 | | | | -9,32 | 3,66 | -0,13 | -13,16 | 4,04 | -0,13 | -17,55 | 3,30 | 0,07 |
| | | | | | -14,93 | 4,13 | -0,12 | -13,16 | 4,04 | -0,13 | -17,55 | 3,30 | 0,07 |

| CAPACITA'/DOMANDA DI SPOSTAMENTO-PUSH N.ro 3-Prop.Modo:+Fy+0.3*Fx+Ecc5% | | | | | | | | | | | | | |
|---|-----------|---|--------|---------|--------|--------|---------|--------|--------|---------|--------|--------|---------|
| IDENTIFICATIVO | | CAPACITA'/DOMANDA SPOSTAMENTI DEI BARICENTRI DI PIANO PER I VARI STATI LIMITE | | | | | | | | | | | |
| Piano Nro | Quota (m) | SLO | | | SLD | | | SLV | | | SLC | | |
| | | X (mm) | Y (mm) | θ(mRad) | X (mm) | Y (mm) | θ(mRad) | X (mm) | Y (mm) | θ(mRad) | X (mm) | Y (mm) | θ(mRad) |
| 1 | 3,10 | | | | 0,65 | 1,08 | 0,11 | 0,89 | 1,42 | 0,15 | 0,81 | 1,19 | 0,12 |
| | | | | | 0,90 | 1,43 | 0,15 | 0,89 | 1,42 | 0,15 | 0,81 | 1,19 | 0,12 |
| 2 | 8,34 | | | | 2,37 | 9,77 | 0,19 | 3,29 | 17,02 | 0,46 | 3,36 | 22,69 | 0,84 |
| | | | | | 3,40 | 19,66 | 0,52 | 3,29 | 17,02 | 0,46 | 3,36 | 22,69 | 0,84 |

| CAPACITA'/DOMANDA DI SPOSTAMENTO-PUSH N.ro 4-Prop.Modo:-Fy+0.3*Fx+Ecc5% | | | | | | | | | | | | | |
|---|-----------|---|--------|---------|--------|--------|---------|--------|--------|---------|--------|--------|---------|
| IDENTIFICATIVO | | CAPACITA'/DOMANDA SPOSTAMENTI DEI BARICENTRI DI PIANO PER I VARI STATI LIMITE | | | | | | | | | | | |
| Piano Nro | Quota (m) | SLO | | | SLD | | | SLV | | | SLC | | |
| | | X (mm) | Y (mm) | θ(mRad) | X (mm) | Y (mm) | θ(mRad) | X (mm) | Y (mm) | θ(mRad) | X (mm) | Y (mm) | θ(mRad) |
| 1 | 3,10 | | | | -0,03 | -0,55 | -0,05 | 0,01 | -0,85 | -0,08 | 0,06 | -0,69 | -0,06 |
| | | | | | 0,01 | -0,87 | -0,08 | 0,01 | -0,85 | -0,08 | 0,06 | -0,69 | -0,06 |
| 2 | 8,34 | | | | 1,17 | -7,81 | 0,13 | 2,10 | -18,24 | 0,50 | 2,01 | -24,32 | 0,58 |
| | | | | | 2,16 | -19,79 | 0,53 | 2,10 | -18,24 | 0,50 | 2,01 | -24,32 | 0,58 |

| CAPACITA'/DOMANDA DI SPOSTAMENTO-PUSH N.ro 5-Prop.Massa:+Fx+0.3*Fy+Ecc5% | | | | | | | | | | | | | |
|--|-----------|---|--------|---------|--------|--------|---------|--------|--------|---------|--------|--------|---------|
| IDENTIFICATIVO | | CAPACITA'/DOMANDA SPOSTAMENTI DEI BARICENTRI DI PIANO PER I VARI STATI LIMITE | | | | | | | | | | | |
| Piano Nro | Quota (m) | SLO | | | SLD | | | SLV | | | SLC | | |
| | | X (mm) | Y (mm) | θ(mRad) | X (mm) | Y (mm) | θ(mRad) | X (mm) | Y (mm) | θ(mRad) | X (mm) | Y (mm) | θ(mRad) |
| 1 | 3,10 | | | | 1,55 | 1,06 | 0,12 | 2,10 | 1,44 | 0,17 | 1,77 | 1,21 | 0,14 |
| | | | | | 2,14 | 1,46 | 0,17 | 2,10 | 1,44 | 0,17 | 1,77 | 1,21 | 0,14 |
| 2 | 8,34 | | | | 8,37 | 4,65 | 0,28 | 14,18 | 6,31 | 0,38 | 18,91 | 5,52 | 0,19 |
| | | | | | 15,46 | 6,43 | 0,37 | 14,18 | 6,31 | 0,38 | 18,91 | 5,52 | 0,19 |

| CAPACITA'/DOMANDA DI SPOSTAMENTO-PUSH N.ro 6-Prop.Massa:-Fx+0.3*Fy+Ecc5% | | | | | | | | | | | | | |
|--|-----------|---|--------|---------|--------|--------|---------|--------|--------|---------|--------|--------|---------|
| IDENTIFICATIVO | | CAPACITA'/DOMANDA SPOSTAMENTI DEI BARICENTRI DI PIANO PER I VARI STATI LIMITE | | | | | | | | | | | |
| Piano Nro | Quota (m) | SLO | | | SLD | | | SLV | | | SLC | | |
| | | X (mm) | Y (mm) | θ(mRad) | X (mm) | Y (mm) | θ(mRad) | X (mm) | Y (mm) | θ(mRad) | X (mm) | Y (mm) | θ(mRad) |
| 1 | 3,10 | | | | -1,31 | -0,09 | -0,03 | -1,51 | -0,12 | -0,03 | -1,33 | -0,11 | -0,03 |
| | | | | | -1,55 | -0,12 | -0,03 | -1,51 | -0,12 | -0,03 | -1,33 | -0,11 | -0,03 |
| 2 | 8,34 | | | | -9,33 | 3,54 | -0,14 | -13,23 | 4,02 | -0,14 | -17,64 | 3,29 | 0,06 |
| | | | | | -14,76 | 4,10 | -0,13 | -13,23 | 4,02 | -0,14 | -17,64 | 3,29 | 0,06 |

C.D.S.

| CAPACITA'/DOMANDA DI SPOSTAMENTO-PUSH N.ro 7-Prop.Massa:+Fy+0.3*Fx+Ecc5% | | | | | | | | | | | | | |
|---|-----------|---|--------|---------|--------|--------|---------|--------|--------|---------|--------|--------|---------|
| IDENTIFICATIVO | | CAPACITA'/DOMANDA SPOSTAMENTI DEI BARICENTRI DI PIANO PER I VARI STATI LIMITE | | | | | | | | | | | |
| Piano Nro | Quota (m) | SLO | | | SLD | | | SLV | | | SLC | | |
| 1 | 3,10 | X (mm) | Y (mm) | θ(mRad) | X (mm) | Y (mm) | θ(mRad) | X (mm) | Y (mm) | θ(mRad) | X (mm) | Y (mm) | θ(mRad) |
| | | 0,72 | 1,19 | 0,12 | 1,18 | 1,88 | 0,20 | 1,05 | 1,57 | 0,16 | | | |
| 2 | 8,34 | 1,18 | 1,87 | 0,20 | 1,18 | 1,88 | 0,20 | 1,05 | 1,57 | 0,16 | | | |
| | | 2,26 | 8,69 | 0,20 | 3,71 | 17,50 | 0,51 | 3,69 | 23,34 | 0,91 | | | |
| | | 3,80 | 19,41 | 0,60 | 3,71 | 17,50 | 0,51 | 3,69 | 23,34 | 0,91 | | | |
| CAPACITA'/DOMANDA DI SPOSTAMENTO-PUSH N.ro 8-Prop.Massa:+Fy+0.3*Fx+Ecc5% | | | | | | | | | | | | | |
| IDENTIFICATIVO | | CAPACITA'/DOMANDA SPOSTAMENTI DEI BARICENTRI DI PIANO PER I VARI STATI LIMITE | | | | | | | | | | | |
| Piano Nro | Quota (m) | SLO | | | SLD | | | SLV | | | SLC | | |
| 1 | 3,10 | X (mm) | Y (mm) | θ(mRad) | X (mm) | Y (mm) | θ(mRad) | X (mm) | Y (mm) | θ(mRad) | X (mm) | Y (mm) | θ(mRad) |
| | | -0,03 | -0,70 | -0,06 | 0,01 | -1,11 | -0,10 | 0,06 | -0,92 | -0,08 | | | |
| 2 | 8,34 | 0,01 | -1,13 | -0,10 | 0,01 | -1,11 | -0,10 | 0,06 | -0,92 | -0,08 | | | |
| | | 1,15 | -8,04 | 0,11 | 2,11 | -18,37 | 0,49 | 2,05 | -24,49 | 0,59 | | | |
| | | 2,15 | -19,37 | 0,51 | 2,11 | -18,37 | 0,49 | 2,05 | -24,49 | 0,59 | | | |
| CAPACITA'/DOMANDA DI SPOSTAMENTO-PUSH N.ro 9-Prop.Modo:+Fx-0.3*Fy+Ecc5% | | | | | | | | | | | | | |
| IDENTIFICATIVO | | CAPACITA'/DOMANDA SPOSTAMENTI DEI BARICENTRI DI PIANO PER I VARI STATI LIMITE | | | | | | | | | | | |
| Piano Nro | Quota (m) | SLO | | | SLD | | | SLV | | | SLC | | |
| 1 | 3,10 | X (mm) | Y (mm) | θ(mRad) | X (mm) | Y (mm) | θ(mRad) | X (mm) | Y (mm) | θ(mRad) | X (mm) | Y (mm) | θ(mRad) |
| | | 0,93 | 0,16 | 0,03 | 1,22 | 0,22 | 0,04 | 0,95 | 0,17 | 0,03 | | | |
| 2 | 8,34 | 1,24 | 0,22 | 0,04 | 1,22 | 0,22 | 0,04 | 0,95 | 0,17 | 0,03 | | | |
| | | 7,74 | -3,16 | 0,22 | 13,45 | -4,07 | 0,29 | 17,93 | -3,62 | 0,31 | | | |
| | | 15,11 | -4,14 | 0,29 | 13,45 | -4,07 | 0,29 | 17,93 | -3,62 | 0,31 | | | |
| CAPACITA'/DOMANDA DI SPOSTAMENTO-PUSH N.ro 10-Prop.Modo:-Fx-0.3*Fy+Ecc5% | | | | | | | | | | | | | |
| IDENTIFICATIVO | | CAPACITA'/DOMANDA SPOSTAMENTI DEI BARICENTRI DI PIANO PER I VARI STATI LIMITE | | | | | | | | | | | |
| Piano Nro | Quota (m) | SLO | | | SLD | | | SLV | | | SLC | | |
| 1 | 3,10 | X (mm) | Y (mm) | θ(mRad) | X (mm) | Y (mm) | θ(mRad) | X (mm) | Y (mm) | θ(mRad) | X (mm) | Y (mm) | θ(mRad) |
| | | -1,29 | -0,86 | -0,10 | -1,49 | -0,97 | -0,11 | -1,30 | -0,82 | -0,09 | | | |
| 2 | 8,34 | -1,53 | -1,00 | -0,11 | -1,49 | -0,97 | -0,11 | -1,30 | -0,82 | -0,09 | | | |
| | | -9,89 | -5,14 | -0,09 | -13,82 | -5,89 | -0,04 | -18,43 | -5,09 | 0,06 | | | |
| | | -15,43 | -6,06 | -0,02 | -13,82 | -5,89 | -0,04 | -18,43 | -5,09 | 0,06 | | | |
| CAPACITA'/DOMANDA DI SPOSTAMENTO-PUSH N.ro 11-Prop.Modo:+Fy-0.3*Fx+Ecc5% | | | | | | | | | | | | | |
| IDENTIFICATIVO | | CAPACITA'/DOMANDA SPOSTAMENTI DEI BARICENTRI DI PIANO PER I VARI STATI LIMITE | | | | | | | | | | | |
| Piano Nro | Quota (m) | SLO | | | SLD | | | SLV | | | SLC | | |
| 1 | 3,10 | X (mm) | Y (mm) | θ(mRad) | X (mm) | Y (mm) | θ(mRad) | X (mm) | Y (mm) | θ(mRad) | X (mm) | Y (mm) | θ(mRad) |
| | | 0,21 | 0,95 | 0,09 | 0,29 | 1,15 | 0,11 | 0,32 | 0,99 | 0,10 | | | |
| 2 | 8,34 | 0,30 | 1,19 | 0,12 | 0,29 | 1,15 | 0,11 | 0,32 | 0,99 | 0,10 | | | |
| | | -1,12 | 10,37 | 0,14 | -1,24 | 17,09 | 0,34 | -0,67 | 22,79 | 0,72 | | | |
| | | -1,24 | 19,39 | 0,41 | -1,24 | 17,09 | 0,34 | -0,67 | 22,79 | 0,72 | | | |
| CAPACITA'/DOMANDA DI SPOSTAMENTO-PUSH N.ro 12-Prop.Modo:-Fy-0.3*Fx+Ecc5% | | | | | | | | | | | | | |
| IDENTIFICATIVO | | CAPACITA'/DOMANDA SPOSTAMENTI DEI BARICENTRI DI PIANO PER I VARI STATI LIMITE | | | | | | | | | | | |
| Piano Nro | Quota (m) | SLO | | | SLD | | | SLV | | | SLC | | |
| 1 | 3,10 | X (mm) | Y (mm) | θ(mRad) | X (mm) | Y (mm) | θ(mRad) | X (mm) | Y (mm) | θ(mRad) | X (mm) | Y (mm) | θ(mRad) |
| | | -0,44 | -0,77 | -0,08 | -0,60 | -1,12 | -0,11 | -0,48 | -0,92 | -0,09 | | | |
| 2 | 8,34 | -0,60 | -1,14 | -0,11 | -0,60 | -1,12 | -0,11 | -0,48 | -0,92 | -0,09 | | | |
| | | -1,79 | -8,65 | 0,07 | -2,46 | -18,74 | 0,36 | -2,01 | -24,99 | 0,33 | | | |
| | | -2,50 | -19,72 | 0,36 | -2,46 | -18,74 | 0,36 | -2,01 | -24,99 | 0,33 | | | |
| CAPACITA'/DOMANDA DI SPOSTAMENTO-PUSH N.ro 13-Prop.Massa:+Fx-0.3*Fy+Ecc5% | | | | | | | | | | | | | |
| IDENTIFICATIVO | | CAPACITA'/DOMANDA SPOSTAMENTI DEI BARICENTRI DI PIANO PER I VARI STATI LIMITE | | | | | | | | | | | |
| Piano Nro | Quota (m) | SLO | | | SLD | | | SLV | | | SLC | | |
| 1 | 3,10 | X (mm) | Y (mm) | θ(mRad) | X (mm) | Y (mm) | θ(mRad) | X (mm) | Y (mm) | θ(mRad) | X (mm) | Y (mm) | θ(mRad) |
| | | 1,24 | 0,21 | 0,04 | 1,66 | 0,29 | 0,05 | 1,31 | 0,23 | 0,04 | | | |
| 2 | 8,34 | 1,68 | 0,30 | 0,06 | 1,66 | 0,29 | 0,05 | 1,31 | 0,23 | 0,04 | | | |
| | | 7,98 | -3,03 | 0,24 | 13,84 | -3,99 | 0,31 | 18,46 | -3,55 | 0,32 | | | |
| | | 14,89 | -4,04 | 0,31 | 13,84 | -3,99 | 0,31 | 18,46 | -3,55 | 0,32 | | | |
| CAPACITA'/DOMANDA DI SPOSTAMENTO-PUSH N.ro 14-Prop.Massa:-Fx-0.3*Fy+Ecc5% | | | | | | | | | | | | | |
| IDENTIFICATIVO | | CAPACITA'/DOMANDA SPOSTAMENTI DEI BARICENTRI DI PIANO PER I VARI STATI LIMITE | | | | | | | | | | | |
| Piano Nro | Quota (m) | SLO | | | SLD | | | SLV | | | SLC | | |
| 1 | 3,10 | X (mm) | Y (mm) | θ(mRad) | X (mm) | Y (mm) | θ(mRad) | X (mm) | Y (mm) | θ(mRad) | X (mm) | Y (mm) | θ(mRad) |
| | | -1,59 | -1,01 | -0,12 | -2,01 | -1,26 | -0,14 | -1,72 | -1,05 | -0,12 | | | |
| 2 | 8,34 | -2,02 | -1,27 | -0,15 | -2,01 | -1,26 | -0,14 | -1,72 | -1,05 | -0,12 | | | |
| | | -9,02 | -5,02 | -0,15 | -14,81 | -6,40 | -0,08 | -19,75 | -5,54 | 0,01 | | | |
| | | -15,19 | -6,44 | -0,08 | -14,81 | -6,40 | -0,08 | -19,75 | -5,54 | 0,01 | | | |
| CAPACITA'/DOMANDA DI SPOSTAMENTO-PUSH N.ro 15-Prop.Massa:+Fy-0.3*Fx+Ecc5% | | | | | | | | | | | | | |
| IDENTIFICATIVO | | CAPACITA'/DOMANDA SPOSTAMENTI DEI BARICENTRI DI PIANO PER I VARI STATI LIMITE | | | | | | | | | | | |
| Piano Nro | Quota (m) | SLO | | | SLD | | | SLV | | | SLC | | |
| 1 | 3,10 | X (mm) | Y (mm) | θ(mRad) | X (mm) | Y (mm) | θ(mRad) | X (mm) | Y (mm) | θ(mRad) | X (mm) | Y (mm) | θ(mRad) |
| | | 0,25 | 1,22 | 0,12 | 0,35 | 1,53 | 0,15 | 0,37 | 1,29 | 0,13 | | | |
| 2 | 8,34 | 0,35 | 1,55 | 0,15 | 0,35 | 1,53 | 0,15 | 0,37 | 1,29 | 0,13 | | | |
| | | -1,03 | 10,65 | 0,17 | -1,19 | 17,55 | 0,38 | -0,60 | 23,40 | 0,76 | | | |
| | | -1,19 | 19,05 | 0,40 | -1,19 | 17,55 | 0,38 | -0,60 | 23,40 | 0,76 | | | |

C.D.S.

CAPACITA'/DOMANDA DI SPOSTAMENTO-PUSH N.ro 16-Prop.Massa:-Fy-0.3*Fx+Ecc5%

| IDENTIFICATIVO | | CAPACITA'/DOMANDA SPOSTAMENTI DEI BARICENTRI DI PIANO PER I VARI STATI LIMITE | | | | | | | | | | | |
|----------------|-----------|---|--------|---------|--------|--------|---------|--------|--------|---------|--------|--------|---------|
| Piano Nro | Quota (m) | SLO | | | SLD | | | SLV | | | SLC | | |
| | | X (mm) | Y (mm) | θ(mRad) | X (mm) | Y (mm) | θ(mRad) | X (mm) | Y (mm) | θ(mRad) | X (mm) | Y (mm) | θ(mRad) |
| 1 | 3,10 | | | | -0,58 | -0,99 | -0,10 | -0,84 | -1,48 | -0,15 | -0,68 | -1,21 | -0,12 |
| | | | | | -0,84 | -1,48 | -0,15 | -0,84 | -1,48 | -0,15 | -0,68 | -1,21 | -0,12 |
| 2 | 8,34 | | | | -1,98 | -8,95 | 0,04 | -2,83 | -19,18 | 0,29 | -2,30 | -25,57 | 0,26 |
| | | | | | -2,84 | -19,39 | 0,29 | -2,83 | -19,18 | 0,29 | -2,30 | -25,57 | 0,26 |

CAPACITA'/DOMANDA DI SPOSTAMENTO-PUSH N.ro 17-Prop.Modo:+Fx+0.3*Fy-Ecc5%

| IDENTIFICATIVO | | CAPACITA'/DOMANDA SPOSTAMENTI DEI BARICENTRI DI PIANO PER I VARI STATI LIMITE | | | | | | | | | | | |
|----------------|-----------|---|--------|---------|--------|--------|---------|--------|--------|---------|--------|--------|---------|
| Piano Nro | Quota (m) | SLO | | | SLD | | | SLV | | | SLC | | |
| | | X (mm) | Y (mm) | θ(mRad) | X (mm) | Y (mm) | θ(mRad) | X (mm) | Y (mm) | θ(mRad) | X (mm) | Y (mm) | θ(mRad) |
| 1 | 3,10 | | | | 1,32 | 0,88 | 0,10 | 1,46 | 0,96 | 0,11 | 1,26 | 0,80 | 0,09 |
| | | | | | 1,51 | 0,99 | 0,11 | 1,46 | 0,96 | 0,11 | 1,26 | 0,80 | 0,09 |
| 2 | 8,34 | | | | 10,08 | 5,18 | 0,12 | 13,03 | 5,71 | 0,10 | 17,37 | 5,09 | -0,08 |
| | | | | | 15,46 | 5,92 | 0,09 | 13,03 | 5,71 | 0,10 | 17,37 | 5,09 | -0,08 |

CAPACITA'/DOMANDA DI SPOSTAMENTO-PUSH N.ro 18-Prop.Modo:-Fx+0.3*Fy-Ecc5%

| IDENTIFICATIVO | | CAPACITA'/DOMANDA SPOSTAMENTI DEI BARICENTRI DI PIANO PER I VARI STATI LIMITE | | | | | | | | | | | |
|----------------|-----------|---|--------|---------|--------|--------|---------|--------|--------|---------|--------|--------|---------|
| Piano Nro | Quota (m) | SLO | | | SLD | | | SLV | | | SLC | | |
| | | X (mm) | Y (mm) | θ(mRad) | X (mm) | Y (mm) | θ(mRad) | X (mm) | Y (mm) | θ(mRad) | X (mm) | Y (mm) | θ(mRad) |
| 1 | 3,10 | | | | -0,94 | -0,17 | -0,03 | -1,19 | -0,23 | -0,04 | -0,99 | -0,20 | -0,04 |
| | | | | | -1,20 | -0,23 | -0,04 | -1,19 | -0,23 | -0,04 | -0,99 | -0,20 | -0,04 |
| 2 | 8,34 | | | | -8,03 | 3,19 | -0,24 | -13,72 | 4,10 | -0,35 | -18,29 | 3,45 | -0,25 |
| | | | | | -15,29 | 4,17 | -0,35 | -13,72 | 4,10 | -0,35 | -18,29 | 3,45 | -0,25 |

CAPACITA'/DOMANDA DI SPOSTAMENTO-PUSH N.ro 19-Prop.Modo:+Fx+0.3*Fy-Ecc5%

| IDENTIFICATIVO | | CAPACITA'/DOMANDA SPOSTAMENTI DEI BARICENTRI DI PIANO PER I VARI STATI LIMITE | | | | | | | | | | | |
|----------------|-----------|---|--------|---------|--------|--------|---------|--------|--------|---------|--------|--------|---------|
| Piano Nro | Quota (m) | SLO | | | SLD | | | SLV | | | SLC | | |
| | | X (mm) | Y (mm) | θ(mRad) | X (mm) | Y (mm) | θ(mRad) | X (mm) | Y (mm) | θ(mRad) | X (mm) | Y (mm) | θ(mRad) |
| 1 | 3,10 | | | | 0,44 | 0,78 | 0,08 | 0,62 | 1,17 | 0,11 | 0,49 | 0,96 | 0,09 |
| | | | | | 0,63 | 1,18 | 0,12 | 0,62 | 1,17 | 0,11 | 0,49 | 0,96 | 0,09 |
| 2 | 8,34 | | | | 1,79 | 8,84 | -0,09 | 2,47 | 18,91 | -0,38 | 2,00 | 25,22 | -0,38 |
| | | | | | 2,49 | 19,96 | -0,40 | 2,47 | 18,91 | -0,38 | 2,00 | 25,22 | -0,38 |

CAPACITA'/DOMANDA DI SPOSTAMENTO-PUSH N.ro 20-Prop.Modo:-Fy+0.3*Fx-Ecc5%

| IDENTIFICATIVO | | CAPACITA'/DOMANDA SPOSTAMENTI DEI BARICENTRI DI PIANO PER I VARI STATI LIMITE | | | | | | | | | | | |
|----------------|-----------|---|--------|---------|--------|--------|---------|--------|--------|---------|--------|--------|---------|
| Piano Nro | Quota (m) | SLO | | | SLD | | | SLV | | | SLC | | |
| | | X (mm) | Y (mm) | θ(mRad) | X (mm) | Y (mm) | θ(mRad) | X (mm) | Y (mm) | θ(mRad) | X (mm) | Y (mm) | θ(mRad) |
| 1 | 3,10 | | | | -0,21 | -0,99 | -0,10 | -0,27 | -1,13 | -0,11 | -0,30 | -0,95 | -0,09 |
| | | | | | -0,27 | -1,15 | -0,11 | -0,27 | -1,13 | -0,11 | -0,30 | -0,95 | -0,09 |
| 2 | 8,34 | | | | 1,18 | -10,76 | -0,13 | 1,29 | -17,28 | -0,27 | 0,87 | -23,04 | -0,68 |
| | | | | | 1,32 | -19,33 | -0,30 | 1,29 | -17,28 | -0,27 | 0,87 | -23,04 | -0,68 |

CAPACITA'/DOMANDA DI SPOSTAMENTO-PUSH N.ro 21-Prop.Massa:+Fx+0.3*Fy-Ecc5%

| IDENTIFICATIVO | | CAPACITA'/DOMANDA SPOSTAMENTI DEI BARICENTRI DI PIANO PER I VARI STATI LIMITE | | | | | | | | | | | |
|----------------|-----------|---|--------|---------|--------|--------|---------|--------|--------|---------|--------|--------|---------|
| Piano Nro | Quota (m) | SLO | | | SLD | | | SLV | | | SLC | | |
| | | X (mm) | Y (mm) | θ(mRad) | X (mm) | Y (mm) | θ(mRad) | X (mm) | Y (mm) | θ(mRad) | X (mm) | Y (mm) | θ(mRad) |
| 1 | 3,10 | | | | 1,68 | 1,07 | 0,12 | 1,94 | 1,23 | 0,14 | 1,69 | 1,03 | 0,12 |
| | | | | | 2,01 | 1,27 | 0,15 | 1,94 | 1,23 | 0,14 | 1,69 | 1,03 | 0,12 |
| 2 | 8,34 | | | | 9,91 | 5,29 | 0,16 | 13,35 | 6,12 | 0,15 | 17,80 | 5,63 | -0,09 |
| | | | | | 15,22 | 6,35 | 0,14 | 13,35 | 6,12 | 0,15 | 17,80 | 5,63 | -0,09 |

CAPACITA'/DOMANDA DI SPOSTAMENTO-PUSH N.ro 22-Prop.Massa:-Fx+0.3*Fy-Ecc5%

| IDENTIFICATIVO | | CAPACITA'/DOMANDA SPOSTAMENTI DEI BARICENTRI DI PIANO PER I VARI STATI LIMITE | | | | | | | | | | | |
|----------------|-----------|---|--------|---------|--------|--------|---------|--------|--------|---------|--------|--------|---------|
| Piano Nro | Quota (m) | SLO | | | SLD | | | SLV | | | SLC | | |
| | | X (mm) | Y (mm) | θ(mRad) | X (mm) | Y (mm) | θ(mRad) | X (mm) | Y (mm) | θ(mRad) | X (mm) | Y (mm) | θ(mRad) |
| 1 | 3,10 | | | | -1,26 | -0,22 | -0,04 | -1,64 | -0,31 | -0,06 | -1,37 | -0,27 | -0,05 |
| | | | | | -1,66 | -0,31 | -0,06 | -1,64 | -0,31 | -0,06 | -1,37 | -0,27 | -0,05 |
| 2 | 8,34 | | | | -8,28 | 3,08 | -0,25 | -13,88 | 4,01 | -0,36 | -18,51 | 3,40 | -0,26 |
| | | | | | -15,00 | 4,06 | -0,36 | -13,88 | 4,01 | -0,36 | -18,51 | 3,40 | -0,26 |

CAPACITA'/DOMANDA DI SPOSTAMENTO-PUSH N.ro 23-Prop.Massa:+Fx+0.3*Fy-Ecc5%

| IDENTIFICATIVO | | CAPACITA'/DOMANDA SPOSTAMENTI DEI BARICENTRI DI PIANO PER I VARI STATI LIMITE | | | | | | | | | | | |
|----------------|-----------|---|--------|---------|--------|--------|---------|--------|--------|---------|--------|--------|---------|
| Piano Nro | Quota (m) | SLO | | | SLD | | | SLV | | | SLC | | |
| | | X (mm) | Y (mm) | θ(mRad) | X (mm) | Y (mm) | θ(mRad) | X (mm) | Y (mm) | θ(mRad) | X (mm) | Y (mm) | θ(mRad) |
| 1 | 3,10 | | | | 0,59 | 1,00 | 0,10 | 0,85 | 1,51 | 0,15 | 0,70 | 1,27 | 0,12 |
| | | | | | 0,85 | 1,52 | 0,15 | 0,85 | 1,51 | 0,15 | 0,70 | 1,27 | 0,12 |
| 2 | 8,34 | | | | 2,00 | 9,18 | -0,06 | 2,78 | 19,40 | -0,36 | 2,32 | 25,87 | -0,35 |
| | | | | | 2,79 | 19,64 | | | | | | | |

C.D.S.

| CAPACITA'/DOMANDA DI SPOSTAMENTO-PUSH N.ro 25-Prop.Mod.:+Fx-0.3*Fy-Ecc5% | | | | | | | | | | | | | |
|--|-----------|---|--------|---------|--------|--------|---------|--------|--------|---------|--------|--------|----------|
| IDENTIFICATIVO | | CAPACITA'/DOMANDA SPOSTAMENTI DEI BARICENTRI DI PIANO PER I VARI STATI LIMITE | | | | | | | | | | | |
| Piano Nro | Quota (m) | SLO | | | SLD | | | SLV | | | SLC | | |
| | | X (mm) | Y (mm) | θ(mRad) | X (mm) | Y (mm) | θ(mRad) | X (mm) | Y (mm) | θ(mRad) | X (mm) | Y (mm) | θ (mRad) |
| 1 | 3,10 | | | | 0,99 | 0,06 | 0,02 | 1,15 | 0,09 | 0,02 | 1,00 | 0,08 | 0,02 |
| | | | | | -1,17 | -0,09 | -0,02 | 1,15 | 0,09 | 0,02 | 1,00 | 0,08 | 0,02 |
| 2 | 8,34 | | | | 9,13 | -3,59 | 0,10 | 13,72 | -4,00 | 0,06 | 18,29 | -3,33 | -0,04 |
| | | | | | 14,83 | -4,06 | 0,06 | 13,72 | -4,00 | 0,06 | 18,29 | -3,33 | -0,04 |

| CAPACITA'/DOMANDA DI SPOSTAMENTO-PUSH N.ro 26-Prop.Mod.:+Fx-0.3*Fy-Ecc5% | | | | | | | | | | | | | |
|--|-----------|---|--------|---------|--------|--------|---------|--------|--------|---------|--------|--------|----------|
| IDENTIFICATIVO | | CAPACITA'/DOMANDA SPOSTAMENTI DEI BARICENTRI DI PIANO PER I VARI STATI LIMITE | | | | | | | | | | | |
| Piano Nro | Quota (m) | SLO | | | SLD | | | SLV | | | SLC | | |
| | | X (mm) | Y (mm) | θ(mRad) | X (mm) | Y (mm) | θ(mRad) | X (mm) | Y (mm) | θ(mRad) | X (mm) | Y (mm) | θ (mRad) |
| 1 | 3,10 | | | | -1,29 | -0,92 | -0,11 | -1,59 | -1,13 | -0,13 | -1,30 | -0,94 | -0,11 |
| | | | | | -1,63 | -1,16 | -0,13 | -1,59 | -1,13 | -0,13 | -1,30 | -0,94 | -0,11 |
| 2 | 8,34 | | | | -8,87 | -4,82 | -0,26 | -14,08 | -5,99 | -0,27 | -18,77 | -5,01 | -0,22 |
| | | | | | -15,66 | -6,14 | -0,26 | -14,08 | -5,99 | -0,27 | -18,77 | -5,01 | -0,22 |

| CAPACITA'/DOMANDA DI SPOSTAMENTO-PUSH N.ro 27-Prop.Mod.:+Fy-0.3*Fx-Ecc5% | | | | | | | | | | | | | |
|--|-----------|---|--------|---------|--------|--------|---------|--------|--------|---------|--------|--------|----------|
| IDENTIFICATIVO | | CAPACITA'/DOMANDA SPOSTAMENTI DEI BARICENTRI DI PIANO PER I VARI STATI LIMITE | | | | | | | | | | | |
| Piano Nro | Quota (m) | SLO | | | SLD | | | SLV | | | SLC | | |
| | | X (mm) | Y (mm) | θ(mRad) | X (mm) | Y (mm) | θ(mRad) | X (mm) | Y (mm) | θ(mRad) | X (mm) | Y (mm) | θ (mRad) |
| 1 | 3,10 | | | | 0,03 | 0,58 | 0,05 | 0,00 | 0,88 | 0,08 | -0,06 | 0,70 | 0,06 |
| | | | | | -0,01 | 0,89 | 0,08 | 0,00 | 0,88 | 0,08 | -0,06 | 0,70 | 0,06 |
| 2 | 8,34 | | | | -1,22 | 8,20 | -0,14 | -2,41 | 18,29 | -0,54 | -2,32 | 24,39 | -0,61 |
| | | | | | -2,55 | 19,67 | -0,58 | -2,41 | 18,29 | -0,54 | -2,32 | 24,39 | -0,61 |

| CAPACITA'/DOMANDA DI SPOSTAMENTO-PUSH N.ro 28-Prop.Mod.:+Fy-0.3*Fx-Ecc5% | | | | | | | | | | | | | |
|--|-----------|---|--------|---------|--------|--------|---------|--------|--------|---------|--------|--------|----------|
| IDENTIFICATIVO | | CAPACITA'/DOMANDA SPOSTAMENTI DEI BARICENTRI DI PIANO PER I VARI STATI LIMITE | | | | | | | | | | | |
| Piano Nro | Quota (m) | SLO | | | SLD | | | SLV | | | SLC | | |
| | | X (mm) | Y (mm) | θ(mRad) | X (mm) | Y (mm) | θ(mRad) | X (mm) | Y (mm) | θ(mRad) | X (mm) | Y (mm) | θ (mRad) |
| 1 | 3,10 | | | | -0,65 | -1,08 | -0,11 | -0,83 | -1,34 | -0,14 | -0,78 | -1,15 | -0,12 |
| | | | | | -0,87 | -1,38 | -0,14 | -0,83 | -1,34 | -0,14 | -0,78 | -1,15 | -0,12 |
| 2 | 8,34 | | | | -2,37 | -9,80 | -0,20 | -3,07 | -16,97 | -0,45 | -2,92 | -22,63 | -0,81 |
| | | | | | -3,21 | -19,67 | -0,53 | -3,07 | -16,97 | -0,45 | -2,92 | -22,63 | -0,81 |

| CAPACITA'/DOMANDA DI SPOSTAMENTO-PUSH N.ro 29-Prop.Massa:+Fx-0.3*Fy-Ecc5% | | | | | | | | | | | | | |
|---|-----------|---|--------|---------|--------|--------|---------|--------|--------|---------|--------|--------|----------|
| IDENTIFICATIVO | | CAPACITA'/DOMANDA SPOSTAMENTI DEI BARICENTRI DI PIANO PER I VARI STATI LIMITE | | | | | | | | | | | |
| Piano Nro | Quota (m) | SLO | | | SLD | | | SLV | | | SLC | | |
| | | X (mm) | Y (mm) | θ(mRad) | X (mm) | Y (mm) | θ(mRad) | X (mm) | Y (mm) | θ(mRad) | X (mm) | Y (mm) | θ (mRad) |
| 1 | 3,10 | | | | 1,29 | 0,08 | 0,02 | 1,56 | 0,11 | 0,03 | 1,34 | 0,10 | 0,03 |
| | | | | | 1,58 | 0,11 | 0,03 | 1,56 | 0,11 | 0,03 | 1,34 | 0,10 | 0,03 |
| 2 | 8,34 | | | | 9,09 | -3,46 | 0,12 | 13,92 | -3,96 | 0,07 | 18,57 | -3,32 | -0,04 |
| | | | | | 14,70 | -4,01 | 0,06 | 13,92 | -3,96 | 0,07 | 18,57 | -3,32 | -0,04 |

| CAPACITA'/DOMANDA DI SPOSTAMENTO-PUSH N.ro 30-Prop.Massa:-Fx-0.3*Fy-Ecc5% | | | | | | | | | | | | | |
|---|-----------|---|--------|---------|--------|--------|---------|--------|--------|---------|--------|--------|----------|
| IDENTIFICATIVO | | CAPACITA'/DOMANDA SPOSTAMENTI DEI BARICENTRI DI PIANO PER I VARI STATI LIMITE | | | | | | | | | | | |
| Piano Nro | Quota (m) | SLO | | | SLD | | | SLV | | | SLC | | |
| | | X (mm) | Y (mm) | θ(mRad) | X (mm) | Y (mm) | θ(mRad) | X (mm) | Y (mm) | θ(mRad) | X (mm) | Y (mm) | θ (mRad) |
| 1 | 3,10 | | | | -1,46 | -1,00 | -0,12 | -2,13 | -1,47 | -0,17 | -1,76 | -1,23 | -0,14 |
| | | | | | -2,17 | -1,50 | -0,17 | -2,13 | -1,47 | -0,17 | -1,76 | -1,23 | -0,14 |
| 2 | 8,34 | | | | -7,79 | -4,42 | -0,26 | -14,39 | -6,52 | -0,33 | -19,19 | -5,51 | -0,28 |
| | | | | | -15,44 | -6,66 | -0,33 | -14,39 | -6,52 | -0,33 | -19,19 | -5,51 | -0,28 |

| CAPACITA'/DOMANDA DI SPOSTAMENTO-PUSH N.ro 31-Prop.Massa:+Fy-0.3*Fx-Ecc5% | | | | | | | | | | | | | |
|---|-----------|---|--------|---------|--------|--------|---------|--------|--------|---------|--------|--------|----------|
| IDENTIFICATIVO | | CAPACITA'/DOMANDA SPOSTAMENTI DEI BARICENTRI DI PIANO PER I VARI STATI LIMITE | | | | | | | | | | | |
| Piano Nro | Quota (m) | SLO | | | SLD | | | SLV | | | SLC | | |
| | | X (mm) | Y (mm) | θ(mRad) | X (mm) | Y (mm) | θ(mRad) | X (mm) | Y (mm) | θ(mRad) | X (mm) | Y (mm) | θ (mRad) |
| 1 | 3,10 | | | | 0,03 | 0,74 | 0,07 | 0,00 | 1,14 | 0,10 | -0,04 | 0,93 | 0,08 |
| | | | | | 0,00 | 1,15 | 0,10 | 0,00 | 1,14 | 0,10 | -0,04 | 0,93 | 0,08 |
| 2 | 8,34 | | | | -1,20 | 8,42 | -0,12 | -2,38 | 18,55 | -0,52 | -2,24 | 24,74 | -0,56 |
| | | | | | -2,44 | 19,20 | -0,54 | -2,38 | 18,55 | -0,52 | -2,24 | 24,74 | -0,56 |

| CAPACITA'/DOMANDA DI SPOSTAMENTO-PUSH N.ro 32-Prop.Massa:-Fy-0.3*Fx-Ecc5% | | | | | | | | | | | | | |
|---|-----------|---|--------|---------|--------|----------|---------|--------|--------|---------|--------|--------|----------|
| IDENTIFICATIVO | | CAPACITA'/DOMANDA SPOSTAMENTI DEI BARICENTRI DI PIANO PER I VARI STATI LIMITE | | | | | | | | | | | |
| Piano Nro | Quota (m) | SLO | | | SLD | | | SLV | | | SLC | | |
| | | X (mm) | Y (mm) | θ(mRad) | X (mm) | Y (mm) | θ(mRad) | X (mm) | Y (mm) | θ(mRad) | X (mm) | Y (mm) | θ (mRad) |
| 1 | 3,10 | | | | -0,68 | -1,12 | -0,12 | -1,13 | -1,80 | -0,19 | -1,02 | -1,52 | -0,16 |
| | | | | | -1,15 | -1,82 | -0,19 | -1,13 | -1,80 | -0,19 | -1,02 | -1,52 | -0,16 |
| 2 | 8,34 | | | | -2,13 | -8,18 | -0,19 | -3,53 | -17,45 | -0,52 | -3,29 | -23,27 | -0,88 |
| | | | | | -3,62 | -19,41</ | | | | | | | |